

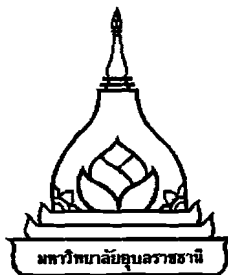
ความหลากหลายของไถօะตอนพื้นท้องน้ำและสาหร่ายขนาดใหญ่
และคุณภาพน้ำในแม่น้ำโขงส่วนที่ไหลผ่านจังหวัดอุบลราชธานี

ปริญญา มูดสิน

วิทยานิพนธ์นี้เป็นส่วนหนึ่งของการศึกษาตามหลักสูตรปริญญาปรัชญาดุษฎีบัณฑิต
สาขาวิชาเทคโนโลยีชีวภาพ คณะวิทยาศาสตร์
มหาวิทยาลัยอุบลราชธานี

พ.ศ. 2555

ติดต่อเป็นของมหาวิทยาลัยอุบลราชธานี

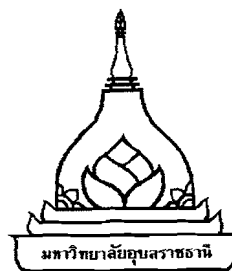


**DIVERSITY OF BENTHIC DIATOM AND MACROALGAE AND
WATE QUALITY IN MEKONG RIVER IN THE VICINITY OF UBON
RATCHATHANI PROVINCE**

PARINYA MOONSIN

**A THESIS SUBMITTED IN PARTIAL FULFILLMENT OF THE REQUIREMENTS
FOR THE DEGREE OF PHILOSOPHY
MAJOR IN BIOTECHNOLOGY
FACULTY OF SCIENCE
UBON RATCHATHANI UNIVERSITY
YEAR 2012**

COPYRIGHT OF UBON RATCHATHANI UNIVERSITY



ใบรับรองวิทยานิพนธ์
มหาวิทยาลัยอุบลราชธานี
ปริญญา ปรัชญาดุษฎีบัณฑิต
สาขาวิชาเทคโนโลยีชีวภาพ คณะวิทยาศาสตร์

เรื่อง ความหลากหลายของไคอะตอนพื้นที่องค์กร สำหรับยานาดใหญ่ และคุณภาพน้ำในแม่น้ำโขง ส่วนที่ไหลผ่านจังหวัดอุบลราชธานี

ผู้วิจัย นางสาวปริญญา มูลสิน

ได้พิจารณาเห็นชอบโดย

อาจารย์ที่ปรึกษา

(ผู้ช่วยศาสตราจารย์ ดร.อรัญญา พิมพ์มงคล)

กรรมการ

(ผู้ช่วยศาสตราจารย์ ดร.ชริดา บุกหุต)

กรรมการ

(รองศาสตราจารย์ ดร.ยุวดี พิรพรวิศาล)

กรรมการ

(ดร.สุพรรณี อะโภกิ)

คอมบดี

(ผู้ช่วยศาสตราจารย์ ดร.จันทร์เพ็ญ อินทรประเสริฐ)

มหาวิทยาลัยอุบลราชธานี รับรองแล้ว

(รองศาสตราจารย์ ดร.อุทิศ อินทร์ประสิทธิ์)

รองอธิการบดีฝ่ายวิชาการ

ปฏิบัติราชการแทนอธิการบดี มหาวิทยาลัยอุบลราชธานี

ปีการศึกษา 2555

กิตติกรรมประกาศ

ผู้วิจัยขอกราบขอบพระคุณ ผู้ช่วยศาสตราจารย์ ดร.อรัญญา พินพัฒน์ และรองศาสตราจารย์ ดร.ยุวดี พิรพรพิศาล ที่ได้กรุณาให้คำปรึกษา แนะนำแนวทาง ตลอดจนตรวจสอบแก้ไข วิทยานิพนธ์ฉบับนี้ จนเสร็จสมบูรณ์ ขอขอบพระคุณ ผู้ช่วยศาสตราจารย์ ดร.ชริตา บุกหุด และ ดร.สุพรรณี อะโอดี ที่ได้ให้คำแนะนำในการแก้ไขวิทยานิพนธ์ฉบับนี้ให้มีความถูกต้องสมบูรณ์ ยิ่งขึ้น

ขอขอบพระคุณ Associate Professor Dr.Eugen Rott, Professor Dr.Ditmar Metzeltin, Dr.Peter Pfisher, Dr.Eveline Pippes, Dr.Doris Gesierich, ดร.สุทธวรรณ สุพรรณ ดร.พงษ์พันธุ์ ลีพะ เกรียงไกร และ ดร.สรนัตร เทียมดาว ที่ได้ให้คำแนะนำในการใช้โปรแกรมทางสถิติ Multivariate Statistical Package การจำแนกชนิดของโภชตอมและสาหร่ายขนาดใหญ่

ผู้วิจัยขอกราบขอบพระคุณคณาจารย์ทุกท่านที่ได้ประสิทธิ์ประสาทวิชาความรู้ต่างๆที่ทำให้ผู้วิจัยมีความรู้และฝึกฝนทักษะจนประสบความสำเร็จในการศึกษา

ขอกราบขอบพระคุณ คุณพ่อและคุณแม่ ที่ท่านได้ให้ชีวิต ได้อบรมเลี้ยงดูให้มีสติปัญญา ขอขอบคุณพี่สาวและน้องชาย ที่ได้ให้กำลังใจมาโดยตลอด ขอบคุณเพื่อนๆคณาจารย์และเพื่อนร่วมงานทุกท่านที่ได้ให้กำลังใจ คำปรึกษา และช่วยเหลือในการวิจัยครั้งนี้ จนสำเร็จลุล่วงไปด้วยดี

ขอขอบพระคุณมหาวิทยาลัยอุบลราชธานี มหาวิทยาลัยราชภัฏอุบลราชธานี และ สำนักงานคณะกรรมการการอุดมศึกษา ที่ได้ให้ทุนสนับสนุนการวิจัยในครั้งนี้

ขอขอบคุณ ดร.อมรรัตน์ วงศ์กลม อาจารย์ณัฐพงศ์ วงศ์ชุ่ม นางสาววนิช แก้วสุข นางสาวชุดลีพร ยางงาม คุณบูรณ์ต์ บัวสุวรรณ ตลอดจนนักศึกษาสาขาวิชาชีววิทยา คณะวิทยาศาสตร์ มหาวิทยาลัยราชภัฏอุบลราชธานี ที่ได้ช่วยเหลือในการค้นการอภิปรายเก็บตัวอย่าง การทดลองในห้องปฏิบัติการ และให้ข้อมูลที่เป็นประโยชน์ต่องานวิจัยในครั้งนี้

คุณค่าและประโยชน์ที่เกิดจากวิทยานิพนธ์ฉบับนี้รวมทั้งคุณภาพของผู้วิจัยได้ปฏิบัติให้เกิดความเจริญงอกงามทุกด้าน ขอขอบคุณผู้ที่เป็นบุพการี บุญพาจารย์ ผู้ที่ให้โอกาสประกอบคุณงาน ความคิด รวมทั้งผู้มีพระคุณทุกท่าน

(นางสาวปริญญา มูลสิน)

ผู้วิจัย

สารบัญ

	หน้า
กิตติกรรมประกาศ	ก
บทคัดย่อภาษาไทย	ข
บทคัดย่อภาษาอังกฤษ	จ
สารบัญ	ฉ
สารบัญตาราง	ฉ
สารบัญภาพ	ฉ
บทที่	ฉ
1 บทนำ	
1.1 ความเป็นมาและที่มาของงานวิจัย	1
1.2 วัตถุประสงค์	3
1.3 ประโยชน์ที่คาดว่าจะได้รับ	3
1.4 ขอบเขตของงานวิจัย	3
2 ตรวจเอกสาร	
2.1 สาร Harrary	5
2.2 ลักษณะทั่วไปและการจัดจำแนก	8
2.3 โภคภัณฑ์	11
2.4 การประยุกต์ใช้สาร Harraryเป็นดัชนีปั่งชี้คุณภาพน้ำ	14
2.5 สาร Harraryขนาดใหญ่	15
2.6 สภาพแวดล้อมที่มีผลต่อการเริ่มต้น โตและการแพร่กระจาย ของสาร Harrary	19
2.7 การใช้โภคภัณฑ์พื้นท้องน้ำในการประเมินและติดตาม ตรวจสอบคุณภาพสิ่งแวดล้อม	26
2.8 การใช้โภคภัณฑ์เพื่อสร้างอินเดกซ์ปั่งชี้คุณภาพน้ำ	27
2.9 งานวิจัยเกี่ยวกับโภคภัณฑ์พื้นท้องน้ำและสาร Harraryขนาดใหญ่	34
2.10 งานวิจัยค้านความหลากหลายทางชีวภาพของโภคภัณฑ์ พื้นท้องน้ำและสาร Harraryขนาดใหญ่ในประเทศไทย	36

สารบัญ (ต่อ)

	หน้า
3 วิธีวิจัย	
3.1 แหล่งน้ำที่ทำการสำรวจตัวอย่างและการเก็บตัวอย่าง	45
3.2 ข้อมูลชุดเก็บตัวอย่างน้ำ	52
3.3 ข้อมูลปริมาณกระแสน้ำและระดับน้ำในแม่น้ำโขงส่วนที่ไหลผ่านจังหวัดอุบลราชธานี	53
3.4 อุปกรณ์และสารเคมี	55
3.5 วิธีการวิจัย	56
3.6 สถานที่ที่ใช้ในการวิจัยและรวบรวมข้อมูล	61
3.7 ระยะเวลาในการดำเนินการวิจัย	62
4 ผลการวิจัย	
4.1 คุณภาพน้ำทางด้านกายภาพ เคมีและชีวภาพบางประการในแม่น้ำโขง	63
4.2 ความหลากหลายของไดอะตอมพื้นท้องน้ำ	90
4.3 ความหลากหลายของสาหร่ายขนาดใหญ่	147
4.4 อินเดกซ์ของไดอะตอมในแม่น้ำโขงส่วนที่ไหลผ่านจังหวัดอุบลราชธานี (Me Kong River in Ubon Ratchathani Index, MKUI)	170
4.5 คะแนน AARL-PC Score และ AARL-PP Score	170
4.6 ความสมัพนธ์ของไดอะตอมและคุณภาพน้ำ	171
4.7 ความสมัพนธ์ระหว่างสาหร่ายขนาดใหญ่ชนิดเด่นและคุณภาพน้ำ	175
4.8 ลักษณะพื้นท้องน้ำในแต่ละชุดเก็บตัวอย่าง	185
5 อภิปรายผลการวิจัย	
5.1 ความหลากหลายของไดอะตอมพื้นท้องน้ำ	187
5.2 ความหลากหลายของสาหร่ายขนาดใหญ่	189
5.3 ความสมัพนธ์ของไดอะตอมพื้นท้องน้ำ สาหร่ายขนาดใหญ่และคุณภาพน้ำ	190

สารบัญ (ต่อ)

	หน้า
5.4 คุณภาพน้ำทางด้านกายภาพ เคมี และชีวภาพบางประการ	191
5.5 การใช้ไดอะตอมพื้นท้องน้ำและสาหร่ายขนาดใหญ่ เป็นดัชนีบ่งชี้คุณภาพน้ำ	193
6 สรุปผลการวิจัย	194
เอกสารอ้างอิง	196
ภาคผนวก	
ก การวิเคราะห์คุณภาพน้ำ	207
ข อาหารเพาะเลี้ยงเชื้อ	220
ค ตารางมาตรฐาน	223
ง คุณภาพน้ำในแม่น้ำโขงส่วนที่ไหลผ่านจังหวัดอุบลราชธานีระหว่าง เดือนกุมภาพันธ์ ถึงเดือนมกราคม 2551	231
จ การประเมินคุณภาพน้ำโดยวิธี AARL-PP Score และ AARL-PC Score	238
ประวัติผู้วิจัย	259

สารบัญตาราง

ตารางที่	หน้า
1 Trophic state lists of Schiefele and Kohmann Trophic Index	28
2 Trophic index	29
3 Trophic state list of Rott <i>et al.</i> Saprobiic Index	29
4 The six classes of alkalinity, conductivity, nitrate nitrogen and SRP and the scores for calculation the Mae Sa Index	31
5 The seven classes include ammonium nitrogen, nitrate nitrogen and SRP and the scores for calculating the Ping and Nan Index	32
6 การแบ่งชั้นของแหล่งน้ำโดยยึดหลักเกณฑ์ของปริมาณไนเตรต	33
7 การแบ่งชั้นของแหล่งน้ำโดยยึดหลักเกณฑ์ของปริมาณ BOD และ O ₂ saturation และแอมโมเนียม	33
8 พิกัดทางภูมิศาสตร์ (GPS) ของจุดเก็บตัวอย่างในแม่น้ำโขงส่วนที่ไหลผ่าน จังหวัดอุบลราชธานี	48
9 ลำดับทางอนุกรมวิธานของไ道อะตอนที่พบในจุดเก็บตัวอย่าง 10 จุด ในแม่น้ำโขงส่วนที่ไหลผ่านจังหวัดอุบลราชธานี ระหว่างเดือนกุมภาพันธ์	
2550 ถึงเดือนกรกฎาคม 2551	91
10 ไ道อะตอนชนิดเด่นแสดงความถี่และเปอร์เซ็นต์การกระจายที่สูงสุด ในจุดเก็บตัวอย่างที่พบในแม่น้ำโขงส่วนที่ไหลผ่านจังหวัดอุบลราชธานี ระหว่าง เดือนกุมภาพันธ์ 2550 ถึงเดือนกรกฎาคม 2551	104

สารบัญตาราง (ต่อ)

ตารางที่	หน้า
11 คุณภาพน้ำในจุดเก็บตัวอย่าง 10 จุดในแม่น้ำโขงส่วนที่ไหลผ่านจังหวัดอุบราชธานี ระหว่างเดือนกุมภาพันธ์ 2550 ถึงเดือนมกราคม 2551 ประเมินโดยใช้ AARL-PC Score	108
12 คุณภาพน้ำในจุดเก็บตัวอย่าง 10 จุดในแม่น้ำโขงส่วนที่ไหลผ่านจังหวัดอุบราชธานี ระหว่างเดือนกุมภาพันธ์ 2550 ถึงเดือนมกราคม 2551 ประเมินโดยใช้ AARL-PP Score	109
13 เปรียบเทียบคุณภาพน้ำโดยใช้ AARL-PC Score และ AARL-PP Score ในแม่น้ำโขงส่วนที่ไหลผ่านจังหวัดอุบราชธานี ระหว่างเดือนกุมภาพันธ์ 2550 ถึงเดือนมกราคม	111
14 สารร้ายขนาดใหญ่ชนิดเด่นที่พบในแม่น้ำโขงส่วนที่ไหลผ่านจังหวัดอุบราชธานี ระหว่างเดือนกุมภาพันธ์ 2550 ถึงเดือนมกราคม 2551	148
15 สารร้ายขนาดใหญ่ตามดิวิชันต่างๆที่พบในแม่น้ำโขงส่วนที่ไหลผ่านจังหวัดอุบราชธานี ระหว่างเดือนกุมภาพันธ์ 2550 ถึงเดือนมกราคม 2551	16
16 ค่าคะแนน AARL-PC score ของจุดเก็บตัวอย่างน้ำในแม่น้ำโขงส่วนที่ไหลผ่าน 1 จังหวัดอุบราชธานี ระหว่างเดือนมกราคม 2550 ถึงเดือนกุมภาพันธ์ 255	169
17 โคดะตอมพื้นท้องน้ำชนิดเด่นในแม่น้ำโขงส่วนที่ไหลผ่านจังหวัดอุบราชธานี ระหว่างเดือนมกราคม 2550 ถึงเดือนกุมภาพันธ์ 2551 ที่สามารถใช้เป็นดัชนีบ่งชี้คุณภาพน้ำได้	172
18 ลักษณะของพื้นท้องน้ำของจุดเก็บตัวอย่างในแม่น้ำโขงส่วนที่ไหลผ่านจังหวัดอุบราชธานี ระหว่างเดือนกุมภาพันธ์ 2550 ถึงเดือนมกราคม 2551	186
19 ค่าดัชนี MPN ที่ระดับความเชื่อมั่น 95 % ของทดสอบที่ให้ผลบวกเมื่อใช้ระบบ 3 หลอด ของน้ำตรวจวิเคราะห์ 10 มิลลิลิตร 1.0 มิลลิลิตร และ 0.1 มิลลิลิตร	215
20 คุณภาพน้ำทางกายภาพ เคมี ชนิดและปริมาณของแพลงก์ตอนพืชในสถานภาพชั้นน้ำตามระดับความมากน้อยของสารอาหาร	224

สารบัญตาราง (ต่อ)

ตารางที่	หน้า
21 การจัดซื้อน้ำตามระดับความมากน้อยของฟอสฟอรัสรวม ในโตรเจน คลอโรฟิลล์ เอ และความถึกที่แสงส่องถึง	225
22 ค่ามาตรฐานคุณภาพน้ำในแหล่งน้ำผิวดิน	227
23 การจัดซื้อน้ำตามความมากน้อยของสารอาหาร คุณสมบัติน้ำทางกายภาพ เคมีและชีวภาพบางประการ และก่ออุ่นของแพลงก์ตอนพืชที่พบ เป็นชนิดเด่นในชั้นน้ำระดับต่างๆ	230
24 คุณภาพน้ำทางด้านกายภาพ เคมี และชีวภาพบางประการในแม่น้ำโขง บริเวณเขตอุบลราชธานี ระหว่างเดือนกุมภาพันธ์ 2550 ถึงเดือนกรกฎาคม 2551 อุบลราชธานี ระหว่างเดือนกุมภาพันธ์ 2550 ถึงเดือนกรกฎาคม 2551	232
25 คะแนนคุณภาพน้ำตามสถานะสารอาหาร (trophic status) และ คุณภาพน้ำทั่วไป	233
26 คะแนนของแพลงก์ตอนพืชแต่ละสกุลที่บ่งชี้คุณภาพน้ำต่างๆ (1-10 คะแนน) (คะแนนน้อยบ่งชี้คุณภาพน้ำดี คะแนนมากบ่งชี้คุณภาพน้ำไม่ดี)	241
27 ค่าพารามิเตอร์ต่างๆ ที่ใช้วิเคราะห์คุณภาพน้ำ และคะแนนมาตรฐาน	247
28 คะแนนคุณภาพน้ำตามระดับสารอาหารและคุณภาพน้ำทั่วไป	250
29 ค่าพารามิเตอร์ต่างๆ ที่ใช้วิเคราะห์คุณภาพน้ำในแหล่งน้ำไฮด และคะแนนมาตรฐาน	253
30 คะแนนคุณภาพน้ำตามระดับสารอาหารและคุณภาพน้ำทั่วไป	256

สารบัญภาพ

ภาพที่	หน้า
1 แผนที่แม่น้ำโขงที่ไทยผ่าน 6 ประเทศ ได้แก่ จีน พม่า ไทย ลาว กัมพูชา และเวียดนาม	46
2 ชุดเก็บตัวอย่างในแม่น้ำโขง ส่วนที่ไทยผ่านจังหวัดอุบลราชธานี ระหว่างเดือนกุมภาพันธ์ 2550 ถึงเดือนมกราคม 2551	47
3 ชุดเก็บตัวอย่างไครอตومพื้นท้องน้ำและสาหร่ายขนาดใหญ่ในแม่น้ำโขง ส่วนที่ไทยผ่านจังหวัดอุบลราชธานี ระหว่าง เดือนกุมภาพันธ์ 2550 ถึงเดือนมกราคม 2551	49
4 ระดับน้ำขึ้นสูงสุดและลงต่ำสุดในแม่น้ำโขงบริเวณ ย่างก้อเขมราฐ และย่างก้อโขงเจียม จังหวัดอุบลราชธานี ปี 2550	54
5 ปริมาณกระแสน้ำบริเวณย่างก้อโขงเจียม จังหวัดอุบลราชธานี ประเทศไทย และปริมาณกระแสน้ำบริเวณเขตเวียงจันทร์ ประเทศไทย	54
6 อุณหภูมิอากาศในแม่น้ำโขงส่วนที่ไทยผ่านจังหวัดอุบลราชธานี ระหว่างเดือนกุมภาพันธ์ 2550 ถึงเดือนมกราคม 2551	67
7 อุณหภูมน้ำในแม่น้ำโขงส่วนที่ไทยผ่านจังหวัดอุบลราชธานี ระหว่างเดือนกุมภาพันธ์ 2550 ถึงเดือนมกราคม 2551	68
8 ค่าความลึกที่แสงส่องถึงในแม่น้ำโขงส่วนที่ไทยผ่านจังหวัดอุบลราชธานี ระหว่างเดือนกุมภาพันธ์ 2550 ถึงเดือนมกราคม 2551	69
9 ค่าความลึกที่แสงส่องถึงของน้ำในถنقูฝนและถنقูแล้งในแม่น้ำโขง ส่วนที่ไทยผ่านจังหวัดอุบลราชธานี ระหว่างเดือนกุมภาพันธ์ 2550 ถึงเดือนมกราคม 2551	70
10 ค่าความเร็วของกระแสในแต่ละถنقูในแม่น้ำโขงส่วนที่ไทยผ่าน จังหวัดอุบลราชธานี ระหว่างเดือนกุมภาพันธ์ 2550 ถึงเดือนมกราคม 2551	71
11 ค่าการนำไฟฟ้า ในแม่น้ำโขงส่วนที่ไทยผ่านจังหวัดอุบลราชธานี ระหว่างเดือนกุมภาพันธ์ 2550 ถึงเดือนมกราคม 2551	72
12 ค่าการนำไฟฟ้าของน้ำในถنقูฝนและถنقูแล้งของแม่น้ำโขงส่วนที่ไทยผ่าน จังหวัดอุบลราชธานี ระหว่างเดือนกุมภาพันธ์ 2550 ถึงเดือนมกราคม 2551	73

สารบัญภาพ (ต่อ)

ภาพที่		หน้า
13	ค่า pH ในแม่น้ำโขงส่วนที่ไหลผ่านจังหวัดอุบลราชธานี ระหว่างเดือนกุมภาพันธ์ 2550 ถึงเดือนมกราคม 2551	74
14	ค่า pH ของน้ำของน้ำในถყฟันและถყแล้งของในแม่น้ำโขงส่วนที่ไหลผ่าน จังหวัดอุบลราชธานี ระหว่างเดือนกุมภาพันธ์ 2550 ถึงเดือนมกราคม 2551	75
15	ค่าความเป็นค่างในแม่น้ำโขงส่วนที่ไหลผ่านจังหวัดอุบลราชธานี ระหว่างเดือนกุมภาพันธ์ 2550 ถึงเดือนมกราคม 2551	76
16	ค่าความเป็นค่างของน้ำของน้ำในถყฟันและถყแล้งในแม่น้ำโขง ส่วนที่ไหลผ่านจังหวัดอุบลราชธานี ระหว่างเดือนกุมภาพันธ์ 2550 ถึงเดือนมกราคม 2551	77
17	ค่า DO ในแม่น้ำโขงส่วนที่ไหลผ่านจังหวัดอุบลราชธานี ระหว่างเดือนกุมภาพันธ์ 2550 ถึงเดือนมกราคม 2551	78
18	ค่าเบอร์เซ็นต์ความอิ่มตัวของออกซิเจน (percent oxygen saturation) ในถყฟันและถყแล้งแม่น้ำโขงส่วนที่ไหลผ่านจังหวัดอุบลราชธานี ระหว่างเดือนกุมภาพันธ์ 2550 ถึงเดือนมกราคม 2551	79
19	ค่า BOD ในแม่น้ำโขงส่วนที่ไหลผ่านจังหวัดอุบลราชธานี ระหว่างเดือนกุมภาพันธ์ 2550 ถึงเดือนมกราคม 2551	80
20	ปริมาณฟอสเฟตที่ละลายนำทั้งหมดในแม่น้ำโขงส่วนที่ไหลผ่าน จังหวัดอุบลราชธานี ระหว่างเดือนกุมภาพันธ์ 2550 ถึงเดือนมกราคม 2551	81
21	ปริมาณฟอสเฟตที่ละลายในนำทั้งหมดของน้ำในถყฟันและถყแล้ง ในแม่น้ำโขงส่วนที่ไหลผ่านจังหวัดอุบลราชธานี ระหว่างเดือนกุมภาพันธ์ 2550 ถึงเดือนมกราคม 2551	82
22	ปริมาณไนเตรทในแม่น้ำโขงส่วนที่ไหลผ่านจังหวัดอุบลราชธานี ระหว่างเดือนกุมภาพันธ์ 2550 ถึงเดือนมกราคม 2551	83
23	ปริมาณไนเตรทของน้ำในถყฟันและถყแล้งในแม่น้ำโขงส่วนที่ไหลผ่าน จังหวัดอุบลราชธานี ระหว่างเดือนกุมภาพันธ์ 2550 ถึงเดือนมกราคม 2551	84
24	ปริมาณคลอโรฟิลล์ เอ ในแม่น้ำโขงส่วนที่ไหลผ่านจังหวัดอุบลราชธานี ระหว่างเดือนกุมภาพันธ์ 2550 ถึงเดือนมกราคม 2551	85

สารบัญภาพ (ต่อ)

ภาพที่	หน้า
25 ปริมาณคลอโรฟิลล์เอ ของน้ำในถุดูฟันและถุดูแล้งในแม่น้ำโขงส่วนที่ให้ผลผ่านจังหวัดอุบลราชธานี ระหว่างเดือนกุมภาพันธ์ 2550 ถึงเดือนมกราคม 2551	86
26 ปริมาณโคลิฟอร์มเบคทีเรียทั้งหมดในแม่น้ำโขงส่วนที่ให้ผลผ่านจังหวัดอุบลราชธานีระหว่างเดือนกุมภาพันธ์ 2550 ถึงเดือนมกราคม 2551	87
27 ปริมาณฟิคัลโคลิฟอร์มเบคทีเรียในแม่น้ำโขงส่วนที่ให้ผลผ่านจังหวัดอุบลราชธานี ระหว่างเดือนกุมภาพันธ์ 2550 ถึงเดือนมกราคม 2551	88
28 จำนวนไโคอะตอมพื้นท้องน้ำทั้งหมดที่พบในแม่น้ำโขงส่วนที่ให้ผลผ่านจังหวัดอุบลราชธานี ระหว่างเดือนกุมภาพันธ์ 2550 ถึงเดือน มกราคม 2551	89
29 ผลการจัดกลุ่มจุดเก็บตัวอย่างโดยพิจารณาจากการพบไโคอะตอมพื้นท้องน้ำ ในแม่น้ำโขงส่วนที่ให้ผลผ่านจังหวัดอุบลราชธานี ระหว่างเดือนกุมภาพันธ์ 2550 ถึงเดือนมกราคม 2551 โดยวิธี Cluster analysis	106
30 ผลการจัดกลุ่มไโคอะตอมพื้นท้องน้ำที่พบในแม่น้ำโขง 10 จุด เก็บตัวอย่าง ในจังหวัดอุบลราชธานี ระหว่างเดือนกุมภาพันธ์ 2550 ถึงเดือนมกราคม 2551 ด้วยวิธี Cluster analysis	107
31 จำนวนเซลล์ของ <i>Gomphonema lagenula</i> Kützing ในแม่น้ำโขง ส่วนที่ให้ผลผ่านจังหวัดอุบลราชธานี ระหว่างเดือนกุมภาพันธ์ 2550 ถึงเดือนมกราคม 2551	112
32 จำนวนเซลล์ของ <i>Navicula viridula</i> (Kützing) Ehrenberg ในแม่น้ำโขง ส่วนที่ให้ผลผ่านจังหวัดอุบลราชธานี ระหว่างเดือนกุมภาพันธ์ 2550 ถึงเดือนมกราคม 2551	112
33 จำนวนเซลล์ของ <i>Nitzschia palea</i> (Kützing) W. Smith ในแม่น้ำโขง ส่วนที่ให้ผลผ่านจังหวัดอุบลราชธานี ระหว่างเดือนกุมภาพันธ์ 2550 ถึงเดือนมกราคม 2551	113

สารบัญภาพ (ต่อ)

ภาพที่	หน้า
34 จำนวนเซลล์ของ <i>Luticula goeppertiana</i> (Bleisch) D.C.Mann ในแม่น้ำโขงส่วนที่ไหลผ่านจังหวัดอุบลราชธานี ระหว่างเดือนกุมภาพันธ์ 2550 ถึงเดือนมกราคม 2551	113
35 จำนวนเซลล์ของ <i>Nitzschia liebetrichii</i> Rabenhorst ในแม่น้ำโขง ส่วนที่ไหลผ่านจังหวัดอุบลราชธานี ระหว่างเดือนกุมภาพันธ์ 2550 ถึงเดือนมกราคม 2551	114
36 จำนวนเซลล์ของ <i>Sellaphora pupula</i> (Kützing) Mereschkowsky ในแม่น้ำโขงส่วนที่ไหลผ่านจังหวัดอุบลราชธานี ระหว่างเดือนกุมภาพันธ์ 2550 ถึงเดือนมกราคม 2551	114
37 จำนวนเซลล์ของ <i>Navicula erifuga</i> Lange-Bertalot ในแม่น้ำโขงส่วนที่ ไหลผ่านจังหวัดอุบลราชธานี ระหว่างเดือนกุมภาพันธ์ 2550 ถึงเดือนมกราคม 2551	115
38 จำนวนเซลล์ของ <i>Cymbella tumida</i> (Brébisson) Van Heurck ในแม่น้ำโขงส่วนที่ไหลผ่านจังหวัดอุบลราชธานี ระหว่างเดือนกุมภาพันธ์ 2550 ถึงเดือนมกราคม 2551	115
39 จำนวนเซลล์ของ <i>Gomphonema clevei v. javanica</i> Hustedt ในแม่น้ำโขงส่วนที่ไหลผ่านจังหวัดอุบลราชธานี ระหว่างเดือนกุมภาพันธ์ 2550 ถึงเดือนมกราคม 2551	116
40 จำนวนเซลล์ของ <i>Cymbella turgidula</i> Grunow ในแม่น้ำโขง ส่วนที่ไหลผ่านจังหวัดอุบลราชธานี ระหว่างเดือนกุมภาพันธ์ 2550 ถึงเดือนมกราคม 2551	116
41 ไดอะตอนพื้นท้องน้ำในแม่น้ำโขงส่วนที่ไหลผ่านจังหวัดอุบลราชธานี ระหว่างเดือนกุมภาพันธ์ 2550 ถึงเดือนมกราคม 2551	117
42 ไดอะตอนพื้นท้องน้ำในแม่น้ำโขงส่วนที่ไหลผ่านจังหวัดอุบลราชธานี ระหว่างเดือนกุมภาพันธ์ 2550 ถึงเดือนมกราคม 2551	118
43 ไดอะตอนพื้นท้องน้ำในแม่น้ำโขงส่วนที่ไหลผ่านจังหวัดอุบลราชธานี ระหว่างเดือนกุมภาพันธ์ 2550 ถึงเดือนมกราคม 2551	119

สารบัญภาพ (ต่อ)

สารบัญภาพ (ต่อ)

สารบัญภาพ (ต่อ)

ภาพที่	หน้า
70 โคอะตอนพื้นท้องน้ำในแม่น้ำโขงส่วนที่ไหลผ่านจังหวัดอุบลราชธานีระหว่างเดือนกุมภาพันธ์ 2550 ถึงเดือนมกราคม 2551	146
71 สาหร่ายนาคใหญ่ชนิดเด่นที่พบในแม่น้ำโขงส่วนที่ไหลผ่านจังหวัดอุบลราชธานี ระหว่างเดือนกุมภาพันธ์ 2550 ถึงเดือนมกราคม 2551	150
72 สาหร่ายนาคใหญ่ชนิดเด่นที่พบในแม่น้ำโขงส่วนที่ไหลผ่านจังหวัดอุบลราชธานี ระหว่างเดือนกุมภาพันธ์ 2550 ถึงเดือนมกราคม 2551	151
73 สาหร่ายนาคใหญ่ชนิดเด่นที่พบในแม่น้ำโขงส่วนที่ไหลผ่านจังหวัดอุบลราชธานี ระหว่างเดือนกุมภาพันธ์ 2550 ถึงเดือนมกราคม 2551	152
74 <i>Cladophora glomerata</i> Kützing ที่พบในแม่น้ำโขงส่วนที่ไหลผ่านจังหวัดอุบลราชธานี ระหว่างเดือนกุมภาพันธ์ 2550 ถึงเดือนมกราคม 2551	153
75 สาหร่ายนาคใหญ่ชนิดเด่นที่พบในแม่น้ำโขงส่วนที่ไหลผ่านจังหวัดอุบลราชธานี ระหว่างเดือนกุมภาพันธ์ 2550 ถึงเดือนมกราคม 2551	154
76 สาหร่ายนาคใหญ่ชนิดเด่นที่พบในแม่น้ำโขงส่วนที่ไหลผ่านจังหวัดอุบลราชธานี ระหว่างเดือนกุมภาพันธ์ 2550 ถึงเดือนมกราคม 2551	155
77 <i>Hyrdodictyon</i> sp. ที่พบในแม่น้ำโขงส่วนที่ไหลผ่านจังหวัดอุบลราชธานี ระหว่างเดือนกุมภาพันธ์ 2550 ถึงเดือนมกราคม 2551	156
78 <i>Hyrdodictyon</i> sp. ที่พบในแม่น้ำโขงส่วนที่ไหลผ่านจังหวัดอุบลราชธานี ระหว่างเดือนกุมภาพันธ์ 2550 ถึงเดือนมกราคม 2551	157
79 สาหร่ายนาคใหญ่ <i>Spirogyra</i> spp., <i>Cladophora glomerata</i> Kützing และ <i>Microspora</i> spp. ที่พบในเดือนกุมภาพันธ์ 2550 จุดเก็บตัวอย่างที่ 2 ในแม่น้ำโขงส่วนที่ไหลผ่านจังหวัดอุบลราชธานี	158
80 สาหร่ายนาคใหญ่ <i>Cladophora glomerata</i> Kützing และ <i>Microspora</i> spp. ที่พบในเดือนกุมภาพันธ์ 2550 จุดเก็บตัวอย่างที่ 4 ในแม่น้ำโขงส่วนที่ไหลผ่านจังหวัดอุบลราชธานี	158
81 สาหร่ายนาคใหญ่ <i>Cladophora glomerata</i> Kützing และ <i>Microspora</i> spp. ที่พบในเดือนกุมภาพันธ์ 2550 จุดเก็บตัวอย่างที่ 6 ในแม่น้ำโขงส่วนที่ไหลผ่านจังหวัดอุบลราชธานี	159

สารบัญภาพ (ต่อ)

ภาพที่	หน้า
82 สาหร่ายนาดใหญ่ <i>Spirogyra</i> spp., <i>Cladophora glomerata</i> Kützing และ <i>Microspora</i> spp. ขณะเริ่มเกิดการเจริญแทนที่ ในเดือนกุมภาพันธ์ 2550 จุดเก็บตัวอย่างที่ 6 ในแม่น้ำโขงส่วนที่ แหล่งผ่านจังหวัดอุบลราชธานี	159
83 สาหร่ายนาดใหญ่ <i>Spirogyra</i> spp., <i>Cladophora glomerata</i> Kützing และ <i>Microspora</i> spp. ขณะเริ่มเกิดการเจริญแทนที่ ในเดือนกุมภาพันธ์ 2550 จุดเก็บตัวอย่างที่ 6 ในแม่น้ำโขงส่วนที่ แหล่งผ่านจังหวัดอุบลราชธานี	160
84 สาหร่ายนาดใหญ่ <i>Spirogyra</i> spp. ที่พบริเวณเดือนกุมภาพันธ์ 2550 จุดเก็บตัวอย่างที่ 6 ในแม่น้ำโขงส่วนที่ แหล่งผ่านจังหวัดอุบลราชธานี	161
85 สาหร่ายนาดใหญ่ <i>Cladophora glomerata</i> Kützing และ <i>Microspora</i> spp. ที่พบริเวณเดือนกุมภาพันธ์ 2550 จุดเก็บตัวอย่างที่ 8 ในแม่น้ำโขง ส่วนที่ แหล่งผ่านจังหวัดอุบลราชธานี	161
86 สาหร่ายนาดใหญ่ <i>Cladophora glomerata</i> Kützing และ <i>Microspora</i> spp. ที่พบริเวณเดือนกุมภาพันธ์ 2550 จุดเก็บตัวอย่างที่ 7 ในแม่น้ำโขง ส่วนที่ แหล่งผ่านจังหวัดอุบลราชธานี	162
87 สาหร่ายนาดใหญ่ <i>Cladophora glomerata</i> Kützing และ <i>Microspora</i> spp. ที่พบริเวณเดือนกุมภาพันธ์ 2550 จุดเก็บตัวอย่างที่ 9 ในแม่น้ำโขง ส่วนที่ แหล่งผ่านจังหวัดอุบลราชธานี	163
88 สาหร่ายนาดใหญ่ <i>Cladophora glomerata</i> Kützing และ <i>Microspora</i> spp. ที่พบริเวณเดือนมีนาคม 2550 จุดเก็บตัวอย่างที่ 4 ในแม่น้ำโขง ส่วนที่ แหล่งผ่านจังหวัดอุบลราชธานี	163
89 <i>Spirogyra</i> spp. ที่พบริเวณแม่น้ำโขงส่วนที่ แหล่งผ่านจังหวัดอุบลราชธานี ในเดือนมีนาคม 2550	164
90 สาหร่ายนาดใหญ่ <i>Cladophora glomerata</i> Kützing และ <i>Microspora</i> spp. ที่พบริเวณเดือนมีนาคม 2550 จุดเก็บตัวอย่างที่ 7 ในแม่น้ำโขง ส่วนที่ แหล่งผ่านจังหวัดอุบลราชธานี	164

สารบัญภาพ (ต่อ)

ภาพที่	หน้า
91 สาหร่ายนาดใหญ่ <i>Oscillatoria princeps</i> Vaucher ที่พบ ในเดือนเมษายน 2550 จุดเก็บตัวอย่างที่ 6 ในแม่น้ำโขง ส่วนที่ไหลผ่านจังหวัดอุบลราชธานี	165
92 สาหร่ายนาดใหญ่ <i>Cladophora glomerata</i> Kützing, <i>Microspora</i> spp. และ <i>Oscillatoria princeps</i> Vaucher ที่พบในเดือนเมษายน 2550 จุดเก็บตัวอย่างที่ 6 ในแม่น้ำโขงส่วนที่ไหลผ่านจังหวัดอุบลราชธานี	165
93 <i>Cladophora glomerata</i> Kützing และ <i>Microspora</i> spp. ที่เจริญคล่องแฉะ [*] เริ่มตาย บริเวณพื้นท้องน้ำ และ <i>Oscillatoria princeps</i> Vaucher ที่เจริญปกคลุม [*] สาหร่ายนาดใหญ่กลุ่มอื่น และถอยขึ้นสู่ผิวน้ำเมื่อพื้นท้องน้ำถูกกรนกวน [*] โดยพบในเดือนเมษายน 2550 จุดเก็บตัวอย่างที่ 6 ในแม่น้ำโขง ส่วนที่ไหลผ่านจังหวัดอุบลราชธานี	166
94 สาหร่ายนาดใหญ่ <i>Cladophora glomerata</i> Kützing และ <i>Microspora</i> spp. ที่พบในเดือนพฤษภาคม 2550 จุดเก็บตัวอย่างที่ 1 ในแม่น้ำโขง ส่วนที่ไหลผ่านจังหวัดอุบลราชธานี	167
95 ความสัมพันธ์ของโคอะตอนพื้นท้องน้ำชนิดเด่น และคุณภาพน้ำ [*] ในแต่ละเดือน ในแม่น้ำโขงส่วนที่ไหลผ่านจังหวัดอุบลราชธานี ระหว่างเดือนกุมภาพันธ์ 2550 ถึงเดือนมกราคม 2551 ในแม่น้ำโขง ส่วนที่ไหลผ่านจังหวัดอุบลราชธานี ระหว่างเดือนกุมภาพันธ์ 2550 ถึงเดือนมกราคม 2551	173
96 ความสัมพันธ์ของพารามิเตอร์ต่างๆ ในแม่น้ำโขงส่วนที่ไหลผ่านจังหวัด อุบลราชธานี ระหว่างเดือนกุมภาพันธ์ 2550 ถึงเดือนมกราคม 2551	174
97 ความสัมพันธ์ระหว่างร้อยละของ <i>Nitzschia palea</i> (Kützing) W. Smith และ [*] ปริมาณในเตรทในโตรเจนของน้ำ ในแม่น้ำโขงส่วนที่ไหลผ่านจังหวัด อุบลราชธานี ระหว่างเดือนกุมภาพันธ์ 2550 ถึงเดือนมกราคม 2551	175
98 ปริมาณสาหร่ายนาดใหญ่ <i>Spirogyra</i> sp. 1 ที่มีความสัมพันธ์กับปริมาณ ในเตรทในโตรเจน ในแม่น้ำโขง ส่วนที่ไหลผ่านจังหวัดอุบลราชธานี ระหว่าง เดือนกุมภาพันธ์ 2550 ถึงเดือนมกราคม 2551	176

สารบัญภาค (ต่อ)

ภาพที่	หน้า
99 ปริมาณสาหร่ายขนาดใหญ่ <i>Spirogyra</i> sp.1 ที่มีความสัมพันธ์กับปริมาณ ออร์โธฟอสเฟต ในแม่น้ำโขง ส่วนที่ไหลผ่านจังหวัดอุบลราชธานี ระหว่างเดือนกุมภาพันธ์ 2550 ถึงเดือนมกราคม 2551	177
100 ปริมาณสาหร่ายขนาดใหญ่ <i>Spirogyra</i> sp.1 ที่มีความสัมพันธ์กับค่าความลึก ที่แสดงส่องถึงในแม่น้ำโขง ส่วนที่ไหลผ่านจังหวัดอุบลราชธานี ระหว่างเดือนกุมภาพันธ์ 2550 ถึงเดือนมกราคม 2551	178
101 ปริมาณสาหร่ายขนาดใหญ่ <i>Cladophora glomerata</i> Kützing ที่มีความสัมพันธ์กับปริมาณไนเตรต ในโตรเจนในแม่น้ำโขง ส่วนที่ไหลผ่านจังหวัดอุบลราชธานี ระหว่างเดือนกุมภาพันธ์ 2550 ถึงเดือนมกราคม 2551	179
102 ปริมาณสาหร่ายขนาดใหญ่ <i>Cladophora glomerata</i> Kützing ที่มีความสัมพันธ์กับปริมาณออร์โธฟอสเฟตในแม่น้ำโขง ส่วนที่ไหลผ่าน จังหวัดอุบลราชธานี ระหว่าง เดือนกุมภาพันธ์ 2550 ถึงเดือนมกราคม 2551	180
103 ปริมาณสาหร่ายขนาดใหญ่ <i>Cladophora glomerata</i> Kützing ที่มีความสัมพันธ์กับค่าความลึกที่แสดงส่องถึงในแม่น้ำโขง ส่วนที่ไหลผ่าน จังหวัดอุบลราชธานี ระหว่างเดือนกุมภาพันธ์ 2550 ถึงเดือนมกราคม 2551	181
104 ปริมาณสาหร่ายขนาดใหญ่ <i>Microspora pachyderma</i> (Wille) Lagerheim ที่มีความสัมพันธ์กับปริมาณไนเตรต ในโตรเจนในแม่น้ำโขง ส่วนที่ ไหลผ่านจังหวัดอุบลราชธานี ระหว่างเดือนกุมภาพันธ์ 2550 ถึงเดือนมกราคม 2551	182
105 ปริมาณสาหร่ายขนาดใหญ่ <i>Microspora pachyderma</i> (Wille) Lagerheim ที่มีความสัมพันธ์กับปริมาณออร์โธฟอสเฟตในแม่น้ำโขง ส่วนที่ ไหลผ่านจังหวัดอุบลราชธานี ระหว่างเดือนกุมภาพันธ์ 2550 ถึงเดือนมกราคม 2551	183

สารบัญภาพ (ต่อ)

ภาพที่	หน้า
106 ปริมาณสาหร่ายขนาดใหญ่ <i>Microspora pachyderma</i> (Wille) Lagerheim ที่มีความสัมพันธ์กับค่าความลึกที่แสงส่องถึงในแม่น้ำโขง ส่วนที่ไหลผ่าน ^{จังหวัดอุบลราชธานี ระหว่างเดือนกุมภาพันธ์ 2550 ถึงเดือนมกราคม 2551}	184
107 แพลงก์ตอนพืชสกุลเด่นบ่งชี้คุณภาพน้ำตามระดับคะแนน (คะแนนน้อยบ่งชี้ ^{คุณภาพน้ำดี คะแนนมากบ่งชี้คุณภาพน้ำไม่ดี)}	241

บทคัดย่อ

ชื่อเรื่อง : ความหลากหลายของไคลอตอมพื้นท้องน้ำและสาหร่ายขนาดใหญ่
และคุณภาพน้ำในแม่น้ำโขงส่วนที่ไหลผ่านจังหวัดอุบลราชธานี

โดย : ปริญญา มูลสิน

ชื่อปริญญา : ปรัชญาคุณวีบัณฑิต

สาขาวิชา : เทคโนโลยีชีวภาพ

ประธานกรรมการที่ปรึกษา : ผู้ช่วยศาสตราจารย์ ดร.อรัญญา พิมพ์มงคล

คำพิเศษคัญ : ไคลอตอมพื้นท้องน้ำ สาหร่ายขนาดใหญ่ เม่น้ำโขง ดัชนีทางชีวภาพ

การศึกษาความหลากหลายของไคลอตอมพื้นท้องน้ำและสาหร่ายขนาดใหญ่ในแม่น้ำ
โขงส่วนที่ไหลผ่านจังหวัดอุบลราชธานี 10 ชุด ระหว่าง เดือนกุมภาพันธ์ 2550 ถึงเดือนกรกฎาคม
2551 ผลการศึกษาพบไคลอตอมพื้นท้องน้ำทั้งหมด 307 ชนิด ชนิดเด่นได้แก่ *Gomphonema*
lagenula Kützing รองลงมาคือ *Navicula rostellata* Kützing, *Nitzschia palea* (Kützing) W.Smith,
Luticola goeppertia (Bleisch) D.G.Mann, *Nitzschia liebetrichii* Robenhorst, *Sellaphora pupula*
(Kützing) Mereschkowsky, *Navicula erifuga* Lange-Bertalot และ *Cymbella tumida* (Brébisson)
Van Heurck ตามลำดับ ไคลอตอมที่มีแนวโน้มจะเป็นชนิดใหม่มีทั้งหมด 3 ชนิด ได้แก่ *Geissleria*
sp. UBU-MK1, *Gomphonema* sp.1 UBU-MK2 และ *Gomphonema* sp.2 UBU-MK3 และไคลอตอม
ที่มีแนวโน้มเป็น variety ใหม่ 1 variety คือ *Pinnularia divergentissima* UBU-MK4 พบราก
ขนาดใหญ่ 38 ชนิด ที่เป็นชนิดเด่นคือ *Spirogyra* spp. ซึ่งพบหลายชนิด รองลงมาคือ *Cladophora*
glomerata Kützing, *Microspora pachyderma* (Wille) Lagerheim และ *Microspora* sp.1 UBU MK5
ตามลำดับ สาหร่ายขนาดใหญ่ที่มีแนวโน้มเป็นชนิดใหม่มี 1 ชนิด คือ *Microspora* sp.1 UBU MK5

คุณภาพน้ำในแม่น้ำทุกจุดเก็บตัวอย่างในแม่น้ำโขงส่วนที่ไหลผ่านจังหวัดอุบลราชธานีมี
คุณภาพน้ำใกล้เคียงกัน คือมีคุณภาพน้ำปานกลาง มีสารอาหารปานกลาง (mesotrophic) ได้แก่ บ้าน
นาเมือง วัดปากเซง บ้านตามุย บ้านนาสนา� หลังตลาดในเทศบาลอำเภอเขมราฐ และหาดวิจิตร
จุดที่จัดเป็นแหล่งน้ำที่มีคุณภาพน้ำปานกลางถึงไม่ตี มีสารอาหารปานกลางถึงสูง (mesotrophic to
eutrophic) ได้แก่ แก่งช้างหนองบ้านกุ่ม บ้านด่านและบ้านหวยไฝ

ผลการวิเคราะห์ทางสถิติโดยใช้ชนิดและปริมาณของสาหร่ายขนาดใหญ่ร่วมกับคุณภาพน้ำในแต่ละชุดเก็บตัวอย่าง พนว่า โคลอตตอนพื้นท้องน้ำและสาหร่ายขนาดใหญ่หลายชนิดสามารถนำมาใช้ในการบ่งชี้คุณภาพน้ำได้ โดยโคลอตตอนพื้นท้องน้ำ *Cymbella tumida* (Brébisson) Van Heurck และ *Navicula erifuga* Lange-Bertalot สามารถใช้เป็นดัชนีบ่งชี้น้ำที่มีคุณภาพน้ำปานกลาง มีสารอาหารปานกลาง และกุ่มที่ 2 ได้แก่ *Cymbella turgidula* Grunow, *Gomphonema clevei* var. *javanica* Hustedt, *Luticola goeppertia* (Bleisch) D. C. Mann, *Nitzschia liebetruhii* Rabenhorst และ *Nitzschia palea* (Kützing) W. Smith สามารถใช้เป็นดัชนีบ่งชี้น้ำที่มีคุณภาพปานกลางถึงไม่ดี มีสารอาหารปานกลางถึงสูงได้ สาหร่ายขนาดใหญ่ *Spirogyra* sp.1, *Spirogyra* sp.2, *Cladophora glomerata* Kützing, *Microspora pachyderma* (Wille) Lagerheim และ *Microspora* sp. สามารถใช้เพื่อบ่งชี้แหล่งน้ำที่มีคุณภาพน้ำปานกลาง มีสารอาหารปานกลางได้ *Oscillatoria princeps* Vaucher สามารถใช้เพื่อบ่งชี้แหล่งน้ำที่มีคุณภาพปานกลางถึงไม่ดี มีสารอาหารปานกลางถึงสูงได้

Abstract

THESIS : DIVERSITY OF BENTHIC DIATOMS AND MACROALGAE AND WATER
QUALITY IN MEKONG RIVER IN THE VICINITY OF Ubon
Ratchathani Province

BY : PARINYA MOONSIN

DEGREE : DOCTOR OF PHILOSOPHY

MAJOR : BIOTECHNOLOGY

CHAIR : ASSISTANCE PROFESSOR ARANYA PIMMONGKOL, Ph.D.

KEYWORDS : BENTHIC / DIATOM / MACROALGAE / MEKONG / RIVER /
BIOINDICATOR

Samples were collected from 10 stations in Mekong river in Ubon Ratchathani, Thailand, during February 2007 to January 2008 for studying on diversity of benthic diatoms and macroalgae. Three hundred and seven species of benthic diatoms were found. The majority of them were *Gomphonema lagenula* Kützing, *Navicula rostellata* Kützing, *Nitzschia palea* (Kützing) W.Smith, *Luticola goeppertia* (Bleisch) D.G.Mann, *Nitzschia liebetrichii* Rabenhorst, *Sellaphora pupula* (Kützing) Mereschkowsky, *Navicula erifuga* Lange-Bertalot and *Cymbella tumida* (Brébisson) Van Heurck respectively. Three species of benthic diatoms (*Geissleria* sp. UBU-MK1, *Gomphonema* sp.1 UBU-MK2 and *Gomphonema* sp.2 UBU-MK3) trend to be new species. *Pinnularia divergentissima* var. UBU-MK4 trend to be new variety. Thirty eighth species of macroalgae were found. The majority were *Spirogyra* spp., *Cladophora glomerata* Kützing, *Microspora pachyderma* (Wille) Lagerheim and *Microspora* sp.1 UBU-MK5 respectively. *Microspora* sp.1 UBU-MK5 trend to be new species.

Water qualities were similar in every sampling sites, which in moderately or mesotrophic status. Ban Na Muang, Pak Seang Temple, Ban Ta Mui, Ban Na Sanarm, behind Municipality Market and Wigitra Beach had moderately water quality or mesotrophic status.

Chang Mop Cataract, Ban Koom, Ban Dan and Ban Huay Pai had moderately to polluted water quality or mesotrophic to eutrophic status.

The Multivariate Statistical Package (MVSP) version 3.1, particularly Principal Correspondence Analysis (PCA) and Cluster Analysis were used to determine the indicator species for water quality. It was found that benthic diatoms : *Cymbella tumida* (Brébisson) Van Heurck and *Navicula erifuga* Lange-Bertalot could be use as indicators for mesotrophic status, whereas *Cymbella turgidula* Grunow, *Gomphonema clevei* var. *javanica* Hustedt, *Luticola goeppertia* (Bleisch) D. C. Mann, *Nitzschia liebetrichii* Rabenhorst and *Nitzschia palea* (Kützing) W. Smith could be used as indicators for meso-eutrophic status. Macroalgae : *Spirogyra* sp.1, *Spirogyra* sp.2, *Cladophora glomerata* Kützing, *Microspora pachyderma* (Wille) Lagerheim and *Microspora* sp.1 UBU-MK5 could be indications of mesotrophic status.

บทที่ 1

บทนำ

1.1 ความสำคัญและที่มาของการวิจัย

แม่น้ำโขงเป็นแม่น้ำสายใหญ่ของโลก ยาวประมาณ 4,909 กิโลเมตร ยาวเป็นอันดับ 10 ของโลก มีพื้นที่ชั่วโมงประมาณ 795,000 ตารางกิโลเมตร ในทุก ๆ ปี ปริมาณน้ำจากแม่น้ำโขงไหลลงสู่ทะเลจีนใต้เฉลี่ยสูงถึง 475,000 ล้านลูกบาศก์เมตร มีต้นน้ำอยู่บนภูเขาจีฟู ส่วนหนึ่งของเทือกเขาหิมาลัยบนที่ราบสูงทิเบต เขตจังหวัดหยุ่น ประเทศจีน โดยมีแม่น้ำเจ้าคูและแม่น้ำอาคูไหลมาร่วมกัน มีชื่อเรียกเป็นภาษาของไทยอีกด้วย ซึ่งเป็นชนชาติที่อาศัยอยู่ริมแม่น้ำโขงในดินแดนสีบสองปันนาว่า “แม่น้ำล้านช้าง” หรือชาวจีนเรียกว่า “แม่น้ำหกแสนช้าง” ซึ่งความถึง แม่น้ำที่ไหลเชี่ยวกราก แม่น้ำโขงไหลผ่าน 6 ประเทศ คือ จีน พม่า ไทย ลาว กัมพูชา และ ไนซ์ ไหลออกทางเวียดนามลงสู่ทะเลจีนใต้ต่อไป แม่น้ำโขงส่วนที่ไหลผ่านประเทศไทยมีความยาวประมาณ 976 กิโลเมตร เริ่มจากภาคเหนือที่บริเวณจังหวัดเชียงราย จนน้ำไหลเข้าสู่ประเทศไทย และ ไหลลงลับมาผ่านประเทศไทยโดยเป็นพรมแดนกั้นระหว่างไทยและลาวอีกริม เริ่มจากจังหวัดเดย หนองคาย นครพนม นุกดาหาร อำนาจเจริญ และอุบลราชธานี รวมระยะทางที่ไหลผ่านจังหวัดอุบลราชธานีเป็นระยะทางประมาณ 150 กิโลเมตร ณ จังหวัดอุบลราชธานีนี้เป็นจุดสิ้นสุดของแม่น้ำโขงที่ไหลผ่านประเทศไทย โดยไหลลงสู่ประเทศไทยอีกริมหนึ่ง ณ บริเวณบ้านค่าน อำเภอโขงเจียม จังหวัดอุบลราชธานี แม่น้ำโขงมีความหลากหลายของพันธุ์พืช และพันธุ์ปลามาก แม่น้ำโขงจัดได้ว่ามีความหลากหลายของชนิดพันธุ์ปลามากเป็นอันดับ 3 ของโลก รองจากแม่น้ำอะเมซอนในทวีปอเมริกาใต้ และแม่น้ำแพร์ในทวีปแอฟริกา แม่น้ำโขงตอนบนจะได้รับน้ำจากการละลายของภูเขาหิมะเป็นส่วนใหญ่ เช่น จากเทือกเขาหิมะเหม่ยลี่ ในแขวงกีด้า ส่วนตอนล่างได้รับน้ำจากเทือกเขาต่าง ๆ ที่ไหลลงสู่แม่น้ำสาขาง่องแม่น้ำโขง รวมทั้งจากฝุ่นในดินสูตรสูงตะวันตกเฉียงใต้ การที่แม่น้ำโขงได้ไหลผ่านภูมิประเทศที่แตกต่างกันมาก many จึงทำให้แม่น้ำโขงมีความหลากหลายของทรัพยากรธรรมชาติ มีความหลากหลายของสาหร่าย พืชและปลาที่หลากหลายและอุดมสมบูรณ์ มีความเหมาะสมต่อการศึกษาด้านความหลากหลายทางชีวภาพของสิ่งมีชีวิตทั้งนี้ข้อมูลที่ได้จะเป็นข้อมูลเบื้องต้นในการอนุรักษ์และใช้ประโยชน์จากทรัพยากรธรรมชาติอย่างยั่งยืน ได้ต่อไป

สาหร่าย (algae) เป็นกลุ่มสิ่งมีชีวิตที่สร้างอาหารได้เอง และผลิตออกซิเจนผ่านกระบวนการสังเคราะห์แสง สาหร่ายมีขนาดแตกต่างกันมากอาจประกอบด้วยเซลล์เดียวขนาดของเซลล์เล็กใกล้เคียงกับแบคทีเรีย สาหร่ายบางชนิดประกอบด้วยเซลล์หลายเซลล์ที่มีการจัดเรียงตัวกันเป็นเส้นสาย หรือโคลนิ แต่ยังไม่มีการรวมกันหรือพัฒนาของกลุ่มเซลล์มาร่วมกันเป็นเนื้อเยื่อและอวัยวะที่ทำหน้าที่เฉพาะและซับซ้อน เช่น ที่พบได้ในพืชชั้นสูง ยกเว้นในสาหร่ายน้ำจืดบางชนิดและสาหร่ายทะเลส่วนใหญ่จะมีทัลลัส (thallus) ที่เริ่มมีการพัฒนาและการทำงานร่วมกันของกลุ่มเซลล์ที่มีลักษณะใกล้เคียงกับที่พบได้ในพืชชั้นสูง เช่น เนื้อเยื่อลำเดียวอาหารประเทกซีพทิวบ์ (sieve tube) ที่พบได้ใน *Macrocystis* spp. ซึ่งขนาดของทัลลัสอาจยาวถึงหลายร้อยฟุตและคล้ายพืชชั้นสูง สาหร่ายเป็นอาหารของแพลงก์ตอนสัตว์และสัตว์น้ำขนาดเล็ก และขนาดใหญ่ สำหรับสาหร่ายในแม่น้ำโขงที่มีการเจริญอย่างเด่นชัด ได้แก่ สาหร่ายขนาดใหญ่ (macroalgae) เช่นกลุ่มของเทาน้ำ (*Spirogyra* spp.) และไก (*Cladophora* spp. และ *Microspora* spp.) นอกจากนี้ยังมีสาหร่ายอีกกลุ่มหนึ่งที่เจริญรุ่งเรืองกับวัตถุพื้นท้องน้ำคือ ไดอะตอมพื้นท้องน้ำ (benthic diatoms) ที่สามารถนำมาใช้เพื่อเป็นตัวชี้วัดคุณภาพของแม่น้ำโขงได้ ทั้งนี้ได้เคยมีการนำสาหร่ายขนาดใหญ่และไดอะตอมพื้นท้องน้ำมาใช้เป็นตัวชี้วัดคุณภาพน้ำของแหล่งน้ำใหญ่ในแม่น้ำและดำรงที่สำคัญทั้งในประเทศไทยและต่างประเทศ อาทิเช่น Margarita (1994) ใช้ไดอะตومเป็นตัวชี้วัดการปนเปื้อนของแม่น้ำ Rio Gran de Tarcoles basin และ Savergre basin ใน Costa Rica ในอเมริกาทางการศึกษาของ Rott (1995) พัฒนาไดอะตอมพื้นท้องน้ำเป็นตัวชี้วัดคุณภาพน้ำในแม่น้ำ Grand ในแคริบัน Ontario ประเทศไทยและแคนาดา การศึกษา Kelly (1998) ได้สร้างตัวชี้วัดคุณภาพน้ำโดยใช้ไดอะตอมเป็นตัวชี้วัดคุณภาพน้ำ (Trophic Diatom Index, TDI) ประสิทธิ์ (2541) ได้ศึกษาความหลากหลายของสาหร่ายขนาดใหญ่และเบนทิกออลจิในลำน้ำแม่สา จังหวัดเชียงใหม่ ระหว่างเดือนมีนาคม 2540 – กุมภาพันธ์ 2541 จาก 6 จุดเก็บตัวอย่าง ตามระดับความสูงจากน้ำทะเล 650 – 1,075 เมตร

งานวิจัยนี้ได้ทำการศึกษาความหลากหลายของสาหร่ายขนาดใหญ่และไดอะตอมพื้นท้องน้ำในแม่น้ำโขงส่วนที่ไหลผ่านอำเภอเบنمราฐ กิ่งอำเภอตาตลาด และอำเภอโขงเจียม ในจังหวัดอุบลราชธานี ซึ่งเป็นชายแดนติดต่อกันระหว่างประเทศไทยและประเทศลาว นอกจากนี้บริเวณบ้านค่าน อำเภอโขงเจียมยังเป็นจุดที่แม่น้ำมูลซึ่งเป็นแม่น้ำสาขาของแม่น้ำโขงไหลมาบรรจบกับแม่น้ำโขงและบริเวณนี้มีเอกลักษณ์ที่เด่นชัดคือ แม่น้ำที่มีองค์หนึ่นเป็น 2 สี คือโงสีปูนแดง มูลสีคราม นอกจากนี้บริเวณนี้ยังเป็นสถานที่ท่องเที่ยวจุดสำคัญอีกจุดหนึ่งของจังหวัดอุบลราชธานี ชุมชนที่อาศัยอยู่บริเวณนี้มีผู้คนมากมายจากแม่น้ำโขง อาทิเช่น ด้านการประมง การก่อสร้าง เกษตรกรรม การท่องเที่ยวและการค้าขาย เป็นต้น

นอกจากนี้งานวิจัยนี้ยังได้นำข้อมูลความหลากหลายและจำนวนของสาหร่ายขนาดใหญ่ และได้อะตอมพื้นท้องน้ำมาวิเคราะห์หาความสัมพันธ์เพื่อนำมาใช้เป็นค่าชี้วัดและติดตาม ตรวจสอบคุณภาพน้ำในแม่น้ำโขง (Mekong Trophic Diatom Index, MKTDI and Mekong Trophic Macroalgae Index, MKTMI) เพื่อชี้วัดคุณภาพน้ำในแม่น้ำโขงต่อไปได้และอาจใช้ชี้วัดคุณภาพน้ำใน แม่น้ำสายอื่นที่อยู่ในภูมิภาคเดียวกันได้

1.2 วัตถุประสงค์

- 1.2.1 ศึกษาความหลากหลายของไดอะตอมพื้นท้องน้ำและสาหร่ายขนาดใหญ่ในแม่น้ำ โขงส่วนที่ไหลผ่านจังหวัดอุบลราชธานี
- 1.2.2 ศึกษาคุณภาพน้ำทางด้านกายภาพ เคมี และชีวภาพบางประการในแม่น้ำโขงส่วนที่ ไหลผ่านจังหวัดอุบลราชธานี
- 1.2.3 เพื่อสร้างค่าชี้วัดสารอาหารจากไดอะตอมพื้นท้องน้ำและสาหร่ายขนาดใหญ่ ในแม่น้ำโขงส่วนที่ไหลผ่านจังหวัดอุบลราชธานี เพื่อใช้ประเมินคุณภาพน้ำ

1.3 ประโยชน์ที่คาดว่าจะได้รับ

- 1.3.1 ได้ข้อมูลความหลากหลายของไดอะตอมพื้นท้องน้ำและสาหร่ายขนาดใหญ่ใน แม่น้ำโขง ส่วนที่ไหลผ่านจังหวัดอุบลราชธานี
- 1.3.2 ได้ข้อมูลคุณภาพน้ำทางด้านกายภาพ เคมี และชีวภาพบางประการในแม่น้ำโขง ส่วนที่ไหลผ่านจังหวัดอุบลราชธานี
- 1.3.2 ได้ดัชนีชี้วัดสารอาหารจากไดอะตอมพื้นท้องน้ำและสาหร่ายขนาดใหญ่ในแม่น้ำ โขงส่วนที่ไหลผ่านจังหวัดอุบลราชธานี

1.4 ขอบเขตงานวิจัย

เป็นการวิจัยเพื่อเก็บรวบรวมข้อมูลความหลากหลายทางชีวภาพของไดอะตอมพื้น ท้องน้ำและสาหร่ายขนาดใหญ่ ควบคู่กับการวิเคราะห์คุณภาพน้ำทางด้านกายภาพ เคมี และชีวภาพ บางประการในแม่น้ำโขงส่วนที่ไหลผ่านอำเภอเมืองราชบูรณะ กิ่งอำเภอนาตาล และอำเภอโขเจียม จังหวัด อุบลราชธานี ทำการเก็บตัวอย่าง 10 จุด แต่ละจุดเก็บตัวอย่าง 3 ชั้น ทำการเก็บตัวอย่างทุกเดือนฯลฯ 1 ครั้ง เป็นเวลา 12 เดือน โดยมีจุดเก็บตัวอย่างดังนี้

- 1.4.1 แม่น้ำโขงบริเวณแก่งช้างหมอบ บ้านห้วยยาง ตำบลห้วยยาง อำเภอเขมราฐ จังหวัดอุบลราชธานี
- 1.4.2 แม่น้ำโขงบริเวณบ้านนาสนา� ตำบลเขมราฐ อำเภอเขมราฐ จังหวัดอุบลราชธานี
- 1.4.3 แม่น้ำโขงบริเวณท่าเรือหลังตลาดในตัวเมือง อำเภอเขมราฐ จังหวัดอุบลราชธานี
- 1.4.4 แม่น้ำโขงบริเวณบ้านนาเมือง ตำบลนาแวง อำเภอเขมราฐ จังหวัดอุบลราชธานี
- 1.4.5 แม่น้ำโขงบริเวณวัดปากแขง ตำบลพระลาน กิ่งอำเภอตาล จังหวัดอุบลราชธานี
- 1.4.6 แม่น้ำโขงบริเวณบ้านตามุย ตำบลห้วยไฝ อำเภอโขงเจียม จังหวัดอุบลราชธานี
- 1.4.7 แม่น้ำโขงบริเวณหาดวิจitra บ้านตามุย ตำบลห้วยไฝ อำเภอโขงเจียม จังหวัดอุบลราชธานี
- 1.4.8 แม่น้ำโขงบริเวณบ้านกุ่ม ตำบลห้วยไฝ อำเภอโขงเจียม จังหวัดอุบลราชธานี
- 1.4.9 แม่น้ำโขงบริเวณบ้านห้วยไฝ ตำบลห้วยไฝ อำเภอโขงเจียม จังหวัดอุบลราชธานี
- 1.4.10 แม่น้ำโขงบริเวณบ้านด่าน ตำบลโขงเจียม อำเภอโขงเจียม จังหวัดอุบลราชธานี

บทที่ 2

ตรวจเอกสาร

2.1 สาหร่าย

สาหร่าย (algae) หมายถึง สิ่งมีชีวิตชั้นต่ำ ตรงกับภาษากรีก คือ phykos เป็นสิ่งมีชีวิตที่มีขนาดเล็กมาก จนไม่สามารถมองเห็นได้ด้วยตาเปล่า (microscopic algae หรือ microalgae) ต้องใช้กล้องจุลทรรศน์ จนถึงขนาดใหญ่ที่มองเห็นด้วยตาเปล่า (macroscopic algae หรือ macroalgae) ซึ่งมีลักษณะคล้ายราก ลำต้น และใบ ซึ่งรวมเรียกว่า หัลลัส (thallus) สาหร่ายทุกชนิดมีคลอโรฟิลล์ช่วยในการสังเคราะห์ด้วยแสง (ยุวดี พิรพารพิศาล, 2546)

สาหร่ายมีขนาดที่มีความหลากหลายโดยมีเส้นผ่าศูนย์กลางไม่เกินครอนกระทั้งถึงขนาดใหญ่ สาหร่ายที่มีขนาดเล็กที่สุด คือ *Micromonas pusilla* ซึ่งเป็นสาหร่ายสีน้ำตาลแกมน้ำเงิน ลักษณะเป็นรูปทรงกลมๆ เส้นผ่านศูนย์กลางประมาณ 75 เมตร (Pinkayan, 1978) กลุ่มของสาหร่ายที่คลอยอยู่ในแหล่งน้ำจืด น้ำกร่อย และน้ำเค็ม จัดเป็นแหล่งอาหารเริ่มต้นในระบบนิเวศแหล่งน้ำ ขณะเดียวกันยังเป็นผู้ผลิตออกซิเจนในบรรยากาศ ประมาณร้อยละ 30 – 50

สาหร่ายเป็นสิ่งมีชีวิตพากษาริโอต (Eukaryotes) มีแหล่งอาศัยอยู่ในที่มีความชื้น ซึ่งมีคุณสมบัติทางเคมีหรือกายภาพที่เหมาะสม เช่น สาหร่ายที่พบอยู่บนดิน คือ สาหร่ายในอันดับคลอโรโคคคาเลส (Chlorococcales) เป็นสาหร่ายกลุ่มที่อยู่บนดินได้ เป็นพวงสาหร่ายน้ำจืดซึ่งอาศัยในดินที่ชื้นและ สาหร่ายเป็นสิ่งมีชีวิตที่พบทุกหนทุกแห่งที่มีความชื้นเพียงพอต่อการเจริญเติบโต เมื่อมีความชื้นน้อยจะอยู่ในสภาพสปอร์ แต่เมื่อมีความชื้นสูงก็จะสามารถเจริญเติบโตได้ดี ส่วนในแหล่งน้ำ เช่น บ่อน้ำ สารน้ำ ทะเลสาบ และแม่น้ำต่างๆ จะมีสาหร่ายหลายชนิดเจริญอยู่ได้ ขึ้นอยู่กับอุณหภูมิ และความชื้นของบริเวณที่อยู่อาศัย สาหร่ายที่เจริญในน้ำ มีการดำรงชีวิตหลายแบบ เช่น พวกที่เป็นอิสระลอยไปตามกระแสลม กระแสน้ำ และ พวกที่อยู่กับที่เกาะตามโขดหิน ดิน และพืชต่างๆ (กัญจนภานุ ลิ่วนโนมต์, 2527)

ไดอะตوم (diatoms) เป็นสาหร่ายที่จัดอยู่ใน Division Bacillariophyta ลักษณะเป็นเซลล์เดียว หรือต่อกันเป็นเส้นสายคล้ายโซ่อ่างหลวงฯ ส่วนลักษณะของเซลล์เดียวประกอบด้วยฝาหรือฟรัสตูล (frustules) 2 ฝา มาครอบเหลือกันคล้ายงานเลี้ยงเชือ ฟรัสตูลมีสมมาตรแบบรัศมี หรือ

แบบชีกซ้ายขวาเท่ากัน สีของ ไโคอะตอมเป็นสีของคลอโรพลาสต์ที่มีสีเหลือง สำมนลึงสีน้ำตาล ผนังเซลล์เป็นสารเพคตินซึ่งมีชิลิกาเข้าไปแทรกอยู่ บนผนังเซลล์มีวัสดุลาย ลวดลายนี้สามารถใช้จำแนกชนิดของ ไโคอะตอมได้ ส่วนใหญ่คำรงชีวิตเป็นแพลงก์ตอนพืช หรือบางจีนสถานะภูมิศาสตร์ตามวัตถุพื้นท้องน้ำ หรือภูมิศาสตร์ตามพื้นที่และสาหร่ายขนาดใหญ่ชนิดอื่นๆ มีการกระจายได้ทั่วในน้ำจืด และน้ำเค็ม (ยุวดี พิรพรพิศาล, 2546)

ไโคอะตอมมีความสำคัญในด้านการศึกษาและทดลองทางวิทยาศาสตร์ ในด้านสิ่งแวดล้อมสาหร่ายยังเป็นตัวช่วยลดผลกระทบของแหล่งน้ำช่วยปรับคุณภาพน้ำให้ดีขึ้นจึงสามารถนำมาใช้ในการบำบัดน้ำเสีย การใช้สาหร่ายเป็นตัวชี้สภาวะมลพิษทางน้ำ (ยุวดี พิรพรพิศาล, 2538; Round, 1973) โดยไโคอะตอมพื้นท้องน้ำสามารถนำมาริดิตตามตรวจสอบคุณภาพน้ำ (monitoring) ได้อย่างมีประสิทธิภาพ (Rott, 1991) โดยเฉพาะไโคอะตอมชนิดที่ติดอยู่บนหินที่สามารถใช้ในการตรวจวัด และติดตามตรวจสอบการเปลี่ยนแปลงของคุณภาพน้ำในแม่น้ำ (Round, 1993) พบว่าไโคอะตอมเป็นกลุ่มของสาหร่ายที่ถูกนำมาใช้มากในการใช้เป็นดัชนีของการเปลี่ยนแปลงทางสิ่งแวดล้อม เช่น ปรากฏการณ์มีสารอาหารในแหล่งน้ำสูงและมีการเริ่มต้นของสาหร่ายเพิ่มขึ้นมาก (eutrophication) ปรากฏการณ์เปลี่ยนแปลงความเป็นกรดค้างไปในทางที่เป็นกรดมากขึ้น (acidification) การปนเปื้อนของโลหะ (metal contamination) ปรากฏการณ์การเปลี่ยนแปลงค่าความเค็ม (salinification) การเปลี่ยนแปลงของกระแสน้ำอุ่นในแหล่งน้ำ (thermal effluents) รวมทั้งการเปลี่ยนแปลงการใช้ประโยชน์ของที่ดิน (Dixit, 1992)

สิ่งมีชีวิตที่มีศักยภาพในการติดตามตรวจสอบคุณภาพน้ำให้แก่ สิ่งมีชีวิตที่เกาะติดกับพื้นท้องน้ำ (Whitton et al, 1991) สาหร่ายยึดเกาะ (epiphytic algae) จัดเป็นสิ่งมีชีวิตอีกกลุ่มหนึ่งที่มีความเหมาะสมในการติดตามตรวจสอบคุณภาพน้ำ โดยเฉพาะสาหร่ายกลุ่มที่อาศัยอยู่กับวัตถุยึดเกาะ พื้นท้องน้ำหรือ benthic algae (Wetzel, 2001) ซึ่งสาหร่ายยึดเกาะที่พบได้ในระบบนิเวศน้ำให้ล้วนใหญ่จะเป็นสาหร่ายสีแดง สาหร่ายสีเขียว สาหร่ายสีทอง สาหร่ายสีเขียวแกมน้ำเงิน และไโคอะตอม (Hynes, 1970)

สาหร่ายขนาดใหญ่ หมายถึง สาหร่ายกลุ่มที่สามารถมองเห็นได้ด้วยตาเปล่า ซึ่งมีลักษณะการรวมตัวกันเป็นโคลโนนหรือหัลลัสที่แตกต่างกันไป (Sheath and Cole, 1992) ซึ่งสาหร่ายขนาดใหญ่ส่วนมากจะเป็นสาหร่ายประเภทยึดเกาะกับพื้นท้องน้ำ ลักษณะของพื้นท้องน้ำมีความสำคัญ โดยจะมีผลต่อการกระจายของสาหร่ายขนาดใหญ่ และเนื่องจากสาหร่ายขนาดใหญ่มีการเริ่มต้นการเจริญเติบโตและก่อตัวใหม่ ดังนั้นพื้นท้องน้ำที่มีลักษณะเป็นกรดและก้อนหินจะพบรากพื้นที่อย่างกว้างขวาง (สมสุข นัจฉาชีพ, 2538) นอกจากนี้ Niijyama (1989) ได้รายงานว่า ในระบบนิเวศน้ำให้ล้วน พบว่า สาหร่ายขนาดใหญ่ *Cladophora* spp. จะเจริญเกาะติดบน

วัตถุให้ชีดเค้าที่เป็นทรัพยากร และบันวัตถุให้ชีดเค้าที่ค่อนข้างแข็ง ส่วนในระบบนิเวศน้ำนี้น้ำสาหร่ายชนิดนี้จะจับกลุ่มกันคล้ายลูกบอล เรียกว่า lake ball

ระบบนิเวศแบบน้ำไหลและความรู้เกี่ยวกับไดอะตอมพื้นท้องน้ำ

ระบบนิเวศน้ำไหล (running or lotic ecosystem) ได้แก่ แม่น้ำ (river) หรือลำธาร (stream) จะมีลักษณะทางนิเวศวิทยาที่แตกต่างไปจากทะเลสาบ (lake) หรือ อ่างเก็บน้ำ (reservoir) ที่เป็นระบบนิเวศแบบน้ำนิ่ง (standing or lentic ecosystem) สาเหตุหลักเนื่องมาจากการเคลื่อนตัวของกระแสน้ำ ซึ่งจะส่งผลให้เกิด microhabitat ที่แตกต่างกันไป ปัจจัยที่มีผลกระทบต่อสิ่งมีชีวิต คือ ปริมาณการไหลของน้ำ (discharge) กระแสน้ำ (current) และ วัตถุพื้นท้องน้ำ (substrate) ที่สิ่งมีชีวิตใช้ในการชีดเค้า (Goldman and Horne, 1983)

สาหร่ายในระบบนิเวศน้ำแบบน้ำไหล ได้รับความสนใจอย่างมากว่าสาหร่ายในแหล่งอื่น ๆ เพื่อการศึกษาปัจจัยต่างๆ เช่น ความเร็วกระแสน้ำ (velocity) อุณหภูมิ สถานะของสารอาหาร (nutrients status) ค่อนข้างซับซ้อน ศึกษาได้ยากกว่าเพราะมีการเปลี่ยนแปลงทั้งตามเวลาและระยะทางที่น้ำไหล รวมทั้งมีปัจจัยทางด้านการเปลี่ยนแปลงตามฤดูกาล (seasonal change) (Round, 1973) แต่การศึกษาไดอะตอมพื้นท้องน้ำมีการศึกษาค่อนข้างพร้อมหลาย โดยเฉพาะการนำมาใช้เป็นตัวชี้ในระบบนิเวศน้ำไหล ซึ่งพบว่าไดอะตอมพื้นท้องน้ำเป็นกลุ่มสิ่งมีชีวิตที่มีความสำคัญและเหมาะสมในการนำมาใช้เพื่อติดตามตรวจสอบคุณภาพของแหล่งน้ำไหล เพราะมีประสิทธิภาพน่าเชื่อถือ มีการศึกษากันอย่างแพร่หลายและมีการพัฒนาการนำไปใช้ให้ได้อย่างครอบคลุม (Whitton et al., 1991; Stevenson, 1996)

สาหร่ายพื้นท้องน้ำ (phytobenthos) กลุ่มใหญ่ในแหล่งน้ำที่เป็นน้ำจืดมักจะเป็น pennate diatom สาหร่ายสีแดง สาหร่ายสีเขียวและสาหร่ายสีเขียวแกมน้ำเงิน (Round, 1973 : Philip, 1986; Stevenson, 1996) สาหร่ายเหล่านี้มีรูปร่างหลายแบบทั้งพวงที่เป็นเซลล์เดียวและโคลonielle ก่า เส้นสายและพวงที่ไม่เป็นเส้นสาย บางครั้งอาจหลุดลอยออกจากวัตถุชีดเค้า (substrate) หรือบางครั้งอาจติดแน่นอยู่กับวัตถุที่ชีดเค้าโดยใช้มือ (mucilage) เพื่อช่วยชีดเค้า (Philip, 1986) สามารถพบไดอะตอมพื้นท้องน้ำได้ทั้งที่ชีดเค้าอยู่บนวัตถุที่ชีดเค้าที่เป็นของแข็ง เช่น ก้อนหิน ผิวของพืชขนาดใหญ่ ซึ่งมักจะมีไดอะตอมพื้นท้องน้ำปกคลุมอยู่ และอีกกลุ่มนหนึ่งคือวัตถุให้ชีดเค้า ที่ไม่ใช่ของแข็ง เช่น ผิวโคลน หรือ ทราย ทำให้ไดอะตอมพื้นท้องน้ำมีชื่อเรียกว่าตามชนิดของวัตถุที่ชีดเค้า (Round, 1973 : Barber and Haworth, 1681 : Philip, 1986; Stevenson, 1996) ตัวอย่าง ไดอะตอมพื้นท้องน้ำได้แก่ *Pinnularia* sp., *Tabellaria* sp., *Eunotia* sp., *Frustulia* sp., *Synedra* sp., *Nitzschia* sp., *Navicula* sp., *Diatoma* sp. และ *Surirella* sp. สำหรับปัจจัยที่มีผลกระทบต่อการเจริญ การกระจายตามฤดูกาล และความอุดมสมบูรณ์ ของไดอะตอมพื้นท้องน้ำ คือ ปริมาณแสง อุณหภูมิ

ปริมาณสารอาหาร ความเร็วของกระบวนการ ชนิดของวัตถุให้ดีเกะ และชนิดรวมทั้งจำนวนของผู้บริโภคในห่วงโซ่อหารค่าๆ (Round; 1973 : Philip, 1986)

โดยตะตอนพื้นท้องน้ำมีความสำคัญในส่วนที่เป็นผู้ผลิตเบื้องต้นทั้งในลำธารและทะเลสาบรวมทั้งพื้นที่ชั่มน้ำ (wetland) ต่างๆ (Stevenson, 1996) เป็นแหล่งพลังงานในแม่น้ำ ลำธารที่มีการย่อสลายจากชากระสิ่งมีชีวิต เรียกว่า allochthonous material (Goldman and Horne, 1983 : Stevenson, 1996 อ้างอิงจาก Minshall, 1978)

2.2 ลักษณะทั่วไปและการจัดจำแนกสาหร่าย

การดำรงชีวิตของสาหร่าย

สาหร่ายเป็นสิ่งมีชีวิตพวกแรกของชั้นใต้ดิน ที่มีแหล่งอาหารอยู่ในแหล่งน้ำ ซึ่งจะมีคุณสมบัติทางเคมีหรือกายภาพที่เหมาะสม ตัวอย่างเช่น สาหร่ายที่ชอบอยู่บนบก พบริเวณดิน คือสาหร่ายใน Order Chlorococcales เป็นสาหร่ายกลุ่มที่อยู่บนบกได้ เป็นพวกสาหร่ายนำจีดซึ่งอาศัยในดินที่ชื้นและ สาหร่ายเป็นสิ่งมีชีวิตที่พบทุกหนทุกแห่งที่มีความชื้นเพียงพอต่อการเจริญเติบโต เมื่อมีความชื้นน้อยจะอยู่ในสภาพสปอร์ แต่เมื่อมีความชื้นสูงก็สามารถเจริญได้ดี ส่วนในแหล่งน้ำ เช่น บ่อน้ำ และสระน้ำจะมีสาหร่ายหลายชนิดเจริญอยู่ได้ เช่นอยู่กับอุณหภูมิกับความชุลมสมบูรณ์ของอินทรียสารในแหล่งน้ำนั้น สาหร่ายที่เจริญในบ่อน้ำ สระน้ำและทะเลสาบมีหลายชนิด เช่น พวกริมฝั่งบ่อน้ำ เป็นอิสระบนผิวน้ำเรียกว่า แพลงก์ตอนพืช ได้แก่ สาหร่ายสีเขียวใน Family Desmidiaceae เช่น *Cosmarium* sp. และ *Closterium* sp. เป็นต้น และพวกริมฝั่งน้ำใน科โคลนีหรือมีเซลล์เดียวๆ เช่น *Pediastrum* sp., *Scenedesmus* sp. และ *Chlorella* sp. หรือสาหร่ายสีเขียวแกมน้ำเงิน เช่น *Microcystis* sp. และ *Anabaena* sp. เป็นต้น พวกริมฝั่งน้ำไม่มี เช่น ผักบุ้งขาว จอก แหน เรียกสาหร่ายพวกริมฝั่งน้ำ เช่น สาหร่ายอพิไฟต์ (epiphytic algae) พวกริมฝั่งน้ำที่เจริญบนพื้นท้องน้ำเรียกว่า สาหร่ายอพิไฟต์ (epiphytic algae) ซึ่งเป็นพวกริมฝั่งน้ำที่เจริญตามพื้นดินหรือทรายพื้นท้องน้ำ เช่น สาหร่ายพวกริมฝั่งน้ำ เช่น สาหร่ายสีเขียวแกมน้ำเงินในน้ำจืด บางครั้งจะสังเกตเห็นสาหร่ายรวมตัวกับโปรตอซัว หรือสัตว์ไม่มีกระดูกสันหลังขนาดเล็ก เกิดเป็นฟองสีน้ำตาลอุ่นบนผิวน้ำ เรียกปรากฏการณ์นี้ว่า วอเตอร์บลูม (water bloom) (ยุวดี พิรพรพิศาล, 2548)

การจัดจำแนกสาหร่าย

ในการจัดหมวดหมู่สาหร่าย โดย ยุวดี พิรพารพิศาล (2548) ได้ขึ้นตามหลักของ Bold และ Wynne (1978) ซึ่งจำแนกสาหร่ายออกเป็น 9 คิวชั่น ดังนี้

คิวชั่น Cyanophyta ได้แก่ พลวตสาหร่ายสีเขียวแกมน้ำเงิน (blue green algae) หรือ Cyanobacteria สาหร่ายกลุ่มนี้มีเคมีมาก่อนสาหร่ายกลุ่มอื่นๆ และมีความคล้ายคลึงกับแบคทีเรีย โดยเป็นพวกที่นิวเคลียสไม่มีเยื่อหุ้ม หรือพวกโปรคริโอดพบฯ ได้หัวไปในที่ที่มีความชื้น ในน้ำจืด น้ำกร่อย และน้ำเค็ม ทั้งในน้ำที่มีคุณภาพดีและไม่ดี พบรอยทั้งในคินและผิวคิน แม้มแต่ในหิมะและน้ำพุร้อน เรายังเรียกสาหร่ายประเภทนี้ว่า ตะไคร่น้ำ แพลงก์ตอนพืชในแหล่งน้ำจืดหัวไปอาจจะเจริญและเพิ่มจำนวนอย่างรวดเร็วในน้ำที่มีสารอาหารสูง หรือสภาพแวดล้อมที่เหมาะสมแล้วสร้างสารพิษออกมาน้ำ ก่อให้เกิดอันตรายต่อสิ่งมีชีวิตในแหล่งน้ำบริเวณนั้นด้วย

คิวชั่น Chlorophyta ได้แก่ สาหร่ายสีเขียว เป็นสาหร่ายที่พบเห็นในแหล่งน้ำหัวไป ทั้งในน้ำจืด น้ำกร่อย และน้ำเค็ม มีรูปร่างหลากหลายด้วย เช่น แท่งเซลล์เดียว เกาะกันเป็นกลุ่มที่เรียกว่า โคลโน尼 เป็นเส้นสาย เป็นทัลลัส ส่วนใหญ่ดำรงชีวิตแบบแพลงก์ตอนพืช แต่มีบางชนิดถูกจัดเป็นสาหร่ายขนาดใหญ่ซึ่งมีเยื่อแกะกับคิน หินได้น้ำหรือพืชนำ

คิวชั่น Charophyta ได้แก่ สาหร่ายไฟ มีลักษณะคล้ายพืชชั้นสูง ทัลลัสขนาดใหญ่ คล้ายสาหร่ายหางกระรอก เจริญโดยเยื่อแกะกับพื้นคินได้ท้องน้ำ บางชนิดมีแคตเตียมเป็นส่วนประกอบในทัลลัส ส่วนใหญ่เกือบทั้งหมดเป็นสาหร่ายน้ำจืด

คิวชั่น Euglenophyta ได้แก่ สาหร่ายกลุ่ม Euglenoids ดำรงชีวิตแบบแพลงก์ตอนพืช ทั้งหมดสามารถเจริญได้ในน้ำที่มีสารอินทรีย์สูง หรือน้ำคุณภาพไม่ดี ได้มากกว่าสาหร่ายประเภทอื่นๆ จึงเป็นคิวชั่นนี้ปั่งชีวภาพนำที่ค่อนข้างสกปรกได้ชัดเจน ทุกชนิดมีแฟลกเซลล์ช่วยในการเคลื่อนที่ บางครั้งจึงจัดอยู่ในพวกโปรตอฟิชันนิส

คิวชั่น Phaeophyta ได้แก่ สาหร่ายสีน้ำตาล เป็นสาหร่ายที่มีทัลลัสขนาดใหญ่ ส่วนใหญ่เป็นสาหร่ายทะเล บางชนิดจึงมองคล้ายพืชนำที่เจริญอยู่ในทะเล โดยเยื่อแกะอยู่กับพื้นทรายได้ท้องทะเล หรือหดคลอยมากับกระแสน้ำในเขตขอบอุ่น เป็นสาหร่ายเศรษฐกิจที่สามารถนำมาสกัดเป็นสารอัดขังหรืออัลจิเนต ที่ใช้ในวงการอุตสาหกรรมที่สำคัญหลายประเภท

คิวชั่น Chrysophyta ได้แก่ สาหร่ายสีน้ำตาลแกมนทอง สาหร่ายสีเขียวแกมน้ำเงิน และไครอะตอน ส่วนใหญ่ดำรงชีวิตแบบแพลงก์ตอนพืชทั้งในน้ำจืดและน้ำเค็ม สาหร่ายในกลุ่มนี้มีอยู่ประเภทหนึ่ง ซึ่งมีสมาชิกมากที่สุด คือ ไครอะตอน นักสาหร่ายวิทยาปัจจุบันได้แยกไครอะตอนออกเป็นคิวชั่นใหม่ คือ คิวชั่น Bacillariophyta มีลักษณะสำคัญ คือ เซลล์ประกอบด้วยฟาร์อิฟรัสทูล 2 ฝา ประกอบกัน ส่วนใหญ่เป็นซิลิกา มีลวดลายสวยงามซึ่งใช้ในการวินิจฉัยชนิดของ

โดยตอน มีร่องคัตตุสิน้ำตาลมากกว่าคลอโรฟิลล์ จึงมองเห็นเซลล์เป็นสีน้ำตาล รูปร่างของสาหร่ายประเภทนี้มีรูปทรงแบบเรขาคณิตซัคเจน พบทึ้งในน้ำจืดและน้ำเค็ม และดำรงชีวิตทึ้งแบบเป็นแพลงก์ตอนและแบบเกาะอยู่กับสิ่งยีดเกาะบริเวณพื้นท้องน้ำ

ดิวชั่น Pyrrrophyta ได้แก่ สาหร่ายกลุ่มไครโนแฟลกเจลเลต มีแฟลกเจลลัม 2 เส้น ช่วยในการเคลื่อนที่ เซลล์มักมีเยื่อหุ้มเซลล์เป็นแผ่นธิกาคลุมอยู่รอบคล้ายกระเบื้องไม้สัก ดำรงชีวิตแบบแพลงก์ตอนทึ้งในน้ำจืดและน้ำเค็ม

ดิวชั่น Cryptophyta ได้แก่ สาหร่าย Cryptomonads เป็นกลุ่มสาหร่ายที่มีสามชาิกันอยู่ที่สุด มีแฟลกเจลลัม 2 เส้นที่มีขนาดไม่เท่ากัน ดำรงชีวิตแบบแพลงก์ตอนพืชในน้ำจืดและน้ำเค็ม

ดิวชั่น Rhodophyta ได้แก่ สาหร่ายสีแดง มีหัลลัสที่คล้ายพุ่มไม้ที่ แตกแขนงเป็นฝอย เจริญอยู่บนผิวดิน ทรากหรือหิน พbuff>ในน้ำเค็มและน้ำจืด แต่ส่วนใหญ่จะพบในน้ำจืด เป็นสาหร่ายเศรษฐกิจที่สำคัญ โดยนำมาสกัดวุ้น ซึ่งนำมาใช้เป็นอาหารและใช้ในอุตสาหกรรมหลายประเภท

ลักษณะของสาหร่ายที่ใช้ในการจัดจำแนกหมวดหมู่

การจัดจำแนกสาหร่ายออกเป็นหมวดหมู่ ขุวดี พิรพรพิศาล (2542) กล่าวว่าจะต้องพิจารณาลักษณะที่สำคัญต่างๆ ดังนี้

รงค์วัตตุ ในสาหร่ายมีหลายชนิดด้วยกัน เช่น คลอโรฟิลล์ แคโรตินอยด์ (carotenoid) ซึ่งประกอบด้วยแคโรทีน (carotene) และแซนโทฟิลล์ (xanthophyll) ไฟโโคบิลิน (phycobilin) ซึ่งประกอบด้วย ไฟโโคเออริธрин (phycoerythrin) และไฟโโคไซyanin (phycocyanin) รงค์วัตตุทึ้งหลายนี้มีความสำคัญอย่างยิ่งต่อการสร้างอาหารของสาหร่าย บางชนิดมีผลทำให้สีของสาหร่ายคลือยกตามสีของรงค์วัตตุที่มีอยู่แต่ก็ไม่เสมอไป สาหร่ายแต่ละชนิดมีร่องคัตตุแตกต่างกันทั้งชนิดและปริมาณ

องค์ประกอบของผนังเซลล์ จากการศึกษาด้วยกล้องจุลทรรศน์แบบ อิเล็กตรอน และกระบวนการทางชีวเคมี ทำให้สามารถทราบถึงลักษณะและองค์ประกอบของผนังเซลล์สาหร่ายสาหร่ายหลายชนิด ไม่มีผนังเซลล์ บางชนิดผนังเซลล์ก็เปลี่ยนแปลงไปโดยมีสารอื่นมาห่อหุ้น แต่ส่วนใหญ่แล้วพบว่าผนังเซลล์ของสาหร่ายประกอบด้วยเซลลูโลส (cellulose) ไซแนน (xytan) แมนแนน (mannan) กรดอัลจินิก (alginic acid) เพคติน (pectin) ไครติน (chitin) ซิลิค้า (silica) และหินปูน เป็นต้น ผนังเซลล์ของสาหร่ายแต่ละชนิดจะมีองค์ประกอบแตกต่างกันไปซึ่งใช้ลักษณะดังกล่าวนี้แยกหมวดหมู่ของสาหร่ายได้

อาหารที่สะสมไว้ภายในเซลล์ จากการสร้างอาหารของสาหร่ายจะได้สารประกอบพากคาร์โบไฮเดรต ซึ่งสะสมในรูปแป้ง (strach) ดิวโคซิน (leucosin) ลามินาริน (laminarin) แมนนิทอล (manitol) ไขมัน (fat) น้ำมัน (oil) คอเรสเทอโรล (cholesterol) เอโอโกสเทอโรล (ergosterol) ฟิวโคสเทอโรล (fucosterol) พารามายرون (paramyron) เป็นต้น

จำนวนและตำแหน่งของแฟลกเจลลัม (Flagellum) สามารถเคลื่อนที่ได้ บางชนิดในระบบสืบพันธุ์จะสร้างเซลล์สืบพันธุ์ที่เคลื่อนที่ได้ การที่สาหร่ายสามารถเคลื่อนที่ได้ก็โดยอาศัยแฟลกเจลลัม สาหร่ายแต่ละชนิดจะมีจำนวนลักษณะและตำแหน่งที่แฟลกเจลลัมฝังตัวอยู่นั้นแตกต่างกัน ซึ่งสามารถใช้ความแตกต่างดังกล่าวนี้แยกหมวดหมู่ของสาหร่ายได้

2.3 ไคลอตอม

เดิมในอดีตได้มีการจัดไคลอตอมอยู่ในดิวิชัน Chrysophyta (Bold and Wynne, 1985) แต่ปัจจุบันนักสาหร่ายวิทยาหอยห่านได้จัดแยกไคลอตอมเป็นดิวิชันเดียวๆ คือ Division Bacillariophyta

ลักษณะทั่วไปของไคลอตอม

ไคลอตอมมีรังควัตถุ คลอโรฟิลล์ อ และซี แคร์โนบิล์ ที่ประกอบด้วย เบตาแคโรทีน เอพซีลอนแคโรทีน และอาจพบแอลฟ้าแคโรทีน แซนโรฟิลล์ ที่ประกอบด้วย พิวโคแซนธิน นีโอลิฟิคแซนธิน ไคลอตโโนแซนธิน ไคลอตโโนแซนธิน เนื่องจากปริมาณของแซนโรฟิลล์ และแคโรทีนอยู่ค่อนข้างมากกว่าคลอโรฟิลล์ซึ่งทำให้มองเห็นสีของไคลอตอมเป็นสีเหลือง สีส้มและสีน้ำตาลแกมน้ำเงิน คลอโรพลาสต์มีรูปร่างกลมแบน เป็นแกรนูลา เป็นพู (lobe) หรือเป็นรูปตัว “H” ซึ่งมีลักษณะแตกต่างกันหลายรูปแบบ ขึ้นกับสปีชีส์ของไคลอตอม ไคลอตอมบางชนิดมีไฟรินอยค์อยู่ในคลอโรพลาสต์

เซลล์ของไคลอตอมประกอบด้วย ผนังเซลล์ มีผนังเซลล์หนา แข็งและทนทาน โดยเป็นสารพากเพกตินมีสารซิลิกาแทรกปะปนอยู่ อาหารสะสม ส่วนใหญ่เป็นน้ำมัน และแป้งที่เรียกว่า คริสโซลามินาริน (chrysolaminarin) ในสปีชีส์ที่มีไฟรินอยค์อาจมีการสะสมแป้งไว้ในไฟรินอยค์ ไคลอตอมมีรูปร่างหลายแบบ ได้แก่ เซลล์เดี่ยว เซลล์ต่อ กันเป็นเส้นสาย หรือสายโซ่ โดยมีการต่อ กันอย่างหลวม ๆ หรือบางชนิดอยู่ร่วมกันเป็นกลุ่มเป็นก้อน ในพวงที่อยู่ร่วมกันเป็นกลุ่ม ทึ้งกลุ่มจะ ฝังอยู่ในสารที่มีลักษณะหยุ่นๆ คล้ายเจลอาตินซึ่งเป็นกรดเพกติน เซลล์ปกติของไคลอตอมไม่มีแฟลเจลลัม แต่ในเซลล์สืบพันธุ์เพศผู้ในบางออร์เดอร์มีแฟลเจลลัม 1 เส้น แบบแพนโนโต妮มาติก ซึ่งมีขั้น สั้น 2 例外บนแฟลเจลลัม เซลล์ปกติมีเวคิวโอลต์รูปคลื่น มีโครโนพลาสต์ 1 อัน หรือหลายอัน พวงที่ไม่มีโครโนพลาสต์จะดำรงชีวิตแบบแซฟโรไฟฟ์ต์ คุณกินจากสารอินทรีย์ (ยุวดี พิรพารพิศาล, 2546)

ลักษณะพิเศษของไดอะตوم (ยุวดี พิรพารพิศาล, 2548)

ลักษณะของเซลล์ ประกอบด้วย 2 ฟรัสตูล ที่มีผนังเซลล์ซับซ้อน โดยมีผนังชั้นนอกที่ครอบอีกชั้นหนึ่งเรียก “อีพิธิกา” (epitheca) ส่วนผนังที่ถูกครอบเรียก “ไฮโพธิกา” (hypotheca) ฟรัสตูลแต่ละอันประกอบด้วยแผ่นที่มีลักษณะรูปแบบกว้างหรือแคบ เรียก “วาล์ว” (valve) โดยด้านอีพิธิกา เรียก อีพิวัลล์ (epivale) ด้านไฮโพธิกา เรียกว่า “ไฮโปวัลล์” (hypovale) มีແບບด้านของอยู่เป็นมุนจากกับฟรัสตูล เรียกว่า ค่อนเนคติงแบน (connecting band) หรือ ซิงกูลัม (cingulum) หรือ เกอเดิลแบน (girdle band) โดยอีพิธิกาเรียกว่า อีพิซิงกูลัม (epicingulum) หรือ อีพิเกอเดิล (epigirdle) ด้านไฮโพธิกา เรียก ไฮโปซิงกูลัม (hypocingulum) หรือ ไฮโปเกอเดิล (hypogirdle)

เนื่องจากผนังเซลล์มีสารซิลิกาเข้าไปแทรกและพอกหานานเป็นแผ่นต่อเนื่องกันมากจะเกิดเป็นตั่งขึ้นของมาคล้ายหานามหรือรยางค์ และทำให้บางบริเวณเป็นจุดบางและหานาไม่เท่ากัน ทำให้รูปร่างไม่เท่ากัน แต่การเกิดเช่นนี้เป็นแบบแผนที่แน่นอน ซึ่งนำมาใช้ในการแบ่งไดอะตอม ออกเป็นกลุ่มใหญ่ ๆ ได้ 2 แบบ ได้แก่ แบบเซนทริกไดอะตอม (centric diatom) มีรูปร่างสมมาตรแบบรัศมี (radial symmetry) โดยมีการพอกซิลิกามีทิศทางออกไปจากจุดศูนย์กลางของฟรัสตูล และแบบเพนเนทไดอะตอม (pinnate diatom) มีรูปร่างสมมาตรแบบซีกซ้ายขวาเท่ากัน (bilateral symmetry) มีบางสปีชีส์ไม่แบ่งออกเป็น 2 ส่วนที่อาจเหมือนกัน แบบแผนการพอกของซิลิกาจะเริ่มจาก 2 ข้างบริเวณแคนกลาง (axial strip หรือ axial field หรือ longitudinal strip) ซึ่งบริเวณนี้มีร่องตามยาวเรียกว่า “ราฟี (raphe)” เป็นทางผ่านทะลุของผนังเซลล์ ถ้าตัดตามยาวจะเป็นเป็นรูปตัววี “V” ราฟี บริเวณกึ่งกลางเซลล์จะเป็นผนังหนาเรียก “เซนทรัลโนดูล” (central nodule) ผนังหนาแต่ละข้าง เรียก “โพลาร์โนดูล” (polar nodule) บริเวณแคนกลางที่ไม่มีราฟี เรียก “ซูโตราฟี” (pseudoraphe) หรือราฟีเทียน พนท.ว่าเพนเนตไดอะตอมที่มีราฟีเท่านั้นที่จะเคลื่อนที่ได้

ไดอะตอมบางกลุ่มสามารถเคลื่อนที่ได้ โดยที่ไดอะตอมที่มีราฟีที่แท้จริงเท่านั้นที่เคลื่อนที่ได้ โดยจะมีการเคลื่อนที่ไปย่างเรียบๆ หรือกระตุกๆ อัตราเร็วของการเคลื่อนที่จะแปรผันตามปริมาณของแสง ทิศทางของการเคลื่อนที่จะขึ้นอยู่กับรูปร่างของราฟี โดยมีทิศทางตรงไปด้านหน้า หรือมีการเคลื่อนที่แบบตัว S (sigmoid) กล. ไกของ การเคลื่อนที่เข้าใจว่าเกิดจากการไหลดของ ไฮโตพลาสซึมที่มีตำแหน่งทางด้านโพลาร์โนดูลข้างหนึ่งไปยังอีกข้างหนึ่ง จึงทำให้เกิดแรงเสียดทานกับน้ำ ดันให้เคลื่อนที่ตรงข้ามกับทิศทางการไหลดของไฮโตพลาสซึม

ไดอะตอมบางจنسสามารถสร้างซิสต์หรือสปอร์รัลลิก โดยพบเฉพาะในกลุ่มเซนทริกไดอะตอม ซึ่งซิสต์มีคุณสมบัติทนทานต่อสภาพแวดล้อมที่ไม่เหมาะสมได้ดี การสร้างซิสต์เริ่มจากโปรตอพลาสซึมภายในเซลล์หดตัวรวมกันเป็นก้อนเล็กๆ และทำให้เห็นสีเข้มขึ้น จากนั้นจะมีการสร้างผนังที่เป็นสารซิลิกาให้หนามากขึ้น ใน 1 เซลล์อาจสร้างสปอร์นี้ได้ 1,2 หรือ 4 สปอร์

ลักษณะของสปอร์ประกอบด้วย 2 ฟรัสตูล รูปร่างกลมหรือรีและมีคลາຍบนฟรัสตูล ซึ่งไม่เหมือนคลາຍบนเซลล์ปกติเดิน เมื่อสภาพแวดล้อมเหมาะสมความชื้นและอาหารเพียงพอ ซิตต์จะออกโดยยึดยาวยอกและเจริญเป็นเซลล์ปกติต่อไป สามารถใช้ลักษณะซีสต์มาใช้ในการจัดจำแนก ได้

แหล่งที่อยู่ของ ได้จะตอมที่มีชีวิตอยู่ในปัจจุบันมีประมาณ 250 ชนิด และ 100,000 สปีชีส์ ได้จะตอมส่วนใหญ่พบในน้ำทะเล น้ำจืด ตามก้อนหินในเขื่อนและตามหน้าดิน บางชนิดดำรงชีวิตล่องลอยตามกระแสน้ำในรูปแพลงก์ตอนพืช หรือเกาะตามวัตถุไม่มีชีวิตใต้น้ำ เช่น ก้อนหิน เรียกว่า เป็นทิก ได้จะตอม (*benthic diatom*) หรือเกาะกับพืชน้ำหรือสาหร่ายขนาดใหญ่ เรียกว่า เพอร์ไฟติก ได้จะตอม (*periphytic diatom*) ได้จะตอมมีความสำคัญมากในแหล่งน้ำ เพราะถือว่าเป็นผู้ผลิตขั้นต้นในแหล่งน้ำ

การดำรงชีวิต ในกลุ่มที่มีรากวัตถุใช้ในการสังเคราะห์แสงสร้างอาหารเอง ได้เป็นอาหารให้กับสิ่งมีชีวิตชนิดอื่น ส่วนกลุ่มที่มีรากวัตถุช่วยในการสังเคราะห์แสงจะดำรงชีวิตแบบแซฟโรไฟติก ต้องกินชากรหรืออนุภาคนอกสารอนินทรีย์

การสืบพันธุ์ มีทั้งแบบอาศัยเพศและไม่อาศัยเพศ โดยแบบไม่อาศัยเพศจะมีการแบ่งเซลล์ตามขวางออกเป็นสองส่วนเท่ากันแบบ binary transverse fission ใช้โ拓คลาสซึ่มมีการแบ่งแบบในโตซิส ได้ 2 เซลล์ แต่ละเซลล์จะมีผนังเซลล์อันเดินครึ่งหนึ่ง และอันใหม่อีกครึ่งหนึ่ง ผนังเซลล์เก่ากล้ายเป็นอี้พิกาส่วนผนังเซลล์ใหม่เป็นไฮโปธิกา เสมอ ถ้ามีการแบ่งเซลล์หลายๆ ครั้ง จะทำให้ขนาดของรุ่นลูกหลานลดลงและเล็กลงมาก

สำหรับการสืบพันธุ์แบบอาศัยเพศเป็นกระบวนการที่ทำให้เซลล์ของ ได้จะตอมจากที่มีขนาดเล็กที่เกิดจากการแบ่งเซลล์ กลับไปสู่ขนาดใหญ่ปักติของสปีชีส์นั้นๆ โดยการสร้างสปอร์ที่เรียกว่า “ออกโซสปอร์” (*auxospore*) โดยเริ่มจากเซลล์ปกติที่มีจำนวนชุดโครโนโซม $2n$ จะแบ่งเซลล์แบบไม่โตซิส ได้แก่มีทธิหรือเซลล์สืบพันธุ์เพศผู้และเพศเมีย เมื่อแก่มีพัฒนาแล้วได้เป็นไฮโกตซิสแบบแผนการรวมกันของแก่มีทธิแตกต่างกันไปตามสปีชีส์ของ ได้จะตอม แล้วสร้างผนังเซลล์อ่อนร่อนกล้ายเป็นออกโซสปอร์ ซึ่งประกอบด้วยฟรัสตูล 2 ฟรัสตูล ที่มีผิวเรียบหรือคลาลายไม่เหมือนเซลล์ปกติ เมื่อถึงระยะพร้อมที่จะออก จะเกิดการแบ่งเซลล์แบบไม่โตซิส ได้ 2 เซลล์ ซึ่งแต่ละเซลล์จะสร้างผนังใหม่ขึ้นมาเอง มีการสร้างสปอร์อีกแบบหนึ่ง คือ สปอร์ระยะพัก (*resting spore*) ซึ่งเกิดจากการแบ่งเซลล์แบบไม่โตซิส และพัฒนาสู่รูปร่างเหมือนเซลล์แม่ พนว่าปัจจัยที่ทำให้ออกโซสปอร์และสปอร์ระยะพัก นั้นแตกต่างกัน คือการสร้างออกโซสปอร์จะเกิดขึ้นเมื่อขนาดของเซลล์เล็กลงมากเกินไป จึงต้องมีการสืบพันธุ์แบบอาศัยเพศ ส่วนการสร้างสปอร์ระยะพัก

เกิดจากสภาพแวดล้อมที่ไม่เหมาะสมต่อการเจริญเติบโตและขนาดของไโคอะตอมมากเกินไปและเป็นแบบไม่อ่าดี้เพศ (ขุวดี พิรพารพิศาล, 2546)

การจำแนกหมวดหมู่ของไโคอะตอม

เนื่องจากผนังเซลล์ของไโคอะตอมมีสารซิลิกาเป็นองค์ประกอบสำคัญ ผนังเซลล์ขับช้อนและ漉漉ลายบนผนังเซลล์มีหลายแบบซึ่งแตกต่างกัน ไปตามสปีชีส์ของไโคอะตอม สามารถนำลักษณะเหล่านี้มาใช้จำแนกไโคอะตอมออกเป็นหมวดหมู่ต่างๆ ได้ แต่การศึกษาลักษณะและ漉漉ลายของผนังเซลล์ไโคอะตอมนั้น ต้องใช้การศึกษาพิเศษพร้อมการถ่ายภาพใกล้ล้องจุลทรรศน์ อิเล็กตรอน ดังนั้นถ้าเป็นไโคอะตอมในแหล่งน้ำใดที่มีสารอินทรีย์ภายในเซลล์มากต้องทำความสะอาดเซลล์ก่อน เพื่อให้มองเห็น漉漉ลายของผนังเซลล์ ซึ่งเป็นลักษณะสำคัญในการวินิจฉัยไโคอะตอม (ขุวดี พิรพารพิศาล, 2546)

2.4 การประยุกต์ใช้สาหร่ายเป็นตัวบ่งชี้คุณภาพน้ำ

Wetzel (1975) ได้ประยุกต์ใช้สาหร่ายชนิดเด่นที่พบในแหล่งน้ำเพื่อบ่งชี้ปริมาณสารอาหาร (trophic status) ในแหล่งน้ำคือ ในแหล่งน้ำที่เป็นกรดเล็กน้อย และมีความเค็มน้อยมาก และมีสารอาหารน้อย (oligotrophic) จะพบสาหร่ายชนิดเด่นกลุ่มเดสมิดส์ (Desmids) เช่น *Staurodesmus* sp. และ *Staurastum* sp. ในทะเลสาบที่มีสารอาหารน้อย มี pH เป็นกลางถึงค้างเล็กน้อย จะพบสาหร่ายกลุ่ม Chlorococcal เช่น *Oocystis* sp. หรือกลุ่ม Chrysophycean เช่น *Botryococcus* sp. ในแหล่งน้ำที่มีสารอาหารน้อย มี pH เป็นกลางถึงค้างเล็กน้อย จะพบสาหร่ายชนิดเด่นคือกลุ่ม Chrysophycean โดยเฉพาะอย่างยิ่ง *Dinobryon* sp. และ *Mallomonas* sp. บางสปีชีส์ แหล่งน้ำที่มีสารอาหารน้อย มี pH เป็นกลางถึงค้างเล็กน้อย พบชายฝั่งลาดชันของทะเลสาบอาร์กติก จะพบสาหร่ายชนิดเด่นในกลุ่ม Dinoflagellates โดยเฉพาะอย่างยิ่ง *Peridinium* sp. บางสปีชีส์ และ *Ceratium* sp. แหล่งน้ำที่มีสารอาหารสูงในคุณภาพปกติและมีสารอาหารปานกลางในบางคุณภาพ มี pH เป็นกลางถึงค้างเล็กน้อย จะพบสาหร่ายกลุ่ม Dinoflagellates, เช่น *Peridinium* sp. และ *Ceratium* sp. แหล่งน้ำที่มีสารอาหารมาก และมี pH ค่อนข้างสูง จะพบสาหร่ายชนิดเด่นกลุ่มไโคอะตอมเป็นส่วนใหญ่โดยเฉพาะอย่างยิ่ง *Asterionella* spp., *Crotonensis* sp., *Synedra* sp., *Stephanodiscus* sp. และ *Aulacoseira granulata*

2.5 สาหร่ายนาคใหญ่

เทาน้ำ (*Spirogyra* spp.)

สาหร่ายเทาน้ำ หรือเตา (*Spirogyra* spp.) จัดเป็นสาหร่ายสีเขียวอยู่ใน Division Chlorophyta, Order Zygnematales, Family Zygnemataceae (ลัคดา วงศ์รัตน์, 2542) สามารถเจริญเติบโตได้ดีในน้ำที่สะอาด มีสารอาหารปานกลาง เจริญเติบโตได้ดีในฤดูร้อนและหน้าหนาว (ขุวดี พิรพารพิศาล, 2548)

ลักษณะของเทาน้ำ

เทาน้ำมีลักษณะเป็นเส้นสายที่ไม่แตกแขนง มีลักษณะเหมือนเส้นผมแต่มีสีเขียว เมื่อสัมผัสจะรู้สึกลื่นเมื่อเนื่องจากมีสารเมือกห่อหุ้มไว้มีรูปทรงเป็นทรงกระบอก คลอโรพลาสต์เป็นเส้น ขาดจากปลายเซลล์ด้านหนึ่งไปยังเซลล์อีกด้านหนึ่ง ผนังเซลล์มี 3 ชั้น โดยที่ผนังเซลล์ชั้นในและชั้นกลางเป็นสารประกอบพวกเซลลูโลส และชั้นนอกสุดเป็นสารพวกเพค โถส คลอโรพลาสต์มีไฟเรืองอยู่เรียงเป็นแท่งตลอดสาย ซึ่งจำนวนสายของคลอโรพลาสต์จะมากหรือน้อยขึ้นอยู่กับชนิดและอายุของเซลล์ ตรงกลางเซลล์จะมีแวดคิวโอลขนาดใหญ่และมีนิวเคลียส แนวลอยอยู่ โดยมีสายไ拓พลาสซีนเชื่อมโยงยึดไว้กับผนังเซลล์ เทาน้ำเป็นสาหร่ายที่ไม่เคยสร้างสปอร์ที่เคลื่อนที่ได้แบบสัตว์เลยในชีวิต และแกรมบิตร์ไม่มีแฟลกเจลล่า การเจริญของเทาน้ำนั้นมีปัจจัยหลายอย่าง เช่น แสง อุณหภูมิ แร่ธาตุต่างๆ และปริมาณออกซิเจน ถ้ามีในปริมาณที่เหมาะสมจะทำให้เทาน้ำเจริญได้ดีและเป็นส่วนสำคัญของห่วงโซ่ออาหารในระบบนิเวศ

ชนิดของเทาน้ำ

ลัคดา วงศ์รัตน์ (2542) ได้กล่าวถึงความหลากหลายของเทาน้ำที่สำรวจพบ และมีการจัดจำแนกดังนี้

(1) *Spirogyra crassa* Kützing

สายเซลล์ค่อนข้างหยาบ เป็นเมือกเมื่อจับดูจะรู้สึกลื่นเมื่อเซลล์ปกติ เส้นผ่านศูนย์กลาง 140-160 ไมครอน ความยาวเซลล์เป็นสองเท่าของเส้นผ่านศูนย์กลางหรือผนังกั้นเรียบคลอโรพลาสต์เป็นเส้นบาง 6-12 เส้น คลอโรพลาสต์ขดเป็นเกลียว ถอนจูเกชัน โดยการสร้างท่อเป็นสายเซลล์ที่มีการผสมพันธุ์จะมีรูปสี่เหลี่ยมผืนผ้า ไซโกสปอร์ (zygospore) รูปไข่ หรือแบบข้างปลายสุดของปลายไ拓พลาสปอร์กอนมนน สปอร์มีสีน้ำตาล และผนังของสปอร์มีรูเด็กๆ กระจายอยู่ทั่วไป เส้นผ่านศูนย์กลางของสปอร์ 12-140 ไมครอน ยาว 166-175 ไมครอน

(2) *Spirogyra daedaleoides* Czurda

สายเซลล์ค่อนข้างยาว ประกอบด้วยเซลล์รูปทรงกระบอก เส้นผ่านศูนย์กลาง 30-35 ไมครอน ยาว 70-148 ไมครอน ผนังกั้นเรียบ คลอโรพลาสต์ เป็นเส้นหนึ่งเส้นขาดเป็นเกลียว 3-4 รอบ การคุณวุฒิแบบเดียวกันที่ค้านข้าง โดยสร้างท่อจากทั้งสองแกรมมีต์ เซลล์ที่มีการผสมพันธุ์จะพองออก ใช้โกลสปอร์รูปไข่ มีสีน้ำตาล และบนผนังโดยสปอร์มีลวดลายแบบร่างแท้ เส้นผ่านศูนย์กลางของสปอร์ 35-44 ไมครอน ยาว 59-77 ไมครอน

(3) *Spirogyra graminea* Transeau

สายเซลล์เล็ก ประกอบด้วยเซลล์รูปทรงกระบอก เส้นผ่านศูนย์กลางประมาณ 28-33 ไมครอน ยาว 144-400 ไมครอน ผนังกั้นเซลล์มีรอยพับจำนวนคลอโรพลาสต์ 2-4 เส้น ค่อนวุฒิแบบค้านข้าง โดยมีแกรมมีต์ทั้งสองเพศ สร้างท่อเซลล์สืบพันธุ์รูปทรงกระบอกขนาดเล็กหรือขยายใหญ่ขึ้นกว่าเดิม ใช้โกลสปอร์รูปไข่หรือรูปไข่กึ่งทรง กระบอก ผนังของสปอร์เรียบและมีสีเหลือง เส้นผ่านศูนย์กลางของสปอร์ 35-47 ไมครอน ยาว 108-123 ไมครอน

(4) *Spirogyra weberi* Kützing

สายเซลล์ประกอบด้วยเซลล์รูปทรงกระบอก มีเส้นผ่านศูนย์กลาง 19-30 ไมครอน ยาว 80-480 ไมครอน ผนังกั้นเซลล์มีรอยพับ และมีคลอโรพลาสต์ เป็นแถบกว้าง 1 เส้นขาดเป็นเกลียว 3-6 รอบครึ่ง ค่อนวุฒิแบบเดียวกันที่สร้างจากแกรมมีต์ทั้งสองเพศ เซลล์ที่มีการผสมพันธุ์รูปทรงกระบอก ใช้โกลสปอร์รูปไข่กึ่งทรงกระบอก ผนังสปอร์เรียบมีสีน้ำตาล เส้นผ่านศูนย์กลางของสปอร์ 21-25 ไมครอน ยาว 30-39 ไมครอน

(5) *Spirogyra turfosa* F.Gay

เซลล์มีความกว้าง 68-78 ไมครอน ยาว 68-350 ไมครอน ผนังกั้นเซลล์เรียบ มีคลอโรพลาสต์ 3-4 เส้น พันเป็นเกลียว 1.5-4 รอบ ค่อนวุฒิแบบค้านข้าง โดยมีแกรมมีต์ทั้งสองเพศสร้างท่อ สปอร์รูปทรงกลม ผนังสปอร์เรียบและมีสีเหลือง ขนาดเส้นผ่านศูนย์กลางของสปอร์ 65-78 ไมครอน ยาว 120-140 ไมครอน

(6) *Spirogyra dubia* Kützing

เซลล์มีความกว้าง 40-50 ไมครอน ยาว 60-250 ไมครอน ผนังกั้นเซลล์เรียบ มีคลอโรพลาสต์ 2 หรือ 3 เส้น พันเป็นเกลียว 2-8.5 รอบ ค่อนวุฒิแบบค้านข้าง โดยมีแกรมมีต์ทั้งสองเพศสร้างท่อ ใช้โกลสปอร์รูปไข่ ผนังสปอร์เรียบและมีสีน้ำตาลเหลือง ขนาดเส้นผ่านศูนย์กลางของสปอร์ 42-50 ไมครอน ยาว 54-67 ไมครอน

(7) *Spirogyra hassallii* (Jenner) P.L.Crouan & H.M.Crouan

เซลล์มีความกว้าง 26-33 ไมครอน ยาว 100-250 ไมครอน พนังกั้นเซลล์มีลักษณะเป็นวงแหวน มีคลอโรพลาสต์ 2 เส้น พันเป็นเกลียว 1.5-5 รอบ ค่อนจูเกชันแบบตะกันที่ด้านข้าง โดยสร้างท่อจากทั้งสองแgnมีต เซลล์ที่มีการผสมพันธุ์จะพองออก ใช้โภสปอร์รูปไข่ พนังสปอร์เรียบและมีสีเหลือง ขนาดเส้นผ่าศูนย์กลางของสปอร์ 39-48 ไมครอน ยาว 58-139 ไมครอน

การสืบพันธุ์ของเหง้า

การสืบพันธุ์แบบไม่ออาศัยเพศโดยการขาดออกเป็นห่อนๆ ส่วนการสืบพันธุ์แบบอาศัยเพศโดยการรวมกันของแgnมีต ซึ่งจะเคลื่อนที่ผ่านท่อค่อนจูเกชัน ซึ่งมี 2 แบบ คือ สถาการิฟอร์มค่อนจูเกชัน (scalariform conjugation) และແຫເທອຣັດຄອນຈູກເຂັ້ນ (lateral conjugation) หรือເທອມນິນດັດຄອນຈູກເຂັ້ນ (terminal conjugation) โดยสถาการิฟอร์มค่อนจูเกชัน เป็นการผสมต่างสายหรือต่างหัดลัສ โดยที่เซลล์ทุกเซลล์ในสายจะสร้างแgnมีตเพศเดียวกันออกสาย หรือสร้างแgnมีตทั้ง 2 เพศ ในสายเดียวกัน แgnมีตแต่ละแgnมีตเกิดจากໂປຣໂຕພลาສต์ในแต่ละเซลล์นั้นเอง เมื่อถึงระยะเวลาผสมพันธุ์ *Spirogyra* sp. 2 สายจะอยู่ใกล้กันแบบคู่ขนาน แล้วปล่อยเมือกออกมาหุ้มสายทั้งสองไว้ต่อกัน พนังเซลล์ด้านที่อยู่ใกล้กันจะโป่งออกมา แล้วขึ้นมาตะกัน ในที่สุดก็เชื่อมกันเป็นหลอดหรือเป็นห่อเรียกท่อดังกล่าวว่า ท่อค่อนจูเกชัน ขณะเดียวกันนั้น ໂປຣໂຕພลาສต์ซึ่งเปลี่ยนเป็นแgnมีตของเซลล์จะหดรวนกันเป็นก้อน ໂປຣໂຕພลาສต์ซึ่งเป็นแgnมีตเพศผู้จะเคลื่อนที่ผ่านท่อค่อนจูเกชัน ไปรวมกันกับໂປຣໂຕພลาສต์ของแgnมีตเพศเมียภายในใช้โภสต่อไป (ยุวดี พิรพรพิศาล, 2546)

ແຫເທອຣັດຄອນຈູກເຂັ້ນ หรือເທອມນິນດັດຄອນຈູກເຂັ້ນ เป็นการค่อนจูเกชันที่เกิดในสายหรือหัดลัສเดียวกันเมื่อถึงระยะเวลาผสมพันธุ์ พนังเซลล์ที่กั้นระหว่างเซลล์ 2 เซลล์ ซึ่งแต่ละเซลล์จะทำหน้าที่เป็นแgnมีตจะขาดออกเป็นรูเล็กๆ ส่วนพนังเซลล์ที่เชื่อมต่อระหว่างเซลล์ทั้งสองจะโป่งออกเป็น ໂປຣໂຕພลาສต์ที่ทำหน้าที่เป็นแgnมีตเพศผู้จะเคลื่อนที่ผ่านช่องทางนี้มาร่วมกับ ໂປຣໂຕພลาສต์ที่ทำหน้าที่เป็นแgnมีตเพศเมียภายในใช้โภสต่อไป ใช้โภสต์ซึ่งเกิดขึ้นจากทั้ง 2 วิธีการนี้จะมีการพัฒนาต่อไป เป็นใช้โภสปอร์โดยพนังเซลล์หนาขึ้นและจะพักตัวระยะเวลาหนึ่งต่อมาแบ่งนิวเคลียสแบบไม่ออซีส 4 นิวเคลียส จะขยายไป 3 นิวเคลียส เหลือเพียง 1 นิวเคลียส ซึ่งจะงอกเป็นหัดลัສใหม่ต่อไป (ยุวดี พิรพรพิศาล, 2546)

วงจรชีวิตของเทาน้ำ (Life cycle of *Spirogyra* spp.)

เทาน้ำมีวงจรชีวิตแบบ Zygotic meiosis (บัญญัติ มนเทียรอาสา, 2532) ทัลลัสที่เป็น haploid ในระยะที่มีการสืบพันธุ์แบบไม่ออาศัยเพศ จะสร้างส่วนที่ทำหน้าที่สืบพันธุ์ เรียกว่า Fragmentation ซึ่งสามารถเจริญเป็นทัลลัสใหม่ได้ ส่วนการสืบพันธุ์แบบอาศัยเพศนั้น สาหร่ายจะมีอวัยวะเพศสำหรับสร้างแกมเมติชีนมา เมื่อแกมเมตอฟสูงจะได้ไซโภต ซึ่งจะมีผนังหนา เรียกว่าไซโภสปอร์ เมื่อยู่ในสภาพแวดล้อมที่มีความเหมือนกับเจริญเป็นทัลลัสใหม่ โดยมีการแบ่งนิวเคลียสแบบไม้อโซสทำให้ทัลลัสใหม่แบบhaploidตามเดิม

สาหร่ายไก (*Cladophora* spp. and *Microspora* spp.)

ภาคเหนือและภาคอีสานของไทยนิยมบริโภคสาหร่ายสีเขียวที่ซื้อ เต้า หรือ เทาน้ำ หรือ *Spirogyra* spp. นานา โดยนำมาทำใส่เครื่องปรุงต่างๆ จัดเป็นอาหารพื้นบ้านที่ได้รับความนิยมมาก นอกจานนี้ยังมีไกหรือ *Cladophora* spp. และ *Microspora* spp. ซึ่งเป็นสาหร่ายจากกลุ่มน้ำโขง และกลุ่มน้ำ่น่าน ที่นำมาทำอาหารพื้นบ้านได้เช่นกัน

Cladophora spp.

Cladophora spp. เป็นสาหร่ายที่มีลักษณะเป็นเส้นสายที่แตกแขนง แต่การแตกแขนงจะไม่เป็นผู่งอาจแตกทีละ 1 แขนงหรือแบบ Dichotomous branching เชลล์ต่างๆ มีร่องรอยติดกับพื้น เชลล์มีความยาวมากกว่าความกว้างมาก คลอโรพลาสต์จะเป็นร่างแท้ มีไฟวินอยด์หดลายอัน มีนิวเคลียสมากกว่า 1 อันใน 1 เชลล์ ผนังเซลล์ค่อนข้างหนา วงจรชีวิตเป็นแบบอโซมอร์ฟิกดิพโอล แฮพเพลอนติก โดยมีการสร้างซูโอสปอร์ที่มีแฟลกเจลล่า 4 เส้น และแกมเมตที่มีแฟลกเจลล่า 2 เส้น ซึ่งมีการผสมกันแบบไอโซแกมมีและอาจจะมีพาร์ทีโนเจซิสเกิดขึ้นบ้าง (อ้างอิง) สาหร่ายในจีนสันนี้พบทั้งน้ำจืด น้ำกร่อย และน้ำทะเล มีขนาดและรูปร่างต่างกันมาก กायูจนภานันต์ ลิ่วน โนมนต์ (2527) ได้กล่าวว่า สาหร่ายจีนสันนี้บางชนิดที่ขึ้นในน้ำจืด ในเขตอุ่น มีลักษณะเป็นก้อนกลม เส้นผ่าศูนย์กลาง 2-10 เซนติเมตร และแต่ละก้อนประกอบด้วยเส้นสายที่แตกแขนงจำนวนมาก ตรงกลางเป็นส่วนที่ไม่ได้รับแสง จึงเกิดการตายและเน่าเปื่อยเกิดแก๊สขึ้นภายในดันให้ก้อนนี้ลอยขึ้นมาที่ผิวน้ำน้ำ เรียกปรากฏการณ์นี้ว่า เลอบอลล์ (lake ball) หรือคลาโดฟอร์บอลล์ (*Cladophora* ball)

Microspora spp.

Microspora spp. เป็นสาหร่ายที่มีลักษณะเส้นสายไม่แตกแขนง เชลล์แต่ละเซลล์มีลักษณะเป็นรูปทรงกระบอก ผนังเซลล์แต่ละเซลล์มักจะหนามีลักษณะเป็นตัว H ซ้อนกัน คลอโรพลาสต์อาจมีลักษณะเป็นร่างแท้ หรืออาจอยู่ในเซลล์ หรืออาจเป็นแผ่นเต็มเซลล์ ไม่มีไฟวินอยด์ สืบพันธุ์โดยที่เส้นสายขาดออกเป็นท่อน หรือสร้างสปอร์ที่มีแฟลกเจลลัม 2 หรือ 4 เส้น

และอาจพบสปอร์แบบอะพลาโนสปอร์ ถ้าสิ่งแวดล้อมไม่เหมาะสมอาจสร้างอะคินีท ส่วนการสืบพันธุ์แบบอาศัยเพศโดยการสร้างแกมีท ซึ่งจะผสมกับแบบไอโซแกมี (ขุวดี พิรพรพิศาล, 2546)

เมื่อยังอ่อนอุ่นอยู่อาจมีไฮลด์ฟาสต์บีดติดกับพื้นแต่เมื่ออายุมากขึ้นจะขาด落อยเป็นแพลงก์ตอนพืช มักพบในน้ำที่มีลักษณะเป็นกรดอ่อนๆ สาหร่ายจีนสนี พบร่วมกับเจริญอย่างรวดเร็ว เป็นปริมาณมากในแม่น้ำนาน และแม่น้ำโขงบริเวณอ่าวເກອເຊີຍຂອງ ในช่วงฤดูแล้ง (ตุลาคม – พฤษภาคม) ร่วมกับ *Cladophora* spp. ชุมชนบริเวณ 2 ฝั่งดำเนินมาให้เป็นอาหารพื้นบ้าน ตั้งแต่ครั้งอดีตจนถึงปัจจุบัน มีคุณค่าทางโภชนาการสูงพอสมควร (ขุวดี พิรพรพิศาล, 2546)

2.6 สภาพแวดล้อมที่มีผลต่อการเจริญเติบโตและการแพร่กระจายของสาหร่าย

2.6.1 สภาพแวดล้อมทางกายภาพ

2.6.1.1 แสง (Light) เป็นปัจจัยที่สำคัญมากในการกระบวนการสังเคราะห์แสงของสาหร่าย พลังงานและสารที่เคลื่อนย้ายหมุนเวียนอยู่ในระบบนิเวศจะเป็นผลตี่ได้มาจากการพลังงานที่เกิดจากการสังเคราะห์แสงของสาหร่ายและพืชสีเขียว (ประมาณ พรหมสุทธิรักษ์, 2531) แสงที่พอย่างที่สิ่งมีชีวิตต้องการ คือร้อยละ 10 ของแสงที่ส่องผ่านมหาสมุทรซึ่งเป็นปริมาณของแสงที่ส่องถึงลักษณะไปในน้ำประมาณ 6 พุต โดยแสงที่ส่องลงไปในน้ำมีผลต่ออุณหภูมิของน้ำและออกซิเจนในน้ำด้วย นอกจากนี้ปริมาณของแสงยังมีผลต่อประชากรของสาหร่าย ในฤดูหนาวสาหร่ายจะมีน้อยเนื่องจากกลางวันสั้นปริมาณของแสงน้อย อัตราการสังเคราะห์แสงมากที่สุดในบริเวณผิวน้ำ และลดลงไปตามลำดับเมื่อความลึกเพิ่มขึ้น แสงที่ส่องมาบังผิวน้ำบางส่วนจะมีการสะท้อนกลับ ซึ่งจะแปรผันกับมุมของแสงที่ต่อกลางที่ผิวน้ำและการสะท้อนกลับจะเพิ่มขึ้น เมื่อมีคลื่นที่ผิวน้ำ แสงที่ส่องลึกไปในแหล่งน้ำจะถูกดูดซึม โดยสารที่ลําลาน้ำและแขวนลอยในน้ำ (นันทนา คงเสนี, 2536) นอกจากนี้แสงยังเป็นปัจจัยที่สำคัญต่อการเจริญของสาหร่าย โดย Hynes (1970) กล่าวว่า มักจะพบสาหร่ายสีแดงน้ำจืด *Batrachospermum* spp. ในบริเวณที่ร่ม ซึ่งต่างจากสาหร่ายสีเขียว *Stigeoclonium tenuue* Kützing และ *Ulothrix* spp. ซึ่งมักพบได้บริเวณที่โล่งแจ้ง แฉะค่อนข้างแรง สาหร่ายยึดเกาะในน้ำจืดจะอยู่ในเขตที่มีแสงส่องถึง (photic zone) ไม่ว่าจะเป็นระบบนิเวศแบบลําชาาร แม่น้ำ หรือทะเลสาบ และ Goldman and Horne (1983); Stevenson (1996) พบร่วมในช่วงฤดูร้อนที่มีปริมาณของแสงมากจะพบได้เฉพาะตระกูลบางชนิดที่เจริญได้ดี คือ *Nitzschia linearis*, *Meridion circulare*, *Fragilaria capucina*, *Achnanthes minutissima* และ *Ach. lanceolata* (Moore, 1977)

2.6.1.2 การส่องผ่านของแสงสู่แหล่งน้ำ (transparency) เป็นการวัดค่าความลึกของแหล่งน้ำในระดับที่สามารถมองเห็นด้วยตาเปล่า ซึ่งเป็นการแสดงถึงการส่องผ่านของแสงโดยประมาณ ค่าความลึกนี้จะเป็นค่าที่บอกถึงระดับความลึกของเขตที่แสงส่องถึง ณ จุดนี้พบว่า อัตราสังเคราะห์แสงจะเท่ากับอัตราการหายใจ การวัดค่าการส่องผ่านของแสงสู่ผิวน้ำใช้เครื่องมือที่เรียกว่า Secchi disc ซึ่งอาจเป็นโลหะหรือพลาสติก ที่มีหน้าท้องคู่รูปวงกลมมีเส้นผ่าศูนย์กลาง 20 เซนติเมตร แล้วแบ่งพื้นที่เป็นสี่ส่วนเท่าๆ กัน แต่ละส่วนทางด้านที่คำและสีขาวลับกัน การใช้เครื่องมือนี้สามารถใช้วัดได้ในแนวเดียว จนถึงระดับที่มองไม่เห็นความแตกต่างระหว่างสีคำ และสีขาว ซึ่งวัดระดับความลึกนั้น หรืออาจเรียกว่าความลึกของการส่องผ่านของแสงสู่แหล่งน้ำก็ได้ (นันทนา คงเสนี, 2536)

2.6.1.3 อุณหภูมิ (temperature) อุณหภูมิมีความสำคัญต่อการเพิ่ม หรือการลดการเจริญเติบโต และการสืบพันธุ์ของสาหร่าย นอกจากนี้อุณหภูมิยังมีผลต่อการกระจายตัวของสาหร่าย ตามลักษณะภูมิศาสตร์ถึงแม้ว่ามีการเปลี่ยนแปลงของฤดูกาล อุณหภูมิของน้ำจะมีผลกระทำต่อสิ่งมีชีวิตที่อาศัยอยู่ โดยเป็นตัวควบคุมการเจริญเติบโต และการแพร่พันธุ์ของสิ่งมีชีวิต และการสมก管理体制กันของน้ำในแหล่งน้ำ อุณหภูมิจะมีความสัมพันธ์กับความเข้มของแสง ถ้าปริมาณความเข้มของแสงมากจะมีผลทำให้อุณหภูมิของน้ำเพิ่มขึ้น การเปลี่ยนแปลงอุณหภูมิในแหล่งน้ำเกิดจากการที่แสงผ่านไปในแหล่งน้ำต่อมากก็เปลี่ยนพลังงานแสงเป็นพลังงานความร้อนทำให้แหล่งน้ำมีอุณหภูมิที่แตกต่างกันตามระดับความลึก (เปี่ยมศักดิ์ เมนะเสวต, 2539) คุณสมบัติของน้ำที่เกี่ยวข้องกับอุณหภูมิ คือความร้อนจำเพาะ ความร้อนในการหลอมตัวและความร้อนที่ใช้ในการระเหยที่มีค่าสูงสุด คุณสมบัติเหล่านี้ทำให้อุณหภูมิในแหล่งน้ำจีด มีสภาพคงที่กว่าในอากาศ (เสนอห์ โรจนดิษฐ์, 2531) สำหรับในแหล่งน้ำจีดอุณหภูมิของน้ำจะขึ้นอยู่กับอุณหภูมิของอากาศและบริเวณหนึ่งๆ มีความผันแปรในรอบปีสูง กล่าวคือ อุณหภูมิจะเปลี่ยนแปลงไปในระหว่างกลางวัน และกลางคืนแล้วแต่ปริมาณของแสงที่ได้รับ การเปลี่ยนแปลงของอุณหภูมิที่ผิวน้ำมีความสัมพันธ์กับอุณหภูมิของอากาศมากกว่าน้ำที่อยู่ลึกลงไป (กุศยา, 2529) สิ่งมีชีวิตแต่ละชนิดก็จะมีการเจริญเติบโตได้ดีที่สุดในช่วงอุณหภูมิที่แตกต่างกัน อุณหภูมิมีผลกระทำต่อกระบวนการต่างๆ ในแหล่งน้ำทั้งในเชิงกายภาพ ชีวภาพและเคมี ซึ่งอุณหภูมนี้ยังมีผลต่อการแพร่กระจายของสิ่งมีชีวิต ความหนาแน่นของน้ำ และการละลายของธาตุ (ประมาณ พรมาน สุทธิรักษ์, 2531) อุณหภูมิมีผลต่อปฏิกิริยาทางชีวเคมี (biochemical reaction) ของสิ่งมีชีวิต และ ชุมชนสาหร่ายพื้นท้องน้ำ (benthic algae communities) ทั้งในระบบนิเวศที่เป็นแบบน้ำนิ่งและน้ำไหล โดยมีผลตั้งแต่ระดับสรีริวิทยาของเซลล์ ระดับประชาร ระดับชุมชน และมีผลถึงระดับของทั้งระบบนิเวศ (Stevenson, 1996)

สาหร่ายสีแดงน้ำจืดบางชนิดจะมีความต้องการอุณหภูมิที่แตกต่างกัน โดยจะพบ *Audouinella* spp. ในถنقุหนาวที่อุณหภูมิต่ำกว่า 15 องศาเซลเซียส เมื่อหมุดถنقุหนาว อุณหภูมิสูงขึ้น จะพบการเจริญแทนที่ของ *Batrachospermum macrosporum* Montagne ซึ่งเจริญได้ในอุณหภูมิช่วง 15-25 องศาเซลเซียส และยังพบสาหร่ายสีเขียวบางชนิด เช่น *Oedogonium* spp. และ *Cladophora glomerata* Kützing ซึ่งจะเจริญได้ในช่วงถنقุหนาวเมื่ออุณหภูมิต่ำกว่า 25 องศาเซลเซียส เท่านั้น (สุทธารรณ สุพรรณ, 2547 อ้างอิงจาก Dillard, 1996)

2.6.1.4 ความขุ่นของน้ำ (turbidity) ความขุ่นของน้ำเป็นผลเนื่องมาจากการแพร่กระจายลักษณะของสารอินทรีย์ และของเพียงที่เป็นสารอนินทรีย์ เช่น คินเนนียา คินโคลน แพลงก์ตอน พืชและสิ่งมีชีวิตขนาดเล็กๆ ในน้ำคุณคุณแม่ของน้ำส่วนใหญ่ทำให้แสงที่ส่องไปในระดับความลึกมากขึ้น มีปริมาณลดลง (นันทนา คงเสนี, 2536) พวกวัสดุต่างๆ ที่ทำให้เกิดความขุ่นคือตัวที่ทำให้เกิดสิ่นน่องและความเข้มข้นของสารต่างๆ ที่เป็นตัวกำหนดความโปร่งแสงของน้ำ (ประมาณพรหมสุทธิรักษ์, 2531)

ความขุ่นของน้ำเป็นปัจจัยสำคัญ ที่มีผลต่อการเพิ่มหรือลดจำนวนของไครอะตอม กล่าวคือ จำนวนไครอะตอมจะลดจำนวนลง เมื่อความขุ่นของน้ำเพิ่มขึ้น ถึงแม้ในแม่น้ำจะมีธาตุอาหารอุดมสมบูรณ์ แต่ถ้าไม่มีความขุ่นมากจำนวนไครอะตอมจะลดจำนวนลง (กุศยา, 2539)

2.6.1.5 ความดัน (pressure) ความดันเป็นปัจจัยสำคัญประการหนึ่งที่เกี่ยวข้องกับการละลายได้ของก๊าซ ซึ่งการละลายได้ของก๊าซจะเพิ่มขึ้นเมื่อความดันเพิ่มขึ้นแต่ปริมาตรของก๊าซที่ละลายได้จะไม่เพิ่มขึ้นด้วยจะเพิ่มเฉพาะน้ำหนักเท่านั้น เพราะปริมาตรของก๊าซเป็นปฏิกิริยาลดลงกับความดัน โดยปกติความดันเป็นปัจจัยสำคัญสำหรับสาหร่าย

2.6.1.6 ความเร็วของกระแส (velocity) การไหลเวียนของน้ำเกิดขึ้นเนื่องจากแรงโน้มถ่วงของโลกซึ่งมีผลต่อการเจริญเติบโต รูปร่าง และการแพร่กระจายของสาหร่าย สาหร่ายที่อยู่ในน้ำที่ไหลแรงและเร็วจะมีลักษณะที่สำคัญคือโครงสร้างภายนอกและทัลลัสจะแข็งแรง เพื่อป้องกันการกระทบกระเทือนเมื่อเวลาแพลงก์ตอนพืชไหลไปกระทบกับน้ำ ความเร็วของน้ำทำให้แพลงก์ตอนพืชบางชนิดมีการเจริญผิดรูปร่างไป (ชาญรงค์ แก้วเล็ก, 2532) การไหลเวียนของน้ำเกิดขึ้นได้จากแรงโน้มถ่วงของโลก ซึ่งมีผลต่อการเจริญเติบโต รูปร่าง และการแพร่กระจายของไครอะตอม ในน้ำไหลแรงจะพบไครอะตอมประเภท *Navicula* sp., *Gomphonema* sp. และ *Coccconeis* sp. (Smith, 1951) ไครอะตอมพื้นที่ท้องน้ำบางชนิดมีโครงสร้างพิเศษที่เฉพาะ เรียกว่า ไฮลด์ฟاست (holdfast) และสร้างเมือกเพื่อช่วยในการยึดเกาะกับสิ่งต่างๆ ในน้ำ เช่น *Gomphonema* sp. (Chapman and Chapman, 1973) น้ำที่ไหลแรงจะพบไครอะตอมในสกุล *Navicula* sp. และ *Gomphonema* sp. (Smith, 1950) ในน้ำที่ไหลช้ามากจะพบสาหร่ายพวง *Hydrodictyon* sp.,

Spirogyra sp., *Oedgonium* sp. และ *Rhizoclonium* sp. (Smith, 1950) สามารถบังคับมีการสร้างเชลล์พิเศษที่เรียกว่า Holdfast และ การสร้างเมือกเพื่อช่วยในการขึ้นเกาะกับสิ่งต่างๆ ในน้ำ เช่น *Cladophora* sp., *Rhizoclonium* sp. *Gomphonema* sp. และ *Achnanthes* sp. (ชาญณรงค์ แก้วเล็ก, 2532) นอกจากนี้ยังพบว่าถ้าแหล่งน้ำมีกระแสน้ำไหลแรงจะส่งผลให้การละลายของออกซิเจนลงสู่แหล่งน้ำได้มากขึ้น (Goldman and Horne, 1983; Wetzel, 2001)

2.6.1.7 ค่าการนำไฟฟ้า (conductivity) เป็นการวัดความสามารถของน้ำที่จะให้กระแสไฟฟ้าไหลผ่านซึ่งคุณสมบัตินี้ขึ้นอยู่กับความเข้มข้น ชนิดของไอออนที่มีอยู่ในน้ำอุณหภูมิ และสารประกอบอินทรีย์ เช่น การนีบبسและเกลือเป็นตัวนำไฟฟ้า ตรงกันข้ามกับสารอินทรีย์ เช่น น้ำตาล ซูโครัส เบนซิน สารเหล่านี้ไม่แตกตัวในน้ำจึงไม่นำไฟฟ้า อย่างไรก็ตามถ้าค่าการนำไฟฟ้าเพิ่มขึ้นก็แสดงว่าสารในน้ำเพิ่มขึ้น ถ้าลดลงก็แสดงว่าสารในน้ำลดลง (กรรพิการ์ ศรีสิงห์, 2525) ในแหล่งน้ำธรรมชาติที่มีคุณภาพดีจะมีการนำไฟฟ้าอยู่ระหว่าง 150 – 300 ไมโครโมลต่อเซนติเมตร ถ้ามีค่าสูงกว่า 300 ไมโครโมลต่อเซนติเมตร แสดงว่ามีมลพิษซึ่งจะมีผลต่อการอยู่อาศัยของพืชน้ำ (ชาญณรงค์ แก้วเล็ก, 2532)

2.6.1.8 ลักษณะที่ให้ยึดเกาะ (substrate) ได้แก่ หิน กรวด ทรายหยาบ ทรายละเอียด และโคลน ซึ่งประกอบกันเป็นพื้นที่องค์ประกอบหลักของแหล่งน้ำ โดยปัจจัยทางกายภาพ เช่น ความลึก ความกว้างของแหล่งน้ำ และความเร็วของกระแสน้ำ จะมีผลต่อลักษณะที่ให้ยึดเกาะเหล่านี้และย่อมมีผลต่อการกระจายของแพลงก์ตอนพืช และสาหร่ายยึดเกาะในแม่น้ำ (Chapman and Chapman, 1973; Watchawong, 1996)

2.6.2 สภาพแวดล้อมทางเคมี

2.6.2.1 ค่าความเป็นกรด-ด่าง (pH) pH ย่อมาจาก Potential hydrogen ion เป็นค่าความเข้มข้นของไฮโดรเจนไอออน pH หมายถึง ความเข้มข้นของกรดซึ่งขึ้นอยู่กับการแตกตัวของกรดน้ำ โดยทั่วไปอยู่ระหว่าง 6-9 ในแบบที่มีแคดเซียมคาร์บอนเนตมากจะมีปริมาณมากกว่า 9 ในแหล่งน้ำที่ไม่มีทางน้ำออก น้ำจะระเหยทำให้ค่า pH สูงมาก pH อาจมากกว่า 12 (ประ南 พรหมสุทธิรักษ์, 2531) สภาพแหล่งน้ำโดยคุณภาพค่า pH จะแบ่งออกเป็น 2 ลักษณะ คือ แหล่งน้ำอ่อน (soft water) เป็นแหล่งน้ำที่มีค่า pH ต่ำกว่า 7 และแหล่งน้ำกรดด่าง (hard water) เป็นแหล่งน้ำที่มีค่า 7.1 – 9.8 ค่าความเป็นกรด-ด่างของน้ำมีส่วนควบคุมกิจกรรมต่างๆ ของสิ่งมีชีวิต (Prescott, 1951)

Kwandrans (1993) จัดโดย ณัฐริกา (2544) ได้ทำการศึกษาโดยละเอียดในลักษณะน้ำที่เป็นกรดในประเทศไทย พบว่า *Eunotia exigua*, *Brachysira vitrea*, *Bachysira serians*, *Frustulia megaliesmonta*, *Navicula aff. cari* และ *Navicula aff. festiva* สามารถเป็นดัชนีบ่งชี้ pH ต่ำ ส่วนน้ำที่มีค่า pH สูง ค่อนมากกว่า 8 จะพบ *Mastigloia elliptica*, *Mastigloia smithii*,

Cymbella pusilla, *Rhopalodia novae-zelandiae* และ *Rhopalodia gibba* โดยสอดคล้องกับงานของ พรัตัน (2546) ที่ศึกษาความหลากหลายของไคอะตอนในพรูจุดและพรูเจ็สัน จังหวัดภูเก็ต พบว่า ทุกจุดเก็บตัวอย่างมี pH 4.8-6.1 ซึ่งไคอะตอนชนิดเด่นในทุกจุดเก็บตัวอย่าง คือ *Frustulia rhombooides* (Ehrenberg) De Toni

2.6.2.2 ปริมาณออกซิเจนที่ละลายในน้ำ (dissolved oxygen; DO) ออกซิเจนเป็นตัวควบคุมกระบวนการใช้พลังงานของแหล่งน้ำ โดยพิชารีอสัตว์จะใช้ในการหายใจ ปริมาณออกซิเจนในแหล่งน้ำขึ้นเป็นเครื่องชี้คุณภาพของน้ำในแหล่งน้ำด้วย (เพิ่มนักดี เมนะเสวต, 2539) ปริมาณออกซิเจนที่ละลายในน้ำจะมากหรือน้อยขึ้นอยู่กับปัจจัยหลายอย่าง เช่น การสั่งเคราะห์แสง อุณหภูมิ การหายใจ ความเค็ม การหมุนเวียนของน้ำ ความเร็วของกระแสน้ำ ความคันบรรยายกาศ และอุณหภูมิเป็นต้น เหตุสำคัญต่อการเปลี่ยนแปลงความเข้มข้นอิมตัวของออกซิเจนในน้ำ ปริมาณการละลายของออกซิเจนจะเพิ่มขึ้นเมื่ออุณหภูมิของน้ำลดลง ความกดอากาศที่เพิ่มขึ้นก็จะให้ความสามารถในการละลายออกซิเจนมากขึ้น (เสน่ห์ โภจนิชญ์, 2530)

การวัดค่า DO เป็นการวัดที่สำคัญในการศึกษาสภาพแวดล้อมของน้ำ DO ในน้ำมีผลจากปฏิกิริยาทางชีวภาพและทางเคมีที่เกิดขึ้น ซึ่งจะบ่งบอกให้ทราบว่าแหล่งน้ำนี้สามารถรองรับสารอินทรีย์ได้มากน้อยเพียงใด นอกจากนี้ DO ยังถูกใช้ในการควบคุมการหายใจและปฏิกิริยาเคมีของอนินทรียสาร โดยทั่วไปแล้วความเข้มข้นของ DO ในน้ำที่เหมาะสมต่อการดำรงชีวิตในน้ำ ควรสูงกว่า 5 มิลลิกรัมต่อลิตร และค่า DO ต่ำกว่า 3 มิลลิกรัมต่อลิตร จะเป็นอันตรายต่อสิ่งมีชีวิตในน้ำ (นันทนา คงเสนี, 2536)

ไคอะตอนบางชนิด เช่น *Achnanthes minutissima* ต้องการออกซิเจนสูงในการดำรงชีวิต แต่บางชนิดสามารถเจริญได้ในน้ำที่มีออกซิเจนต่ำ เช่น *Navicula seminulum* และ *Nitzschia amphibia* ส่วนในน้ำที่มีมลพิษสูง มีปริมาณออกซิเจนที่ละลายในน้ำต่ำมากจนไม่อาจวัดค่าได้หรือมีค่า 0 มิลลิกรัมต่อลิตร จะไม่พบแพลงก์ตอนพืชเลย ยกเว้นไคอะตอน เช่น *Nitzschia* และ *Pleurosigma* ซึ่งจะสร้างเมือกหุ้มตัวไว้ (ประเสริฐ, 2541 อ้างอิง ชาญณรงค์ แก้วเด็ก, 2532)

2.6.2.3 ความต้องการออกซิเจนทางชีวเคมี (biochemical oxygen demand :

BOD) BOD คือ ปริมาณออกซิเจนที่แบคทีเรียใช้ในการย่อยสลายสารอินทรีย์ชนิดที่ย่อยสลายได้โดยชุลินทรีย์ที่ใช้ออกซิเจน จากระบวนการนี้แบคทีเรียจะได้รับพลังงาน เพื่อการเจริญเติบโต ผลสุดท้ายของการออกซิไดซ์สารอาหารเหล่านี้อาจเป็นน้ำ แอมโมเนีย คาร์บอนไดออกไซด์ขึ้นอยู่กับสารอาหาร (กรรณิการ์ ศิริสิงห์, 2525) BOD แสดงให้เห็นถึงความรุนแรงของการปนเปื้อน หรือ การเน่าเสียของน้ำโดยสารอินทรีย์ ถ้ามีค่า BOD สูงหมายถึงน้ำมีสารอินทรีย์ปนอยู่ในปริมาณที่มาก ค่า BOD จะบอกให้ทราบถึงปริมาณของออกซิเจนที่ละลายน้ำที่จะต้องถูกใช้ในการย่อยสลาย

สารอินทรีย์เมื่อในแหล่งน้ำถูกปนเปื้อนสามารถออกให้ทราบถึงภารณ์เน่าเสียในกระบวนการบำบัดน้ำเสียทางชีวภาพ

2.6.2.4 ความเป็นด่างของน้ำ (water alkalinity) เป็นความสามารถของน้ำที่จะรับ proton หรือไฮโตรเจนไอออน (เป็นศักดิ์ เมนະເສວຕ, 2539) ค่านี้จะเกี่ยวข้องกับปริมาณ และชนิดของสารประกอบที่ละลายน้ำซึ่งทำให้ค่า pH เพิ่มขึ้นจากกลางสู่เบส คุณสมบัติของความเป็นเบสในน้ำเป็นผลของไบคาร์บอเนต คาร์บอเนตและไฮดรอกไซด์เป็นส่วนใหญ่ ซึ่งไบคาร์บอเนตและคาร์บอเนตเป็นไอออนที่พบมากในน้ำและเป็นตัวที่ทำหน้าที่เป็นบัฟเฟอร์ในน้ำ (นันทนา คชเสนี, 2536) นอกจากนี้ความเป็นด่างยังมีผลต่อการละลายของธาตุบางตัว เช่น เหล็ก โดยทั่วไปความเป็นด่างของน้ำจะมีความสัมพันธ์กับ pH ของน้ำในช่วงที่มีการสังเคราะห์แสงสูง ปริมาณคาร์บอนไดออกไซด์ที่ละลายน้ำจะลดลงแต่ปริมาณออกซิเจนในน้ำจะเพิ่มขึ้นทำให้ pH ของน้ำเพิ่มขึ้นตรงกับขั้นถ้าอัตราการสังเคราะห์แสงต่ำ จะทำให้ปริมาณคาร์บอนไดออกไซด์ในน้ำมาก และค่า pH เฉลดค่าคงเดิมเพื่อพิชิตะสังเคราะห์แสง ไบคาร์บอเนตในน้ำถูกนำไปใช้ ทำให้ก้าวการ์บอนไดออกไซด์ละลายน้ำเพิ่มได้กรดคาร์บอนิก และสลายต่อไปได้ ไบคาร์บอเนตเป็นการปรับปริมาณของไบคาร์บอเนตให้สมดุลอยู่ตลอดเวลา เพราะฉะนั้น ในแหล่งน้ำจึงไม่มีปัญหาเรื่องปริมาณการ์บอนไดออกไซด์ในรูป ไบคาร์บอเนตที่พิชิตะสังเคราะห์แสง pH จะเป็นตัวช่วยควบคุมระบบการ์บอนไดออกไซด์ คาร์บอเนต และไบคาร์บอเนต

Hynes (1970; อ้างอิงจาก Blum , 1960) กล่าวว่า มักพบ *Achnanthes* spp. และ *Cocconeis* spp. และสาหร่ายขนาดใหญ่ชั้นิด *Phormidium* spp. และ *Cladophora glomerata* Kützing ในน้ำที่มีค่าความเป็นด่างค่อนข้างสูง นอกจากนี้ สุทธวรรณ สุพรรณ (2547; อ้างอิงจาก Huttunen and Turkia, 1990) ซึ่งได้ทำการศึกษาไดอะตอนที่ทนต่อค่าความเป็นด่างและ สารอินทรีย์บนทั้งหมด (total organic carbon, TOC) จากแหล่งน้ำ 89 แหล่ง ในประเทศไทยพบ *Navicula cumbriensis* เฉพาะในแหล่งน้ำที่มีความเป็นด่างต่ำเท่านั้น

2.6.2.5 สารอาหารในแหล่งน้ำ สารอาหารในที่นี่ หมายถึง สารอาหารของพืช (plant nutrient) ทั้งหมดที่อยู่ในรูปที่พิชิตะนำไปใช้ได้ทันที (avaliable form) และอยู่ในรูปที่พิชิตะนำไปใช้ไม่ได้ทันที (non avaliable) อาจแบ่งสารอาหารออกเป็น 2 พากใหญ่ๆ ตามปริมาณที่พิชิตะต้องการนำไปใช้และจำเป็นสำหรับการเจริญเติบโตและการสืบพันธุ์ คือ สารอาหารที่ต้องการในปริมาณมาก (macronutrient) ได้แก่ การ์บอน ไนโตรเจน พอสฟอรัส แคลเซียม แมกนีเซียม โซเดียม โปแทสเซียม ซัลเฟอร์ และสารอาหารที่ต้องการในปริมาณน้อย (micronutrient) ได้แก่ เหล็ก แมงกานีส สังกะสีและคลอไรด์

1) **ฟอสฟอรัส (phosphorus)** ฟอสฟอรัสเป็นปัจจัยที่สำคัญต่อการเจริญของพืชน้ำโดยเฉพาะอย่างยิ่งในกระบวนการ การสังเคราะห์แสง โดยที่สาหร่ายสีเขียวหรือแพลงก์ตอนพืชสามารถดูดซึมเอาสารอินทรีย์ฟอสเฟตไว้ได้อย่างรวดเร็วและเปลี่ยนไปเป็นไออกอนฟอสเฟต ถ้าแหล่งน้ำนั้นมีฟอสเฟตที่สามารถละลายน้ำได้ในความเข้มข้นที่สูงจะก่อให้เกิดมลพิษขึ้นได้โดยจะเกิดสภาพ Eutrophication ขึ้นในแหล่งน้ำทำให้แหล่งน้ำขาดออกซิเจนเป็นอันตรายต่อสิ่งมีชีวิต ในแหล่งน้ำนั้นได้ ฟอสฟอรัสเป็นธาตุที่จำเป็นในระบบค่าทางคุณภาพลังงาน ซึ่งโดยปกติตามแหล่งน้ำธรรมชาติจะมีฟอสฟอรัสปริมาณเล็กน้อยจึงเกิดความขาดแคลน ได้ง่าย อย่างไรก็ตามถ้าเกิดการขาดแคลนฟอสฟอรัส จะทำให้จำกัดการเจริญของสาหร่ายซึ่งมีผลสะท้อนไปถึงกำลังการผลิตของแหล่งน้ำ (ประมาณ พระมหาสุทธิรักษ์, 2531) โดยทั่วไปมักจะนิยมวัดความเข้มข้นของฟอสเฟตทั้งหมด (total phosphate) หรือทำการวัดออร์โธฟอสเฟต ซึ่งจะมีมาตรฐานในการบอกถึงคุณภาพน้ำในแหล่งน้ำ ถ้าแหล่งน้ำมีปริมาณฟอสเฟตสูงกว่า 0.6 มิลลิกรัม จะเป็นแหล่งน้ำที่มีมลภาวะ (ปีมนศักดิ์ เมนะเสวต, 2539)

2) **ไนโตรเจน (nitrogen)** โดยทั่วไปแหล่งน้ำในธรรมชาติจะมีไนโตรเจนต่ำคือ ประมาณ 2.5 มิลลิกรัมต่อลิตร โดยแบ่งเป็นไนเตรทประมาณ 0.04-0.05 มิลลิกรัมต่อลิตร แอนโนเนียมจะมีสภาพเป็นก๊าซในน้ำที่เป็นค่าเท่ากับ สำหรับในน้ำที่มีความเป็นกรดจะมีสภาพเป็นแอนโนเนียมไอออน ส่วนไนโตรที่เป็นสารประกอบที่เกิดขึ้น ในระหว่างขั้นตอนของปฏิกิริยาการถ่ายตัวของไนเตรท โดยกระบวนการเมแทบอดิซึมของแบคทีเรีย (นันทนา คงเสนี, 2528) ในแหล่งน้ำจะมีไนโตรท้อปประมาณ 0.5-5.0 ไนโตรกรัมต่อลิตร เมื่อไนโตรที่ในแหล่งน้ำมีความเข้มข้นสูงจะเป็นอันตรายต่อปลาในแหล่งน้ำ ในไนโตรเจนเป็นส่วนประกอบที่สำคัญของอินทรีย์สารที่จำเป็นต่อการดำรงชีวิตของพืชและสัตว์ สารประกอบไนโตรเจนแบ่งเป็น 2 ประเภท กือสารประกอบอนินทรีย์ในไนโตรเจน สารพอกนีออยู่ในรูปปูดหรือเกลือในปัสดุสภาวะ ส่วนอีกชนิดกือสารประกอบอินทรีย์ในไนโตรเจน เช่น กรดอะมิโน โปรตีน กรดนิวคลีอิก จะเห็นว่าพืชสีเขียวสามารถนำ NO_3^- และ NH_4^+ มาใช้ในการสร้างโปรตีน นอกจากนี้แบคทีเรียและสาหร่ายบางชนิดยังนำไนโตรเจนในบรรณาการมาสร้างโปรตีนได้ (กรรณิการ์ สิริสิงห์, 2525)

สุทธวรรษ สุพรรษ (2547, อ้างอิงจาก Patrick, 1977) รายงานว่า ไนโตรเจนบางชนิด เช่น *Melosira varians* Agardh, *Synedra ulna* (Nitzsch) Ehrenberg และ *Navicula viridula* (Kützing) Ehrenberg สามารถเจริญได้ในน้ำที่มีปริมาณไนโตรเจนสูง ประมาณ 2.00-3.00 มิลลิกรัมต่อลิตร

คลอโรฟิลล์ เอ (Chlorophyll a) คลอโรฟิลล์ เอ เป็นรงควัตถุที่ใช้ในการสังเคราะห์แสงขึ้นต้นสามารถดูดกลืนพลังงานแสงค่วยคนเอง คลอโรฟิลล์ เอ ไม่ละลายน้ำแต่ละลาย

ในตัวทำละลายที่เป็นอินทรีย์ เช่น อะซีโคน หรือส่วนผสมที่เป็นเมทานอล และปิโตรเลียมอีเทอร์ คลอโรฟิลล์ เอ มีสีเขียว สาหร่ายทุกชนิดมีคลอโรฟิลล์ เอ เป็นองค์ประกอบหลัก ส่วนคลอโรฟิลล์อื่นๆ จะรวมอยู่กับโปรตีนและไขมัน ชนิดและปริมาณของคลอโรฟิลล์ มีประโยชน์ในการวัดค่ามวลชีวภาพ (biomass) ของแหล่งน้ำและจัดอันดับอนุกรมวิธานของสาหร่าย ดังนั้นจึงนิยมใช้ คลอโรฟิลล์ เอ เป็นตัวมาตรฐานที่ใช้ให้เห็นถึงการผลิตของแหล่งน้ำ (ลัคดา วงศ์รัตน์, 2542)

2.6.3 คุณภาพด้านชีวภาพ

2.6.3.1 โคลิฟอร์มแบคทีเรีย (coliform bacteria) เป็นแบคทีเรียรูปร่างท่อนสั้น ติดสีแกรนูล ไม่สร้างสปอร์ เป็นแอกโรบัคทีเรีย สามารถเพอร์เมนต์น้ำตาลแลกโตสให้เป็นกรด และแก๊สใน 48 ชั่วโมง ที่อุณหภูมิ 37 องศาเซลเซียส ได้แก่ *Escherichia coli* ซึ่งมีแหล่งอาศัยปกติในทางเดินอาหารของคนและสัตว์เลือดอุ่น จึงพบมากในอุจจาระและแบคทีเรียจีนัส *Enterobacter* ยังพบได้ในดินและการปนเปื้อนของอุจจาระซึ่งเป็นจุลินทรีย์ที่เป็นเชื้อโรค มาตรฐานของน้ำคือมีกำหนดค่า MPN ของโคลิฟอร์มแบคทีเรียน้อยกว่า 2.2 ต่อน้ำ 100 มิลลิลิตร จึงจะปลอดภัยต่อผู้บริโภค

แบคทีเรียที่ปนเปื้อนจากอุจจาระ โดยตรง เรียกว่า Faecal coliform ส่วนแบคทีเรีย โคลิฟอร์มอื่นๆ เช่น *Enterobacter areogenes* ซึ่งไม่อาจใช้เป็นดัชนีแสดงการปนเปื้อนจากอุจจาระโดยตรง เรียกกลุ่มนี้ว่า Non-faecal coliform (วีระชัย โชคવิญญา; 2530)

2.7 การใช้ไดอะตอมพื้นท้องน้ำในการประเมินและติดตามตรวจสอบคุณภาพสิ่งแวดล้อม

สาหร่ายหลายชนิดสามารถใช้เป็นดัชนีบ่งชี้ (indicator) คุณภาพน้ำได้ และเป็นดัชนีที่ดีในการบ่งชี้ว่าแม่น้ำสะอาดหรือมีมลพิษจากอินทรีย์สาร (ศิริเพ็ญ ตรัยไชยพร, 2537 อ้างอิงจาก Plamer, 1969; ยุวดี พิรพารพิศาล, 2538) เพราะมีการตอบสนองอย่างรวดเร็วต่อการเปลี่ยนแปลงของสิ่งแวดล้อม (Stevenson, 1996) การศึกษาองค์ประกอบชนิดของสาหร่าย (species composition) คุ้มครองจากการแพร่กระจายและความถี่ที่พบสาหร่ายเพื่อเป็นเครื่องมือในการนักอนุคุณภาพน้ำ สิ่งที่จะมีผลในการควบคุมองค์ประกอบของชนิด และการแพร่กระจาย (distribution) ของสาหร่ายคือปริมาณของสารอาหารซึ่งในธรรมชาติ ฟอสฟอรัส ในโตรเจน และชีวิตสาหร่าย ไดอะตอม มักจะมีปริมาณที่ไม่เพียงพอต่อการเจริญของไดอะตอมโดยทั่วไป (ศิริเพ็ญ ตรัยไชยพร; 2537 อ้างอิงจาก Reynolds, 1986)

ในระบบนิเวศที่เป็นแบบน้ำ ให้ลงทะเบียนกลุ่มสิ่งมีชีวิตพากไดอะตอมพื้นท้องน้ำเป็นกลุ่มสิ่งมีชีวิตที่มีความสำคัญและเป็นกลุ่มสิ่งมีชีวิตที่เหมาะสมในการนำมาใช้ในการติดตามตรวจสอบ

คุณภาพของแหล่งน้ำในแหล่งน้ำที่มีปริมาณสิทธิ์ทางชีวภาพที่น่าเชื่อถือ มีผู้ศึกษาภักดินอย่างแพร่หลายและมีการพัฒนานำไปใช้ได้อย่างครอบคลุม (Whitton et al., 1991)

2.8 การใช้โภคตอมเพื่อสร้างอินเดกซ์คุณภาพน้ำ

ปัจจุบันได้มีการใช้โภคตอมมาบ่งชี้คุณภาพของแหล่งน้ำในงานสำรวจคุณภาพน้ำที่ปฏิบัติเป็นประจำในห้องปฏิบัติการภักดินอย่างแพร่หลายทั่วโลก โดยอินเดกซ์นี้ถูกสร้างขึ้นมาเพื่อใช้ติดตามตรวจสอบปรากฏการณ์ eutrophication หรือการมีสารอินทรีย์ปนเปื้อนหรือการที่แหล่งน้ำถูกมนุษย์รบกวน (Jüttner et al. 2003) รายละเอียดของโภคตอมที่ใช้เป็นอินเดกซ์คุณภาพน้ำมีดังนี้

2.8.1 The Diatom Assemblage Index of Pollution (DAIpo) (Watanabe et al., 1988)

อินเดกซ์นี้ได้ถูกสร้างขึ้นมาโดย Watanabe et al. ได้ตีพิมพ์เผยแพร่ในวิชัยเกี่ยวกับ the Diatom Assemblage Index of Pollution (DAIpo) ในปี ก.ศ. 1988 อินเดกซ์นี้ประกอบด้วยฐานข้อมูลโภคตอมทั้งหมด 548 taxa จากตัวอย่างในแม่น้ำของประเทศญี่ปุ่น 1,343 ตัวอย่าง DAIpo ประกอบ แต่ละ taxon และแต่ละจุดเก็บตัวอย่างที่เป็นอินเดกซ์ซึ่งบีดหลักเกณฑ์ความสัมพันธ์ของ relative abundance ของ taxa ที่ประกอบด้วย 3 taxa ซึ่งมีความสัมพันธ์กับปริมาณสารอาหารในแหล่งน้ำ (saprobity) คะแนนของอินเดกซ์ได้บ่งชี้ถึงชนิดของโภคตอมที่มีช่วงของความทนสัมพันธ์กับค่า BOD ซึ่งเป็นค่าที่ถือว่าเป็นตัวแทนที่บ่งบอกการปนเปื้อนของสารอินทรีย์ในน้ำ โดยมีช่วงค่าคะแนนตั้งแต่ 0 - 100 โดยที่ taxa ที่มีคะแนน น้อยกว่า 30 จัดเป็นโภคตอมชนิดที่ไม่ทนต่อสภาวะที่มีสารอาหารสูง (saprophilous) ตรงข้ามกับโภคตอมที่มีค่าคะแนนมากกว่า 70 คะแนน จัดเป็นชนิดที่ทนต่อสภาวะที่มีสารอาหารสูง ได้ (saprophobic หรือ antagonistic to pollution) ซึ่งพบว่าค่าคะแนน weighted averaging approach อย่างง่ายสามารถให้ค่า DAIpo ซึ่งสามารถนำไปใช้ชี้วัดคุณภาพของน้ำในแต่ละตัวอย่างและแต่ละจุดเก็บตัวอย่างได้ (Reid et al., 1995)

2.8.2 The Trophic Index of Schiefele and Kohmann (Schiefele and Kohmann, 1993)

อินเดกซ์นี้ถูกสร้างมาจาก การศึกษาการแพร่กระจายของโภคตอมในลักษณะและแม่น้ำในประเทศเยอรมัน ซึ่งอินเดกซ์นี้ได้จัดกลุ่มสถานะของสารอาหารในแหล่งน้ำโดยวิธีใช้การคำนวณค่าน้ำหนัก โดยจัดเป็นอินเดกซ์ที่ใช้ได้ดีเนื่องจากสามารถยึดหยุ่นได้ตามอินเดกซ์ของตัวอย่าง โดยมีการคำนวณหาค่าอินเดกซ์โดยใช้สูตรดังต่อไปนี้

$$\text{Sample index} = \frac{\sum \text{Relative Abundant X Index} \times \text{Indicator weight}}{\sum \text{Relative Abundant X Indicator weight}}$$

ผลจากการคำนวณทำให้ได้อินเดกซ์บ่งชี้คุณภาพของแหล่งน้ำที่ประกอบด้วยค่าค่าคะแนนที่แตกต่างกันดังนี้

ตารางที่ 1 Trophic state lists of Schiefele and Kohmann Trophic Index (Schiefele and Kohmann, 1993)

Sample index	Trophic state	Level of impact
1.0 – 1.4	Oligotrophic	no impact
1.5 – 1.8	oligo- to mesotrophic	little impact
1.9 – 2.2	mesotrophic	district impact
2.3 – 2.7	meso-eutrophic	critical impact
2.8 – 3.1	eutrophic	significant impact
3.2 – 3.5	eu- to hypereutrophic	strong impact
3.6 – 4.0	hypereutrophic	very strong impact

2.8.3 The Trophic Index of van Dam (van Dam et al., 1994)

อินเดกซ์นี้สร้างจากการศึกษาการแพร่กระจายของไคอะตอนในแม่น้ำและลักษณะในประเทศเนเธอร์แลนด์ ซึ่งพบว่ามีการแพร่กระจายของไคอะตอนกับอินเดกซ์ใน 7 กลุ่ม ตั้งแต่ไคอะตอนที่พบในแหล่งน้ำที่มีสารอาหารน้อย จนถึงไคอะตอนที่พบได้ในแหล่งน้ำที่มีสารอาหารสูง (Oligotrophic to hypereutrophic) โดยการคำนวณหาค่าอินเดกซ์จากสูตรดังต่อไปนี้

$$\text{Sample index} = \frac{\sum \text{Rel. Abund. X Index}}{\sum \text{Rel. Abund.}}$$

รายละเอียดการเปรียบเทียบค่าคะแนนอินเดกซ์ดังตารางที่ 3

ตารางที่ 2 Trophic index (van Dam et al., 1994)

Categories	Species	Sample index	Trophic state
1	oligotraphentic	1.0 – 1.5	oligotrophic
2	oligo-mesotraphentic	1.5 – 2.5	oligo-mesotrophic
3	mesotraphentic	2.5 – 3.5	mesotrophic
4	meso-eutraphentic	3.5 – 4.5	meso-eutrophic
5	eutraphentic	4.5 – 5.5	eutrophic
6	hypereutraphentic	5.5 – 6.0	hypereutrophic
7	indifferent		

2.8.4 The Saprobiic Index of Rott et al. (Rott et al., 1997)

อินเดกซ์นี้ถูกสร้างจากการศึกษาโดยตบอนในลักษณะและแม่น้ำในประเทศ
ออสเตรีย ซึ่งอินเดกซ์นี้ถูกนำมาใช้บ่งชี้สถานะสารอาหารในแหล่งน้ำ โดยค่าอินเดกซ์ของแต่ละ
ตัวอย่างถูกคำนวณโดยการใช้สูตรของ van Dam (1994), ดังแสดงตารางที่ 4

ตารางที่ 3 Trophic state list of Rott et al. Saprobiic Index (Rott et al., 1997)

score	Categories	Water quality class	Saprobiic level
<1.3	I or better	- no or very little impact	oligosaprobiic
1.4-1.7	I-II	- little impact	oligo to betamesosaprobiic
1.8-2.1	I	- moderate impact	betamesosaprobiic
2.2-2.5	II-III	- moderate to strong impact	beta to alphamesosaprobiic
2.6-3.0	III	- strong impact	alphamesosaprobiic
3.1-3.4	III-IV	- strong to very strong impact	alphameso to polysaprobiic
>3.5	IV	- very strong impact	polysaprobiic

2.8.5 The Mae Sa Index (Pekthong, 2002), and The Ping and Nan Index

(Kunpradid, 2005)

อินเดกซ์นี้ประยุกต์มาจากอินเดกซ์ของ Kelly (2000), Mae Sa Index และ Ping
and Nan Index โดยอินเดกซ์ได้ใช้เพื่อวัดผลกระทบของสารอาหาร (โดยเฉพาะอย่างยิ่งปริมาณ

ของฟอสฟอรัส) ซึ่งสารอาหารดังกล่าวได้มาจากการชุมชนที่อาศัยโดยรอบลำธาร นอกจานี้ยังได้ทำการวัดคุณภาพน้ำอื่นๆ ควบคู่ด้วย (ตารางที่ 5-6) เช่น ค่า BOD ปริมาณแอนโนมเนีย ค่าความเค็ม และปริมาณสารอาหาร อินเดกซ์นี้ถูกคำนวณโดยใช้โปรแกรมคอมพิวเตอร์โดยใช้ค่าเฉลี่ยน้ำหนัก (weight average) มาแทนค่าในสูตร (Zelinka and Marvan, 1991 ข้างโดย Kelly, 2000) ดังสูตรต่อไปนี้

$$WMS = \frac{\sum avs}{\sum av}$$

โดยที่ a = relative abundance (proportion) of species in the sample

v = the indicator value (1-3)

s = pollution sensitivity (1-5) of the species

2.8.6 The Mekong River and its tributaries Diatom Index (Suphan, 2010)

อินเดกซ์นี้ถูกสร้างขึ้นโดยยึดกลั่นเกณฑ์และใช้สูตรดังที่ได้แสดงไว้ใน ตารางที่ 5 และ 6 โดยพิจารณาจากค่าความเป็นด่าง ค่าการนำไฟฟ้า ปริมาณไนเตรท และปริมาณฟอสฟอรัสที่ ละลายน้ำทั้งหมด และได้แบ่งแหล่งน้ำออกเป็น 6 ประเภท ได้แก่ แหล่งน้ำที่มีคุณภาพดีหรือมีสารอาหารน้อย (oligotrophic status), แหล่งน้ำที่มีคุณภาพดีถึงปานกลางหรือมีสารอาหารน้อยถึงปานกลาง (oligo-mesotrophic status), แหล่งน้ำที่มีคุณภาพปานกลางหรือมีสารอาหารปานกลาง (mesotrophic status), แหล่งน้ำที่มีคุณภาพปานกลางถึงไม่ดีหรือมีสารอาหารปานกลางถึงสูง (mesoeutrophic status), แหล่งน้ำที่มีคุณภาพไม่ดีหรือมีสารอาหารสูง (eutrophic status) และ แหล่งน้ำที่มีคุณภาพไม่ดีอย่างรุนแรงหรือมีสารอาหารมากเป็นพิเศษ (hypereutrophic status)

ตารางที่ 4 The six classes of alkalinity, conductivity, nitrate nitrogen and SRP and the scores for calculation the Mae Sa Index (modified from Kelly, 2000).

Scores	1	2	3	4	5	6
Alkalinity (mg.l-1)	<50	50-100	100-150	150-200	200-500	>500
Conductivity ($\mu\text{s.cm}^{-1}$)	<50	50-100	100-250	250-500	500-1000	>1000
Nitrate nitrogen ($\mu\text{g.l}^{-1}$)	<10	10-100	100-1000	1000-	5000-	>10000
SRP ($\mu\text{g.l}^{-1}$)	<10	10-35	35-100	100-350	350-1000	>1000
Trophic Status	Oligotrophic	Oligo - mesotrophic	Mesotrophic	Meso- eutrophic	Eutrophic	Hypereutrophic

ตารางที่ 5 The seven classes include ammonium nitrogen, nitrate nitrogen and SRP and the scores for calculating the Ping and Nan Index (modified from Kelly (2000), Lorraine and Vollenweider (1983), Wetzel (1983) and AARL water quality standard

Scores	1	2	3	4	5	6	7
BOD (mg.l-1)	<0.5	0.5-1.0	1.0-2.0	2.0-5.0	5.0-10.0	10.0-20.0	>20
Nitrate -N (mg.l-1)	<0.01	0.01-0.1	0.1-1.0	1.0-5.0	5.0-10.0	10.0-20.0	>20.0
Ammonium-N v (mg.l-1)	<0.01	0.01-0.05	0.05-0.2	0.2-0.5	0.5-1.0	1.0-5.0	>5.0
SRP (mg.l-1)	<0.01	0.01-0.03	0.03-0.1	0.1-0.35	0.35-1.0	1.0-3.0	>3.0
Trophic Status	oligo saprobic	oligo betameso	beta-meso saprobic	beta-alfa mesosaprobic	alfa-meso saprobic	alfa-poly saprobic	poly sapro saprobic

2.8.7 อินเด็กซ์ของแม่น้ำโขงส่วนที่ไหลผ่านจังหวัดอุบลราชธานี (Me Kong River in Ubon Ratchathani Index)

อินเด็กซ์ที่ใช้ในงานวิจัยครั้งนี้ได้ยึดหลักตาม The Saprobiic Index ของ Rott et al. (Rott et al., 1997) โดยใช้สูตรของ van Dam (1994) และ The Mekong River and its tributaries Diatom Index (Suphan, 2010) (modified from Kelly (2000), Lorraine and Vollenweider (1983), Wetzel (1983) และ ค่าคะแนนมาตรฐานคุณภาพน้ำของ AARL ดังแสดงตารางที่ 4, 5. และ 6.

นอกจากนี้ได้มีการคำนวณหาค่าสัมประสิทธิ์เปอร์เซ็นต์ความคล้ายคลึงกัน (Percent similarity coefficient) ของตัวอย่าง โดยใช้สูตรดังนี้

$$\text{Percent similarity coefficient} = 2 \times \frac{\sum \min}{\sum \text{sample 1} + \sum \text{sample 2}}$$

งานวิจัยนี้ได้ยึดหลักเกณฑ์ของไนเตรตตามมาตรฐานคุณภาพน้ำดังตารางที่ 7 และ 8

ตารางที่ 6 การแบ่งชั้นของแหล่งน้ำโดยบีดหลักเกณฑ์ของปริมาณไนเตรต (Rott et al., 1997)

trophic status	nitrate
oligotrophic	< 0.6 mg/l
mesotrophic	0.6-1.2 mg/l
eutrophic	1.2-4.0 mg/l
polytrophic	4.0-7.0 mg/l
polytrophic+	>7.0 mg/l

ตารางที่ 7 การแบ่งชั้นของแหล่งน้ำโดยบีดหลักเกณฑ์ของปริมาณ BOD และ O₂ saturation

และแอนโนเนีย (Rott et al., 1997)

Class	O ₂ saturation	BOD ₅	NH ₄
Class I unpolluted	95%-105%	≤1 mg/l	< 100µg/l
Class I-II slightly polluted	85%-95%	1-2 mg/l	< 100µg/l
Class II moderately polluted	O ₂ > 6 mg/l	2-6 mg/l	< 300µg/l
Class II-III significantly polluted	< 50%	5-10 mg/l	< 1mg/l
Class III severely polluted	O ₂ < 2 mg/l	7-13 mg/l	0.5mg/l-several mg/l
Class III-IV highly polluted	O ₂ ~ 0 mg/l	10-20 mg/l	» 1 mg/l

2.9 งานวิจัยเกี่ยวกับไกดอตตอนพื้นท้องน้ำและสาหร่ายขนาดใหญ่

Shannon and Weaver (1949) ได้สร้างค่านิยมความหลากหลายของชนิด (species diversity index) ซึ่งได้รับความนิยมนิยมนำมาใช้อย่างกว้างขวาง มีปัจจัยหลายอย่างที่มีผลต่อค่านิยมความหลากหลายของชนิด แต่ปัจจัยหลักมี 2 อย่างคือ species richness ซึ่งเป็นอัตราส่วนของชนิดใดๆ ต่อจำนวนชนิดทั้งหมดและ equitability ซึ่งเป็นความสม่ำเสมอหรือความมากน้อยของสิ่งมีชีวิตในแต่ละชนิดที่มีอยู่ในตัวอย่าง

Entwistle (1989) ศึกษาสาหร่ายขนาดใหญ่ในแม่น้ำ Yarra Basin ในประเทศออสเตรเลียพบสาหร่ายขนาดใหญ่ 43 สปีชีส์ โดยพบสาหร่ายใน Division Chlorophyta 55%, Rhodophyta 18%, Cyanophyta 14% และ Chrysophyta 13% พบว่า *Phormidium retzii* (C. Agardh) Gomont เป็นชนิดที่มีการแพร่กระจายมากที่สุด และมักพบสาหร่ายสีแดง *Braatachospermum* spp. ในจุดเก็บตัวอย่างน้ำที่คุณภาพค่อนข้างดี

Pfister (1992) ทำการศึกษา phytobenthos communities จากลำธารตามธรรมชาติที่ไหลเร็วนอกเขางสองสายคือ ลำธาร Isar ใน Northern Calcareous Alps และลำธาร Gschnitzbach ใน Central Alps ในแคว้น Tyrol ประเทศออสเตรเลีย พบไกดอตตอน 163 taxa ซึ่งส่วนใหญ่อยู่ใน Family Naviculaceae และ Bacillariaceae ส่วนเจ็นัสที่มีจำนวนชนิดมากที่สุดคือ Cymbella (23 taxa), Navicula (20 taxa), Nitzschia (17 taxa) และ Achnanthes (13 taxa) ส่วนใหญ่ไกดอตตอนที่พบเป็นกลุ่มที่อยู่ในแหล่งน้ำที่มีสารอาหารต่ำและเป็นลำธารที่ไหลเร็ว จากตัวอย่างของไกดอตตอนที่เก็บมาไกดอตตอนเพียง 7 ใน 160 taxa เท่านั้นที่มี relative abundance มากกว่า 20% ไกดอตตอนชนิดเด่นได้แก่ *Achnanthes bialolettiana* Grunow, *Achnanthes minutissima* Kützing, *Ceratoneis arcus* Kützing, *Cymbella delicatula* Kützing, *Diatoma ehrenbergii* Kützing, *Gomphonema angustum* Agardh. และ *G. olivaceum* var. *minutissimum* Hustedt

Margarita (1994; อ้างอิงจาก โดย ตรัย เป็กทอง (2541) ศึกษาสาหร่ายพวง periphyton ในแม่น้ำ 2สาย คือ Rio Gran de Tarcoles basin ซึ่งเป็นแม่น้ำที่มีลักษณะเป็นอนุภูมิ และ Savegre basin ที่เป็นแม่น้ำที่ไม่ได้รับการปนเปื้อนจากลักษณะ ในประเทศ Costa Rica อเมริกากลาง โดยศึกษาไกดอตตอนเป็นหลัก ซึ่งไกดอตตอนจะได้รับผลกระทบจากการที่มีมลภาวะจากสารอินทรีย์มาปนเปื้อนและผลจากความแตกต่างทางด้านความสูง (altitudinal differentiation) พบว่าใน Rio Grand de Tarcoles basin พบไกดอตตอนพื้นท้องน้ำ 95 taxa ส่วนใหญ่เป็น *Navicula* 25 ชนิด, *Nitzschia* 17 ชนิด, *Gomphonema* 10 ชนิด และ *Achnanthes* 9 ชนิด ไกดอตตอนส่วนใหญ่เป็นชนิดที่พบได้ทั่วไปและมีในเขตต้อน สำหรับผลการศึกษาสิ่งมีชีวิตกลุ่ม epilithic diatom ในแม่น้ำทั้ง 2สาย พบไกดอตตอนทั้งหมด 125 taxa โดย taxa หลัก ได้แก่ *Navicula* spp., *Nitzschia* spp., *Achnanthes* spp. และ

Gomphonema spp. ชนิดที่พบมากในแม่น้ำ Rio Grand de Tarcole basin คือ *Navicula goeppertiana*, *Gomphonema parvulum*, *Gomphonema* sp. aff. *pumilum*, *Nitzschia palea*, *Nitz. amphibia*, *Nitz. inconspiciua*, *Nitz. clausii*, *Nitz. frustulum*, *Nitz. seminulum* และ *Nitz. schroeteri* var. *escambia* ซึ่งเป็นชนิดที่มีความทนทานสูง (high tolerant) ต่อสภาพลพิษที่เป็นสารอินทรีย์ หรือสภาพ eutrophication และสภาพที่มีความชุ่นสูง ชนิดที่พบมากในแม่น้ำ Sevegre basin คือ *Achnanthes minutissima*, *Cymbella sinuata*, *Rhoicosphenia abbreviata*, *Coccconeis placentula*, *Gomphonema rhombicum*, *Nitzschia fonticola*, *Fragilaria pinnata* และ *Achnanthes subhudsonis* ซึ่งเป็นชนิดที่พบในน้ำที่สะอาด มีปริมาณของไนโตรเจนต่ำและไม่มีสภาพลพิษ พบริเวณดอนชนิด *Navicula cyptotella*, *Navi. capitatoradiata*, *Fragilaria ulna* และ *Achnanthes* sp. aff. *ricula* กระจายอยู่มากในแม่น้ำทั้งสอง

Rott (1995) ทำการศึกษาได้รับตัวอย่าง phytobenthos ในแม่น้ำ Grand ในแคว้น Ontario ประเทศแคนาดา ในฤดูใบไม้ผลิและฤดูร้อน ปี ค.ศ. 1994 จากด้านน้ำที่มีระดับความสูงจากระดับน้ำทะเลประมาณ 500 เมตร จนถึงใกล้ปากทะเลสาบ Erie ที่ความสูง 380 เมตรจากระดับน้ำทะเล พบริเวณดอน 138 taxa ซึ่งได้ให้ผลต่างจากการศึกษา ก่อนหน้านี้ที่มีจำนวนชนิดเพิ่มมากขึ้นตอนปลายของลำน้ำ จากการศึกษาสามารถแบ่ง benthic diatom ออกเป็น 3 เขตคือ เขตได้รับตัวอย่างกลุ่ม oligotrophic flora หรือกลุ่มที่พบในบริเวณที่มีสารอาหารน้อย โดยพบริเวณที่ว้าวุ่น ลักษณะน้ำใส เขตที่มีได้รับตัวอย่างกลุ่มที่พบได้ทั่วไปในธรรมชาติที่เป็นแบบที่มีสารอาหารสูงในตอนกลางของลำน้ำ และเขตที่มีได้รับตัวอย่างในน้ำที่มีส่วนประกอบโดยทั่วไปเป็นดินเหนียว บริเวณตอนท้ายของลำน้ำใกล้ปากแม่น้ำโดยชนิดที่บ่งบอกถึงการมีสารอาหารมากในแหล่งน้ำ เช่น *Gomphonema parvulum* var. *parvulum* f. *saprophilum*, *Navicula* sp. และ *Nitzschia* sp. และพบว่า *Fragilaria sensu Lange-Bertalot* และ *Gomphonema* sp. มีความผันแปรทางสัณฐานวิทยาสูงมาก

Neecchi et al. (1997) ได้ศึกษาสาหร่ายขนาดใหญ่จาก 50 ถ้ำในรัฐเซาเปาโล ประเทศบราซิลในปี 1989-1993 พบรากะขนาดใหญ่ทั้งหมด 42 ชนิด ซึ่งเป็นชนิดที่เคยมีการรายงานมาก่อนในประเทศ 4 ชนิด คือ *Cladophora glomerata*, *Pamellopsis gelatinosa*, *Stigeoclonium helveticum* และ *Vulcheria fontinalis*

Kowe et al. (1998) ได้พัฒนาแบบจำลองทางคณิตศาสตร์เพื่อใช้ตรวจวัดพฤติกรรมของสาหร่ายกลุ่มต่างๆ ในแหล่งน้ำที่ไหลเร็ว แบบจำลองนี้ได้ประยุกต์เพื่อใช้เป็นข้อมูลสำหรับแม่น้ำ Swale ซึ่งเป็นแม่น้ำที่อยู่ในบริเวณตะวันออกเฉียงเหนือของประเทศอังกฤษ โดยทำการศึกษาเป็นเวลา 1 ปี (เดือนกันยายน 1993 ถึง เดือนสิงหาคม 1994) พบรากะขนาดใหญ่ 4 ชนิด คือ *Profilis* sp. และ *Microcoleus chthonoplastes* แสดงถึงความผันผวนของสาหร่ายกลุ่มเด่น และพบว่ามีการลดลงของ benthic diatoms ออกรากะ

จาก substrate ขึ้นมาสู่ม้วลน้ำตามแนวลักษณะของแหล่งน้ำได้อีก ในระหว่างช่วงฤดูหนาวปริมาณของคลอโรฟิลล์ เอ มีค่าต่ำอย่างชั่งสัมพันธ์กับจำนวนสาหร่ายที่มีจำนวนน้อย และพบว่าปริมาณคลอโรฟิลล์ เอ สูงในระหว่างช่วงฤดูร้อน ซึ่งสัมพันธ์กับสาหร่ายและสาหร่ายที่มีเค้าโครงลักษณะที่มีการมีการเจริญอย่างรวดเร็ว

Kelly (1998) "ได้ใช้ไโคอะตอนเป็นดัชนีชี้วัดสถานะของปริมาณสารอาหารในแหล่งน้ำ (trophic diatom index หรือ TDI) โดยทำการตรวจวัดที่จุดเก็บตัวอย่างน้ำบริเวณซึ่งอยู่ก่อหน้าและหลังจุดที่มีการปล่อยน้ำเสียแหล่งใหญ่ พบร้าสามารถประยุกต์ใช้ไโคอะตอนบางชนิดเป็นดัชนีบ่งชี้คุณภาพน้ำได้ โดยค่าดัชนี มีค่าตั้งแต่ 1 (สารอาหารต่ำ) ถึง 5 (สารอาหารสูง) โดยได้แยกไโคอะตอนที่เป็นชนิดเด่นออกมาจากไโคอะตอนที่พบทั่วไป จากนั้นนำมาจัดลำดับค่าความไวต่อการเปลี่ยนแปลงของแต่ละ taxa การใช้ไโคอะตอนเป็นดัชนีชี้วัดนี้จะมีความสำคัญมากในจุดเก็บตัวอย่างที่อยู่ในเขตปลายน้ำซึ่งเป็นจุดหลังจากการระบายน้ำใหญ่ผ่านจุดที่มีการปล่อยน้ำเสียซึ่งมีสารอินทรีย์ที่เป็นมลพิษมาก ปัจจุบันได้มีการปรับปรุง TDI และได้นำมาใช้เป็นร่วมกับการตรวจวัดคุณภาพน้ำด้านอื่นเพื่อประเมินสถานะของสารอาหารในแม่น้ำได้ (อ้างอิง)

Branco et al. (1999) ได้ศึกษาสาหร่ายขนาดใหญ่กลุ่มสาหร่ายสีเขียวแกมน้ำเงิน ในประเทศบราซิล ใน 172 ลักษณะ พบร้าหร่ายสีเขียวแกมน้ำเงินทั้งหมด 34 ชนิด และพบ *Phormidium retzii* (C. Agardh) Gomont เป็นชนิดที่มีการแพร่กระจายมากที่สุด และพบสาหร่ายชนิดอื่น ได้แก่ *Dichotrix baueriana* (Grunow) Bornet และ *Rivularia cf. beccariana* (De Wilde) Geitler เป็นครั้งแรกในประเทศบราซิล

2.10 งานวิจัยด้านความหลากหลายทางชีวภาพของไโคอะตอนพื้นท้องน้ำและสาหร่ายขนาดใหญ่ในประเทศไทย

มีการศึกษาความหลากหลายของไโคอะตอนในประเทศไทยมานานตั้งแต่ศตวรรษที่ 19 การศึกษาส่วนใหญ่ในระยะแรกผู้ศึกษาเป็นนักวิทยาศาสตร์ต่างชาติ ยกตัวอย่างเช่น Ostrup (1902) ได้รายงานว่า พบร้าไโคอะตอน 81 ชนิดที่เกาะช้าง โดยที่ชาวเดนมาร์กที่เดินทางมาที่ประเทศไทย ได้ทำการเก็บตัวอย่างไโคอะตอน ในปี 1899-1900 (ขุวดี พิรพารพิศาล และคณะ, 2543) ปี 1936 Patrick ได้ศึกษา ไโคอะตอนในลำไส้ของลูกอื้อคในประเทศไทยและประเทศมาเลเซีย พบร้าไโคอะตอน 185 ชนิด (Patrick, 1936) ในระหว่างปี ค.ศ.1961-1962 ซึ่งได้ทำการเก็บตัวอย่างโดยที่มีวิจัยระหว่างญี่ปุ่นและไทยทำการเก็บตัวอย่างในประเทศไทยกลุ่มเอเชียตะวันออกเฉียงใต้และมีการจำแนกชนิดโดย Hirano(1967) พบร้าไโคอะตอน 143 ชนิด ในจำนวนนี้พบในประเทศไทย 114 สปีชีส์ Foged (1971) ได้ศึกษาไโคอะตอนจากแม่น้ำในเขตกรุงเทพมหานคร และจังหวัดเชียงใหม่ ของประเทศไทย ในปี 1966

ศึกษาได้อะตอมจากแม่น้ำในเขตกรุงเทพมหานคร และจังหวัดเชียงใหม่ ของประเทศไทย ในปี 1966 พบ.ได้อะตอมทั้งหมด 378 taxa พบ. สปีชีส์ใหม่ 8 species พบ varieties ใหม่ 5 varieties และพบ forms ใหม่ 2 form Foged (1976) ได้ศึกษาได้อะตอม โดยเก็บตัวอย่างทั้งหมด 22 ตัวอย่าง จากแหล่งน้ำจืด 21 แหล่ง ในประเทศไทยลังกา ในปี 1971 และปี 1973 พบ.ได้อะตอม 310 taxa จาก 34 จีนัส และพบ.ได้อะตอมชนิดใหม่คือ *Caloneis gjeddeana* ผลงานเรื่อง The diatom flora of Thailand ได้มีการศึกษาโดยนักวิทยาศาสตร์ชาวต่างชาติเมื่อประมาณ 100 ปีที่ผ่านมาและได้นำมาตีพิมพ์โดย (กาญจนภานันด์ ลิ่ววนโนมนต์, 2538) นอกจากนี้ยังมีการรวบรวมข้อมูลสาหร่ายในประเทศไทยซึ่งได้รวบรวมมาจากผลงานตีพิมพ์ 53 เรื่อง พบ.ได้อะตอม 161 จีนัส 1001 ชนิด 287 วารีตี้ และ 63 ฟอร์ม โดยข้อมูลที่รวบรวมครั้งนี้ได้แยกระหว่างสาหร่ายน้ำจืดและสาหร่ายทะเลออกจากกัน สำหรับได้อะตอมถูกจัดอยู่ใน ดิวชั่น Chrysophyta คลาส Bacillariophyta พบ.ได้อะตอม 46 จีนัส 385 ชนิด 144 วารีตี้ และ 43 ฟอร์มส์ โดยที่จำนวนได้อะตอมที่รวบรวมไว้ใน The diatom Flora นั้นครอบคลุมงานทั้งหมดที่กล่าวมาข้างต้นด้วย

ผลงานวิจัยด้านความหลากหลายของได้อะตอมพื้นท้องน้ำโดยนักวิทยาศาสตร์ไทยมีน้อยมาก โดยมีผลงานดังนี้ ลัคดา วงศ์รัตน์ (2541) ได้ทำการศึกษาแพลงก์ตอนพืชทั่วประเทศไทยซึ่งรวม ได้อะตอมไว้ด้วย อายุ่งไราก์ตามตัวอย่างที่เก็บส่วนใหญ่จะเก็บในเขตภาคเหนือและการตัววันออกเดียงเหนือของประเทศไทย ขุวดี พิรพรพิศาล (2539) ได้ทำการศึกษาแพลงก์ตอนพืชและได้อะตอมในอ่างเก็บน้ำของศูนย์ศึกษาการพัฒนาห่วงโซ่ฯ ไครอันเนื่องมาจากพระราชดำริ จังหวัดเชียงใหม่ นอกจากนี้ยังพบว่ามีการรายงานผลการศึกษาได้อะตอมจากนักวิทยาศาสตร์ไทยจากมหาวิทยาลัยและสถาบันหลายแห่งแต่ส่วนใหญ่เป็นการศึกษาได้อะตอมที่เป็นแพลงก์ตอนพืช (กาญจนภานันด์ ลิ่ววนโนมนต์, 2538)

การศึกษาได้อะตอมพื้นท้องน้ำในประเทศไทยได้เริ่มนิการศึกษาโดย ตรัย เป็กทอง (2541) และประเสริฐ ไวยาภา (2541) ได้ทำการศึกษาได้อะตอมพื้นท้องน้ำในลำน้ำแม่สา อุทัยธานีแห่งชาติโดยสุเทพ-ปุย จังหวัดเชียงใหม่ พบ.ได้อะตอมพื้นท้องน้ำ 172 ชนิด โดยที่ 106 ชนิดเป็นได้อะตอมพื้นท้องน้ำที่พบในจุดเก็บตัวอย่าง 6 จุดเก็บตัวอย่างในบริเวณละติจูดสูง และ 6 จุดเก็บตัวอย่างบริเวณละติจูดที่ต่ำลง งานวิจัยของขุวดี พิรพรพิศาล (2544) พบ.ได้อะตอมในลำน้ำแม่สา 222 ชนิดและในจำนวนนี้พบว่าเป็นได้อะตอมที่ยังไม่เคยมีรายงานในประเทศไทย 51 ชนิดแพลงก์ตอนพืชส่วนใหญ่เป็นได้อะตอม เช่น *Melosira varians*, *Cymbella tumida*, *Fragilaria ulna* และ *Nitzschia* spp.

ชาญณรงค์ แก้วเล็ก (2539) ได้ศึกษาสาหร่ายที่เป็นดัชนีคุณภาพน้ำในลุ่มน้ำแม่น้ำชี ในจังหวัดขอนแก่น เลย ชัยภูมิ ขอนแก่น อุดรธานี มหาสารคาม กារสินธุ์ ร้อยเอ็ด ยโสธร

อุบลราชธานี พบร่างสาหร่ายในลุ่มน้ำชีมี 41 สกุล ประกอบด้วย 4 คิวชั่น คือ คิวชั่น Chrysophyta, Chlorophyta, Cyanophyta และ Pyrophyta ความสัมพันธ์ระหว่างปริมาณสาหร่ายกับคุณภาพน้ำ พบร่างมีปริมาณสาหร่ายในบางคิวชั่นเท่านั้นที่มีความสัมพันธ์กับคุณภาพน้ำ โดยเฉพาะ คิวชั่น Chrysophyta และปริมาณชาต้อหารที่มีความสัมพันธ์กัน

ประเสริฐ ไวยากร (2541) ได้ศึกษาความหลากหลายของสาหร่ายขนาดใหญ่และเป็นทิคอลจีในลำน้ำแม่สา จังหวัดเชียงใหม่ ระหว่างเดือนมีนาคม 2540-กุมภาพันธ์ 2541 จาก 6 จุด เก็บตัวอย่าง ตามระดับความสูงจากน้ำทะเล 650-1,075 เมตร และศึกษาคุณภาพน้ำบางประการ พบร่างทิคอลจีประเภทไครอะตอนมากที่สุด คือ 106 ชนิด รองลงมาคือแพลงก์ตอนพืช 102 ชนิด และสาหร่ายขนาดใหญ่ที่มีลักษณะเป็นเส้นสาย 11 ชนิด รองลงมาคือแพลงก์ตอนพืช 102 ชนิด เป็นทิคอลจีชนิดเด่น ได้แก่ *Cocconeis placentula* Eherenberg, *Navicula viridula* (Kützing) Ehrenberg, *Fragilaria ulna* (Nitzsch) Lange-Bertalot, *Melosira varians* Agardh, *Nitzschia linearis* (Agardh) W. Smith และ *Navicula cryptocephala* Kützing แพลงก์ตอนพืชส่วนใหญ่จะเป็นไครอะตอน เช่นกัน ได้แก่ *Melosira varians* Agardh, *Cymbella tumida* (Brébisson) Van Heurck, *Fragilaria ulna* (Nitzsch) Lange-Bertalot, *Navicula cryptotenella* Lange-Bertalot และ *Navicula viridula* (Kützing) Ehrenberg นอกจากนี้ยังพบสาหร่ายขนาดใหญ่ที่เป็นเส้นสาย ได้แก่ *Spirogyra* spp., *Cladophora* sp., *Ceramium* sp., *Gloeotrichia echinulata* (J.E.Smith) P. Richler, *Hydrodictyon reticulatum* (L.) Lag. และ *Rhizoclonium* sp.

ทัตพร คุณประดิษฐ์ (2542) ศึกษาความหลากหลายทางชีวภาพของแพลงก์ตอนพืชและสาหร่ายขนาดใหญ่ในลำน้ำแม่สา อุทยานแห่งชาติดอยสุเทพ-ปุย จังหวัดเชียงใหม่ พบร่างแพลงก์ตอนพืช 163 ชนิดจัดอยู่ใน 6 คิวชั่น คือ Chlorophyta, Bacillariophyta, Cyanophyta, Euglenophyta, Pyrophyta และ Cryptophyta ซึ่งแพลงก์ตอนพืชส่วนใหญ่จะเป็นไครอะตอนชนิดเด่นคือ *Fragilaria ulna* (Nitzsch) Lange-Bertalot, *Navicula viridula* (Kützing) Ehrenberg, *Cymbella tumida* (Brébisson) Van Heurck และ *Melosira varians* Agardh และพบร่าง *Melosira varians* Agardh เป็นสาหร่ายชนิดเด่นในงานวิจัยนี้

พิษณุ วรรณัง (2544) สำรวจชนิดและนิเวศวิทยาของสาหร่ายสีเขียวแกมน้ำเงินในลุ่มน้ำแม่น้ำภาคเหนือของประเทศไทย พบว่าคุณภาพของลุ่มน้ำทั้งสองเมื่อจัดตามระดับความมากน้อยของสารอาหารแล้วอยู่ในระดับปานกลาง (mesotrophic status) ยกเว้นบริเวณต้นน้ำของลุ่มน้ำปิงที่คุณภาพน้ำจัดอยู่ในระดับดี (oligotrophic status) ตรงกันข้ามในจุดเก็บตัวอย่างตอนปลายของลำน้ำปิง ได้แก่ แม่น้ำเจ้าพระยา และภาคใต้ คุณภาพน้ำจัดอยู่ในระดับปานกลางถึงเตี้ย (meso-eutrophic status) เนื่องด้วยส่องจะน้ำจัดอยู่ในรับผลกระทบจากมนพิษจากตัวเมืองเชียงใหม่ เมื่อจัดคุณภาพน้ำตามมาตรฐาน

ระดับ 4 - 5 ส่วนลุ่มน้ำน่านอยู่ในระดับ 2 - 3 เกือบทั้งหมด ยกเว้นในจุดต้นน้ำซึ่งคุณภาพน้ำจัดอยู่ในระดับ 3 อันเป็นผลเนื่องมาจากการละลายไฮอนต่างๆ จากหินปูน โดยพบว่าสาหร่ายบางชนิดมีแนวโน้มที่จะใช้เป็นดัชนีบ่งชี้คุณภาพน้ำ ชนิดที่มีความสัมพันธ์กับคุณภาพน้ำเด่นชัด ได้แก่ *Phormidium retzii* ซึ่งสามารถใช้เป็นดัชนีบ่งชี้คุณภาพ มีค่าการนำไฟฟ้าสูง นอกจานี้ยังพบสาหร่ายบางกลุ่มในช่วงที่คุณภาพน้ำค่อนข้างเสีย เช่น *Oscillatoria limosa*, *Nostoc microscopicum* และ *Cylindrospermum spp.* ส่วนในจุดที่น้ำมีคุณภาพดี เช่น ต้นน้ำแม่น้ำปิงจะพบสาหร่ายกลุ่ม *Calothrix spp.* และ *Chamaesiphon spp.*

ครีวารณ ไชยสุข และคณะ (2546) ได้วิเคราะห์คุณภาพน้ำทางชีวภาพโดยใช้แพลงก์ตอนพืชและแพลงก์ตอนสัตว์ในลำน้ำแม่น้ำ คอยแม่ส่อง จังหวัดเชียงราย โดยทำการเก็บตัวอย่าง 6 จุด ตั้งแต่เดือนมีนาคมถึงเดือนกรกฎาคม 2545 พบแพลงก์ตอนพืช 78 ชนิด ใน 4 ดิวิชัน เรียงลำดับความมากไปน้อย ดังนี้ Division Chrysophyta, Chlorophyta, Euglenophyta และ Cyanophyta แพลงก์ตอนพืชที่เป็นชนิดเด่น ได้แก่ *Melosira variens* Agardh และ *Synedra ulna* (Nitzsch)Ehrenberg ในเดือนกรกฎาคม จุดเก็บตัวอย่างที่ 6 พบ *Euglepha acus* Ehrenberg ซึ่งบ่งชี้คุณภาพน้ำเสีย

ยุวดี พรพรพิศา (2548) ได้ทำการศึกษาศักยภาพของสาหร่ายน้ำจืดขนาดใหญ่ในการนำมาเป็นอาหารและยา พบสาหร่ายขนาดใหญ่ที่นำมาเป็นอาหาร ได้ 3 ชนิดคือ เทาน้ำซึ่งมีหลายชนิดมีพบอยู่ในแหล่งน้ำนั่งหรือน้ำไหลเอื่อยๆ พบมากในฤดูฝน สาหร่ายไกมีอยู่ 6 ชนิดคือ *Cladophora glomerata*, *Cladophora sp.1*, *Microspora floccosa*, *M. pachyderma*, *Microspora sp.1* และ *Microspora sp.2* พบกระจายทั่วไปตามพื้นท้องน้ำที่มีลักษณะเป็นก้อนหินและน้ำไหลไม่แรง นัก และสาหร่ายล่อน หรือ ไข่หิน ดอกหิน หรือองล่อน เป็นสาหร่ายสีเขียวแกมน้ำเงินมี 2 ชนิดคือ *Nostochopsis hansgrig* และ *N. lobatus* พบมากในลำน้ำน่าน ส่วนลำน้ำโขงมีบ้างแต่น้อยมาก ระบบนิเวศของสาหร่ายขนาดใหญ่ที่มีศักยภาพในการนำมาเป็นอาหาร ลักษณะทางกายภาพของแหล่งน้ำที่มีผลต่อการเจริญ ของสาหร่ายมากที่สุดคือ ความชุ่มใสของน้ำ ความเร็วของกระแสน้ำ และสิ่งมีชีวิตที่พื้นท้องน้ำ โดยสาหร่ายจะเจริญได้ในฤดูหนาวและฤดูร้อน ส่วนฤดูฝนแทนจะไม่พบสาหร่ายไกและล่อนเลย แต่อาจจะพบเทาน้ำได้บ้าง สาหร่ายไกและล่อนจะเริ่มปรากฏให้เห็นในเดือนพฤษภาคมของทุกปีซึ่งน้ำค่อนข้างใสกระแสน้ำไม่แรงและจะเพิ่มมากขึ้นเรื่อยๆ โดยในเดือนกรกฎาคมถึงกุมภาพันธ์ จะพบสาหร่ายทั้งสองชนิดมากที่สุด และจะพบเรื่อยไปจนถึงเดือนเมษายน เมื่อฝนเริ่มตกน้ำจะเริ่มน้ำท่วมและน้ำไหลแรงขึ้นสาหร่ายจะค่อยๆ หายใจไป และสาหร่ายจะเจริญได้ในสภาพที่มีสารอาหารปานกลาง (mesotrophic status) ซึ่งคุณภาพน้ำจะอยู่ในระดับดีจนถึงปานกลาง ในน้ำเสียสาหร่ายไม่สามารถเจริญได้ คุณค่าทางโภชนาการของสาหร่ายไก และเทาน้ำมีความแตกต่างกันคือ สาหร่ายไกจะมีโปรตีน กากไข้อาหาร ไขมัน วิตามินและเกลือแร่บางชนิด

ความแตกต่างกันคือ สาหร่ายไกจะมีโปรตีน กากไข้อาหาร ไนนัน วิตามินและเกลือแร่บางชนิด มากกว่าเท่านั้นในขณะที่เท่านี้จะมีการโน้มไชเดรต พลังงาน วิตามินบี 2 แมgnีเซียม และแมงกานีส มากกว่าสาหร่ายไก นอกจากนั้นในสาหร่ายไกยังมีซีลีเนียม ซึ่งเป็นเกลือแร่ที่สามารถต่อต้านการเกิดอนุยุลิสระในปริมาณที่สูงมาก อีกด้วย

ตรัย เป็กทอง (2548) ได้ศึกษาความหลากหลายทางชีวภาพของ ไโคอะตอนพื้นท้องน้ำและ การประยุกต์ใช้เพื่อติดตามตรวจสอบคุณภาพลำน้ำแม่น้ำ อุทัยานแห่งชาติอย่างสุเทพ-ปุย จังหวัด เชียงใหม่ ระหว่างเดือนเมษายน 2541 ถึงเดือนกันยายน 2542 ผลการศึกษาพบว่ามีไโคอะตอน 34 genera 278 species ในจำนวนนี้ 51 สปีชีส์เป็นสปีชีส์ที่พบใหม่ในประเทศไทย ไโคอะตอนที่พบเป็น ชนิดเด่นคือ *Gomphonema pumilum* var. *rigidum* E. Reichardt et Lange-Bertalot, *Nitzschia palea* Kützing, *Achnanthes lanceolata* (Brébisson) Grunow, *Cocconeis placentula* Ehrenberg, *Gyrosigma scalprodes* (Rabenhorst) Cleve, *Gomphonema parvulum* (Kützing) Kützing, *Achnanthes oblongella* Ostrup, *Navicula schroeterii* Meister และ *Bacillaria paradoxa* Gmelin พบไโคอะตอนที่เป็นดัชนีบ่งชี้คุณภาพน้ำสะอาด ได้แก่ *Gomphonema parvulum* var. *rigidum* E. Reichardt et Lange Bertalot, *Eunotia minor* (Kützing) Grunow และ *Gomphonema clevei* Fricke ซึ่ง พบริเวณดัชน้ำ พนไโคอะตอนที่เป็นดัชนีบ่งชี้คุณภาพน้ำเสีย ได้แก่ *Nitzschia palea* Kützing, *Achnanthes lanceolata* (Brébisson) Grunow, *Gomphonema parvulum* Kützing, *Melosira varians* Agardh, *Gyrosigma scalpoides* (Rabenhorst) Cleve และ *Bacillaria paravulum* Gmelin คุณภาพน้ำ ในลำน้ำแม่น้ำมีความแตกต่างกันทั้งในดัชนีคุณภาพน้ำสำหรับใช้ใน Mae Sa Diatom Index จำนวน 25 species และเมื่อนำมาใช้ประเมินคุณภาพน้ำในลำน้ำแม่น้ำพบว่าสามารถบ่งชี้คุณภาพน้ำ ได้อย่างเหมาะสมสอดคล้องกับคุณภาพน้ำทางกายภาพและเคมี แต่ยังต้องมีการศึกษาชนิดของ ไโคอะตอนที่ใช้เป็นดัชนีเพิ่มขึ้นเพื่อให้ Diatom Index นี้มีประสิทธิภาพมากขึ้น

บุญดี พิรพรพิศาล และทัตพร คุณประดิษฐ์ (2548) ได้ศึกษาการใช้สาหร่ายยึดเกาะในการ ติดตามตรวจสอบคุณภาพของแม่น้ำโขงระหว่างปี 2546-2547 โดยเก็บตัวอย่างทั้งหมด 30 ตุช ใน แม่น้ำโขงและแม่น้ำสาขาในประเทศไทย กัมพูชา และเวียดนาม จากการศึกษาพบว่ามี ความสัมพันธ์อย่างมีนัยสำคัญระหว่างการกระจายของสาหร่ายยึดเกาะและแหล่งน้ำที่มีสภาพ แวดล้อมดั้งกัน และสามารถนำมาระบุนได้โดยใช้ดัชนีบ่งชี้คุณภาพน้ำในแม่น้ำโขงได้ สาหร่ายยึดเกาะ

สาหร่ายยึดเกาะที่พบเป็นชนิดเด่นบางชนิด สามารถนำมาใช้เป็นตัวนับเชื้อคุณภาพน้ำ ได้แก่ *Hydrodictyon reticulatum* และ *Microspora floccosa* บ่งชี้คุณภาพน้ำปานกลางค่อนข้างดี *Audouinella cylindrica*, *Cladophora glomerata*, *Achnanthes inflate* และ *Cymbella turgidula* บ่งชี้คุณภาพน้ำปานกลาง *Stigeoclonium flagelliforme*, *Aulacoseira granulata* และ *Cymbella tumida* บ่งชี้คุณภาพน้ำปานกลางค่อนข้างเสียและ *Caloglossa leprieurii*, *Gomphonema parvulum* และ *Nitzschia clausii* บ่งชี้คุณภาพน้ำเสีย เมื่อประเมินคุณภาพน้ำในแม่น้ำโขง โดยใช้สาหร่ายยึดเกาะพบว่าแม่น้ำโขงช่วงบน และในลั่น้ำสาขามีคุณภาพน้ำปานกลาง ส่วนแม่น้ำโขงในช่วงปลายมีคุณภาพน้ำปานกลางค่อนข้างเสียจนถึงระดับน้ำเสีย

Kunpradid (2005) ได้ศึกษาความหลากหลายของสาหร่ายขนาดใหญ่ โดยตองพื้นท้องน้ำ และความสัมพันธ์กับสารอาหาร ในแม่น้ำปิงและแม่น้ำน่าน ระหว่างเดือนพฤษภาคม 2001 ถึงเดือนกรกฎาคม 2004 โดยกำหนดค่าดักเก็บตัวอย่างแม่น้ำละ 5 จุด จากต้นน้ำถึงปลายน้ำ เก็บตัวอย่างทุกฤดู พบร่องตองพื้นท้องน้ำทั้งหมด 130 ชนิด ในแม่น้ำปิง 103 ชนิด และแม่น้ำน่าน 102 ชนิด และสาหร่ายขนาดใหญ่ 78 ชนิด ในแม่น้ำปิง 47 ชนิด ในแม่น้ำน่าน 57 ชนิด สาหร่ายขนาดใหญ่ที่พบเป็นชนิดเด่นในแม่น้ำปิง ได้แก่ *Cladophora glomerata* Kützing, *Hydrodictyon reticulatum* Kützing, *Mougeotia scalaris* Hassall และ *Nostochopsis lobatus* Dillwyn และแม่น้ำน่าน ได้แก่ *Microspora floccosa* (Vaucher) Thuret, *Microspora pachyderma* (Wille) Lagerheim และ *Cladophora glomerata* Kützing, *Nostochopsis hansgirg* Schmidle และ *Nostochopsis lobatus* Dillwyn ได้ตองชนิดเด่นในแม่น้ำปิง ได้แก่ *Gomphonema parvulum* (Kützing) W. Smith, *Achnanthes lanceolata* (Brébisson) Grunow และ *Bacillaria paradoxa* Gmelin. และในแม่น้ำน่าน ได้แก่ *Cocconeis placentula* Kützing, *Achnanthes crenulata* Lange-Bertalot, *Achnanthes lanceolata* (Brébisson) Grunow และ *Rhopalodia gibba* Lange-Bertalot นอกจากนี้ยังพบว่าในบริเวณที่มีสารอาหารน้อย จะพบ *Batrachospermum* spp., *Nemaliopsis* spp. และ *Chamesiphon* spp. และได้ตองพื้นท้องน้ำ *Gomphonema pumilum* var. *rigidum* E.Reichardt et Lange-Bertalot, *Eunotia minor* (Kützing) Grunow และ *Gomphonema clevei* Fricke เป็นชนิดเด่น ส่วนในบริเวณที่มีสารอาหารสูงจะพบสาหร่ายขนาดใหญ่ *Oscillatoria princeps* Agardh และ *Phormidium subfucosum* Gomont และได้ตองพื้นท้องน้ำ *Nitzschia palea* Kützing, *Achnanthes lanceolata* (Brébisson) Grunow, *Gomphonema parvulum* Kützing, *Melosira varians* Agardh และ *Bacillaria paradoxa* Gmelin เป็นชนิดเด่น คุณภาพน้ำในแม่น้ำปิงโดยทั่วไปดีด้อยในระดับสารอาหารปานกลางถึงสารอาหารมาก ยกเว้นจุดเก็บตัวอย่างที่ 4 บ้านป้าแಡดบริเวณคลองแม่น้ำ ในฤดูร้อนมีสารอาหารมาก ส่วนคุณภาพน้ำในแม่น้ำน่านดีด้อยในระดับสารอาหารน้อยถึงปานกลาง ซึ่งคุณภาพ

น้ำและสารอาหาร ในแม่น้ำปิงและน่าน มีความสัมพันธ์กับการกระจายของสาหร่ายขนาดใหญ่และได้ อะตอมพื้นท้องน้ำในแต่ละจุดเก็บตัวอย่าง และคุณภาพ ได้จัดทำดังนี้ โดยอะตอมและสาหร่ายขนาดใหญ่ในแม่น้ำปิงและน่าน โดยใช้โปรแกรมสถิติ Multivariate Statistical Package (MVSP) version 3.1 for windows โดยเฉพาะ Particularly Principal Correspondence Analysis (PCA) และ Canonical Correspondence Analysis (CCA) และใช้ PC Ordination โดยนำมาใช้ในการหา ได้อะตอมพื้นท้องน้ำและสาหร่ายขนาดใหญ่ชนิดเด่นที่สามารถบ่งชี้คุณภาพน้ำตามลำดับคะแนน โดยเน้นถึงการบ่งชี้ระดับสารอาหาร ในเศรษฐกิจ ไนโตรเจน แอนโอมีนีฟ ในไนโตรเจน และฟอสฟอรัสในรูปที่ลักษณะน้ำ เพื่อใช้ประเมินคุณภาพน้ำ นอกจากนั้นยังนำไปเปรียบเทียบกับดัชนีอื่นๆ พบว่ามีความคล้ายคลึงกัน

Leelahakriengkrai (2007a) ได้ศึกษาความหลากหลายของสาหร่ายขนาดใหญ่และได้อะตอมพื้นท้องน้ำในแม่น้ำแม่กล และลำน้ำสาขา ในภาคเหนือของประเทศไทย ระหว่างเดือนกุมภาพันธ์ ถึงเดือนกรกฎาคม 2006 พน.ได้อะตอมพื้นท้องน้ำ 78 ชนิด 26 จังหวัด ได้อะตอมที่สามารถบ่งชี้เป็นดัชนีชี้วัดคุณภาพน้ำปานกลางหรือสภาวะที่มีสารอาหารต่ำ ได้แก่ *Achnanthes pusila*, *Achnanthes minutissima*, *Achnanthes exigua* var. *constricta*, *Nitzschia dissipata*, *Cymbella turgidula* และ *Diadesmis contenta* และในปี 2008 Leelahakriengkrai ได้รายงานผลการศึกษาความหลากหลายและการติดตามตรวจสอบคุณภาพน้ำของแม่น้ำปิงในช่วงปี 2004-2005 พบว่า *Achnanthes minutissima* และ *Cymbella tumida* สามารถพบได้ในบริเวณที่มีสาหร่ายต่ำ

ยุวดี พิรพรพิศา และ สุทธวรรณ สุพรรณ (2551) การศึกษาความหลากหลายของได้อะตอมพื้นท้องน้ำในแม่น้ำโขง ระหว่างเดือนกรกฎาคม 2548 ถึงเดือนเมษายน 2550 โดยกำหนดจุดเก็บตัวอย่าง 14 จุด ตลอดแม่น้ำโขงและแม่น้ำสาขา ในงานวิจัยนี้พบ ได้อะตอมพื้นท้องน้ำทั้งหมด 84 ชนิด ใน Division Bacillariophyta โดยสกุลที่มีความหลากหลายมากที่สุด ได้แก่ *Navicula*, *Nitzschia*, *Gomphonema*, *Cymbella*, *Coccinei*, *Achnanthes* และ *Synedra* จากการใช้โปรแกรม Statistical Package (MVSP) version 3.1 เพื่อคำนวณค่าของได้อะตอมพื้นท้องน้ำที่สามารถบ่งชี้คุณภาพน้ำ ได้ พบว่า ได้อะตอมพื้นท้องน้ำ *Achnanthes inflata* (Kützing) Grunow และ *Cymbella turgidula* Grunow สามารถบ่งชี้น้ำที่มีคุณภาพปานกลาง *Aulacoseira granulate* Ehrenberg และ *Cymbella tumida* (Brébisson) Van Heurck สามารถบ่งชี้น้ำที่มีคุณภาพปานกลางถึงไม่ดี *Gomphonema lagenula* Kuetzing และ *Nitzschia clausii* Hantzsch สามารถบ่งชี้น้ำที่มีคุณภาพไม่ดีได้

สุภารัธรา พฤติวนันทน์ (2551) ได้ศึกษาความหลากหลายของสาหร่ายขนาดใหญ่และได้อะตอมพื้นท้องน้ำในแม่น้ำโขงที่ผ่านประเทศไทย 5 จังหวัด ได้แก่ เชียงราย เลย นครพนม อำนาจเจริญ และอุบลราชธานี และการประยุกต์เพื่อการติดตามตรวจสอบคุณภาพน้ำ โดยศึกษาตั้งแต่เดือนพฤษภาคม 2550 ถึงเดือนเมษายน 2551 พน.สาหร่ายขนาดใหญ่ทั้งหมด 3 ดิวิชัน 11 จังหวัด

ตั้งแต่เดือนพฤษภาคม 2550 ถึงเดือนเมษายน 2551 พบร้าหร่ายขนาดใหญ่ทั้งหมด 3 คิวชัน 11 จีนส 14 ชนิด ส่วนใหญ่เป็น Division Chlorophyta 50% รองลงมาคือ Division Cyanophyta 43%, Division Rhodophyta 7% โดยพบสาหร่ายชนิดเด่น ได้แก่ *Cladophora* spp., *Microspora* sp. และ *Stigeoclonium* spp., *Nostoc* sp., *Oscillatoria* spp. และ *Phormidium* spp. และ *Comsopogon* sp. โดยแต่ละจุดเก็บตัวอย่างพบชนิดของสาหร่ายแตกต่างกันออกไป ส่วนไโคอะตอนพื้นท้องน้ำพบ 2 ออร์เดอร์ 42 จีนส 168 ชนิด ส่วนใหญ่จัดอยู่ใน Order Bacillariales (pinnate diatoms) พบ 92% ส่วน Order Biddulphiales (centric diatoms) พบ 8% โดยไโคอะตอนพื้นท้องน้ำชนิดเด่นที่พบได้แก่ *Achnanthes* spp., *Gomphonema* spp., *Navicula* spp., *Nitzschia* spp. และ *Synedra* spp. และพบว่าในแม่น้ำโขงมีคุณภาพดีถึงปานกลางมีสารอาหารน้อยถึงปานกลาง (oligo-mesotrophic status) จนถึงคุณภาพน้ำปานกลาง มีสารอาหารปานกลาง (mesotrophic status)

Leelahakriengkrai et al. (2009) ได้ศึกษาความหลากหลายของไโคอะตอนพื้นท้องน้ำและสาหร่ายขนาดใหญ่ในแม่น้ำโขงส่วนที่ไหลผ่านจังหวัดเชียงรายประเทศไทย โดยเก็บตัวอย่างในช่วงเดือนพฤษภาคม 2250 ถึง เดือนเมษายน 2551 พบร้าหร่ายขนาดใหญ่ชนิดเด่นที่จัดอยู่ใน Division Chlorophyta ได้แก่ *Cladophora glomerata* Kützing และ *Microspora pachyderma* (Wille) Lagerheim พบไโคอะตอนพื้นท้องน้ำ 11 orders, 17 family, 30 genera, 79 species โดยพบว่าไโคอะตอนชนิดเด่นในกลุ่ม Pennate diatom คือ *Nitzschia* spp., *Navicula* spp. และ *Gomphonema* spp. และกลุ่ม Centric diatom คือ *Melosira varians* Agardh, *Aulacoseira granulata* (Ehrenberg) Simonsen และ *Cyclotella* spp. นอกจากนี้ผลการวิเคราะห์คุณภาพน้ำทางกายภาพ เคมีและชีวภาพ บางประการพบว่าแม่น้ำโขง เขตจังหวัดเชียงรายมีสารอาหารปานกลางและมีคุณภาพน้ำปานกลาง

Suphan (2010) ได้ศึกษาความหลากหลายของไโคอะตอนพื้นท้องน้ำในแม่น้ำโขงและแม่น้ำสาขาในประเทศไทย ระหว่างเดือน กรกฎาคม 2005 ถึง เดือนเมษายน 2007 พบ ไโคอะตอนพื้นท้องน้ำ 253 ชนิด และในจำนวนที่พบทั้งหมดนี้ยังเป็นไโคอะตอนที่ยังไม่เคยมีรายงานมาก่อนในประเทศไทย 53 ชนิด โดยจัดอยู่ใน 3 classes, 11 orders, 22 families และ 32 จีนส

เอกสาร ณ ญาณะ (2553) ได้ศึกษาความหลากหลายของสาหร่ายขนาดใหญ่และไโคอะตอนพื้นท้องน้ำและการประเมินคุณภาพน้ำในลำน้ำสาขาแม่น้ำโขงบางแห่งของไทยและลาวปี 2007-2008 โดยได้เก็บตัวอย่างน้ำในแม่น้ำกอก อำเภอเมือง จังหวัดเชียงราย แม่น้ำเทิง อำเภอท่าลี่ จังหวัดเลย แม่น้ำเจ้า แม่น้ำเวียงจันทร์ ประเทศลาว แม่น้ำสังครม อำเภอตากล้า จังหวัดนครพนม และแม่น้ำมูล อำเภอพิบูลมังสาหาร จังหวัดอุบลราชธานี จากการศึกษาพบสาหร่ายขนาดใหญ่ทั้งหมด 3 คิวชัน 12 จีนส 19 ชนิด จัดอยู่ใน Division Chlorophyta 53% รองลงมาคือ Division Cyanophyta 42% และ Division Charophyta 5% ชนิดเด่นที่พบ ได้แก่ *Spirogyra* spp., *Oscillatoria* spp. และ *Phormidium*

retzii Gomont ในส่วนของไโคะตอมพื้นท้องน้ำพบ 141 ชนิด 37 จีนส์ ใน Order Bacillariales ซึ่ง พจนากถึง 94% และอีก 6% ขั้คอู๊ใน Order Biddulphiales ชนิดเด่นที่พบ ได้แก่ *Cymbella* spp., *Navicula* spp., *Nitzschia* spp. และ *Sellaphora* spp. เมื่อทำการประเมินคุณภาพน้ำโดยใช้ AARL-PC score พบว่าคุณภาพน้ำในแต่ละชุมชนเก็บตัวอย่างตลอดปีอยู่ในระดับปานกลาง มีสารอาหารปานกลาง (mesotrophic status) และระดับปานกลางถึงไม่ดี มีสารอาหารปานกลางถึงมาก (meso-eutrophic status) จากผลการวิเคราะห์ทางสถิติโดยโปรแกรม MVSP เวอร์ชัน 3.1 เพื่อหารความสัมพันธ์ของ สาหร่ายขนาดใหญ่ และ ไโคะตอมพื้นท้องน้ำกับคุณภาพน้ำบางประการพบว่า *Phormidium retzii* Gomont และ *Microspora pachyderma* (Will) Lagerhjem มีความสัมพันธ์เชิงบวกกับปริมาณไนเตรท และแอมโมเนียม *Stigeoclonium lubricum* (Dillwyn) Kützing และ *Oscillatoria vizagapatensis* Rao มีความสัมพันธ์เชิงบวกกับปริมาณของแข็งที่ละลายน้ำ ค่าความเค็ม ความเร็วกระแสน้ำ อุณหภูมิอากาศ และค่าการนำไฟฟ้า *Stigeoclonium protensum* (Dillwyn) Kützing มีความสัมพันธ์ เชิงบวกกับปริมาณ DO ค่าความเป็นค่ากรด ค่าความเป็นกรดค่าง ค่าฟอสฟอรัสและBOD ส่วนไโคะตอมพื้นท้องน้ำ *Cymbella tumida* (Brébisson) Van Heurck, *Navicula symmetrica* Patrick และ *Nitzschia palea* (Kützing) W. Smith มีความสัมพันธ์เชิงบวกกับปริมาณไนเตรท และแอมโมเนียม และ *Navicula viridula* (Wallace) Lange-Bertalot และ *Gomphonema parvulum* (Kützing) Grunow มีความสัมพันธ์เชิงบวกกับปริมาณ BOD และฟอสฟอรัส จากการวิเคราะห์พบว่า *P. retzii*, *M. pachyderma*, *S. protensum*, *O. vizagapatensis* และ *S. lubricum* มีแนวโน้มนำมาใช้เป็นดัชนีบ่งชี้ คุณภาพน้ำปานกลางถึงไม่ดี ได้ ในส่วนของไโคะตอมพื้นท้องน้ำ พบว่า *C. tumida*, *N. symmetrica*, *N. palea*, *N. viridula* และ *G. parvulum* มีแนวโน้มในการนำมาใช้เป็นดัชนีบ่งชี้คุณภาพน้ำปานกลาง ถึงไม่ดี ได้

บทที่ 3

วิธีวิจัย

3.1 แหล่งน้ำที่ทำการสำรวจตัวอย่างและการเก็บตัวอย่าง

สำรวจแหล่งน้ำที่เก็บตัวอย่างและกำหนดคุณคุณภาพเก็บตัวอย่างในแม่น้ำโขงส่วนที่ไหลผ่าน อำเภอเมืองราชบุรี กิ่งอำเภอตาล และอำเภอโขงเจียม จังหวัดอุบลราชธานี ทั้งหมด 10 จุดฯ ละ 3 ชั้น เป็นเวลา 1 ปี โดยเก็บทุกเดือนฯ ละ 1 ครั้งตามคุณคุณค่าของตัวอย่างดังนี้ (ดังภาพที่ 1 และ 2)

3.1.1 แม่น้ำโขงบริเวณแก่งช้างหมอน บ้านห้วยยาง ตำบลห้วยยาง อำเภอเมืองราชบุรี จังหวัดอุบลราชธานี

3.1.2 แม่น้ำโขงบริเวณบ้านนาสามาน ตำบลเมือง อำเภอเมืองราชบุรี จังหวัดอุบลราชธานี

3.1.3 แม่น้ำโขงบริเวณท่าเรือหลังตลาดในตัวเมือง อำเภอเมืองราชบุรี จังหวัดอุบลราชธานี

3.1.4 แม่น้ำโขงบริเวณบ้านนาเมือง ตำบลนาแวง อำเภอเมืองราชบุรี จังหวัดอุบลราชธานี

3.1.5 แม่น้ำโขงบริเวณวัดปากแข็ง ตำบลพระลาน กิ่งอำเภอตาล จังหวัดอุบลราชธานี

3.1.6 แม่น้ำโขงบริเวณบ้านตามยุ ตำบลห้วยไฝ อำเภอโขงเจียม จังหวัดอุบลราชธานี

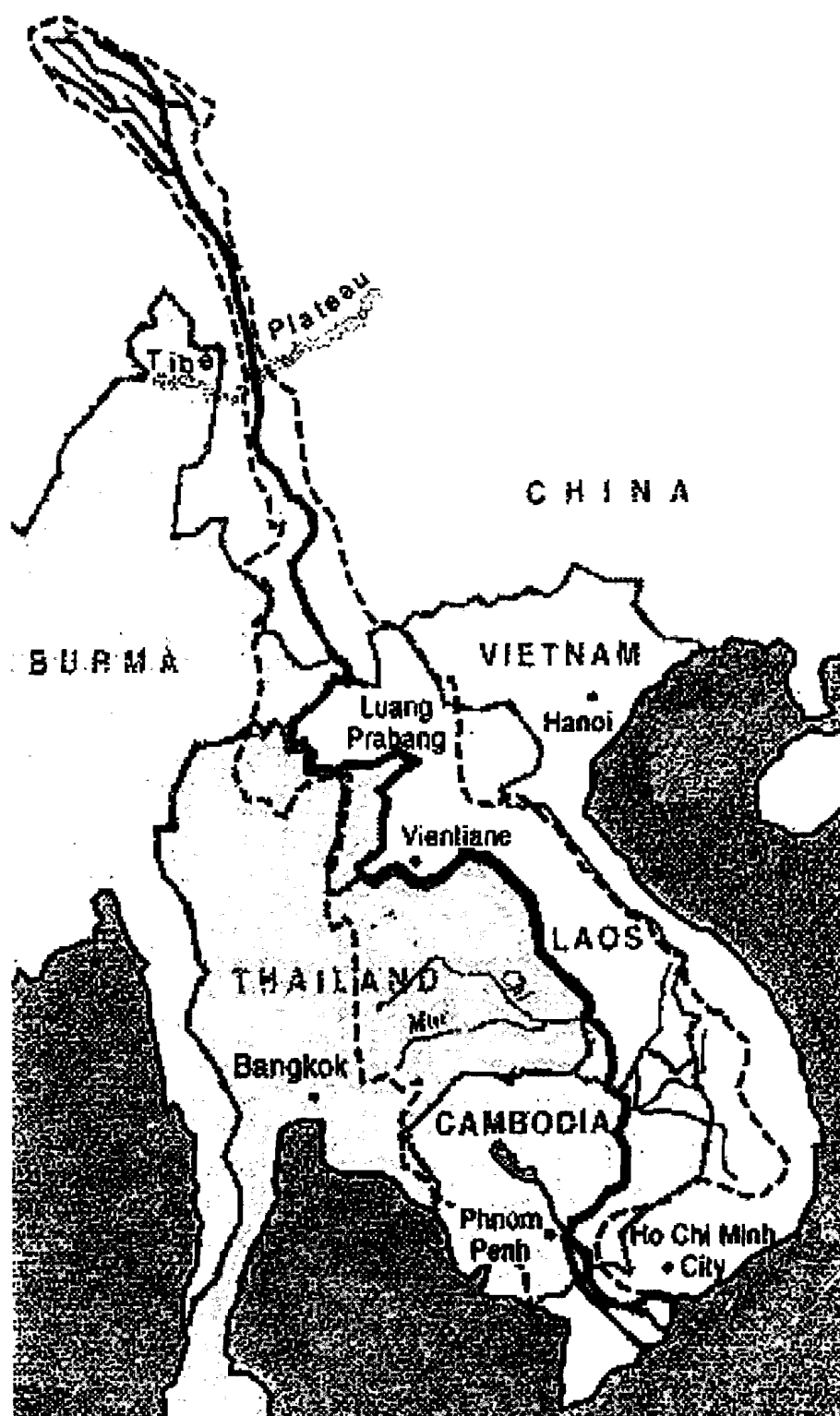
3.1.7 แม่น้ำโขงบริเวณหาดวิจิตร บ้านตามยุ ตำบลห้วยไฝ อำเภอโขงเจียม จังหวัดอุบลราชธานี

3.1.8 แม่น้ำโขงบริเวณบ้านกุ่ม ตำบลห้วยไฝ อำเภอโขงเจียม จังหวัดอุบลราชธานี

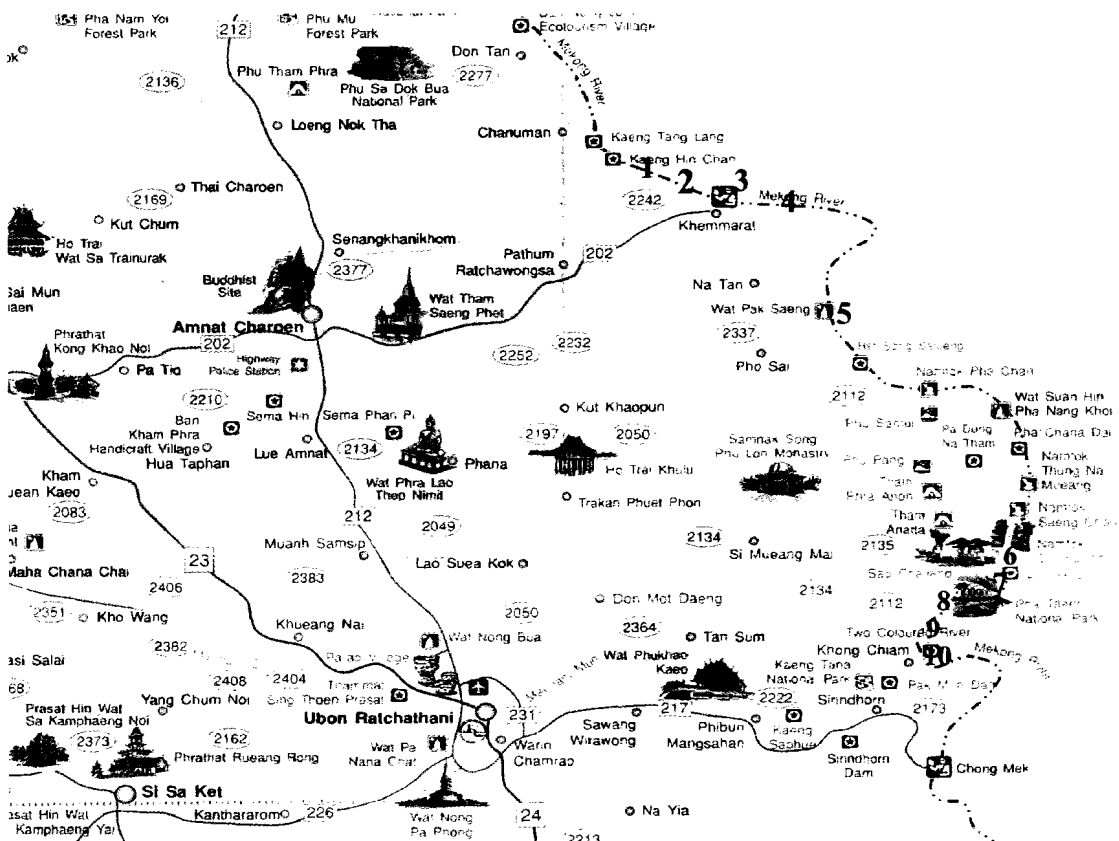
3.1.9 แม่น้ำโขงบริเวณบ้านห้วยไฝ ตำบลห้วยไฝ อำเภอโขงเจียม จังหวัดอุบลราชธานี

3.1.10 แม่น้ำโขงบริเวณบ้านค่าน ตำบลโขงเจียม อำเภอโขงเจียม จังหวัดอุบลราชธานี

(ภาคผนวก ง)



ภาพที่ 1 แผนที่แม่น้ำโขงที่ไหลผ่าน 6 ประเทศ ได้แก่ จีน พม่า ไทย ลาว กัมพูชา และเวียดนาม



ภาพที่ 2 จุดเก็บตัวอย่างในแม่น้ำโขง ส่วนที่ไหลผ่านจังหวัดอุบลราชธานี ระหว่างเดือนกุมภาพันธ์ 2550 ถึงเดือนมกราคม 2551 (การท่องเที่ยวแห่งประเทศไทย สำนักงานอุบลราชธานี)

จุดที่ 1 แก่งช้างหมอบ ตำบลห้วยยาง

อําเภอเขมราฐ

จุดที่ 2 บ้านนาสนา� ตำบลเลขมราฐ

อำเภอเมืองราชบุรี

จุดที่ 3 หลังตลาดเทศบาล

คำເກອບເງົາ

จุดที่ 4 บ้านนาเมือง ตำบลนาแวง

อําเภอเขมราฐ

จุดที่ 5 วัดปากแข้ง ตำบลพะ遑าน

กิ่งคำเกอนาตาล

จุดที่ 6 บ้านตามย ตำบลห้วยไผ่

คำสอนของเจียน

จุดที่ 7 หาควิจตรา คำนับลงหัวยังไง

อํานาenko โคงเจียม

จดที่ 8 บ้านก่ำ ตำบลหลหวยไผ่

อําเภอโขงเจียม

จุดที่ 9 บ้านหัวยไผ่ ตำบลหัวยไผ่

อําเภอโขงเจียม

จุดที่ 10 บ้านค่าน ตำบลโงเงี้ยม

คำนำ

ตารางที่ 8 พิกัดทางภูมิศาสตร์ (GPS) ของจุดเก็บตัวอย่างในแม่น้ำโขงส่วนที่ไหลผ่าน
จังหวัดอุบลราชธานี

จุดเก็บ ตัวอย่าง	จุดเก็บตัวอย่าง	พิกัด GPS
1	แก่งช้างหมอบ อําเภอเขมราฐ	N16 03.438 E105 06.499 130 m
2	บ้านนาสنان อําเภอเขมราฐ	N16 03.630 E105 10.392 114 m
3	หลังตลาดเทศบาลเบنمราฐ อําเภอเขมราฐ	N16 02.622 E105 13.447 127 m
4	บ้านนาเมือง อําเภอเขมราฐ	N16 02.436 E105 15.531 118 m
5	วัดปากแซง กิ่งอําเภอนาตาล	N15 55.953 E105 20.700 113 m
6	บ้านตามย อําเภอโขเจียน	N15 23.778 E105 32.77894 m
7	หาดวิจิตรา อําเภอโขเจียน	N15 23.709 E105 31.75093 m
8	บ้านกุ่น อําเภอโขเจียน	N15 23.377 E105 29.75993 m
9	บ้านห้วยไผ่ อําเภอโขเจียน	N15 21.022 E105 27.80791 m
10	บ้านค่าน อําเภอโขเจียน	N15 19.205 E105 29.79299 m



ภาพที่ 3 จุดเก็บตัวอย่าง ไดอะตอมพื้นท้องน้ำและสาหร่ายขนาดใหญ่ในแม่น้ำโขง ส่วนที่ไหลผ่าน
จังหวัดอุบลราชธานี ระหว่าง เดือนกุมภาพันธ์ 2550 ถึงเดือนมกราคม 2551



ภาพที่ 3 จุดเก็บตัวอย่างไโคะตอนพื้นท้องน้ำและสาหร่ายขนาดใหญ่ในแม่น้ำโขง ส่วนที่ไหลผ่านจังหวัดอุบลราชธานี ระหว่างเดือนกุมภาพันธ์ 2550 ถึงเดือนมกราคม 2551 (ต่อ)

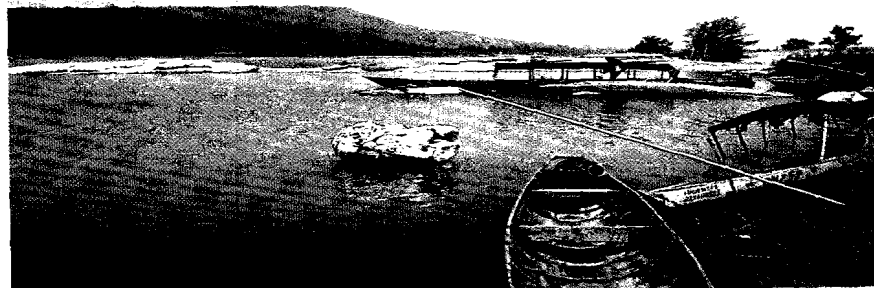
จุดที่ 8 แม่น้ำโขงบริเวณบ้านกุ่ม ตำบลห้วยไฝ อ่าเภอโขงเจียม



จุดที่ 9 แม่น้ำโขงบริเวณบ้านห้วยไฝ ตำบลห้วยไฝ อ่าเภอโขงเจียม



จุดที่ 10 แม่น้ำโขงบริเวณบ้านค่าน ตำบลโขงเจียม อ่าเภอโขงเจียม



ภาพที่ 3 จุดเก็บตัวอย่างไดอะตومพื้นท้องน้ำและสาหร่ายขนาดใหญ่ในแม่น้ำโขง ส่วนที่ไหลผ่านจังหวัดอุบลราชธานี ระหว่างเดือนกุมภาพันธ์ 2550 ถึงเดือนมกราคม 2551 (ต่อ)

3.2 ข้อมูลจุดเก็บตัวอย่างน้ำ

จุดที่ 1 แก่งช้างหมอน ตำบลห้วยยาง อำเภอเขมราฐ ในแม่น้ำโขงมีโขคหินและเกาะแก่ง มากมายและชัดเจน เนื่องจากโขคหินเมื่อมองจากเรือชาวประมงจะเห็นโขคหินที่มีรูปร่างคล้ายช้าง หมอน ซึ่งเป็นที่มาของชื่อ “แก่งช้างหมอน” ลักษณะพื้นท้องน้ำเป็นหินขนาดใหญ่จำนวนมาก และมีโคลน ปนทรายจำนวนเล็กน้อย มีชุมชนอาศัยอยู่ใกล้ริมฝั่งน้ำอยถึงปานกลางเป็นแหล่งท่องเที่ยวตาม ธรรมชาติ ประชาชนนิยมเล่นน้ำ และรับประทานอาหารในถ้ำร้อน มีแพร้านอาหารเฉพาะในถ้ำ ร้อน มีเรือข้ามฝั่งไทยและ ลาว และเรือชาวประมงประมาณ 5-10 ลำ มีการเพาะปลูกบริเวณริมฝั่ง บ้าง แต่ไม่มาก โดยเฉพาะปลูกช่วงฤดูหนาวและถ้ำร้อน

จุดที่ 2 บ้านนาสามาน ตำบลเขมราฐ อำเภอเขมราฐ ลักษณะพื้นท้องน้ำเป็นหินขนาดปาน กลางจำนวนปานกลาง และมีโคลนปนทรายปักคลุ่มจำนวนปานกลาง มีชุมชนอาศัยอยู่ใกล้ริมฝั่ง จำนวนน้อยถึงปานกลาง บริเวณริมฝั่งประกอบด้วยหินที่ถูกนำมารบกวนเพื่อป้องกันการพังทลายของริม คลัง ไม่มีการเพาะปลูกบริเวณริมฝั่ง ไม่มีเรือข้ามฝั่งไทย ลาว และ ไม่มีเรือชาวประมง

จุดที่ 3 หลังตลาดเทศบาล อำเภอเขมราฐ ลักษณะพื้นท้องน้ำเป็นหินขนาดปานกลาง จำนวนมาก และมีโคลนปนทรายปักคลุ่มเล็กน้อยถึงปานกลาง มีชุมชนอาศัยอยู่ใกล้ริมฝั่งมากบริเวณ ริมฝั่ง อุบลรัตน์ ใกล้จุดที่มีการปล่อยน้ำทึ่งจากชุมชนลงสู่แม่น้ำโขง บริเวณริมฝั่ง ประกอบด้วยหินที่ถูกนำมารบกวนเพื่อป้องกันการพังทลายของริมคลัง ไม่มีการเพาะปลูกบริเวณริมฝั่ง ไม่มีเรือข้ามฝั่งไทย ลาว และ ไม่มีเรือชาวประมง

จุดที่ 4 บ้านนาเมือง ตำบลนาแวง อำเภอเขมราฐ ลักษณะพื้นท้องน้ำเป็นหินขนาดปาน กลางจำนวนมาก และมีโคลนปนทรายปักคลุ่มจำนวนเล็กน้อยถึงปานกลาง ริมฝั่งมีชุมชนอาศัยอยู่ ปานกลาง มีเรือข้ามฝั่ง ไทยลาว และเรือชาวประมงประมาณ 5 ลำ บริเวณริมฝั่งประกอบด้วยหินที่ ถูกนำมารบกวนเพื่อป้องกันการพังทลายของริมคลัง ไม่มีการเพาะปลูกบริเวณริมฝั่ง

จุดที่ 5 วัดปากแข็ง ตำบลพระลาน กิ่งอำเภอตาด เป็นลักษณะพื้นท้องน้ำเป็นโคลน ปนทราย ไม่มีโขคหินขนาดใหญ่ แต่มีก้อนหินขนาดเล็กบ้างเล็กน้อย มีชุมชนอาศัยอยู่ใกล้ริมฝั่งน้อย ถึงปานกลาง ประชาชนนิยมเล่นน้ำ และรับประทานอาหารในถ้ำร้อน มีแพร้านอาหารเฉพาะในถ้ำ ร้อน มีเรือข้ามฝั่ง ไทยลาว ประมาณ 5 ลำ มีงานเทศบาลงานวัดที่ยังใหม่ที่ประชาชนนิยมมาเที่ยว และมีสกการพระเข้าใหญ่รองตื้อที่วัดแห่งนี้ในถ้ำร้อน มีการเพาะปลูกบริเวณริมฝั่งปานกลาง โดย เพาะปลูกช่วงฤดูหนาวและถ้ำร้อน

จุดที่ 6 บ้านตามย ตำบลห้วยไผ่ อำเภอโขงเจียม มีชุมชนอาศัยอยู่ใกล้ริมฝั่งปานกลางถึง มากลักษณะพื้นท้องน้ำเป็นหินขนาดใหญ่ และมีโคลน ปนทรายปานกลาง มีเรือข้ามฝั่งไทยและ ลาว

และเรือชาวประมงประมาณ 10-15 ลำ มีการเพาะปลูกบริเวณริมฝั่งมาก โดยเพาะปลูกช่วงฤดูหนาว และฤดูร้อน

จุดที่ 7 หาดวิจิตรา ตำบลห้วยไฝ่ อำเภอโขงเจียม ลักษณะพื้นที่ห้องน้ำเป็นโคลนป่าทราย ไม่มีโขดหินขนาดใหญ่ แต่มีก้อนหินขนาดเล็กบ้างเล็กน้อย มีชุมชนอาศัยอยู่ใกล้ริมฝั่งน้ำอยู่เป็น แหล่งท่องเที่ยว ประชาชนนิยมเล่นน้ำ และรับประทานอาหารเฉพาะในฤดูร้อน มีการเพาะปลูกบริเวณริมฝั่งปานกลาง โดยเพาะปลูกช่วงฤดูหนาวและฤดูร้อน

จุดที่ 8 บ้านกุ่ม ตำบลห้วยไฝ่ อำเภอโขงเจียม ลักษณะพื้นที่ห้องน้ำเป็นโคลนป่าทราย มี โขดหินขนาดกลางบ้างเล็กน้อย มีชุมชนอาศัยอยู่ใกล้ริมฝั่งปานกลาง มีการเพาะปลูกบริเวณริมฝั่ง เล็กน้อย โดยเพาะปลูกช่วงฤดูหนาวและฤดูร้อน มีเรือข้ามฝั่งไทยและลาว และเรือชาวประมงประมาณ 5 ลำ

จุดที่ 9 บ้านห้วยไฝ่ ตำบลห้วยไฝ่ อำเภอโขงเจียม ลักษณะพื้นที่ห้องน้ำเป็นโคลนป่าทรายจำนวนปานกลาง มีโขดหินขนาดกลางและขนาดใหญ่จำนวนปานกลาง มีชุมชนอาศัยอยู่ใกล้ริมฝั่งน้ำอยู่ถึงปานกลาง มีการเพาะปลูกบริเวณริมฝั่งมาก โดยเพาะปลูกช่วงฤดูหนาวและฤดูร้อน มีเรือชาวประมงประมาณ 5 ลำ

จุดที่ 10 บ้านค่าน ตำบลโขงเจียม อำเภอเขมราฐ ลักษณะพื้นที่ห้องน้ำเป็นโคลนป่าทราย ปานกลาง มีโขดหินขนาดกลางและขนาดใหญ่ในปริมาณปานกลางถึงมาก มีชุมชนอาศัยอยู่ใกล้ริมฝั่งอย่างหนาแน่น มีพร้านอาหารตลอดทั้งปี ไม่มีการเพาะปลูกบริเวณริมฝั่ง มีเรือข้ามฝั่งไทยและลาว ขนาดใหญ่ประมาณ 10-15 ลำ

3.3 ข้อมูลบริเวณกระแสน้ำและระดับน้ำในแม่น้ำโขงส่วนที่ไหลผ่านจังหวัดอุบลราชธานี

(Department of Water Resource, ประเทศไทย)

3.3.1 แม่น้ำโขง บริเวณอำเภอเขมราฐ จังหวัดอุบลราชธานีในปี 2550 มีระดับน้ำขึ้นสูงสุด 19.42 เมตร ต่ำสุด 2.59 เมตร (ภาพที่ 4)

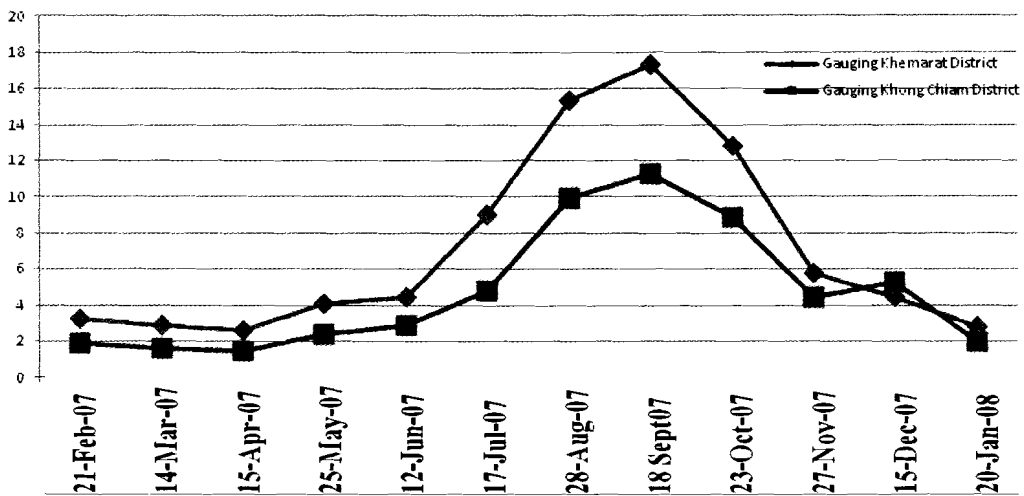
3.3.2 แม่น้ำโขง บริเวณอำเภอเขมราฐ จังหวัดอุบลราชธานีในปี 2551 มีระดับน้ำขึ้นสูงสุด 21.46 เมตร ต่ำสุด 1.94 เมตร (ภาพที่ 4)

3.3.3 แม่น้ำโขง สถานีบ้านค่าน อำเภอโขงเจียม จังหวัดอุบลราชธานี ในปี 2550 มีระดับน้ำขึ้นสูงสุด 13.16 เมตร ต่ำสุด 1.44 เมตร (ภาพที่ 4)

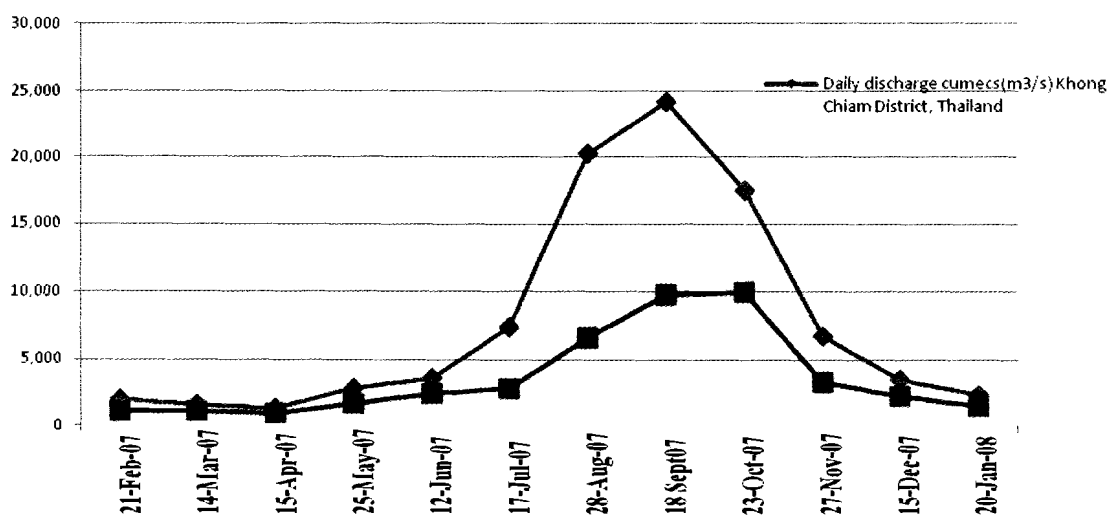
3.3.4 แม่น้ำโขง สถานีบ้านค่าน อำเภอโขงเจียม จังหวัดอุบลราชธานี ในปี 2551 มีระดับน้ำขึ้นสูงสุด 13.68 เมตร ต่ำสุด 1.69 เมตร (ภาพที่ 4)

3.3.5 ปริมาณกระแสน้ำในแม่น้ำโขงบริเวณ บ้านค่า่น อ. โขงเจียม ปี 2550 สูงสุด $30,000 \text{ m}^3/\text{s}$ ต่ำสุด $1,290 \text{ m}^3/\text{s}$ ค่าเฉลี่ย $8,320 \text{ million m}^3$ ปริมาณน้ำทั้งหมด (total run off) $264,000 \text{ million m}^3$ (ภาพที่ 5)

3.3.6 ปริมาณกระแสน้ำในแม่น้ำโขงบริเวณ บ้านค่า่น อ. โขงเจียม ปี 2551 สูงสุด $35,200 \text{ m}^3/\text{s}$ ต่ำสุด $2,070 \text{ m}^3/\text{s}$ ค่าเฉลี่ย $11,000 \text{ million m}^3$ ปริมาณน้ำทั้งหมด (total run off) $348,000 \text{ million m}^3$ (ภาพที่ 5)



ภาพที่ 4 ระดับน้ำขึ้นสูงสุดและลงต่ำสุดในแม่น้ำโขงบริเวณ อำเภอเชุมราษฎร์ และอำเภอโขงเจียม จังหวัดอุบลราชธานี ปี 2550



ภาพที่ 5 ปริมาณกระแสน้ำบริเวณอำเภอโขงเจียม จังหวัดอุบลราชธานี ประเทศไทยและปริมาณกระแสน้ำบริเวณเขตเวียงจันทร์ ประเทศลาว

3.4 อุปกรณ์และสารเคมี

3.4.1 อุปกรณ์สำนวน

3.4.1.1 กระป๋องพลาสติกเก็บตัวอย่างขนาด 2 ลิตร

3.4.1.2 ขวดสีขาวขนาด 100 ml

3.4.1.3 ขวด BOD ใสและทึบ

3.4.1.4 ตาข่ายแพลงก์ตอน (plankton net) ขนาดความถี่ (mesh size) 10 μm

3.4.1.5 กระป๋องพลาสติกเก็บตัวอย่าง

3.4.1.6 กรวย

3.4.1.7 แปรง

3.4.1.8 แผ่นพลาสติกเจาะรูขนาด 3 cm x 3 cm

3.4.1.9 Secchi disc

3.4.1.10 ขวดสีขาวเก็บแพลงก์ตอนพืช

3.4.1.11 มีด และ ช้อน

3.4.1.12 กรรไกร และมีด

3.4.2 อุปกรณ์การวัดและวิเคราะห์คุณภาพน้ำ

3.4.2.1 Conductivity meter รุ่น YSI 63

3.4.2.2 pH meter รุ่น YSI 63

3.4.2.3 Thermometer

3.4.3 อุปกรณ์ในห้องปฏิบัติการ

3.4.3.1 อุปกรณ์และสารเคมีสำหรับวิเคราะห์ความเป็นด่างในน้ำ

3.4.3.2 อุปกรณ์และสารเคมีสำหรับวิเคราะห์ค่า DO และ BOD

3.4.3.3 อุปกรณ์และสารเคมีสำหรับวิเคราะห์ปริมาณไนเตรท และฟอสฟอรัส

ทั้งหมดที่ละลายในน้ำ

3.4.3.4 อุปกรณ์และอาหารเดี้ยงเชือสำหรับวิเคราะห์ปริมาณโคลิฟอร์มแบคทีเรีย

3.4.3.5 อุปกรณ์และสารเคมีสำหรับวิเคราะห์หาปริมาณคลอโรฟิลล์ เอ

3.4.3.6 บิวเรตขนาด 50 ml

3.4.3.7 ปีเป็ตขนาด 5 ml

3.4.3.8 กระบอกตวงขนาด 100 ml

3.4.3.9 บีกเกอร์ขนาด 100 ml

3.4.3.10 Erlenmeyer flask ขนาด 250 ml

3.4.3.11 ช้อนตักสาร

3.4.3.12 Phenolphthalein indicator

3.4.3.13 Methyl orange indicator

3.4.3.14 Standard H₂SO₄ ความเข้มข้น 0.02 N

3.4.3.15 อุปกรณ์การสำรวจชนิดและปริมาณของสาหร่าย

1) กล้องจุลทรรศน์ชนิดเลนส์ประกอบ (compound microscope)

2) กล้องจุลทรรศน์อิเล็กตรอนแบบส่องกราด (scanning electron microscope) รุ่น JEOL model JSM-5410LV

3) สไลด์และกระจกปิดสไลด์

4) น้ำยาทาเล็บ

5) กล้องถ่ายภาพ

6) เอกสารและหนังสือประกอบการจำแนกชนิดสาหร่าย

3.5 วิธีการวิจัย

3.5.1 การเก็บตัวอย่าง

เก็บตัวอย่างตามจุดเก็บตัวอย่างที่กำหนดไว้ โดยเก็บตัวอย่างเพื่อเป็นตัวแทนของทั้ง 3 ฤดู คือ ฤดูร้อน ฤดูฝน และฤดูหนาว ทำการเก็บตัวอย่างเดือนละ 1 ครั้ง ทุกเดือนเป็นเวลา 1 ปี ตั้งแต่เดือนกุมภาพันธ์ 2550 ถึงเดือนมกราคม 2551 ทำการศึกษาคุณภาพน้ำทางด้านกายภาพ และเคมีบางประการ ดังนี้

3.5.1.1 ศึกษาระดับความลึกของจุดเก็บตัวอย่าง โดยใช้ไม้เมตร

3.5.1.2 ศึกษาความลึกที่แสงส่องถึงโดยใช้ Secchi disc

3.5.1.3 ศึกษาลักษณะของวัตถุพื้นท้องน้ำ (substrate)

3.5.1.4 วัดอุณหภูมิของน้ำและอากาศ โดยใช้เทอร์โมมิเตอร์

3.5.1.5 วัดค่าการนำไฟฟ้าโดยใช้ Conductivity meter รุ่น YSI 63

3.5.1.6 วัด pH ของน้ำโดยใช้ pH meter รุ่น YSI 63

3.5.2 การศึกษาคุณภาพน้ำทางด้านกายภาพและเคมีที่ห้องปฏิบัติการ

3.5.2.1 ความเป็นด่าง (alkalinity) โดยวิธี Phenolphthalein methyl orange indicator (Greenberg et al (2005))

3.5.2.2 ปริมาณออกซิเจนที่ละลายน้ำโดยวิธี Azide modification method (Greenberg et al (2005))

3.5.2.3 ปริมาณออกซิเจนที่แบบค์ที่เรียใช้ในการย่อยสลายอินทรีย์ (BOD) โดยวิธี Azide modification method (Greenberg et al (2005)

3.5.2.4 ปริมาณสารอาหารในเครื่อง และปริมาณฟอสเฟตที่ละลายในน้ำทั้งหมดด้วยเครื่อง UV –Vis Spectrophotometer, รุ่น Perkin-Elmer, model Lampda 12

3.5.2.5 ตรวจวิเคราะห์หาปริมาณโคลิฟอร์มแบบค์ที่เรียทั้งหมด และฟีคัลโคลิฟอร์มแบบค์ที่เรีย โดยวิธี Standard multiple tube fermentation technique (Greenberg et al (2005)

3.5.2.6 การวิเคราะห์หาปริมาณคลอโรฟิลล์เอ โดยวิธีของ Nusch (1980) ดัดแปลง โดย บุญดี พีพรพิศาดา และอนุภาณ์, (2538)

3.5.3 เก็บตัวอย่างโดยอะตอนพื้นท้องน้ำ

3.5.3.1 เก็บตัวอย่างโดยอะตอน 3 ตัวอย่าง จากแต่ละจุดเก็บตัวอย่าง โดยกำหนดจุดเก็บตัวอย่าง 10 จุดเก็บตัวอย่าง เริ่มจากอ้าเงอนราฐ 4 จุด กิ่งอ้าเงอนตาล 1 จุด และอ้าเงอนปงเจียน 5 จุด กำหนดพื้นที่สำหรับเก็บตัวอย่างบริเวณริมฝั่งในพื้นที่ 100 เมตร x 5 เมตร

3.5.3.2 ทำการสุ่มเก็บตัวอย่าง 3 ช้ำ ภายในพื้นที่ดังกล่าวโดยใช้แปลงสุ่มตัวอย่าง (plot) ขนาด 1 ตารางเมตร ทำการเก็บตัวอย่างโดยอะตอนพื้นท้องน้ำโดยเลือกก้อนหินที่มีโดยอะตอนจำนวนมากโดยสังเกตจากก้อนหินจะถูกเคลือบด้วยเมือกสีน้ำตาลว่าทำการเลือกก้อนหินดังกล่าวมา 1 ก้อนภายในพื้นที่แปลงสุ่มตัวอย่าง สำหรับแปลงสุ่มตัวอย่างใดที่ไม่มีก้อนหินในแปลง จะทำการเก็บตัวอย่างจากแปลงที่อยู่ใกล้ที่สุดกันแปลงสุ่มตัวอย่าง

3.5.3.3 ทำการบันทึกถ่ายของ วัตถุให้ขึ้นมา และสภาพของพื้นที่

3.5.3.4 วางแผ่นพลาสติกเจาะรูขนาด 9 ตารางเซนติเมตรทับบริเวณที่มีโดยอะตอนใช้แปรปัดโดยอะตอนก้อนหินสะอาด เก็บตัวอย่างโดยอะตอนใส่กล่องพลาสติก

3.5.3.5 ในจุดเก็บตัวอย่างบางจุดที่ไม่มีก้อนหิน ถ้ามีพืชนำและกิ่งไม้ที่มีขนาดเล็กจะทำการเก็บมาทั้งต้น แต่ถ้าเป็นต้นขนาดใหญ่ กิ่งไม้ขนาดใหญ่ หรือเรือเก่า จะเก็บโดยใช้แปรปัดจากบริเวณที่มีทราบของโดยอะตอน เก็บตัวอย่างใส่กล่องพลาสติก

3.5.3.6 ถ้าไม่มีก้อนหิน กิ่งไม้ หรือต้นไม้ หรือเรือเก่า จะเก็บจากพื้นโคลนหรือทราย โดยเลือกจุดที่มีลักษณะผิวโคลนหรือผิวทรายที่สังเกตเห็นเป็นพิเศษเมือกสีน้ำตาลว่า โดยใช้ช้อนตักผิวน้ำบริเวณดังกล่าว เก็บตัวอย่างใส่ในกล่องพลาสติก

3.5.3.7 บันทึกรายละเอียดของจุดเก็บ วัน เวลา หมายเลขชี้ข้องตัวอย่างลงบนกล่องพลาสติก นำไปเพรเย็นและขนส่งไปยังห้องปฏิบัติการ

3.5.4 กระบวนการทำความสะอาดไโคอะตومพื้นห้องน้ำ (Rott et al., 1997)

3.5.4.1 นำตัวอย่างไโคอะตومมาปั่นเหวี่ยง (centrifuge) ที่ความเร็วรอบ 3,500

รอบต่อนาที เป็นเวลา 15 นาที

3.5.4.2 เมื่อสังเกตดูหลอดที่ปั่นเสร็จแล้วจะพบว่าชั้นของไโคอะตومเป็นแผ่นฟิล์ม สีน้ำตาล เคลือบบนผิวน้ำของชั้นตะกอน

3.5.4.3 ดูดไโคอะตومจากชั้นดังกล่าวแล้วใส่ลงในหลอดทดลอง เติมกรดในตริก เข้มข้น ลงในหลอด ต้ม ที่อุณหภูมิ 70-80 องศาเซลเซียส เป็นเวลา 30-45 นาที

3.5.4.4 ทำการล้างตัวอย่างด้วยน้ำ deionized 4-5 รอบ

3.5.4.5 จะสังเกตเห็นไโคอะตอมที่ผ่านการทำความสะอาดแล้วมีลักษณะเป็น ตะกอนสีเทาตกละลายที่ค้านล้างของหลอดทดลอง

3.5.5 การเตรียมสำลักของไโคอะตومพื้นห้องน้ำ (Rotl et.al, 1997)

หยดตัวอย่างไโคอะตومลงบนสไลด์ 3 หยด โดยที่แต่ละหยดน้ำปริมาณ

0.02 มิลลิลิตร

3.5.5.1 ทำให้ตัวอย่างไโคอะตومแห้งด้วยความร้อน

3.5.5.2 ปิดฝาสไลด์กับแผ่นปิดสไลด์เพื่อทำสไลด์ถาวร โดยใช้สารช่วยยึดติด สไลด์ (mounting agent) โดยใช้ Naphrax หรือ Durax หรือ Diatom mountant

3.5.5.3 นำสไลด์ถาวรที่ได้ไปจำแนกชนิด และนับจำนวนไโคอะตومพื้นห้องน้ำ ต่อไป

3.5.6 การศึกษาโครงสร้างพร้อมๆกันของไโคอะตومพื้นห้องน้ำด้วยกล้องจุลทรรศน์ อิเล็กตรอนแบบส่อง粒化(scanning electron microscope) รุ่น JEOL model JSM-5410LV

3.5.6.1 หยดไโคอะตومที่ผ่านการทำความสะอาดแล้วลงบนแผ่นปิดสไลด์

3.5.6.2 ทำให้ตัวอย่างแห้งด้วยความร้อน

3.5.6.3 ดูความชื้นออกจากตัวอย่าง โดยใส่ไว้ในโถดูความชื้น (desiccator) เป็นเวลา 24 ชั่วโมง

3.5.6.4 นำมายึดกับ stub และเคลือบตัวอย่างด้วยทอง

3.5.6.5 นำไปศึกษาด้วยกล้องจุลทรรศน์อิเล็กตรอนแบบส่อง粒化รุ่น JEOL model JSM-5410 LV

3.5.7 การจำแนกชนิดของไโคอะตومพื้นห้องน้ำ

3.5.7.1 ศึกษาเบริญเทียบลักษณะต่างๆของโครงสร้างพร้อมๆกันของไโคอะตوم ได้แก่ เส้นผ่านศูนย์กลาง ความยาวและความกว้างของเซลล์ ลวดลายของ striae ความลึกของ striae

ต่อ 10 ในครองและลักษณะอื่นๆ (raphe, puncta, aereolae, fibulae, nodule, septa, costae, stigma, rib, spine, wing และ canals)

3.5.7.2 การจำแนกชนิดของไคลอสตอนพื้นท้องน้ำ โดยใช้หนังสือและเอกสารที่เกี่ยวข้องดังนี้

- 1) บุญดี พิรพารพิศา (2548)
- 2) Ohno et al. (1971)
- 3) Reichardt (1984)
- 4) Krammer and Lange-Bertalot (1986, 1988, 1991a, 1991b)
- 5) Lange-Bertalot (1993, 1995)
- 6) Lee et al. (1994a and 1994b)
- 7) Benavides (1996)
- 8) Cox (1996)
- 9) Metzeltin and Lange-Bertalot (1998)
- 10) Peerapornpisal et al. (2000)
- 11) Rumrich et al. (2000)
- 12) Lange-Bertalot (2001)
- 13) Tuji and Houki (2001)
- 14) Pekthong (2002a, b)
- 15) Kunpradid (2005)
- 16) Watanabe et al. (2005)
- 17) Peerapornpisal (2005)
- 18) Lange-Bertalot (2007)
- 19) Leelakahriengkrai (2007a)
- 20) Leelakahriengkrai et al. (2009)
- 21) Suphan (2010)

3.5.8 การเก็บตัวอย่างสาหร่ายขนาดใหญ่ (macroalgae investigation)

3.5.8.1 สูงตัวอย่างขนาดเปล่งย่อย 3 ชั้น ภายในพื้นที่เปล่งใหญ่ 1.25 x 1.25 เมตร โดยสูงตัวอย่าง 3 ชั้น ขนาดพื้นที่ 25x25 เซนติเมตร

3.5.8.2 เก็บสาหร่ายขนาดใหญ่ที่สามารถมองเห็นได้ด้วยตาเปล่า ที่มีลักษณะเป็นเมือก เส้นสาย หัลลัส หรือเก้าหัวเป็นแพ หรือก้อนเมือก โดยใช้คิมคีบและนิคคูมาจากวัตถุให้ขึ้นมา

3.5.8.3 เก็บตัวอย่างในกล่องพลาสติกและรักษาสภาพด้วย glutaraldehyde 2% และเก็บรักษาที่อุณหภูมิประมาณ 20 องศาเซลเซียส

3.5.9 การจำแนกสาหร่ายขนาดใหญ่ (macroalgae identification)

วินิจฉัยสาหร่ายขนาดใหญ่ โดยใช้หนังสือและเอกสารที่เกี่ยวข้อง ดังนี้

- 1) Desicachary (1959)
- 2) Drouet (1968)
- 3) Withford and Schumacher (1969)
- 4) Presscott (1970)
- 5) Drouet (1981)
- 6) Sheath (1984)
- 7) Martin and Whitton (1987)
- 8) Komarek (1989)
- 9) Entwistle (1989)
- 10) Necchi (1990)
- 11) Kumano (1993)
- 12) Sheath (1994)
- 13) Lokhorst (1999)

ถ่ายภาพโดยใช้กล้องจุลทรรศน์ compound microscope รุ่น CX30 และวัดขนาดของเซลล์โดยใช้ stage และ ocular micrometer เพื่อใช้เป็นข้อมูลประกอบการวินิจฉัยให้ถึงระดับชนิด ต่อไป

3.5.10 การวิเคราะห์ทางสถิติ

3.5.10.1 จัดเตรียมชุดข้อมูล

3.5.10.2 วิเคราะห์ข้อมูลเพื่อหาความสัมพันธ์ของคุณภาพน้ำทางกายภาพและเคมี และ ไอโอดีนพื้นที่องค์น้ำและสาหร่ายขนาดใหญ่ของแต่ละจุดเก็บตัวอย่าง ในแต่ละเดือน โดยใช้โปรแกรมทางสถิติ One way Analysis Of Variance (ANOVA) และ LSD (Least-significant difference) ที่ความเชื่อมั่น 0.05% จากโปรแกรม SPSS ver. 6.0

3.5.10.3 วิเคราะห์หาความสัมพันธ์ของคุณภาพน้ำที่มีความสัมพันธ์กับไฮอะตอน และสาหร่ายขนาดใหญ่ โดยใช้ Pearson's correlation เพื่อวิเคราะห์หาระดับความเชื่อมั่นทางสถิติ

3.5.10.4 วิเคราะห์และจัดกลุ่มไฮอะตอนพื้นท้องน้ำ สาหร่ายขนาดใหญ่ และ คุณภาพน้ำ โดยใช้การวิเคราะห์ Cluster analysis โดยใช้โปรแกรมสำเร็จรูป Multivariate Statistical Package (MVSP) โดยใช้วิธี UPGMA cluster method เพื่อหาเปอร์เซ็นต์ค่าความเหมือนกันของไฮอะตอน พื้นท้องน้ำ สาหร่ายขนาดใหญ่และคุณภาพน้ำ

3.5.10.5 ทำการทดสอบหาค่าระดับความเชื่อมั่นของความสัมพันธ์ของคุณภาพน้ำที่ลงทะเบียนด้วย ANOVA analysis

3.5.10.6 วิเคราะห์ความสัมพันธ์ทั้งชนิดและปริมาณของสาหร่ายขนาดใหญ่และ ไฮอะตอนพื้นท้องน้ำร่วมกับคุณภาพน้ำ ในแต่ละชุดเก็บตัวอย่าง ใช้ Principal Component Analysis (PCA), Canonical Correspondence Analysis (CCA) และ Cluster Analysis จากโปรแกรม Multivariate Statistical Package (MVSP) version 3.1 โดยใช้วิธีของ Kaiser's rule เพื่อสร้างแกน ความสัมพันธ์ (axes extracted) เพื่อหาสเปซีส์ที่สามารถนำมาใช้เป็นสิ่งมีชีวิตในการติดตาม ตรวจสอบคุณภาพน้ำได้

3.5.11 การประเมินคุณภาพน้ำ

การประเมินคุณภาพน้ำจะใช้การประเมินด้วยคุณภาพน้ำทางกายภาพและเคมี โดยใช้ Applied Algal Research Laboratory- Physical and Chemical Score (AARL-PC Score) (Peerapornpisal et. al., 2004) โดยใช้ค่า DO ค่า BOD ค่าการนำไฟฟ้า ปริมาณสารอาหาร 3 ชนิดคือ ไนเตรต-ไนโตรเจน แอนโนเนนซี-ไนโตรเจน และออร์โรฟอสฟेट หรือ soluble reactive phosphorus และประเมินด้วย Applied Algal Research Laboratory Phytoplankton Score (AARL-PP Score) (Peerapornpisal et. al., 2004) โดยใช้ชนิดของไฮอะตอนชนิดเด่นที่ปรากฏขึ้นในชุดเก็บตัวอย่าง แต่ละชุด วิธีการประเมินคุณภาพน้ำแสดงในภาคผนวก ฯ

3.6 สถานที่ที่ใช้ในการวิจัยและรวบรวมข้อมูล

3.6.1 ภาควิชาวิทยาศาสตร์ชีวภาพ คณะวิทยาศาสตร์ มหาวิทยาลัยอุบลราชธานี

3.6.2 ภาควิชาชีววิทยา คณะวิทยาศาสตร์ มหาวิทยาลัยเชียงใหม่

3.6.3 Institute of Botany, University of Innsbruck, Innsbruck, Austria.

3.6.4 สาขาวิชาชีววิทยา คณะวิทยาศาสตร์ มหาวิทยาลัยราชภัฏอุบลราชธานี

3.6.5 แม่น้ำโขงส่วนที่ไหลผ่านอำเภอเขมราฐ กิ่งอำเภอตาล และอำเภอโขงเจียม

3.7 ระยะเวลาในการดำเนินการวิจัย

12 เดือน โดยเก็บตัวอย่าง เดือนละ 1 ครั้ง ในแต่ละชุด โดยเริ่มจากเดือนกุมภาพันธ์ พ.ศ 2550 ถึงเดือนกรกฎาคม พ.ศ. 2551

บทที่ 4

ผลการวิจัย

4.1 คุณภาพน้ำทางด้านกายภาพ เคมีและชีวภาพบางประการในแม่น้ำโขง

คุณภาพน้ำของแม่น้ำโขงใน 10 จุดเก็บตัวอย่างในส่วนที่ไหลผ่านจังหวัดอุบลราชธานี บริเวณแก่งช้างหมอบ บ้านนาสานาม ท่าเรือหลังตลาดในตัวเมืองอำเภอเมือง บ้านนาเมือง วัดปากแข็ง บ้านตา奴ย หาดวิจิตรา บ้านกุ่ม ชุมชนห้วยไฝ และบ้านด่าน ตั้งแต่เดือนกุมภาพันธ์ 2550 ถึงเดือนกรกฎาคม พ.ศ.2551 รวม 12 เดือน โดยเก็บตัวอย่างน้ำทุกเดือน คุณภาพน้ำทางกายภาพ เคมี และชีวภาพบางประการ เป็นดังนี้

4.1.1 อุณหภูมิอากาศ พบร่วมกับอุณหภูมิอากาศจะเปลี่ยนแปลงไปตามฤดูกาลคือมีค่าอุณหภูมิต่ำที่สุดในฤดูหนาว และสูงที่สุดในฤดูร้อน อุณหภูมิอากาศอยู่ในช่วง $21.7-39^{\circ}\text{C}$ มีค่าเฉลี่ย 30.66°C มีค่ามัธยฐาน (median)* 31°C (ภาพที่ 6)

4.1.2 อุณหภูมน้ำ พบร่วมกับอุณหภูมน้ำมีค่าเปลี่ยนแปลงตามฤดูกาล นั่นคือมีค่าต่ำสุดในฤดูหนาว และมีค่าสูงมากที่สุดในฤดูร้อน อุณหภูมน้ำจะอยู่ในช่วง $21-35^{\circ}\text{C}$ ค่าเฉลี่ย 27.26°C มีค่ามัธยฐาน 27.75°C (ภาพที่ 7)

4.1.3 ค่าความลึกที่แสงส่องถึง (secchi depth) ค่าความลึกที่แสงส่องถึงทั้งหมดมีค่าตั้งแต่ 9 - 105 cm มีค่าเฉลี่ย 33.79 cm ค่ามัธยฐาน 28.5 cm พบร่วมกับความลึกที่แสงส่องถึงมีค่าต่ำในฤดูฝน ทั้งนี้ เพราะเกิดการชะล้างตะกอนดินลงสู่แหล่งน้ำ ประกอบกับมีกระแสน้ำที่ไหลเร็วมากขึ้น จึงทำให้น้ำมีความชุ่มน้ำมากขึ้นส่งผลให้ค่าความลึกที่แสงส่องถึงในแหล่งน้ำมีค่าต่ำในฤดูฝนซึ่งส่งผลให้ได้ระดับพื้นท้องน้ำและสารร้ายขนาดใหญ่เจริญได้น้อยมาก ทั้งนี้ เพราะมีปริมาณของแสงไม่เพียงพอต่อการสังเคราะห์ด้วยแสง ตรงกันข้ามกับในฤดูหนาวและฤดูร้อนพบว่าค่าความลึกที่แสงส่องถึงมีค่าสูงขึ้นน้ำใสขึ้นเนื่องจากไม่มีฝนตกและกระแสน้ำไหลช้า จึงทำให้มีการเจริญของไครอะตอมพื้นท้อง

* ค่ามัธยฐาน (Median : Me) หมายถึง ค่ากลางของข้อมูลที่ได้จากการพิจารณาตำแหน่งของข้อมูลที่อยู่ตรงกลางโดยที่ข้อมูลต้องทำการเรียงลำดับตามปริมาณจากมากไปน้อย หรือจากน้อยไปมาก และค่ามัธยฐานบังสามารถใช้เป็นตัวแทนของข้อมูลได้เป็นอย่างดี ในกรณีที่ข้อมูลมีการกระจายที่ผิดปกติ ซึ่งอาจเกิดจากการที่มีข้อมูลบางตัวมีค่ามากหรือน้อยจนผิดปกติ

น้ำและสาหร่ายขนาดใหญ่มีการเจริญมากขึ้น เนื่องจากปริมาณแสงส่องลงไปในแหล่งน้ำมีความเหมาะสมต่อการสังเคราะห์แสงมากกว่าในถ้ำ (ภาพที่ 8 และ 9)

4.1.4 ความเร็วของกระแสน้ำ (water current) ค่าความเร็วของกระแสน้ำทั้งหมดมีค่าตั้งแต่ 0.16 - 0.64 m/s มีค่าเฉลี่ย 0.3 m/s ค่ามัธยฐาน 0.295 m/s โดยพบว่าในถ้ำในถ้ำทั้งหมดมีความเร็วที่สูด รองลงมาคือถ้ำหน้า และถ้ำชาที่สูดในถ้ำร้อน ซึ่งมีความสัมพันธ์กับค่าความลึกที่แสงส่องถึง (ภาพที่ 8 และ 9) และอัตราการเจริญของไคลอตอมพื้นท้องน้ำและสาหร่ายขนาดใหญ่ (ภาพที่ 28 และ ตารางที่ 14)

4.1.5 ค่าการนำไฟฟ้า (conductivity) พบว่าค่าการนำไฟฟ้าอยู่ในช่วง 72-305 $\mu\text{s}/\text{cm}$ มีค่าเฉลี่ย 181.225 $\mu\text{s}/\text{cm}$ ค่ามัธยฐาน 193.5 $\mu\text{s}/\text{cm}$ โดยจะมีค่าต่ำสุดในถ้ำทั้งนี้ เพราะเกิดการเจือจางจากน้ำฝนที่ตกลงสู่แม่น้ำโขงและระดับน้ำในถ้ำมีความสูงมากกว่าถ้ำหน้าและถ้ำร้อนมาก เมื่อเข้าสู่ถ้ำหน้าพบว่าค่าการนำไฟฟ้าของน้ำจะมีค่าสูงที่สุด และเริ่มมีค่าลดลงเล็กน้อยเมื่อเข้าสู่ถ้ำร้อน โดยที่พบว่าค่าการนำไฟฟ้ามีความสัมพันธ์เชิงบวกกับปริมาณไนเตรท ออร์โฟอสเฟต (ภาพที่ 11, 12, 20, 21, 22 และ 23) และการเจริญของไคลอตอมพื้นท้องน้ำและสาหร่ายขนาดใหญ่ (ภาพที่ 28 และ ตารางที่ 14) เมื่อเปรียบเทียบค่าการนำไฟฟ้าในถ้ำและถ้ำแล้งจะพบว่าในถ้ำแล้งมีค่าสูงและค่าที่มีความถี่ของการพบมากคือ ช่วง 210-230 $\mu\text{s}/\text{cm}$ และ 230-250 $\mu\text{s}/\text{cm}$ ซึ่งเกิดขึ้นได้มากกว่าช่วงอื่น สามารถบ่งชี้ได้ว่าน้ำมีคุณภาพปานกลางถึงไม่ดี (กรรณิการ์ สิริสิงห์, 2525) (ภาพที่ 12)

4.1.6 ค่าความเป็นกรด ค้าง (pH) มีค่าอยู่ระหว่าง 5.8-11.5 มีค่าเฉลี่ย 7.472 ค่ามัธยฐาน 7.385 พบว่าค่า pH มีค่าสูงในถ้ำหน้าทั้งนี้มีความสัมพันธ์เชิงบวกกับการเจริญของไคลอตอมพื้นท้องน้ำและสาหร่ายขนาดใหญ่ และค่าความเป็นค้าง (ภาพที่ 13, 14, 28 และ ตารางที่ 14))

4.1.7 ค่าความเป็นค้าง (alkalinity) พบว่ามีค่าตั้งแต่ 19.44 – 120.66 mg/l ในรูปของ CaCO_3 ค่าเฉลี่ย 52.98 mg/l ในรูปของ CaCO_3 ค่ามัธยฐาน 50 mg/l ในรูปของ CaCO_3 โดยมีความสัมพันธ์กับค่าความเป็นกรดค้าง และการเจริญของไคลอตอมและสาหร่ายขนาดใหญ่ โดยค่าความเป็นค้างจะมีค่าสูงในถ้ำทั้งนี้มีการเจริญของไคลอตอมและสาหร่ายขนาดใหญ่ในปริมาณมาก (ภาพที่ 15, 16, 28 และ ตารางที่ 14)

4.1.8 ปริมาณออกซิเจนที่ละลายในน้ำ (dissolved oxygen, DO) พบว่าค่า DO มีค่าตั้งแต่ 3.4 - 11.60 mg/l มีค่าเฉลี่ย 7.64 mg/l ค่ามัธยฐาน 7.68 mg/l โดยจะมีค่าสูงในถ้ำหน้าและถ้ำร้อน และมีค่าต่ำในถ้ำทั้งนี้มีความสัมพันธ์กับการเจริญของไคลอตอมและสาหร่ายขนาดใหญ่ (ภาพที่ 17, 28 และ ตารางที่ 14)

4.1.9 เปอร์เซ็นต์ความอิ่มตัวของออกซิเจน (percent oxygen saturation, % O₂ saturation) พบว่ามีค่าตั้งแต่ 41.92-152.54 % มีค่าเฉลี่ย 94.47 % ค่าน้ำดี 96.255 % โดยจะมีการเปลี่ยนแปลง

คล้ายคลึงกับค่า DO (ภาพที่ 18 และ 17)

4.1.10 ปริมาณออกซิเจนที่จุลินทรีย์ใช้ในการย่อยสลายสารอินทรีย์ในน้ำ (biochemical oxygen demand, BOD) พบว่าค่า BOD มีค่าตั้งแต่ 0 – 8.44 mg/l ค่าเฉลี่ย 1.72 mg/l ค่าน้ำดี 1.2 mg/l โดยจะมีค่าสูงในช่วงปลายของถูกหนาวและช่วงปลายของถูกร้อนซึ่งช่วงเวลาดังกล่าวจะมีการตายของสาหร่ายขนาดใหญ่ในปริมาณมาก (ภาพที่ 19 และ ตารางที่ 14)

4.1.11 ปริมาณออร์ฟอสฟอรัส (soluble reactive phosphorus) พบว่ามีปริมาณตั้งแต่ ND (not detect หรือ มีปริมาณน้อยจนเครื่องไม่สามารถตรวจได้) – 0.5842 mg/l มีค่าเฉลี่ย 0.12 mg/l ค่าน้ำดี 0.06 mg/l โดยในช่วงปลายของถูกฟอนจะมีค่าสูงทั้งนี้ เพราะมีการระดับของฟอสฟอรัสจากชุมชนลงสู่แม่น้ำ ต่อมาเมื่อเกิดการเริ่มต้นของสาหร่ายขนาดใหญ่มากขึ้น ปริมาณออร์ฟอสฟอรัสจะลดลง และจะมีค่าสูงอีกรั้งเมื่อเริ่มเกิดการตายของสาหร่ายขนาดใหญ่ในช่วงถูกร้อน (ภาพที่ 20, 21 และ ตารางที่ 14)

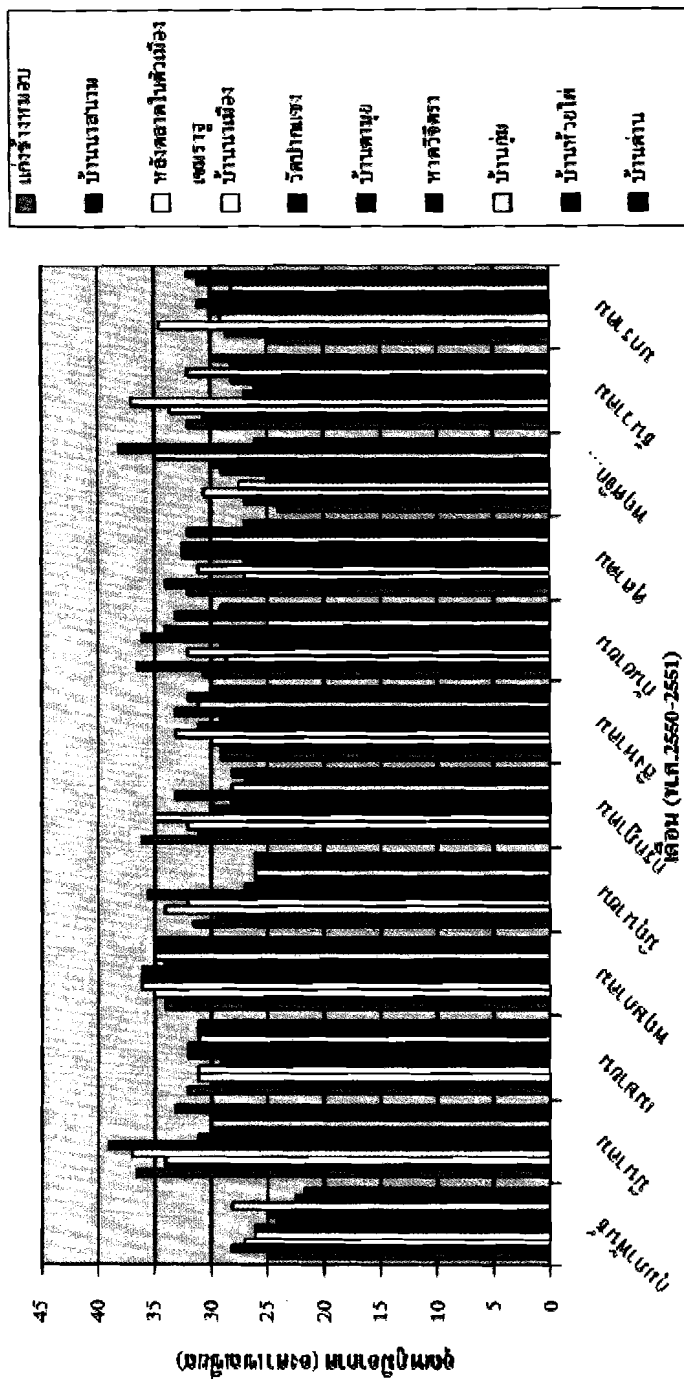
4.1.12 ไนเตรต (nitrate) พบว่ามีค่าตั้งแต่ ND – 19.172 mg/l มีค่าเฉลี่ย 3.75 mg/l ค่าน้ำดี 2.23 mg/l โดยมีค่าสูงในช่วงถูกฟอน และลดลงมากในถูกหนาวซึ่งพนการเริ่มต้นของไนเตรตจะลดลงทั้งน้ำและสาหร่ายขนาดใหญ่มากทั้งนี้ เพราะไนเตรตจะลดลงทั้งน้ำและสาหร่ายขนาดใหญ่ได้สำเร็จในกระบวนการเริ่มต้นของไนเตรตในน้ำลดลง ต่อมาในช่วงปลายของถูกร้อนปริมาณไนเตรตจะเริ่มเพิ่มขึ้นอีกรั้งเนื่องจากเกิดการตายของสาหร่ายขนาดใหญ่ (ภาพที่ 22, 23 และ ตารางที่ 14)

4.1.13 ปริมาณคลอโรฟิลล์ เอ (chlorophyll a) พบว่ามีค่าตั้งแต่ 0.001 - 4.44 µg/l มีค่าเฉลี่ย 0.49 µg/l ค่าน้ำดี 0.001 µg/l โดยที่มีค่าสูงในช่วงปลายของถูกหนาวและในช่วงถูกร้อนซึ่งสัมพันธ์กับการเริ่มต้นของไนเตรตทั้งน้ำและสาหร่ายขนาดใหญ่ (ภาพที่ 24, 25, 28 และ ตารางที่ 14)

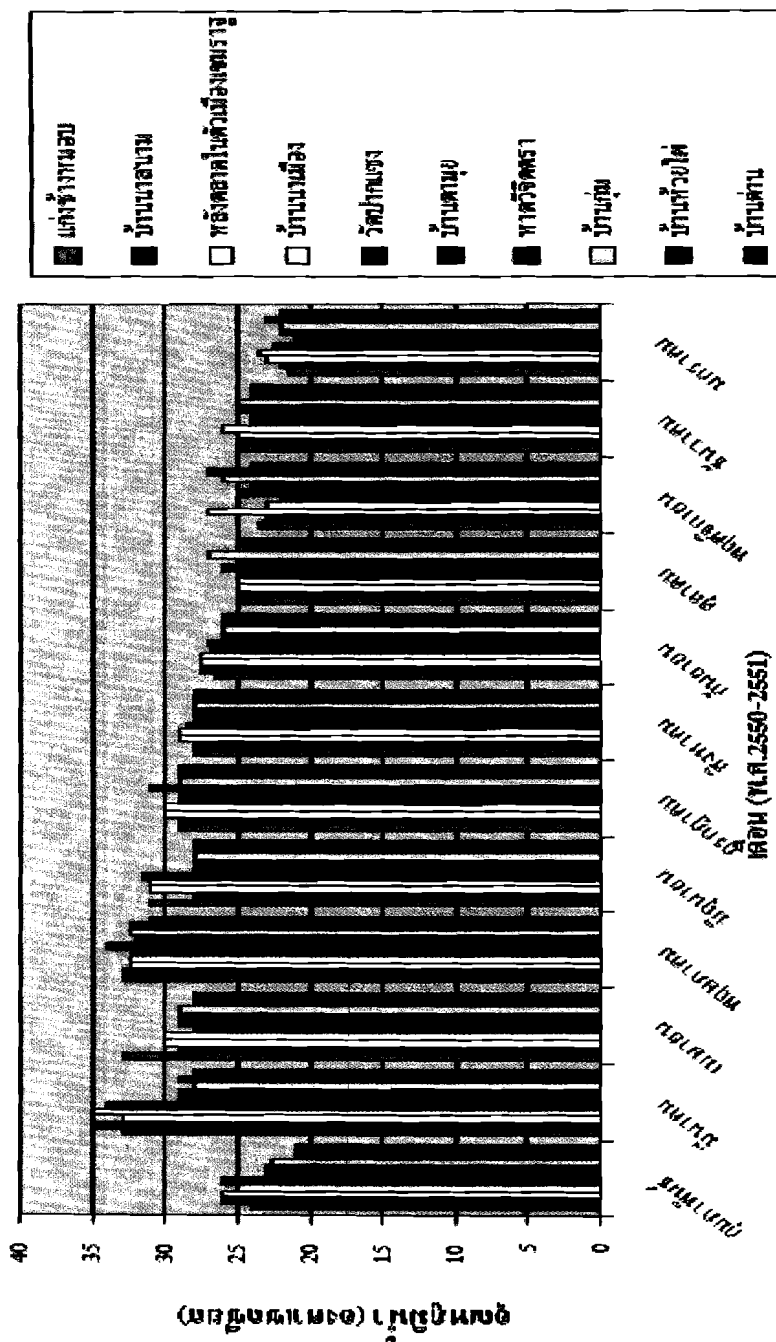
4.1.14 ปริมาณโคลิฟอร์มแบคทีเรียทั้งหมด (total coliform bacteria) พบว่ามีค่าตั้งแต่ <30 - ≥ 24,000 MPN/100 ml มีค่าเฉลี่ย 2,772 MPN/100 ml ค่าน้ำดี 930 MPN/100 ml โดยมีค่าสูงในจุดที่ 10 (บ้านค่าน อำเภอโวงเจียน) ซึ่งมีชุมชนอาศัยอยู่อย่างหนาแน่นและในจุดที่ 7 (หาดวิจิตร อำเภอโวงเจียน), จุดที่ 8 (บ้านกุ่ม อำเภอโวงเจียน) และจุดที่ 9 (บ้านห้วยไผ่ อำเภอโวงเจียน)

ในเดือนพฤษภาคมซึ่งเป็นช่วงเวลาช่วงเวลาดังกล่าวจะมีชุมชนนิยมมาเล่นน้ำบริเวณจุดเก็บตัวอย่าง ดังกล่าวเป็นจำนวนมาก (ภาพที่ 26)

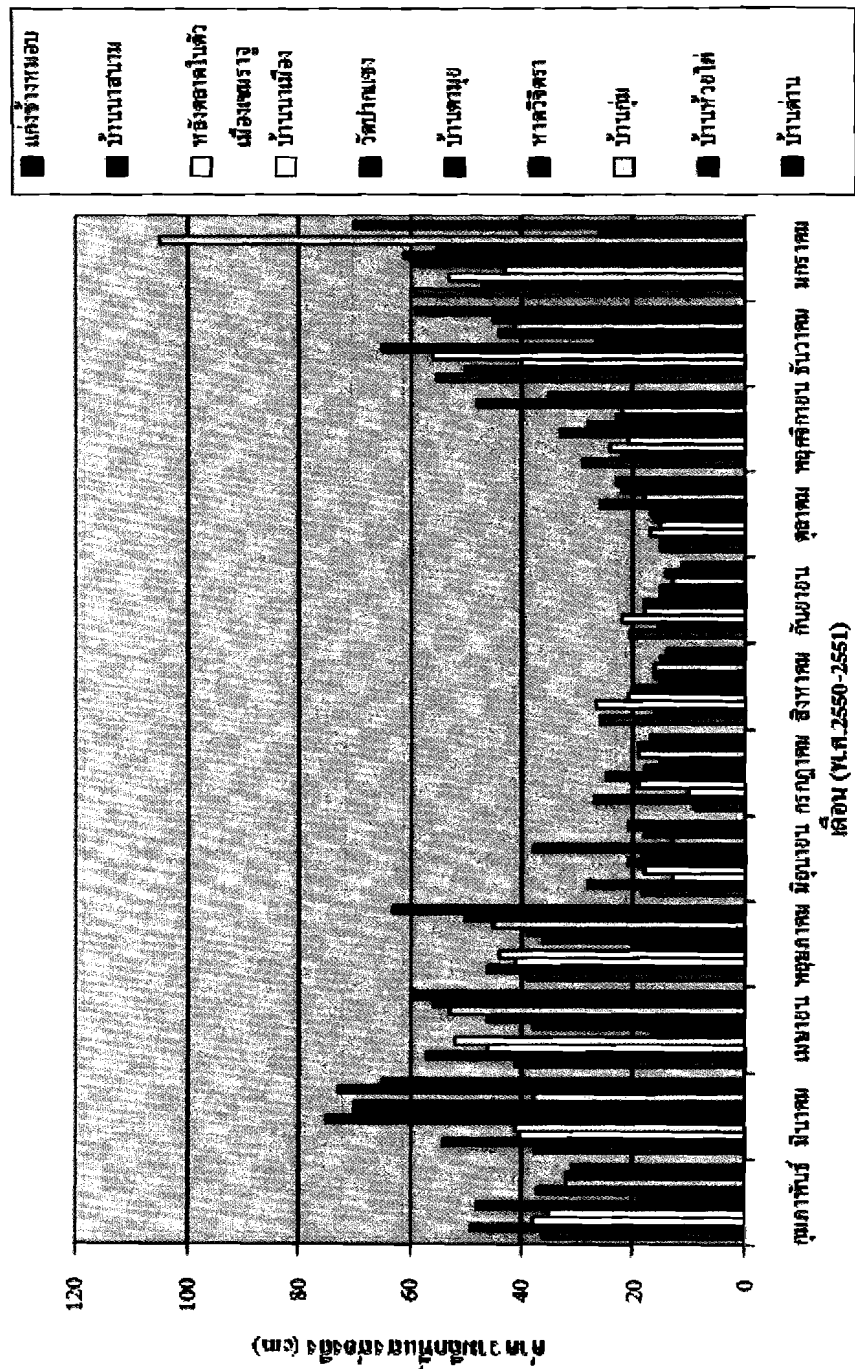
4.1.15 ปริมาณฟิคัลโคลิฟอร์มแบคทีเรีย (fecal coliform bacteria) พบว่าปริมาณฟิคัลโคลิฟอร์มแบคทีเรีย อยู่ในช่วง $<30 - \geq 24,000$ MPN/100 ml มีค่าเฉลี่ย 2,712 MPN/100 ml ค่าน้ำดื่มน้ำ 840 MPN/100 ml โดยการเปลี่ยนแปลงของปริมาณฟิคัลโคลิฟอร์มแบคทีเรียมีความสัมพันธ์เชิงบวก กับปริมาณโคลิฟอร์มแบคทีเรียทั้งหมดที่พบในน้ำ (ภาพที่ 26 และ 27)



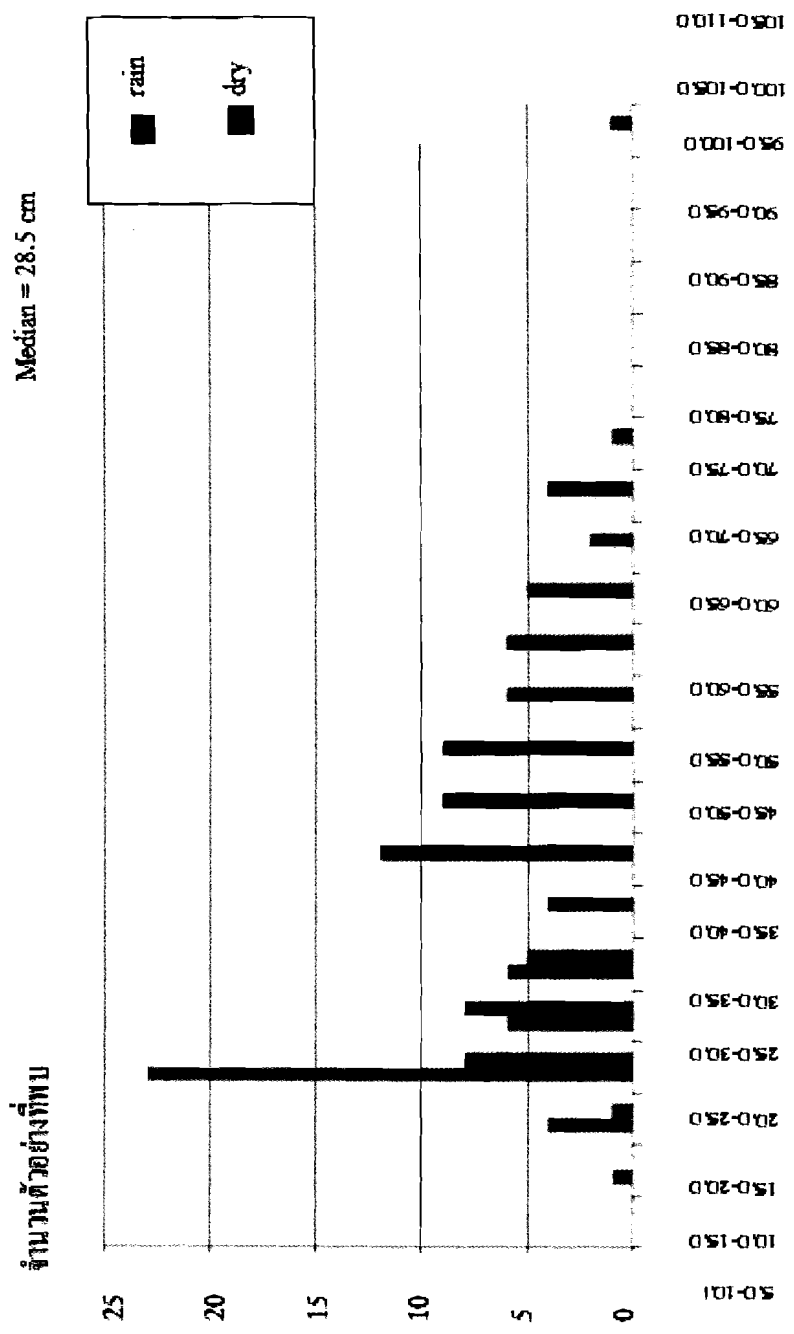
ภาพที่ 6 อุณหภูมิอาກาศในแต่ละวันที่ให้ผลผ่านจังหวัดอุบลราชธานี ระหว่างเดือนกุมภาพันธ์ 2550 ถึงเดือนมกราคม 2551



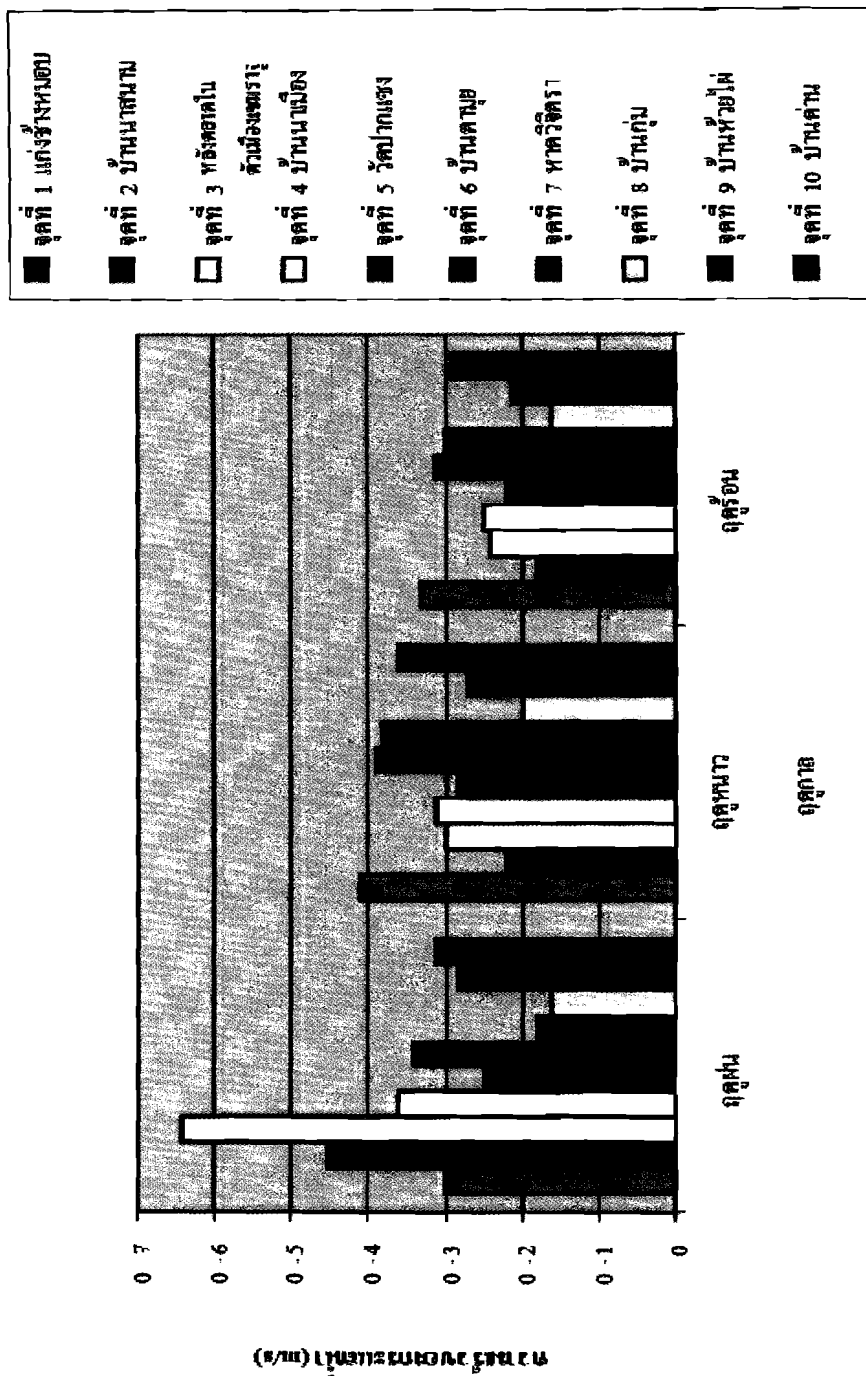
ภาพที่ 7 อุณหภูมิน้ำในแม่น้ำโขงส่วนที่ไหลผ่านจังหวัดอุบลราชธานี ระหว่างเดือนกุมภาพันธ์ 2550 ถึงเดือนมกราคม 2551



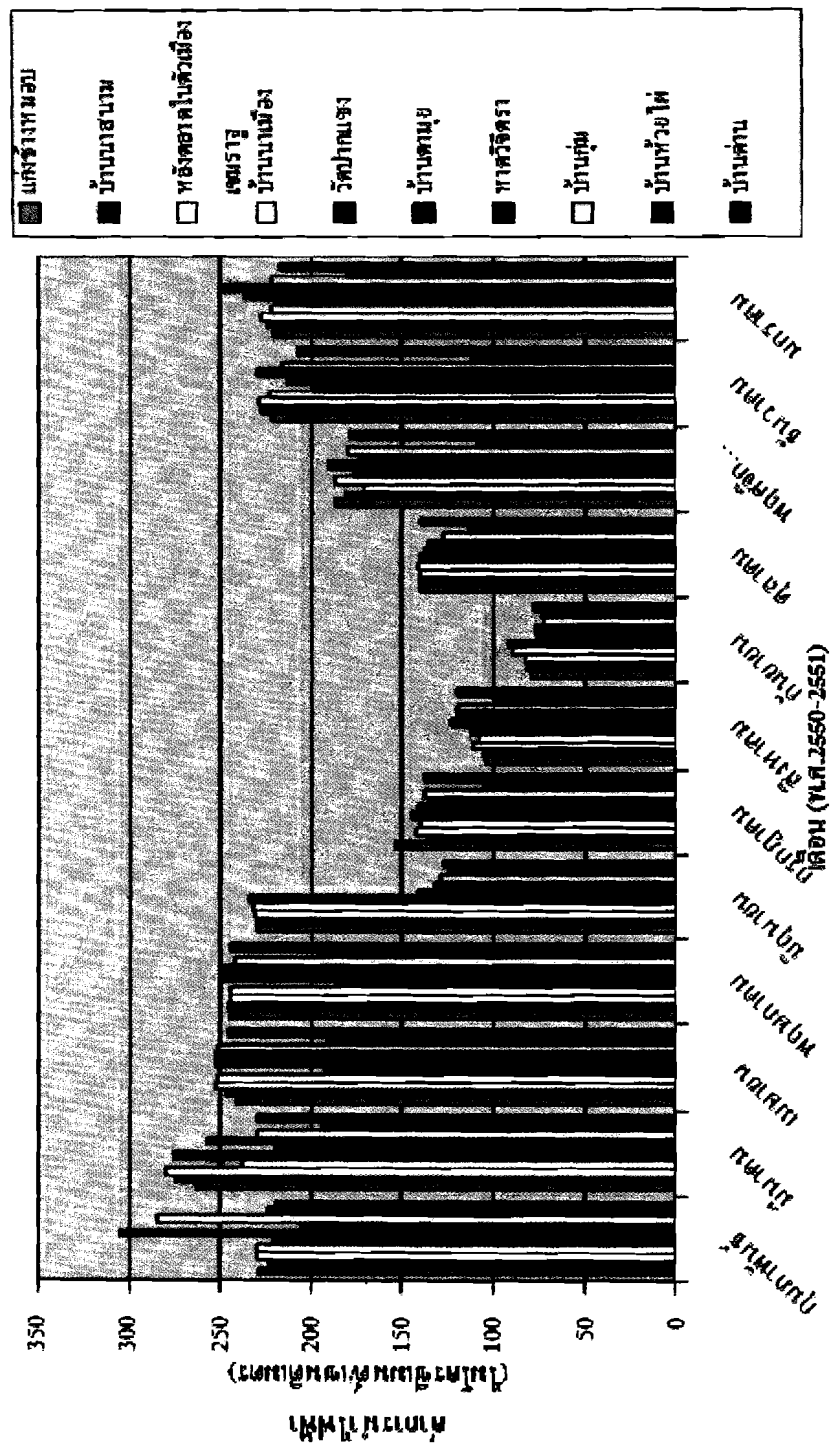
ภาพที่ 8 ค่าความลึกที่แสงส่องถึงในแม่น้ำโขงส่วนที่ไหลผ่านจังหวัดอุบลราชธานี ระหว่างเดือน กุมภาพันธ์ 2550 ถึงเดือนมกราคม 2551



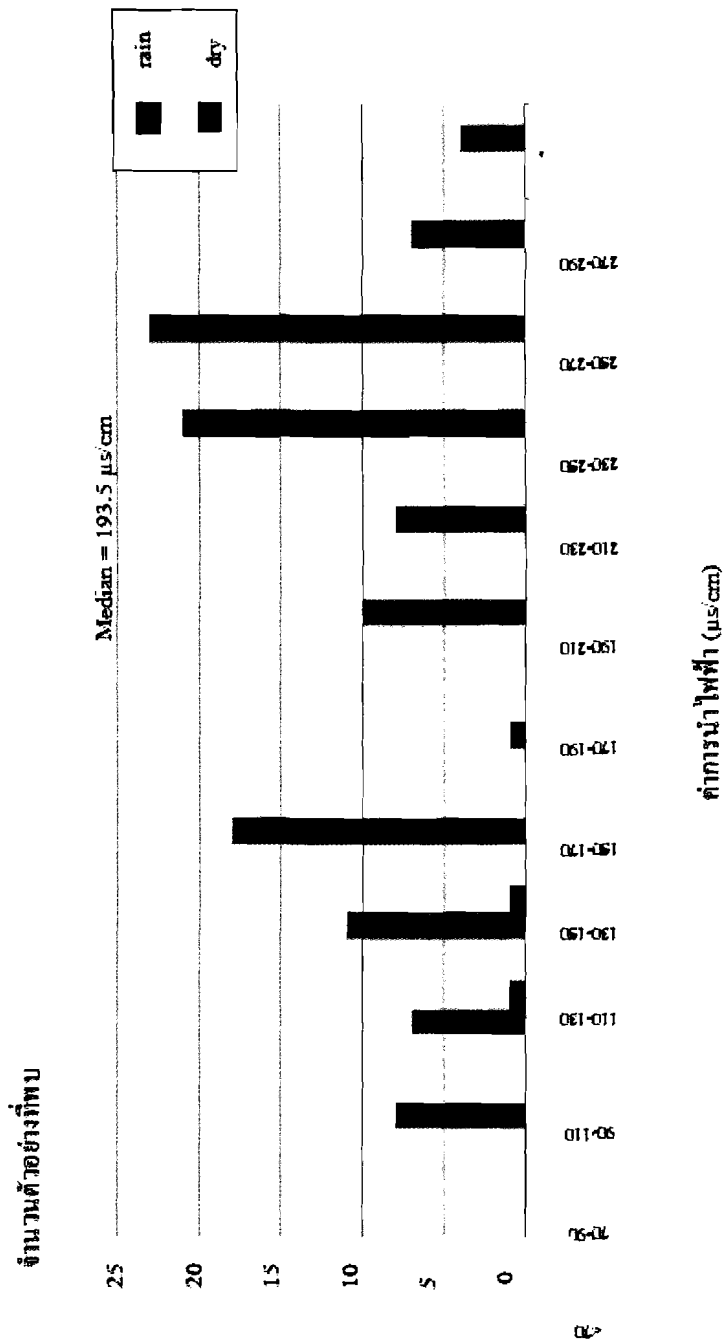
ภาพที่ 9 ค่าความลึกที่แสงส่องถึงของน้ำในถุงผนและถุงแล้งในแม่น้ำโขงส่วนที่ไหลผ่านจังหวัดอุบลราชธานี ระหว่างเดือนกุมภาพันธ์ 2550 ถึงเดือนมกราคม 2551



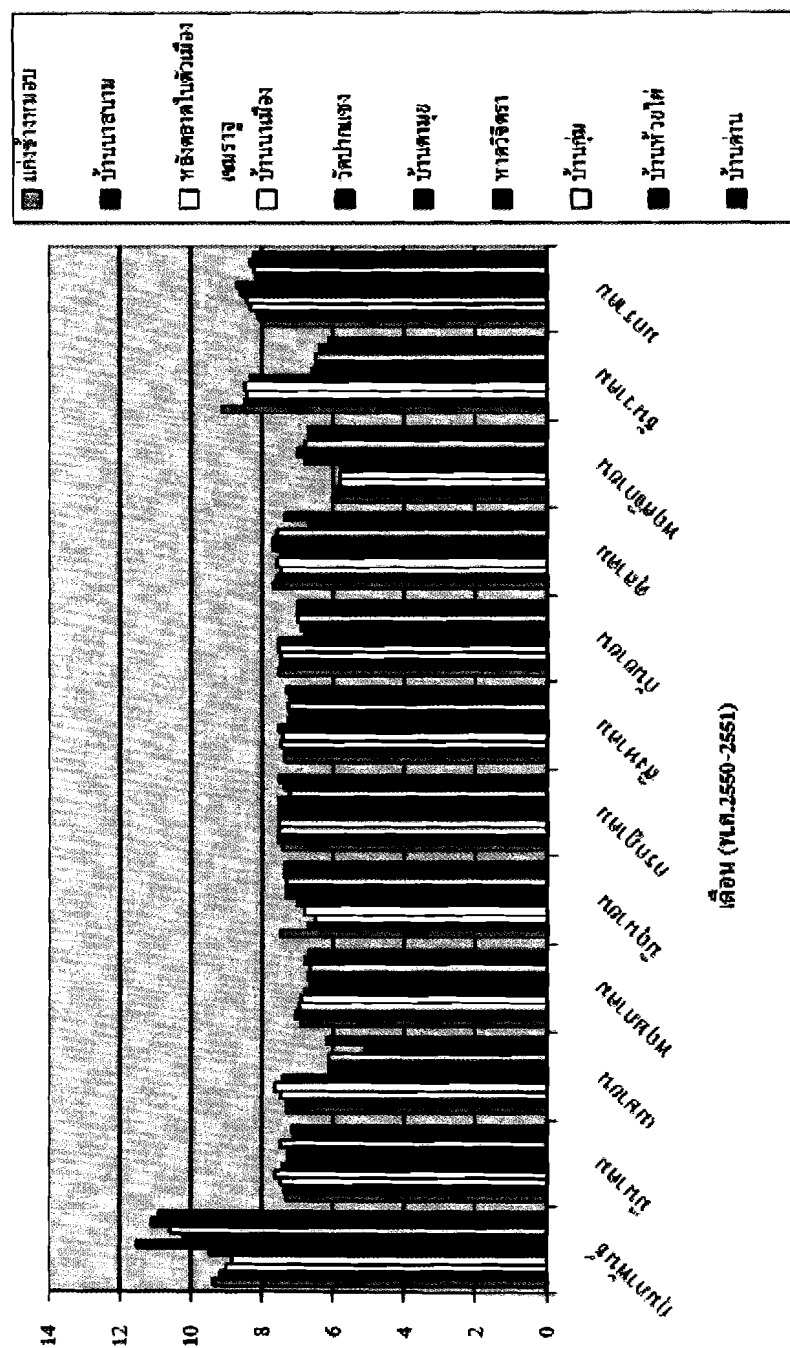
ภาพที่ 10 ความเร็วของกระแสน้ำในแต่ละฤดูในแม่น้ำโขงส่วนที่ไหลผ่านจังหวัดอุบลราชธานีระหว่างเดือนกุมภาพันธ์ 2550 ถึงเดือนกรกฎาคม 2551



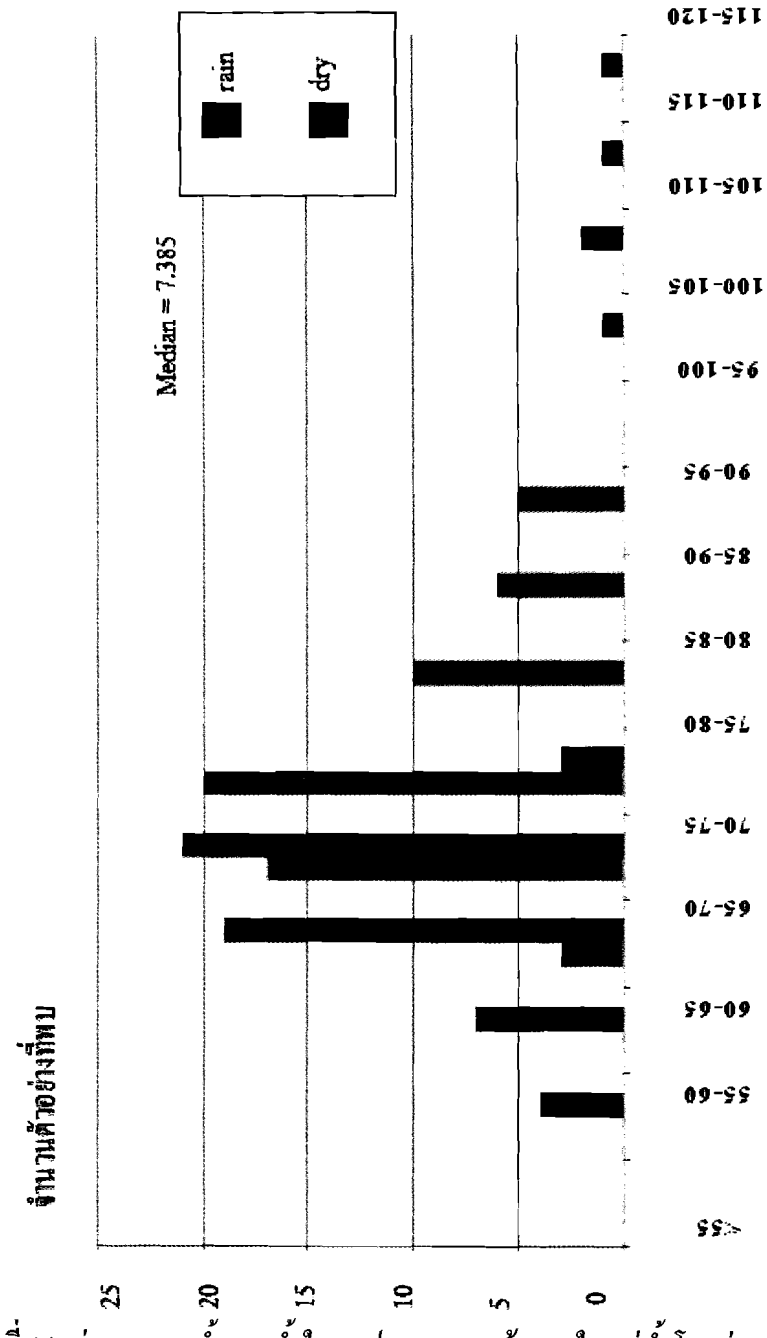
ภาพที่ 11 ค่าการนำไฟฟ้าในแม่น้ำโขงส่วนที่ไหลผ่านจังหวัดอุบลราชธานี ระหว่างเดือนกุมภาพันธ์ 2550 ถึงเดือนมกราคม 2551



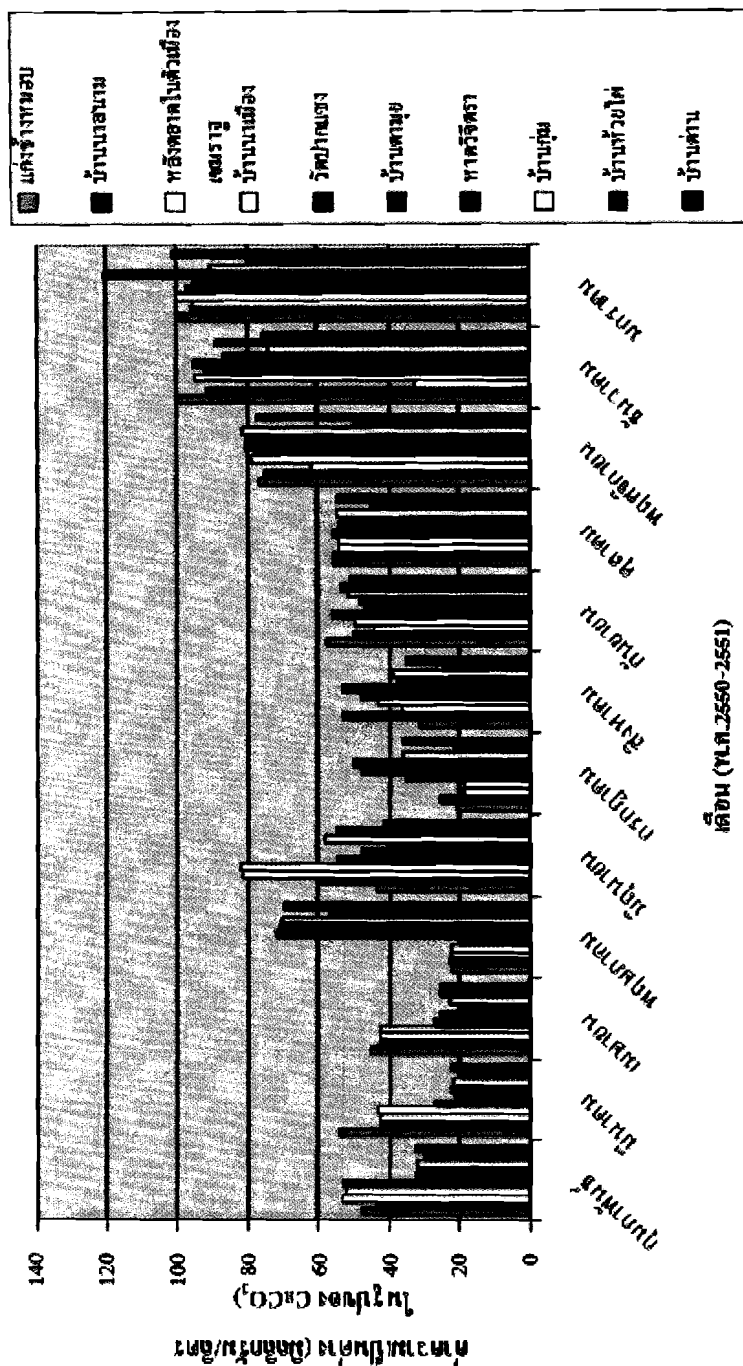
ภาพที่ 12 ค่าการนำไฟฟ้าของน้ำในถყมันและถყมลังของแม่น้ำโขงส่วนที่ไหลผ่านจังหวัดอุบลราชธานี ระหว่างเดือนกุมภาพันธ์ 2550 ถึงเดือนมกราคม 2551



ภาพที่ 13 ค่า pH ในแม่น้ำโขงส่วนที่ไหลผ่านจังหวัดอุบลราชธานีระหว่างเดือนกุมภาพันธ์ 2550 ถึงเดือนมกราคม 2551

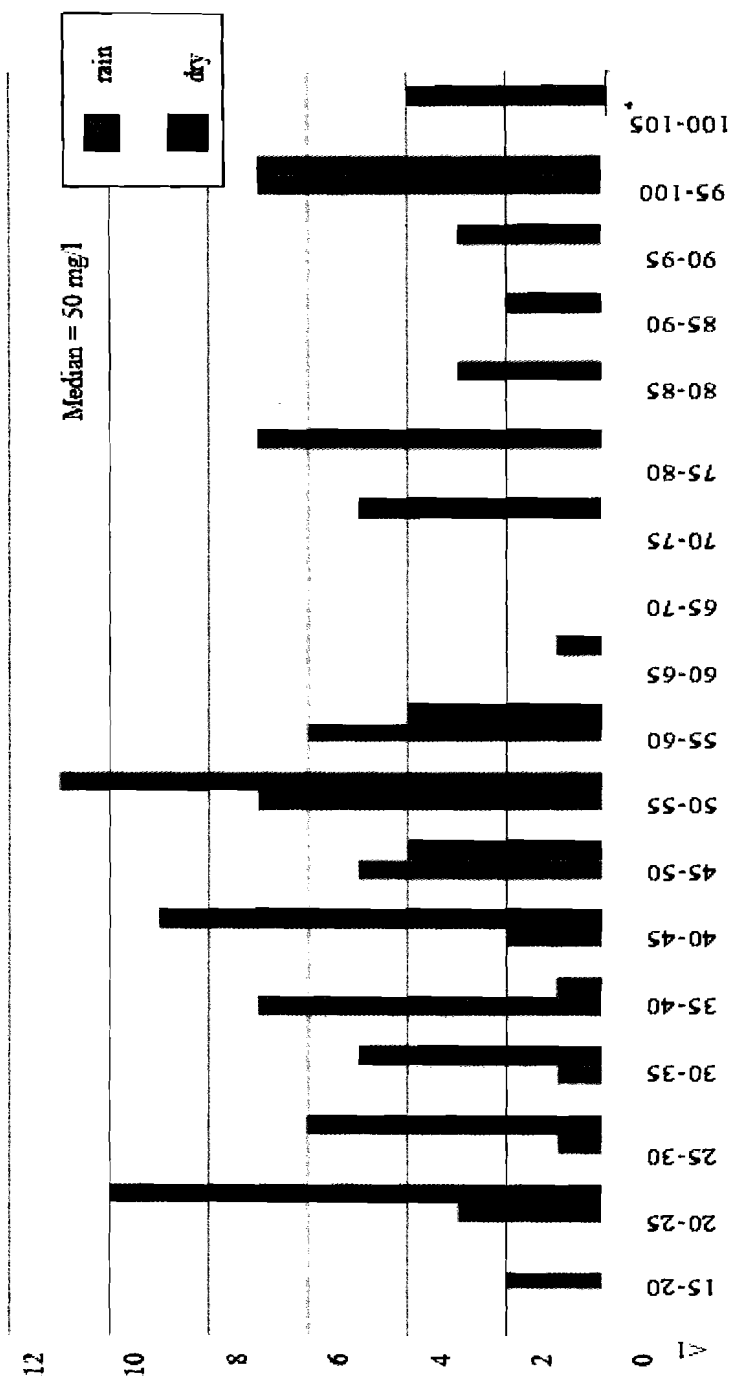


ภาพที่ 14 ค่า pH ของน้ำขบong น้ำในถุงผักและถุงแล็งของในแม่น้ำโขงส่วนที่ไหลผ่านจังหวัดอุบลราชธานีระหว่างเดือนกุมภาพันธ์ 2550 ถึงเดือน มกราคม 2551

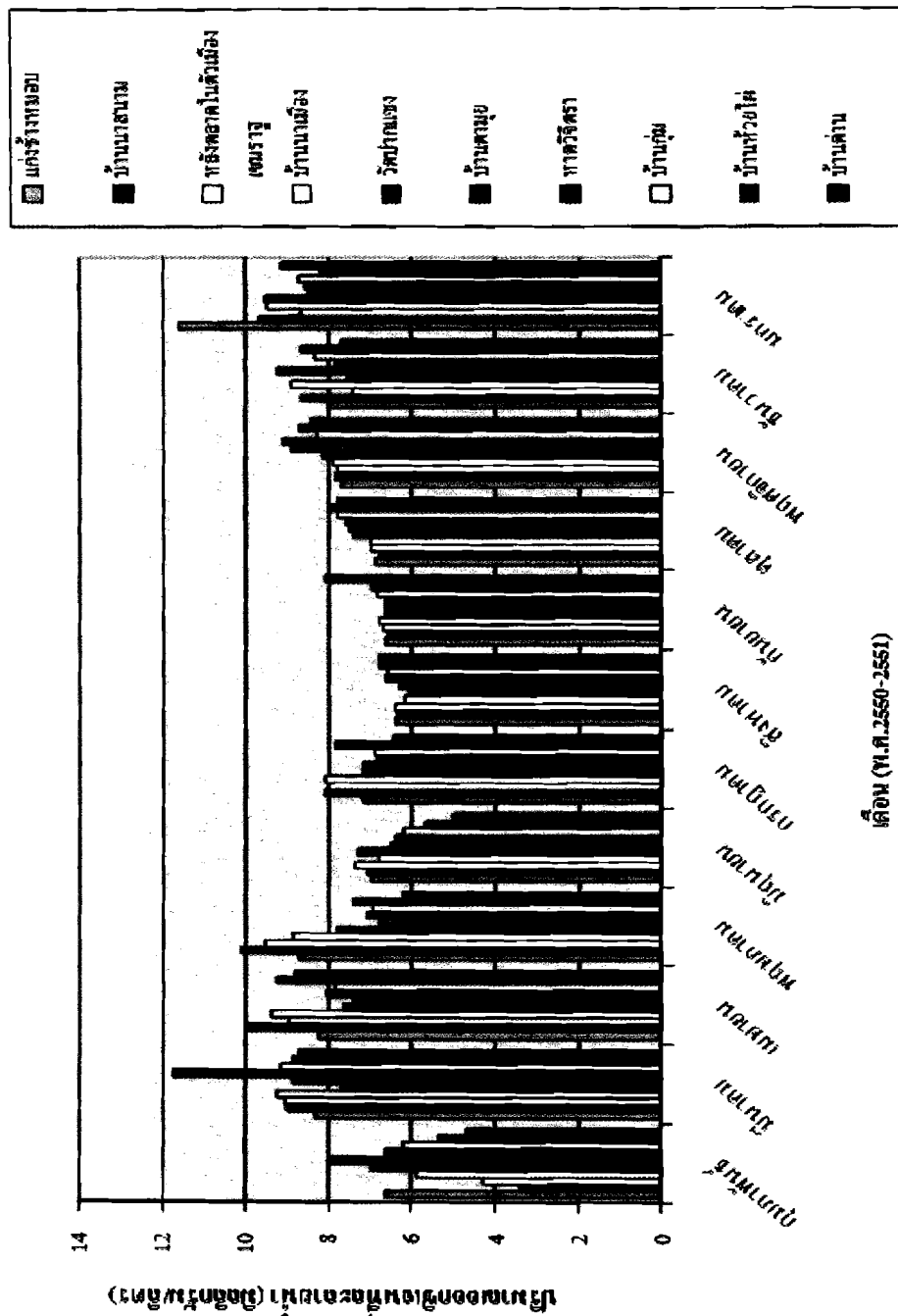


ภาพที่ 15 ค่าความเป็นค่างในแม่น้ำโขงส่วนที่เป็นที่ให้ผ่านจังหวัดอุบลราชธานี ระหว่างเดือนกุมภาพันธ์ 2550 ถึงเดือนมกราคม 2551

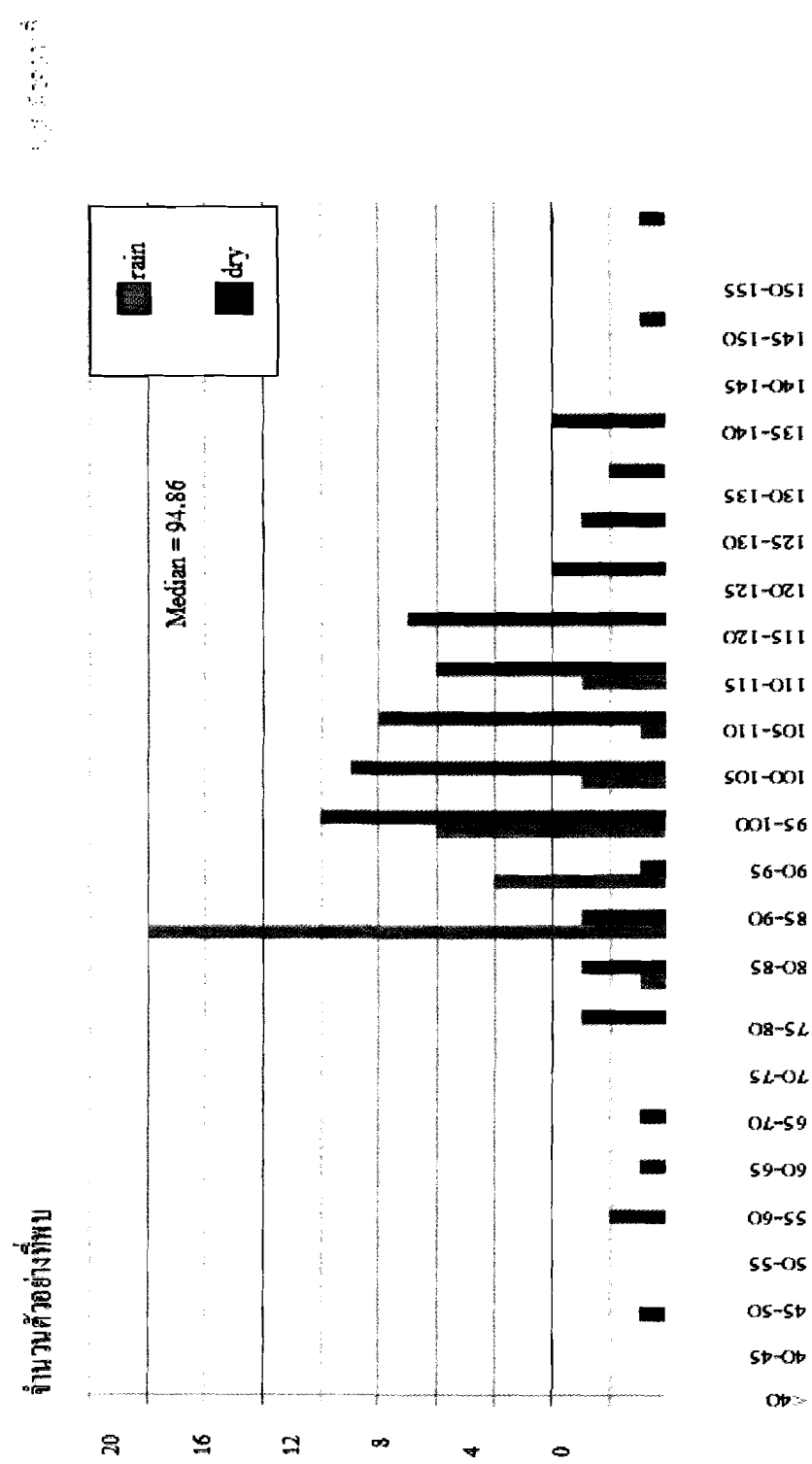
จำนวนตัวอย่างทั้งหมด



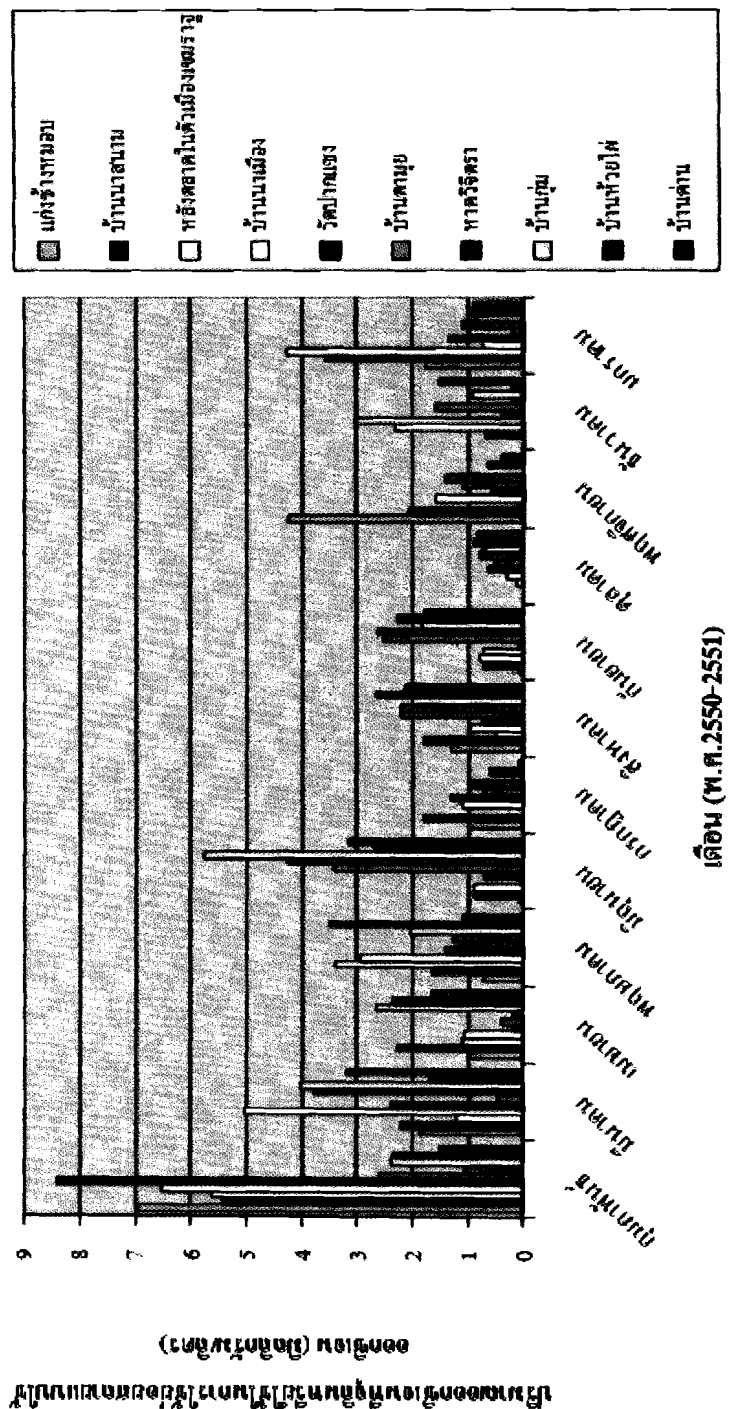
ภาพที่ 16 ค่าความเป็นค่างขององน้ำในฤดูฝนและฤดูแล้งในแม่น้ำโขงส่วนที่ไหลผ่านจังหวัดอุบลราชธานี ระหว่างเดือนกุมภาพันธ์ 2550 ถึงเดือนมกราคม 2551



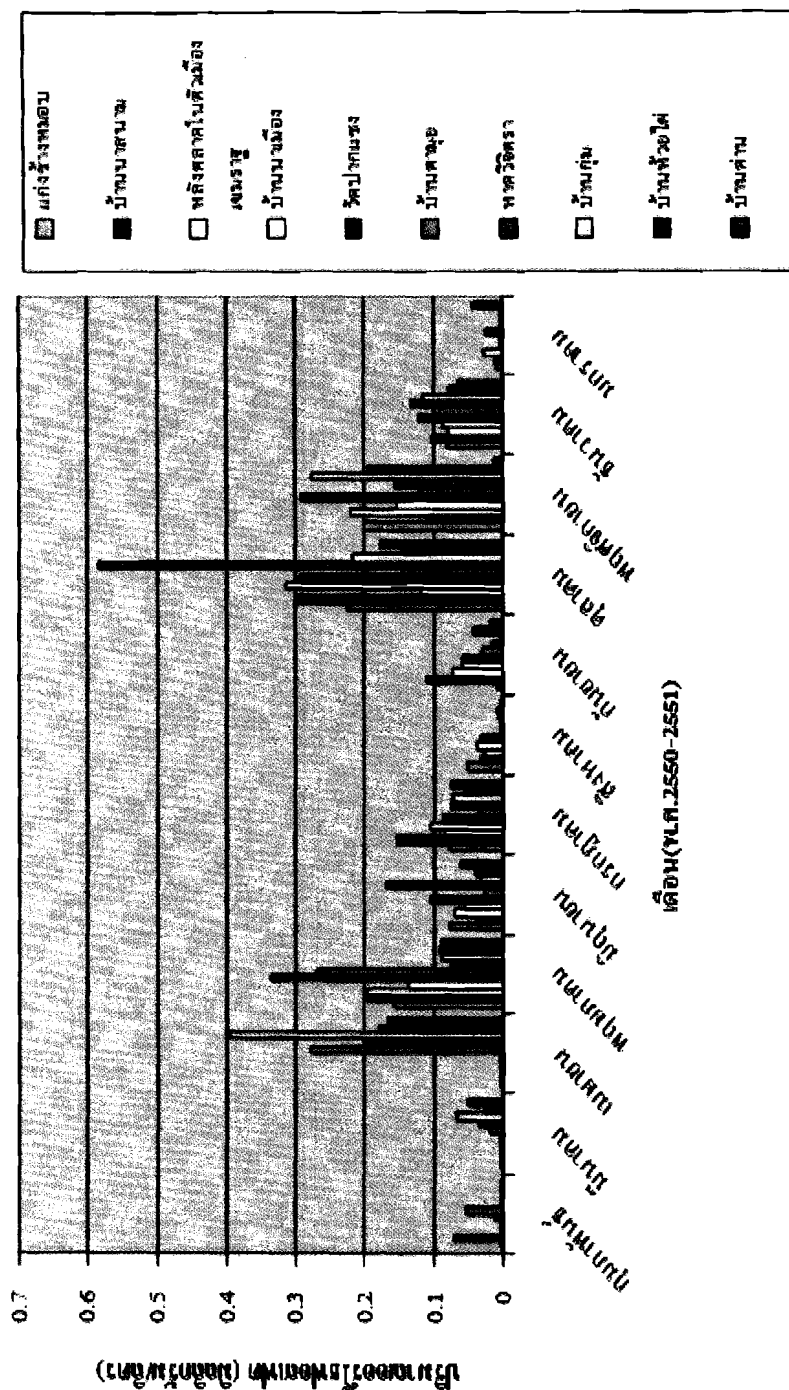
ภาพที่ 17 ค่า DO ในแม่ป่าโงส่วนที่ให้ผ่านจังหวัดอุบลราชธานี ระหว่างเดือนกุมภาพันธ์ 2550 ถึงเดือนมกราคม 2551



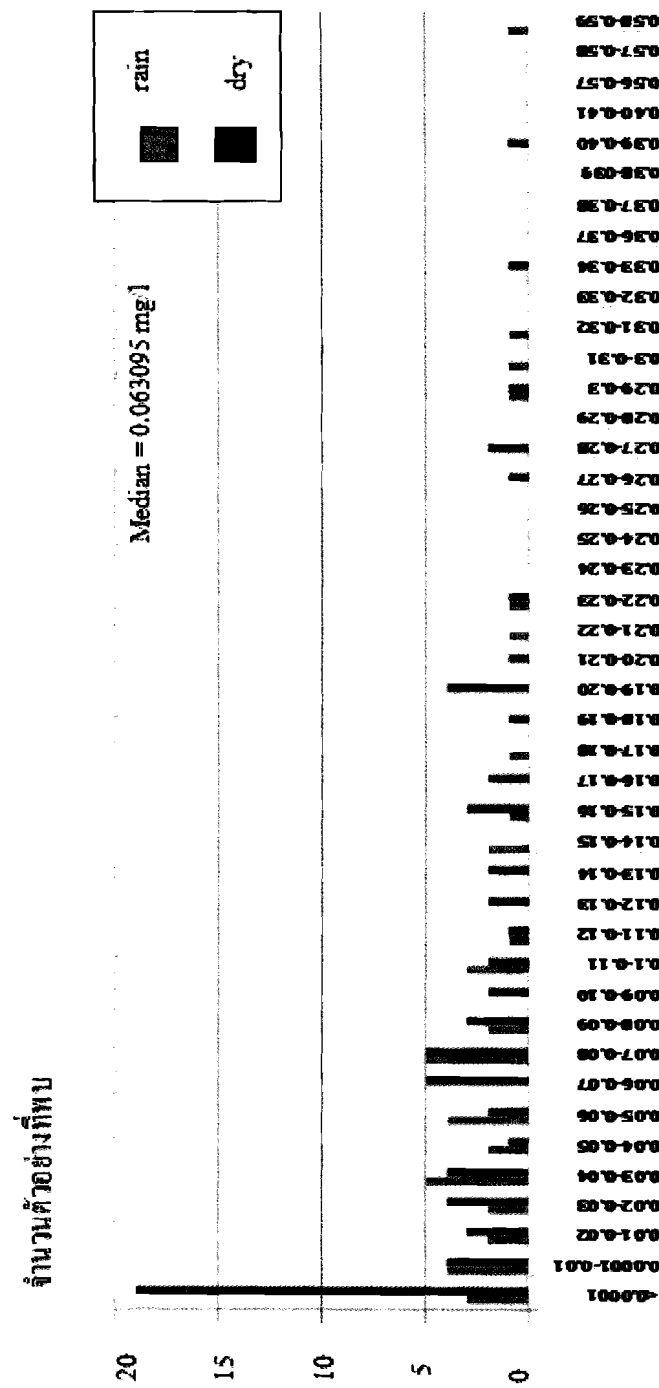
ภาพที่ 18 เปอร์เซ็นต์ความอิ่มตัวของออกซิเจน (percent oxygen saturation) ในกลุ่มและกลุ่มเลี้ยง
แม่น้ำโขงส่วนที่ไหลผ่านจังหวัดอุบลราชธานี ระหว่างเดือนกุมภาพันธ์ 2550 ถึงเดือน
มกราคม 2551



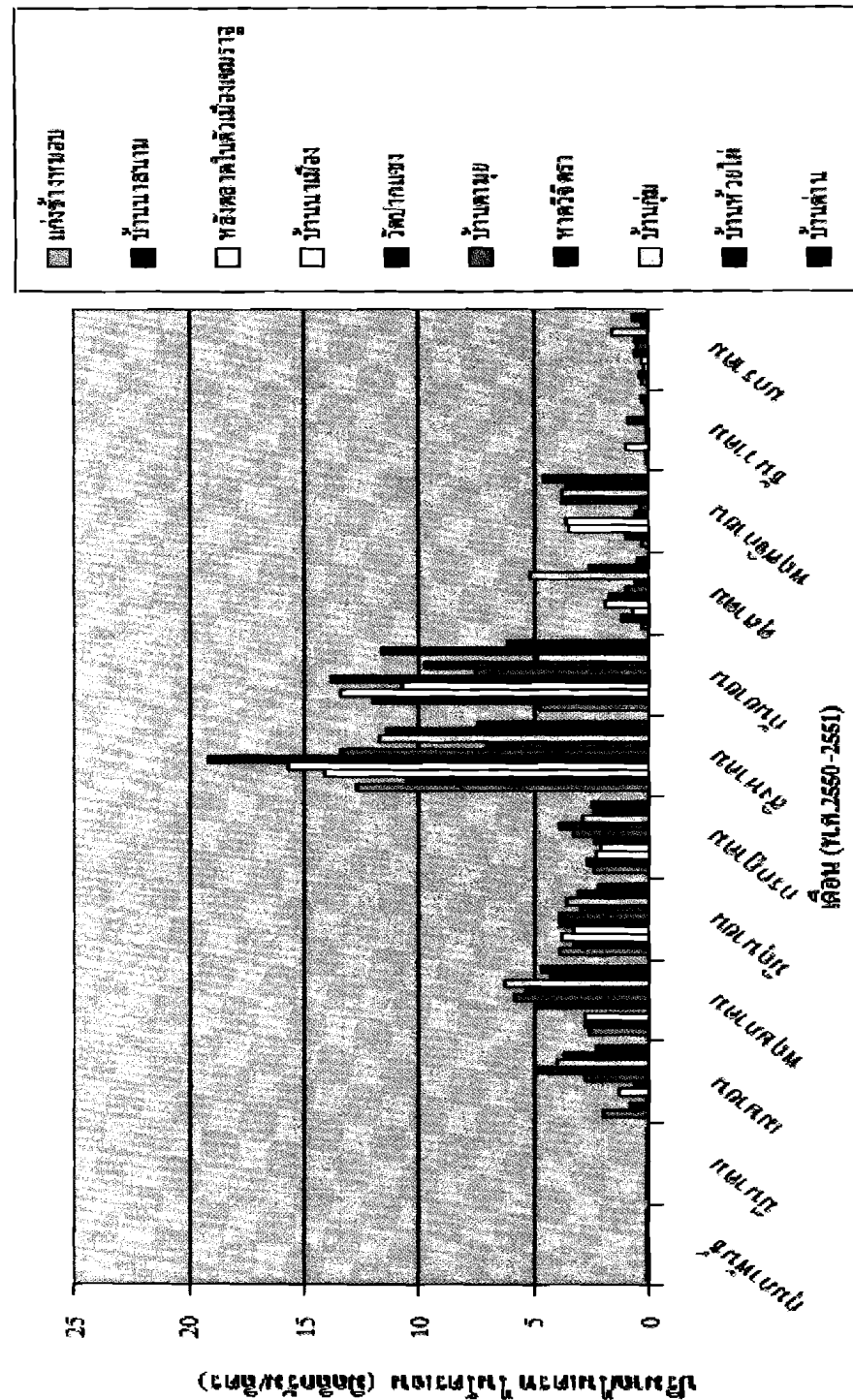
ภาพที่ 19 ค่า BOD ในแม่น้ำโขงส่วนที่ไหลผ่านจังหวัดอุบลราชธานี ระหว่างเดือนกุมภาพันธ์ 2550 ถึงเดือนมกราคม 2551



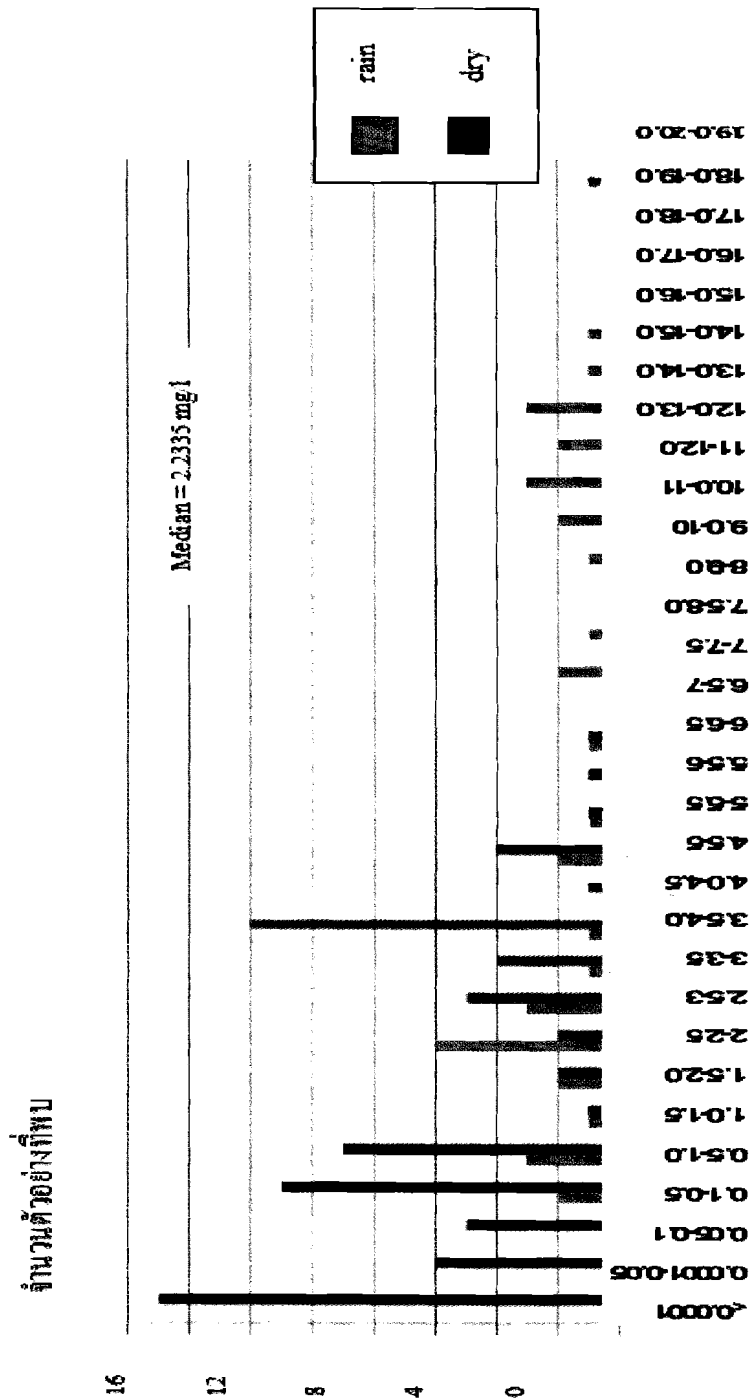
ภาพที่ 20 ปริมาณอัตราก่อตัวในแม่น้ำ โขงส่วนที่ไหลผ่านจังหวัดอุบลราชธานี ระหว่างเดือน กุมภาพันธ์ ๒๕๕๐ ถึงเดือนมีนาคม ๒๕๕๑



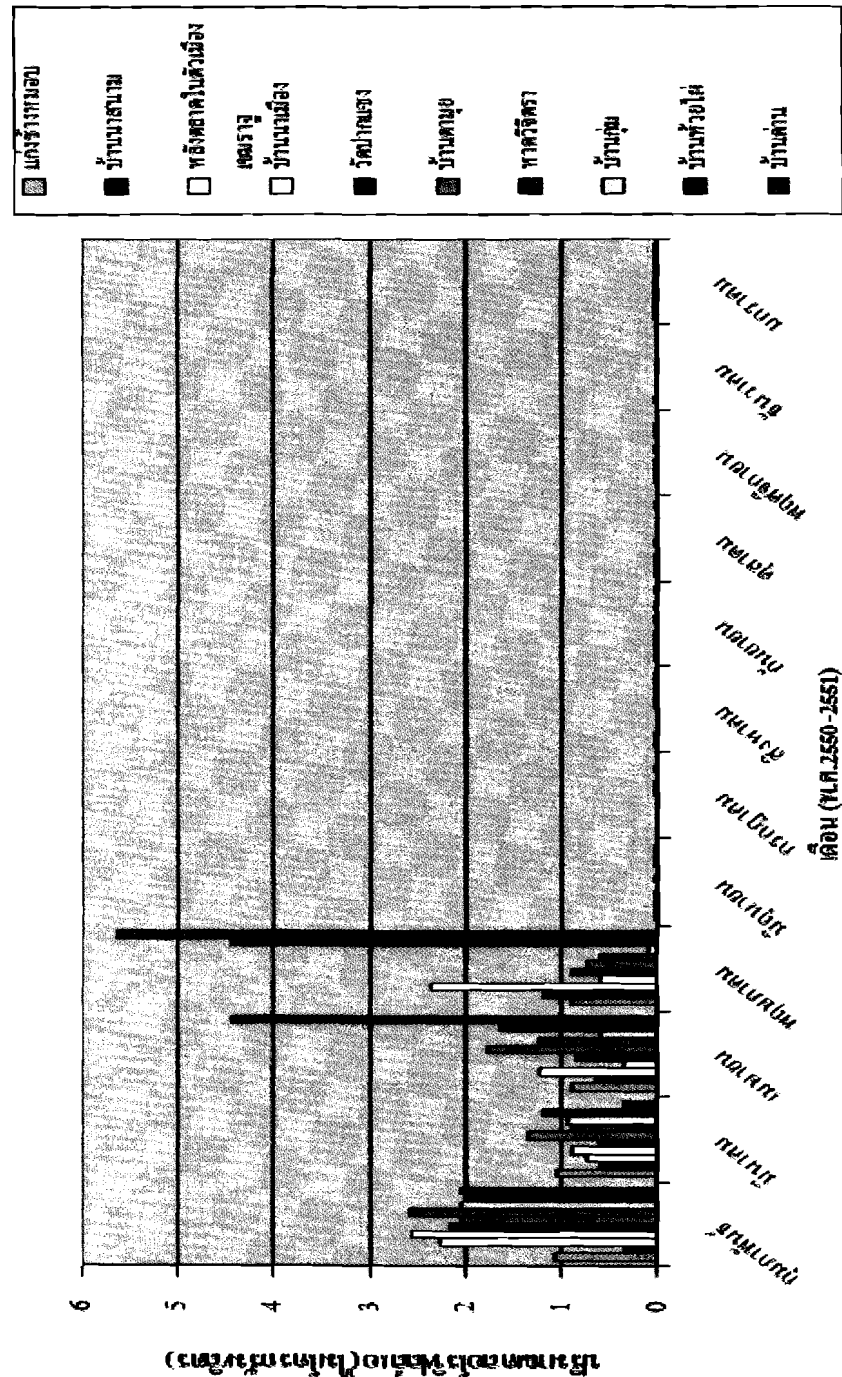
ภาพที่ 21 ปริมาณօร์โซฟอสเฟตในแม่น้ำโขงในฤดูฝนและฤดูแล้ง ในแม่น้ำโขงส่วนที่ไหลผ่านจังหวัดอุบลราชธานี ระหว่างเดือนกุมภาพันธ์ 2550 ถึงเดือนกรกฎาคม 2551



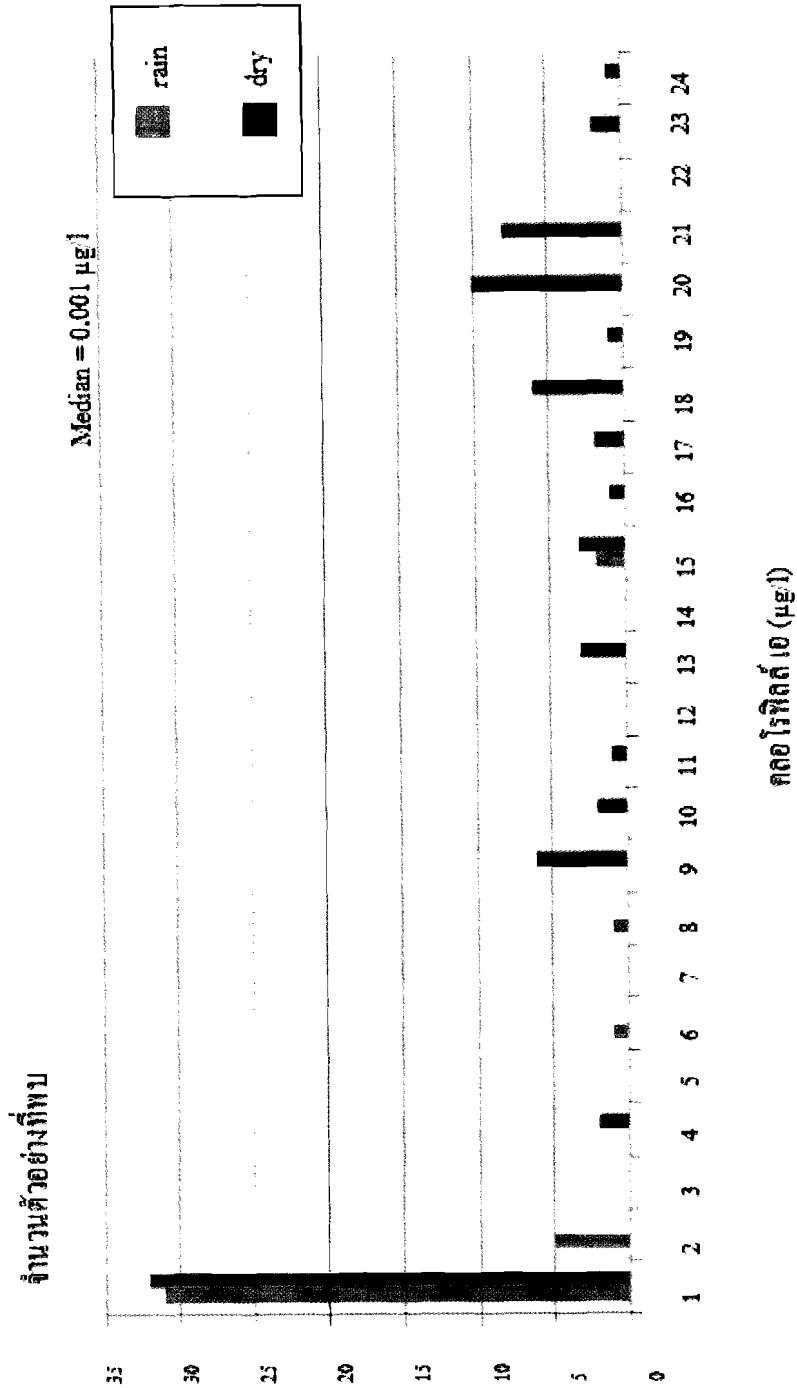
ภาพที่ 22 ปริมาณ ไนเตรต ในโตรเจน ในแม่น้ำโขงส่วนที่ไหลผ่านจังหวัดอุบลราชธานี ระหว่างเดือนกุมภาพันธ์ 2550 ถึงเดือนมกราคม 2551



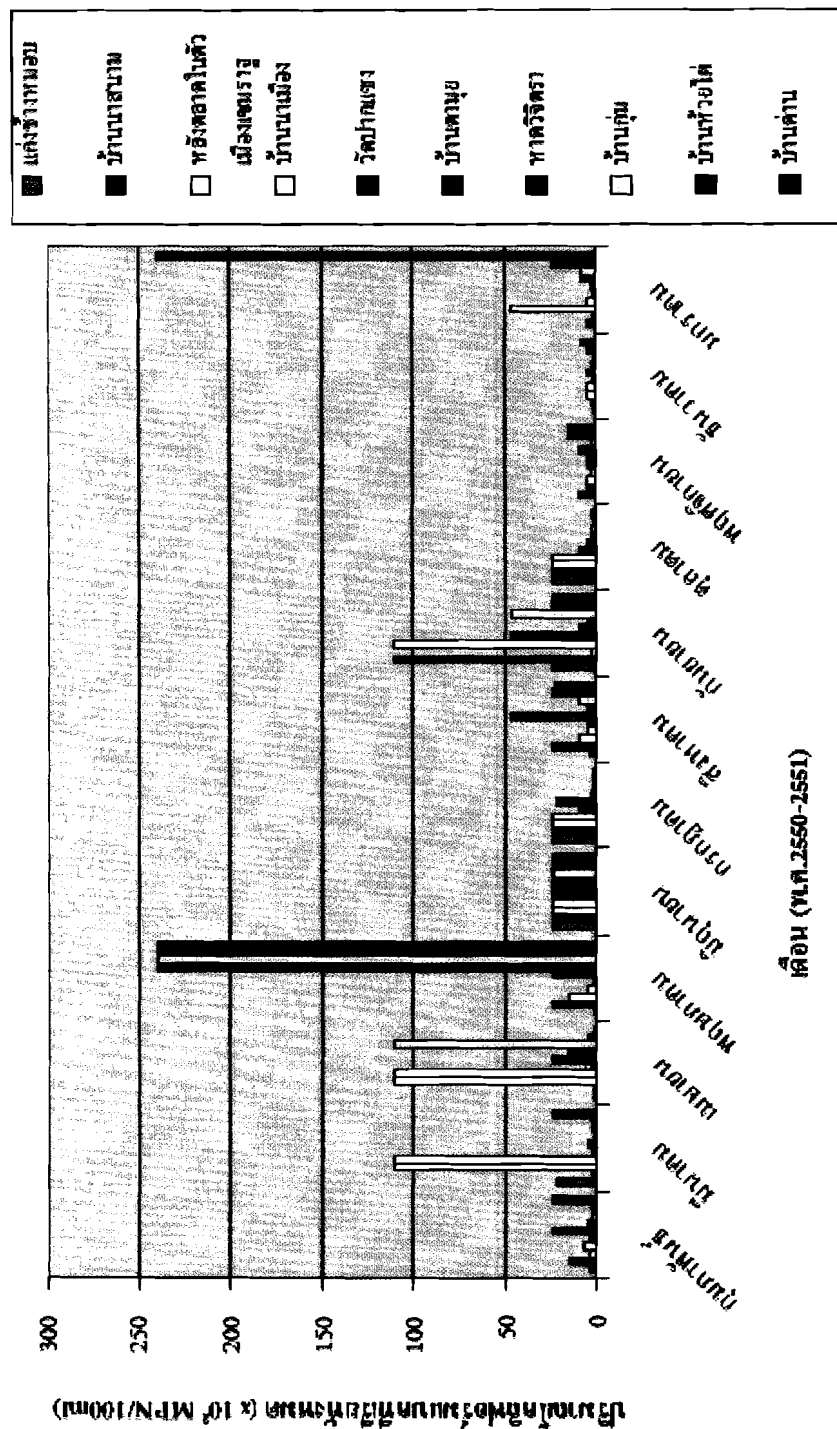
ภาพที่ 23 ปริมาณไนเตรตในดินเรือนของน้ำในถุงผึ้งและถุงแอลูมิเนียมแม่น้ำของส่วนที่ให้ผลผ่านจังหวัดอุบลราชธานีระหว่างเดือนกุมภาพันธ์ 2550 ถึงเดือนมกราคม 2551



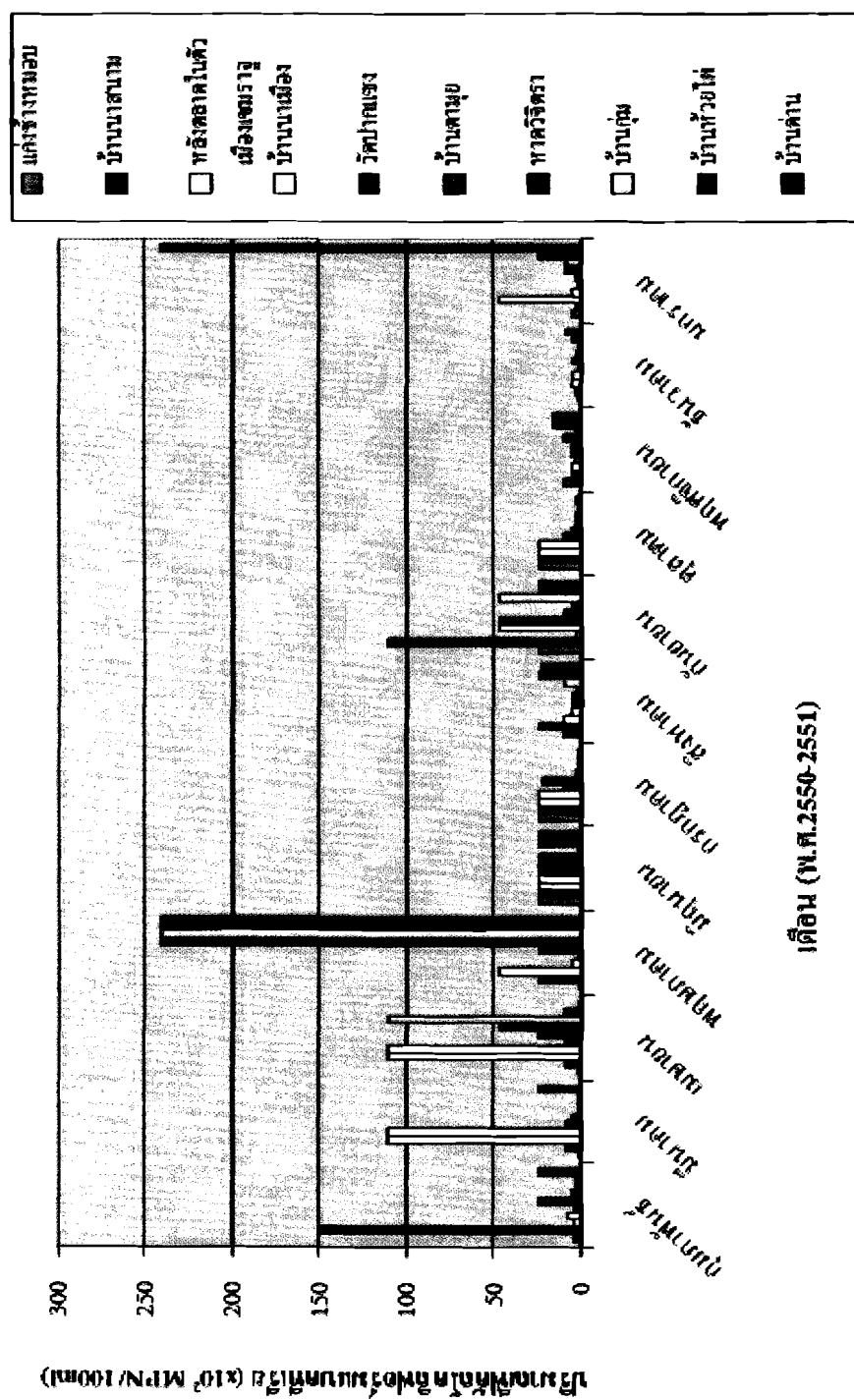
ภาพที่ 24 ปริมาณคลอโรฟิลล์ เอ ในแม่น้ำโขงส่วนที่ไหลผ่านจังหวัดอุบลราชธานี ระหว่างเดือนกุมภาพันธ์ 2550 ถึงเดือนมกราคม 2551



ภาพที่ 25 ปริมาณคลอโรฟิลล์เอ ของน้ำในถุงฝนและถุงแล้งในแม่น้ำโขงส่วนที่ไหลผ่านจังหวัดอุบราชธานี ระหว่างเดือนกุมภาพันธ์ 2550 ถึงเดือนมกราคม 2551

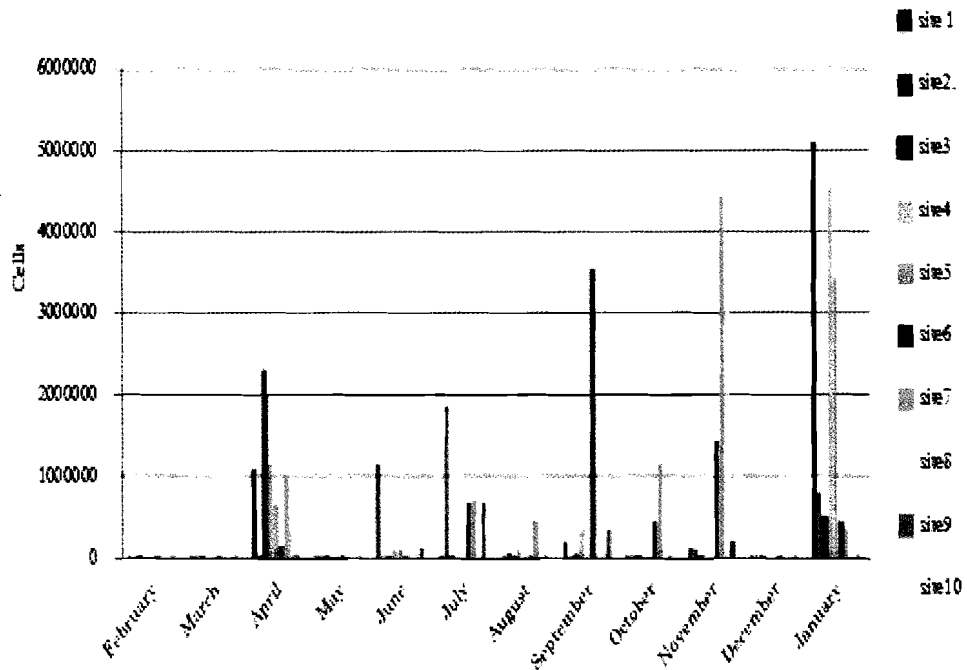


ภาพที่ 26 ปริมาณโคลิฟอร์มแบคทีเรียทั้งหมดในแม่น้ำ สำหรับจังหวัดอุบลราชธานี ระหว่างเดือนกุมภาพันธ์ 2550 ถึงเดือนมีนาคม 2551



ภาพที่ 27 ปริมาณพีคล็อกลิฟอร์มแบคทีเรียในแม่น้ำโขงส่วนที่ไหลผ่านจังหวัดอุบลราชธานี ระหว่างเดือนกุมภาพันธ์ 2550 ถึงเดือนมกราคม 2551

Sum of specimen



ภาพที่ 28 จำนวนไครอะตอนพื้นท้องน้ำทึ่งหมุดที่พบในแม่น้ำโขงส่วนที่ไหลผ่านจังหวัดอุบลราชธานี ระหว่างเดือนกุมภาพันธ์ 2550 ถึงเดือน มกราคม 2551

4.2 ความหลากหลายของไคลอตอมพื้นท้องน้ำ

ไคลอตอมพื้นท้องน้ำที่พบทั้งหมดคือการวิจัยในบริเวณ แก่งช้างหมอบ บ้านนาสนา� ท่าเรือหลังคลาดในตัวเมืองอำเภอเมืองราชบุรี บ้านนาเมือง วัดปากแข็ง บ้านตามุย หาดวิจิตร บ้านกุ่ม บ้านห้วยไฝ และบ้านค่าน ตั้งแต่เดือนกุมภาพันธ์ 2550 ถึงเดือนกรกฎาคม พ.ศ. 2551 พบไคลอตอมพื้นท้องน้ำทั้งหมด 307 ชนิด เป็นไคลอตومประเภท centric diatom 4 ชนิด และ pennate diatom 303 ชนิด (ตารางที่ 9) ไคลอตอมพื้นท้องน้ำชนิดเด่นที่พบในการวิจัยครั้งนี้ได้แก่ *Gomphonema lagenula* Kützing รองลงมาคือ *Navicula rostellata* Kützing, *Nitzschia palea* (Kützing) W. Smith, *Luticola goeppertia* (Bleisch) D. G. Mann, *Nitzschia liebetrichii* Rabenhorst, *Sellaphora pupula* (Kützing) Mereschkowsky, *Navicula erifuga* Lange-Bertalot, *Cymbella tumida* (Brébisson) Van Heurck, *Gomphonema clevei* var. *javanica* Hustedt, *Cymbella turgidula* Grunow, *Gomphonema pseudosphaerophorum* Kobayasi, *Pinnularia subcapitata* Gregory, *Amphora montana* Krasske, *Rhopalodia gibberula* (Ehrenberg) O. F. Müller, *Nitzschia filiformis* (W. Smith) Hustedt, *Bacillaria paxillifer* (O.F.Müller) T.Marsson, *Navicula cryptotenella* Lange-Bertalot และ *Gomphonema* sp.2 (?nov.) UBU-MK3 ตามลำดับ (ตารางที่ 10)

ในช่วงปลายฤดูฝนต่อ กับต้นฤดูหนาวพบว่า มีการเจริญของไคลอตอมพื้นท้องน้ำมาก ที่สุด โดยเดือนที่พบรการเจริญมากที่สุดคือเดือนมกราคม รองลงมาคือเดือนพฤษจิกายน (ภาพที่ 23) ทั้งนี้ เพราะในช่วงเวลาดังกล่าว มีการไหลของกระแสน้ำช้าลง และน้ำเริ่มใสมากขึ้น ปริมาณแสงที่ส่องถึงพื้นท้องน้ำมีความเหมาะสม และแหล่งน้ำได้รับสารอาหารจากการชะล้างปูยโดยจากบริเวณ ริมฝั่งซึ่งทำให้เกิดสภาพที่เอื้อต่อการเจริญของไคลอตอมพื้นท้องน้ำได้ดี ในทางกลับกัน ในฤดูฝนซึ่งกระแสน้ำไหลเข้ายามาก และมีความสูงสูง ปริมาณแสงส่องถึงพื้นท้องน้ำต่ำ จึงทำให้ไคลอตอมพื้นท้องน้ำเจริญได้ไม่ดีในฤดูฝน (ภาพที่ 23)

ตารางที่ 9 ลำดับทางอนุกรมวิธานของไโคอะตอนที่พบในจุดเก็บตัวอย่าง 10 จุดในแม่น้ำโขงส่วนที่
ไหลผ่านจังหวัดอุบลราชธานี ระหว่างเดือนกุมภาพันธ์ 2550 ถึงเดือนกรกฎาคม 2551

ลำดับทางอนุกรมวิธาน	ชนิด
Division Bacillariophyta	
Order Centrales	
Family Melosiraceae	
	<i>Aulocoseira granulata</i> (Ehrenberg) Simonsen
	<i>Melosira varians</i> C. Agardh
Family Thalassiosiraceae	
	<i>Cyclotella meneghiniana</i> F.T. Kützing
	<i>Cyclotella stelligera</i> Cleve & Grunow
Order Pennales	
Family Fragilariaceae	
	<i>Asterionella formosa</i> Hassall
	<i>Diatoma ehrenbergii</i> Kützing
	<i>Diatoma hyemalis</i> (Roth) Heiberg
	<i>Diatoma vulgaris</i> Bory
	<i>Fragilaria biden</i> Heiberg
	<i>Fragilaria capucina</i> var. <i>gracilis</i> (Oestrup) Hustedt
	<i>Fragilaria capucina</i> var. <i>mesolepta</i> (Rabenhorst) Rabenhorst
	<i>Fragilaria capucina</i> sensu lato
	<i>Fragilaria construens</i> f. <i>venter</i> (Ehrenberg) Hustedt
	<i>Fragilaria famelica</i> (Kützing) Lange-Bertalot
	<i>Fragilaria fasciculata</i> (Agardh.) Lange-Bertalot
	<i>Fragilaria goulrodii</i> (Brébisson) Lange-Bertalot
	<i>Fragilaria lapponica</i> Grunow
	<i>Fragilaria nanana</i> Lange-Bertalot
	<i>Fragilaria pinnata</i> Ehrenberg

ตารางที่ 9 ลำดับทางอนุกรมวิธานของไคอะตอมที่พบในจุดเก็บตัวอย่าง 10 จุดในแม่น้ำโขงส่วนที่ใหญ่ผ่านจังหวัดอุบลราชธานี ระหว่างเดือนกุมภาพันธ์ 2550 ถึงเดือนมกราคม 2551 (ต่อ)

ลำดับทางอนุกรมวิธาน	ชนิด
	<i>Fragilaria pulchella</i> (Ralf ex Kützing) Lange-Bertalot
	<i>Fragilaria</i> sp.1
	<i>Fragilaria</i> sp.2
	<i>Fragilaria subsalina</i> (Grunow) Lange-Bertalot
	<i>Fragilaria ulna</i> var. <i>acus</i> (Kützing) Lange-Bertalot
	<i>Fragilaria vaucheriae</i> (Kützing) Petersen
	<i>Fragilaria vivescens</i> Ralfs
	<i>Synedra ungeriana</i> var. <i>pseudogaillonii</i> (H. Kobayasi et Idei)
Family Eunotiaceae	
	<i>Eunotia arcus</i> Ehrenberg
	<i>Eunotia crista-galli</i> Cleve
	<i>Eunotia exigua</i> (Brébisson ex Kützing) Rabenhorst
	<i>Eunotia monodon</i> var. <i>tropica</i> Hustedt
	<i>Eunotia muscicola</i> Krasske var. <i>muscicola</i>
	<i>Eunotia pectinalis</i> var. <i>undulata</i> (Ralf) Rabenhorst
	<i>Eunotia tenella</i> (Grunow) Hustedt
	<i>Eunotia</i> cf. <i>tschirchiana</i> O. Müller
Family Achnanthaceae	
	<i>Achnanthes crenulata</i> Grunow
	<i>Achnanthes deflexa</i> Patrick in Patrick & Reimer
	<i>Achnanthes exigua</i> Grunow
	<i>Achnanthes</i> cf. <i>eutrophilum</i> (Lange-Bertalot) Lange-bertalot
	<i>Achnanthes holstii</i> Cleve
	<i>Achnanthes inflata</i> (Kützing) Grunow
	<i>Achnanthes lanceolata</i> spp. <i>biporoma</i> (Hohn & Hellerman) Lange-Bertalot

ตารางที่ 9 ลำดับทางอนุกรมวิธานของ ไคอะตอนที่พบในจุดเก็บตัวอย่าง 10 จุด ในแม่น้ำโขงส่วนที่ ใหญ่ผ่านจังหวัดอุบลราชธานี ระหว่างเดือนกุมภาพันธ์ 2550 ถึงเดือนกรกฎาคม 2551 (ต่อ)

ลำดับทางอนุกรมวิธาน	ชนิด
	<i>Achnanthes minutissima</i> var. <i>affinis</i> (Carter) Lange-Bertalot
	<i>Achnanthes minutissima</i> Kützing
	<i>Achnanthes oestrupii</i> (Cleve-Euler) Hustedt var. <i>oestrupii</i>
	<i>Achnanthes robusta</i> var. <i>robusta</i> Hustedt
	<i>Achnanthidium minutissimum</i> var.
	<i>Achnanthes ventralis</i> (Krasske) Lange-Bertalot
	<i>Achnanthidium minutissimum</i> var. <i>minutissimum</i> (Kützing) Czarnecky
	<i>Cocconeis placentula</i> Ehrenberg
	<i>Planothidium frequentissimum</i> (Lange-Bertalot) Round & L.Bukhtiyarova
Family Naviculaceae	
	<i>Amphora copulata</i> (Kützing) Schoeman & Archibald
	<i>Amphora</i> cf. <i>delicatissima</i> Krasske
	<i>Amphora inariensis</i> Krammer
	<i>Amphora libyca</i> Ehrenberg
	<i>Amphora montana</i> Krasske
	<i>Amphora pediculus</i> (Kützing) Grunow
	<i>Amphora submontana</i> Hustedt
	<i>Anomoeoneis brachysira</i> (Brébisson) Grunow
	<i>Caloneis molaris</i> (Grunow) Krammer
	<i>Craticula cuspidata</i> (Kützing) D.G.Mann
	<i>Craticula halophila</i> (Grunow) D.G.Mann
	<i>Craticula</i> sp.1
	<i>Diploneis elliptica</i> (Kützing) Cleve
	<i>Diploneis marginestriata</i> Hustedt
	<i>Diploneis parma</i> Cleve

ตารางที่ 9 ลำดับทางอนุกรมวิธานของไಡอะตومที่พบในชุดเก็บตัวอย่าง 10 ชุดในแม่น้ำโขงส่วนที่ให้ผลผ่านจังหวัดอุบลราชธานี ระหว่างเดือนกุมภาพันธ์ 2550 ถึงเดือนมกราคม 2551 (ต่อ)

ลำดับทางอนุกรมวิธาน	ชนิด
	<i>Diploneis</i> sp.1 (?nov.) spec.
	<i>Diploneis subovalis</i> Cleve
	<i>Frustulia amosseana</i> Lange-Bertalot
	<i>Frustulia rhomboides</i> (Ehrenberg) De Toni
	<i>Frustulia saxonica</i> Rabenhorst
	<i>Frustulia</i> sp.1
	<i>Frustulia weinholdii</i> Hustedt
	<i>Geissleria decussis</i> (Hustedt) Lange-Bertalot & Metzeltin
	<i>Geissleria similis</i> (Krasske) Lange-Bertalot & Metzeltin
	<i>Geissleria</i> sp. UBU-MK1
	<i>Gomphonema acuminatum</i> Ehrenberg
	<i>Gomphonema augur</i> var. <i>sphaerophorum</i> (Ehrenberg) Grunow
	<i>Gomphonema augur</i> var. <i>turris</i> (Ehrenberg) Lang-Bertalot
	<i>Gomphonema bavaricum</i> Reichardt & Lange-Bertalot
	<i>Gomphonema clavatum</i> Ehrenberg
	<i>Gomphonema clevei</i> var. <i>javanica</i> Hustedt
	<i>Gomphonema aff. entoleum</i> Oestrup
	<i>Gomphonema gracile</i> Ehrenberg
	<i>Gomphonema gracile</i> f. <i>turris</i> Hustedt
	<i>Gomphonema insigne</i> Gregory
	<i>Gomphonema lagenula</i> Kützing
	<i>Gomphonema minutiforme</i> Lange-Bertalot & Reichardt
	<i>Gomphonema minutum</i> (C.Agardh) C.Agardh
	<i>Gomphonema olivaceum</i> var. <i>olivaceolacuum</i> Lange Bertalot&Reichardt
	<i>Gomphonema parvulum</i> var. <i>exilissimum</i> Grunow
	<i>Gomphonema parvulum</i> var. <i>parvulus</i> Lange-Bertalot & Reichardt

ตารางที่ 9 ลำดับทางอนุกรมวิธานของไกอะตอนที่พบในจุดเก็บตัวอย่าง 10 จุดในแม่น้ำโขงส่วนที่
ไหลผ่านจังหวัดอุบลราชธานี ระหว่างเดือนกุมภาพันธ์ 2550 ถึงเดือนกรกฎาคม 2551 (ต่อ)

ลำดับทางอนุกรมวิธาน	ชนิด
	<i>Gomphonema pseudoaugur</i> Lange-Bertalot
	<i>Gomphonema pumilum</i> (Grunow) Reichardt & Lange-Bertalot
	<i>Gomphonema</i> sp.1 UBU-MK2
	<i>Gomphonema</i> sp.2 UBU-MK3
	<i>Gomphonema</i> sp.3
	<i>Gomphonema</i> sp.4
	<i>Gomphonema</i> sp.5
	<i>Gomphonema</i> sp.6
	<i>Gomphonema subclavatum</i> (Grunow) Grunow
	<i>Gomphonema tergestinum</i> f. <i>subrostrata</i> E. E. Manguin
	<i>Gomphonema truncatum</i> Ehrenberg
	<i>Gyrosigma scalpoides</i> (Rabenhorst) Cleve
	<i>Gyrosigma spencerii</i> (Quekett) Griffith & Herfre
	<i>Luticola goeppertiana</i> (Bleisch) D. G. Mann
	<i>Luticola</i> cf. <i>monita</i> (Hustedt) Mann
	<i>Luticula nivalis</i> (Ehrenberg) D.G.Mann in Round, Crawford & Mann
	<i>Luticola peguana</i> (Grunow) D.G. Mann
	<i>Luticola saxophila</i> (W. Bock) D. G. Mann
	<i>Navicula aquaedurae</i> Lange-Bertalot
	<i>Navicula angusta</i> Grunow
	<i>Navicula begerii</i> Krasske
	<i>Navicula canoris</i> M. H. Hohn & Hellerman
	<i>Navicula cantonatii</i> Lange-Bertalot
	<i>Navicula capitatoradiata</i> Germain
	<i>Navicula caractacus</i> M. H. Hohn & Hellerman
	<i>Navicula cataractarheni</i> Lange-Bertalot

ตารางที่ 9 ลำดับทางอนุกรมวิธานของไคลอตومที่พบในจุดเก็บตัวอย่าง 10 จุดในแม่น้ำโขงส่วนที่
ไหลผ่านจังหวัดอุบลราชธานี ระหว่างเดือนกุมภาพันธ์ 2550 ถึงเดือนมกราคม 2551 (ต่อ)

ลำดับทางอนุกรมวิธาน	ชนิด
	<i>Navicula catalanogermanica</i> Lange-Bertalot & Hofman
	<i>Navicula contenta</i> Grunow
	<i>Navicula cryptocephala</i> Kützing
	<i>Navicula cryptotenella</i> Lange-Bertalot
	<i>Navicula cryptotenelloides</i> Lange-Bertalot
	<i>Navicula declevis</i> Hustedt
	<i>Navicula densilineolata</i> (Lange-Bertalot) Lange-Bertalot
	<i>Navicula dicephala</i> (Ehrenberg) W. Smith
	<i>Navicula elginensis</i> (W.Gregory) Ralfs
	<i>Navicula erifuga</i> Lange-Bertalot
	<i>Navicula escambia</i> (Patrick) Metzeltin & Lange-Bertalot
	<i>Navicula expecta</i> Vanlandingham
	<i>Navicula germainii</i> Wallace
	<i>Navicula gottlandica</i> Grunow
	<i>Navicula halophila</i> (Grunow) Cleve
	<i>Navicula heimansoides</i> Lange-Bertalot
	<i>Navicula hintzii</i> Lange-Bertalot
	<i>Navicula humerosa</i> Brébisson ex W. Smith
	<i>Navicula kotschyii</i> Grunow
	<i>Navicula krasskei</i> Hustedt
	<i>Navicula lanceolata</i> (C. Agardh) Kützing
	<i>Navicula leptostriata</i> Jorgensen
	<i>Navicula mediocris</i> Krasske
	<i>Navicula menisculus</i> var. <i>grunowii</i> Lange-Bertalot
	<i>Navicula menisculus</i> Schumann
	<i>Navicula nivaloides</i> Bock

ตารางที่ 9 ลำดับทางอนุกรมวิธานของไคลอตอมที่พบในจุดเก็บตัวอย่าง 10 จุดในแม่น้ำโขงส่วนที่
ไหลผ่านจังหวัดอุบลราชธานี ระหว่างเดือนกุมภาพันธ์ 2550 ถึงเดือนมกราคม 2551 (ต่อ)

ลำดับทางอนุกรมวิธาน	ชนิด
	<i>Navicula notha</i> Wallace
	<i>Navicula oppugnata</i> Hustedt
	<i>Navicula parabilis</i> Hohn & Hellerman
	<i>Navicula phyllepta</i> Kützing
	<i>Navicula pseudosilicula</i> Hustedt
	<i>Navicula pupula</i> Kützing
	<i>Navicula pusio</i> Cleve
	<i>Navicula radiosafallax</i> Lange-Bertalot
	<i>Navicula recens</i> Lange-Bertalot
	<i>Navicula reichardtiana</i> var. <i>crassa</i> Lange-Bertalot & Hofmann
	<i>Navicula rhynchocephala</i> Kützing
	<i>Navicula rhynchotella</i> Lange-Bertalot
	<i>Navicula rostellata</i> Kützing
	<i>Navicula seibigii</i> Lange-Bertalot
	<i>Navicula simulata</i> Manguin
	<i>Navicula</i> sp.1
	<i>Navicula</i> sp.2
	<i>Navicula</i> sp.3
	<i>Navicula</i> sp.4
	<i>Navicula</i> sp.5
	<i>Navicula</i> sp.6
	<i>Navicula striolata</i> (Grunow) Lange-Bertalot
	<i>Navicula subadnata</i> Hustedt
	<i>Navicula tripunctata</i> (O. F. Muller) Bory
	<i>Navicula trivialis</i> Lange-Bertalot
	<i>Navicula upsaliensis</i> (Grunow) Peragallo
	<i>Navicula viridula</i> var. <i>linearis</i> Hustedt

ตารางที่ 9 ลำดับทางอนุกรมวิธานของไไดอะตومที่พบในจุดเก็บตัวอย่าง 10 จุดในแม่น้ำโขงส่วนที่ใหญ่ผ่านจังหวัดอุบลราชธานี ระหว่างเดือนกุมภาพันธ์ 2550 ถึงเดือนมกราคม 2551 (ต่อ)

ลำดับทางอนุกรมวิธาน	ชนิด
	<i>Naviculadicta nanogomphonema</i> Lange-Bertalot & U.Rumrich
	<i>Naviculadicta</i> sp.
	<i>Neidium</i> cf. <i>affine</i> var. <i>humerus</i> Reimer
	<i>Neidium amphiatum</i> (Ehrenberg) Krammer
	<i>Neidium binodeforme</i> Krammer
	<i>Neidium</i> cf. <i>dubium</i> (Ehrenberg) Cleve
	<i>Neidium hitchcockii</i> (Ehrenberg) Cleve
	<i>Neidium iridis</i> (Ehrenberg) Cleve
	<i>Neidium productum</i> (W. Smith) Cleve
	<i>Neidium</i> sp.1
	<i>Neidium</i> sp.2
	<i>Neidium</i> sp.3
	<i>Neidium</i> sp.4
	<i>Neidium</i> sp.5
	<i>Pinnularia acrosphaeria</i> W. Smith var. <i>acrosphaeria</i>
	<i>Pinnularia bourrellyi</i> E. E. Manguin
	<i>Pinnularia brebissonii</i> var. <i>acuta</i> Cleve-Euler
	<i>Pinnularia divergentissima</i> (Grunow) Cleve var. UBU-MK5
	<i>Pinnularia emilia</i> var. spec
	<i>Pinnularia grunowii</i> Krammer
	<i>Pinnularia latarea</i> var. <i>thermophila</i> Krammer
	<i>Pinnularia maior</i> (Kützing) Rabenhorst
	<i>Pinnularia microstauron</i> (Ehrenberg) Cleve
	<i>Pinnularia</i> cf. <i>microstauron</i> var. <i>rostrata</i> Krammer
	<i>Pinnularia polyonca</i> (Brébisson) W. Smith
	<i>Pinnularia schimanskii</i> Krammer
	<i>Pinnularia stricta</i> Hustedt 1934

ตารางที่ 9 ลำดับทางอนุกรมวิธานของไคอะตومที่พบในจุดเก็บตัวอย่าง 10 จุดในแม่น้ำโขงส่วนที่
ไหลผ่านจังหวัดอุบลราชธานี ระหว่างเดือนกุมภาพันธ์ 2550 ถึงเดือนมกราคม 2551 (ต่อ)

ลำดับทางอนุกรมวิธาน	ชนิด
	<i>Pinnularia subcapitata</i> Gregory
	<i>Pinnularia subrostrata</i> (A. Cleve) Cleve Euler
	<i>Placoneis bengalensis</i> Grun
	<i>Placoneis clementis</i> (Grunow) E.J. Cox
	<i>Placoneis constans</i> (Hustedt) E.J.Cox
	<i>Placoneis constans</i> var. <i>symmetrica</i> (Grunow) Cox
	<i>Placoneis gastrum</i> (Ehrenberg) Mereschkovsky
	<i>Placoneis</i> sp.1
	<i>Placoneis</i> sp.2
	<i>Placoneis</i> sp.3
	<i>Placoneis subplacentula</i> Hustedt
	<i>Sellaphora bacillum</i> (Ehrenberg) D.G.Mann
	<i>Sellaphora</i> cf. <i>bisulcatum</i>
	<i>Sellaphora chiangmainensis</i>
	<i>Sellaphora</i> cf. <i>gibbula</i> Lange-Bertalot
	<i>Sellaphora pupula</i> (Kützing) Mereschkowsky
	<i>Seminavis strigosa</i> (Hustedt) Danieleidis & Economou-Aneilli
	<i>Stauroneis anceps</i> Ehrenberg
	<i>Stauroneis smithii</i> Grunow
Family Bacillariaaceae	
	<i>Bacillaria paxillifer</i> (O.F.Müller) T.Marsson
	<i>Entomoneis alata</i> (Ehrenberg) Ehrenberg
	<i>Hantzschia amphioxys</i> (Ehrenberg) Grunow
	<i>Hantzschia distinctepunctata</i> (Hustedt) Hustedt
	<i>Nitzschia amphibia</i> Grunow
	<i>Nitzschia amphibia</i> f. <i>rostrata</i> Hustedt
	<i>Nitzschia calida</i> Grunow

ตารางที่ 9 ลำดับทางอนุกรมวิธานของไคอะตอนที่พบในจุดเก็บตัวอย่าง 10 จุดในแม่น้ำโขงส่วนที่
ไหลผ่านจังหวัดอุบลราชธานี ระหว่างเดือนกุมภาพันธ์ 2550 ถึงเดือนกรกฎาคม 2551 (ต่อ)

ลำดับทางอนุกรมวิธาน	ชนิด
	<i>Nitzschia capitellata</i> Hustedt
	<i>Nitzschia clausii</i> Hantzsch
	<i>Nitzschia dealpina</i> Lange-Bertalot & Hofmann
	<i>Nitzschia dissipata</i> (Kützing) Grunow
	<i>Nitzschia diversa</i> Hustedt
	<i>Nitzschia draveillensis</i> Coste & Ricard
	<i>Nitzschia elegantula</i> Grunow
	<i>Nitzschia filiformis</i> (W. Smith) Van Heurck
	<i>Nitzschia fonticola</i> Grunow
	<i>Nitzschia heufleriana</i> Grunow
	<i>Nitzschia intermedia</i> Hantzsch ex Grunow
	<i>Nitzschia levidensis</i> (W. Smith) Grunow
	<i>Nitzschia liebetruthii</i> Rabenhorst
	<i>Nitzschia littoralis</i> Grunow
	<i>Nitzschia microcephala</i> Grunow
	<i>Nitzschia nana</i> Grunow
	<i>Nitzschia obtusa</i> W. Smith
	<i>Nitzschia palea</i> (Kützing) W. Smith
	<i>Nitzschia reversa</i> W. Smith
	<i>Nitzschia scalpelliformis</i> Grunow
	<i>Nitzschia sigmaformis</i> Hustedt
	<i>Nitzschia sigma</i> (Kützing) W. Smith
	<i>Nitzschia sigma</i> var. <i>rigidula</i> (Peragallo & Peragallo) Grunow
	<i>Nitzschia sinuata</i> var. <i>tabellaria</i> (Grunow) Grunow
	<i>Nitzschia subacicularis</i> Hustedt
	<i>Nitzschia sublinearis</i> Hustedt
	<i>Nitzschia virgata</i> var. <i>gracilis</i> Hustedt

ตารางที่ 9 ลำดับทางอนุกรมวิธานของไครอะตอนที่พบในจุดเก็บตัวอย่าง 10 จุดในแม่น้ำโขงส่วนที่ให้ผลผ่านจังหวัดอุบลราชธานี ระหว่างเดือนกุมภาพันธ์ 2550 ถึงเดือนมกราคม 2551 (ต่อ)

ลำดับทางอนุกรมวิธาน	ชนิด
	<i>Tryblionella coarctata</i> (Grunow) D. G. Mann
Family Cymbellaceae	
	<i>Cymbella affinis</i> Kützing
	<i>Cymbella balatonis</i> Grunow
	<i>Cymbella bauckii</i> Van Heurck
	<i>Cymbella bengalensis</i> (Grunow) Schmidt
	<i>Cymbella cistula</i> (Ehrenberg) Kirchner
	<i>Cymbella cf. compacta</i> Oestrup
	<i>Cymbella cucumis</i> A. Schmidt
	<i>Cymbella cymbiformis</i> Aardh
	<i>Cymbella gracilis</i> (Rabenhorst) Cleve
	<i>Cymbella hungarica</i> (Grunow) Pantocsek
	<i>Cymbella laevis</i> Naegeli in Kützing
	<i>Cymbella neogena</i> (Grunow) Krammer
	<i>Cymbella schimanskii</i> Krammer
	<i>Cymbella silesiaca</i> Bleisch
	<i>Cymbella siliqua</i> Archibald
	<i>Cymbella simonsenii</i> Krammer
	<i>Cymbella</i> sp.
	<i>Cymbella subcuspidata</i> Krammer
	<i>Cymbella sumtrensis</i> Hustedt
	<i>Cymbella tropica</i> Krammer
	<i>Cymbella tumida</i> (Brébisson) Van Heurck
	<i>Cymbella tumida</i> var. <i>lancettula</i> Krammer
	<i>Cymbella turgidula</i> Grunow
	<i>Cymbopleura</i> sp.
	<i>Encyonema dubium</i> Krammer

ตารางที่ 9 ลำดับทางอนุกรมวิธานของไคลอตอมที่พบในจุดเก็บตัวอย่าง 10 จุดในแม่น้ำโขงส่วนที่
ไหลผ่านจังหวัดอุบลราชธานี ระหว่างเดือนกุมภาพันธ์ 2550 ถึงเดือนมกราคม 2551 (ต่อ)

ลำดับทางอนุกรมวิธาน	ชนิด
	<i>Encyonema minutum</i> (Hilse) D.G. Mann
	<i>Encyonema silesiacum</i> (Bleisch) D. G. Mann
	<i>Encyonema simile</i> Krammer
	<i>Encyonema ventricosum</i> (Agardh) Grunow
	<i>Encyonema vulgare</i> Krammer
Family Epithemiaceae	
	<i>Rhopalodia brebissonii</i> Krammer
	<i>Rhopalodia gibba</i> (Ehrenberg) O. Miller var. <i>gibba</i>
	<i>Rhopalodia gibberula</i> (Ehrenberg) O. F. Müller
	<i>Rhopalodia operculata</i> (C. Agardh) Hakansson
	<i>Epithemia adnata</i> (Kützing) Brébisson
	<i>Epithemia argus</i> (Ehrenberg) Kützing
	<i>Epithemia cistula</i> (Ehrenberg) Ralfs
	<i>Epithemia diodon</i> Ehrenberg
	<i>Epithemia frickei</i> Krammer
	<i>Epithemia goeppertiana</i> Hilse
	<i>Epithemia pectinalis</i> (o.f.) Müller Rabenhorst var. <i>undulata</i> Ralfs
	<i>Epithemia sorex</i> Kützing
Family Surirellaceae	
	<i>Surirella angusta</i> Kützing
	<i>Surirella biseriata</i> Brébisson
	<i>Surirella capronii</i> Brébisson
	<i>Surirella elegans</i> Ehrenberg
	<i>Surirella minuta</i> Brébisson
	<i>Surirella</i> sp.1
	<i>Surirella</i> sp.2
	<i>Surirella</i> sp.3

ตารางที่ 9 ลำดับทางอนุกรมวิธานของไโคอะตอนที่พบในจุดเก็บตัวอย่าง 10 จุดในแม่น้ำโขงส่วนที่ให้ผลผ่านจังหวัดอุบลราชธานี ระหว่างเดือนกุมภาพันธ์ 2550 ถึงเดือนกรกฎาคม 2551 (ต่อ)

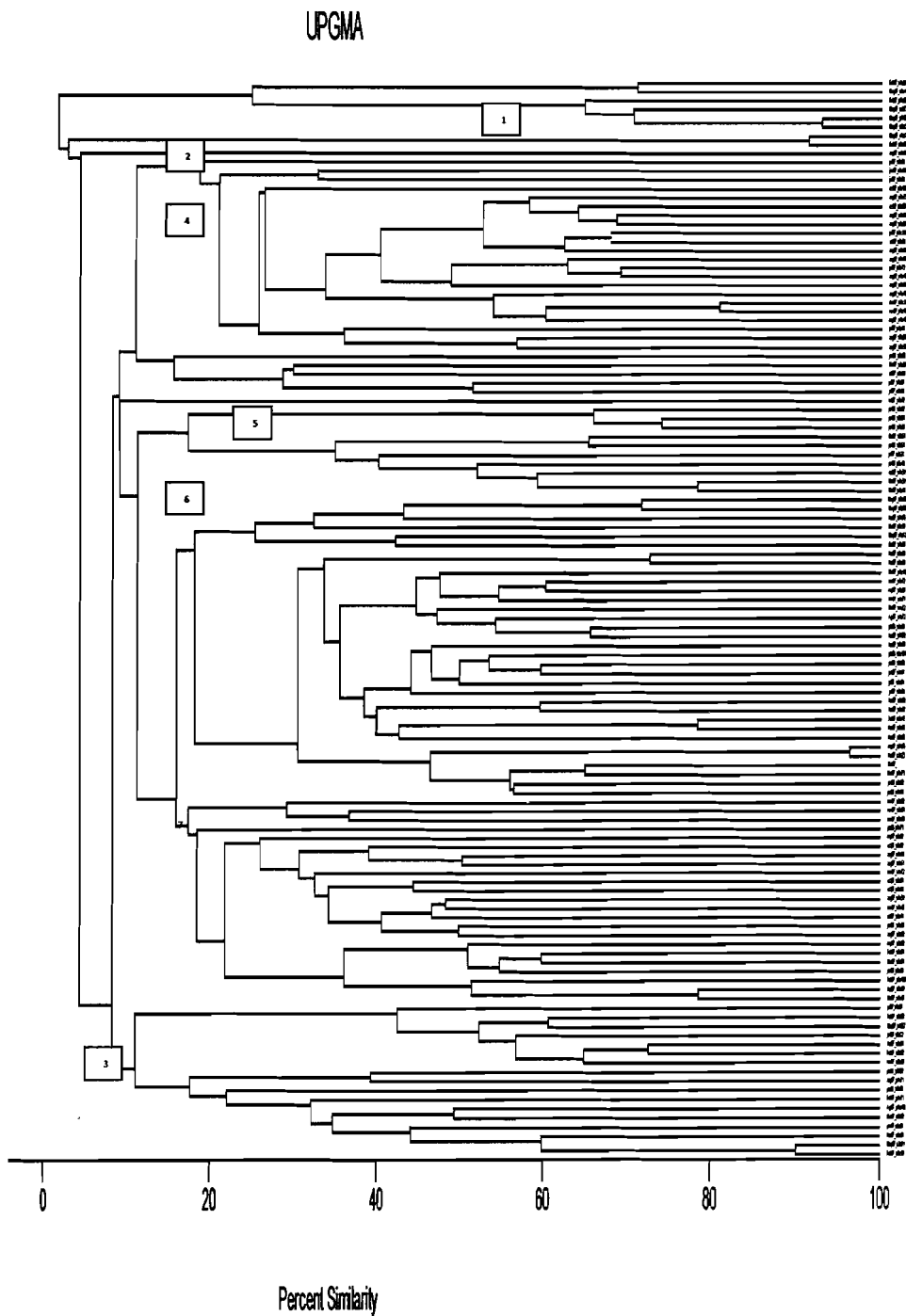
ลำดับทางอนุกรมวิธาน	ชนิด
	<i>Surirella</i> sp.4
	<i>Surirella</i> sp.5
	<i>Surirella</i> sp.6
	<i>Surirella splendida</i> Kützing
	<i>Surirella tenera</i> W. Gregory

ไโคอะตอนชนิดเด่นสามารถหาได้โดยการนำตัวอย่างไโคอะตอนพื้นท้องน้ำที่พบในทุกจุดเก็บตัวอย่างและทุกเดือนมาวิเคราะห์หาไโคอะตอนชนิดเด่น โดยเรียงลำดับตามความถี่ที่พบ (frequency) และ จำนวนที่พบมากที่สุด (max abundant) ซึ่งคิดเป็นเปอร์เซ็นต์ พบว่าไโคอะตอนพื้นท้องน้ำส่วนใหญ่ที่ความถี่ของการพบสูงจะมีเปอร์เซ็นต์ที่พบมากที่สุดสูง ไโคอะตอนพื้นท้องน้ำที่พบได้บ่อยในจุดเก็บตัวอย่างน้ำทั้ง 10 จุด และมีจำนวนมากที่สุดได้แก่ *Navicula rostellata* Kützing รองลงมาคือ *Gomphonema lagenula* Kützing, *Nitzschia palea* (Kützing) W. Smith, *Luticola goeppertia* (Bleisch) D. G. Mann, *Nitzschia liebetrichii* Rabenhorst, *Sellaphora pupula* (Kützing) Mereschkowsky, *Navicula erifuga* Lange-Bertalot, *Cymbella tumida* (Brébisson) Van Heurck, *Gomphonema clevei* var. *javanica* Hustedt และ *Cymbella turgidula* Grunow, *Rhopalodia gibberula* (Ehrenberg) O. F. Müller, *Nitzschia filiformis* (W. Smith) Hustedt, *Bacillaria paxillifer* (O.F.Müller) T.Marsson, *Navicula cryptotenella* Lange-Bertalot, *Gomphonema* sp.2 (?nov.) UBU-MK3, *Cocconeis placentula* Ehrenberg, *Melosira varians* C. Agardh และ *Synedra ungeriana* var. *pseudogaillonii* (H. Kobayasi et Idei) ตามลำดับ (ตารางที่ 10)

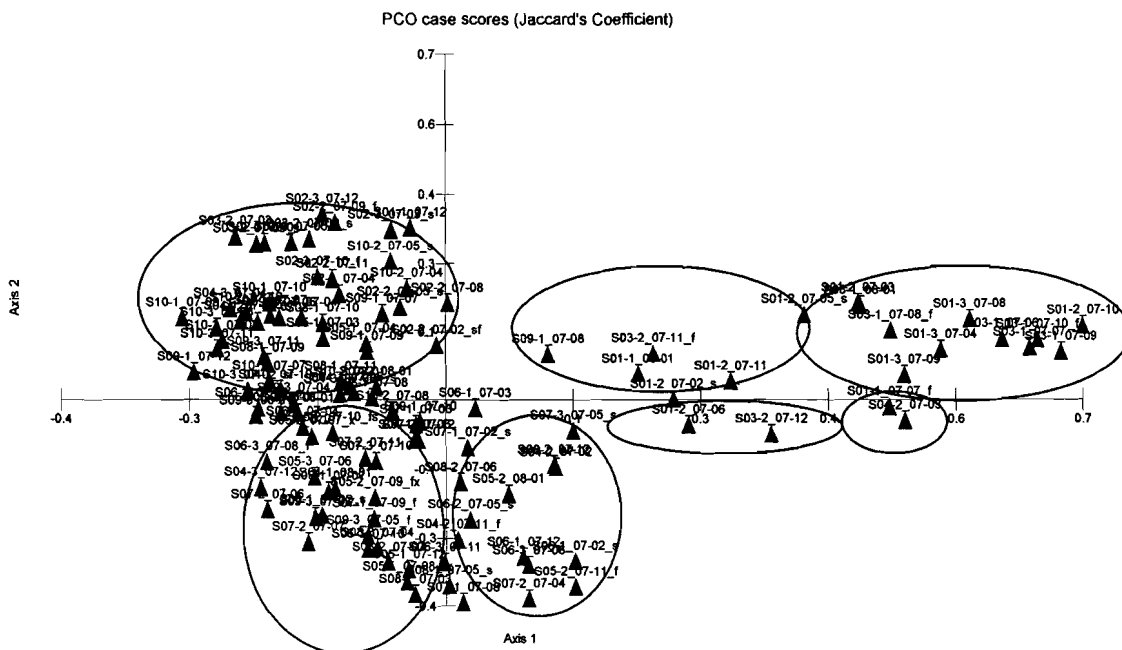
**ตารางที่ 10 ไครอตอมพื้นท้องน้ำชนิดเด่นแสดงความถี่และเปอร์เซ็นต์การกระจายที่สูงสุด
ในจุดเก็บตัวอย่างที่พบในแม่น้ำโขงส่วนที่ไหลผ่านจังหวัดอุบลราชธานี ระหว่าง
เดือนกุมภาพันธ์ 2550 ถึงเดือนมกราคม 2551**

Dominant species	frequency	Diversity index	Evenness
<i>Navicula rostellata</i> Kützing	170	0.827	0.847
<i>Gomphonema lagenula</i> Kützing	180	0.974	0.98
<i>Nitzschia palea</i> (Kützing) W. Smith	261	0.981	0.985
<i>Luticula goeppertiana</i> (Bleisch) D. G. Mann	201	0.986	0.991
<i>Nitzschia liebetrichii</i> Robenhorst	82	0.953	0.965
<i>Sellaphora pupula</i> (Kützing) Mereschkowsky	134	0.948	0.955
<i>Navicula erifuga</i> Lange-Bertalot	172	0.762	0.858
<i>Cymbella tumida</i> (Brébisson) Van Heurck	202	0.961	0.966
<i>Gomphonema clevei</i> var. <i>javanica</i> Hustedt	194	0.881	0.908
<i>Cymbella turgidula</i> Grunow	273	0.99	0.993
<i>Gomphonema pseudosphaerophorum</i> Kobayasi	18	0.931	0.961
<i>Pinnularia subcapitata</i> Gregory	35	0.774	0.802
<i>Amphora montana</i> Krasske	6	0.323	0.404
<i>Rhopalodia gibberula</i> (Ehrenberg) O. F. Müller	157	0.947	0.954
<i>Nitzschia filiformis</i> (W. Smith) Hustedt	143	0.957	0.964
<i>Bacillaria paxillifer</i> (O.F.Mülleur) Hendey	156	0.967	0.974
<i>Navicula cryptotenella</i> Lange-Bertalot	135	0.972	0.979
<i>Gomphonema</i> sp.2	213	0.931	0.961
<i>Cocconeis placentula</i> Ehrenberg	250	0.983	0.987
<i>Nitzschia fonticola</i> Grunow	3	0.039	0.058
<i>Luticola</i> sp.2	14	0.337	0.673
<i>Melosira varians</i> C. Agardh	219	0.981	0.986
<i>Synedra ungeriana</i> var. <i>pseudogaillonii</i> (H. Kobayasi et Idei)	170	0.97	0.976
<i>Encyonema</i> sp.3	47	0.934	0.957
<i>Amphora pediculus</i> (Kützing) Grunow	51	0.865	0.937
<i>Hantzschia amphioxys</i> (Ehrenberg) Grunow	171	0.967	0.973
<i>Achnanthes lanceolata</i> spp. <i>dubia</i> (Grunow) Lange-Bertalot	87	0.846	0.907
<i>Navicula heimansoides</i> Lange-Bertalot	85	0.923	0.934

เมื่อนำไปอัตราความสัมพันธ์โดยวิธี Cluster analysis โดยนำปอร์เซ็นต์ของโคลอตอมพื้นท้องน้ำที่พบในทุกจุดเก็บตัวอย่าง ทุกช้า และทุกเดือนมาวิเคราะห์หาความสัมพันธ์โดยวิธี Cluster analysis โดยนำปอร์เซ็นต์ของโคลอตอมพื้นท้องน้ำที่พบในทุกจุดเก็บตัวอย่าง ทุกช้า และทุกเดือนมาจัดกลุ่มโดยใช้โปรแกรมทางสถิติ MVSP ซึ่งยังคงหลักเกณฑ์ของการพบร้อบถือของผลการพบร้อบถือของชนิดที่อยู่ร่วมกันในแต่ละจุดเก็บตัวอย่าง แต่ละเดือนและแต่ละช้า พนว่าสามารถจัดกลุ่มของของจุดเก็บตัวอย่างและช่วงเดือนได้เป็น 7 กลุ่ม ดังนี้ กลุ่มที่ 1 ประกอบด้วย จุดที่ 1 (พฤษภาคม และพฤษจิกายน) กลุ่มที่ 2 ประกอบด้วย จุดที่ 1 (เดือนกรกฎาคมและเดือนตุลาคม) จุดที่ 6 (เดือนกรกฎาคม สิงหาคม และพฤษจิกายน) จุดที่ 10 (เดือนธันวาคม) กลุ่มที่ 3 ประกอบด้วย จุดที่ 1 (เดือนสิงหาคม กันยายน และพฤษจิกายน) จุดที่ 6 (เดือนมิถุนายน กรกฎาคม สิงหาคม กันยายน ตุลาคม และพฤษจิกายน) จุดที่ 10 (เดือนกรกฎาคม สิงหาคม กันยายน ตุลาคม พฤษจิกายน และธันวาคม) กลุ่มที่ 4 ประกอบด้วย จุดที่ 1 (เดือนธันวาคม) จุดที่ 6 (เดือนพฤษภาคม และธันวาคม) จุดที่ 10 (เดือนพฤษภาคม และมกราคม) กลุ่มที่ 5 ประกอบด้วย จุดที่ 1 (เดือนมิถุนายน พฤษจิกายน และมกราคม จุดที่ 6 (เดือนเมษายน มกราคม และธันวาคม) จุดที่ 10 (เดือนมีนาคม มกราคม และเมษายน) กลุ่มที่ 6 ประกอบด้วย จุดที่ 1 (เดือนมีนาคม เมษายน มกราคม มิถุนายน กรกฎาคม และตุลาคม) จุดที่ 6 (เดือนมีนาคม) จุดที่ 10 (เดือนเมษายน และกรกฎาคม) กลุ่มที่ 7 ประกอบด้วย จุดที่ 1 (เดือนกุมภาพันธ์) จุดที่ 6 (เดือนกุมภาพันธ์ และมิถุนายน) จุดที่ 10 (เดือนเมษายน พฤษภาคม และมิถุนายน) ดังแสดงในภาพที่ 29 และ 30



ภาพที่ 29 ผลการจัดกลุ่มจุดเก็บตัวอย่างโดยพิจารณาจากการพบรากурсตอมพื้นท้องน้ำในแม่น้ำโขง ส่วนที่ไหลผ่านจังหวัดอุบลราชธานี ระหว่างเดือนกุมภาพันธ์ 2550 ถึงเดือนมกราคม 2551 โดยวิธี Cluster analysis



ภาพที่ 30 ผลการจัดกลุ่มไครอะตอมพื้นท้องน้ำที่พบในแม่น้ำโขง 10 ชุดเก็บตัวอย่าง ในจังหวัดอุบลราชธานี ระหว่างเดือนกุมภาพันธ์ 2550 ถึงเดือนกรกฎาคม 2551
ค้วบวิธี Cluster analysis

การประเมินคุณภาพน้ำโดยการใช้ AARL-PC Score โดยใช้คุณสมบัติทางกายภาพและเคมี ได้แก่ ค่า DO ค่า BOD ค่าการนำไฟฟ้า ปริมาณสารอาหาร 3 ชนิดคือ ไนเตรต ในตระเวน และโมโนเนีย ในตระเวน และออร์โซฟอสเฟต หรือ soluble reactive phosphorus พบว่าคุณภาพน้ำในชุดเก็บตัวอย่างทั้ง 10 ชุดมีคุณภาพดีถึงปานกลาง และปานกลาง มีสารอาหารน้อยถึงปานกลาง และปานกลาง แสดงในตารางที่ 11

ตารางที่ 11 คุณภาพน้ำในชุดเก็บตัวอย่าง 10 ชุดในแม่น้ำโขงส่วนที่ไหลผ่านจังหวัดอุบลราชธานี ระหว่างเดือนกุมภาพันธ์ 2550 ถึงเดือนมกราคม 2551 ประเมินโดยใช้ AARL-PC Score (Peerapornpisal et al., 2007)

ชุดเก็บตัวอย่าง	คะแนน คุณภาพน้ำทั่วไป	ระดับสารอาหาร
1	ปานกลาง	สารอาหารปานกลาง (mesotrophic status)
2	ถึงปานกลาง	สารอาหารน้อยถึงปานกลาง (oligotrophic-mesotrophic status)
3	คือถึงปานกลาง	สารอาหารน้อยถึงปานกลาง (oligotrophic-mesotrophic status)
4	คือถึงปานกลาง	สารอาหารน้อยถึงปานกลาง (oligotrophic-mesotrophic status)
5	ปานกลาง	สารอาหารปานกลาง (mesotrophic status)
6	คือถึงปานกลาง	สารอาหารน้อยถึงปานกลาง (oligotrophic-mesotrophic status)
7	ปานกลาง	สารอาหารปานกลาง (mesotrophic status)
8	ปานกลาง	สารอาหารปานกลาง (mesotrophic status)
9	คือถึงปานกลาง	สารอาหารน้อยถึงปานกลาง (oligotrophic-mesotrophic status)
10	คือถึงปานกลาง	สารอาหารน้อยถึงปานกลาง (oligotrophic-mesotrophic status)

ส่วนการประเมินโดยใช้โดยจะต้องชนิดเด่นในแต่ละชุดเก็บตัวอย่างนั้น ใช้ AARL-PP Score มาใช้ในการตัดสินคุณภาพน้ำ พบว่า คุณภาพน้ำในชุดเก็บตัวอย่าง 10 ชุด มีคุณภาพปานกลาง และปานกลางถึงไม่คือ หรือ มีสารอาหารปานกลาง ถึง ปานกลางถึงสูง แสดงในตารางที่ 12

ตารางที่ 12 คุณภาพน้ำในชุดเก็บตัวอย่าง 10 ชุดในแม่น้ำโขงส่วนที่ไหลผ่านจังหวัดอุบลราชธานี ระหว่างเดือนกุมภาพันธ์ 2550 ถึงเดือนกรกฎาคม 2551 ประเมินโดยใช้ AARL-PP Score (Peerapornpisal et al., 2007)

ชุดเก็บ ตัวอย่าง	ไดอะตومชนิดเด่น	ค่า คะแนน	คะแนน เฉลี่ย	คุณภาพน้ำ ทั่วไป	ระดับสารอาหาร
1	<i>Navicula erifuga</i> Lange-Bertalot	5			
	<i>Cymbella turgidula</i> Grunow	5	6.33	ปานกลางถึง ^{ไม่ดี} ปานกลาง (mesotrophic-eutrophic status)	สารอาหารปานกลาง
	<i>Nitzschia liebetrichii</i> Rabenhorst	9			
2	<i>Cymbella turgidula</i> Grunow	5			
	<i>Navicula erifuga</i> Lange-Bertalot	5	5.33	ปานกลาง	สารอาหารปานกลาง (mesotrophic status)
	<i>Gomphonema clevei</i> var. <i>javanica</i> Hustedt	6			
3	<i>Navicula erifuga</i> Lange-Bertalot	5			
	<i>Cymbella turgidula</i> Grunow	5	5.33	ปานกลาง	สารอาหารปานกลาง (mesotrophic status)
	<i>Gomphonema clevei</i> var. <i>javanica</i> Hustedt	6			
4	<i>Navicula erifuga</i> Lange-Bertalot	5		ปานกลาง	สารอาหารปานกลาง (mesotrophic status)
	<i>Cymbella turgidula</i> Grunow	5	5		
	<i>Luticola goeppertia</i> (Bleisch) D. C. Mann	5			
5	<i>Luticola goeppertia</i> (Bleisch) D. C. Mann	5			
	<i>Navicula erifuga</i> Lange-Bertalot	5	5	ปานกลาง	สารอาหารปานกลาง (mesotrophic status)
	<i>Cymbella tumida</i> (Brébisson) Van Heurck	5			

ตารางที่ 12 คุณภาพน้ำในชุดเก็บตัวอย่าง 10 ชุดในแม่น้ำโขงส่วนที่ไหลผ่านจังหวัดอุบลราชธานี ระหว่างเดือนกุมภาพันธ์ 2550 ถึงเดือนมกราคม 2551 ประเมินโดยใช้ AARL-PP Score (Peerapornpisal et al., 2007) (ต่อ)

ชุดเก็บ ตัวอย่าง	ไนโตรตอมชนิดเด่น	ค่า คะแนน	คะแนน เฉลี่ย	คุณภาพน้ำ ทั่วไป	ระดับสารอาหาร
6	<i>Navicula erifuga</i> Lange-Bertalot	5			
	<i>Cymbella turgidula</i> Grunow	5	5	ปานกลาง	สารอาหารปานกลาง (mesotrophic status)
	<i>Luticola goeppertia</i> (Bleisch) D. C. Mann	5			
7	<i>Cymbella turgidula</i> Grunow	5			
	<i>Navicula erifuga</i> Lange-Bertalot	5	5.33	ปานกลาง	สารอาหารปานกลาง (mesotrophic status)
	<i>Gomphonema clevei</i> var. <i>javanica</i> Hustedt	6			
8	<i>Cymbella turgidula</i> Grunow	5			
	<i>Nitzschia palea</i> (Kützing) W. Smith	9	6.33	ปานกลางถึงไม่คี	สารอาหารปานกลางถึงสูง (mesotrophic-eutrophic status)
	<i>Navicula erifuga</i> Lange-Bertalot	5			
9	<i>Nitzschia palea</i> (Kützing) W. Smith	9			
	<i>Gomphonema clevei</i> var. <i>javanica</i> Hustedt	6	6.67	ปานกลางถึงไม่คี	สารอาหารปานกลางถึงสูง (mesotrophic-eutrophic status)
	<i>Luticola goeppertia</i> (Bleisch) D. C. Mann	5			
10	<i>Luticola goeppertia</i> (Bleisch) D. C. Mann	5			
	<i>Cymbella turgidula</i> Grunow	5	6.33	ปานกลางถึงไม่คี	สารอาหารปานกลางถึงสูง (mesotrophic-eutrophic status)
	<i>Nitzschia palea</i> (Kützing) W. Smith	9			

เมื่อนำคุณภาพน้ำจากการประเมินโดยใช้ AARL PC Score และ AARL PP Score มาเปรียบเทียบกัน พบว่า ส่วนใหญ่คุณภาพน้ำจะแสดงในทิศทางเดียวกัน มีบางจุดเก็บตัวอย่างที่แตกต่างกันไปบ้างเนื่องจากสิ่งแวดล้อมเปลี่ยนแปลงกระทันหัน เช่น เกิดฝนตกลงมาอย่างหนัก จึงทำให้คุณภาพน้ำโดยใช้ AARL-PC Score มีคุณภาพดีขึ้น ในขณะที่ไอโอดีตอนยังไม่เปลี่ยนแปลงชนิดไปเร็วนัก ซึ่งทำให้ AARL-PP Score ค่อนข้างมีคุณภาพน้ำไม่ดีเท่า AARL-PC Score แสดงในตาราง 13

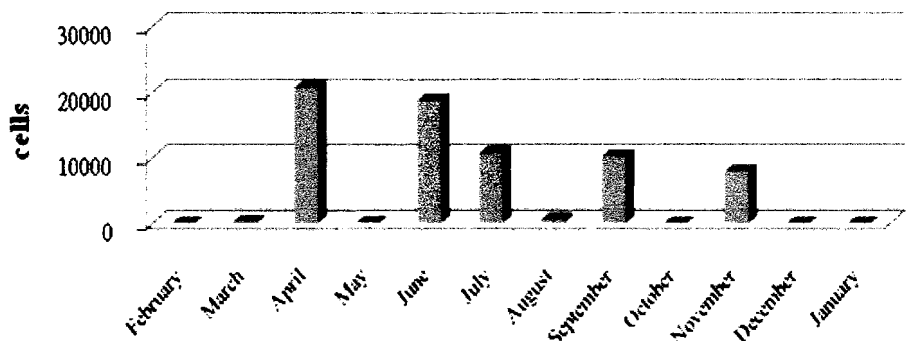
ตารางที่ 13 เปรียบเทียบคุณภาพน้ำโดยใช้ AARL-PC Score และ AARL-PP Score ในแม่น้ำโขง ส่วนที่ไหลผ่านจังหวัดอุบลราชธานี ระหว่างเดือนกุมภาพันธ์ 2550 ถึงเดือนมกราคม 2551

จุดเก็บตัวอย่าง	AARL-PC Score	AARL-PP Score
1	คุณภาพน้ำดีถึงปานกลาง	คุณภาพน้ำปานกลางถึงไม่ดี
2	คุณภาพน้ำดีถึงปานกลาง	คุณภาพน้ำปานกลาง
3	คุณภาพน้ำดีถึงปานกลาง	คุณภาพน้ำปานกลาง
4	คุณภาพน้ำดีถึงปานกลาง	คุณภาพน้ำปานกลาง
5	คุณภาพน้ำปานกลาง	คุณภาพน้ำปานกลาง
6	คุณภาพน้ำดีถึงปานกลาง	คุณภาพน้ำปานกลาง
7	คุณภาพน้ำปานกลาง	คุณภาพน้ำปานกลาง
8	คุณภาพน้ำปานกลาง	คุณภาพน้ำปานกลางถึงไม่ดี
9	คุณภาพน้ำดีถึงปานกลาง	คุณภาพน้ำปานกลางถึงไม่ดี
10	คุณภาพน้ำดีถึงปานกลาง	คุณภาพน้ำปานกลางถึงไม่ดี

จำนวนชุดของไอโอดีตอนชนิดเด่น

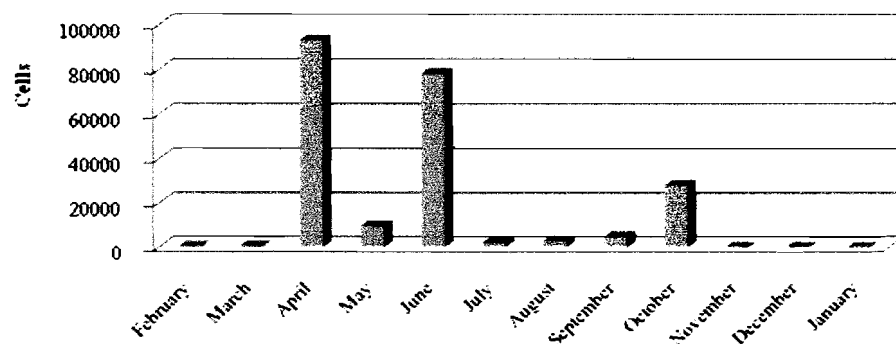
จำนวนชุดของไอโอดีตอนพื้นท้องน้ำชนิดเด่นที่พบทั้งหมดใน 10 จุดเก็บตัวอย่างในแต่ละเดือนมีจำนวนมากที่สุดในฤดูหนาวรองลงมาคือฤดูร้อน เดือนที่พบได้มากที่สุดท้องน้ำชนิดเด่นมากที่สุด ไดแก่ เดือนพฤษภาคม รองลงมาคือเดือนเมษายน และมกราคม ตามลำดับ โดยมีรายละเอียดดังต่อไปนี้

(1) จำนวนชุดของ *Gomphonema lagenula* Kützing มีจำนวนชุดสูงที่สุดในเดือนเมษายน รองลงมาคือเดือนมิถุนายน กรกฎาคม กันยายน และพฤษภาคม ตามลำดับ (ภาพที่ 31)



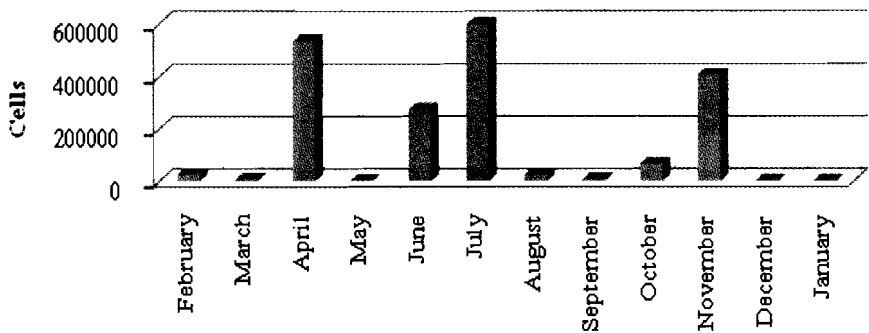
ภาพที่ 31 จำนวนเซลล์ของ *Gomphonema lagenula* Kützing ในแม่น้ำโขงส่วนที่ไหลผ่านจังหวัดอุบลราชธานี ระหว่างเดือนกุมภาพันธ์ 2550 ถึงเดือนกรกฎาคม 2551

(2) จำนวนเซลล์ของ *Navicula rostellata* Kützing สูงที่สุดในเดือนเมษายน รองลงมาคือเดือนมิถุนายน และตุลาคม ตามลำดับ (ภาพที่ 32)



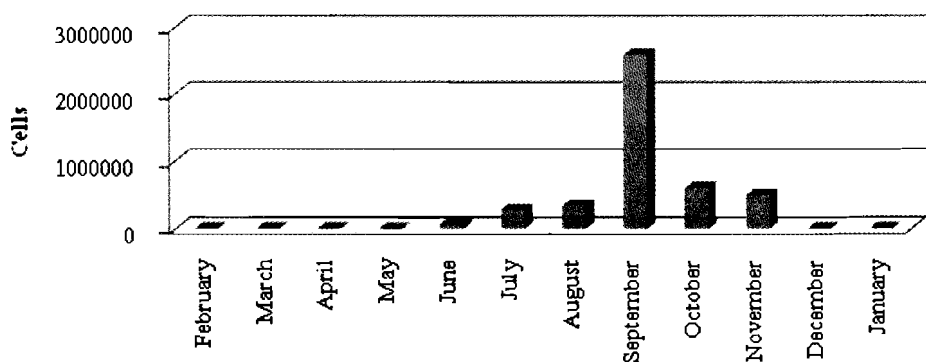
ภาพที่ 32 จำนวนเซลล์ของ *Navicula rostellata* Kützing ในแม่น้ำโขงส่วนที่ไหลผ่านจังหวัดอุบลราชธานี ระหว่างเดือนกุมภาพันธ์ 2550 ถึงเดือนกรกฎาคม 2551

(3) จำนวนเซลล์ของ *Nitzschia palea* (Kützing) W. Smith สูงที่สุดในเดือนกรกฎาคม รองลงมาคือเดือนเมษายน พฤศจิกายน และมิถุนายน ตามลำดับ (ภาพที่ 33)



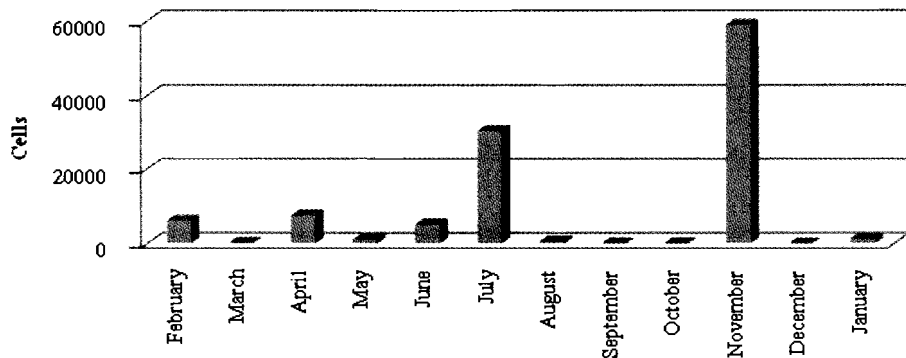
ภาพที่ 33 จำนวนเซลล์ของ *Nitzschia palea* (Kützing) W. Smith ในแม่น้ำโขงส่วนที่ไหลผ่านจังหวัดอุบราชธานี ระหว่างเดือนกุมภาพันธ์ 2550 ถึงเดือนมกราคม 2551

(4) จำนวนเซลล์ของ *Luticula goeppertiana* (Bleisch) D.C.Mann สูงที่สุดในเดือนกันยายน รองลงมาคือ เดือนตุลาคม และพฤศจิกายน ตามลำดับ (ภาพที่ 34)



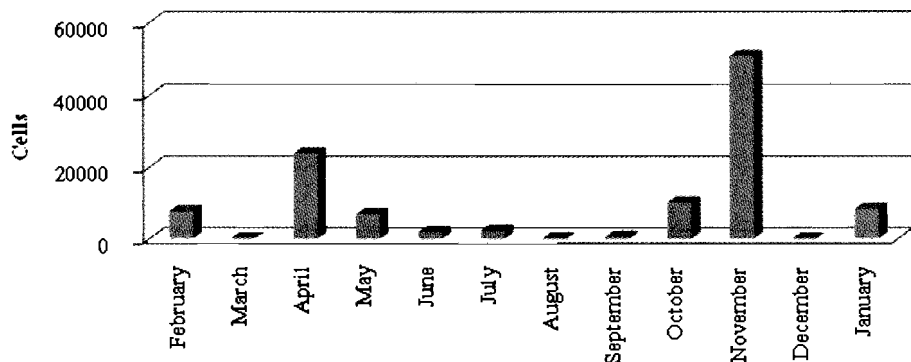
ภาพที่ 34 จำนวนเซลล์ของ *Luticula goeppertiana* (Bleisch) D.C.Mann ในแม่น้ำโขงส่วนที่ไหลผ่านจังหวัดอุบราชธานี ระหว่างเดือนกุมภาพันธ์ 2550 ถึงเดือนมกราคม 2551

(5) จำนวนเซลล์ของ *Nitzschia liebetruthii* Rabenhorst สูงที่สุดในเดือน พฤศจิกายน รองลงมาคือเดือนกรกฎาคม เมษายน และเดือนกุมภาพันธ์ ตามลำดับ (ภาพที่ 35)



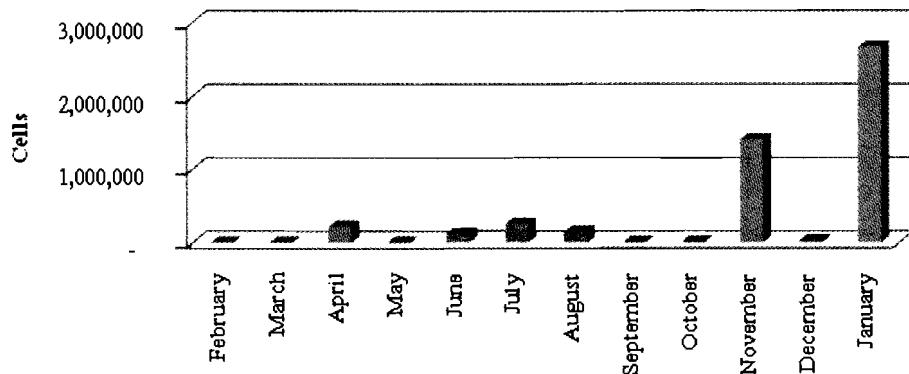
ภาพที่ 35 จำนวนเซลล์ของ *Nitzschia liebetruthii* Rabenhorst ในแม่น้ำโขงส่วนที่ไหลผ่านจังหวัดอุบลราชธานี ระหว่างเดือนกุมภาพันธ์ 2550 ถึงเดือนมกราคม 2551

(6) จำนวนเซลล์ของ *Sellaphora pupula* (Kützing) Mereschkowsky สูงที่สุดในเดือน พฤศจิกายน รองลงมาคือเดือนเมษายน ตุลาคม มกราคม กุมภาพันธ์ และพฤษภาคม ตามลำดับ (ภาพที่ 36)



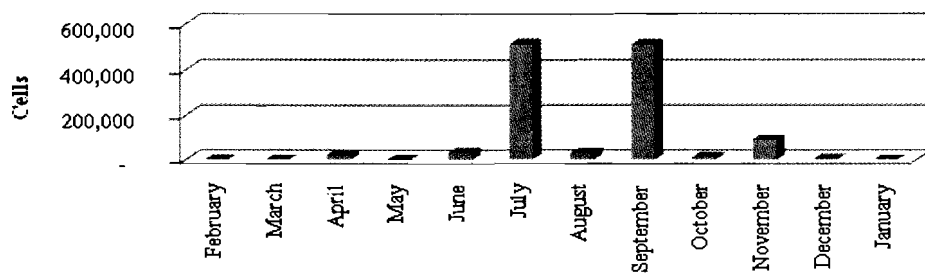
ภาพที่ 36 จำนวนเซลล์ของ *Sellaphora pupula* (Kützing) Mereschkowsky ในแม่น้ำโขงส่วนที่ไหลผ่านจังหวัดอุบลราชธานี ระหว่างเดือนกุมภาพันธ์ 2550 ถึงเดือนมกราคม 2551

(7) จำนวนเซลล์ของ *Navicula erifuga* Lange-Bertalot สูงที่สุดในเดือนมกราคม รองลงมาคือเดือนพฤษภาคม เกรกฎาคม เมษายน และสิงหาคม ตามลำดับ (ภาพที่ 37)



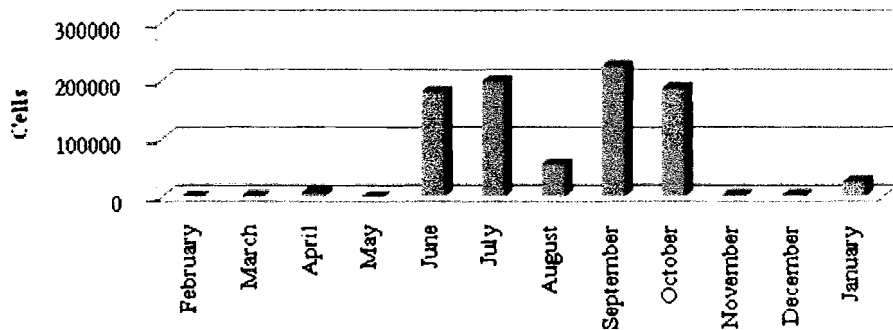
ภาพที่ 37 จำนวนเซลล์ของ *Navicula erifuga* Lange-Bertalot ในแม่น้ำโขงส่วนที่ไหลผ่านจังหวัดอุบลราชธานี ระหว่างเดือนกุมภาพันธ์ 2550 ถึงเดือนมกราคม 2551

(8) จำนวนเซลล์ของ *Cymbella tumida* (Brébisson) Van Heurck สูงที่สุดในเดือนกรกฎาคม รองลงมาคือเดือนกันยายน และพฤษภาคม ตามลำดับ (ภาพที่ 38)



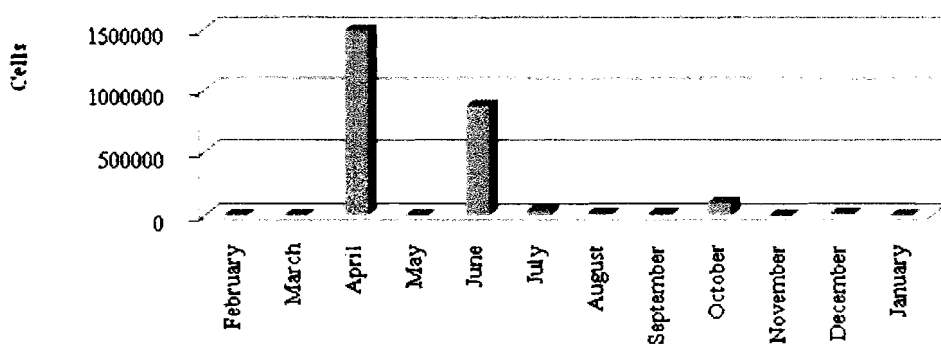
ภาพที่ 38 จำนวนเซลล์ของ *Cymbella tumida* (Brébisson) Van Heurck ในแม่น้ำโขงส่วนที่ไหลผ่านจังหวัดอุบลราชธานี ระหว่างเดือนกุมภาพันธ์ 2550 ถึงเดือนมกราคม 2551

(9) จำนวนเซลล์ของ *Gomphonema clevei* var. *javanica* Hustedt สูงที่สุดในเดือน กันยายน รองลงมาคือเดือนตุลาคม กรกฎาคม มิถุนายน ตามลำดับ (ภาพที่ 39)

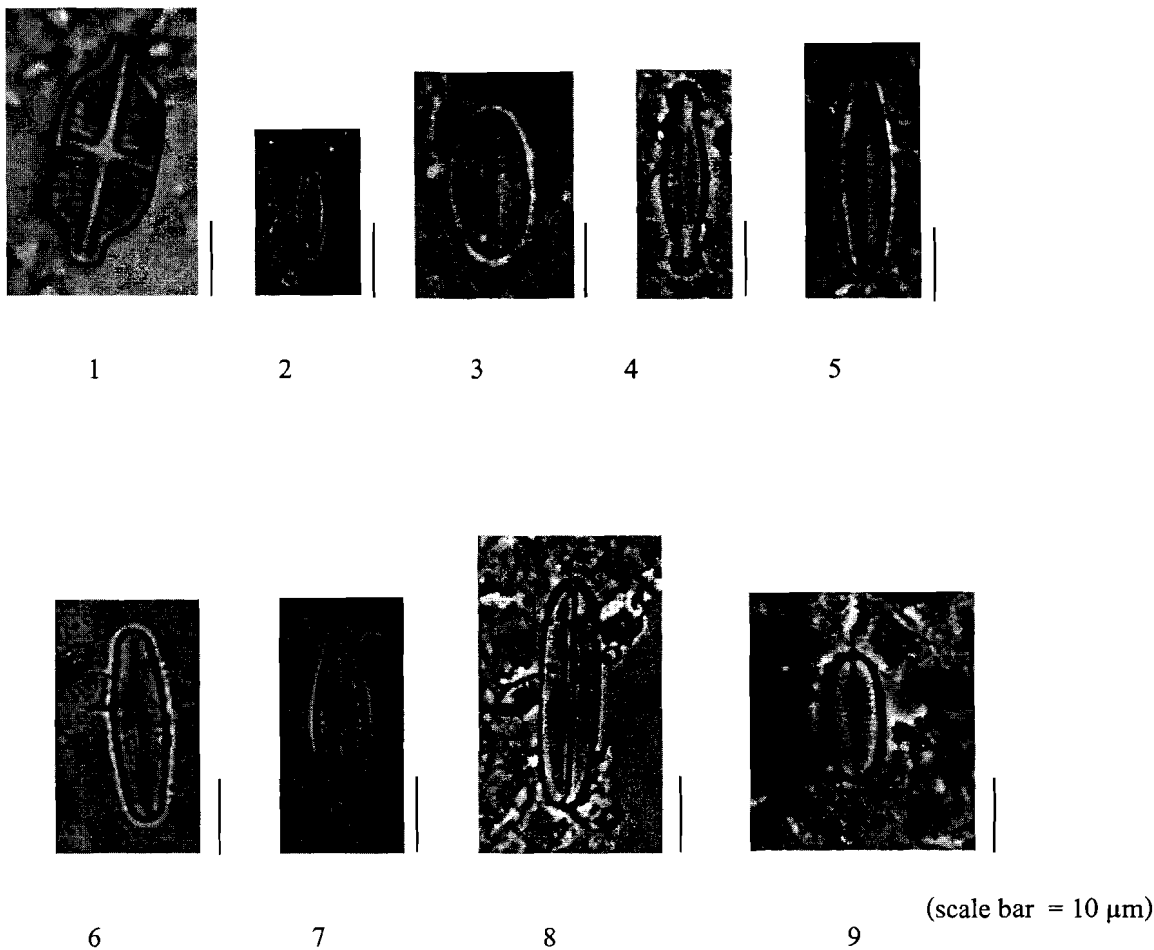


ภาพที่ 39 จำนวนเซลล์ของ *Gomphonema clevei* var. *javanica* Hustedt ในแม่น้ำโขงส่วนที่ ไหลผ่านจังหวัดอุบราชานี ระหว่างเดือนกุมภาพันธ์ 2550 ถึงเดือนมกราคม 2551

(10) จำนวนเซลล์ของ *Cymbella turgidula* Grunow สูงที่สุดในเดือน เมษายน รองลงมา คือเดือนมิถุนายนและตุลาคม ตามลำดับ (ภาพที่ 39)



ภาพที่ 40 จำนวนเซลล์ของ *Cymbella turgidula* Grunow ในแม่น้ำโขงส่วนที่ ไหลผ่านจังหวัด อุบราชานี ระหว่างเดือนกุมภาพันธ์ 2550 ถึงเดือนมกราคม 2551



ภาพที่ 41 ไคลออะตอมพื้นท้องน้ำในแม่น้ำโขงส่วนที่ไหลผ่านจังหวัดอุบลราชธานี
ระหว่างเดือนกุมภาพันธ์ 2550 ถึงเดือนมกราคม 2551

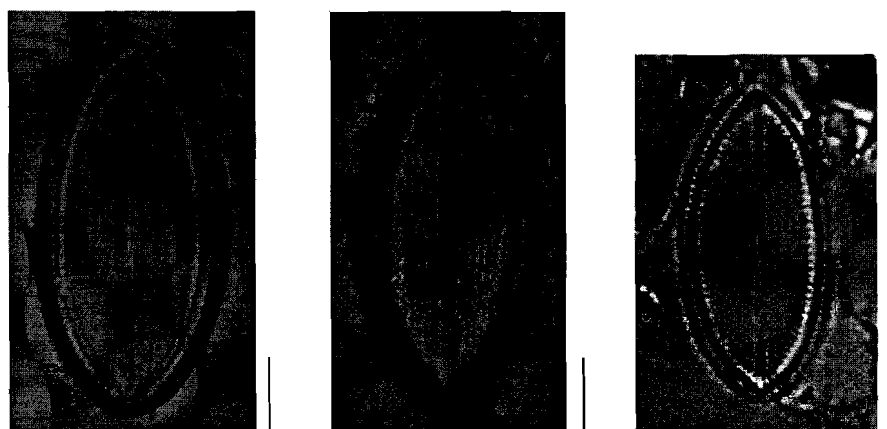
- 1) *Achnanthes exigua* Grunow
- 2) *Achnanthidium minutissimum* var.
- 3) *Achnanthes cf. eutrophilum* (Lange-Bertalot) Lange-Bertalot
- 4) *Achnanthidium convergens* (Kobayyasi) Kobayasi
- 5)-7) *Achnanthidium minutissimum* var. *minutissimum* (Kützing) Czarnecky
- 8)-9) *Achnanthes deflexa* (Patrick) Patrick & Reimer



1

2

3



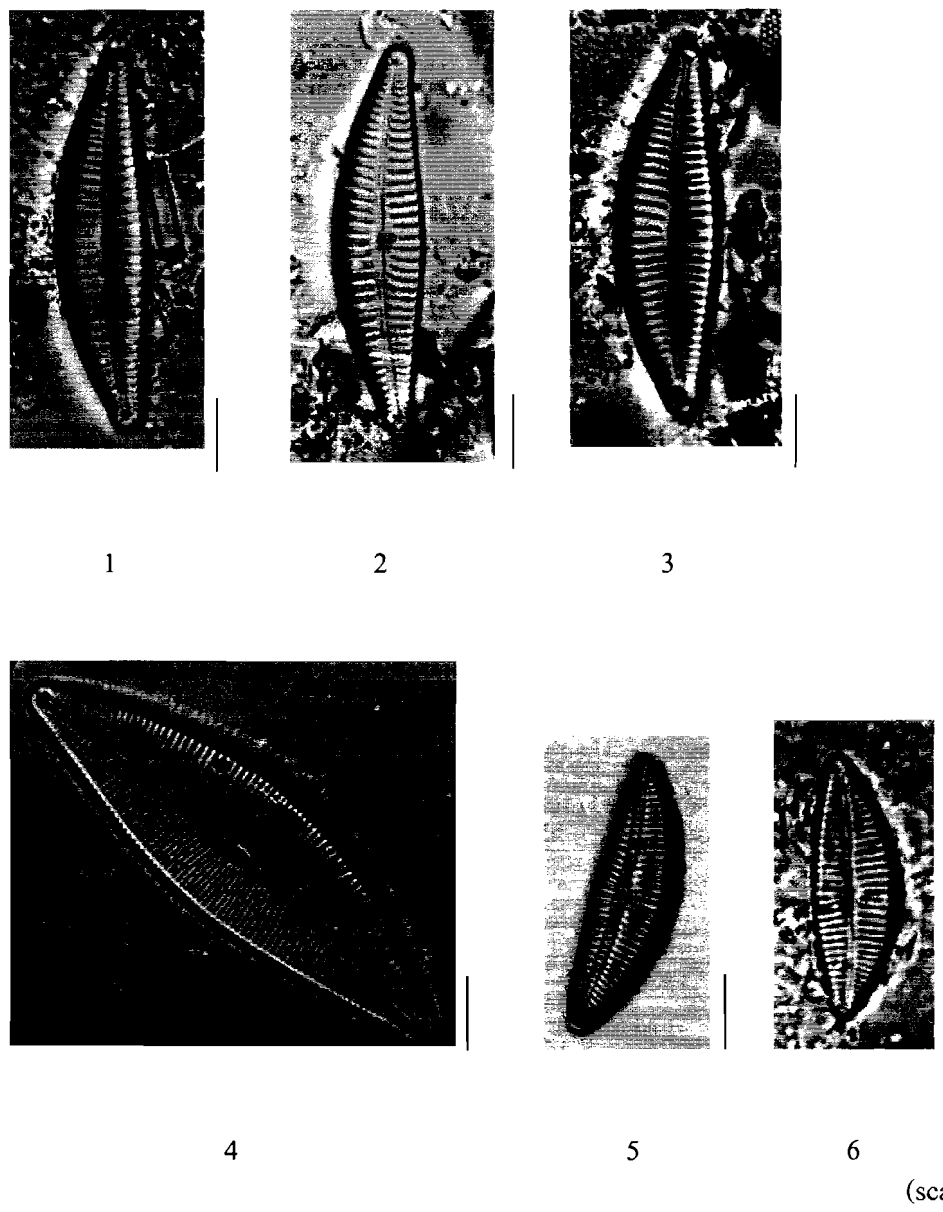
4

5

6 (scale bar = 10 µm)

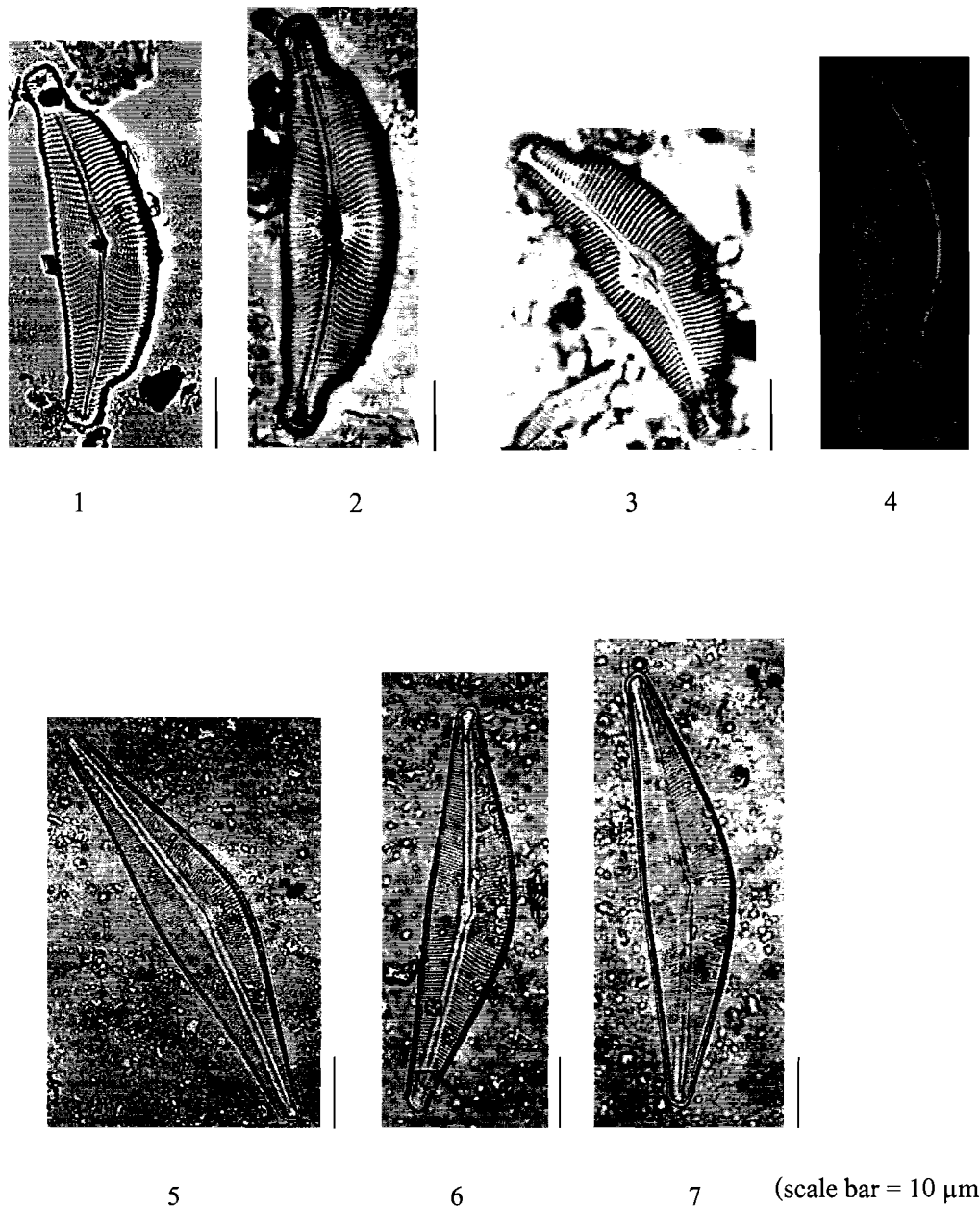
ภาพที่ 42 ไดอะATOMพื้นท้องน้ำในแม่น้ำโขงส่วนที่ไหลผ่านจังหวัดอุบลราชธานี
ระหว่างเดือนกุมภาพันธ์ 2550 ถึงเดือนกรกฎาคม 2551

- 1) *Craticula halophila* (Grunow) D.G.Mann
- 2) *Frustulia amosseana* Lange-Bertalot
- 3) *Bacillaria paxillifer* (O.F.Müller) T.Marsson
- 4)-5) *Coccconeis placentula* Ehrenberg
- 6) *Coccconeis pseudolineata* (Geitler) Lange-Bertalot



ภาพที่ 43 ไคลอตอมพื้นท้องน้ำในแม่น้ำโขงส่วนที่ไหลผ่านจังหวัดอุบลราชธานี
ระหว่างเดือนกุมภาพันธ์ 2550 ถึงเดือนมกราคม 2551

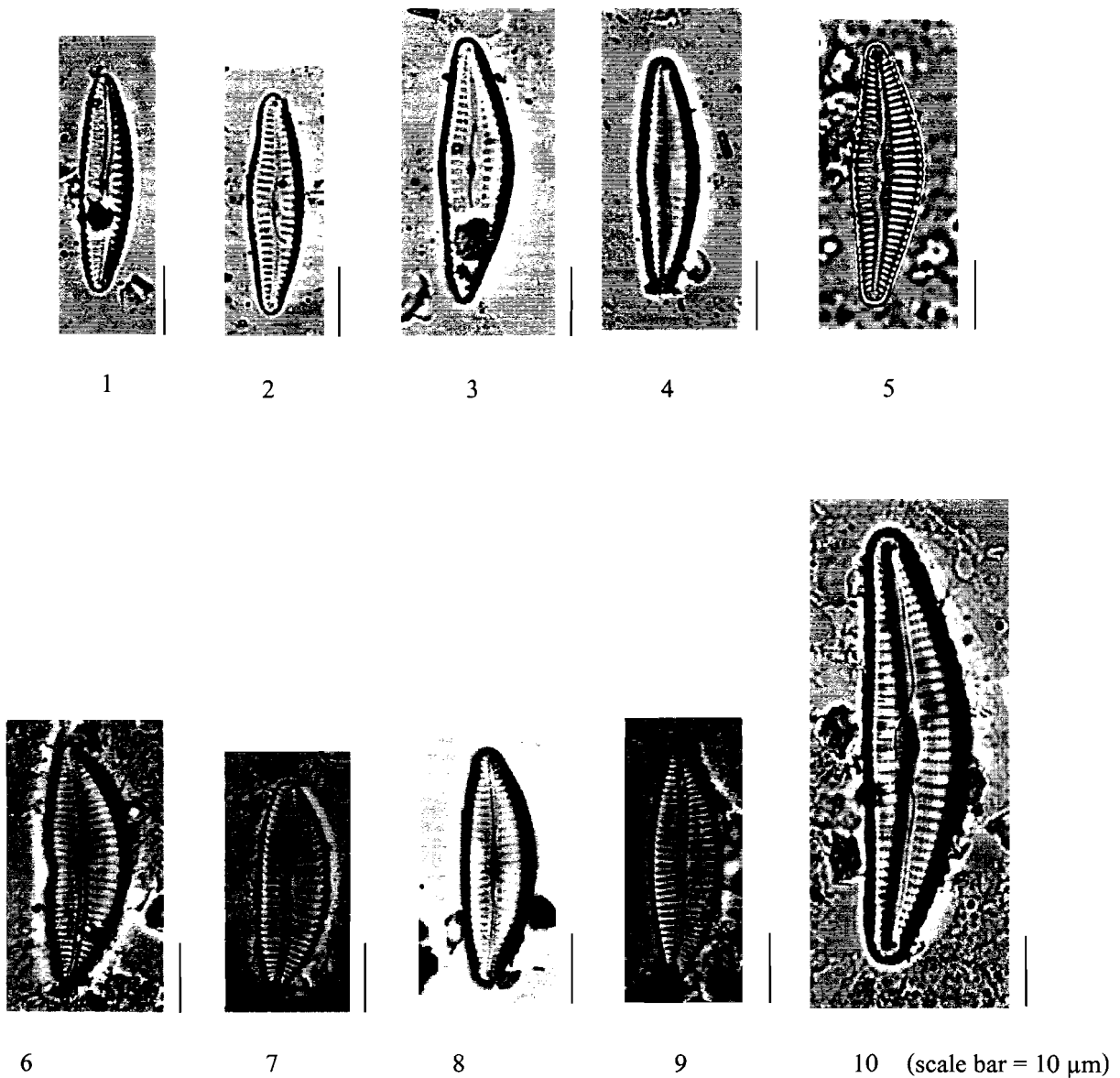
- 1)-3) *Cymbella tropica* Krammer
- 4) *Cymbella bengalensis* (Grunow) Schmidt
- 5) *Cymbella turgidula* Grunow
- 6) *Cymbella affinis* Kützing



ภาพที่ 44 ไดอะตومพื้นท้องน้ำในแม่น้ำโขงส่วนที่ไหลผ่านจังหวัดอุบลราชธานี
ระหว่างเดือนกุมภาพันธ์ 2550 ถึงเดือนมกราคม 2551

1)-4) *Cymbella tumida* (Brébisson) Van Heurck

5)-7) *Cymbella neogena* (Grunow) Krammer

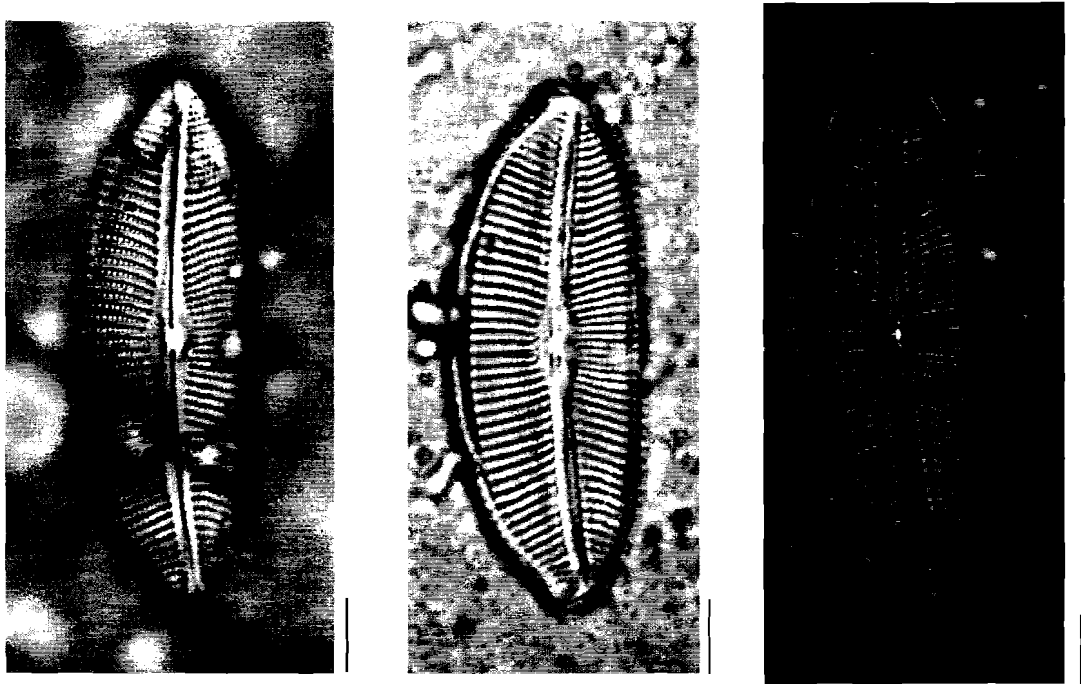


ภาพที่ 45 ไคลอตอนพื้นท้องน้ำในแม่น้ำโขงส่วนที่ไหลผ่านจังหวัดอุบลราชธานี
ระหว่างเดือนกุมภาพันธ์ 2550 ถึงเดือนมกราคม 2551

1)-5) *Cymbella laevis* Naegeli Kützing

6)-9) *Cymbella sumatrensis* Hustedt

10) *Cymbella cymbiformis* Agardh



1

2

3



4

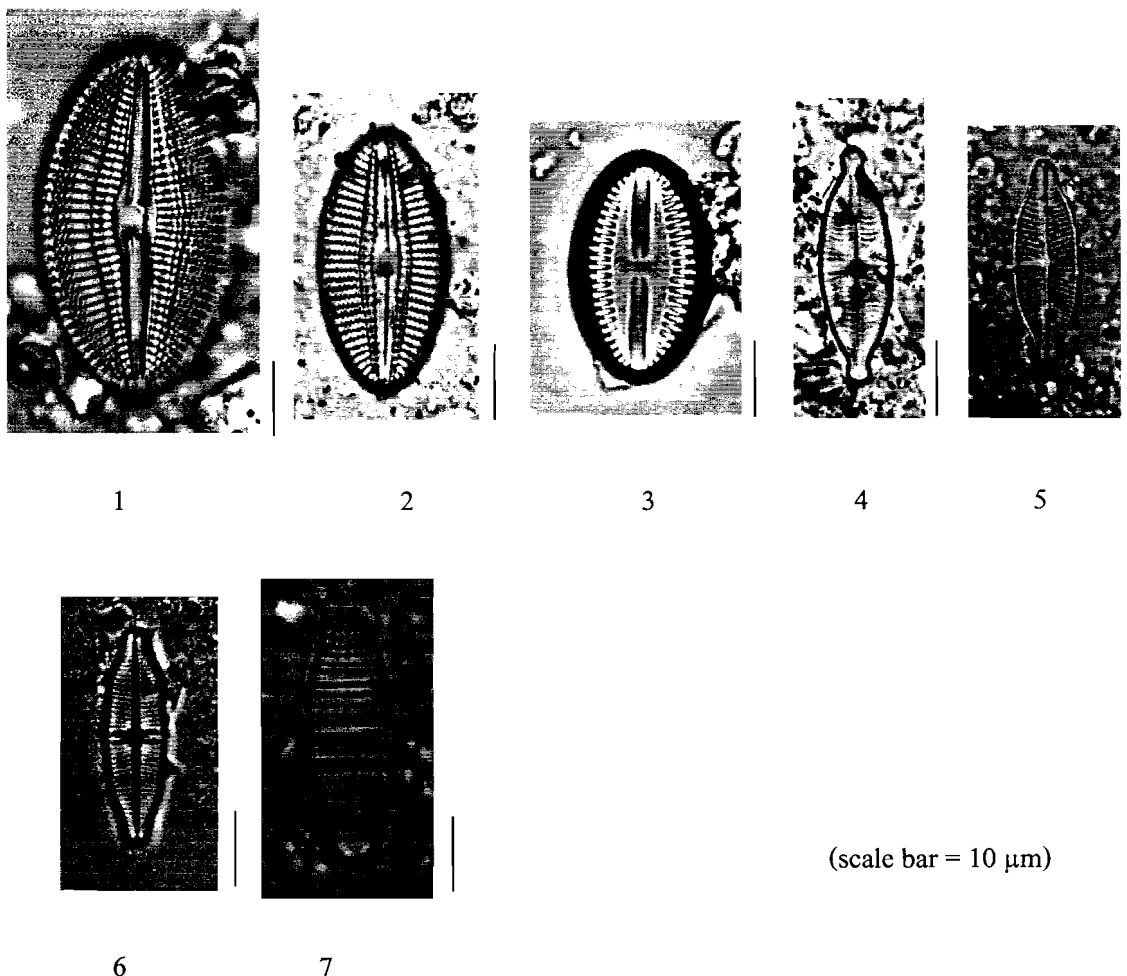
5

6

7 (scale bar = 10 μm)

ภาพที่ 46 ไดอะตومพื้นท้องน้ำในแม่น้ำโขงส่วนที่ไหลผ่านจังหวัดอุบลราชธานี
ระหว่างเดือนกุมภาพันธ์ 2550 ถึงเดือนมกราคม 2551

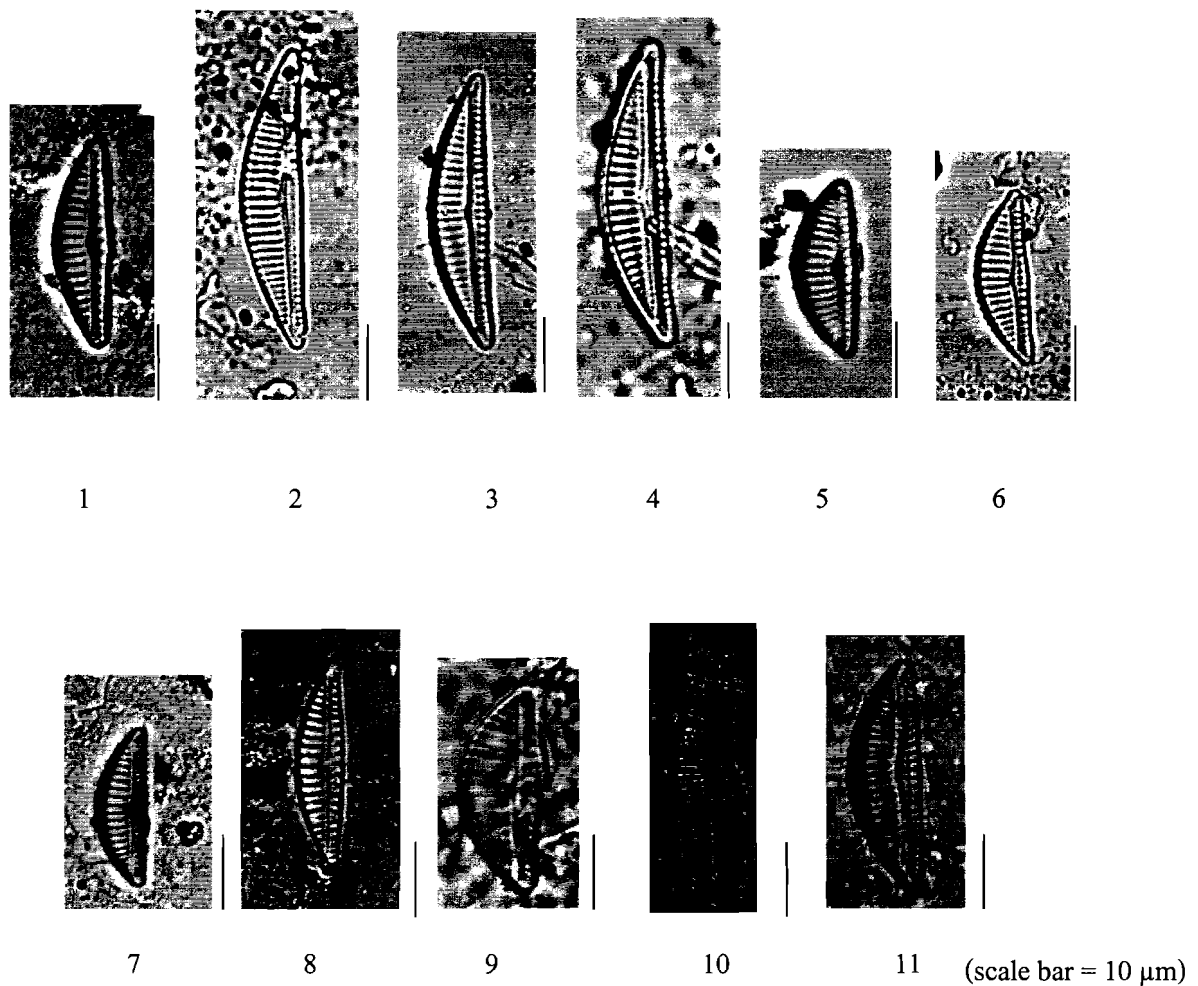
- 1)-3) *Cymbella cucumis* Schmidt
- 4) *Cymbella* sp.
- 5)-6) *Cymbella* cf. *compacta* Oestrup
- 7) *Cymbopleura* sp.



ภาพที่ 47 ไครอสคอมพิวเตอร์ท้องน้ำในแม่น้ำโขงส่วนที่ไหลผ่านจังหวัดอุบลราชธานี

ระหว่างเดือนกุมภาพันธ์ 2550 ถึงเดือนมกราคม 2551

- 1) *Diploneis subovalis* Cleve
- 2) *Diploneis parma* Cleve
- 3) *Diploneis* sp.1 (?nov.) spec.
- 4) *Geissleria decussis* Lange-Bertalot & Metzeltin
- 5) *Geissleria similis* (Krasske) Lange-Bertalot & Metzeltin
- 6) *Geissleria* sp. (?nov.) UBU-MK1
- 7) *Diatoma vulgaris* Bory



ภาพที่ 48 ไดอะตومพื้นท้องน้ำในแม่น้ำโขงส่วนที่ไหลผ่านจังหวัดอุบลราชธานี

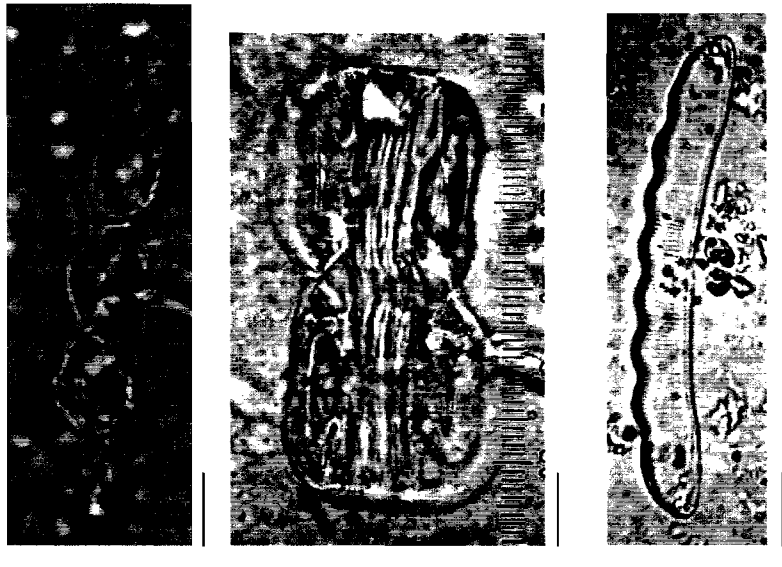
ระหว่างเดือนกุมภาพันธ์ 2550 ถึงเดือนมกราคม 2551

1)-6) *Encyonema silesiacum* (Bleisch) D. G. Mann

7)-8) *Encyonema ventricosum* (Agardh) Grunow

9) *Encyonema dubium* Krammer

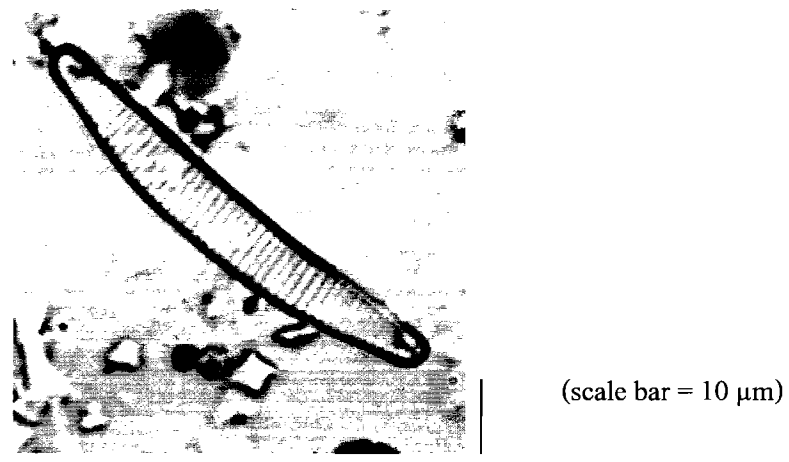
10)-11) *Encyonema vulgare* Krammer



1

2

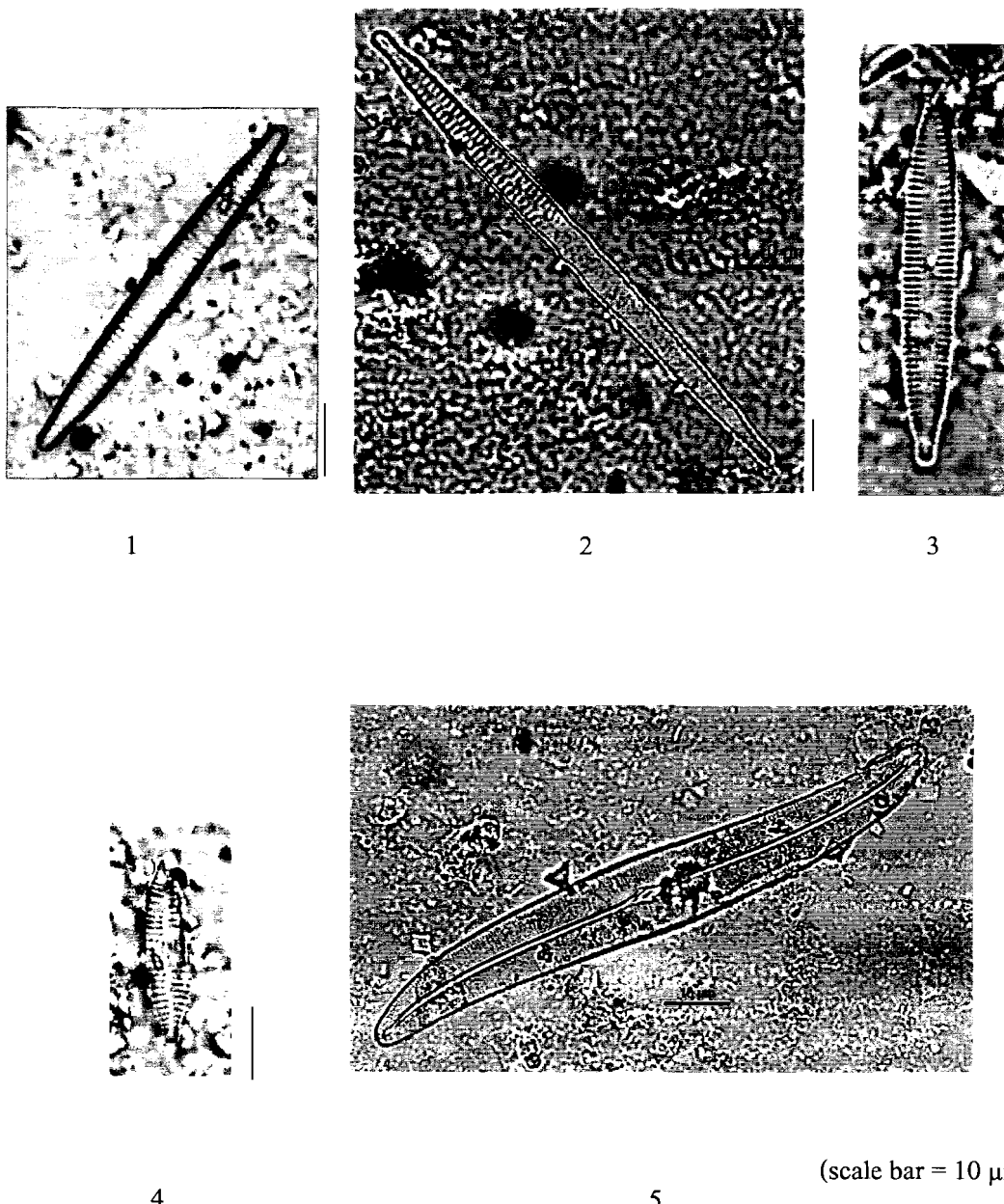
3



4

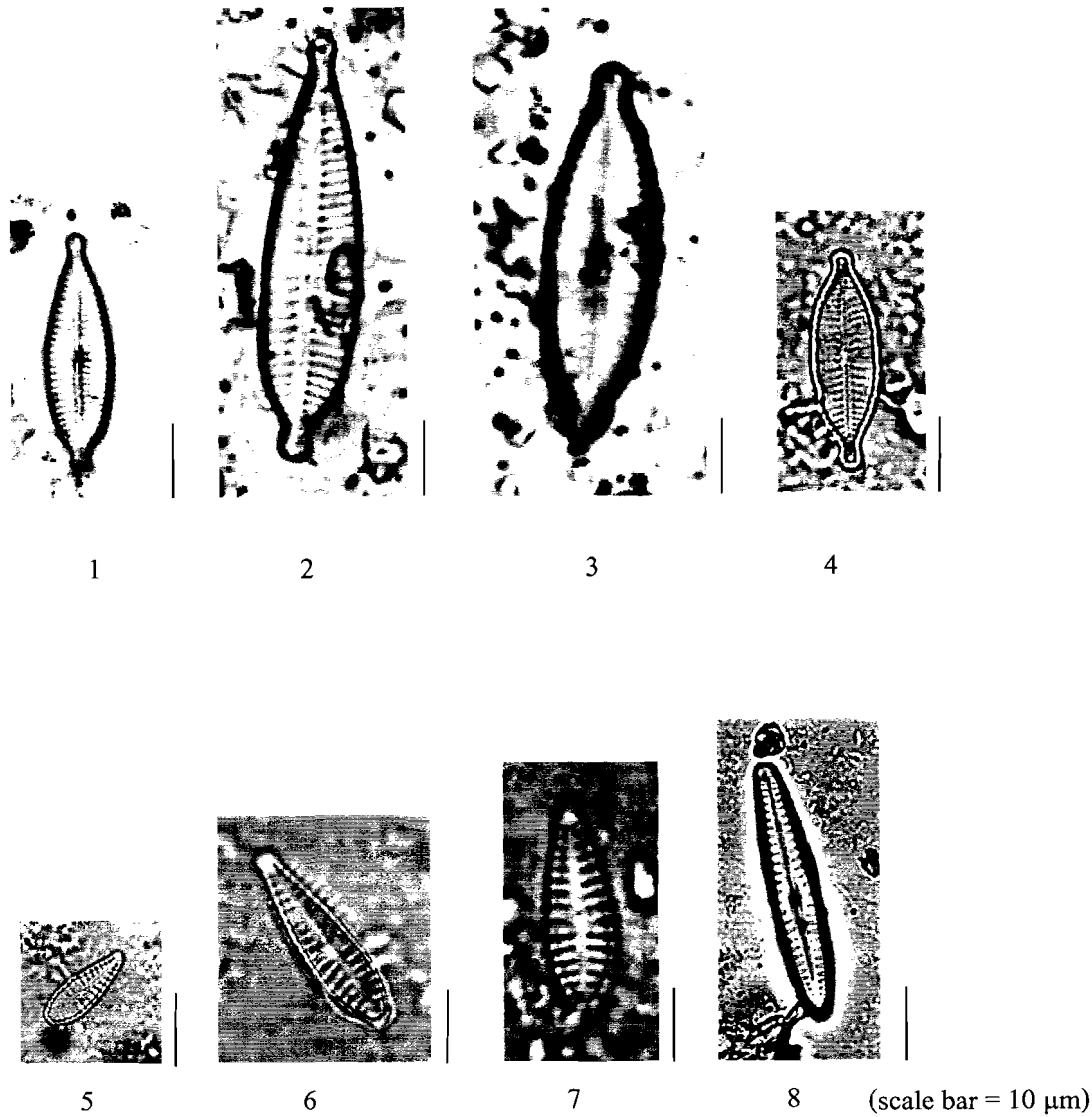
ภาพที่ 49 ไดอะตอนพื้นท้องน้ำในแม่น้ำโขงส่วนที่ไหลผ่านจังหวัดอุบลราชธานี ระหว่างเดือนกุมภาพันธ์ 2550 ถึงเดือนมกราคม 2551

- 1-2) *Entomoneis alata* (Ehrenberg) Ehrenberg
- 3) *Eunotia monodon* var. *tropica* Hustedt
- 4) *Eunotia cf. tschirchiana* O. Müller



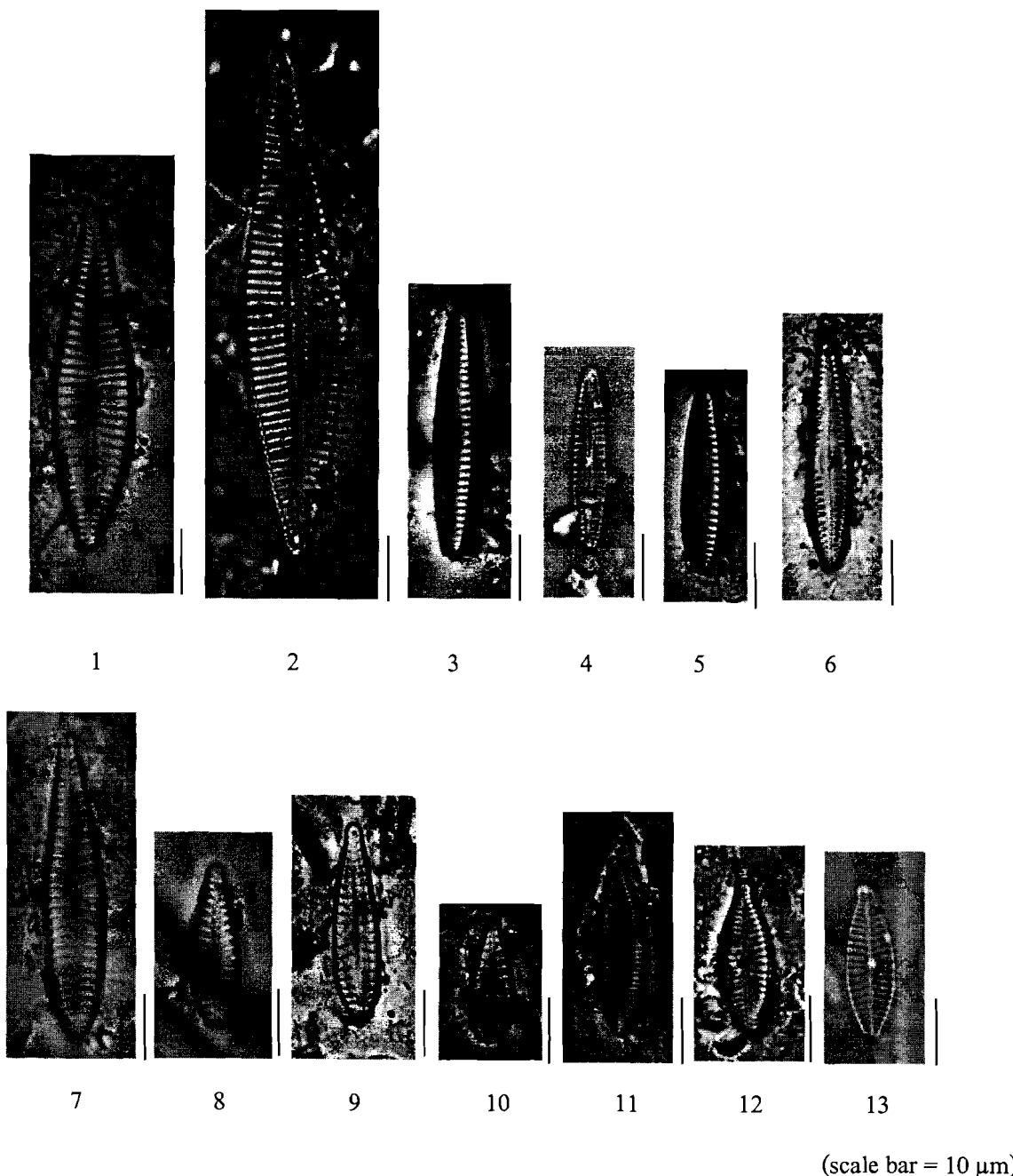
ภาพที่ 50 ไดอะตومพื้นท้องน้ำในแม่น้ำโขงส่วนที่ไหลผ่านจังหวัดอุบลราชธานี ระหว่างเดือนกุมภาพันธ์ 2550 ถึงเดือนมกราคม 2551

- 1)-2) *Fragilaria capucina* sensu lato
- 3) *Fragilaria fasciculata* (Agardh.) Lange-Bertalot
- 4) *Fragilaria vaucheriae* (Kützing) Petersen
- 5) *Gyrosigma scalproides* (Rabenhorst) Cleve



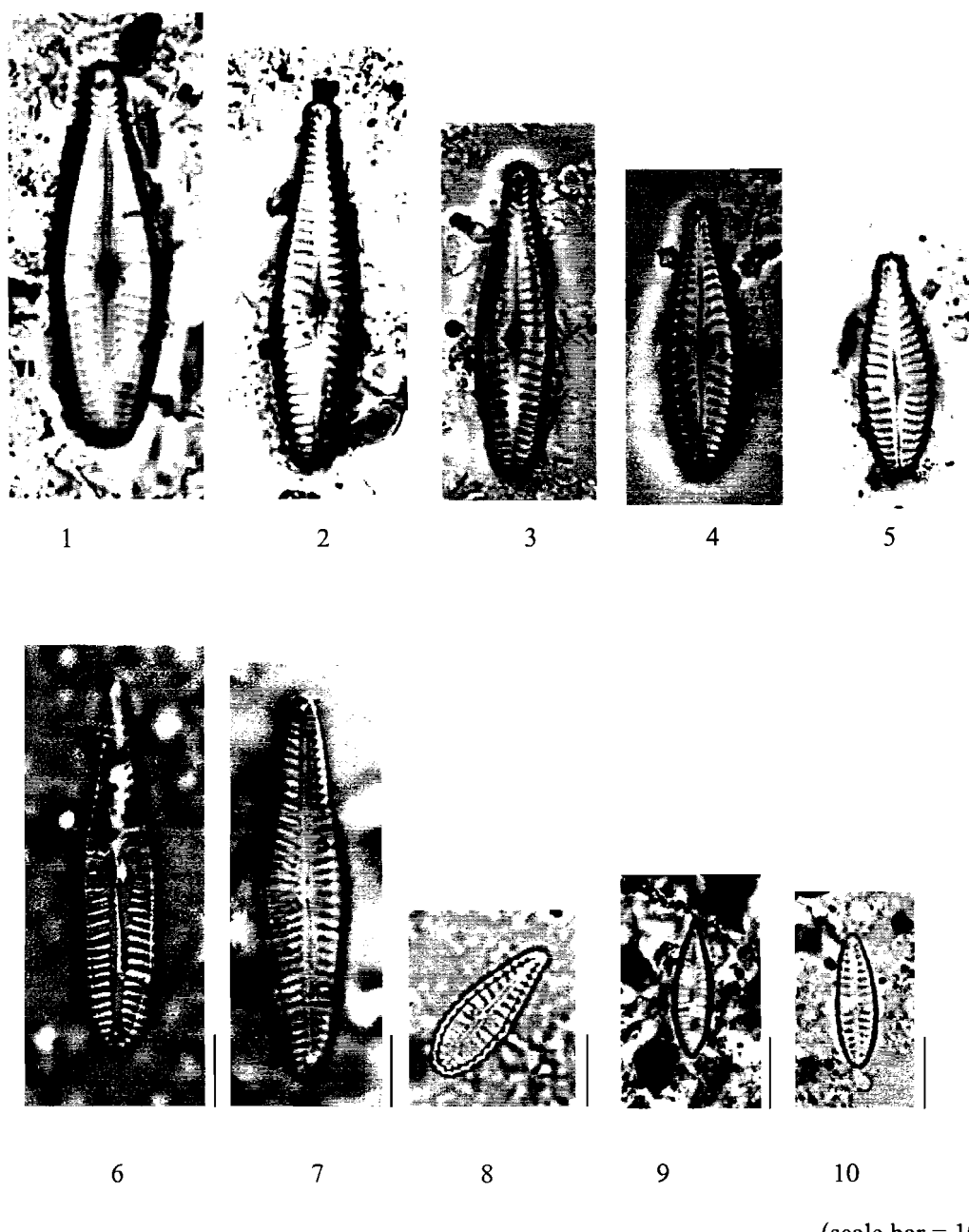
ภาพที่ 51 ไดอะตومพื้นท้องน้ำในแม่น้ำโขงส่วนที่ไหลผ่านจังหวัดอุบลราชธานี
ระหว่างเดือนกุมภาพันธ์ 2550 ถึงเดือนมกราคม 2551

- 1)-3) *Gomphonema lagenula* Kützing
- 4) *Gomphonema* sp.3
- 5)-7) *Gomphonema minutum* (C. Agardh) C. Agardh
- 8) *Gomphonema pumilum* (Grunow) Reichardt & Lange-Bertalot



ภาพที่ 52 ไดอะตومพื้นท้องน้ำในแม่น้ำโขงส่วนที่ไหลผ่านจังหวัดอุบลราชธานี
ระหว่างเดือนกุมภาพันธ์ 2550 ถึงเดือนกรกฎาคม 2551

- 1) *Gomphonema gracile* f. *turris* Hustedt 2) *Gomphonema gracile* Ehrenberg
- 3)-5) *Gomphonema clevei* var. *javanica* Hustedt 6) *Gomphonema* aff. *entoleum*
Oestrup 7)-10) *Gomphonema* sp.1 (?nov.) UBU-MK2
- 11)-12) *Gomphonema minutiforme* Lange-Bertalot & Reichardt
- 13) *Gomphonema* sp.2 (?nov.) UBU-MK3

(scale bar = 10 μm)

ภาพที่ 53 ไคลอตอมพื้นท้องน้ำในแม่น้ำโขงส่วนที่ไหลผ่านจังหวัดอุบลราชธานี

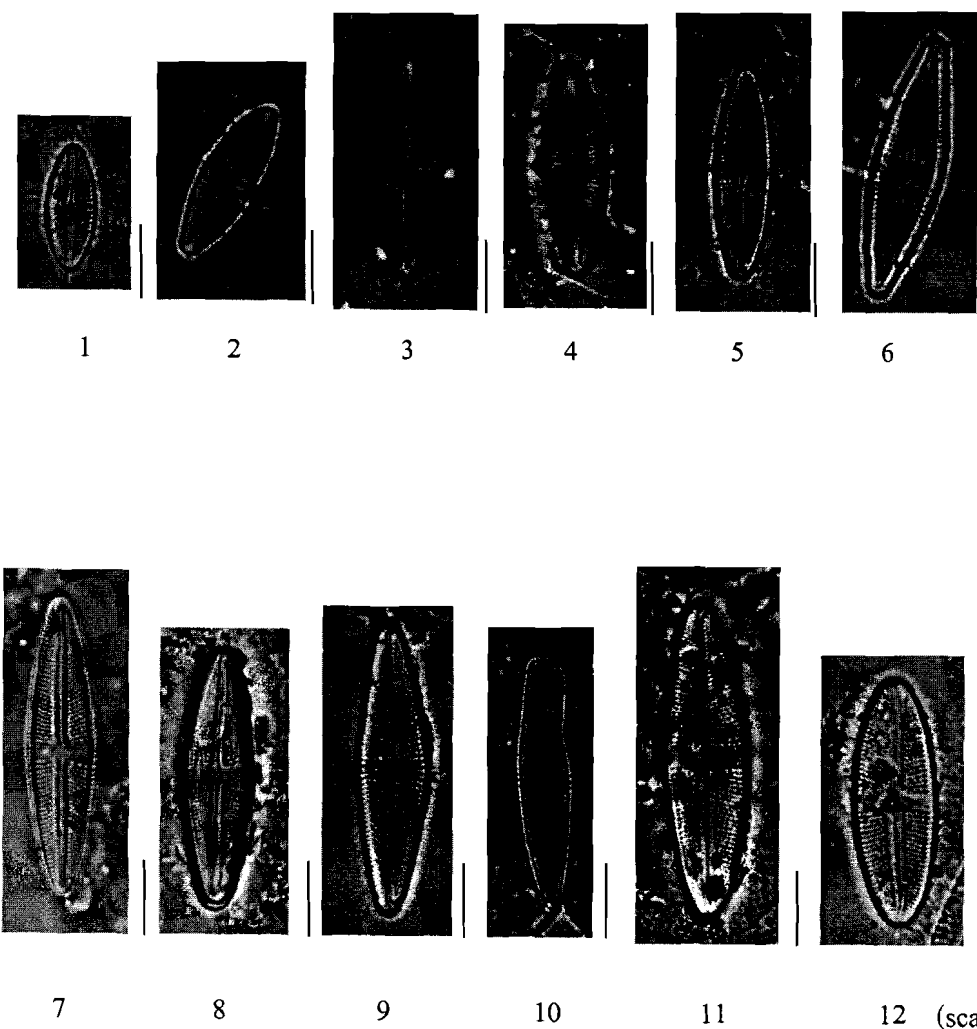
ระหว่างเดือนกุมภาพันธ์ 2550 ถึงเดือนมกราคม 2551

1) - 5) *Gomphonema* sp.4

6) *Gomphonema* sp.3

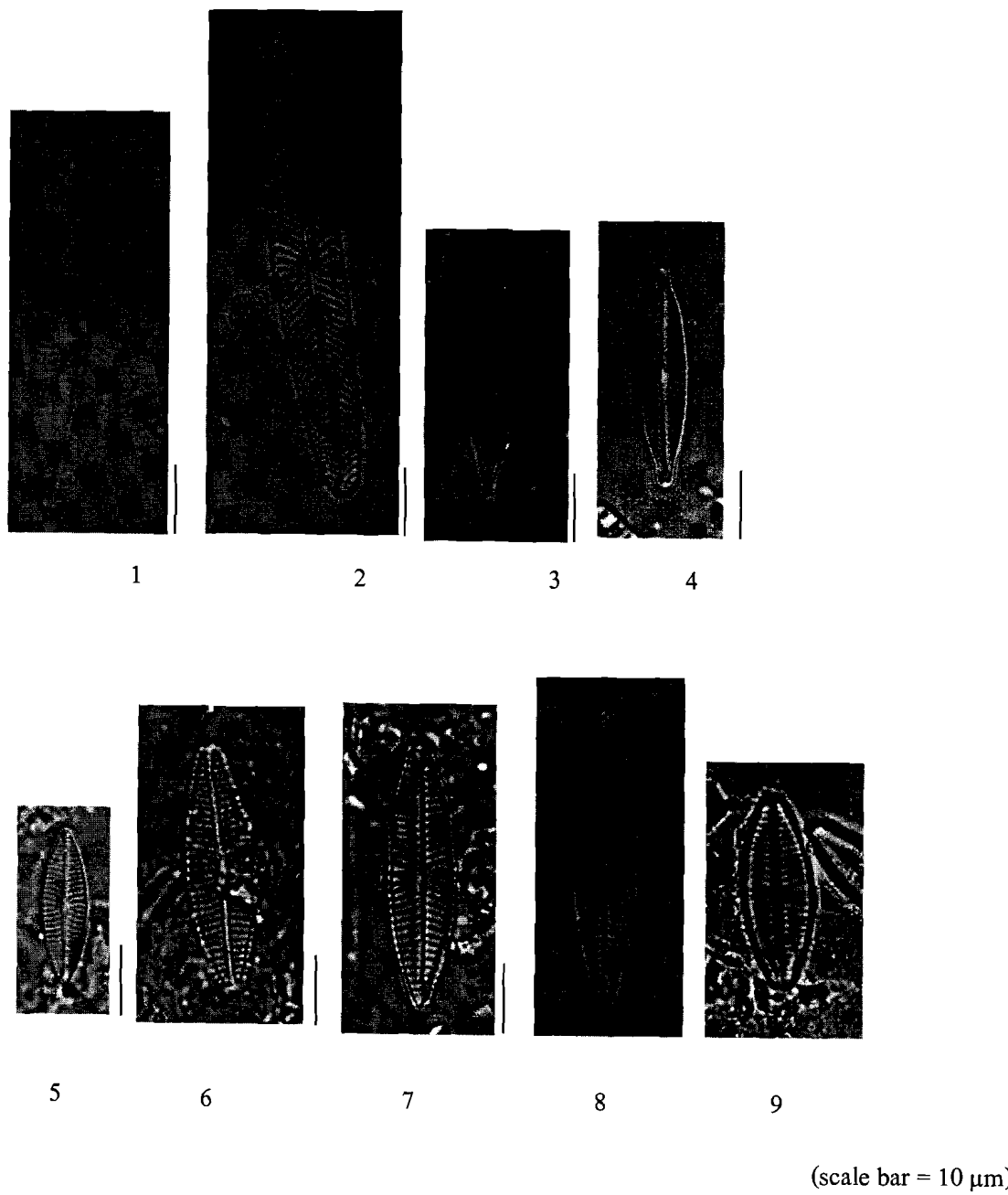
7) *Gomphonema* sp.5

8)-10) *Gomphonema* sp.6



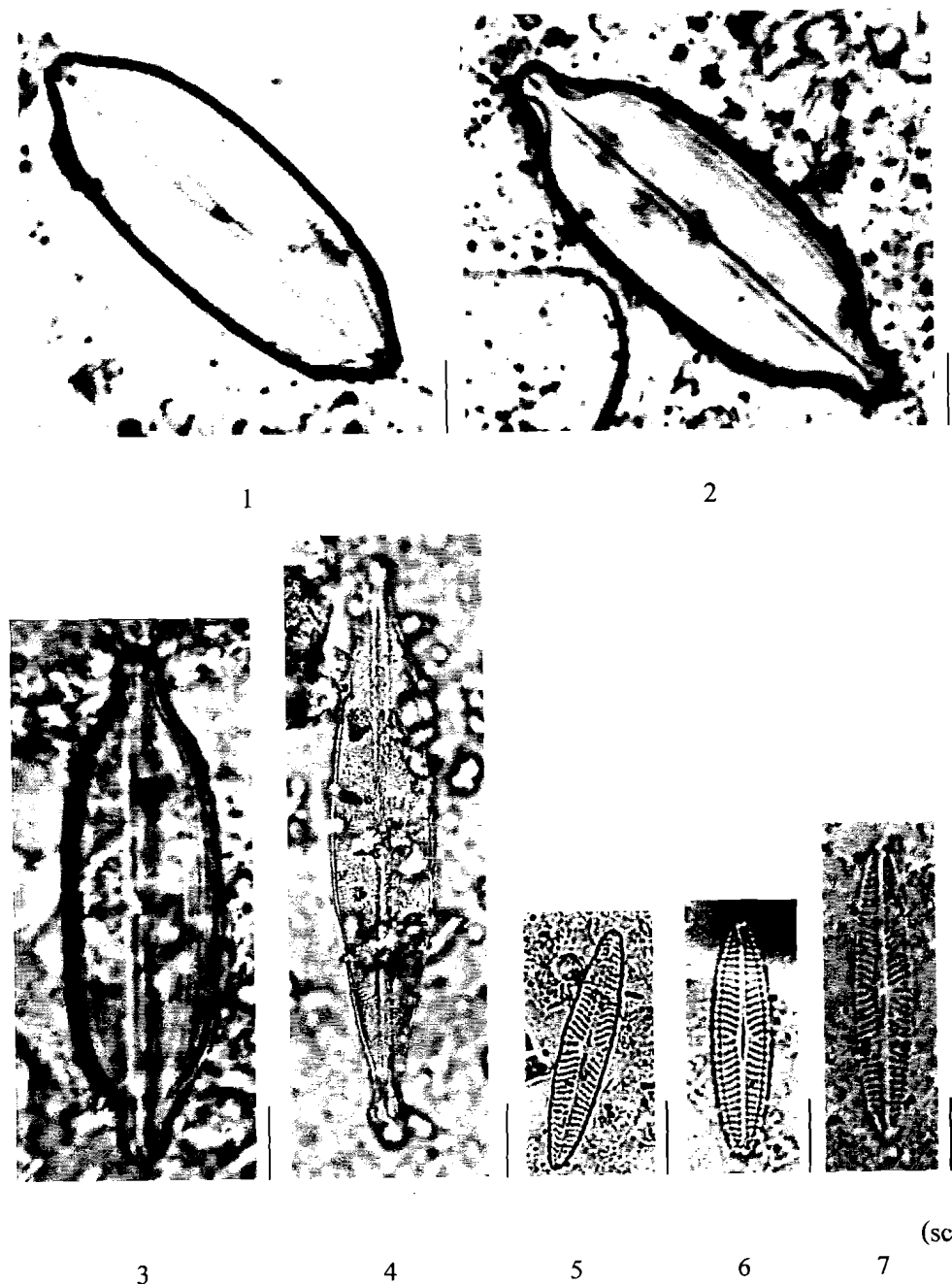
ภาพที่ 54 ไข่อະตอมพื้นท้องน้ำในแม่น้ำโขงส่วนที่ไหลผ่านจังหวัดอุบลราชธานี
ระหว่างเดือนกุมภาพันธ์ 2550 ถึงเดือนมกราคม 2551

- 1)-10) *Luticola goeppertiana* (Bleisch) D.G. mann
- 11) *Luticola peguana* (Grunow) D.G. Mann
- 12) *Luticola saxophila* (W. Bock) D. G. Mann

(scale bar = 10 μm)

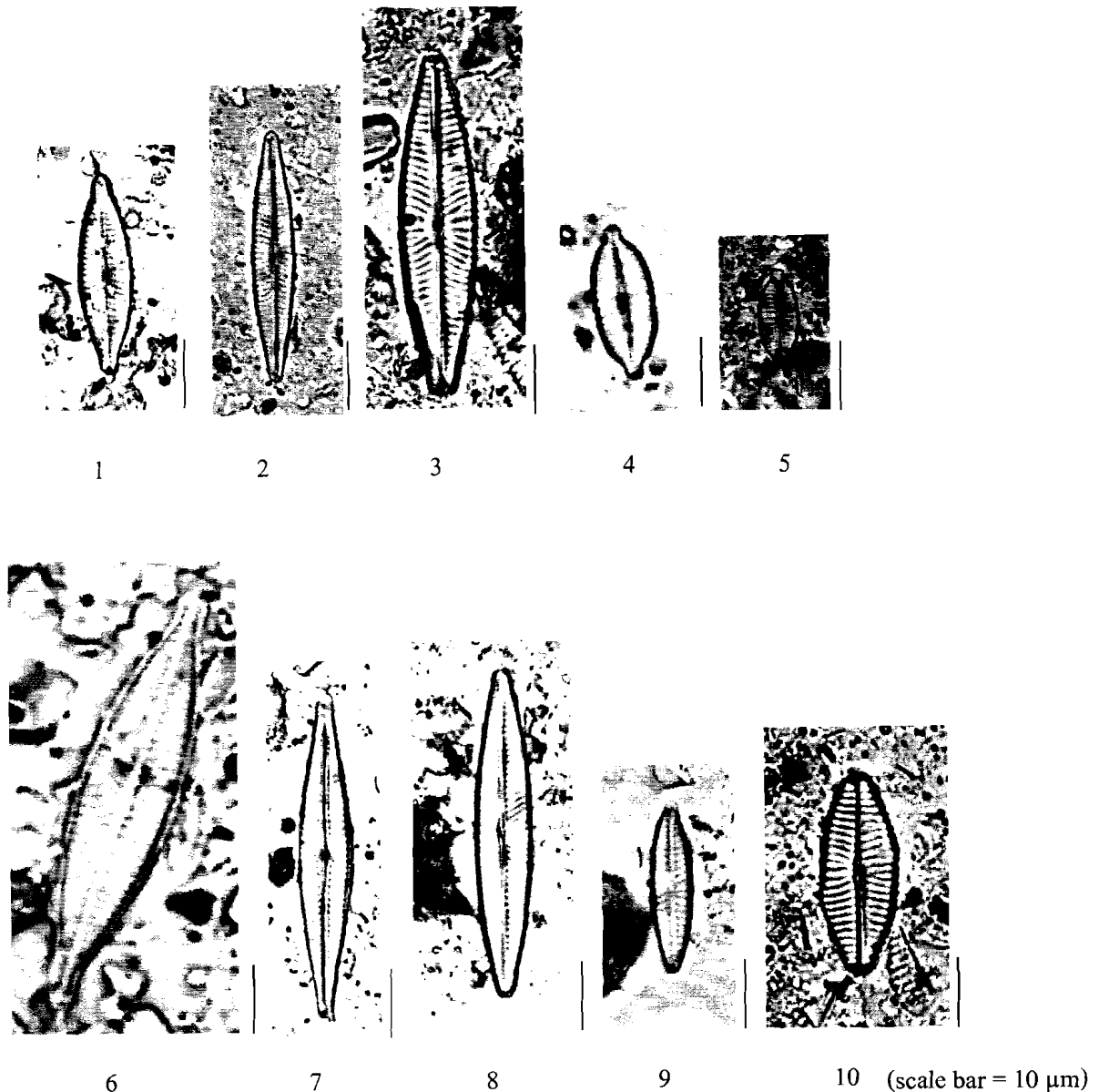
ภาพที่ 55 ไครอสคอมพ์นีท้องน้ำในแม่น้ำโขงส่วนที่ไหลผ่านจังหวัดอุบลราชธานี ระหว่างเดือนกุมภาพันธ์ 2550 ถึงเดือนกรกฎาคม 2551

- 1) *Navicula rostellata* Kützing 2) *Navicula* sp.5 3) *Navicula* sp.3
- 4) *Navicula aquaedurae* Lange-Bertalot
- 5) *Navicula cataractarheni* Lange-Bertalot
- 6-9) *Navicula erifuga* Lange-Bertalot

(scale bar = 10 μm)

ภาพที่ 56 ไดอะตومพื้นท้องน้ำในแม่น้ำโขงส่วนที่ใกล้ผ่านจังหวัดอุบลราชธานี
ระหว่างเดือนกุมภาพันธ์ 2550 ถึงเดือนมกราคม 2551

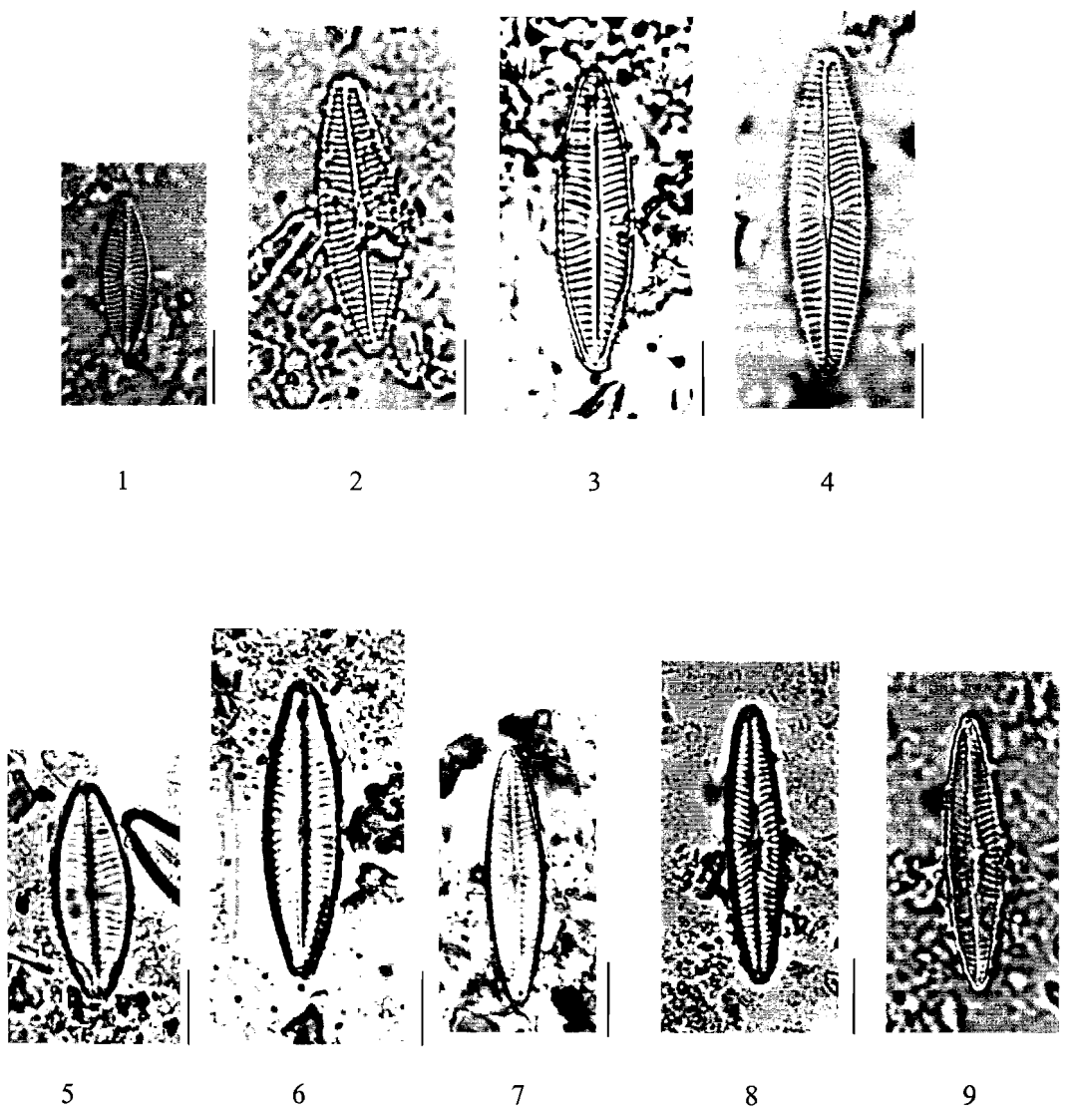
- 1)-2) *Neidium cf. dubium* (Ehrenberg) Cleve
- 3) *Neidium cf. affine* var. *humerus* Reimer
- 4) *Neidium* sp.1
- 5)-7) *Navicula microcari* Lange-Bertalot



ภาพที่ 57 ไดอะตومพื้นท้องน้ำในแม่น้ำโขงส่วนที่ไหลผ่านจังหวัดอุบลราชธานี

ระหว่างเดือนกุมภาพันธ์ 2550 ถึงเดือนมกราคม 2551

- 1) *Navicula germainii* Wallace
- 2) *Navicula heimansioides* Lange-Bertalot
- 3) *Navicula oppugnata* Hustedt
- 4) *Naviculadicta nanogomphonema* Lange-Bertalot & U.Rumrich
- 5) *Naviculadicta* sp.
- 6) *Navicula capitatoradiata* Germain
- 7) *Navicula notha* Wallace
- 8) *Navicula cryptotenella* Lange-Bertalot
- 9) *Navicula* sp.4
- 10) *Navicula upsaliensis* (Grunow) Peragallo

(scale bar = 10 μm)

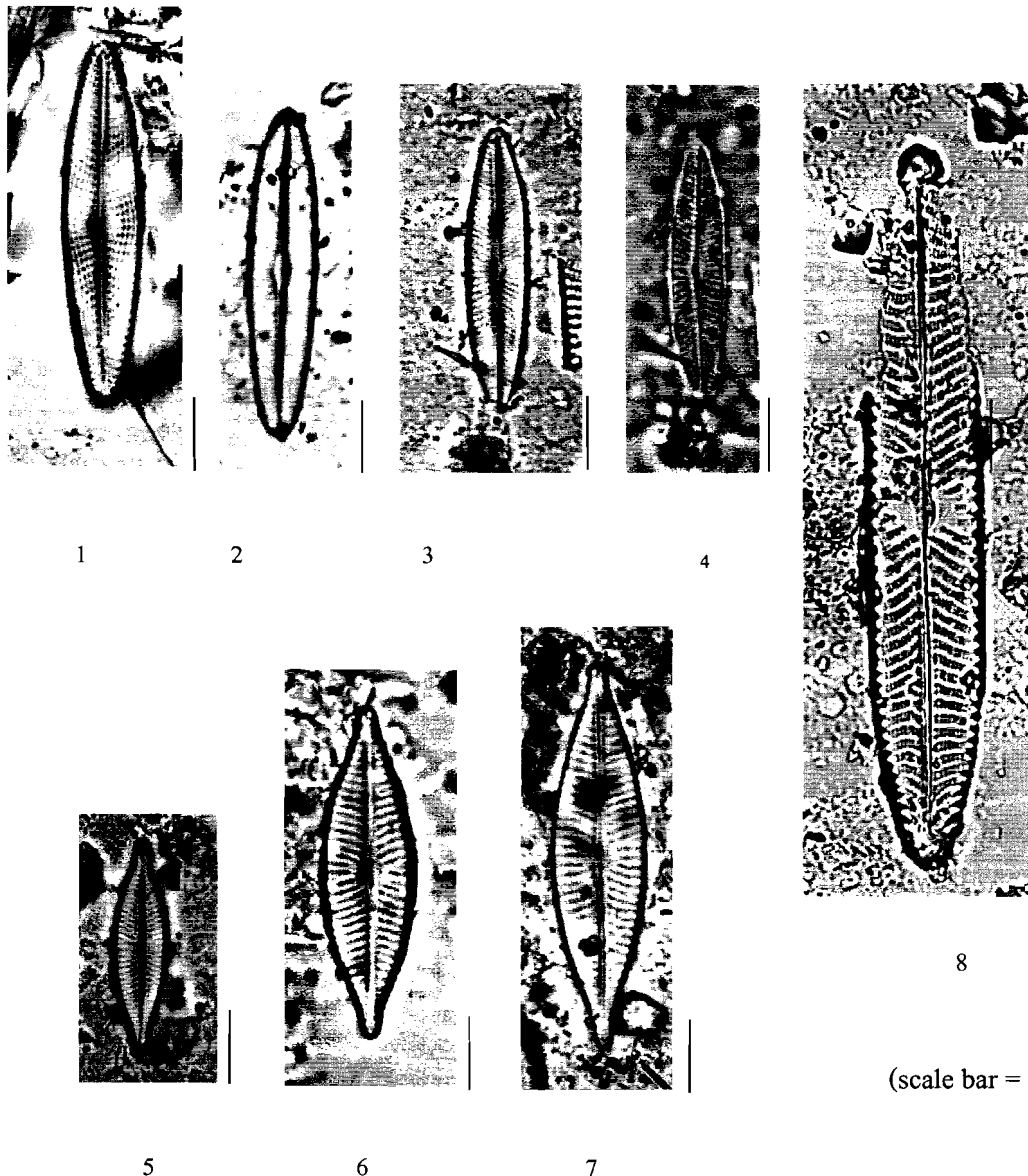
ภาพที่ 58 ไครอตอมพื้นท้องน้ำในแม่น้ำโขงส่วนที่ไหลผ่านจังหวัดอุบราชธานี

ระหว่างเดือนกุมภาพันธ์ 2550 ถึงเดือนมกราคม 2551

1) *Navicula cataractarheni* Lange-Bertalot

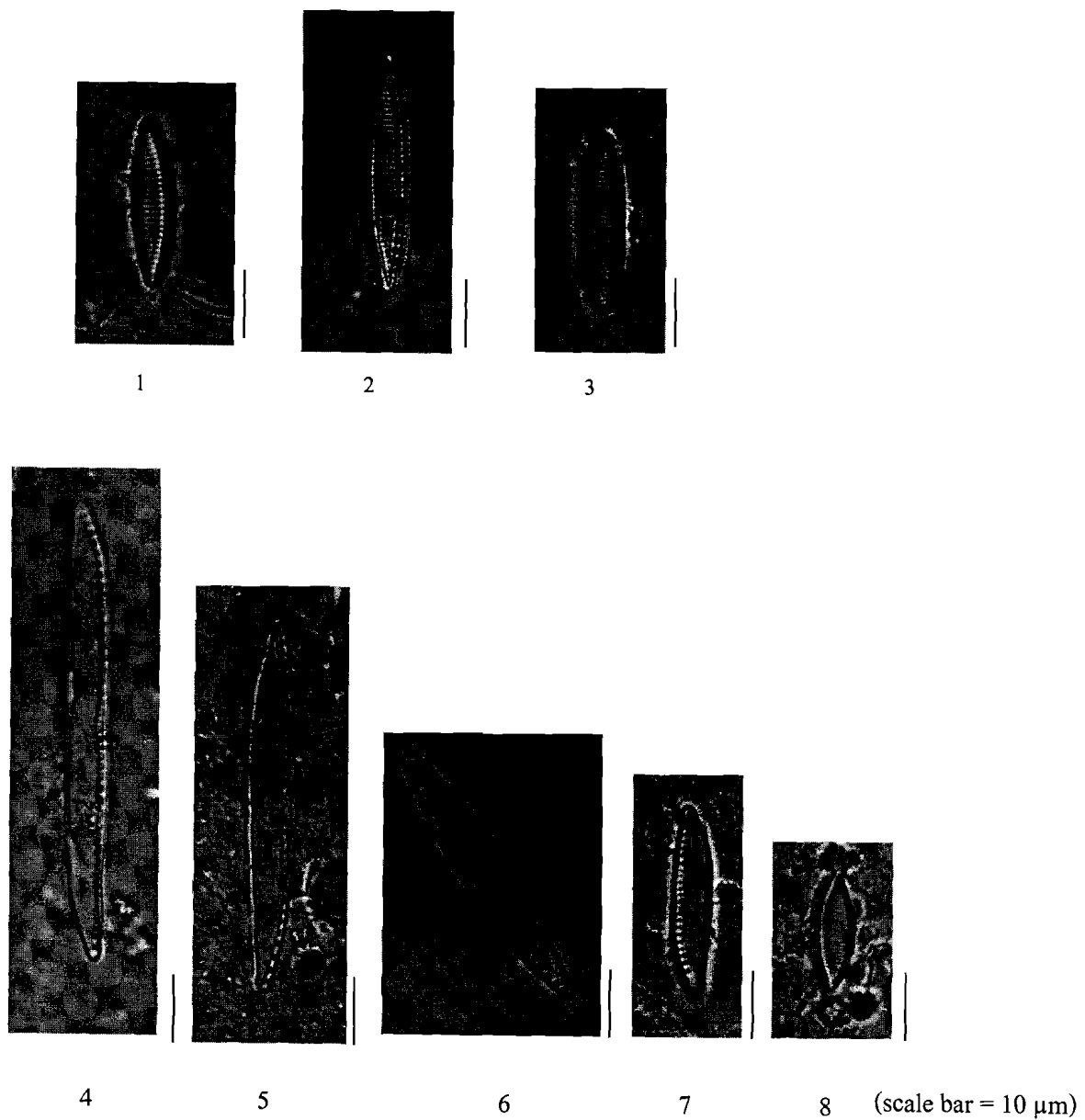
2)-6) *Navicula erifuga* Lange-Bertalot

7)-9) *Navicula cryptotenelloides* Lange-Bertalot



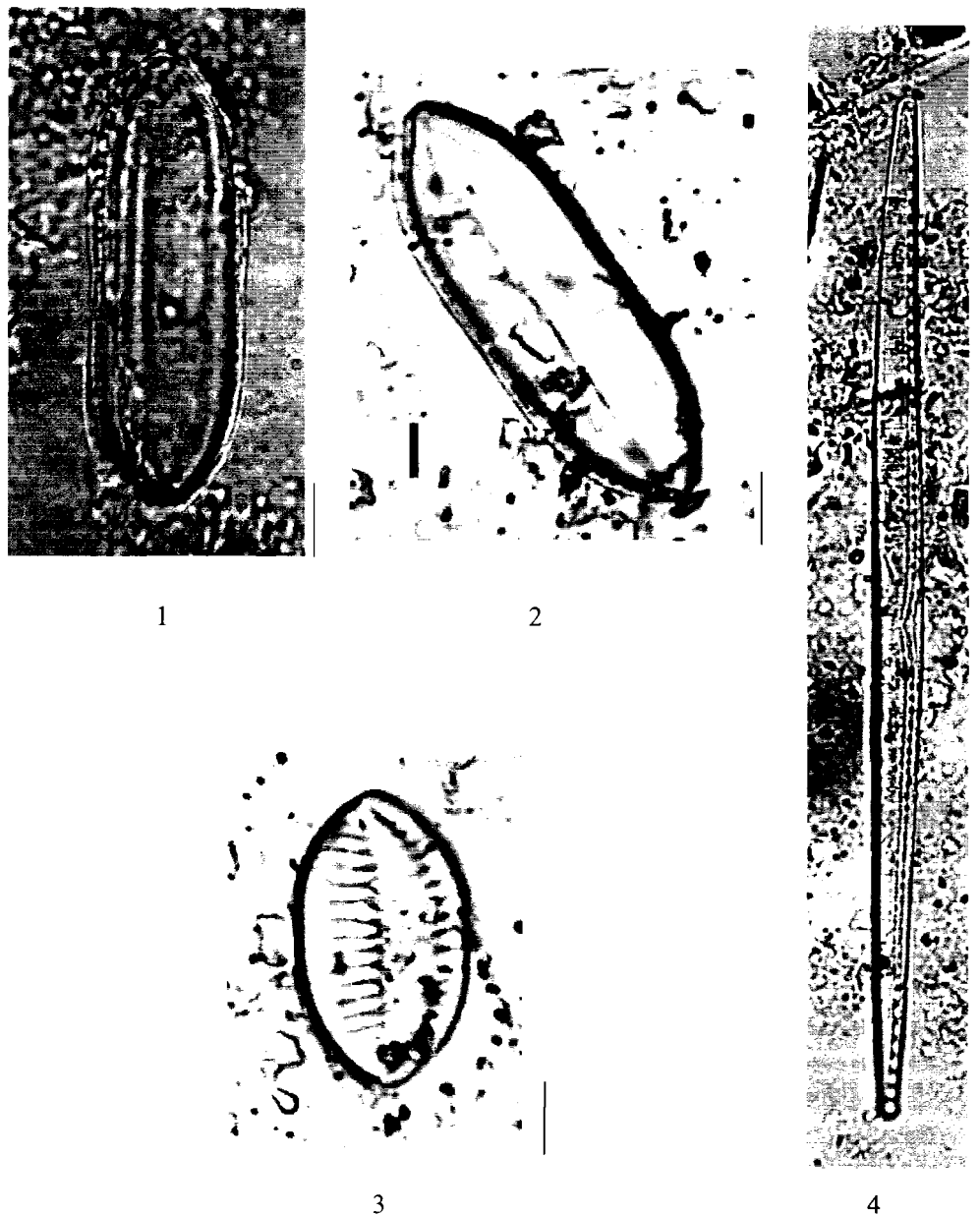
ภาพที่ 59 ไครอตอมพื้นท้องน้ำในแม่น้ำโขงส่วนที่ไหลผ่านจังหวัดอุบลราชธานี
ระหว่างเดือนกุมภาพันธ์ 2550 ถึงเดือนกรกฎาคม 2551

- 1) *Navicula escambia* (Patrick) Metzeltin & Lange-Bertalot
- 2)-4) *Navicula simulata* Manguin 5) *Navicula cryptocephala* Kützing
- 6)-7) *Navicula trivialis* Lange-Bertalot 8) *Navicula* sp.5



ภาพที่ 60 ไดอะตومพื้นท้องน้ำในแม่น้ำโขงส่วนที่ไหลผ่านจังหวัดอุบลราชธานี ระหว่างเดือนกุมภาพันธ์ 2550 ถึงเดือนมกราคม 2551

- 1)-3) *Nitzschia amphibia* Grunow
- 4)-7) *Nitzschia clausii* Hantzsch
- 8) *Nitzschia dealpina* Lange-Bertalot & Hofmann



(scale bar = 10 µm)

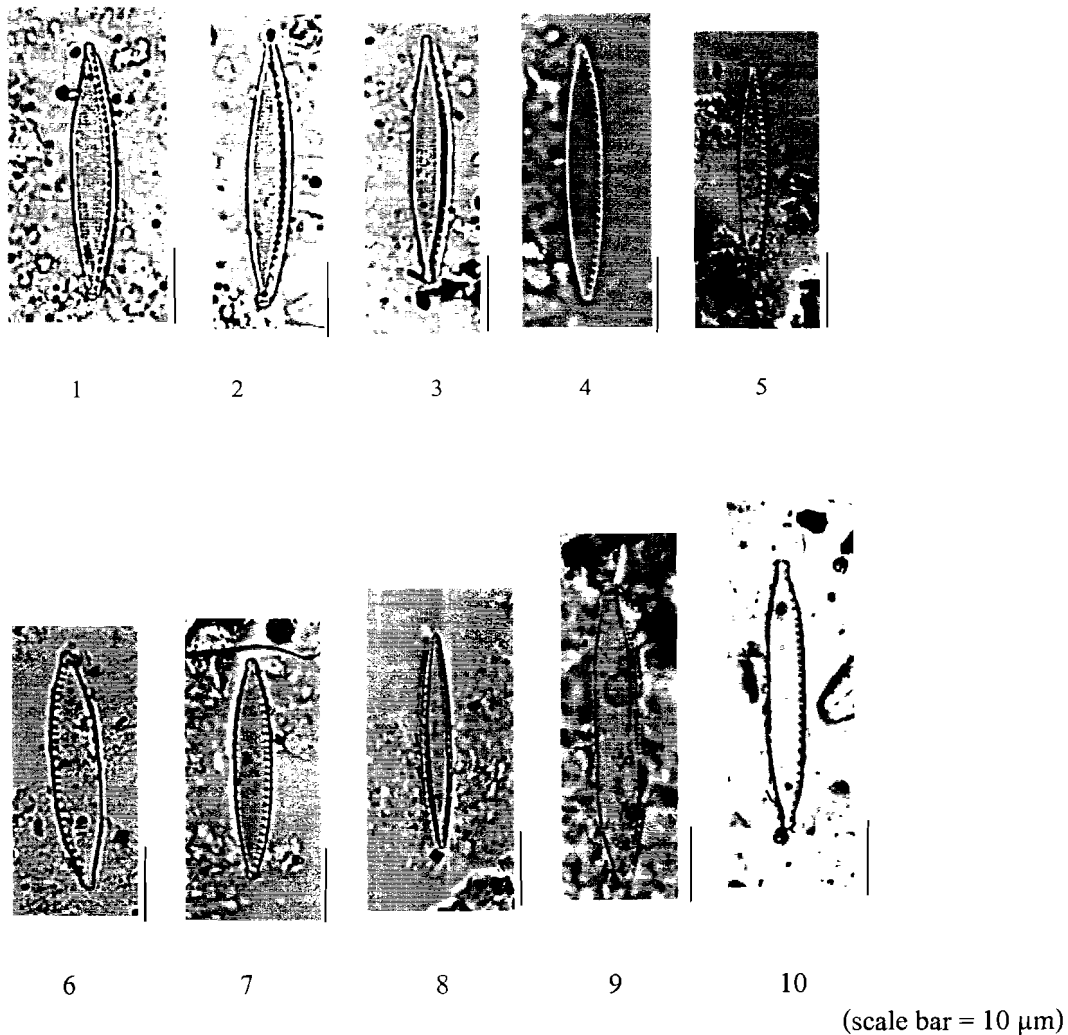
ภาพที่ 61 ไครอสตอมพื้นท้องน้ำในแม่น้ำโขงส่วนที่ไหลผ่านจังหวัดอุบลราชธานี

ระหว่างเดือนกุมภาพันธ์ 2550 ถึงเดือนกรกฎาคม 2551

1)-2) *Nitzschia litoralis* Grunow

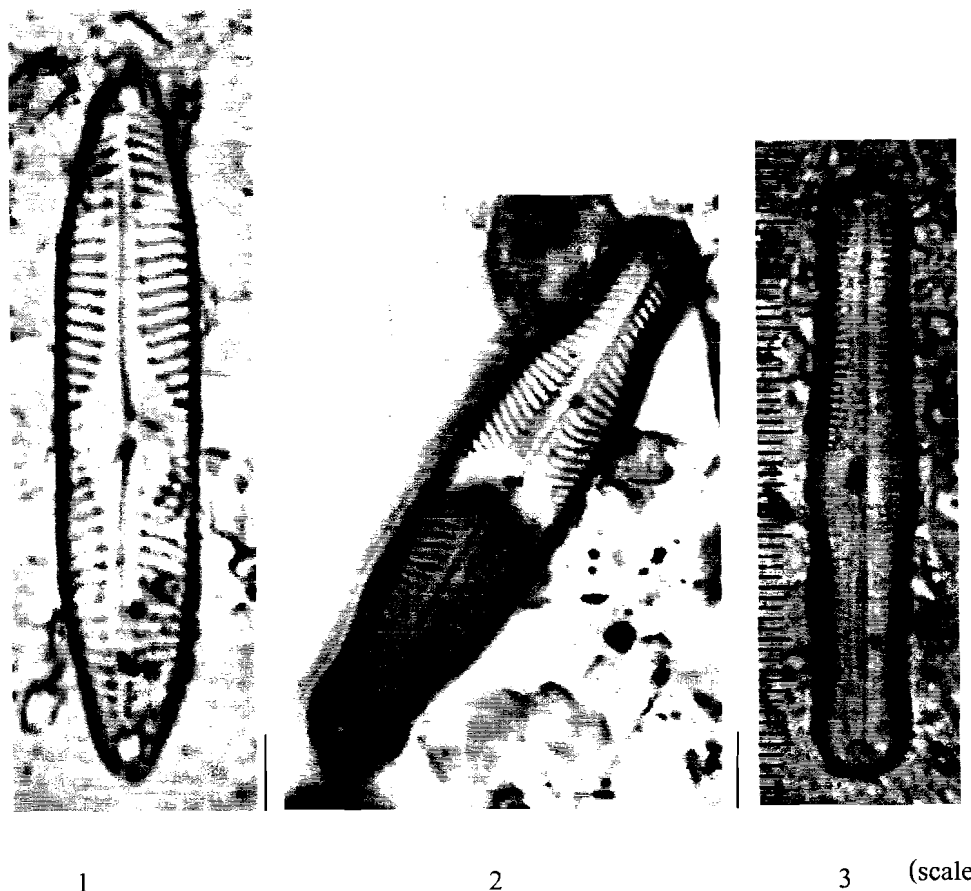
3) *Nitzschia levidensis* (W. Smith) Grunow

4) *Nitzschia scalpelliformis* Grunow



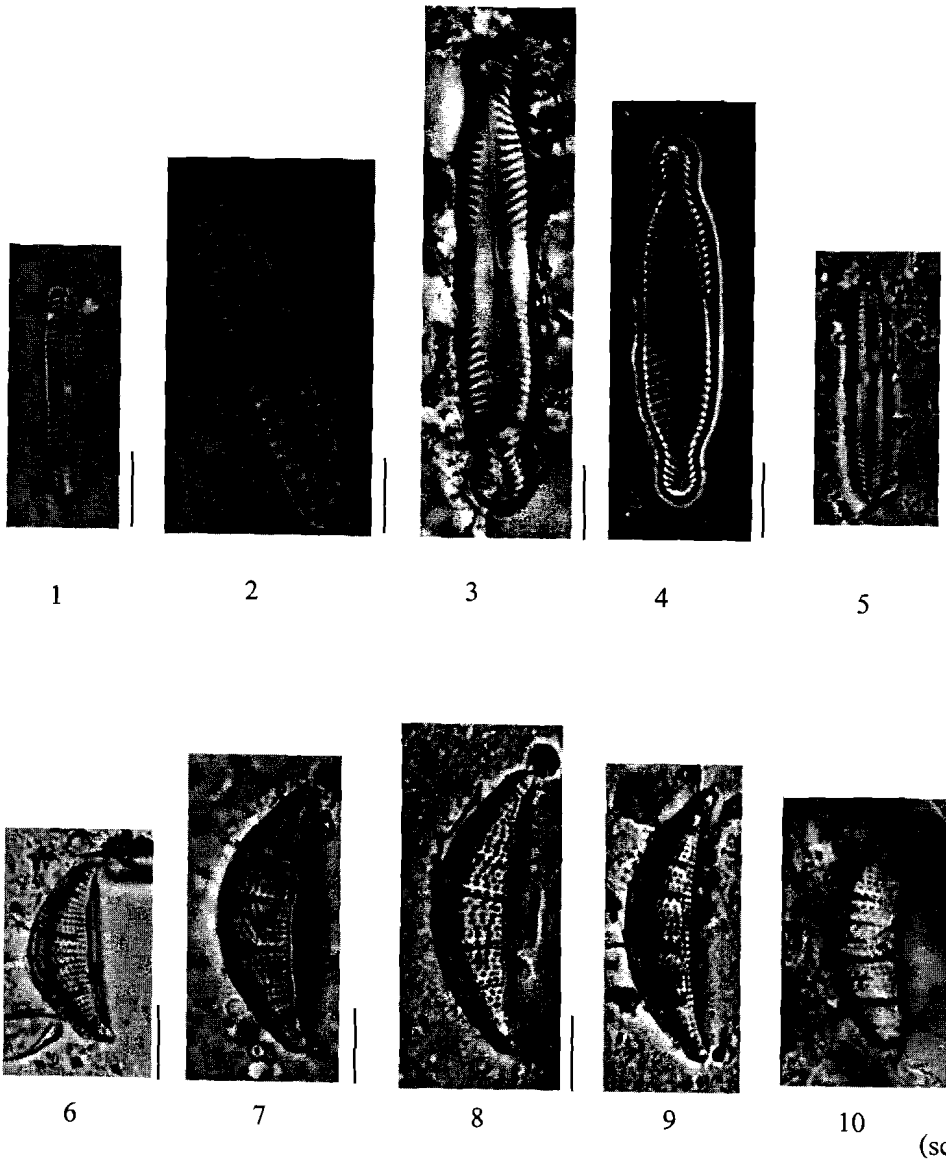
ภาพที่ 62 ไโคะตอมพื้นท้องน้ำในแม่น้ำโขงส่วนที่ไหลผ่านจังหวัดอุบลราชธานี
ระหว่างเดือนกุมภาพันธ์ 2550 ถึงเดือนกรกฎาคม 2551

1)-10) *Nitzschia palea* (Kützing) W. Smith



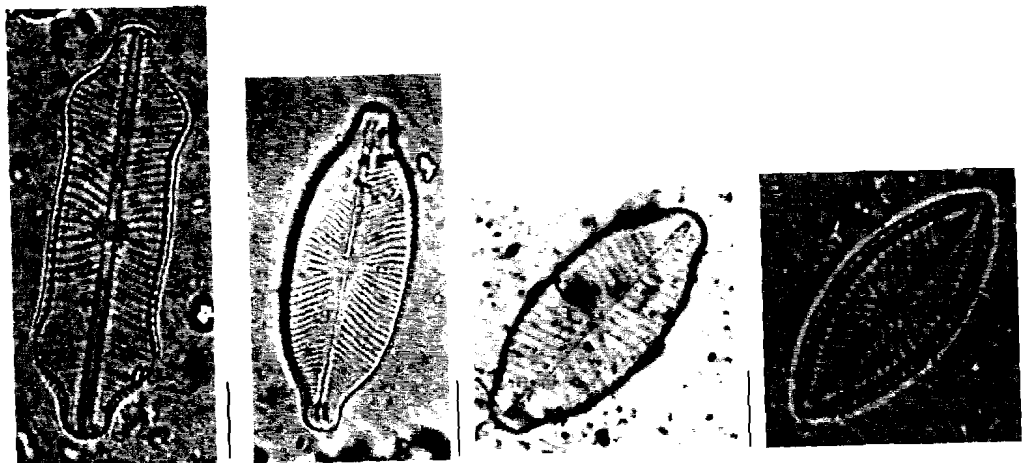
ภาพที่ 63 ไคลอสตอมพื้นท้องน้ำในแม่น้ำโขงส่วนที่ไหลผ่านจังหวัดอุบลราชธานี
ระหว่างเดือนกุมภาพันธ์ 2550 ถึงเดือนมกราคม 2551

- 1) *Pinnularia cf. microstauron* (Ehrenberg) Cleve
- 2) *Pinnularia cf. microstauron* var. *rostrata* Krammer
- 3) *Pinnularia acrosphaeria* W. Smith var. *acrosphaeria*



ภาพที่ 64 ไครอะตอนพื้นท้องน้ำในแม่น้ำโขงส่วนที่ไหลผ่านจังหวัดอุบราชธานี
ระหว่างเดือนกุมภาพันธ์ 2550 ถึงเดือนมกราคม 2551

- 1) *Pinnularia stricta* Hustedt 2) *Pinnularia schimanskii* Krammer
- 3) *Pinnularia grunowii* Krammer 4) *Pinnularia latarea* var. *thermophila*
Krammer 5) *Pinnularia divergentissima* (var. nov.) (Grunow) Cleve var. UBU-MK4
- 6) *Rhopalodia brebissonii* Krammer
- 7)-9) *Rhopalodia operculata* (C. Agardh) Hakansson
- 10) *Epithemia adnata* (Kützing) Brébisson

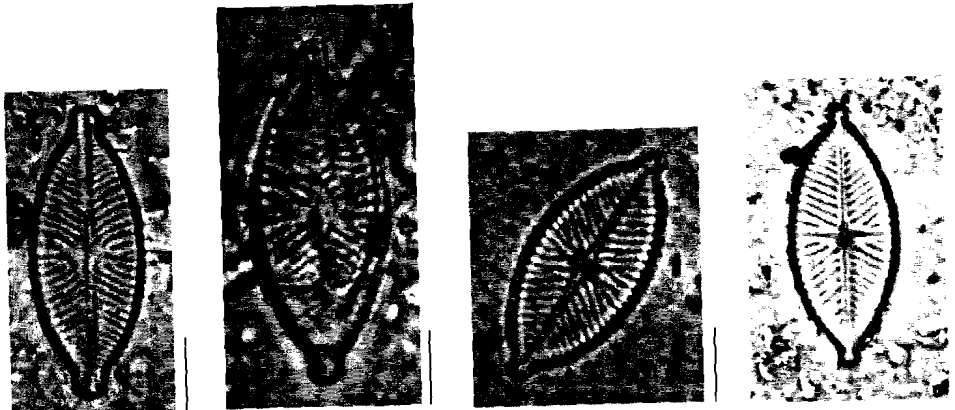


1

2

3

4



5

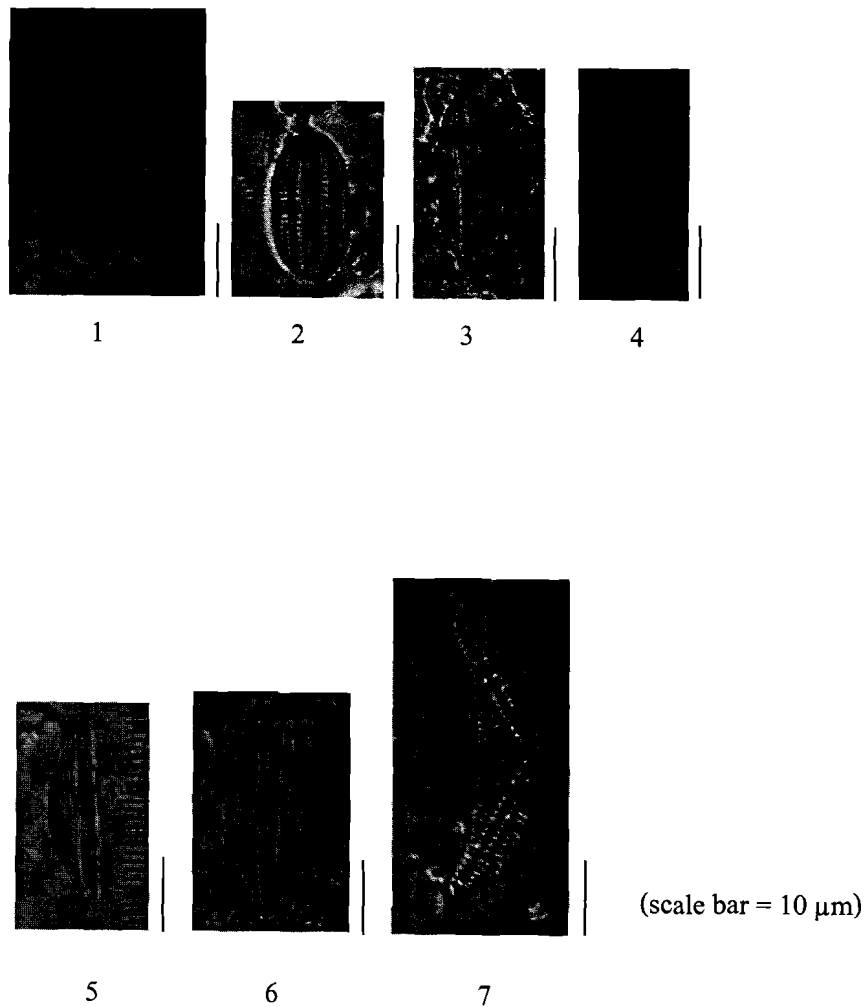
6

7

8 (scale bar = 10 μm)

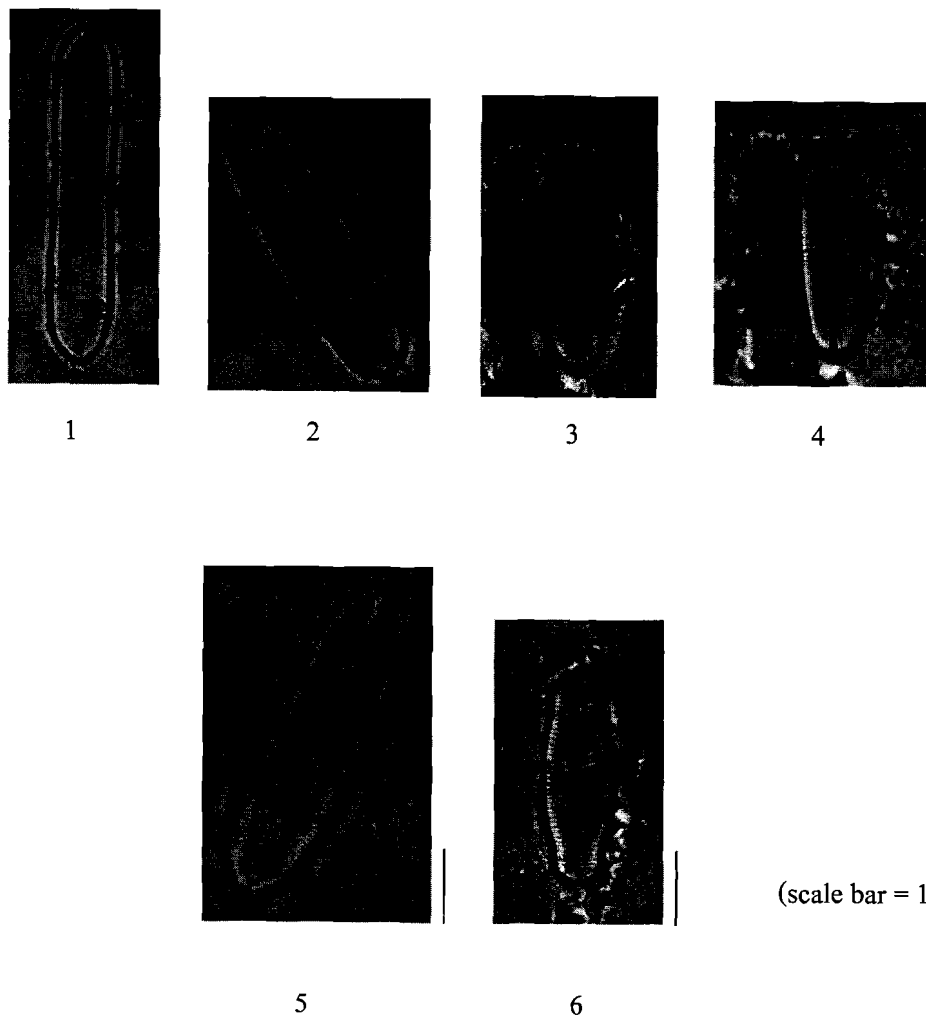
ภาพที่ 65 ไกอะตอนพื้นท้องน้ำในแม่น้ำโขงส่วนที่ไหลผ่านจังหวัดอุบลราชธานี ระหว่างเดือนกุมภาพันธ์ 2550 ถึงเดือนมกราคม 2551

- 1) *Placoneis* sp.1
- 2) *Placoneis placentula* (Ehrenberg) Heinzerling
- 3) *Placoneis gastrum* (Ehrenberg) Mereschkovsky
- 4) *Placoneis* sp.2
- 5) *Placoneis constans* (Hustedt) E.J.Cox
- 6)-8) *Placoneis constans* var. *symmetrica* (Grunow) Cox



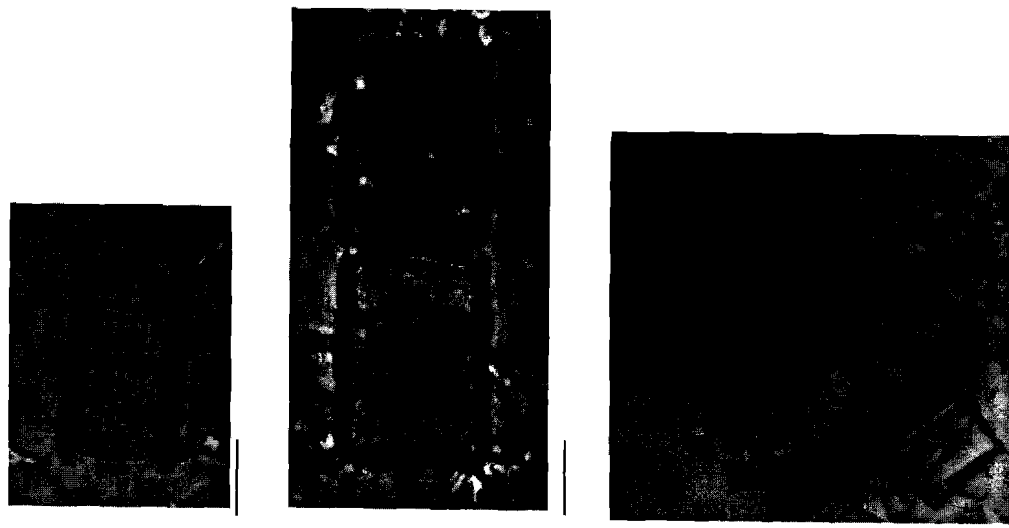
ภาพที่ 66 ไครอสตอนพื้นท้องน้ำในแม่น้ำโขงส่วนที่ไหลผ่านจังหวัดอุบลราชธานี ระหว่างเดือนกุมภาพันธ์ 2550 ถึงเดือนกรกฎาคม 2551

- 1) *Amphora montana* Krasske
- 2)-3) *Amphora inariensis* Krammer
- 4) *Amphora pediculus* (Kützing) Grunow
- 5)-6) *Seminavis strigosa* (Hustedt) Danieledis & Economou-Aneilli
- 7) *Epithemia cistula* (Ehrenberg) Ralfs



ภาพที่ 67 ไดอะตอมพื้นท้องน้ำในแม่น้ำโขงส่วนที่ไหลผ่านจังหวัดอุบลราชธานี ระหว่างเดือนกุมภาพันธ์ 2550 ถึงเดือนมกราคม 2551

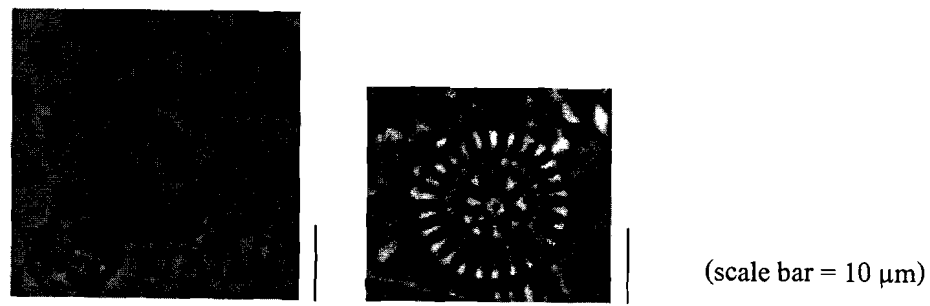
- 1) *Sellaphora cf. bisulcatum* (Ehrenberg) D.G.Mann
- 2)-4) *Sellaphora bacillum* (Ehrenberg) D. G. Mann
- 5) *Sellaphora (Navicula) chiangmainensis*
- 6) *Sellaphora pupula*(Kützing) Mereschkowsky



1

2

3



4

5

(scale bar = 10 μm)

ภาพที่ 68 ไครอะตอนพื้นท้องน้ำในแม่น้ำโขงส่วนที่ไหลผ่านจังหวัดอุบลราชธานี ระหว่างเดือนกุมภาพันธ์ 2550 ถึงเดือนมกราคม 2551

- 1) *Aulocoseira granulata* Ehrenberg Simonsen
- 2)-3) *Melosira varians* C. Agardh
- 4) *Cyclotella meneghiniana* Kützing
- 5) *Cyclotella stelligera* Cleve & Grunow



1

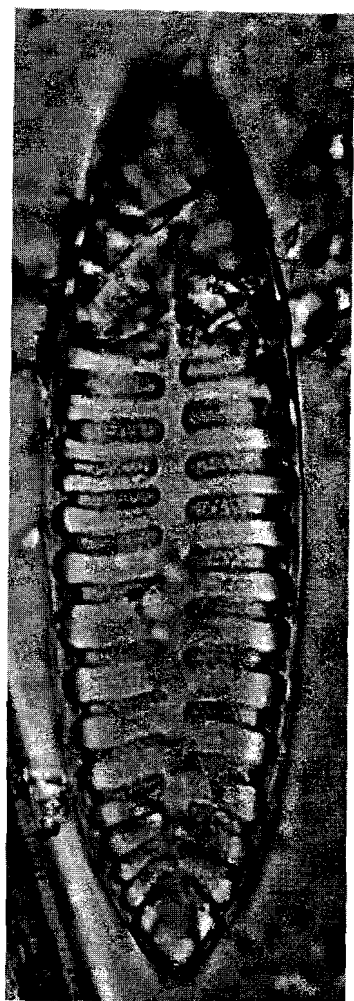
2

3

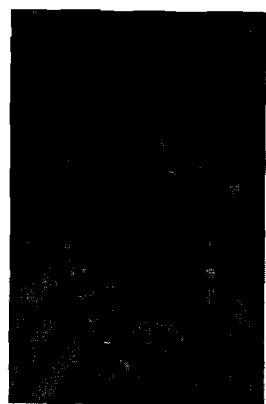
(scale bar = 10 μm)

ภาพที่ 69 ไดอะตومพื้นท้องน้ำในแม่น้ำโขงส่วนที่ไหลผ่านจังหวัดอุบราชธานี
ระหว่างเดือนกุมภาพันธ์ 2550 ถึงเดือนมกราคม 2551

- 1) *Surirella* sp.1
- 2) *Surirella* sp.2
- 3) *Surirella* sp.3



1



2

(scale bar = 10 µm)

ภาพที่ 70 ไคลอตอมพื้นท้องน้ำในแม่น้ำโขงส่วนที่ไหลผ่านจังหวัดอุบลราชธานี ระหว่างเดือนกุมภาพันธ์ 2550 ถึงเดือนมกราคม 2551

- 1) *Surirella splendida* (Ehrenberg) Kützing
- 2) *Surirella angusta* Kützing

4.3 ความหลากหลายของสาหร่ายขนาดใหญ่

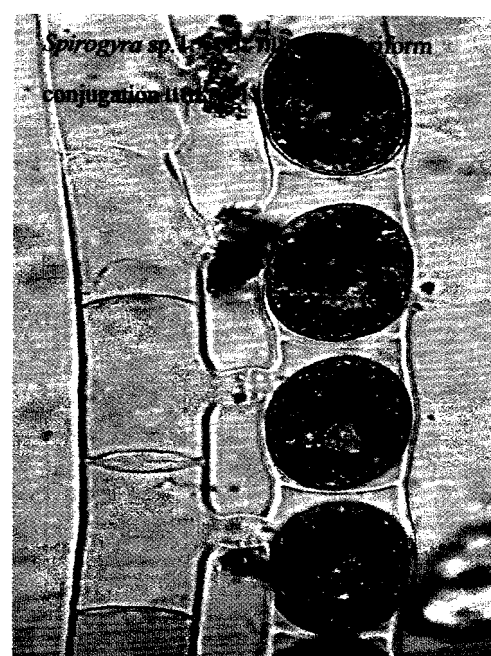
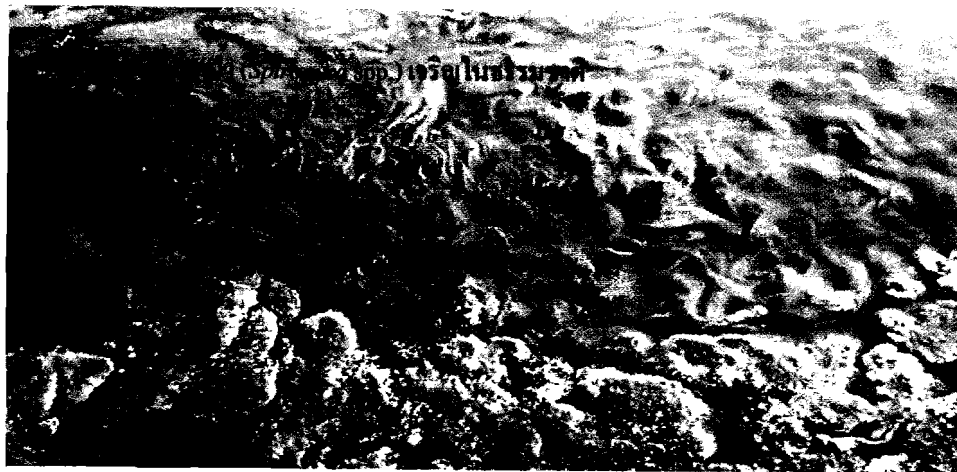
ผลการศึกษาความหลากหลายของสาหร่ายขนาดใหญ่ พบสาหร่ายขนาดใหญ่ 38 ชนิด ชนิดเด่น ได้แก่ *Spirogyra* sp.1 และ *Cladophora glomerata* Kützing รองลงมาคือ *Microspora pachyderma* (Wille) Lagerheim, *Spirogyra* sp.2, *Microspora* sp., *Oscillatoria princeps* Vaucher และ *Hydrodictyon* sp. ตามลำดับ การเจริญของสาหร่ายขนาดใหญ่ชนิดเด่นสามารถแบ่งได้เป็น 3 กลุ่มหลักตามลำดับการเจริญที่เด่นชัดในแหล่งน้ำได้ดังนี้ (ภาพที่ 71-94 และ ตารางที่ 14)

กลุ่มที่ 1 สาหร่ายแท้น้ำ ประกอบด้วย *Spirogyra* sp.1 และ *Spirogyra* sp.2 มีการเจริญได้ดีในดั抠หน้า เดือนที่เริ่มสังเกตเห็นการเจริญเติบโตในลักษณะเด่นสายสัน្តิ คือเดือนตุลาคมเมื่อปริมาณฝนเริ่มน้อยลง และเข้าสู่ช่วงต้นดั抠หน้า และจะมีการเจริญเพิ่มมากขึ้นเรื่อยๆ จนมีการเจริญสูงสุดในเดือนกุมภาพันธ์ ต่อมาในเดือนมีนาคม *Spirogyra* spp. จะค่อยๆ ลดจำนวนลง และในเดือนมีนาคมนี้จะเริ่มสังเกตเห็นสาหร่ายขนาดใหญ่กลุ่มที่เจริญเด่นมากกว่าเท่าน้ำเกิดขึ้นแทนที่

กลุ่มที่ 2 สาหร่ายไกและสาหร่ายตาข่ายน้ำ ประกอบด้วย *Cladophora glomerata* Kützing, *Microspora pachyderma* (Wille) Lagerheim, *Microspora* sp.1 และ *Hydrodictyon* sp. สาหร่ายกลุ่มนี้จะมีการเจริญขึ้นมาแทนที่สาหร่ายกลุ่มที่ 1 ในช่วงต้นดั抠หน้าแต่ยังไม่สามารถสังเกตได้ชัดเจนด้วยตาเปล่า แต่เมื่อ命名มาศึกษาภายใต้กล้องจุลทรรศน์พบว่ามีการเจริญปะปนกับสาหร่ายกลุ่มที่ 1 ได้ดังนี้แต่ในช่วงต้นดั抠ฝน แต่ยังมีการเจริญไม่มาก เมื่อสาหร่ายกลุ่มที่ 1 เริ่มตายลง ไปในช่วงเดือนกุมภาพันธ์และเดือนมีนาคมซึ่งพบว่าในเดือนกุมภาพันธ์นี้สารห่ายกลุ่มที่ 2 มีการเจริญแทนที่สาหร่ายกลุ่มที่ 1 และเจริญเป็นสาหร่ายกลุ่มที่เด่นมากกว่าสาหร่ายกลุ่มที่ 1 และสาหร่ายกลุ่มที่ 2 จะเจริญสูงสุดในเดือนมีนาคม ต่อมาเมื่อเข้าสู่เดือนเมษายนสาหร่ายกลุ่มที่ 2 จะเริ่มตายลง

กลุ่มที่ 3 สาหร่ายสีเขียวแกมน้ำเงิน ประกอบด้วย *Oscillatoria princeps* Vaucher จะมีการเจริญแทนที่สาหร่ายกลุ่มที่ 1 และกลุ่มที่ 2 โดยพบว่า *O. princeps* Vaucher จะมีการเจริญอย่างเด่นชัดและเป็นสาหร่ายชนิดเด่นในเดือนเมษายน และพฤษภาคม โดยจะมีการเจริญบนซากของสาหร่ายขนาดใหญ่กลุ่มที่ 1 และ 2 ที่ทับถมอยู่ทับริเวณพื้นท้องน้ำ ซึ่งจะสามารถสังเกตเห็นสาหร่ายกลุ่มนี้ชัดเจนเมื่อพื้นท้องน้ำถูกกรองกวน เช่น การเดินเก็บตัวอย่างหรือการลากอวนของชาวประมง เป็นต้น

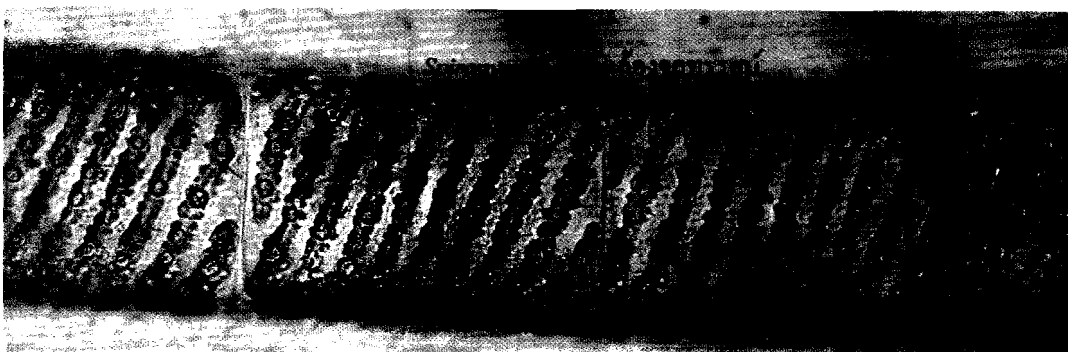
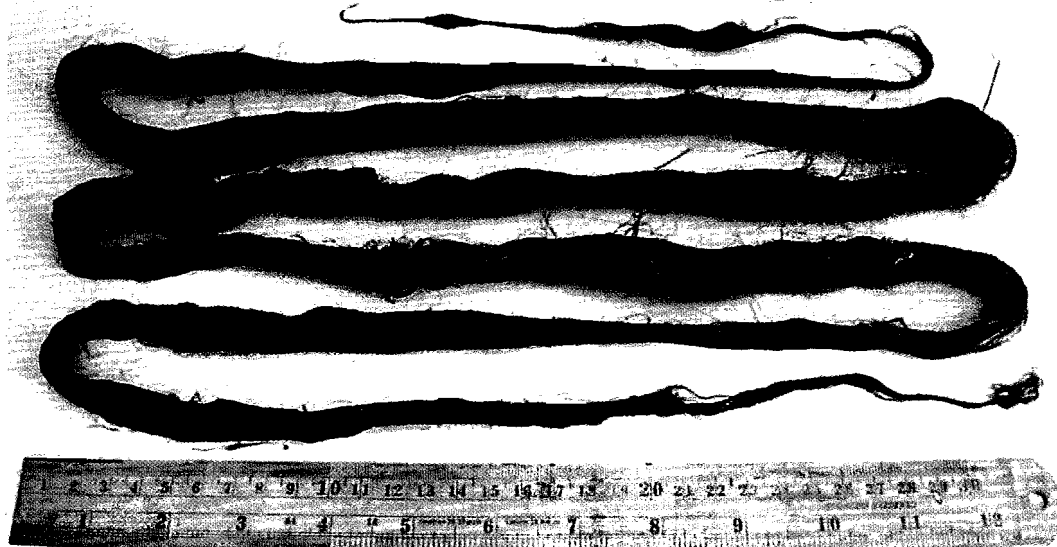
ตารางที่ 14 สาหร่ายขนาดใหญ่ชนิดเด่นที่พบในแม่น้ำโขงส่วนที่ไหลผ่านจังหวัดอุบลราชธานี ระหว่างเดือนกุมภาพันธ์ 2550 ถึงเดือนกรกฎาคม 2551



(scale bar = 50 μ m)

ภาพที่ 71 สาหร่ายขนาดใหญ่ชนิดเด่นที่พบในแม่น้ำโขงส่วนที่ไหลผ่านจังหวัดอุบลราชธานี ระหว่างเดือนกุมภาพันธ์ 2550 ถึงเดือนมกราคม 2551

สาหร่ายเขาน้ำ (*Spirogyra spp.*) เส้นสายที่เห็นได้ด้วยตาเปล่า



(scale bar = 50μm)

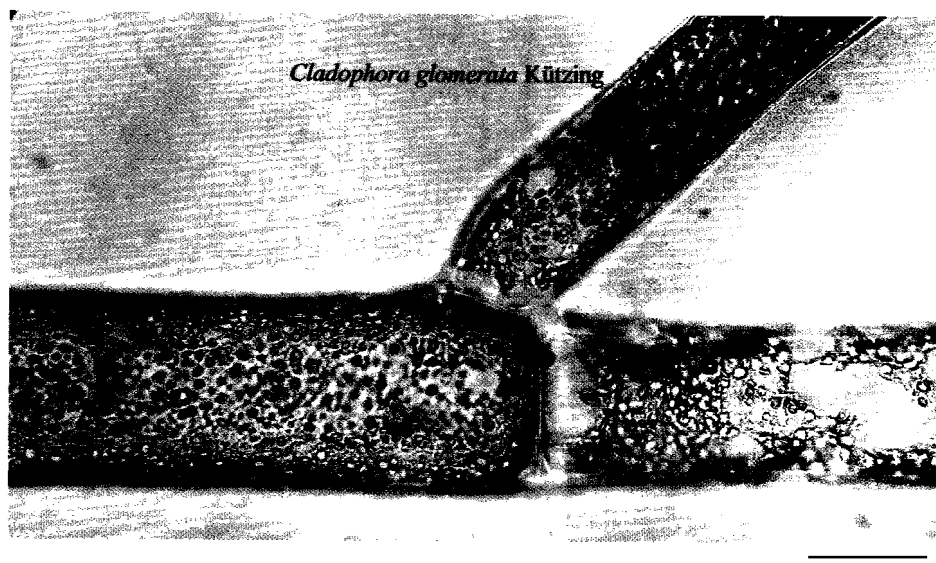
ภาพที่ 72 สาหร่ายขนาดใหญ่ชนิดเด่นที่พบในแม่น้ำโขงส่วนที่ไหลผ่านจังหวัดอุบลราชธานี
ระหว่างเดือนกุมภาพันธ์ 2550 ถึงเดือนกรกฎาคม 2551

สาหร่ายไก : *Cladophora glomerata* Kützing และ *Microopora pachyderma* (Wille)
 Lagerheim เส้นสายที่เห็นได้ชัดๆตามปลี



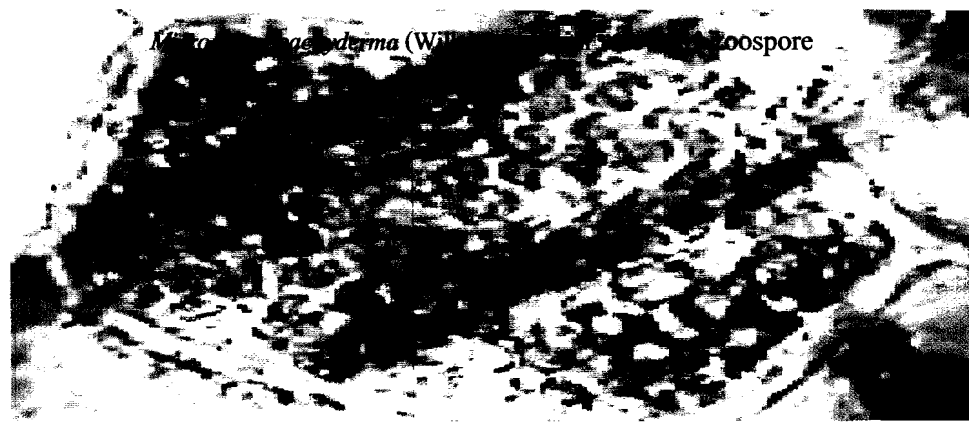
(scale bar = 100µm)

ภาพที่ 73 สาหร่ายขนาดใหญ่ชนิดคุณที่พบในแม่น้ำโขงส่วนที่ไหลผ่านจังหวัดอุบราชธานี ระหว่างเดือน
 กุมภาพันธ์ 2550 ถึงเดือนมกราคม 2551



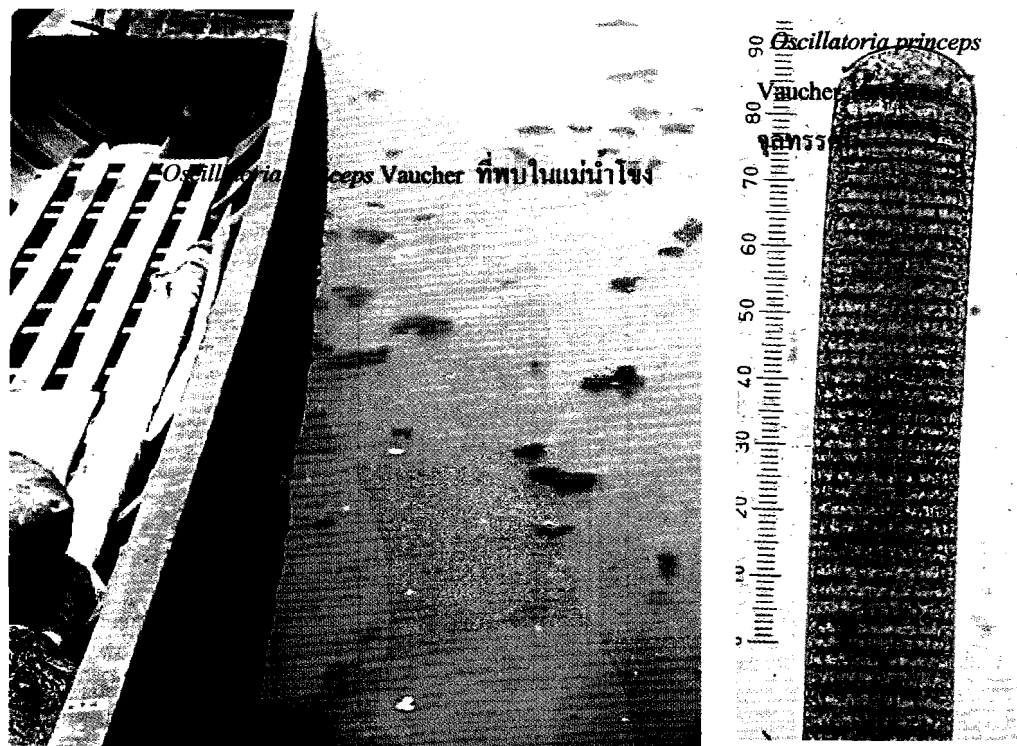
(scale bar = 50 μ m)

ภาพที่ 74 *Cladophora glomerata* Kützing ที่พบในแม่น้ำโขงส่วนที่ไหลผ่านจังหวัดอุบลราชธานี ระหว่างเดือนกุมภาพันธ์ 2550 ถึงเดือนกรกฎาคม 2551

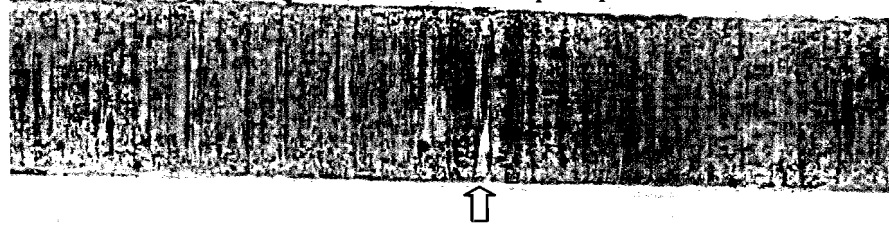


(scale bar = 50μm)

ภาพที่ 75 สาหร่ายขนาดใหญ่ชนิดเด่นที่พบในแม่น้ำโขงส่วนที่ไหลผ่านจังหวัดอุบลราชธานี
ระหว่างเดือนกุมภาพันธ์ 2550 ถึงเดือนมกราคม 2551

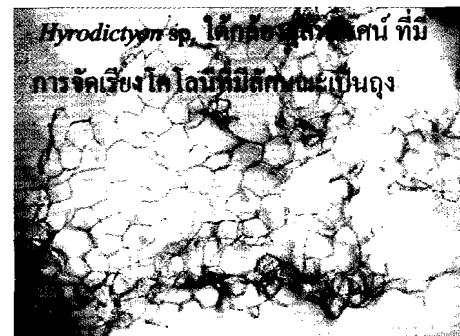


separation disc (ลูกศรชี้) ของ *Oscillatoria princeps* Vaucher

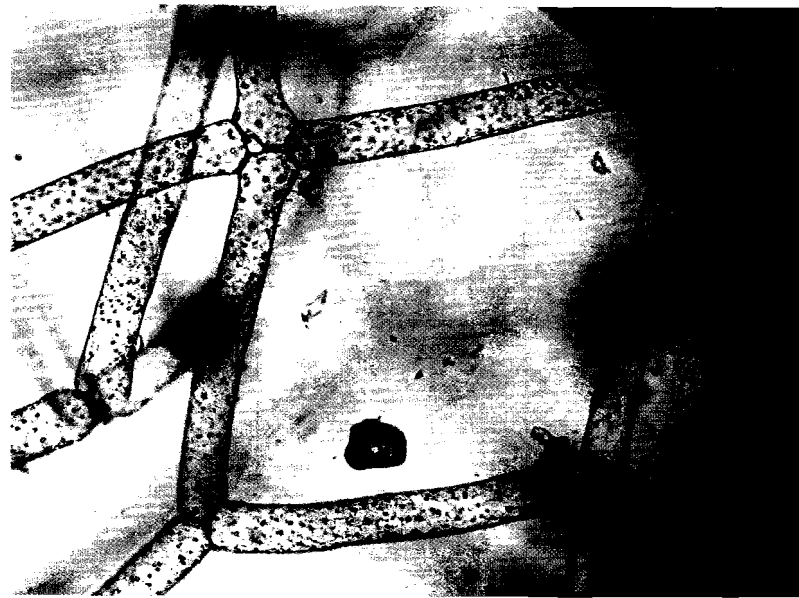
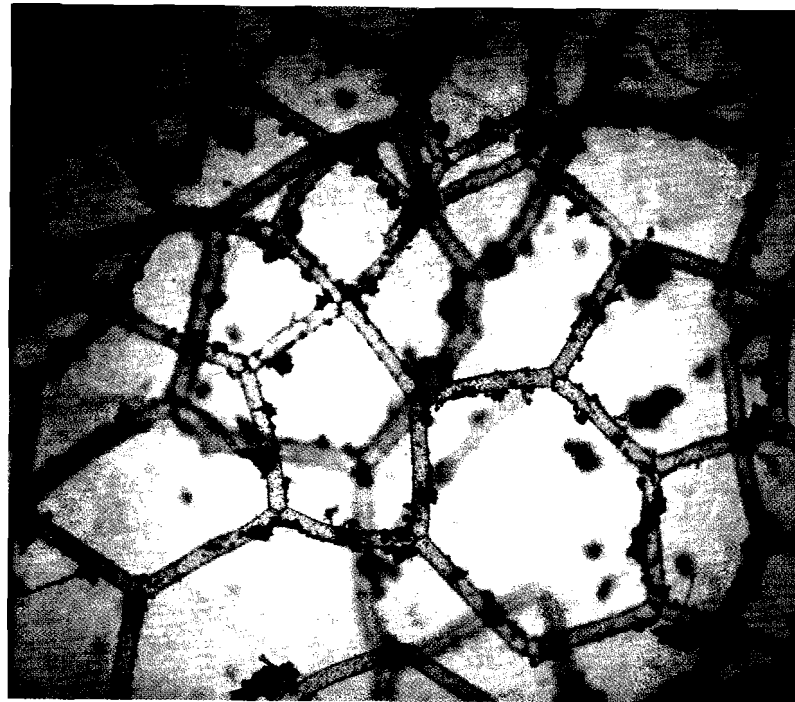


(scale bar = 50μm)

ภาพที่ 76 สาหร่ายขนาดใหญ่ชนิดเด่นที่พบในแม่น้ำโขงส่วนที่ไหลผ่านจังหวัดอุบลราชธานี
ระหว่างเดือนกุมภาพันธ์ 2550 ถึงเดือนมกราคม 2551



ภาพที่ 77 สาหร่ายขนาดใหญ่ชนิดเด่นที่พบในแม่น้ำโขงส่วนที่ไหลผ่านจังหวัดอุบลราชธานีระหว่างเดือนกุมภาพันธ์ 2550 ถึงเดือนมกราคม 2551



(scale bar = 50μm)

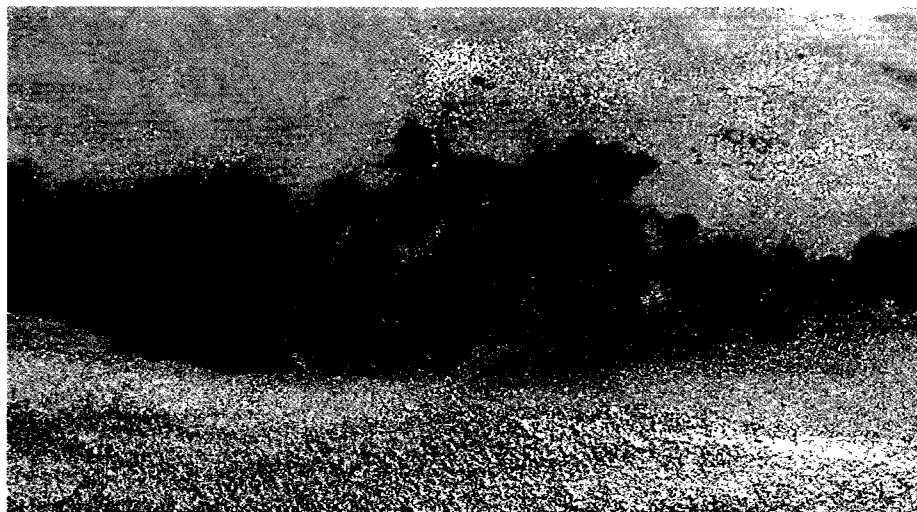
ภาพที่ 78 *Hyrdictyon* sp. ใต้กล้องจุลทรรศน์ที่พูนในแม่น้ำโขงส่วนที่ไหลผ่านจังหวัดอุบลราชธานี ระหว่างเดือนกุมภาพันธ์ 2550 ถึงเดือนมกราคม 2551



ภาพที่ 79 สาหร่ายขนาดใหญ่ *Spirogyra* spp., *Cladophora glomerata* Kützing และ *Microspora* spp. ที่พบในเดือนกุมภาพันธ์ 2550 จุดเก็บตัวอย่างที่ 2 ในแม่น้ำโขงส่วนที่ไหลผ่านจังหวัดอุบลราชธานี



ภาพที่ 80 สาหร่ายขนาดใหญ่ *Cladophora glomerata* Kützing และ *Microspora* spp. ที่พบในเดือน กุมภาพันธ์ 2550 จุดเก็บตัวอย่างที่ 4 ในแม่น้ำโขงส่วนที่ไหลผ่านจังหวัดอุบลราชธานี



ภาพที่ 81 สาหร่ายขนาดใหญ่ *Cladophora glomerata* Kützing และ *Microspora* spp. ที่พบริบในเดือนกุมภาพันธ์ 2550 จุดเก็บตัวอย่างที่ 6 ในแม่น้ำโขงส่วนที่ไหลผ่านจังหวัดอุบลราชธานี



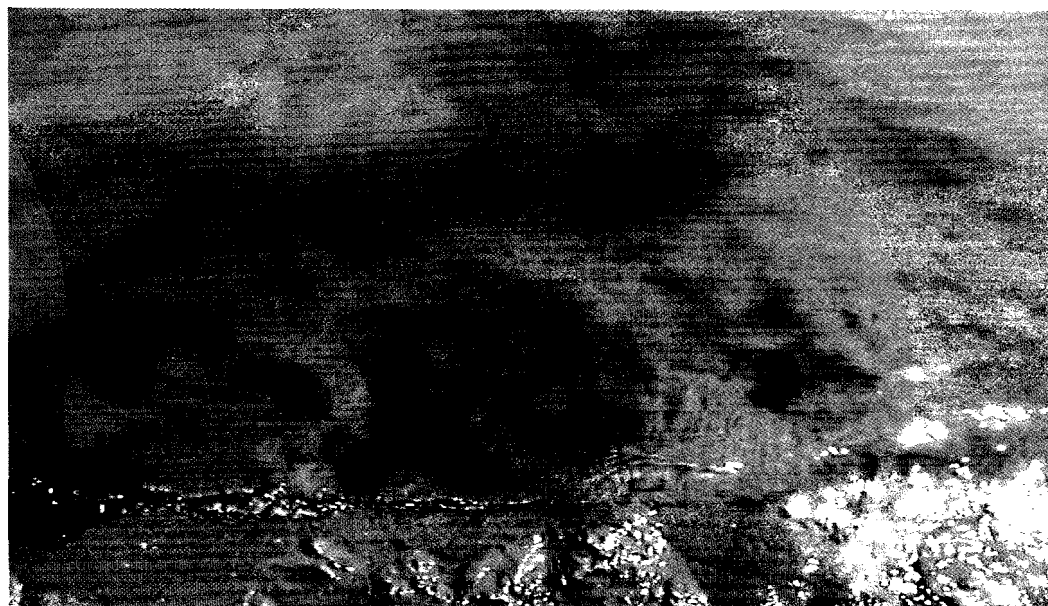
ภาพที่ 82 สาหร่ายໄກ ขณะเริ่มเกิดการเจริญแทนที่สาหร่ายเทาน้ำในเดือนกุมภาพันธ์ 2550 จุดเก็บตัวอย่างที่ 6 ในแม่น้ำโขงส่วนที่ไหลผ่านจังหวัดอุบลราชธานี



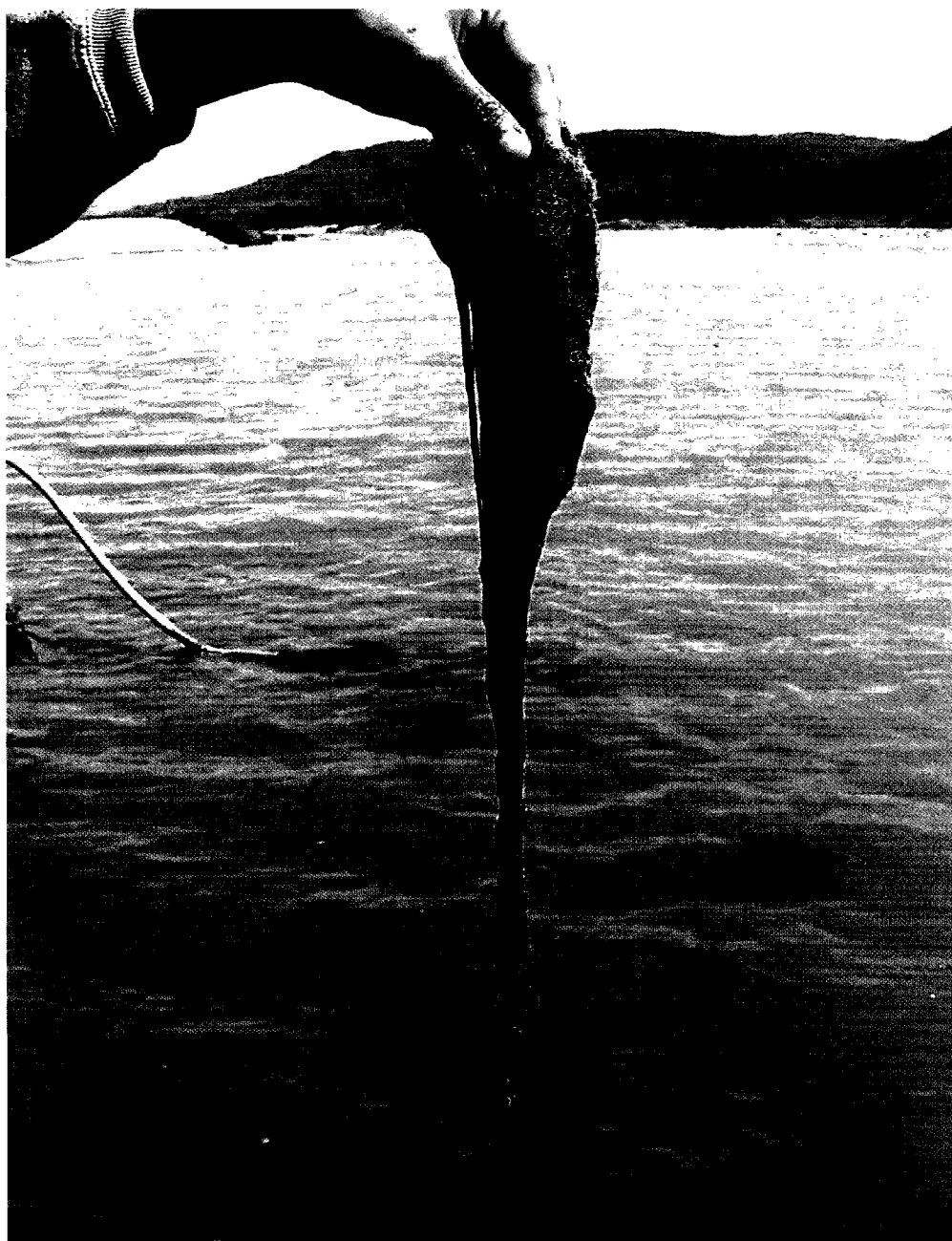
ภาพที่ 83 สาหร่ายໄກ ขณะเริ่มเกิดการเจริญเต้นที่สาหร่ายเทาน้ำในเดือนกุมภาพันธ์ 2550
จุดเก็บตัวอย่างที่ 6 ในแม่น้ำโขงส่วนที่ไหลผ่านจังหวัดอุบลราชธานี



ภาพที่ 84 สาหร่ายขนาดใหญ่ *Spirogyra* spp. ที่พบในเดือนกุมภาพันธ์ 2550 จุดเก็บตัวอย่างที่ 6 ในแม่น้ำโขงส่วนที่ไหลผ่านจังหวัดอุบลราชธานี



ภาพที่ 85 สาหร่ายขนาดใหญ่ *Cladophora glomerata* Kützing และ *Microspora* spp. ที่พบในเดือนกุมภาพันธ์ 2550 จุดเก็บตัวอย่างที่ 8 ในแม่น้ำโขงส่วนที่ไหลผ่านจังหวัดอุบลราชธานี



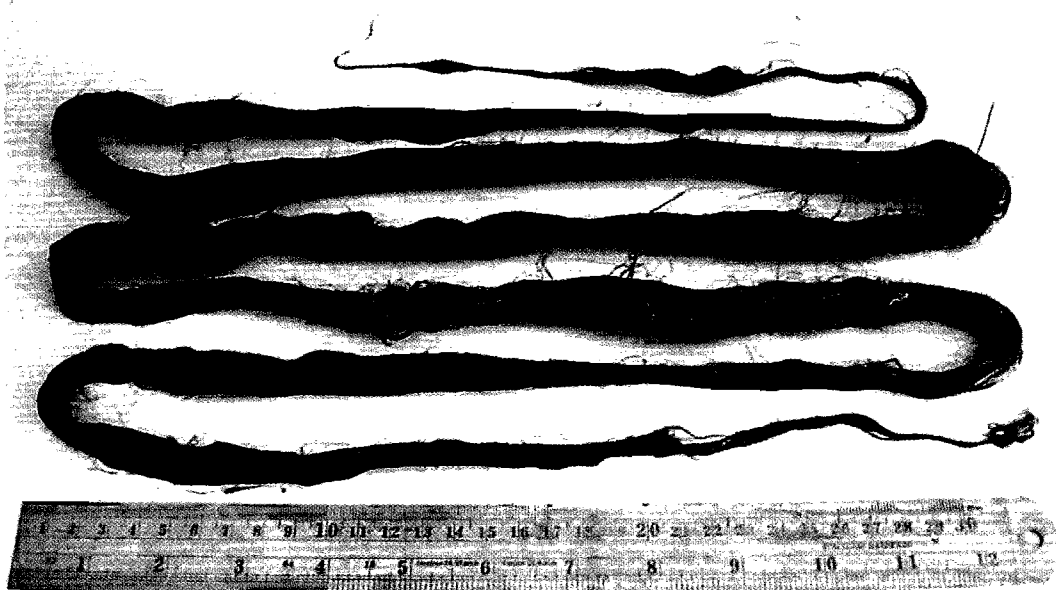
ภาพที่ 86 สาหร่ายขนาดใหญ่ *Cladophora glomerata* Kützing และ *Microspora* spp. ที่พบในเดือนกุมภาพันธ์ 2550 จุดเก็บตัวอย่างที่ 7 ในแม่น้ำโขงส่วนที่ไหลผ่านจังหวัดอุบราชธานี



ภาพที่ 87 สาหร่ายขนาดใหญ่ *Cladophora glomerata* Kützing และ *Microspora* spp. ที่พบในเดือนกุมภาพันธ์ 2550 จุดเก็บตัวอย่างที่ 9 ในแม่น้ำโขงส่วนที่ไหลผ่านจังหวัดอุบราชธานี

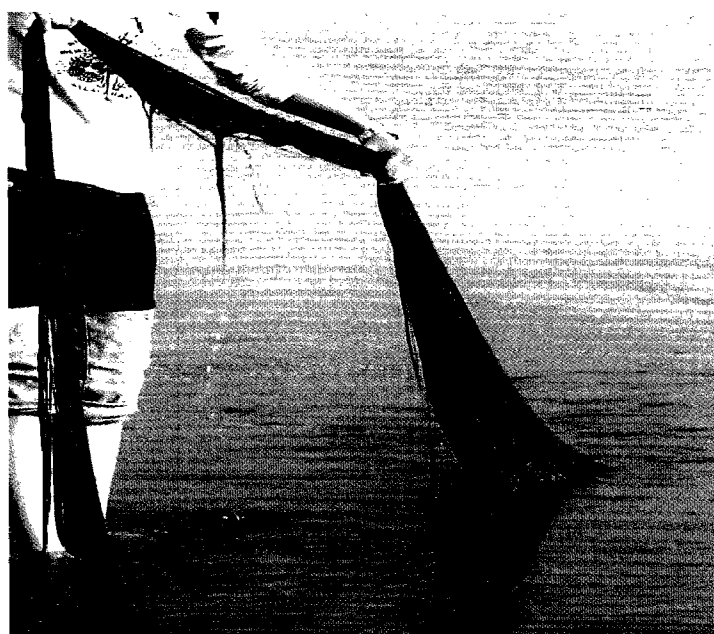


ภาพที่ 88 สาหร่ายขนาดใหญ่ *Cladophora glomerata* Kützing และ *Microspora* spp. ที่พบในเดือนมีนาคม 2550 จุดเก็บตัวอย่างที่ 4 ในแม่น้ำโขงส่วนที่ไหลผ่านจังหวัดอุบราชธานี



ภาพที่ 89 *Spirogyra* spp. ที่พบในแม่น้ำโขงส่วนที่ไหลผ่านจังหวัดอุบลราชธานี ในเดือนมีนาคม

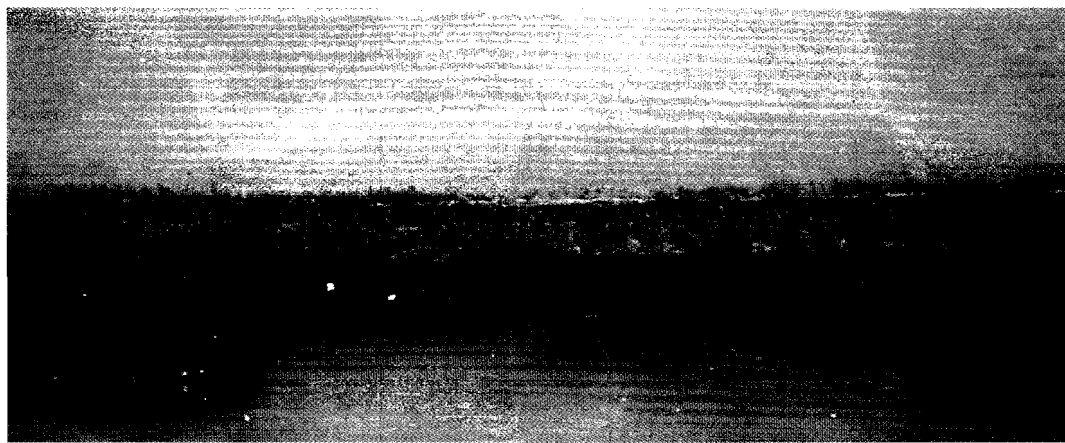
2550



ภาพที่ 90 สาหร่ายขนาดใหญ่ *Cladophora glomerata* Kützing และ *Microspora* spp. ที่พบในเดือนมีนาคม 2550 จุดเก็บตัวอย่างที่ 7 ในแม่น้ำโขงส่วนที่ไหลผ่านจังหวัดอุบลราชธานี



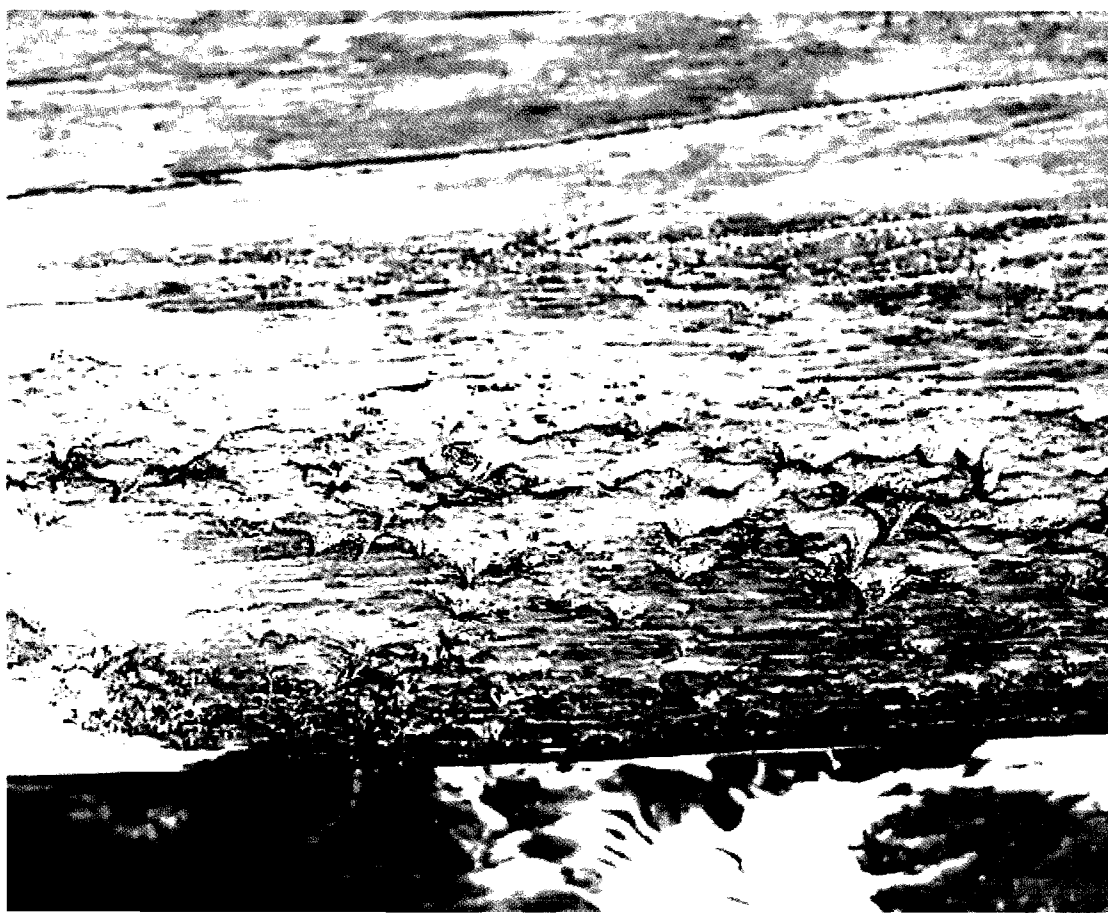
ภาพที่ 91 สาหร่ายนาคใหญ่ *Oscillatoria princeps* Vaucher ที่พบในเดือนเมษายน 2550 จุดเก็บตัวอย่างที่ 6 ในแม่น้ำโขงส่วนที่ไหลผ่านจังหวัดอุบลราชธานี



ภาพที่ 92 สาหร่ายนาคใหญ่ *Cladophora glomerata* Kützing, *Microspora* spp. และ *Oscillatoria princeps* Vaucher ที่พบในเดือนเมษายน 2550 จุดเก็บตัวอย่างที่ 6 ในแม่น้ำโขงส่วนที่ไหลผ่านจังหวัดอุบลราชธานี



ภาพที่ 93 สาหร่ายขนาดใหญ่ *Cladophora glomerata* Kützing และ *Microspora* spp. ที่เจริญลดลง และเริ่มตาย บริเวณพื้นท้องน้ำ และ *Oscillatoria princeps* Vaucher ที่เจริญปกคลุม สาหร่ายขนาดใหญ่ก่อถล่ม อัน และลดอยขึ้นสู่ผิวน้ำเมื่อพื้นท้องน้ำถูกกรบกวน โดยพบในเดือนเมษายน 2550 จุดเก็บตัวอย่างที่ 6 ในแม่น้ำโขงส่วนที่ไหลผ่านจังหวัดอุบลราชธานี



ภาพที่ 94 สาหร่ายขนาดใหญ่ *Cladophora glomerata* Kützing และ *Microspora* spp. ที่พบในเดือนพฤษจิกายน 2550 จุดเก็บตัวอย่างที่ 1 ในแม่น้ำโขงส่วนที่ไหลผ่านจังหวัดอุบลราชธานี

**ตารางที่ 15 สาหร่ายขนาดใหญ่ตามคิวชันต่างๆที่พบในแม่น้ำโขงส่วนที่ไหลผ่านจังหวัด
อุบลราชธานี ระหว่างเดือนกุมภาพันธ์ 2550 ถึงเดือนมกราคม 2551**

คิวชัน	ชนิด
Chlorophyta	<i>Cladophora glomerata</i> Kützing <i>Microspora pachyderma</i> (Wille) Lagerheim <i>Microspora</i> sp.1 UBU MK5 <i>Microspora</i> sp.2 <i>Mougeotia scaralis</i> Hassell <i>Oedogonium</i> sp. <i>Rhizoclonium hieroglyphicum</i> (C.Agardh) Kützing <i>Spirogyra</i> sp.1 <i>Spirogyra</i> sp.2 <i>Spondylosium</i> sp <i>Ulothrix</i> sp. <i>Zygogonium ericetorum</i> Kützing
Chrysophyta	<i>Tribonema viride</i> Pascher <i>Vaucheria</i> sp.
Cyanophyta	<i>Anabaena</i> sp.1 <i>Anabaena</i> sp.2 <i>Cylindrospermopsis</i> sp. <i>Limnothrix plantonica</i> (Woloszynska) Meffert <i>Lyngbya truncicola</i> Ghose <i>Oscillatoria guttulata</i> van Goor

ตารางที่ 15 สาหร่ายขนาดใหญ่ตามดิวิชันต่างๆที่พบในแม่น้ำโขงส่วนที่ไหลผ่านจังหวัดอุบลราชธานี ระหว่างเดือนกุมภาพันธ์ 2550 ถึงเดือนมกราคม 2551 (ต่อ)

ดิวิชัน	ชนิด
Cyanophyta	<i>Oscillatoria princeps</i> Vaucher <i>Oscillatoria</i> sp.1 <i>Oscillatoria</i> sp.2 <i>Oscillatoria symplocaioides</i> P.L.Crouan & H.M.Crouan ex Gomont <i>Oscillatoria rusea</i> Uterm <i>Phormidium cortianum</i> (Meneghini ex Gomont) Anagnostidis & Komárek <i>Phormidium formosum</i> (Bory de Saint-Vincent ex Gomont) Anagnostidis & Komárek <i>Phormidium retzii</i> (C.Agardh) Kützing ex Gomont <i>Phormidium jenkelianum</i> G.Schmid <i>Phormidium submembranaceum</i> (Ardisson & Strafforello) Gomont <i>Planktothrix rubescens</i> (De Candolle ex Gomont) Anagnostidis & Komárek <i>Pseudanabaena</i> sp. <i>Schizothrix vaginata</i> (Nägeli) Gomont <i>Spirulina subsalsa</i> Oerst <i>Spirulina labyrinthiformis</i> Gomont
Bacillaliophyta	<i>Aulacoseira granulata</i> (Ehrenberg) simonsen <i>Melosira varians</i> C.Agardh <i>Melosira</i> sp.1

4.4 อินเด็กซ์ของไคลอตอมในแม่น้ำโขงส่วนที่ไหลผ่านจังหวัดอุบลราชธานี (Me Kong River in Ubon Ratchathani Index, MKUI)

ผลการจัดทำอินเด็กซ์ชี้ค่าคลักดาน The Saprobiic Index ของ Rott *et al.* (Rott *et al.*, 1997) โดยใช้สูตรของ van Dam (1994) และ The Mekong River and its tributaries Diatom Index (Suphan, 2010) (modified from Kelly (2000), Lorraine and Vollenweider (1983), Wetzel (1983) และค่าคะแนนมาตรฐานคุณภาพน้ำของ AARL-PP Score และ AARL-PC Score แสดงในตารางที่ 16 และ 17

การคำนวณหาค่าสัมประสิทธิ์เปอร์เซ็นต์ความคล้ายคลึงกัน (Percent similarity coefficient) ของตัวอย่าง โดยใช้สูตรดังนี้

$$\text{Percent similarity coefficient} = \frac{2 \times \sum \min}{\sum \text{sample 1} + \sum \text{sample 2}}$$

4.5 คะแนน AARL-PC Score และ AARL-PP Score

แนวโน้มของคุณภาพน้ำของแต่ละชุดเก็บตัวอย่างพบว่ามีค่าคะแนนทั้ง AARL-PC Score และ AARL-PP Score ที่เป็นไปในทิศทางเดียวกัน นั่นคือเมื่อนำค่าคะแนนของทุกชุดเก็บตัวอย่างมาพิจารณาร่วมกัน พบว่าสามารถเรียงลำดับชุดเก็บตัวอย่างจากคุณภาพดีที่สุดไปจนถึงไม่ดีที่สุด ได้ดังนี้ ชุดที่มีคุณภาพน้ำดีที่สุดมีค่าคะแนน AARL-PP score 5 คะแนน มีสารอาหารปานกลาง (mesotrophic) ได้แก่ ชุดที่ 4 ชุดที่ 5 ชุดที่ 6 ชุดที่ค่าคะแนน AARL-PP score 5.3 คะแนน มีสารอาหารปานกลาง (mesotrophic) ได้แก่ ชุดที่ 2 ชุดที่ 3 และชุดที่ 7 ชุดที่มีค่าคะแนน AARL-PP score 6.3 คะแนนเป็นแหล่งน้ำที่มีสารอาหารปานกลางถึงสูง (mesotrophic to eutrophic) ได้แก่ ชุดที่ 1 ชุดที่ 8 และชุดที่ 10 และชุดที่มีค่าคะแนน AARL-PP score มากที่สุดคือ 6.7 คะแนน มีสารอาหารปานกลางถึงสูง คือชุดที่ 9

ตารางที่ 16 ค่าคะแนน AARL-PC score ของจุดเก็บตัวอย่างน้ำในแม่น้ำโขงส่วนที่ไหลผ่านจังหวัดอุบลราชธานี ระหว่างเดือนมกราคม 2550 ถึงเดือนกุมภาพันธ์ 2551

จุดเก็บตัวอย่าง	จุดที่ 4	จุดที่ 5	จุดที่ 6	จุดที่ 2	จุดที่ 3	จุดที่ 7	จุดที่ 1	จุดที่ 8	จุดที่ 10	จุดที่ 9
AARL-PC score	5	5	5	5.3	5.3	5.3	6.3	6.3	6.3	6.7
Trophic status	meso	meso	meso	meso	meso	meso	Meso-eutro	meso-eutro	Meso-eutro	meso-eutro

4.6 ความสัมพันธ์ของไดอะตومและคุณภาพน้ำ

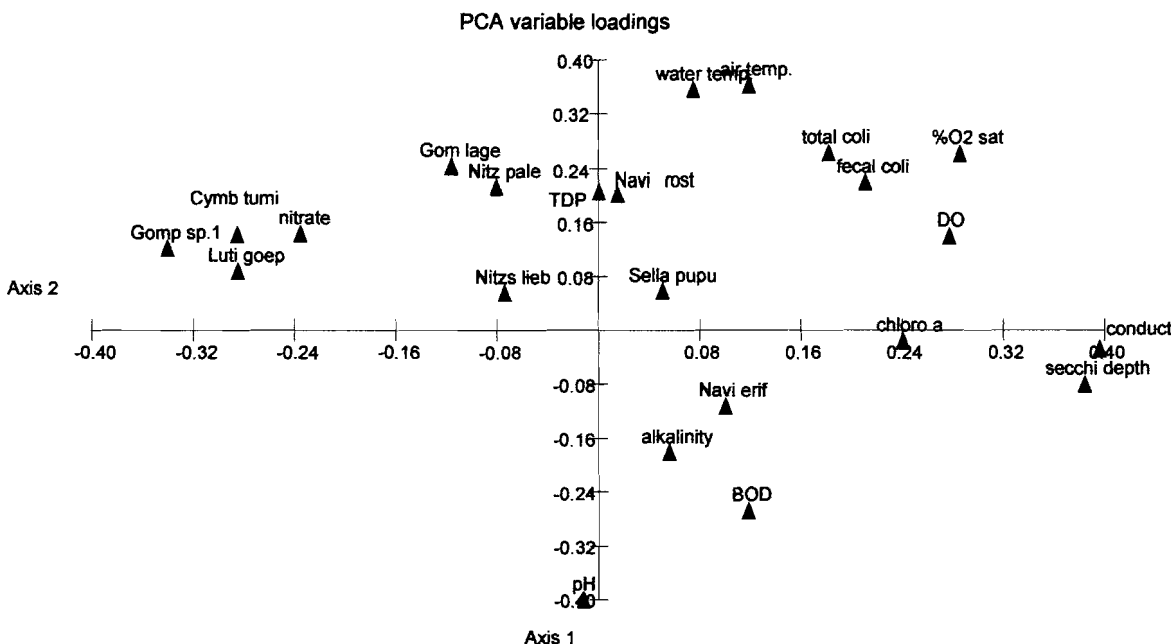
เมื่อนำข้อมูลร้อยละของไดอะตอมพื้นท้องน้ำทั้งหมดที่พบในทุกจุดเก็บตัวอย่าง ทุกชั้น และทุกเดือน พบว่าไดอะตอมพื้นท้องน้ำที่สามารถนำมาใช้เป็นดัชนีบ่งชี้คุณภาพน้ำของแม่น้ำโขง ส่วนที่ไหลผ่านจังหวัดอุบลราชธานีระหว่างเดือนมกราคม 2550 ถึงเดือนกุมภาพันธ์ 2551 สามารถแบ่งได้เป็น 2 กลุ่ม กลุ่มที่ 1 ได้แก่ *Cymbella tumida* (Brébisson) Van Heurck และ *Navicula erifuga* Lange-Bertalot ที่สามารถใช้เป็นดัชนีบ่งชี้น้ำที่มีสารอาหารปานกลาง และกลุ่มที่ 2 ได้แก่ *Cymbella turgidula* Grunow, *Gomphonema clevei* var. *javanica* Hustedt, *Luticula goeppertiana* (Bleisch) D. C. Mann, *Nitzschia liebetruhii* Rabenhorst และ *Nitzschia palea* (Kützing) W. Smith สามารถใช้เป็นดัชนีบ่งชี้น้ำที่มีสารอาหารปานกลางถึงมากได้ (ดังตารางที่ 17)

ตารางที่ 17 ไ道อะตอมพื้นท้องน้ำชนิดเด่นในแม่น้ำโขงส่วนที่ໄหลผ่านจังหวัดอุบลราชธานี ระหว่างเดือนมกราคม 2550 ถึงเดือนกุมภาพันธ์ 2551 ที่สามารถใช้เป็นดัชนีบ่งชี้คุณภาพน้ำได้

ไ道อะตอมชนิดเด่น	สารอาหาร	คุณภาพน้ำทั่วไป
<i>Cymbella tumida</i> (Brébisson) Van Heurck	ปานกลาง (mesotrophic)	ปานกลาง
<i>Navicula erifuga</i> Lange-Bertalot	ปานกลาง (mesotrophic)	ปานกลาง
<i>Cymbella turgidula</i> Grunow	ปานกลางถึงสูง (meso - eutrophic)	ปานกลางถึงไม่ดี
<i>Gomphonema clevei</i> v. <i>javanica</i> Hustedt	ปานกลางถึงสูง (meso - eutrophic)	ปานกลางถึงไม่ดี
<i>Luticula goeppertia</i> (Bleisch) D. C. Mann	ปานกลางถึงสูง (meso - eutrophic)	ปานกลางถึงไม่ดี
<i>Nitzschia liebetruhii</i> Rabenhorst	ปานกลางถึงสูง (meso - eutrophic)	ปานกลางถึงไม่ดี
<i>Nitzschia palea</i> (Kützing) W. Smith	ปานกลางถึงสูง (meso - eutrophic)	ปานกลางถึงไม่ดี

ผลการวิเคราะห์หาความสัมพันธ์ของไ道อะตอมพื้นท้องน้ำชนิดเด่น และคุณภาพน้ำบาง ประการพบว่า *Cymbella tumida* (Brébisson) Van Heurck, *Gomphonema clevei* var. *javanica* Hustedt และ *Luticula goeppertia* (Bleisch) D.G. Mann มีความสัมพันธ์อย่างใกล้ชิดกับการเปลี่ยนแปลงของปริมาณในteredทในแหล่งน้ำ รองลงมาคือ *Gomphonema lagenula* Kützing, *Nitzschia palea* (Kützing) W. Smith และ *Nitzschia liebetruhii* Rabenhorst ที่ผันแปรตามปริมาณของในtered เช่นกัน โดยจะมีปริมาณเพิ่มขึ้นตามปริมาณในteredทที่เพิ่มขึ้น นอกจากนี้ยังพบว่า *Navicula erifuga* Lange-Bertalot มีความสัมพันธ์ใกล้ชิดกับปริมาณ BOD และค่าความเป็นด่างของแหล่งน้ำ โดยพบว่าเมื่อค่า BOD และค่าความเป็นด่างมีค่าสูงมากขึ้นแล้วจะพบ *Navicula erifuga* Lange-Bertalot เพิ่มมากขึ้นด้วย นอกจากนี้ยังพบว่า *Navicula erifuga* Lange-Bertalot มีความสัมพันธ์แบบแปรผันตรงกับปริมาณคลอร็อกฟิลล์ เอ ค่าความลึกที่แสงส่องถึงและค่าการนำไฟฟ้าของแหล่งน้ำแต่เป็นความสัมพันธ์ไม่ชัดเท่า BOD และค่าความเป็นด่าง

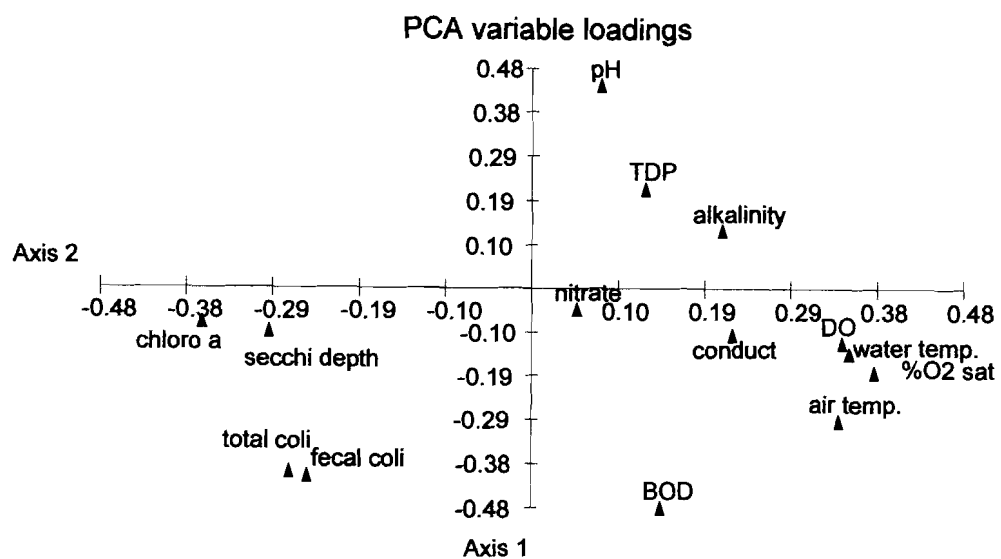
ส่วน *Navicula rostellata* Kützing และ *Sellaphora pupula* (Kützing) Mereschkowsky มีความสัมพันธ์แบบแปรผันตรงกับปริมาณ DO เปอร์เซ็นต์ของออกซิเจนที่อิ่มตัวในน้ำ อุณหภูมิน้ำ และอุณหภูมิอากาศ ปริมาณ โคลิฟอร์มแบคทีเรียทั้งหมดและฟิล์มโคลิฟอร์มแบคทีเรีย ดังภาพที่ 90



ภาพที่ 95 ความสัมพันธ์ของไดอะแอมพ์น์ท้องน้ำชนิดเด่น และคุณภาพน้ำในแม่น้ำ โขงส่วนที่ไหลผ่านจังหวัดอุบลราชธานี ระหว่างเดือนกุมภาพันธ์ 2550 ถึงเดือนกรกฎาคม 2551 ในแม่น้ำโขงส่วนที่ไหลผ่านจังหวัดอุบลราชธานี ระหว่างเดือนกุมภาพันธ์ 2550 ถึงเดือนกรกฎาคม 2551

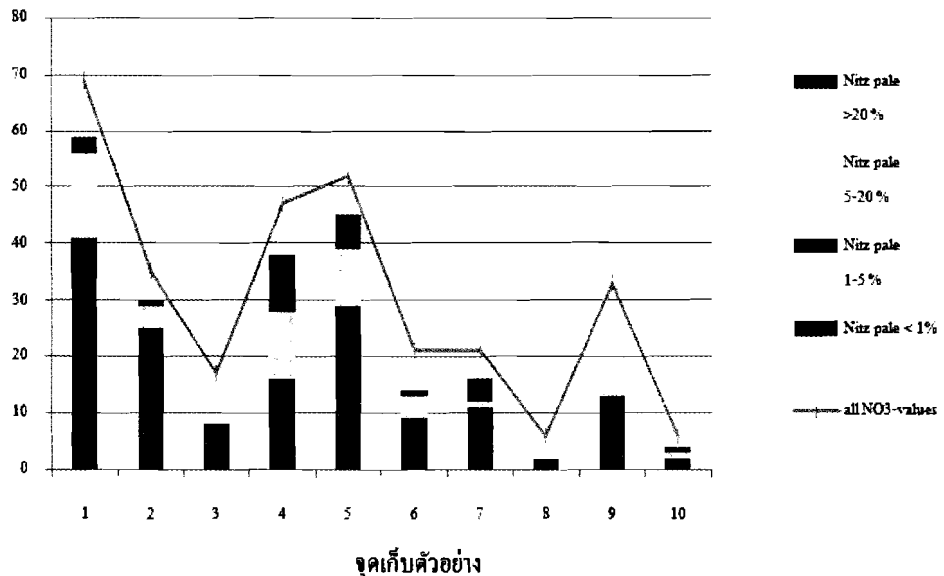
4.7 ความสัมพันธ์ของพารามิเตอร์ต่างๆ ในแม่น้ำโขงส่วนที่ไหลผ่านจังหวัดอุบลราชธานี

พารามิเตอร์กลุ่มแรก ได้แก่ ค่า pH ค่าความเป็นต่าง และปริมาณօร์โซฟอสเฟตมี ความสัมพันธ์แบบผันตรงซึ่งกันและกัน แต่มีความสัมพันธ์แบบแปรผกผันกับคุณภาพน้ำกลุ่มที่ 2 ได้แก่ ปริมาณคลอโรฟิลล์ เอ ค่าความลึกที่แสงส่องถึง ปริมาณโคลิฟอร์มแบคทีเรียทั้งหมด และพื้นที่ติดโคลิฟอร์มแบคทีเรีย โดยที่คุณภาพน้ำกลุ่มที่ 2 นี้มีความสัมพันธ์แบบแปรผกผันตรงซึ่งกันและกัน สำหรับคุณภาพน้ำกลุ่มที่ 3 ได้แก่ ปริมาณไนโตรเจน ค่าการนำไฟฟ้า ปริมาณ DO เปอร์เซ็นต์ออกซิเจน ที่อิ่มตัวในน้ำ อุณหภูมน้ำ อุณหภูมิอากาศ และค่า BOD มีความสัมพันธ์แบบแปรผกผันตรงซึ่งกันและกัน



ภาพที่ 96 ความสัมพันธ์ของพารามิเตอร์ต่างๆ ในแม่น้ำโขงส่วนที่ไหลผ่านจังหวัดอุบลราชธานี ระหว่างเดือนกุมภาพันธ์ 2550 ถึงเดือนกรกฎาคม 2551

“โคคอบตอมชนิดเด่น *Nitzschia palea* (Kützing) W. Smith มีจำนวนแปรผันตามปริมาณของไนเตรทโดยพบว่าในจุดเก็บตัวอย่างที่ 1, 4 และ 5 ซึ่งมีปริมาณไนเตรทสูงนั้นจะพบร้อยละของจำนวน *Nitzschia palea* (Kützing) W. Smith สูงตาม ดังภาพที่ 97”



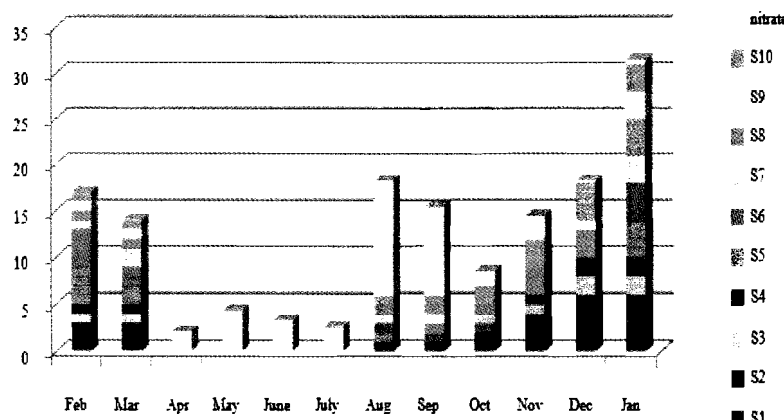
ภาพที่ 97 ความสัมพันธ์ระหว่างร้อยละของ *Nitzschia palea* (Kützing) W. Smith และปริมาณไนเตรทในโตรเจนของน้ำในแม่น้ำโขงส่วนที่ไหลผ่านจังหวัดอุบลราชธานี ระหว่างเดือนกุมภาพันธ์ 2550 ถึงเดือนมกราคม 2551

4.8 ความสัมพันธ์ระหว่างสาหร่ายขนาดใหญ่ชนิดเด่นและคุณภาพน้ำ

ผลการศึกษาความสัมพันธ์ของสาหร่ายขนาดใหญ่ชนิดเด่นและคุณภาพน้ำบางประการในแม่น้ำโขงส่วนที่ไหลผ่านจังหวัดอุบลราชธานี 10 จุดเก็บตัวอย่างระหว่างเดือนกุมภาพันธ์ 2550 ถึงเดือนมกราคม 2551 พบว่าสามารถสาหร่ายขนาดใหญ่ชนิดเด่นมีลำดับการเรียง ดังนี้

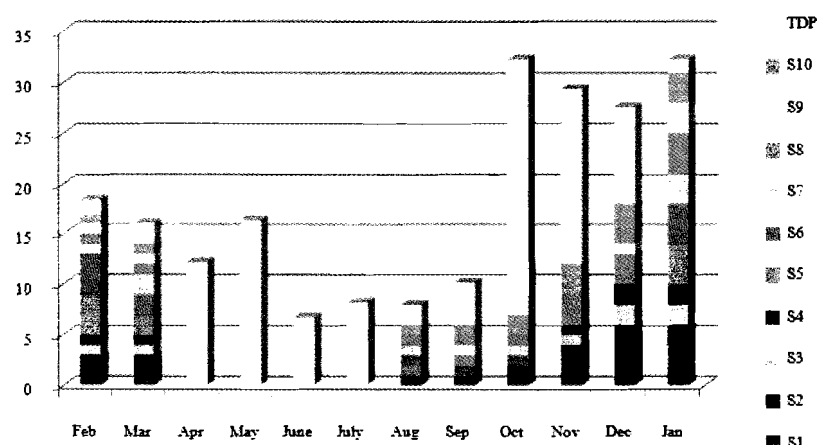
การเจริญของ *Spirogyra* sp.1

การเจริญของ *Spirogyra* sp.1 ความสัมพันธ์กับปริมาณของไนเตรทในแหล่งน้ำอย่างชัดเจน โดยพบว่าในช่วงปลายของฤดูฝนเดือนสิงหาคม ถึงเดือนตุลาคม ปริมาณไนเตรทมีค่าสูงขึ้นทำให้ *Spirogyra* sp.1 เริ่มมีการเจริญมากขึ้นเรื่อยๆอย่างต่อเนื่อง และจำนวนของ *Spirogyra* sp.1 จะเพิ่มขึ้นสูงสุดในเดือนกรกฎาคม และหลังจากนั้นในเดือนกุมภาพันธ์และมีนาคม ปริมาณไนเตรทในโตรเจนจะเริ่มลดต่ำลงอีกรึ่งส่วนผลให้มีการเจริญของ *Spirogyra* sp.1 ลดลงตามไปด้วย ต่อมามาในเดือนเมษายนเมื่อ *Spirogyra* sp.1 เริ่มมีการตายอย่างต่อเนื่อง ทำให้เกิดการหมุนเวียนของไนเตรทกลับเข้ามายังแหล่งน้ำอีกรึ่ง ดังภาพที่ 98



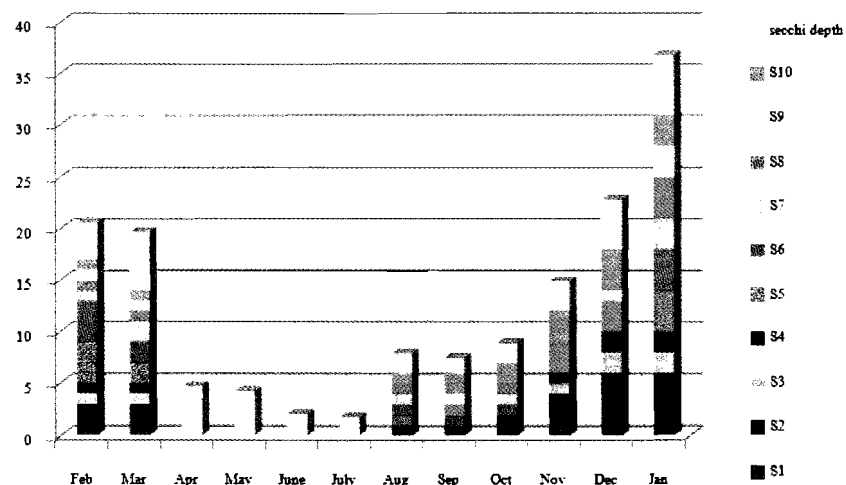
ภาพที่ 98 ปริมาณสาหร่ายขนาดใหญ่ *Spirogyra* sp.1 ที่มีความสัมพันธ์กับปริมาณไนเตรทในโตรเจนในแม่น้ำโขง ส่วนที่ไหลผ่านจังหวัดอุบลราชธานี ระหว่างเดือนกุมภาพันธ์ 2550 ถึงเดือนมกราคม 2551

การเจริญของ *Spirogyra* sp.1 ยังมีความสัมพันธ์กับปริมาณของออร์โธฟอสเฟต โดยพบว่า ในช่วงปลายฤดูฝนเข้าสู่ต้นฤดูหนาวในเดือนตุลาคมออร์โธฟอสเฟตมีค่าสูงจึงกระตุ้นให้เกิดการเจริญของ *Spirogyra* sp.1 มากขึ้นในฤดูหนาว และจำนวนของ *Spirogyra* sp.1 จะเพิ่มขึ้นสูงสุด ในเดือนมกราคม และหลังจากนั้นในเดือนกุมภาพันธ์และมีนาคม ปริมาณออร์โธฟอสเฟตจะเริ่มลดลงอีกครั้งส่งผลให้มีการเจริญของ *Spirogyra* sp.1 ลดลงตามไปด้วย ต่อมาในเดือนเมษายน เมื่อ *Spirogyra* sp.1 เริ่มนิการตายอย่างต่อเนื่อง ทำให้เกิดการหมุนเวียนของออร์โธฟอสเฟตกับเข้ามาบังแผลน้ำอีกครั้ง ดังภาพที่ 99



ภาพที่ 99 ปริมาณสาหร่ายขนาดใหญ่ *Spirogyra* sp.1 ที่มีความสัมพันธ์กับปริมาณออร์โธฟอสเฟต ในแม่น้ำโขง ส่วนที่ไหลผ่านจังหวัดอุบลราชธานี ระหว่างเดือนกุมภาพันธ์ 2550 ถึงเดือนมกราคม 2551

การเจริญของ *Spirogyra* sp.1 มีความสัมพันธ์กับค่าความลึกที่แสงส่องถึง โดยพบว่าเมื่อน้ำใส มีค่าความลึกที่แสงส่องถึงคงไปยังแหล่งน้ำได้มากขึ้น ในช่วงปลายของฤดูฝนเข้าสู่ช่วงต้นของฤดูหนาวจะส่งผลให้เกิดการเจริญของ *Spirogyra* sp.1 มากขึ้นและค่าความลึกที่แสงส่องถึงสูงที่สุดในเดือนกรกฎาคมพบว่ามีการเจริญของ *Spirogyra* sp.1 สูงสุดด้วยเช่นกัน สำหรับในฤดูฝนที่แหล่งน้ำมีค่าความลึกที่แสงส่องถึงต่ำนี้จะไม่พบรการเจริญของ *Spirogyra* sp.1 ในแหล่งน้ำ ตั้งภาพที่ 100



ภาพที่ 100 ปริมาณสาหร่ายขนาดใหญ่ *Spirogyra* sp.1 ที่มีความสัมพันธ์กับค่าความลึกที่แสงส่องถึงในแม่น้ำโขง ส่วนที่ไหลผ่านจังหวัดอุบลราชธานี ระหว่างเดือนกุมภาพันธ์ 2550 ถึงเดือนกรกฎาคม 2551

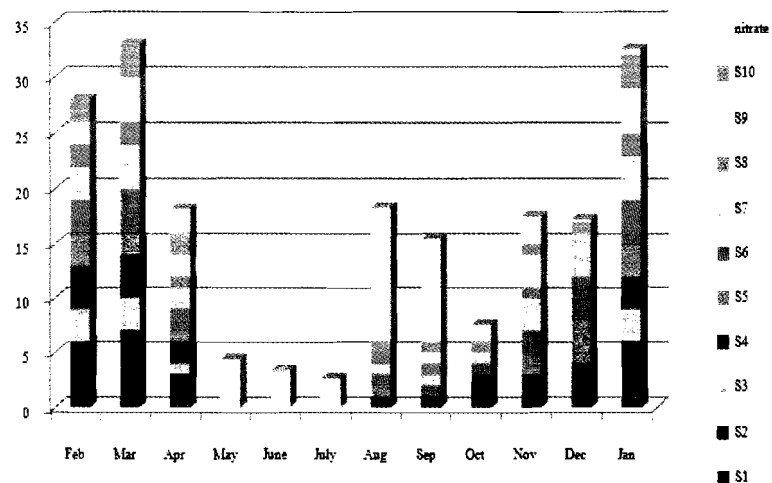
การเจริญของ *Cladophora glomerata* Kützing และ *Microspora pachyderma* (Wille)

Lagerheim

การเจริญของ *Cladophora glomerata* Kützing และ *Microspora pachyderma* (Wille) Lagerheim มีความสัมพันธ์กับปริมาณไนเตรต ในโตรเจน ออร์โพรอฟอสเฟตและค่าความลึกที่แสงส่องถึงคล้ายกันกับ *Spirogyra* sp.1 แต่มีข้อแตกต่างตรงช่วงเวลาของการเจริญสูงสุดคือ *Cladophora glomerata* Kützing และ *Microspora pachyderma* (Wille) Lagerheim จะมีการเจริญสูงสุดในเดือนมีนาคม แสดงในภาพที่ 101 ถึงภาพที่ 106

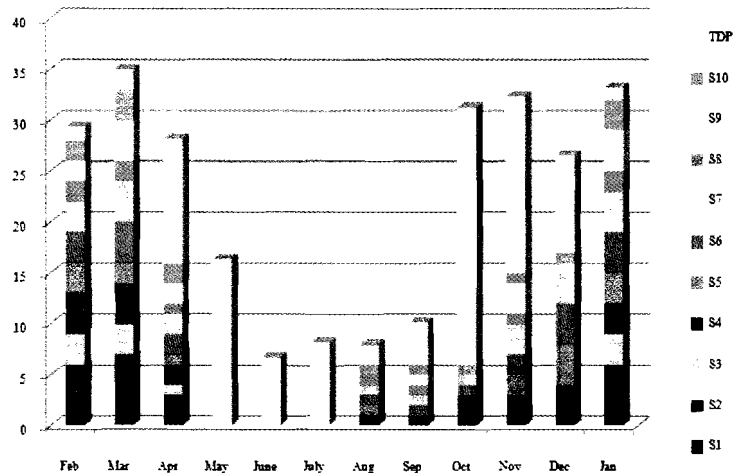
การเจริญของ *Cladophora glomerata* Kützing ความสัมพันธ์กับปริมาณไนเตรตในแหล่งน้ำอย่างชัดเจน โดยพบว่าในช่วงปลายของฤดูฝนเดือนสิงหาคม ถึงเดือนตุลาคม ปริมาณไนเตรต

รرمีค่าสูงขึ้นทำให้ *Cladophora glomerata* Kützing เริ่มมีการเจริญมากขึ้นเรื่อยๆอย่างต่อเนื่อง และจำนวนของ *Cladophora glomerata* Kützing จะเพิ่มขึ้นสูงสุดในเดือนมีนาคม ซึ่งส่งผลให้มีการนำในเตอร์ทไปใช้โดยสาหร่ายมากขึ้น ทำให้เหล่าน้ำมีปริมาณในเตอร์ลดลงอีกครั้ง ส่งผลให้มีการเจริญของ *Cladophora glomerata* Kützing ลดลงตามไปด้วยและเริ่มตายและถูกย่อยสลายอย่างต่อเนื่อง ทำให้เกิดการหมุนเวียนของในเตอร์ทกลับเข้ามายังแหล่งน้ำอีกครั้ง ดังภาพที่ 101



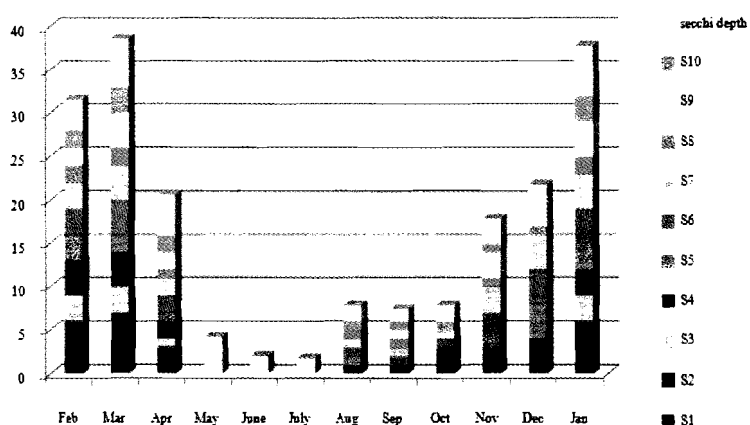
ภาพที่ 101 ปริมาณสาหร่ายขนาดใหญ่ *Cladophora glomerata* Kützing ที่มีความสัมพันธ์กับปริมาณไนเตรต ในโตรเรนในแม่น้ำโขง ส่วนที่ไหลผ่านจังหวัดอุบลราชธานี ระหว่างเดือนกุมภาพันธ์ 2550 ถึงเดือนมกราคม 2551

การเจริญของ *Cladophora glomerata* Kützing มีความสัมพันธ์กับปริมาณของօร์ໂໂฟอสເຟ ໂດຍພນວ່າ ໃນຊ່ວງປລາຍຄຸ້ມເຂົ້າສູ່ຕົ້ນຄຸ້ມໜາວໃນເດືອນຕຸລາຄມອຣ໌ໂໂຟຝຟັບມີຄ່າສູງຈຶ່ງ ກະຕຸ້ນໄຫ້ເກີດການເຈັບຂອງ *Cladophora glomerata* Kützing ມາກເຂົ້ນໃນຄຸ້ມໜາວ ແລະ ຈຳນວນຂອງ *Cladophora glomerata* Kützing ຈະເພີ່ມເຂົ້ນສູງສຸດໃນຊ່ວງຕົ້ນຄຸ້ມຮອນໃນເດືອນມິນາຄມ ເມື່ອມີການເຈັບຂອງສາຫວ່າຍນາດໄຫຼຸ່ງເປັນຈຳນວນນາກຈະສ່ວຍຜລໃຫ້ມີການນຳເອາອຣ໌ໂໂຟຝຟັບຈາກແລ່ລ່ວ່າໄປໃຊ້ ນາກຕາມມາ ດັ່ງນັ້ນປຣິມາຄອຣ໌ໂໂຟຝຟັບຈຶ່ງລົງຕໍ່າລົງ ຕ່ອນໄນເດືອນແມ່ຍານ *Cladophora glomerata* Kützing ຈະເຮີມມີການຕາຍອຍ່າງຕ່ອນເນື່ອງແລະຄຸກຍ່ອຍສລາຍ ທຳໄຫ້ເກີດກາຮມູນເວີນຂອງօຣ໌ໂໂຟຝຟັບ ກລັບເຂົ້າມ້າຍັງແລ່ລ່ວ່ານໍາອຶກຮັງ ດັ່ງກາພທີ 102



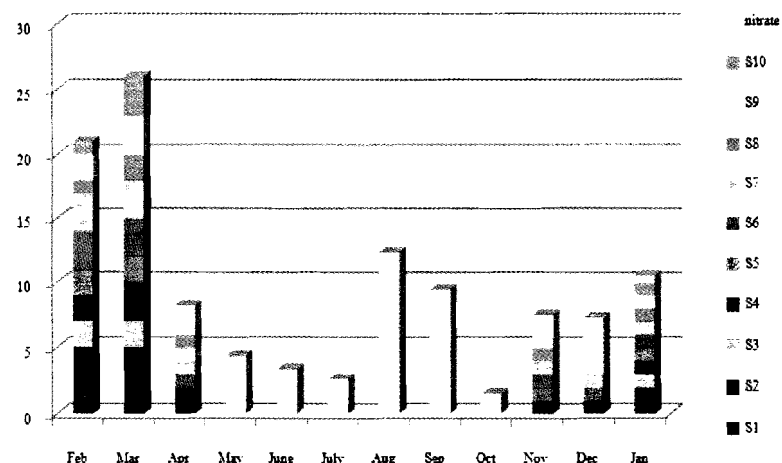
ກາພທີ 102 ປຣິມາຄສາຫວ່າຍນາດໄຫຼຸ່ງ *Cladophora glomerata* Kützing ທີ່ມີການສັນພັນຮ່ວມ ປຣິມາຄອຣ໌ໂໂຟຝຟັບໃນແມ່ນໍ້າໂທງ ສ່ວນທີ່ໄຫ້ຜ່ານຈັງຫວັດອຸປະຮານ ຮະຫວ່າງ ເດືອນກຸມພັນທີ 2550 ຕຶ້ງເດືອນມິນາຄມ 2551

การเจริญของ *Cladophora glomerata* Kützing มีความสัมพันธ์เชิงบวกกับค่าความลึกที่แสงส่องถึง โดยพบว่าเมื่อน้ำใส มีค่าความลึกที่แสงส่องถึงลงไประย়งแหล่งน้ำได้มากขึ้น ในช่วงปลายของฤดูฝนเข้าสู่ช่วงต้นของฤดูหนาวจะส่งผลให้เกิดการเจริญของ *Cladophora glomerata* Kützing มากขึ้นและเจริญมากที่สุดในเดือนมีนาคม ซึ่งมีค่าความลึกที่แสงส่องถึงสูงจะพบว่ามีการเจริญของ *Cladophora glomerata* Kützing สูงสุดด้วยเช่นกัน สำหรับในฤดูฝนที่แหล่งน้ำมีค่าความลึกที่แสงส่องถึงต้านน้ำจะไม่พบการเจริญของ *Cladophora glomerata* Kützing ในแหล่งน้ำ ดังภาพที่ 103



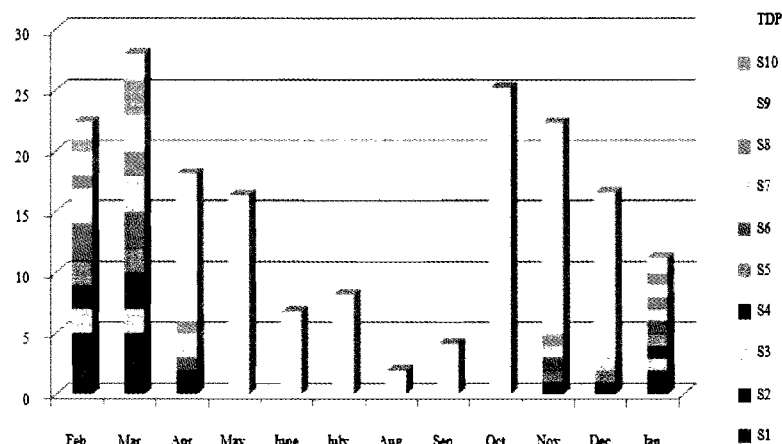
ภาพที่ 103 ปริมาณสาหร่ายขนาดใหญ่ *Cladophora glomerata* Kützing ที่มีความสัมพันธ์กับค่าความลึกที่แสงส่องถึงในแหล่งน้ำ ไประย়ง ส่วนที่ไหล่ผ่านจังหวัดอุบลราชธานี ระหว่างเดือนกุมภาพันธ์ 2550 ถึงเดือนมกราคม 2551

การเจริญของ *Microspora pachyderma* (Wille) Lagerheim ความสัมพันธ์กับปริมาณของไนเตรทในแหล่งน้ำอย่างชัดเจน โดยพบว่าในช่วงปลายของฤดูฝนเดือนสิงหาคม ถึงเดือนตุลาคม ปริมาณไนเตรทมีค่าสูงขึ้นทำให้ *Microspora pachyderma* (Wille) Lagerheim เริ่มมีการเจริญมากขึ้นเรื่อยๆอย่างต่อเนื่อง และจำนวนของ *Microspora pachyderma* (Wille) Lagerheim จะเพิ่มขึ้นสูงสุดในเดือนมีนาคม ซึ่งส่งผลให้มีการนำไนเตรทไปใช้โดยสาหร่ายมากขึ้น ทำให้แหล่งน้ำมีปริมาณไนเตรทด้อยลงอีกรังส์ ส่งผลให้มีการเจริญของ *Microspora pachyderma* (Wille) Lagerheim ลดลงตามไปด้วยและเริ่มตายและถูกย่อยลายอย่างต่อเนื่อง ทำให้เกิดการหมุนเวียนของไนเตรทกลับเข้ามายังแหล่งน้ำอีกรังส์ ดังภาพที่ 104



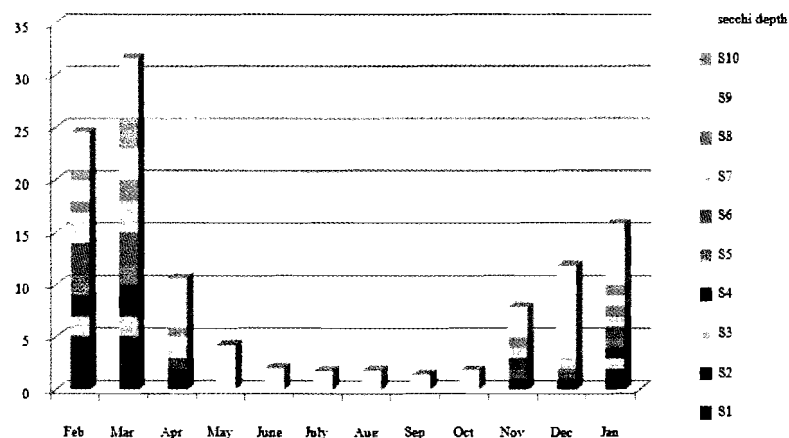
ภาพที่ 104 ปริมาณสาหร่ายขนาดใหญ่ *Microspora pachyderma* (Wille) Lagerheim ที่มีความสัมพันธ์กับปริมาณไนเตรท ในโตรเจนในแม่น้ำโขง ส่วนที่ไหลผ่านจังหวัดอุบลราชธานี ระหว่างเดือนกุมภาพันธ์ 2550 ถึงเดือนกรกฎาคม 2551

การเจริญของ *Microspora pachyderma* (Wille) Lagerheim มีความสัมพันธ์กับปริมาณของออร์โธฟอสเฟต โดยพบว่า ในช่วงปลายฤดูฝนเข้าสู่ต้นฤดูหนาวในเดือนตุลาคมออร์โธฟอสเฟต มีค่าสูงจึงกระตุ้นให้เกิดการเจริญของ *Microspora pachyderma* (Wille) Lagerheim มากขึ้นในฤดูหนาว และจำนวนของ *Microspora pachyderma* (Wille) Lagerheim จะเพิ่มขึ้นสูงสุดในช่วงต้นฤดูร้อนในเดือนมีนาคม เมื่อมีการเจริญของสาหร่ายขนาดใหญ่เป็นจำนวนมากจะส่งผลให้มีการนำเอา ออร์โธฟอสเฟตจากแหล่งน้ำไปใช้มากตามมา ดังนั้นปริมาณออร์โธฟอสเฟตจึงลงต่ำลง ต่อมาในเดือนเมษายน *Microspora pachyderma* (Wille) Lagerheim จะเริ่มน้ำมีการตายอย่างต่อเนื่องและถูกย่อยลาย ทำให้เกิดการหมุนเวียนของออร์โธฟอสเฟตกับลักษณะของน้ำอีกครั้ง ดังภาพที่ 105



ภาพที่ 105 ปริมาณสาหร่ายขนาดใหญ่ *Microspora pachyderma* (Wille) Lagerheim
ที่มีความสัมพันธ์กับปริมาณออร์โธฟอสเฟตในแม่น้ำโขง ส่วนที่ไหลผ่านจังหวัด
อุบลราชธานี ระหว่างเดือนกุมภาพันธ์ 2550 ถึงเดือนมกราคม 2551

การเจริญของ *Microspora pachyderma* (Wille) Lagerheim มีความสัมพันธ์เชิงบวกกับค่าความลึกที่แสงส่องถึง โดยพบว่าเมื่อน้ำใส มีค่าความลึกที่แสงส่องถึงลงไปยังแหล่งน้ำได้มากขึ้น ในช่วงปลายของฤดูฝนเข้าสู่ช่วงต้นของฤดูหนาวจะส่งผลให้เกิดการเจริญของ *Microspora pachyderma* (Wille) Lagerheim มากขึ้นและเจริญมากที่สุดในเดือนมีนาคม ซึ่งมีค่าความลึกที่แสงส่องถึงสูงจะพบว่ามีการเจริญของ *Microspora pachyderma* (Wille) Lagerheim สูงสุดด้วยเห็นกันสำหรับในฤดูฝนที่แหล่งน้ำมีค่าความลึกที่แสงส่องถึงต่ำนี้จะไม่พบการเจริญของ *Microspora pachyderma* (Wille) Lagerheim ในแหล่งน้ำ ดังภาพที่ 106



ภาพที่ 106 ปริมาณสาหร่ายขนาดใหญ่ *Microspora pachyderma* (Wille) Lagerheim
ที่มีความสัมพันธ์กับค่าความลึกที่แสงส่องถึงในแม่น้ำโขง ส่วนที่ไหลผ่าน
จังหวัดอุบลราชธานี ระหว่างเดือนกุมภาพันธ์ 2550 ถึงเดือนมกราคม 2551

4.9 ลักษณะพื้นท้องน้ำในแต่ละจุดเก็บตัวอย่าง

สภาพโดยทั่วไปของพื้นท้องน้ำของแต่ละจุดเก็บตัวอย่างในแม่น้ำโขงส่วนที่ไหลผ่านจังหวัดอุบลราชธานี ระหว่างเดือนกุมภาพันธ์ 2550 ถึงเดือนมกราคม 2551 โดยทั่วไปพื้นท้องน้ำของตลอดความยาวของแม่น้ำโขงประกอบด้วยโขคหินที่เป็นหินประเกทหินทรายก้อนใหญ่ที่ปักคลุน ด้วยโคลน และมีทรายปนบ้ำงเล็กน้อย แต่มีข้อยกเว้นในจุดที่ 5 และ 7 ที่พื้นท้องน้ำประกอบด้วยโคลน ปนทราย เป็นส่วนใหญ่ มีก้อนหินขนาดเล็กบ้ำงเล็กน้อย ในถูกฝุ่น ระดับน้ำจะเพิ่มสูงขึ้นมาก ทำให้แสงไม่สามารถส่องลงถึงพื้นท้องน้ำได้ ซึ่งตรงกันข้ามกับในจุดร้อนที่ระดับน้ำลงต่ำลงมาก เช่นกันและบางจุดเก็บตัวอย่างน้ำลดลงจนกระทั่งเข้าไปอยู่ในケーよก่งทำให้กระแสน้ำไหลช้าลง ส่งผลให้เกิดความเหมาะสมต่อการเจริญของสาหร่ายขนาดใหญ่ได้ ลักษณะของพื้นท้องน้ำที่เหมาะสมต่อการเจริญของสาหร่ายขนาดใหญ่มีความแตกต่างกัน คือ สาหร่ายเทาน้ำจืดเจริญได้ดีบนพื้นท้องน้ำที่มีลักษณะเป็นโคลนเลนเป็นส่วนใหญ่มีทรายปนเล็กน้อย สาหร่ายขนาดใหญ่ใจเจริญได้ดีบนพื้นท้องน้ำที่เป็นก้อนหินที่เคลื่อนตัวโดยโคลนเลน สำหรับ สาหร่ายตาข่ายน้ำ (*Hydrodictyon sp.*) น้ำจืดเจริญได้ร่วมกับสาหร่ายไก โดยเจริญยึดเกาะแบบไม่แน่นบนโคลนเลน นอกจากนี้ยังพบว่า *Oscillatoria princeps* Vaucher จะเจริญบนชาบทองสาหร่ายขนาดใหญ่ชนิดอื่นซึ่งตายและจนตัวอยู่บนพื้นท้องน้ำที่มีโคลนเลนปักคลุน โดย *Oscillatoria princeps* Vaucher จะเจริญโดยยึดเกาะแบบไม่แน่นบนชาบทองสาหร่ายขนาดใหญ่อื่นและโคลนเลน และเมื่อชาวประมงลากอวนหรือเดินบนพื้นจะสังเกตเห็นกลุ่มของเส้นสายของ *Oscillatoria princeps* Vaucher ลอยตัวขึ้นสู่ผิวน้ำ แสดงในตารางที่ 18

ตารางที่ 18 ลักษณะของพื้นท้องน้ำของชุดเก็บตัวอย่างในแม่น้ำโขงส่วนที่ไหลผ่านจังหวัดอุบลราชธานี ระหว่างเดือนกุมภาพันธ์ 2550 ถึงเดือนมกราคม 2551

ตัวอย่าง	ชุดเก็บ พื้นท้องน้ำ (substrate)	สาหร่ายขนาด				
		ดินเหนียว		ใหญ่	ปั่นดินร่วน	ที่เจริญดีที่สุด
		หิน	โคลน			
1	ส่วนใหญ่เป็นหิน มีดินโคลนเลน	95%	5%	0%	0%	ทุกชนิด
2	ส่วนใหญ่เป็นหิน มีดินโคลนเลน	80%	15%	5%	0%	ไม่
3	ส่วนใหญ่เป็นหิน มีดินโคลนเลน	80%	15%	5%	0%	ไม่
4	ส่วนใหญ่เป็นหิน มีดินโคลนเลน	80%	15%	5%	0%	ไม่
5	ส่วนใหญ่เป็นทราย มีดินโคลนเลน	0%	50%	50%	0%	เทาน้ำ
6	ส่วนใหญ่เป็นหิน มีดินทรายปนโคลนเลน	90%	5%	5%	0%	ทุกชนิด
7	ทรายปนโคลนเลน	0%	50%	50%	0%	ไม่
8	หิน ดินร่วนปนเห็นข้าปนโคลนเลน	10%	30%	0%	60%	ไม่
9	ส่วนใหญ่เป็นทรายร่องลงมาเป็นเลนร่องลงมาเป็นหิน	95%	20%	70%	0%	ไม่
10	ส่วนใหญ่เป็นดินเลนและดินร่วนร่องลงมาเป็นหิน	10%	70%	0%	20%	ทุกชนิด

บทที่ 5

5.1 ความหลากหลายของไกดอร์ตอมพื้นท้องน้ำ

ความหลากหลายของ ไครอะตอนพื้นท้องน้ำในแม่น้ำโขงส่วนที่ไทยผ่านจังหวัดอุบลราชธานี ระหว่างเดือนกุมภาพันธ์ 2550 ถึงเดือนมกราคม 2551 พบ ไครอะตอนพื้นท้องน้ำทั้งหมด 307 ชนิด จำนวนของ ไครอะตอนพื้นท้องน้ำที่พบมีจำนวนใกล้เคียงกับ ไครอะตอนพื้นท้องน้ำที่พบในแม่น้ำอื่นๆ ที่มีขนาดใหญ่ใกล้เคียงกับแม่น้ำโขงทั้งในและต่างประเทศ ได้แก่ Holmes and Whitton (1981) พบ ไครอะตอน 230 ชนิด ในแม่น้ำ Tees ประเทศไทยอังกฤษ งานของ Archibald (1983) พบ ไครอะตอน 310 ชนิด ในแม่น้ำ Sundays and Great Fish ในอาฟริกาใต้ Chessman (1986) พบ ไครอะตอน 267 species ในแม่น้ำและแม่น้ำสาขาของแม่น้ำ LaTrobe ในประเทศไทยอสเตรเลีย ญี่ปุ่น และทั่วพร (2548) ศึกษาไครอะตอนในแม่น้ำโขงระหว่างปี 2546-2547 พบ ไครอะตอนพื้นท้องน้ำ 186 ชนิด Leelahakriengkrai et al. (2009) ศึกษาความหลากหลายของ ไครอะตอนพื้นท้องน้ำในแม่น้ำโขงส่วนที่ไทยผ่านจังหวัดเชียงราย ประเทศไทย พบ ไครอะตอนพื้นท้องน้ำ 79 ชนิด Suphan (2010) พบ ไครอะตอน 252 ชนิด ในแม่น้ำโขงส่วนที่ไทยผ่าน ประเทศไทยมร. ไทยและลาว สุภัทรธิรา (2551) ศึกษา ไครอะตอนพื้นท้องน้ำในแม่น้ำโขง ใน 5 จังหวัดของประเทศไทย พบ ไครอะตอนพื้นท้องน้ำ 168 ชนิด แต่เนื่องจากผลงานการศึกษาความหลากหลายของ ไครอะตอน ในแม่น้ำโขงดังกล่าวข้างต้นได้ทำการเก็บตัวอย่างเป็นสุ่มกาก แต่ไม่ได้เก็บตัวอย่างทุกเดือน จึงทำให้พบจำนวนชนิดของ ไครอะตอน น้อยกว่างานวิจัยครั้งนี้ ทั้งนี้ เพราะงานวิจัยนี้ทำการเก็บทุกเดือนๆ ละ 1 ครั้ง เป็นเวลา 1 ปี โดยทำการเก็บตัวอย่าง 10 จุดเก็บตัวอย่าง จึงส่งผลให้พบจำนวนชนิดของ ไครอะตอนพื้นท้องน้ำมากกว่าในงานวิจัยอื่นๆ ที่ได้ศึกษา ไครอะตอนพื้นท้องน้ำในแม่น้ำโขง เช่นเดียวกัน นอกจากนี้ผลการวิจัยครั้งนี้ยังพบว่ามี ไครอะตอน ที่มีแนวโน้มจะเป็นชนิดใหม่ 3 ชนิด ได้แก่ Geissleria sp. UBU-MK1, Gomphonema sp.1 UBU-MK2 และ Gomphonema sp.2 UBU-MK3 และ ไครอะตอนที่มีแนวโน้มเป็น variety ใหม่ 1 variety คือ Pinnularia divergentissima var. UBU-MK4

ได้จะต้องพิสูจน์ว่าเป็น Gomphonema lagenula Kützing รองลงมาคือ *Navicula rostellata* Kützing, *Nitzschia palea* (Kützing) W. Smith, *Luticola goeppertiana* (Bleisch) D.G. Mann, *Nitzschia liebetrauthii* Rabenhorst, *Sellaphora pupula*

(Kützing) Mereschkowsky, *Navicula erifuga* Lange-Bertalot, *Cymbella tumida* (Brébisson) Van Heurck, *Gomphonema clevei* var. *javanica* Hustedt, *Cymbella turgidula* Grunow, *Gomphonema pseudosphaerophorum* Kobayasi, *Pinnularia subcapitata* Gregory, *Amphora montana* Krasske, *Rhopalodia gibberula* (Ehrenberg) O. F. Müller, *Nitzschia filiformis* (W. Smith) Hustedt, *Bacillaria paxillifer* (O.F.Müller) T.Marsson, *Navicula cryptotenella* Lange-Bertalot และ *Gomphonema* sp.2 โดยที่มีองค์ความหลากหลายทางธรรมชาติโดยวิธี Cluster analysis สามารถแบ่งกลุ่มของ "โดยรวมชนิดเด่น" ได้เป็น 7 กลุ่มซึ่งสามารถนำมาใช้เป็นตัวชี้วัดคุณภาพน้ำตั้งแต่คุณภาพน้ำปานกลาง หรือ มีสารอาหารปานกลาง (mesotrophic status) และน้ำที่มีคุณภาพปานกลางถึงเสีย หรือ มีสารอาหารปานกลางถึงสูง (mesotrophic-eutrophic status) กลุ่มที่ 1 ได้แก่ *Pinnularia subcapitata* Gregory และ *Nitzschia liebetruthii* Rabenhorst กลุ่มที่ 2 ได้แก่ *Cymbella tumida* (Brébisson) Van Heurck, *Navicula symmetrica* Patrick, *Melosira varians* C. Agardh, *Rhopalodia gibberula* (Ehrenberg) O. F. Müller, *Encyonema vulgare* Krammer, *Navicula rostellata* Kützing, *Encyonema minutum* (Hilse) D.G. Mann และ *Navicula cryptotenella* Lange-Bertalot กลุ่มที่ 3 ได้แก่ *Luticola goeppertiana* (Bleisch) D. G. Mann, *Gomphonema insigne* Gregory, *Navicula cryptotenella* Lange-Bertalot, *Tabularia fasciculata* (C.Agarth) D.M.Williams & Round, *Navicula heimansoides* Lange-Bertalot, *Navicula rostellata* Kützing, *Gomphonema* sp.1, *Navicula cataractarheni* Lange-Bertalot และ *Nitzschia capitellata* Hustedt กลุ่มที่ 4 ได้แก่ *Navicula menisculus* Schumann, *Nitzschia filiformis* (W. Smith) Van Heurck, *Cymbella turgidula* Grunow, *Surirella splendida* Kützing และ *Rhopalodia gibberula* (Ehrenberg) O. F. Müller กลุ่มที่ 5 ได้แก่ *Cymbella turgidula* Grunow, *Bacillaria paxillifer* (O.F.Müller) T.Marsson, *Nitzschia palea* (Kützing) W. Smith, *Navicula krasskei* Hustedt และ *Navicula erifuga* Lange-Bertalot กลุ่มที่ 6 ได้แก่ *Gomphonema designatum* Reichardt, *Cocconeis placentula* Ehrenberg, *Rhopalodia gibberula* (Ehrenberg) O. F. Müller, *Planothidium frequentissimum* (Lange-Bertalot) Round & L. Bukhtiyarova, *Cymbella turgidula* Grunow, *Gomphonema subclavatum* (Grunow) Grunow และ *Luticola nivalis* (Ehrenberg) D. G. Mann in Round, Crawford & Mann และกลุ่มที่ 7 ได้แก่ *Nitzschia palea* (Kützing) W. Smith, *Luticola nivalis* (Ehrenberg) D. G. Mann in Round, Crawford & Mann, *Bacillaria paxillifer* (O.F.Müller) T.Marsson, *Nitzschia liebetruthii* Rabenhorst, *Navicula rhynchocephala* Kützing, *Navicula menisculus* Schumann

ถูกกาลที่ไดอะตอมพื้นท้องน้ำเจริญได้ดีที่สุดคือถูกหน้า โดยที่ไดอะตอมพื้นท้องน้ำจะเริ่มนิการเจริญในช่วงปลายของถูกฝนเข้าสู่ช่วงต้นของถูกหน้า และปัจจัยที่มีผลกระตุ้นการเจริญของไดอะตอมพื้นท้องน้ำได้ดี คือ ปริมาณสารอาหารฟอสเฟต ในtered และความใสของน้ำ ทั้งนี้ เพราะในถูกฝนจะมีการชะล้างปูยมูลสัตว์ที่เกยตกรากใช้ในการเพาะปลูกบริเวณริมฝั่ง เมื่อฝนตกจึงเกิดการชะล้างลงสู่แหล่งน้ำทำให้ปริมาณของฟอสเฟตที่ละลายในน้ำทั้งหมดและในteredเพิ่มมากขึ้นในช่วงปลายถูกฝนเข้าสู่ต้นถูกหน้าส่งผลกระทบกระตุ้นการเจริญของไดอะตอมพื้นท้องน้ำ และพบว่าในถูกหน้า ไดอะตอมพื้นท้องน้ำจะมีการเจริญได้ดีที่สุด

ไดอะตอมพื้นท้องน้ำที่สามารถนำมายื่นเพื่อแบ่งชีวุณภาพน้ำในแม่น้ำโขงได้กลุ่มที่ 1 คือ *Cymbella tumida* (Brébisson) Van Heurck และ *Navicula erifuga* Lange-Bertalot ใช้แบ่งชีวุณภาพน้ำปานกลาง หรือ มีสารอาหารปานกลาง (mesotrophic) กลุ่มที่ 2 คือ *Cymbella turgidula* Grunow, *Gomphonema clevei* var. *javanica* Hustedt, *Luticola goeppertiana* (Bleisch) D. C. Mann, *Nitzschia liebetrichii* Rabenhorst และ *Nitzschia palea* (Kützing) W. Smith ใช้แบ่งชีวุณภาพน้ำปานกลางถึงไม่ดี หรือ มีสารอาหารปานกลางถึงสูง (mesotrophic-eutrophic) ได้

ไดอะตอมพื้นท้องน้ำชนิดที่พบได้ทั่วไป เช่น *Cymbella tumida* (Brébisson) Van Heurck, *Cymbella turgidula* Grunow, *Gomphonema lagenula* Kützing และ *Bacillaria paxillifer* (O.F.Müller) T.Marsson เป็นไดอะตอมที่ได้เคยมีการรายงานว่าพบได้ทั่วไปแม่น้ำหลายแห่งในประเทศไทย (Pekthong, 1998 และ 2002; Waiyaka, 1998, Kunpradid, 2000 and 2005; Peerapornpisal et al., 2000; Suphan, 2004; Inthasotti, 2006a and 2006b; Leelahakriengkrai, 2007 and 2008 ; Pruetworanan, 2008; and Suphan, 2010)

5.2 ความหลากหลายของสาหร่ายน้ำดีใหญ่

สาหร่ายน้ำดีใหญ่จะมีการเจริญได้ดีที่สุดในช่วงถูกหน้า และช่วงต้นของถูกร้อน โดยการเจริญจะเริ่มในช่วงปลายของถูกฝนซึ่งน้ำเริ่มไหลเข้า ในเดือนตุลาคมจะเริ่มสังเกตเห็นลักษณะเป็นเส้นสั้นๆ สาหร่ายน้ำดีใหญ่ที่เจริญเต็มที่ก่อนกลุ่มอื่น คือ เทาน้ำ (*Spirogyra* spp.) โดยมีการเจริญเต็มที่ในเดือนกรกฎาคม ส่วน สาหร่ายน้ำดีใหญ่กลุ่มที่ 2 คือสาหร่ายไก (*Cladophora glomerata* Kützing, *Microspora pachyderma* (Wille) Lagerheim, *Microspora* sp.1UBU MK5) และสาหร่ายตาข่ายน้ำ (*Hydrodictyon* sp.) จะเริ่มนิการเจริญในช่วงเดือนตุลาคม และจะเจริญสูงสุดในเดือนกุมภาพันธ์และมีนาคม สำหรับสาหร่ายน้ำดีใหญ่กลุ่มที่ 3 คือ *Oscillatoria princeps* Vaucher จะมีการเจริญแทนที่ภายนอกสาหร่ายน้ำดีใหญ่กลุ่มอื่นๆ ตายลงไป โดยเจริญบนซากของสาหร่ายน้ำดีใหญ่กลุ่มอื่นๆ ปัจจัยที่ส่งผลกระทบกระตุ้นการเจริญของสาหร่ายน้ำดีใหญ่ พนว่าใน

เดือนที่สาหร่ายขนาดใหญ่เจริญได้ดีนั้น แม่น้ำมีกระแสน้ำที่ไหลช้าลง มีความใสของน้ำมากขึ้น และมีสารอาหารประเภท พอสเฟตทั้งหมดที่ละลายในน้ำสูงขึ้น และมีไนเตรฟฟ์สูงขึ้น ซึ่งสอดคล้องกับงานของยุวดี (2548); Kunpradid (2005) Leelahakriengkrai (2007a) และ Leelahakriengkrai *et al.* (2009) ซึ่งพบว่าสาหร่ายขนาดใหญ่จะมีการเจริญเติบโตได้ดีในช่วงเวลาเดียวกับช่วงเวลาที่พบในงานวิจัยนี้คือในช่วงปลายของฤดูฝน และเจริญสูงสุดในฤดูหนาว และฤดูร้อน ในงานวิจัยนี้พบสาหร่ายขนาดใหญ่ที่มีแนวเป็นชนิดใหม่คือ *Microspora* sp.1 UBU-MK5

จุดเก็บตัวอย่างที่พันเทาน้ำมากที่สุด คือ จุดที่ 5 รองลงมาคือจุดที่ 1, 6 และ 7 ตามลำดับ โดยพบว่าลักษณะของวัตถุพื้นที่ห้องน้ำที่เหมาะสมต่อการเจริญของเทาน้ำคือ โคลนปนทราย และน้ำไหลเอ้อย หรือมีพื้นที่ลักษณะเป็นแองน้ำสีเขียวเข้าหาริมฝั่ง สำหรับสาหร่ายขนาดใหญ่กลุ่มสาหร่ายไกเจริญได้ดีที่สุดในจุดที่ 1 รองลงมาคือ 7, 6, 4 และ 8 ตามลำดับ ลักษณะของวัตถุพื้นที่ห้องน้ำที่เหมาะสมในการเจริญคือก้อนหิน โดยไกจะใช้เซลล์ที่อยู่บริเวณล่างสุดของเส้นสายเปลี่ยนรูปร่างเพื่อการยึดเกาะ สาหร่ายขนาดใหญ่อีกชนิดหนึ่งที่เจริญชั้นประปันกับไก คือ *Hydrodictyon* sp. ที่จะมีลักษณะเป็นโคลโนนีที่เกิดจากเรียงตัวของเซลล์อย่างต่อเนื่องเป็นถุงตาข่ายปิด นอกจากนี้เมื่อสาหร่ายขนาดใหญ่ส่วนมากตายลง ไปจะมีการเจริญของ *Oscillatoria princeps* Vaucher เจริญขึ้นมาแทนที่บนซากของสาหร่ายขนาดใหญ่กลุ่มอื่นในระยะต่อมา

5.3 ความสัมพันธ์ของไดอะตومพื้นท้องน้ำ สาหร่ายขนาดใหญ่และคุณภาพน้ำ

ปัจจัยที่มีผลกระตุ้นการเจริญของไดอะตومพื้นท้องน้ำและสาหร่ายขนาดใหญ่ ได้แก่ ปริมาณของไนเตรฟและพอสเฟตที่ละลายในน้ำทั้งหมดที่มีปริมาณสูงมากขึ้น และค่าความลึกที่แสงส่องถึงที่มากขึ้น โดยลักษณะพื้นที่ห้องน้ำที่เหมาะสมต่อการเจริญของสาหร่ายขนาดใหญ่กลุ่มเทาน้ำ จะเจริญได้ดีที่สุดบนพื้นที่ห้องน้ำที่เป็นดินโคลนเลนส่วนใหญ่และปนทรายเล็กน้อย กระแสน้ำค่อนข้างนิ่ง หรือไหลเอ้อยเล็กน้อย สาหร่ายกลุ่มไกจะเจริญได้ดีที่สุดบนพื้นที่ห้องน้ำที่เป็นก้อนหิน และกระแสน้ำที่ไหลเอ้อย สำหรับสาหร่ายไกที่ต่อกระแสน้ำที่ไหลแรง ได้มากกว่าสาหร่ายเทาน้ำ ทั้งนี้เพราะสาหร่ายไกมีการยึดเกาะกับพื้นที่ห้องน้ำแน่นมากกว่าสาหร่ายเทาน้ำ นอกจากนี้ยังพบว่า *Hydrodictyon* sp. และ *Oscillatoria princeps* Vaucher มีการเจริญโดยยึดเกาะค่อนข้างหลวมๆ กับพื้นที่ห้องน้ำที่เป็นโคลนได้

5.4 คุณภาพน้ำทางด้านกายภาพ เกมี และชีวภาพบางประการ

จากการศึกษาคุณภาพน้ำทางด้านกายภาพ เกมีและชีวภาพบางประการ ในแม่น้ำโขงส่วนที่ไหลผ่านจังหวัดอุบลราชธานี พบว่าคุณภาพน้ำมีความแตกต่างกันในแต่ละจุดเก็บตัวอย่างและแต่ละเดือน ดังนี้

อุณหภูมิของน้ำและอากาศมีการเปลี่ยนแปลงเป็นไปตามฤดูกาล และอุณหภูมิอาจเป็นปัจจัยที่ส่งเสริมการเจริญทางอ้อมของสาหร่ายขนาดใหญ่ ทั้งนี้ เพราะสาหร่ายขนาดใหญ่จะเจริญได้ดีมากในฤดูหนาว และเกิดการตายในฤดูร้อน

ค่าความลึกที่แสงส่องถึงจะมีค่าต่ำในฤดูฝนและสูงในฤดูร้อนและฤดูหนาว ซึ่งมีความสัมพันธ์กับการเจริญของไ道อะตอนพื้นท้องน้ำและสาหร่ายขนาดใหญ่ที่มีการเจริญได้ดีในช่วงช่วงฤดูหนาวและช่วงต้นฤดูร้อนซึ่งมีค่าความลึกที่แสงส่องถึงสูง ทั้งนี้ เพราะเมื่อน้ำมีความใสมากขึ้นจะส่งผลให้แสงสามารถส่องลงไปในน้ำได้อย่างเพียงพอและเหมาะสมสมควรของการเจริญของสาหร่ายขนาดใหญ่ได้ดีขึ้น

ค่าความเร็วของกระแสน้ำมีค่าสูงในฤดูฝน ลดลงในฤดูหนาวและต่ำสุดในฤดูร้อนทั้งนี้ เพราะในฤดูฝนมีฝนตกในปริมาณมาก ส่งผลให้มีกระแสน้ำที่ไหลเร็วและแรงมากขึ้น ซึ่งส่งผลให้สาหร่ายขนาดใหญ่เจริญได้น้อยหรือไม่พบรการเจริญของสาหร่ายขนาดใหญ่ เนื่องจากกระแสน้ำทำให้สาหร่ายขนาดใหญ่ถูกพัดพาให้หลุดออกจากพื้นท้องน้ำ นอกจากนี้ค่าความเร็วของกระแสน้ำยังมีผลต่อการเจริญของไ道อะตอนพื้นท้องน้ำ เช่น กัน แต่ไม่นักเท่ากับสาหร่ายขนาดใหญ่ทั้งนี้ เพราะไดอะตอนพื้นท้องน้ำนั้นมีการขีดเคฟกับพื้นท้องน้ำแน่นมากกว่าสาหร่ายขนาดใหญ่

ค่าการนำไฟฟ้า พบร่วมกับค่าการนำไฟฟ้าที่ต่ำที่สุด ทั้งนี้ เพราะปริมาณน้ำฝนที่ตกลงสู่แหล่งน้ำ ทำให้เกิดการเจือจางของอิออนของสารอนินทรีย์ ค่าการนำไฟฟ้าจะเพิ่มสูงมากขึ้น เมื่อเข้าสู่ฤดูหนาวและสูงที่สุดในฤดูร้อน โดยพบว่าค่าการนำไฟฟ้ามีความสัมพันธ์กับการเจริญของไ道อะตอนพื้นท้องน้ำและสาหร่ายขนาดใหญ่

ค่าความเป็นกรดค้าง มีค่าสูงในฤดูหนาวซึ่งมีความสัมพันธ์กับค่าความเป็นด่าง และสัมพันธ์กับการเจริญของสาหร่ายขนาดใหญ่ที่มีการเจริญมากขึ้นในฤดูหนาว ทั้งนี้ เพราะสาหร่ายขนาดใหญ่ที่มีการเจริญมากนั้นจะนำเอกสารบ่อนไ道อะตอนพื้นท้องน้ำไปใช้ในกระบวนการสังเคราะห์ด้วยแสงมากขึ้น ทำให้การบ่อนไ道อะตอนพื้นท้องน้ำลดลง ส่งผลให้ค่าความเป็นกรดในน้ำลดลง และมีผลในทางตรงกันข้ามทำให้ค่าความเป็นกรดค้างเพิ่มสูงมากขึ้นในฤดูหนาว

ค่าความเป็นด่าง พบร่วมกับค่าสัมพันธ์กับค่าความเป็นกรดค้างและการเจริญของสาหร่ายขนาดใหญ่ และการเจริญของไ道อะตอนพื้นท้องน้ำ โดยพบว่ามีค่าสูงในฤดูหนาวและรองลงมาคือฤดูร้อนและต่ำที่สุดคือฤดูฝน

ปริมาณออกซิเจนที่ละลายได้ในแหล่งน้ำมีค่าสูงในต่อหน้าและต่อร้อน โดยเฉพาะอย่างยิ่งในจุดเก็บที่มีการเริ่มของสาหร่ายขนาดใหญ่มาก และพบว่าปริมาณออกซิเจนที่ละลายได้ในแหล่งน้ำมีความสัมพันธ์กับค่าเบอร์เซ็นต์ออกซิเจนที่อิ่มตัวในน้ำ อย่างไรก็ตาม พบว่าช่วงปลายของต่อหน้าในเดือนกุมภาพันธ์ที่สาหร่ายขนาดใหญ่ก่อตัวในน้ำเริ่มตายลง จะมีผลทำให้ปริมาณออกซิเจนที่ละลายในน้ำลดลง ทั้งนี้ เพราะจุลินทรีย์นำออกซิเจนไปใช้ในการย่อยสลายชาภของเทาน้ำมากขึ้น ทำให้แหล่งน้ำมีปริมาณออกซิเจนลดลง

ปริมาณออกซิเจนที่แบคทีเรียใช้ในการย่อยสลายสารอินทรีย์ในน้ำ พบว่ามีค่าสูงในช่วงปลายของต่อหน้าและช่วงปลายของต่อร้อนซึ่งสัมพันธ์กับสาหร่ายขนาดใหญ่ที่มีการตายเกิดขึ้นในช่วงเวลาดังกล่าว ทั้งนี้ เพราะจุลินทรีย์ต้องการออกซิเจนเพื่อใช้ในการย่อยสลายชาภของสาหร่ายขนาดใหญ่ในปริมาณมาก

ปริมาณไนเตรท มีค่าสูงในต่อฝนในเดือนสิงหาคม และกันยายนเนื่องจากมีการชะล้างปูยคอกรที่ชุมชนใช้เพื่อการเพาะปลูกบริเวณฝั่งที่ไหลลงสู่แม่น้ำโขง ในช่วงเวลาต่อมาเมื่อเข้าสู่ช่วงปลายต่อฝนต่อ กับช่วงต้นต่อหน้าน้ำสาหร่ายขนาดใหญ่จะค่อยๆ เจริญเพิ่มมากขึ้นทั้งนี้ เพราะสาหร่ายขนาดใหญ่ได้รับสารอาหารเพียงพอและเหมาะสมต่อการเจริญ ในช่วงเวลาต่อมาเมื่อสาหร่ายขนาดใหญ่เจริญสูงสุดปริมาณไนเตรทจะเริ่มลดลง เพราะไนเตรทถูกนำไปใช้ในการเจริญของสาหร่ายขนาดใหญ่ ทำให้สาหร่ายขนาดใหญ่เริ่มตายลง ในช่วงเวลาปลายของต่อร้อน ซึ่งจากสาหร่ายจะถูกย่อยสลายโดยจุลินทรีย์เพื่อหมุนเวียนปริมาณไนเตรทกลับสู่แหล่งน้ำอีกรั้ง

ปริมาณฟอสเฟตที่ละลายในน้ำทั้งหมด มีค่าสูงที่สุดในช่วงปลายของต่อฝนในเดือนตุลาคมเนื่องจากมีการชะล้างปูยคอกรที่ชุมชนใช้เพื่อการเพาะปลูกบริเวณฝั่งและลิ่งชักล้างจากชุมชนที่ไหลลงสู่แม่น้ำโขง ในช่วงเวลาต่อมาเมื่อเข้าสู่ช่วงปลายต่อฝนต่อ กับช่วงต้นต่อหน้าน้ำสาหร่ายขนาดใหญ่จะค่อยๆ เจริญเพิ่มมากขึ้นทั้งนี้ เพราะสาหร่ายขนาดใหญ่ได้รับสารอาหารเพียงพอและเหมาะสมต่อการเจริญ และเริ่มตาย ซึ่งจากการย่อยสลายฟอสเฟตที่ละลายในน้ำทั้งหมดจะกลับเพิ่มขึ้นอีกรั้งหนึ่ง

ปริมาณคลอโรฟิลล์ เอ มีปริมาณมากในช่วงต่อหน้าและต่อร้อนซึ่งเป็นช่วงเวลาที่มีการเจริญของสาหร่ายขนาดใหญ่มาก เดือนที่มีปริมาณคลอโรฟิลล์มากที่สุดคือ เดือนกุมภาพันธ์ ถึงเดือนพฤษภาคม ทั้งนี้เนื่องจากสาหร่ายขนาดใหญ่บางส่วนมีการหลุดลอกขึ้นสู่ผิวน้ำมากขึ้น และประกอบกับมีแพลงก์ตอนพืชเจริญได้ดีในแหล่งน้ำในช่วงเวลาดังกล่าว

ปริมาณโคลิฟอร์มแบคทีเรียทั้งหมดและฟิคัลโคลิฟอร์มแบคทีเรีย มีปริมาณมากที่สุดในจุดที่ 10 ซึ่งเป็นจุดที่มีชุมชนอาศัยอยู่อย่างหนาแน่นและมีพร้านอาหาร นอกจากนี้ยังพบว่าในต่อร้อนช่วงที่มีประเพณีสงกรานต์และหลังสงกรานต์ซึ่งมีประชาชนนิยมเล่นน้ำในแหล่งน้ำในจุดที่ 7,

8, 9, 10 ในเดือนพฤษภาคม จะพบปริมาณโคลิฟอร์มแบคทีเรียทั้งหมด และฟิคัลโคลิฟอร์มแบคทีเรียในน้ำในปริมาณสูง

5.5 การใช้ไโคอะตอมพื้นท้องน้ำและสาหร่ายขนาดใหญ่เป็นตัวนับชีวิตคุณภาพน้ำ

ผลการวิเคราะห์ทางสถิติโดยใช้ชนิดและปริมาณของไโคอะตอมและสาหร่ายขนาดใหญ่ร่วมกับคุณภาพน้ำในแต่ละจุดเก็บตัวอย่าง พบว่า ไโคอะตอมพื้นท้องน้ำและสาหร่ายขนาดใหญ่หลายชนิดสามารถนำมาใช้ในการบ่งชีวิตคุณภาพน้ำได้ โดยไโคอะตอมพื้นท้องน้ำ *Cymbella tumida* (Brébisson) Van Heurck และ *Navicula erifuga* Lange-Bertalot ที่สามารถใช้เป็นตัวนับชีวิตน้ำที่มีสารอาหารปานกลาง และกลุ่มที่ 2 ได้แก่ *Cymbella turgidula* Grunow, *Gomphonema clevei* var. *javanica* Hustedt, *Luticola goeppertia* (Bleisch) D. C. Mann, *Nitzschia liebetrichii* Rabenhorst และ *Nitzschia palea* (Kützing) W. Smith สามารถใช้เป็นตัวนับชีวิตน้ำที่มีสารอาหารปานกลางถึงสูงได้ สาหร่ายขนาดใหญ่ *Spirogyra* sp.1, *Spirogyra* sp.2, *Cladophora glomerata* Kützing, *Microspora pachyderma* (Wille) Lagerheim, และ *Microspora* sp., สามารถใช้เพื่อบ่งชีวิตแหล่งน้ำที่มีสารอาหารปานกลางได้ *Oscillatoria princeps* Vaucher สามารถใช้เพื่อบ่งชีวิตแหล่งน้ำที่มีสารอาหารปานกลางถึงสูงได้

จุดเก็บตัวอย่างที่มีคุณภาพน้ำดีที่สุด มีคุณภาพน้ำปานกลางหรือ มีสารอาหารปานกลาง (mesotrophic) ได้แก่ จุดที่ 4 จุดที่ 5 จุดที่ 6 จุดที่ 2 จุดที่ 3 และจุดที่ 7 จุดที่จัดเป็นแหล่งน้ำที่มีคุณภาพน้ำปานกลางถึงไม่ดี หรือ มีสารอาหารปานกลางถึงสูง (mesotrophic to eutrophic) ได้แก่ จุดที่ 1 จุดที่ 8 จุดที่ 10 และ จุดที่ 9

บทที่ 6

สรุปผลการวิจัย

ผลการศึกษาพบได้อะตอมพื้นท้องน้ำทั้งหมด 307 ชนิด ได้อะตอมพื้นท้องน้ำชนิดเด่นที่พบในการวิจัยครั้งนี้ได้แก่ *Gomphonema lagenula* Kützing รองลงมาคือ *Navicula rostellata* Kützing, *Nitzschia palea* (Kützing) W.Smith, *Luticola goeppertiana* (Bleisch) D.G.Mann, *Nitzschia liebetrichii* Rabenhorst, *Sellaphora pupula* (Kützing) Mereschkowsky, *Navicula erifuga* Lange-Bertalot, *Cymbella tumida* (Brébisson) Van Heurck, *Gomphonema clevei* var. *javanica* Hustedt, *Cymbella turgidula* Grunow, *Gomphonema pseudosphaerophorum* Kobayasi, *Pinnularia subcapitata* Gregory, *Amphora montana* Krasske, *Rhopalodia gibberula* (Ehrenberg) O. F. Müller, *Nitzschia filiformis* (W.Smith) Hustedt, *Bacillaria paxillifer* (O.F.Müller) T.Marsson, *Navicula cryptotenella* Lange-Bertalot และ *Gomphonema* sp.2 ตามลำดับ ได้อะตอมที่มีแนวโน้มจะเป็นชนิดใหม่ที่ทั้งหมด 3 ชนิด และ 1 variety และพบสาหร่ายขนาดใหญ่ 37 ชนิด สาหร่ายขนาดใหญ่ชนิดเด่นคือ *Spirogyra* spp. รองลงมาคือ *Cladophora glomerata* Kützing, *Microspora pachyderma* (Wille) Lagerheim และ *Microspora* sp.1 ตามลำดับ สาหร่ายขนาดใหญ่ที่มีแนวโน้มเป็นชนิดใหม่มี 1 ชนิด คือ *Microspora* sp.1UBU-MKS

คุณภาพน้ำในทุกจุดเก็บตัวอย่าง ในแม่น้ำโขงส่วนที่ไหลผ่านจังหวัดอุบลราชธานี มีคุณภาพน้ำใกล้เคียงกัน คือ มีคุณภาพน้ำปานกลางหรือ มีสารอาหารปานกลาง (mesotrophic) ได้แก่ บ้านนาเมือง วัดปากเซง บ้านตาขุ บ้านนาสามاء หลังตลาดในเทศบาลอำเภอเรมราฐ และหาดวิจิตรฯ จุดที่จัดเป็นแหล่งน้ำที่มีคุณภาพน้ำปานกลางถึงไม่คีหรือ มีสารอาหารปานกลางถึงสูง (mesotrophic to eutrophic) ได้แก่ แก่งช้างหมอบ บ้านกุ่ม บ้านด่านและบ้านหวยไฝ

ผลการวิเคราะห์ทางสถิติโดยใช้ชนิดและปริมาณของไดอะตومพื้นท้องน้ำและสาหร่ายขนาดใหญ่ร่วมกับคุณภาพน้ำในแต่ละจุดเก็บตัวอย่าง พบว่า ไดอะตอมพื้นท้องน้ำและสาหร่ายขนาดใหญ่หลายชนิดสามารถนำมาระบุในการบ่งชี้คุณภาพน้ำได้ โดยไดอะตอมพื้นท้องน้ำ *Cymbella tumida* (Brébisson) Van Heurck และ *Navicula erifuga* Lange-Bertalot สามารถใช้เป็นคัดชั้นบ่งชี้น้ำที่มีสารอาหารปานกลาง และกลุ่มที่ 2 ได้แก่ *Cymbella turgidula* Grunow, *Gomphonema clevei* var. *javanica* Hustedt, *Luticola goeppertiana* (Bleisch) D. C. Mann, *Nitzschia liebetrichii* Rabenhorst และ *Nitzschia palea* (Kützing) W. Smith สามารถใช้เป็นคัดชั้นบ่งชี้น้ำที่มีสารอาหาร

ป่านกลางถึงมากได้ สาหร่ายขนาดใหญ่ *Spirogyra* sp.1, *Spirogyra* sp.2, *Cladophora glomerata* Kützing, *Microspora pachyderma* (Wille) Lagerheim, และ *Microspora* sp.1, สามารถใช้เพื่อปั่งชี้แหล่งน้ำที่มีสารอาหารป่านกลางได้ *Oscillatoria princeps* Vaucher สามารถใช้เพื่อปั่งชี้แหล่งน้ำที่มีสารอาหารป่านกลางถึงสูงได้

เอกสารอ้างอิง

เอกสารอ้างอิง (ต่อ)

กรมวิทยาศาสตร์การแพทย์. การควบคุมคุณภาพน้ำดื่ม. กรุงเทพมหานคร : กรมวิเคราะห์อาหาร
กรมวิทยาศาสตร์การแพทย์, 2538.

กรรมการ สิริสิงห์. เคมีของน้ำโถโทรศัพท์และการวิเคราะห์. กรุงเทพมหานคร : คณะสารสนเทศ
ศาสตร์ มหาวิทยาลัยมหิดล, 2525.

ภาณุ詹ภาณ์ ลิ่วมโนนต์. สาธารณสุขฯ. กรุงเทพมหานคร : คณะกรรมการ มหาวิทยาลัยเกษตรศาสตร์,
2527.

กุศยา สุวรรณวิหค. ปริมาณการแพร่กระจายของสารร้ายและความสัมพันธ์กับคุณภาพน้ำบางปะงาม
และการของลำน้ำแม่กลองและแม่น้ำเจ้าพระยา จังหวัดเชียงใหม่. วิทยานิพนธ์ปริญญาวิทยา
ศาสตร์มหาบัณฑิต : มหาวิทยาลัยเกษตรศาสตร์, 2529.

จรัส เครือทราย. การศึกษาคุณภาพน้ำในแม่น้ำบางปะกงจากสะพานไปถึงวัดบางกรุด. ชลบุรี :
คณะวิทยาศาสตร์ มหาวิทยาลัยบูรพา, 2535.

ชาญณรงค์ แก้วเล็ก. การศึกษาสารร้ายที่เป็นดัชนีชี้คุณภาพน้ำในลุ่มน้ำชีในจังหวัดขอนแก่น
โดย ชัยภูมิ อุครชานนี มหาสารคาม การสินธุ์ ร้อยเอ็ด อุบลราชธานี. วิทยานิพนธ์
ปริญญามหาบัณฑิต : มหาวิทยาลัยเกษตรศาสตร์, 2532.

ณัฐรั吉 เหมenkoth สุวรรณ. นิเวศวิทยาของไครอะตอนในแม่น้ำป่าสัก: ความสัมพันธ์ระหว่าง
ไครอะตอนกับปริมาณน้ำท่า. วิทยานิพนธ์ปริญญาวิทยาศาสตร์มหาบัณฑิต :
มหาวิทยาลัยธรรมศาสตร์, 2544.

ตรัย เปี๊กทอง. ความหลากหลายของแพลงก์ตอนพืชและเบนทิกแอลจิในลำน้ำแม่สา
อุทัยนแห่งชาติ ดอยสุเทพ-ปุย จังหวัดเชียงใหม่ ระดับความสูง 330 ถึง 550 เมตร.
วิทยานิพนธ์ปริญญาวิทยาศาสตร์มหาบัณฑิต : มหาวิทยาลัยเชียงใหม่, 2541.

ทัตพร คุณประดิษฐ์. ความหลากหลายทางชีวภาพของแพลงก์ตอนพืชและสารร้ายขนาดใหญ่ในลำ
น้ำแม่สา อุทัยนแห่งชาติดอยสุเทพ-ปุย จังหวัดเชียงใหม่. วิทยานิพนธ์ปริญญาวิทยา
ศาสตร์มหาบัณฑิต : มหาวิทยาลัยเชียงใหม่, 2543.

นันทนा คงเสนี. คุณมีอปปูบัติการนิเวศวิทยาน้ำจืด. กรุงเทพมหานคร : สำนักพิมพ์จุฬาลงกรณ์
มหาวิทยาลัย, 2536.

บัญญัติ มนเทียรอาสา. แพลงก์ตอนพืชวิทยาเบื้องต้น. เชียงใหม่ : คณะผลิตกรรมการเกษตร
สถาบันเทคโนโลยีการเกษตรแม่โจ้, 2533.

เอกสารอ้างอิง (ต่อ)

- ประมาณ พรหมสุทธิรักษ์. เอกสารคำสอนวิชาชลีวิทยา. กรุงเทพมหานคร : คณะประมง
มหาวิทยาลัยเกษตรศาสตร์, 2531.
- ประเสริฐ ไวยากร. ความหลากหลายของแพลงก์ตอนพืชและเบนทิกแอลจี ในลำน้ำแม่สາ
อุทยานแห่งชาติดอยสุเทพ-ปุย จังหวัดเชียงใหม่. เชียงใหม่ : วิทยานิพนธ์ปริญญาวิทยา
ศาสตรมหาบัณฑิต : มหาวิทยาลัยเชียงใหม่, 2541.
- ประเสริฐ ไวยากร และศรีวรรณ ไชยสุข. “ความหลากหลายและการแพร่กระจายของ
แพลงก์ตอนพืชน้ำจืดในเขตจังหวัดเชียงราย”, ใน ชั้นรมสายร่ายและแพลงก์ตอนแห่ง
ประเทศไทย (บก), โครงการพัฒนาองค์ความรู้และศึกษา นโยบายการจัดการทรัพยากร
ชีวภาพในประเทศไทย (BRT) น. 30. เชียงใหม่ : คณะวิทยาศาสตร์
มหาวิทยาลัยเชียงใหม่, 2548.
- ปรีดามน คำชิรพิทักษ์ และลัคดา วงศ์รัตน์. “นิเวศวิทยา การจำแนกชนิดของไดโนแฟลกเจลเลต-
น้ำจืดจากอ่างเก็บน้ำพาน จังหวัดอุตรธานี และการเพาะเลี้ยงในห้องปฏิบัติการ”, ใน
ชั้นรมสายร่ายและแพลงก์ตอนแห่งประเทศไทย (บก), โครงการพัฒนาองค์ความรู้และ
ศึกษา นโยบายการจัดการทรัพยากรชีวภาพในประเทศไทย (BRT), น. 12. เชียงใหม่ :
คณะวิทยาศาสตร์ มหาวิทยาลัยเชียงใหม่, 2548.
- เปี่ยมศักดิ์ เมนะเสวต. แหล่งน้ำกับปัญหาน้ำพิษ. กรุงเทพมหานคร : จุฬาลงกรณ์มหาวิทยาลัย,
2539.
- พิมพุ วรรษัง. การสำรวจชนิด นิเวศวิทยาของสายร่ายสีเขียวแกรมน้ำเงินในลุ่มน้ำภาคเหนือ
บางแห่งและการเพาะเลี้ยง. วิทยานิพนธ์ปริญญาวิทยาศาสตรมหาบัณฑิต :
มหาวิทยาลัยเชียงใหม่, 2545.
- รัชชา ชัยชนะ. การตรวจสอบคุณภาพน้ำโดยใช้ตัวชี้วัดทางชีวภาพ (Biomonitoring).
http://www.thaibryozoans.com/news_articles/bioindicator_th.shtml. 17 กันยายน ,
2549.
- ยุวดี พิรพรพิศาล. สายร่าย : ความรู้ทั่วไปเกี่ยวกับสายร่าย สายร่ายสีเขียวแกรมน้ำเงินและ
สายร่ายสีเขียว. เชียงใหม่ : คณะวิทยาศาสตร์ มหาวิทยาลัยเชียงใหม่, 2538.
- _____. “ศักยภาพของสายร่ายน้ำจืดขนาดใหญ่”, นานาสารวันน้ำ. 8(32) : 20-21, 2548.
- _____. สายร่ายวิทยา. เชียงใหม่ : คณะวิทยาศาสตร์ มหาวิทยาลัยเชียงใหม่, 2548.

เอกสารอ้างอิง (ต่อ)

- . สารร้ายวิทยา. เชียงใหม่ : คณะวิทยาศาสตร์ มหาวิทยาลัยเชียงใหม่, 2548.
- ยุวดี พิรพรพิศาล และจีรพร เพกเกะ. “ความหลากหลาย สายพันธุกรรม และสารพิษของสาหร่ายสีเขียวแกมน้ำเงินที่สร้างสารพิษในประเทศไทย”, ใน ชั้นรมสารร้ายและแพลงก์ตอนแห่งประเทศไทย (บก), โครงการพัฒนาองค์ความรู้และศึกษาฯ นโยบายการจัดการทรัพยากรชีวภาพในประเทศไทย (BRT) น.2. กรุงเทพมหานคร : คณะวิทยาศาสตร์ มหาวิทยาลัยเชียงใหม่, 2548.
- ยุวดี พิรพรพิศาล. และทัตพร คุณประดิษฐ์. “การใช้สาหร่ายยึดเกาะในการติดตามตรวจสอบคุณภาพของแม่น้ำโขง ปี 2546-2547”, ใน ชั้นรมสารร้ายและแพลงก์ตอนแห่งประเทศไทย (บก), โครงการพัฒนาองค์ความรู้และศึกษาฯ นโยบายการจัดการทรัพยากรชีวภาพในประเทศไทย (BRT) น. 18. เชียงใหม่ : คณะวิทยาศาสตร์ มหาวิทยาลัยเชียงใหม่, 2548.
- ยุวดี พิรพรพิศาล, และคณะ. “สักภาพของสาหร่ายน้ำจืดขนาดใหญ่ในลำน้ำน่านที่ใช้เป็นอาหารและยา ปีที่ 2 และ 3”, ใน ชั้นรมสารร้ายและแพลงก์ตอนแห่งประเทศไทย (บก), โครงการพัฒนาองค์ความรู้และศึกษาฯ นโยบายการจัดการทรัพยากรชีวภาพในประเทศไทย (BRT) น. 18. กรุงเทพมหานคร : คณะวิทยาศาสตร์ มหาวิทยาลัยเชียงใหม่, 2548.
- ลัคดา วงศ์รัตน์. แพลงก์ตอนวิทยาเบื้องต้น. กรุงเทพมหานคร : มหาวิทยาลัยเกษตรศาสตร์, 2523.
- . คู่มือการเพาะเลี้ยงแพลงก์ตอนฟิช. กรุงเทพมหานคร : สำนักพิมพ์มหาวิทยาลัยเกษตรศาสตร์, 2540.
- . แพลงก์ตอนฟิช. กรุงเทพมหานคร : คณะประมง มหาวิทยาลัยเกษตรศาสตร์, 2542.
- ลัคดา วงศ์รัตน์ และ索幹那 บุญญาภิวัฒน์. คู่มือวิธีการเก็บและวิเคราะห์แพลงก์ตอน. กรุงเทพมหานคร : สำนักพิมพ์มหาวิทยาลัยเกษตรศาสตร์, 2546.
- วีระชัย โชควิญญู. เทคนิคการตรวจวิเคราะห์คุณภาพน้ำด้านแบบที่เรียบ. กรุงเทพฯ :
- สำนักพิมพ์โอดีเยนสโตร์, 2530.
- ศิริเพ็ญ ตรัยไชยaph. สาหร่ายวิทยาประยุกต์. ภาควิชาชีววิทยา คณะวิทยาศาสตร์ มหาวิทยาลัยเชียงใหม่, 2537.
- ศรีวรรณ ไชยสุข. การศึกษาระบบนิเวศของไก่. มหาวิทยาลัยราชภัฏเชียงราย. เชียงราย, 2545.
- สมสุข มัจฉาชีพ. นิเวศวิทยา. ชลบุรี : คณะวิทยาศาสตร์ มหาวิทยาลัยศรีนครินทร์วิโรฒ บางแสน, 2538.

เอกสารอ้างอิง (ต่อ)

สมใจ กัญจนวงศ์. คู่มือปฏิบัติการนิเวศวิทยา. เชียงใหม่ : คณะวิศวกรรมศาสตร์ มหาวิทยาลัยเชียงใหม่, 2532.

สรวิศ เพ่าทองสุข. ศักยภาพการวิจัยและพัฒนาเพื่อการใช้ประโยชน์จากสาหร่ายในประเทศไทย. กรุงเทพฯ : จุฬาลงกรณ์มหาวิทยาลัย, 2543.

สุทธารณ สุพรรณ. ความหลากหลายของสาหร่ายขนาดใหญ่และไโคอะตอนพื้นท้องน้ำในพื้นที่โครงการทองผาภูมิ จังหวัดกาญจนบุรี. วิทยานิพนธ์ปริญญาวิทยาศาสตร์มหาบัณฑิต : มหาวิทยาลัยเชียงใหม่, 2547.

สุกสรรชิรา พฤฒิวนันทน์. ความหลากหลายของสาหร่ายขนาดใหญ่และไโคอะตอนพื้นท้องน้ำในแม่น้ำโขงที่ไหลผ่านประเทศไทยและการประยุกต์ใช้เพื่อการติดตามตรวจสอบคุณภาพน้ำ. วิทยานิพนธ์ปริญญาวิทยาศาสตร์มหาบัณฑิต : มหาวิทยาลัยเชียงใหม่, 2551.

เสน่ห์ ใจนันดิษฐ์. อุทกภูมิศาสตร์. กรุงเทพมหานคร : มหาวิทยาลัยรามคำแหง, 2530.

เอกชัย ญาณะ. ความหลากหลายของสาหร่ายขนาดใหญ่และไโคอะตอนพื้นท้องน้ำและการประเมินคุณภาพน้ำในลำน้ำสาขาแม่น้ำโขงบางแห่งของไทยและลาวปี 2007-2008. วิทยานิพนธ์วิทยาศาสตร์ปริญญามหาบัณฑิต : มหาวิทยาลัยเชียงใหม่, 2553.

Barber, H.G. and Haworth, E.Y. A Guide to the Morphology of the Diatom Frustule.

The Freshwater Biological Association. Scientist Publication, 1981.

Biggs, B.J.F. "Periphyton communities and their environmental gradients in New Zealand Rivers", New Zealand Journal of Marine and Freshwater Research. (24): 367-386, 1990.

Bold, H. C. and Wynne, M. J. Introduction to the Algae : Structure and Reproduction. Englewood Cliff: Prentice-Hall, 1985.

Bold, H. C. and Wynne, M. J. Introduction to the Algae (2nd ed.). London: Printice-Hall, Inc, 1998.

Branco, L.H.Z., Necchi, J.O. and Branco, C.C. "Cyanophyceae from lotic Ecosystem of Sao Paulo State. South Eastern Brazil", Algological Studies (94): 63-8, 1999.

Chapman, V.J. and Chapman, D.J. The algae. London: The Macmillan press Ltd, 1973.

ເອກສາຮອ້າງອີງ (ຕ່ອ)

- Desy, J.P. and Coste, M. "A test of methods for assessing water quality based on diatoms. Verhandlungen der Internationalen Vereinigung für theoretische und angewandte", Limnologie. 24(4): 2112-2116, 1991.
- Dixit, S.S. "Diatoms : Powerful Indicators of Environmental Change", Environ. Sci. Technol., 26(1): 23-32, 1992.
- Entwistle, T.J. "Phenology of the Cladophora - Stigeoclonium community in two urban creeks of Melbourne", Australia Journal of Freshwater Research. (40): 236-248, 1989.
- Foged, N. Freshwater Diatoms in Thailand. Germany: Odense Publisher, 1971.
- Goldman, C.R. and Horne, A.J. Limnology. New York: McGraw-Hill Book Company, 1983.
- Greenberg, A.E., and et al. Standard Method for Examination of Water and Waste Water (20th edition). Washington DC. American: Public Health Association (APHA), 2005.
- Minoru, H. "Freshwater Algae collected by Joint Thai-Japaneses Biological Expedition to Southeast Asia", Natural Life in Southeast Asia. 196-1992, 1967.
- Hugh, B.N.H. The ecology of running waters. Liverpool: Liverpool University Press, 1970.
- Jones, W. and Medrano, S. "School of Public and Environmental Affairs", In Indiana Lake Water Quality Assessment Report for 1999-2003. USA: Indiana Univeristy. Bloomington, 2006.
- Jüttner I., and et al. "Diatoms as indicators of stream quality inthe Kathmandu Valley and Middle Hills of Nepal and India", Freshwater Biology. 48 (20): 65-84, 2003.
- Kelly, M.G. "Use of the Trophic Diatom Index to Monitor Eutrophication in Rivers", Water Research. (32): 236-242; 1998.
- Kelly, G.M. "Identification of Common benthic Diatoms in Rivers", J. Field Studies. (9): 583-700, 2000.

ເອກສາຮ້າງອົງ (ຕ່ອ)

- Kelly, M.G. and Haworth, E.Y. Phylum Bacillariophyta. In : John D.M., Whitton, B.A. and Brook, A.J. (eds). The Fresh Water Algae Flora of the British Isles : An Identification Guide to Freshwater and Terrestrial Algae. United Kingdom: Cambridge University Press, Cambridge, 2002.
- Kowe, R., and et al. “Modelling phytoplankton dynamics in the River Swale, an upland river in NE England”, The Science of the Total Environment. (210/211): 535-546, 1998.
- Krammer, K. And Lange-Bertalot, H. “Bacillariophyceae. 1. Teil: Naviculaceae. In: Ettl, H., Gerloff, J. Heynig, H. and Mollenhauer, D. (eds.) ” in Süßwasserflora von Mitteleuropa. Band 2/1. Germany, Gustav Fisher Verlag, Stuttgart, 1986.
- _____. “Bacillariophyceae. 2. Teil: Bacillariaceae, Epithemiaceae and Surirellaceae”, Süßwasserflora von Mitteleuropa. Band 2/2. Germany, Gustav Fisher Verlag, Stuttgart, 1988.
- _____. “Bacillariophyceae. 3. Teil: Centrales, Fragilariaeae and Eunotiaceae”, in Süßwasserflora von Mitteleuropa. Band 2/3. Germany, Gustav Fisher Verlag, Stuttgart, 1991a.
- _____. “Bacillariophyceae. 4. Teil: Achnanthaceae”, in Süßwasserflora von Mitteleuropa. Band 2/4. Germany, Gustav Fisher Verlag, Stuttgart, 1991b.
- Kunpradid T. Diversity of Macroalgae and Benthic Diatoms and Their Relationships with Nutrient Compounds in the Ping and Nan Rivers. Ph.D. Thesis: Chiang Mai University, 2005.
- Lange-Bertalot, H. Diatoms of Europe. Stuttgart, Germany, Koeltz Scientific Books, 2001.
- _____. Iconographia Diatomologica: Annotated Diatom Micrographs. FL 9491 Ruggell, Germany A.R.G. Ganter Verlag Kommanditgesellschaft, 2007.

เอกสารอ้างอิง (ต่อ)

- Leelahakriengkrai, P. and Peerapornpisal, Y. "Diversity of Phytoplankton and Water quality in Mae Kuang River, Lamphun Province Thailand", Journal of the International Phycological Society, Phycologia. 44(4): 61-62, 2005.
- Leelahakriengkrai, P. and Peerapornpisal, Y. "Diversity of benthic diatoms and water quality of the Ping River, Northern Thailand", Environment Asia, 3(a): 82-94, 2010.
- Leelahakriengkrai, P., Pruetworanant, S. and Peerapornpisal, Y. "Diversity of benthic diatoms and macroalgae and water quality in the Mekong River passing Chiang Rai Province, Thailand". KKU Science Journal. 37: 143-152, 2009.
- Leelahakriengkrai, P. and Peerapornpisal, Y. "Water Quality and Trophic Status in Main Rivers of Thailand". Chiang Mai Journal of Science. 38(2): 28-29, 2011.
- Lenoir, A. and Coste, M. "Development of a practical diatom index of overall water quality applicable to the French National Water Board network", in Use of Algae for Monitoring Rivers II. Innsbruck: Institut für Botanik, Universität Innsbruck, 1996.
- Lorraine, L.J. and Vollenweider, R.A. Summary report, the OECD cooperative programme on eutrophication. Burlington USA: National Water Research Institute, 1981.
- Necchi, O. and Pascoaloto, D. "Morphometry of *Comsopogon coeruleus* (Compsopogonaceae, Rhodophyta) population in a tropical river basin of southeastern Brazil", Journal of Phycologia. 32: 150-168, 1995.
- Niiyama, Yuko. "Morphology and classification of *Cladophora aegagropila* (L.) Rabenhorst (Cladophora, Cholrophyta) in Japanese lake", Journal of Phycologia. 28: 70-76, 1989.
- Nusch, E. A. "Comparision of Different Methods for Chlorophyll and Phaeopigment Determination", Arch Hydrobiol. Ergebni Limnol. 14: 14-36, 1980.
- Odum, P.E. Fundamental of Ecology. 3rd edition. USA: Saunders, W.B. Philadelphia, 1971.
- Pan, Y., and et al. "Spatial patterns and ecological determinants of benthic algal assemblages in Mid Atlantic Highland streams", Journal of Phycology. 35: 460-468, 1999.

ເອກສາຮ້າງອີງ (ຕ່ອ)

- Patrick R. "A taxonomic and distribution study of some diatoms from Siam and the Federated Malay States. Proc. Acad", Nat. Sci. Philadelphia. 88, 1939.
- Peerapornpisal, Y. and et al. "AARL-PC Monitoring of water quality in Ang Kaew reservoir of Chiang Mai University using phytoplankton as bioindicator from 1995-2002", Chiang Mai Journal of Science. 31(1): 85-94, 2004.
- Peerapornpisal, Y. and et al. "Assessment of water quality in standing water by using dominant phytoplankton (AARL-PP Score)", J. fisheries technology research. 1(1): 71-81, 2007.
- Pekthong, T. Biodiversity of Benthic Diatoms and Their Application in Monitoring Water Quality of Mae Sa Stream, Doi Suthep - Pui National Park, Chiang Mai. Ph.D. Thesis: Chiang Mai University, 2002.
- Pfister, P. "Phytobenthos communities from 2 Tyrolean mountain streams", in Arbeitsgemeinschaft Limnologie. Austria: Telfs, Österreich, 1992.
- Pinkayan, S. Evaluation of Environmental Change Study of Environmental Empact at Nam Pong Project Northeast Thailand. Thailand: Prepare of Nation Energy Administration by SEATEC Consulting Engineer, 1978.
- Pipp, E. and Rott, E. "Classification of running - water sites in Austria based on benthic algal community structure", Verhandlungen des Internationalen Verein Limnologie. (25): 1610-1613, 1994.
- Pipp, E. "A regional diatom-based trophic state indication system for running water sites in Upper Austria and its over regional applicability", Verhandlungen des Internationalen Verein Limnologie. (27): 3376–3380, 2002.
- Pollution Control Department. "Survey, collection and analysis of water samples and living organisms in the standing water" in Final report, Vol. 2. Thailand, Ministry of Natural Resources and Environment. Bangkok, 2010.
- Potapova, M. and Charles, D.F. "Distribution of benthic diatoms in US rivers in relation to conductivity and ionic composition", Freshwater Biology. 48: 1311-1328, 2003.

ເອກສາຮອ້າງອີງ (ຕອ)

- Prescott, G.W. Algae of the Western Great Lake Area. Iowa: W.M.C. Brown Company Publishers, 1951.
- Prygiel, J. and Coste M. "The assessment of water quality in the Artois-Picardie water basin (France) by the use of diatom indices", Hydrobiologia. (269): 343–349, 1993.
- Reavie, E.D. and Smol, J.P. "Epilithic diatoms of the St. Lawrence River and their relationships to water quality", Canadian Journal of Botany. (76): 251-257, 1998.
- Reid, M. A. and et al. "The use of diatoms to assess past and present water quality", Aus. Ecology. (20): 57-64, 1995.
- Rott, E. "Methodological aspects and perspectives of the use of periphyton for monitoring and protecting rivers", In The use of algae for monitoring rivers. Inst.f.Botanik, Univ. Innsbruck, 1991.
- Rott, E. "Diatoms of the Grand River, Ontario, Canada restudied after 25 years", Limnologica. (25): 165-192, 1995.
- Rott, E., Pfister, P. and Pipp, E. Use of Diatom for Environmental monitoring. Austria: Institute für Botanik der Universität Innsbruck, 1997.
- Rott, E., Duthie, H. and Pipp, E. "Diatoms for monitoring organic pollution and eutrophication in Grand River, Ontario", Canadian Journal of Fisheries and Aquatic Sciences. (55): 1443-1453, 1998.
- Rott, E., Pipp, E. and Pfister, P. "Diatom methods developed for river quality assessment in Austria and a cross-check against numerical trophic indication methods used in Europe", Algological Studies. (110): 91-115; November, 2003
- Round, F.E. The Biology of the Algae. Great Britain: Edward Arnold Limited, 1973.
- _____. "Diatoms in river water monitoring studies", Journal of Applied Phycology. (3):129-145, 1991.
- _____. A Review and Methods for the Use of Epilithic Diatoms for Detecting and Monitoring Changes in River Water Quality. London: HMSO Publications Centre, 1991.

ເອກສາຮອ້າງອີງ (ຕ່ອ)

- Sheath, G.R. and Cole, M.K. "Biogeography of stream macroalgae in North America", Journal of Phycologia. (28): 448-460, 1992.
- Soininen, J. "Responses of epilithic diatom communities to environmental gradients in some Finnish river", International Review of Hydrobiology. (87): 11-24, 2002.
- Suphan, S. Benthic diatoms and their application in water quality monitoring of Mekong River in the part of Thailand. Ph.D.Thesis: Chiang Mai University, 2009.
- Van Dam, H., Mertens, A. and Sinkeldam, J. "A Coded Checklist and Ecological Indicators Values of Freshwater Diatoms from the Netherlands", Netherlands Journal of aquatic ecology. 28(1): 117-133, 1997.
- Wetzel, R.G. Limnology. Philadelphia: Saunders College Publishing, 1983.
- _____. "Lake and River Ecosystems", in Limnology. New York: Academic Press, 2001.
- Whitton, B.A., Rott, E. and Friedrich, G. Use of Algae for Monitoring Rivers, Innsbruck: Institute für Botanic. Innsbruck University, 1991.
- Whitton, B. A. and Kelly, M. G. "Use of Algae and Other Plants for Monitoring Rivers", Australian J. Ecology, 20: 45-56, 1995.

ภาคผนวก ก

ภาคผนวก ก
การวิเคราะห์คุณภาพน้ำ

1. การวิเคราะห์คุณภาพของน้ำ

1.1 การวิเคราะห์ปริมาณออกซิเจนที่ละลายในน้ำ โดยใช้วิธีของ Azide Modification (APHA, AWWA, WPCF, 1998)

1.1.1 เก็บตัวอย่างน้ำด้วยขวด BOD ด้วยความระมัดระวังไม่ให้เกิดฟองอากาศในขวดตัวอย่าง และต้องทำการวิเคราะห์ทันทีหลังจากเก็บตัวอย่าง เพื่อไม่ให้ปริมาณออกซิเจนในตัวอย่างเกิดการเปลี่ยนแปลง

1.1.2 เติมสารละลายน้ำสีสอดอกไฮด์ (MnSO₄) ปริมาตร 2.0 มิลลิลิตรและสารละลายน้ำดีโซดาไอลิโอดีไซด์ (Alkali iodide azide reagent) ปริมาตร 1 มิลลิลิตร ในตัวอย่างน้ำตามลำดับ โดยการจุ่มน้ำไปใต้ผิวน้ำเพื่อป้องกันการเกิดฟองอากาศแล้วรีบปิดฝาโดยเร็วจากนั้นจับขวด BOD ที่มีตัวอย่างน้ำน้ำพลิกกลับไปกลับมาประมาณ 20 ครั้ง เพื่อให้สารละลายน้ำและตัวอย่างน้ำผสมกัน แล้วตั้งทิ้งไว้จนตกตะกอนแล้วจับขวดพลิกกลับไปมาซ้ำอีก แล้วปล่อยให้ตกตะกอนอีกครั้ง

1.1.3 เติมกรดซัลฟิวริกเข้มข้น (conc. H₂SO₄) ปริมาตร 2.0 มิลลิลิตร ลงในขวดตัวอย่างน้ำแล้วพลิกขวดกลับไปมาเพื่อละลายตะกอน

1.1.4 ตวงตัวอย่างน้ำจากข้อ 1.1.3 ปริมาตร 101 มิลลิลิตร ใส่ในขวดรูปทรงพู่เพื่อนำมาไทยเรต (ส่วนที่เกินมา 1.0 มิลลิลิตร เพื่อเป็นการชดเชยน้ำที่ไหลออกมากขณะที่มีการเติมสารละลายน้ำ) ก่อนจะตวงตัวอย่างน้ำออกมาระหว่างต้องเบี่ยงขนาดทุกครั้ง

1.1.5 ไทยเรตตัวอย่างน้ำด้วยสารละลายน้ำเดี่ยมไทยโซเดียมโซเดียมเฟตตอนตัวอย่างน้ำมีการเปลี่ยนเป็นสีน้ำตาลอ่อน หลังจากนี้จึงหยดน้ำเปลี่ยนไปในตัวอย่างน้ำ 8 หยด แล้วไทยเรตต่อหนตัวอย่างน้ำใส

1.1.6 จดบันทึกปริมาตรของสารละลายน้ำเดี่ยมไทยโซเดียมโซเดียมเฟตที่ใช้ทั้งหมด

1.1.7 คำนวณหาความเข้มข้นของปริมาตรออกซิเจนที่ละลายในน้ำ โดยสมการต่อไปนี้

$$\text{ปริมาณออกซิเจนที่ละลายในน้ำ (มิลลิลิตร/ลิตร)} = \frac{(V_1)(N)(1,000)}{V_2}$$

V_1 = ปริมาตรของโซเดียมไทยโซเดียมเฟตที่ใช้ไทยเรต

V_2 = ปริมาตรของตัวอย่างน้ำ

N = ความเข้มข้นของโซเดียมไทยโซเดียมเฟต

1.2 การวิเคราะห์หาค่า BOD ด้วยวิธี Azide Modification (APHA, AWWA, WPCF, 1998)

1.2.1 การเก็บน้ำตัวอย่างน้ำจะทำเช่นเดียวกับการหาค่า DO โดยเก็บตัวอย่างน้ำจำนวน 2 ขวด ชั้งขวดที่ 1 จะทำการวัดค่า DO ทันที โดยวิธี Azide modification (DO_s) ส่วนขวดที่ 2 จะเก็บไว้ที่ตู้ BOD ที่อุณหภูมิ 20 องศาเซลเซียส

1.2.2 ขวดเก็บตัวอย่างน้ำ นำมาวิเคราะห์ค่า DO

1.2.3 คำนวณหาสารที่ละลายในน้ำ มาคำนวณหาค่า BOD_s ของน้ำ จากสูตร
 $BOD_s \text{ (mg/l)} = DO_0 - DO_s$

1.3 การวิเคราะห์ความเป็นด่างของน้ำ โดยวิธี Phenolphthalein methyl orange indicator (APHA, AWWA, WPCF, 1998)

1.3.1 ตวงน้ำปริมาตร 100 มิลลิลิตร ใส่ในขวดรูปทรงพู่บานด 250 มิลลิลิตร

1.3.2 เติม Phenolphthalein indicator 3 หยด ลงในขวดรูปทรงพู่แล้วเบย่าให้เข้ากัน

1.3.3 ถ้าตัวอย่างเป็นสีชนพูด่อน ให้ไห้เกรตด้วย 0.02 N H_2SO_4 จนสังเกตเห็นสี การเปลี่ยนแปลงจากหายไปและบันทึกปริมาณที่ใช้

1.3.4 เติม Methyl orange indicator 3 หยด ลงในขวดรูปทรงพู่

1.3.5 ถ้าตัวอย่างเปลี่ยนเป็นสีเหลือง ให้ไห้เกรตด้วยกรดซัลฟิวริกความเข้มข้น 0.02 นอร์มอล จนสังเกตเห็นสีการเปลี่ยนแปลงจาก blank และค่อยๆ ไห้เกรตทีละหยดจนได้จุด end point เป็นสีส้มและแดง จดปริมาตรที่ใช้แล้วนำไปคำนวณในสูตร (methyl orange จะให้สีเหลืองในสารละลายที่เป็นด่าง สีส้มในสารละลายที่เป็นกรด และสีแดงในสารละลายที่เป็นกรด)

$$\text{Total alkalinity (mg/l) ของ } CaCO_3 = \frac{\text{จำนวนกรดที่ใช้เป็น มิลลิลิตร}}{10} \times 10$$

1.4 การวิเคราะห์หาปริมาณของฟอสฟे�ต โดยใช้วิธีมาตราฐาน (APHA, AWWA, WPCF, 1998)

1.4.1 ตัวอย่างที่ 1 กรองตัวอย่างน้ำด้วยกระดาษกรอง แล้วตวงน้ำตัวอย่างมา 50 มิลลิลิตร ใส่ลงในขวดรูปทรงพู่บานด 125 มิลลิลิตร

1.4.2 ตัวอย่างที่ 2 นำตัวอย่างน้ำที่ยังไม่กรองมาตวงให้ได้ปริมาตร 50 มิลลิลิตร แล้วใส่ลงในขวดรูปทรงพู่บานด 125 มิลลิลิตร

1.4.3 เดินผงแอนโนเนียมเปอร์ซัลเฟต 0.4 กรัม ลงในตัวอย่างทั้งสอง

1.4.4 ต้มบนเตาไฟฟ้าในเครื่องคุณค่าวันเป็นเวลา 30 หรือ 40 นาที จนกระทั่งปริมาตรเหลือ 10 มิลลิลิตร ทึ่งส่วนผสมไว้ให้เย็น แล้วจึงหางเป็น 30 มิลลิลิตร ด้วยน้ำกลั่น เดินสารละลายฟีนอฟราเดินอินคิเกเตอร์ และปรับพีเอชด้วยสารละลาย NaOH จนได้สีชมพูอ่อน

1.4.5 ปรับปริมาตรสารละลายเป็น 100 มิลลิลิตร ด้วยน้ำกลั่น

1.4.6 เดินสารละลายโนลิบเดต (เบย์ผสมทันทีหลังจากเติมสารในแต่ละครั้ง) 4.0 มิลลิลิตร และสารละlaysแต่น้ำสกัด (เบย์ผสมทันทีหลังจากเติมสารในแต่ละครั้ง) 4.0 มิลลิลิตร และสารละลายสแตนนัลคลอไรด์ 0.5 มิลลิลิตร (10 หยด) เก็บตัวอย่างสารและสารมาตรฐานไว้ที่อุณหภูมิระหว่าง 20-30 องศาเซลเซียส (± 2 องศาเซลเซียส)

1.4.7 จากนั้นทิ้งไว้ 10 นาที แต่ต้องวัดค่าการดูดกลืนแสงด้วยเครื่องสเปกโตรโฟโตมิเตอร์ที่ความยาวคลื่น 690 นาโนเมตร ภายใน 12 นาที แล้วนำค่าดูดกลืนแสงที่วัดได้ไปเปรียบเทียบกับกราฟมาตรฐาน โดยใช้น้ำกลั่นเป็น blank และบันทึกค่า

1.5 การวิเคราะห์หาปริมาณในเขต โดยใช้วิธีมาตรฐาน (APHA, AWWA, WPCF, 1998)

1.5.1 กรองตัวอย่างน้ำด้วยกรรษณะกรองแล้วดูดตัวอย่างน้ำที่ใส่ในบิกเกอร์ขนาด 50 มิลลิลิตร จำนวน 2 ใบ

1.5.2 เดินน้ำกลั่น 1 มิลลิลิตร ลงในบิกเกอร์แรกซึ่งจะเป็น blank และเติมสารละลาย บรูชิน- ชัลฟานิลิก 1 มิลลิลิตร ในบิกเกอร์ที่ 2

1.5.3 เดินกรดซัลฟิวริก 10 มิลลิลิตร ลงในแต่ละบิกเกอร์ นำบิกเกอร์มาอีก 2 ใบ และเท blank และตัวอย่างกลับไปกลับมาในแต่ละบิกเกอร์อย่างน้อย 6 ครั้ง เพื่อมั่นใจว่าเกิดการผสมเข้ากันดี

1.5.4 ทิ้งให้ตัวอย่างตกรตะกอนอย่างน้อย 3 นาที แต่ไม่เกิน 10 นาที เพื่อให้เกิดสี

1.5.5 วัดค่าดูดกลืนแสงของสีบรูชิน - ในเขต โดยใช้เครื่องสเปกโตรโฟโตมิเตอร์ที่ความยาวคลื่น 410 นาโนเมตร (หรือ 400 ถึง 425 นาโนเมตร กรณีใช้ฟลูออโรโฟโตมิเตอร์)

1.6 การวิเคราะห์ปริมาณคลอโรฟิลล์ เอ (คัดแปลงวิธีการ โดยบุคคล พิรพารพิศาลา และ นายนภภัทร์ นิวะศะบุตร, 2538)

1.6.1 นำน้ำตัวอย่างมากรองด้วยกระดาษ GF / C ปริมาตร 1,000 มิลลิลิตร

1.6. นำกระดาษกรองมาบด แล้วเติมสารละลายเอทานอล ความเข้มข้น 90 เปอร์เซ็นต์ ที่อุณหภูมิ 78 องศาเซลเซียส ปริมาตร 10 มิลลิลิตร เก็บในขวดสีชา แล้วนำไปเก็บในตู้เย็น 6-24 ชั่วโมง นำมากรองด้วยกระดาษ Whatman เปอร์ 1 พา yan อย่าให้ถูกแสง จากนั้นเติมสารละลายเอทานอลความเข้มข้น 90 เปอร์เซ็นต์ ที่อุณหภูมิห้อง ปริมาตร 20 มิลลิลิตร

1.6.3 นำสารละลายในข้อ 1.6.2 ไปวัดค่าคูลกีนแสงที่ความยาวคลื่น 665 นาโนเมตร โดยใช้สารละลายเอทานอลความเข้มข้น 90 เปอร์เซ็นต์เป็น bank แล้วใช้ cuvette ขนาด 4 เซนติเมตร

1.6.4 เติมสารละลายไฮดรคลอริกความเข้มข้น 2 นอร์มอล ปริมาตร 0.06 มิลลิลิตร แล้วทิ้งไว้ 30 นาที

1.6.5 นำไปวัดค่าคูลกีนแสงอีกครั้ง

1.6.6 ค่าคูลกีนแสงที่วัดได้ นำไปคำนวณหาค่าปริมาณคลอโรฟิลล์ เอ จากสูตร

$$\text{Chlorophyll a (ไมโครกรัมต่อลิตร)} = \frac{29.6 \times (A-B) \times v}{V \times l}$$

A = ค่าคูลกีนแสงก่อนเติมกรด HCl

B = ค่าคูลกีนแสงหลังเติมกรด HCl

V = ปริมาณน้ำตัวอย่าง

v = ปริมาณของเอทานอล

l = ขนาดความยาวของ cuvette (เซนติเมตร)

1.7 การตรวจหาปริมาณโคลิฟอร์มแบคทีเรียทั้งหมด พีคัลโคลิฟอร์ม และ E.coli โดยวิธี Standard multiple tube fermentation technique

โคลิฟอร์มแบคทีเรียเป็นแบคทีเรียที่มีแหล่งอาศัยปกติในท่อทางเดินอาหารของคนและสัตว์เลี้ยดอุ่น การตรวจพบโคลิฟอร์มแบคทีเรียจึงแสดงว่ามีการปนเปื้อนของอุจจาระโดยตรง โคลิฟอร์มแบคทีเรียที่ปนเปื้อนจากอุจจาระโดยตรง เรียกว่า Fecal coliform ส่วนแบคทีเรียโคลิฟอร์ม อื่นๆ เช่น *Enterobacter aerogenes* ซึ่งไม่อาจใช้เป็นดัชนีแสดงการปนเปื้อนจากอุจจาระ

โดยตรง จึงเรียกกลุ่มนี้ว่าเป็น non-fecal coliform เนื่องจาก *E.coli* มีคุณสมบัติต่างจาก *Enterobacter* sp. คือ

1. *E. coli* สามารถเฟอร์เมนต์น้ำตาลแลกโทส แล้วเกิดแก๊สที่อุณหภูมิ 44.5 องศาเซลเซียส ภายในเวลา 24-48 ชั่วโมง ซึ่งการทดสอบทำได้ง่าย

2. *E.coli* ให้ผลการทดสอบปฏิกิริยา IMVIC (indole,methyl red, Voges-Proskauer,citrate test) เป็น + + - - ส่วน *Enterobacter aerogenes* ให้ผลเป็น - - + + แต่การตรวจวิเคราะห์ยังยากและสืบเปลี่ยนกว่าวิธีที่ 1

ด้วยเหตุนี้จึงใช้ปฏิกิริยาการเฟอร์เมนต์น้ำตาลแลกโทสแล้วเกิดแก๊สที่อุณหภูมิ 44.5 องศาเซลเซียสเป็นการแยกกลุ่มแบคทีเรียโคลิฟอร์มเป็น 2 พากคือ Fecal coliform และ non-fecal coliform

การทำ Coliform test กระทำได้ 3 ขั้นตอนดังนี้คือ

1. Presumptive test เป็นการทดสอบคร่าวๆ ว่าในน้ำจะมีโคลิฟอร์มแบคทีเรียอยู่หรือไม่

2. Confirmed test เป็นการยืนยันผลการตรวจ Presumptive

3. Complete test เป็นการทดสอบว่าในน้ำมีโคลิฟอร์มแบคทีเรียอยู่หรือไม่อย่างสมบูรณ์ ปกติการทดสอบขั้นนี้จะไม่ทำกันเว้นแต่บางกรณีที่จำเป็นเท่านั้น

การทดสอบสามารถทำได้หลายวิธี เช่น Shake plate หรือ dilution plate count, multiple-tube technique และ membrane filter technique

วัตถุประสงค์ เพื่อให้สามารถนับจุลินทรีย์ และตรวจนับโคลิฟอร์มแบคทีเรียน้ำ โดยวิธี Multiple-tubetechnique และ membrane filter technique

การตรวจวิเคราะห์ Coliform

1. การตรวจคร่าวๆ ว่าเป็นแบคทีเรียโคลิฟอร์ม (presunmptive coliform test)

1.1 เตรียมตัวอย่างน้ำให้มีความเจือจางระดับละ 10 เท่าด้วยความเจือจางที่ต่างๆ กัน

1.2 ใส่ตัวอย่างน้ำแต่ละระดับความเจือจางลงในหลอดอาหาร lauryl tryptose broth ระดับความเจือจางละ 1 มิลลิลิตร. 3 หลอด เพื่อความสามารถของแบคทีเรียนในการใช้น้ำตาลแลกโทส และให้แก๊ส

1.3 บ่มที่อุณหภูมิ 35 องศาเซลเซียส เป็นเวลา 24-48 ชั่วโมง

1.4 ตรวจผลโดยสังเกตการเกิดแก๊สในหลอดดักแก๊สของหลอดอาหาร ถ้าเกิดแก๊สแสดงว่าผลเป็นบวก

1.5 นับจำนวนหลอดที่ให้ผลบวกแล้วนำไปหาค่า MPN จากตารางค่า MPN ค่าที่ได้คือปริมาณมากที่สุดของแบคทีเรียโคลิฟอร์มซึ่งอาจพบในตัวอย่างน้ำที่ตรวจวิเคราะห์ขึ้นตรวจคร่าวๆ

2. การตรวจเพื่อยืนยันว่าเป็นแบคทีเรียโคลิฟอร์ม (confirmed coliform test)

การยืนยันนั้นกระทำได้โดยใช้ brilliant green lactose bile broth ซึ่งจะมีทึ้ง brilliant green dye และ bile ที่เป็นสารสามารถขับยักษ์การเจริญของแบคทีเรียแกรมบวก ดังนั้นจึงเป็นการคัดเลือกให้แบคทีเรียกลุ่มที่อยู่ในทางเดินอาหาร ซึ่งเป็นแบคทีเรียแกรมลบ คือ แบคทีเรียโคลิฟอร์มเท่านั้นจริงได้ การทดลองมีดังนี้

2.1 จากหลอดที่ให้ผลบวกเท่านั้นใน presumptive test ถ่ายเชื้อลงในหลอดอาหาร brilliant green lactose bile broth หลอดละ 1 ลูป

2.2 บ่มที่ 35 องศาเซลเซียส เป็นเวลา 24-48 ชั่วโมง

2.3 ตรวจผลโดยสังเกตการเกิดแก๊สในหลอดดักแก๊ส ถ้าเกิดแก๊ส แสดงว่าผล Confirmed test เป็นบวก ยืนยันว่าเป็นแบคทีเรียโคลิฟอร์ม

2.4 นับจำนวนหลอดที่ให้ผลบวก นำไปหาค่า MPN จากตาราง ค่าที่ได้คือปริมาณมากที่สุดของแบคทีเรียโคลิฟอร์ม ซึ่งอาจพบในตัวอย่างน้ำที่ตรวจวิเคราะห์ในขั้นยืนยัน

3. การตรวจ Fecal coliform

3.1 อุ่นหลอดอาหาร EC broth ที่อุณหภูมิ 44.5 องศาเซลเซียส ถ่ายเชื้อ 1 ลูป จากหลอดที่ให้ผลบวกใน presumptive test ข้อ 1.1.4 ลงในอาหาร (ในกรณีที่ทำ Confirmed test ให้ถ่ายเชื้อจากหลอดที่ให้ผลบวกในขั้น Confirmed test ข้อ 1.2.3 จะดีกว่า)

3.2 รีบบ่มที่ 44.5 ± 0.2 องศาเซลเซียส (ภายใน 30 นาที หลังการถ่ายเชื้อในข้อ 1.4.1 เสร็จเป็นเวลา 24 ชั่วโมง)

3.3 ตรวจผลโดยสังเกตการณ์เกิดแก๊สในหลอดดักแก๊สของหลอดอาหาร ถ้าเกิดแก๊ส แสดงว่าผลการทดลองเป็นบวก

3.4 นับจำนวนหลอดที่ให้ผลบวกนำไปหาค่า MPN จากตาราง ค่าที่ได้คือปริมาณมากที่สุดของ fecal coliform ซึ่งอาจพบในตัวอย่างน้ำที่ตรวจวิเคราะห์

1.8 การหาค่าเอ็มพีอีน (MPN)

MPN ย่อมาจาก Most Probable Number เป็นจำนวนสูงสุดของจุลินทรีย์ที่มีได้ในตัวอย่างค่านี้ได้จากการประเมินโดยใช้หลักทางสถิติ

สำหรับการหาค่า MPN โดยวิธี Multiple tube fermentation technique นับเป็นเทคนิคหรือวิธีการประเมินสูงสุดของจุลินทรีย์ในตัวอย่าง โดยเฉพาะจุลินทรีย์จากตัวอย่างนั้นในอาหารเลี้ยงเชื้อชนิดเหลว ซึ่งเป็นอาหารที่เหมาะสมกับจุลินทรีย์ที่ต้องการประเมินจำนวน ดังนั้นจำนวนจุลินทรีย์ที่ประเมินได้ จึงเป็นจุลินทรีย์ที่มีชีวิตอยู่และสามารถเจริญในอาหารเลี้ยงเชื้อเท่านั้น

วิธีการตรวจวิเคราะห์ทั่วไป

1. เจือจางน้ำตัวอย่างระดับละ 10 เท่า เลือกใช้ความเจือจาง 3 ระดับ ใส่ตัวอย่างน้ำที่ความเจือจางระดับต่างๆ 1 มิลลิลิตร ลงในอาหารเหลวที่เหมาะสมสำหรับเพาะเชื้อ ระดับความเจือจางละ 3 หลอด

2. บ่มหลอดอาหารทั้งหมดที่อุณหภูมิและเวลาที่เหมาะสม บันทึกจำนวนหลอดที่ให้ผลบวกทุกระดับความเจือจางที่เลือก นำผลที่ได้ไปหาค่า MPN ของจุลินทรีย์ต่อ 100 มิลลิลิตร ของน้ำตัวอย่าง (โดยเทียบกับตาราง)

ตารางที่ 19 ค่าดัชนี MPN ที่ระดับความเชื่อมั่น 95 % ของหลอดที่ให้ผลบวกเมื่อใช้ระบบ 3 หลอด ของน้ำตรวจวิเคราะห์ 10 มิลลิลิตร 1.0 มิลลิลิตร และ 0.1 มิลลิลิตร

จำนวนหลอด ที่ให้ผลบวก	ดัชนี MPN/100 มิลลิลิตร	ระดับความเชื่อมั่นร้อยละ 95	
		ต่ำกว่า	สูงกว่า
0-0-0	<3	-	-
0-0-1	3	<0.5	9
0-1-0	3	<0.5	13
1-0-0	4	<0.5	20
1-0-1	7	1	21
1-1-0	7	1	23
1-1-1	11	3	36
1-2-0	11	3	36
2-0-1	14	3	37

ตารางที่ 19 ค่าดัชนี MPN และความเชื่อมั่น 95 % ของหลอดค์ที่ให้ผลบวกเมื่อใช้ระบบ 3 หลอด ของน้ำตรวจวิเคราะห์ 10 มิลลิลิตร 1.0 มิลลิลิตร และ 0.1 มิลลิลิตร (ต่อ) (APHA, AWWA, WPCF, 1998)

จำนวนหลอด ที่ให้ผลบวก	ดัชนี MPN/100 มิลลิลิตร	ระดับความเชื่อมั่นร้อยละ 95	
		ต่ำกว่า	สูงกว่า
2-1-0	15	3	44
2-1-1	20	7	89
2-2-0	21	4	47
2-2-1	28	10	149
3-0-0	23	4	120
3-0-1	39	7	130
3-0-2	64	15	379
3-1-0	43	7	210
3-1-1	75	14	230
3-1-2	120	30	380
3-2-0	93	15	380
3-2-1	150	30	440
3-2-2	210	35	470
3-3-0	240	36	1,300
3-3-1	460	71	2,400
3-3-2	1,100	150	1,800
3-3-3	>2,400	-	-

ในบางครั้งผลที่ได้ไม่สามารถเทียบหาค่าจากตาราง MPN ได้ จึงต้องทำการคำนวณหาค่าโดยใช้สูตรของโธมัส (Thomas simple formula)

$$\text{MPN/100 ml} = \frac{\text{จำนวนหลอดที่ให้ผลบวกทั้งหมด}}{100} \times 100$$

(ปริมาณน้ำตัวอย่างเป็น ml ในหลอดที่ให้ผลบวก) \times (ปริมาณน้ำตัวอย่างเป็น ml ในทุกหลอด)

2. การวิเคราะห์ปริมาณสารอาหาร

2.1 การวิเคราะห์ปริมาณออร์ฟอสเฟต

2.1.1 กรองน้ำด้วยกระดาษกรอง แล้วตวงน้ำด้วยย่าง 10 มิลลิลิตร ใส่ลงใน cuvette 2 อัน อันแรกใส่สาร Phosphate Acid Reagent ที่มีลักษณะเป็นน้ำ โดยใช้ 1 มิลลิลิตร และ Reduc. Rgt. 1 ช้อน อีกอันหนึ่งเอาไว้เปรียบเทียบ ไม่ต้องเติมสารใดๆ

2.2.2 เปิดเครื่อง Smart spectro Spectrophotpmeter รุ่น Lamotte, 1997 ทิ้งไว้สักครู่ เลือก PROGRAM TESTS/ENTER เลือก ALL TESTS/ENTER เลือก 78 Phosphate L/ENTER

2.2.3 นำน้ำด้วยย่างจากข้อ 1 ที่ไม่ได้เติมสารใดๆ ใส่ลงในช่องวัดแสง ปิดฝาเครื่องให้สนิท เลือกที่ SCAN BLANK/ENTER จะได้ค่า blanking wait แล้วจะปรากฏเมนูที่มี Scan sample แล้วให้เปลี่ยนเอา cuvette ที่มีสารเคมีใส่ลงไปแทน เลือกที่ Scan sample / ENTER จะได้ค่าที่มีหน่วยเป็นพีพีเอ็ม

2.2.4 เมื่อเสร็จสิ้นให้กด Exit เมนูจะเปลี่ยนมาเป็นเมนูแรก แล้วทำการปิดเครื่องได้เลย (OFF)

2.2 การวิเคราะห์ปริมาณไนโตรเจน

2.2.1 กรองน้ำด้วยกระดาษกรอง แล้วตวงน้ำด้วยย่าง ใส่ลงใน cuvette 2 อัน อันแรกใส่ 5 ml ใส่สาร Nitrate Acid Reagent ที่มีลักษณะเป็นน้ำ โดยใช้ 5 มิลลิลิตร เข่า ตั้งทิ้งไว้ 2 นาที เติมสาร Nitrate Acid Reagent ที่มีลักษณะเป็นผง 1 ช้อน เข่าเป็นเวลา 4 นาที และตั้งทิ้งไว้ 10 นาที อันที่ 2 ใส่น้ำด้วยย่าง 10 มิลลิลิตร ไม่ต้องเติมสารใดๆ

2.2.2 เปิดเครื่อง Smart spectro Spectrophotpmeter รุ่น Lamotte, 1997 ทิ้งไว้สักครู่ เลือก PROGRAM TESTS/ENTER เลือก ALL TESTS/ENTER เลือก 64 Nitrate LR/ENTER

2.2.3 นำน้ำด้วยย่างจากข้อ 1 ที่ไม่ได้เติมสารใดๆ ใส่ลงในช่องวัดแสง ปิดฝาเครื่องให้สนิท เลือกที่ SCAN BLANK/ENTER จะได้ค่า blanking wait แล้วจะปรากฏเมนูที่มี Scan sample แล้วให้เปลี่ยนเอา cuvette ที่มีสารเคมีใส่ลงไปแทน เลือกที่ Scan sample / ENTER จะได้ค่าที่มีหน่วยเป็น ppm.

2.2.4 เมื่อเสร็จสิ้นให้กด Exit เมนูจะเปลี่ยนมาเป็นเมนูแรก แล้วทำการปิดเครื่องได้เลย (OFF)

2.3 การวิเคราะห์ปริมาณออกซิเจนที่ละลายน้ำโดยวิธี Azide modification (APHA et al., 1992)

2.3.1 ล้างขวด DO ด้วยน้ำตัวอย่าง (rinse) 2-3 ครั้ง เก็บน้ำตัวอย่างคัวขวด DO ที่ระดับน้ำลึก 30 เซนติเมตร โดยไม่ให้มีฟองอากาศ และปิดฝาขวดให้สนิทขณะอยู่ใต้น้ำ

2.3.2 เติมสารละลายน้ำ MnSO₄ 1 มิลลิลิตร (ห้ามเขย่า) และสารละลายน้ำ alkali-iodide azide reagent 1 มิลลิลิตร ปิดฝา

2.3.3 เบี่ยงขวดแล้วตั้งทิ้งไว้จนได้ตะกอน 2 ใน 3 ของสารละลายน้ำทั้งหมด เบี่ยงอีกครั้งแล้วตั้งทิ้งไว้ให้เกิดตะกอน 2 ใน 3 ของสารละลายน้ำใหม่

2.3.4 เติม conc. H₂SO₄ 1 มิลลิลิตรปิดฝาเขย่าให้เข้ากัน

2.3.5 นำสารละลายน้ำ 5 มา 100 มิลลิลิตร ให้เทรตด้วย Na₂S₂O₃ 0.025 นอร์มอล จนได้สีเหลืองจาง แล้วเติมน้ำเปล่า 3 หยด เบี่ยงให้เข้ากัน ให้เตรทต่อไปเรื่อยๆ ที่ละหมาดจนสีน้ำเงินจางหายไป จดปริมาตรที่ใช้และนำไปคำนวณในสูตร DO (mg/l) = จำนวนมิลลิลิตรของสารละลายน้ำตราชูน 0.025 N Na₂S₂O₃ × 2

2.4 การวิเคราะห์หาค่า BOD ด้วยวิธี Azide Modification (APHA, AWWA, WPCF, 1998)

2.4.1 ทำการเก็บน้ำตัวอย่าง BOD เช่นเดียวกับการหาค่า DO จำนวน 2 ขวดๆ แรกทำการวัดค่า DO ทันที โดยวิธี Azide modification (DO₀) ขวดที่ 2 นำเข้าถูบ่มที่อุณหภูมิ 20 องศาเซลเซียส เป็นเวลา 5 วัน จากนั้นนำมาหาค่า DO

2.4.2 คำนวณหาสารที่ละลายน้ำ นำคำนวณหาค่า BOD_s ของน้ำจากสูตร $BOD_s (\text{mg.l}^{-1}) = DO_0 - DO_s$

2.5 การวิเคราะห์ความเป็นด่างของน้ำโดยวิธี Phenolphthalein methyl orange indicator (APHA, AWWA, WPCF, 1998)

2.5.1 ตวงน้ำ 100 มิลลิลิตร ใส่ในขวดรูปทรงพุ่งขนาด 250 มิลลิลิตร เติม Phenolphthalein indicator 3 หยด ลงในขวดรูปทรงพุ่งแล้วเบี่ยงให้เข้ากัน

2.5.2 ถ้าตัวอย่างเป็นสีชมพูอ่อน ให้ให้เทรตด้วย 0.02 N H₂SO₄ จนสังเกตเห็นสี การเปลี่ยนแปลงจางหายไปและบันทึกปริมาณที่ใช้

2.5.3 เติม methyl orange indicator 3 หยด ลงใน flask

2.5.4 ถ้าตัวอย่างเปลี่ยนเป็นสีเหลืองให้ไทเทրตัวย 0.02 นอร์มอล H_2SO_4 จนสังเกตเห็นสีการเปลี่ยนแปลงจาก blank และค่าอยา ไทเทรตที่ละหยดจนได้จุด end point เป็นสีส้มและแดง จดปริมาตรที่ใช้แล้วนำไปคำนวณในสูตร (methyl orange จะให้สีเหลืองในสารละลายน้ำที่เป็นค่าง สีส้มในสารละลายน้ำที่เป็นกาก และสีแดงในสารละลายน้ำที่เป็นกรด) Total alkalinity (mg/l as $CaCO_3$) = จำนวนกรดที่ใช้เป็น ml $\times 10$

2.6 การวิเคราะห์ค่าความเป็นกรด – ด่าง และค่าการนำไฟฟ้า

2.6.1 เปิดเครื่องประมาณ 5-10 นาที เครื่องจะแสดงเมนู เลือกที่ค่า pH / ENTER แล้ว Probe ในบัฟเฟอร์ 7 รอกจนเครื่องปราฏค่าได้ 6.87-7 นำมาถ้างด้วยน้ำกลั่น จุ่มลงในน้ำตัวอย่าง เครื่องจะทำการอ่านค่า

2.6.2 ในการหาค่าอื่นๆ จะกด Mode เพื่อหาเมนูเริ่มต้น

2.6.3 ในการหาค่าการนำไฟฟ้า จะเลือกที่ conductivity ที่มีหน่วยเป็น $\mu\text{s}/\text{cm}$ ENTER แล้วเครื่องก็จะทำการอ่านค่า

2.6.4 เมื่อต้องการให้เครื่องกลับมาที่เมนูเริ่มต้นให้กด Mode

2.6.5 เมื่อใช้เสร็จให้กด OFF

ภาคผนวก ฯ
อาหารเพาะเลี้ยงเชื้อ

1. อาหารเลี้ยงเชื้อ

1.1 Lauryl sulfate tryptose broth (LSTB) มีสูตรอาหารดังนี้

ทริปโตส (tryptose)	20	กรัม
แลกโตส (Lactose)	5	กรัม
ไนโตรเจนฟอสฟेट (K ₂ HPO ₄)	2.75	กรัม
โพแทสเซียมไนโตรเจนฟอสฟेट (KH ₂ PO ₄)	2.75	กรัม
โซเดียมคลอไรด์ (NaCl)	5.0	กรัม
โซเดียมลอริลซัลเฟต (Sodium lauryl sulfate)	0.1	กรัม
น้ำกลั่น	1	ลิตร

ก่อนทำการนึ่งผ่าเชื้อ บรรจุหลอดคั้กแก๊สลงในหลอดอาหารในลักษณะกว้างหลอดแคบ
ปรับ pH ให้ได้ 6.8 นำไปนึ่งผ่าเชื้อ 12 °C 15 นาที ที่ความดัน 15 ปอนด์

1.2 สูตรอาหาร BGLB (Brilliant green Lactose bile broth)

Peptone	10	กรัม
Lactose	10	กรัม
Oxagall (Bile salt)	20	กรัม
Briliant green (เกรดคีวีเยียว)	0.0133	กรัม
น้ำกลั่น	1,000	กรัม

ก่อนทำการนึ่งผ่าเชื้อ บรรจุหลอดคั้กแก๊สลงในหลอดอาหารในลักษณะกว้างหลอดแคบ
ปรับ pH ให้ได้ 7.2 นำไปนึ่งผ่าเชื้อ 121 °C 15 นาที ที่ความดัน 15 ปอนด์

1.3 สูตรอาหาร EC (*E. coli* broth)

Tryptone หรือ Trypticase	20	กรัม
Lactose	5.0	กรัม
Bile salt no.3 หรือ Bile salt mixture	1.5	กรัม
K ₂ HPO ₄	4.0	กรัม
KH ₂ PO ₄	1.5	กรัม
NaCl	5.0	กรัม
น้ำกลั่น	1,000	กรัม

ก่อนทำการนึ่งฆ่าเชื้อ บรรจุหลอดคัพเก็ลลงในหลอดอาหารในถุงขณะคำว่าหลอดแล้ว ปรับ pH ให้ได้ 6.9 นำไปนึ่งฆ่าเชื้อ 121°C ๑๕ นาที ที่ความดัน ๑๕ ปอนด์

ภาคผนวก ค

ตารางมาตราฐาน

ตารางที่ 20 คุณภาพน้ำทางกายภาพ เคมี ชนิดและปริมาณของแพลงก์ตอนพืชในสถานภาพชั้นนำ
ตามระดับความมากน้อยของสารอาหาร

GENERAL LAKE TROPHY	WATER CHARATERISTICS	DOMINANT ALGAE	OTHER COMMONLY OCCURRUNG ALGAE
Oligotrophic	Slightly acidic; very low salinity	Desmids, <i>Staurodesmus</i> , <i>Staurastum</i>	<i>Sphaerocystis</i> , <i>Gloeocystis</i> , <i>Rhizosolenia</i> , <i>Tabellaria</i>
Oligotrophic	Neutral to slightly alkaline nutrient-poor lakes	Diatom, especiall, <i>Cyclotella</i> and <i>Tabellaria</i>	Some <i>Asterionella</i> spp. some <i>Melosira</i> spp., <i>Dinobryon</i>
Oligotrophic	Neutral to slightly alkaline nutrient-poor lakes or more productive lake at season nutrient reduction	Chrysophycean algae Especially <i>Dinobryon</i> ; some <i>Mallomonas</i>	Other Chrysophyceans.e.g., <i>Synedra</i> , <i>Uroglena</i> ; Diatom <i>Tabellaria</i>
Oligotrophic	Neutral to slightly alkaline nutrient-poor lakes	Chlorococcal <i>Oocystis</i> or Chrysophycean <i>Botryococcus</i>	Oligotrophic diatom
Oligotrophic	Neutral to slightly alkaline : general nutrient poor; common in shallow Arctic lakes	Dinoflagellates, especially some <i>Peridinium</i> and <i>Ceratium</i> spp.	Small chrysophytes Crytophytes and diatom.,
Mesotrophic or Eutrophic	Neutral to slightly alkaline; annual dominants or in eutrophic lakes at certain seasons	Dinoflagellates, some <i>Peridium</i> and <i>Ceratium</i> spp.	<i>Glenodinium</i> and many other algae
Eutrophic	Usually alkaline lakes with nutrient enrichment	Diatom much of year, Especially <i>Asterionella</i> spp., <i>Crotonensis</i> , <i>Synedra</i> , <i>Stephanodiscus</i> and <i>Melosira granulata</i>	Many other algae, especially green and blue-greens during warmer periods of year; desmids of dissolved organic matter is

ตารางที่ 20 คุณภาพน้ำทางกายภาพ เคมี ชนิดและปริมาณของแพลงก์ตอนพืชในสถานภาพ
ชั้นน้ำตามระดับความมaganน้อยของสารอาหาร (Wetzel, 1975) (ต่อ)

GENERAL LAKE TROPHY	WATER CHARATERISTICS	DOMINANT ALGAE	OTHER COMMONLY OCCURRUNG ALGAE
Eutrophic	Usually alkaline; nutrient enriched; common in warmer periods of temperature lakes or perennially in enriched tropical lakes	Blue-green algae, especially <i>Anacystis</i> (= <i>Microcystis</i>), <i>Aphanizomenon</i> , <i>Anabaena</i>	Other blue-green; <i>Euglena</i> ophytes if organically enriched or polluted

ตารางที่ 21 การจัดชั้นน้ำตามระดับความมaganน้อยของฟอสฟอรัสรวม ใน โตรเจน คลอโรฟิลล์ เอ และความถึกที่แสงส่องถึง (Lorraine and Vollenweider, 1981)

Variable (Annual Mean Values)	Oligotrophic	Mesotrophic	Eutrophic	Hypereutrophic
Total phosphorus X (mg./m ³)	8.0 $X \pm 1 SD$ 4.85-13.3 $X \pm 1 SD$ 2.9-22.1 Range N	26.7 14.5-49 7.9-90.8 10.9-95.6 19(21)	84.4 38-189 16.8-424 16.2-386 17(72)	
Total nitrogen (mg./m ³)	X 371-1180 $X \pm 1 SD$ 208-2103 Range N	661 485-1170 313-1816 361-1387 8	753 395-8913 393-6100 37(38)	1875 861-4081 100-150
Chlorophyll a (mg./m ³)	X 0.8-3.4 $X \pm 1 SD$ 0.47-7.1 Range N	1.7 3.0-7.4 1.9-11.6 3.0-11 16(17)	4.7 6.7-31 3.1-66 2.7-78 70(72)	14.3 2

ตารางที่ 21 การจัดชั้นน้ำตามระดับความนำกันของฟอสฟอร์สร่วม ในโตรเจน คลอโรฟิลล์ เอ และความลึกที่แสงส่องถึง (Lorraine and Vollenweider, 1981) (ต่อ)

Variable (Annual Mean Values)	Oligotrophic	Mesotrophic	Eutrophic	Hypereutrophic	
Chlorophyll a peak X (mg./m ³)	X ± 1 SD X ± 1 SD Range N	4.2 2.6-7.6 1.5-13 1.3-10.6 16	16.1 8.9-29 4.9-52.5 4.9-49.5 12	42.6 16.9-107 6.7-370 9.5-275 46	
Secchi depth (m.)	X X ± 1 SD X ± 1 SD Range N	9.9 5.9-16.5 3.6-27.5 5.4-28.3 13	4.2 2.4-7.4 1.4-13 1.5-8.1 20	46 1.5-4.0 0.9-6.7 0.8-0.7 70(72)	
					2

X = geometric mean SD = standard deviation

() = value in bracket refers to the number of variables

(n) = employed in the calculation

มาตรฐานคุณภาพน้ำในแหล่งน้ำผิวดิน

มาตรฐาน 32 (1) แห่งพระราชบัญญัติส่งเสริมและรักษาสิ่งแวดล้อมแห่งชาติ พ.ศ. 2535

ให้คณะกรรมการสิ่งแวดล้อมแห่งชาติมีอำนาจในการประกาศในราชกิจจานุเบกษากำหนดมาตรฐานคุณภาพในแม่น้ำลำคลอง หนองบึง ทะเลสาบ อ่างเก็บน้ำและ แหล่งน้ำสาธารณะอื่นๆ ที่อยู่ในแผ่นดิน

มาตรฐานคุณภาพน้ำในแหล่งน้ำผิวดิน ได้แบ่งประเภทของแหล่งน้ำผิวดินออกเป็น 5 ประเภท

ประเภทที่ 1 ได้แก่แหล่งน้ำที่มีคุณภาพตามธรรมชาติ โดยปราศจากน้ำทึบจากการรุกล้ำ

การอุปโภคบริโภคต้องผ่านการมาเข้ากระบวนการปกติเสียก่อน

การขยายพันธุ์ตามธรรมชาติของสิ่งมีชีวิตระดับพื้นฐาน

การอนุรักษ์ระบบนิเวศแหล่งน้ำ

ประเภทที่ 2 ได้แก่ แหล่งน้ำที่ได้รับน้ำทิ้งจากกิจกรรมบางประเภทและสามารถเป็นประโยชน์เพื่อ

1. การอุปโภคบริโภคโดยต้องผ่านการฆ่าเชื้อโรคตามปกติเสียก่อน และผ่านกระบวนการปรับปรุงคุณภาพน้ำทั่วไปก่อน

2. การอนุรักษ์สัตว์น้ำ

3. การประมง

4. การว่ายน้ำและกีฬาทางน้ำ

ประเภทที่ 3 ได้แก่ แหล่งน้ำที่ได้รับน้ำทิ้งจากกิจกรรมบางประเภทและสามารถใช้ประโยชน์เพื่อ

1. การอุปโภคบริโภคโดยต้องผ่านการฆ่าเชื้อโรคตามปกติเสียก่อน และผ่านกระบวนการ

ปรับปรุงคุณภาพน้ำทั่วไปเสียก่อน

2. การอุดสานกรรม

ประเภทที่ 4 ได้แก่ แหล่งน้ำที่ได้รับน้ำทิ้งจากกิจกรรมบางประเภทและสามารถใช้ประโยชน์เพื่อ

1. การอุปโภคบริโภคโดยต้องผ่านการฆ่าเชื้อโรคตามปกติเสียก่อน และผ่านกระบวนการปรับปรุงคุณภาพน้ำพิเศษเสียก่อน

2. การอุดสานกรรม

ประเภทที่ 5 ได้แก่ แหล่งน้ำที่ได้รับน้ำทิ้งจากกิจกรรมบางประเภท และสามารถเป็นประโยชน์เพื่อการคมนาคม

ตารางที่ 22 ค่ามาตรฐานคุณภาพน้ำในแหล่งน้ำพิวcin

ลำดับ	ตัวชี้คุณภาพน้ำ ^a	ค่าทาง สถิติ	หน่วย	เกณฑ์กำหนดคุณภาพน้ำตามการแบ่งประเภทคุณภาพน้ำตามการใช้ประโยชน์				
				ประเภท 1	ประเภท 2	ประเภท 3	ประเภท 4	ประเภท 5
1	สี กลิ่นและรส (Colour, Odour and Taste)	-	-	✓	✓	✓	✓	-
2	อุณหภูมิ (Temperature)	-	°C	✓	✓	✓	✓	-
3	ความเป็นกรดค้าง (pH)	-	-	✓	5.0-9.0	5.0-9.0	5.0-9.0	-
4	ออกซิเจนละลายน้ำ (DO) ^b	P20	mg/l.	✓	6.0	4.0	2.0	-
5	บีโอดี (BOD)	P80	mg/l.	✓	1.5	2.0	4.0	-
6	แบคทีเรียโคลิฟอร์มทั้งหมด (Total coliform bacteria)	P80	เอ็น.พี.เอ็น/100 ml	✓	5,000	20,000	-	-

ตารางที่ 22 ค่ามาตรฐานคุณภาพน้ำในแหล่งน้ำผิวดิน (ต่อ)

ลำดับ	ตัวชี้คุณภาพน้ำ ^a	ค่าทาง สถิติ	หน่วย	เกณฑ์กำกับมาตรฐาน คามการพั่งประเภทคุณภาพน้ำตามการใช้ประโยชน์				
				ประเภท 1	ประเภท 2	ประเภท 3	ประเภท 4	ประเภท 5
7	แบคทีเรียกลุ่มฟีโคลิค-ฟอร์ม (Fecal coliform bacteria)	P80	เอ็น.พี.เอ็น./100 มล.	๙	1,000	4,000	-	-
8	ไนโตรเจน (NO_3^-) ในน้ำทิ้ง ในโครงสร้าง	-	มก./ล.	๙	5.0	5.0	5.0	-
9	แอมโมเนียม (NH_3) ในน้ำทิ้ง ในโครงสร้าง	-	มก./ล.	๙	0.5	0.5	0.5	-
10	ฟีโนอล (Phenols)	-	มก./ล.	๙	0.005	0.005	0.005	-
11	ทองแดง (Cu)	-	มก./ล.	๙	0.1	0.1	0.1	-
12	nickel (Ni)	-	มก./ล.	๙	0.1	0.1	0.1	-
13	แมงกานีส (Mn)	-	มก./ล.	๙	0.1	0.1	0.1	-
14	สังกะสี (Zn)	-	มก./ล.	๙	1.0	1.0	1.0	-
15	แคดเมียม (Cd)	-	มก./ล.	๙	1.0	1.0	1.0	-
		-	มก./ล.	๙	0.005*	0.005*	0.005*	-
16	โครเมียมชนิดเด็กขาวาเลนท์ (Cr Hexavalent)	-	มก./ล.	๙	0.05**	0.05**	0.05**	-
17	ตะกั่ว (Pb)	-	มก./ล.	๙	0.05	0.05	0.05	-
18	ปรอททั้งหมด (Total Hg)	-	มก./ล.	๙	0.05	0.05	0.05	-
19	สารห不足 (As)	-	มก./ล.	๙	0.002	0.002	0.002	-
20	ไซยาโนเจน (Cyanide)	-	มก./ล.	๙	0.01	0.01	0.01	-
21	กัมมันตภาระนิวเคลียร์ (Radioactivity) -ค่ารังสีเอกซ์ฟ่า (Alpha) -ค่ารังสีบีตา (Beta)	-	มก./ล.	๙	0.005	0.005	0.005	-
22	สารฆ่าศัตรูพืชและสารเคมีนิวเคลียร์ นิคลอรินทั้งหมด	-	เมกแคลอเรล/ล.	๙	0.1	0.1	0.1	-
23	ดีดีที (DDT)	-	เมกแคลอเรล/ล.	๙	1.0	1.0	1.0	-
24	บีอิชีนิคแอลฟ่า (Alpha-BHC)	-	ไมโครกรัม/ล.	๙	1.0	1.0	1.0	-
25	ดีลดริน (Dieldrin)	-	ไมโครกรัม/ล.	๙	0.02	0.02	0.02	-
26	อัลดริน (Aldrin)	-	ไมโครกรัม/ล.	๙	0.1	0.1	0.1	-
27	เชปคาคลอร์และเชปคาคลอร์ ปอกไชค์	-	ไมโครกรัม/ล.	๙	0.1	0.1	0.1	-
28	เอนดริน (Endrin)	-	ไมโครกรัม/ล.	๙	0.2	0.2	0.2	-
		-	ไมโครกรัม/ล.	๙	ไม่สามารถตรวจ พบได้เมื่อวิเคราะห์ ตรวจสอบต่อ ถ้าหากผล	ไม่สามารถตรวจ พบได้เมื่อวิเคราะห์ ตรวจสอบต่อ ถ้าหากผล	ไม่สามารถตรวจ พบได้เมื่อวิเคราะห์ ตรวจสอบต่อ ถ้าหากผล	-

หมายเหตุ:

- 1/ กำหนดค่ามาตรฐานเฉพาะในแหล่งน้ำประเภทที่ 2-4 สำหรับแหล่งน้ำประเภทที่ 1 ให้เป็นไปตามธรรมชาติ และแหล่งน้ำประเภทที่ 5 ไม่กำหนดค่า
- 2/ ค่า DO เป็นเกณฑ์มาตรฐานต่ำสุด

๙	เป็นไปตามธรรมชาติ
๙'	อุณหภูมิของน้ำจะต้องไม่สูงกว่าอุณหภูมิตามธรรมชาติเกิน ๓ องศาเซลเซียส
*	น้ำที่มีความกระด้างในรูปแคลเซียมคาร์บอเนต(CaCO_3) ไม่เกินกว่า ๑๐๐ mg/l
**	น้ำที่มีความกระด้างในรูปของแคลเซียมคาร์บอเนต (CaCO_3) เกินกว่า ๑๐๐ mg/l
P20	ค่าเบอร์เช่นต์ไกล์ที่ ๒๐ จากจำนวนตัวอย่างน้ำทึ้งหมดที่เก็บมาตรวจสอบอย่างต่อเนื่อง
P80	ค่าเบอร์เช่นต์ไกล์ที่ ๘๐ จากจำนวนตัวอย่างทั้งหมดที่เก็บมาตรวจสอบอย่างต่อเนื่อง
mg./l.	มิลลิกรัมต่อลิตร
MPN	เอ็ม.พี.เอ็น. หรือ Most Probable Number วิธีการตรวจสอบนี้เป็นไปตามวิธีการมาตรฐานสำหรับการวิเคราะห์น้ำ และน้ำเสีย Standard Methods for Examination of Water and Wastewater ซึ่ง APHA : American Public Health Association, AWWA : American Water Works Association และ WPCF : Water Pollution Control Federation ของสหรัฐอเมริการ่วมกันกำหนด

แหล่งที่มาของข้อมูล : ประกาศคณะกรรมการสิ่งแวดล้อมแห่งชาติดบบที่ ๘ (พ.ศ. ๒๕๓๗)
ออกตามความในพระราชบัญญัติส่งเสริมและรักษาสิ่งแวดล้อมแห่งชาติ พ.ศ. ๒๕๓๕ เรื่อง
กำหนดมาตรฐานคุณภาพน้ำในแหล่งผิวดิน ตีพิมพ์ในราชกิจจานุเบกษาเล่ม ๑๑๑ ตอนที่ ๑๖ ลงวันที่
๒๔ กุมภาพันธ์ ๒๕๓๗

ตารางที่ 23 การจัดชั้นนำตามความมากน้อยของสารอาหาร คุณสมบัติน้ำทางกายภาพ เกมีและชีวภาพบางประการ และคุณของแพลงก์ตอนพืชที่พบเป็นชนิดเด่นในชั้นนำระดับต่างๆ (Wetzel, 1975)

TROPHIC TYPE	MEAN PRIMARY PRODUCTIVITY (mg. cm ⁻² DAY ⁻¹)	PHYTOPLANKTON DENSITY (cm ⁻³ · cm ⁻³)	PHYTOPLANKTON BIOMASS (mg · cm ⁻³)	CHOROPHYLL A (mg · m ⁻³)	DOMINANT PHYTOPLANKTON	LIGHT EXTINCTION COEFFICIENT (mm ⁻¹)
Ultraoligotrophic	>50	<1	<50	0.01-0.5		0.03-0.8
Oligotrophic	50-300		20-100	0.3-3	Chrysophyceae	0.05-1.0
Oligomesotrophic		1-3			Dinophyceae Bacillariophyceae	
Mesotrophic	250-1000		100-300	2.15		0.1-2.0
Mesoeutrophic		3-5				
Eutrophic	>1000		>300	10-500	Bacillariophyceae Cyanophyceae	0.5-4.0
Hypereutrophic		>10			Chlorophyceae Euglenophyceae	
Dystrophic	50-500		<50-200	0.1-10		1.0-4.0

ภาคผนวก ง

คุณภาพน้ำในแม่น้ำโขงส่วนที่ไหลผ่านจังหวัดอุบลราชธานี
ระหว่างเดือนกุมภาพันธ์ 2550 ถึงเดือน มกราคม 2551

คุณภาพน้ำในแม่น้ำโขงส่วนที่ไหลผ่านจังหวัดอุบลราชธานี ระหว่างเดือนกุมภาพันธ์ 2550 ถึงเดือนกรกฎาคม 2551

**ตารางที่ 24 คุณภาพน้ำทางด้านกายภาพ เคมี และชีวภาพบางประการ ในแม่น้ำโขง บริเวณเขตข้าวເກອເຊນຮາງ กົ່ງຂໍາເກອນາຕາລ ແລະ ຂໍາເກອໂທິງເຈີນ
จังหวัดอุบลราชธานี ระหว่างเดือนกุมภาพันธ์ 2550 ถึงเดือนกรกฎาคม 2551**

ชุดเก็บ ตัวอย่าง	air temp. (°C)	water temp. (°C)	pH	DO (mg/l)	BOD (mg/l)	secchi depth (cm)	conductivity (µs/cm)	alkalinity (mg/l) as CaCO ₃	chlorophyll a (µg/l)	total coliform bacteria (MPN/100ml)	fecal coliform bacteria (MPN/100ml)	SRP (mg/l)	Nitrate N (mg/l)
กุมภาพันธ์													
กุดที่ 1	25	24	9.35	6.65	6.95	36	228.9	47.7	1.06	<300	<300	<0.0001	<0.0001
กุดที่ 2	28	26	9.17	3.4	5.44	49	223	43.4	0.35	15,000	15,000	0.0695	<0.0001
กุดที่ 3	27	26	9	4.29	5.64	38	229.5	53.2	2.27	<300	<300	<0.0001	<0.0001
กุดที่ 4	26	25	8.83	5.86	6.55	35	229.5	52	2.57	700	700	<0.0001	<0.0001
กุดที่ 5	26	26	9.49	7	8.44	48	219.9	53.4	2.16	<300	<300	0.0121	<0.0001
กุดที่ 6	24.2	23	11.5	7.93	2.6	19	305	32.4	2.04	2,400	2,400	0.0541	<0.0001
กุดที่ 7	25	22.9	10.2	6.67	1.07	37	205	31.6	2.58	430	430	<0.0001	<0.0001
กุดที่ 8	28	22.6	10.6	6.2	2.4	32	285	31.6	2.03	230	230	<0.0001	<0.0001
กุดที่ 9	22.5	21	11.1	5.33	2.37	32	224	29.6	1.98	230	230	<0.0001	0.0465
กุดที่ 10	21.7	21	10.9	4.67	1.53	31	219	32.4	2.03	2,400	2,400	<0.0001	0.0370
มีนาคม													
กุดที่ 1	36.5	33	7.35	8.25	1.86	37.5	263	45.3	1.036	2,100	70	<0.0001	<0.0001
กุดที่ 2	34	35	7.37	9.0	2.2	54	274	42.4	0.592	280	750	<0.0001	<0.0001
กุดที่ 3	34	33	7.48	9.06	1.2	40.5	280	42.4	0.74	11,000	11,000	<0.0001	<0.0001
กุดที่ 4	37	35	7.62	9.25	5.03	41.2	237	42.8	0.89	11,000	11,000	<0.0001	<0.0001
กุดที่ 5	39	34	7.42	7.7	2.4	75	275	26.9	0.59	230	750	<0.0001	<0.0001
กุดที่ 6	31	29	7.26	8.84	0.46	70	219.7	21.22	1.332	430	430	0.0202	<0.0001
กุดที่ 7	30	29	7.26	11.73	3.8	70	257	22.22	0.888	<30	<30	0.0345	0.0247
กุดที่ 8	30	28	7.47	9.17	4.02	38	230	21.55	0.935	230	40	0.0677	0.0670
กุดที่ 9	30	29	7.14	8.84	1.69	73	194	19.44	1.184	230	40	0.0280	0.0461
กุดที่ 10	33	28	7.18	8.7	3.2	65	230	22.44	0.346	2,400	2,400	0.0500	0.0542

ตารางที่ 24 คุณภาพน้ำทางด้านกายภาพ เคมี และชีวภาพบางประการในแม่น้ำโขง บริเวณเขตอำเภอเขมราฐ กิ่งอำเภอนาตาล และอำเภอโขงเจียม จังหวัดอุบลราชธานี ระหว่างเดือนกุมภาพันธ์ 2550 ถึงเดือนกรกฎาคม 2551 (ต่อ)

ทุ่นเก็บ ตัวอย่าง	air temp. (°C)	water temp. (°C)	pH	DO (mg/l)	BOD (mg/l)	secchi depth (cm)	conductivity (μs/cm)	alkalinity (mg/l) as CaCO ₃	chlorophyll a (μg/l)	total coliform bacteria (MPN/100ml)	fecal coliform bacteria (MPN/100ml)	SRP (mg/l)	Nitrate N (mg/l)
แม่น้ำยน													
ทุ่นที่ 1	32	33	7.35	8.22	0.98	41.2	241	45.18	0.88	<30	<30	ND	1.9560
ทุ่นที่ 2	30	29	7.35	10	2.29	57	247	42.44	0.642	<30	750	ND	0.7572
ทุ่นที่ 3	31	30	7.48	8.95	1.09	46	252	42.77	1.234	11,000	11,000	ND	<0.0001
ทุ่นที่ 4	31	30	7.62	9.38	1.07	52	251	42.77	0.346	11,000	11,000	ND	1.2465
ทุ่นที่ 5	29	28	7.42	7.66	0.2	16.5	193	26.89	0.844	230	750	ND	0.6090
ทุ่นที่ 6	32	29	6.13	7.43	0.4	38	253	25.16	1.776	2,400	2,400	0.2785	2.7210
ทุ่นที่ 7	32	29	6.12	8.03	0.2	46	252	19.83	1.234	1,500	4,600	0.1952	4.7910
ทุ่นที่ 8	31	29	6.14	7.86	2.66	53	251	22.63	0.592	11,000	11,000	0.3962	3.9530
ทุ่นที่ 9	31	28	5.14	9.24	2.36	56	192	25.42	1.628	430	930	0.1801	3.6220
ทุ่นที่ 10	31	28	6.19	8.82	1.67	60	246	25.50	4.44	<30	<30	0.1651	2.3040
พุฒภากาม													
ทุ่นที่ 1	34	33	6.88	8.7	0.72	39	245	22	0.888	150	<30	0.1588	2.5805
ทุ่นที่ 2	34	33	7.06	10.13	1.67	46	246	23	1.184	2,400	2,400	0.1980	2.7200
ทุ่นที่ 3	35	32.5	6.95	9.53	3.40	41	245	22	2.368	1,500	4,600	0.1951	2.7965
ทุ่นที่ 4	36	32.5	6.92	8.86	2.94	44	245	22.33	0.592	450	430	0.1376	3.4135
ทุ่นที่ 5	36	32.5	6.81	7.8	1.40	20	187	20.33	0.888	<30	<30	0.3351	4.9300
ทุ่นที่ 6	36	34	6.65	6.77	1.13	36	248	71.66	0.74	2,400	2,400	0.267	5.8285
ทุ่นที่ 7	34	32	6.67	7.07	1.27	39	248	70.66	0.592	≥24,000	≥24,000	0.0762	5.3265
ทุ่นที่ 8	35	32.5	6.62	6.93	2.05	45	242	70.33	0.1	≥24,000	≥24,000	0.0876	6.2070
ทุ่นที่ 9	35	32.5	6.81	7.4	3.5	50	196	57	4.44	≥24,000	≥24,000	0.0908	4.3010
ทุ่นที่ 10	35	31	6.71	6.2	1.1	63	244	70	5.624	≥24,000	≥24,000	0.0892	4.6190

*ND หมายถึง ปริมาณสารที่น้อยจนเครื่องไม่สามารถตรวจวัดได้

ตารางที่ 24 คุณภาพน้ำทางด้านกายภาพ เคมี และชีวภาพบางประการ ในแม่น้ำโขง บริเวณเขตอ้าเกอเขมราฐ กิ่งอำเภอตาล และอ้าเกอโขงเจียม จังหวัดอุบลราชธานี ระหว่างเดือนกุมภาพันธ์ 2550 ถึงเดือนมกราคม 2551 (ต่อ)

อุปกรณ์ ด้วยย่าง	air temp. (°C)	water temp. (°C)	pH	DO (mg/l)	BOD (mg/l)	secchi depth (cm)	conductivity (μs/cm)	alkalinity (mg/l) as CaCO ₃	chlorophyll a (μg/l)	total coliform bacteria (MPN/100ml)	fecal coliform bacteria (MPN/100ml)	SRP (mg/l)	Nitrate N (mg/l)
น้ำดูนายน													
อุดที่ 1	31.5	31	7.5	6.97	0.1	18.5	230	43.66	0.011	>2,400	>2,400	0.0776	3.846
อุดที่ 2	29.5	28	6.7	7.07	0.9	28	230	59.5	0.013	>2,400	>2,400	0.0368	3.280
อุดที่ 3	34	31	6.5	7.37	0.9	13	231	81.5	0.010	>2,400	>2,400	0.0698	3.7665
อุดที่ 4	32	31	6.8	6.77	0.03	18	232	82	0.020	>2,400	>2,400	0.0556	2.2855
อุดที่ 5	35.5	31.5	7	7.33	0.7	21	234	55	0.0001	>2,400	>2,400	0.1050	3.8511
อุดที่ 6	26.9	28	7.33	6.5	3.43	18.5	141	48	0.013	2,400	2,400	0.0264	3.8570
อุดที่ 7	26	28	7.31	6.43	4.27	38	132	38.66	0.0001	2,400	2,400	0.1688	2.9560
อุดที่ 8	26	28	.34	6.2	5.76	13	129	58	0.012	2,400	30	0.0332	3.5360
อุดที่ 9	26	28	7.36	5.67	2.7	18	124	54.66	0.019	2,400	2,400	0.0392	3.0895
อุดที่ 10	26	28	7.37	5	3.15	21	128	41.33	0.024	2,400	2,400	0.0612	2.1470
กรอกดูตาม													
อุดที่ 1	36	29	7.43	7.17	1.0	9	154	20.6	0.0001	2,400	2,400	0.0792	2.3725
อุดที่ 2	31	29	7.52	8.1	1.8	27	135	25.6	0.0001	2,400	2,400	0.1536	2.6610
อุดที่ 3	32	30	7.55	8.0	0.85	10	142	18.3	0.0001	2,400	2,400	0.0826	2.2335
อุดที่ 4	35	30	7.54	8.07	1.09	19	140	18.3	0.0001	2,400	2,400	0.1044	2.039
อุดที่ 5	30	29	7.52	7.2	1.3	25	145	35	0.0001	930	930	0.0852	2.3490
อุดที่ 6	28	29	7.55	7.17	0.7	18	141	47.6	0.003	2,100	2,100	0.0358	3.2250
อุดที่ 7	33	31	7.53	6.83	1.0	15	135	50	0.001	210	210	0.0756	3.8470
อุดที่ 8	28	29	7.2	6.83	0.2	19	138	36.3	0.0001	110	110	0.0722	2.8425
อุดที่ 9	27	29	7.39	7.83	0.6	19	106	21.3	0.002	110	110	0.0562	2.3185
อุดที่ 10	28	29	7.52	6.47	0.1	17	138	36.3	0.0001	110	110	0.0756	2.4565

ตารางที่ 24 คุณภาพน้ำทางด้านกายภาพ เคมี และชีวภาพบางประการ ในแม่น้ำโขง บริเวณเขตอุบลราชธานี จังหวัดอุบลราชธานี ระหว่างเดือนกุมภาพันธ์ 2550 ถึงเดือนมกราคม 2551 (ต่อ)

จุดเก็บ ด้วยย่าง	air temp. (°C)	water temp. (°C)	pH	DO (mg/l)	BOD (mg/l)	secchi depth (cm)	conductivity (μ s/cm)	alkalinity (mg/l) as CaCO_3	chlorophyll a ($\mu\text{g/l}$)	total coliform bacteria (MPN/100ml)	fecal coliform bacteria (MPN/100ml)	SRP (mg/l)	Nitrate N (mg/l)
สิงห์บาน													
อุคที่ 1	29	28	7.38	6.43	1.30	26	105	31.3	0.004	390	390	0.0499	3.67
อุคที่ 2	29	28	7.40	6.37	1.80	16	106	53	0.0001	2,400	2,400	0.0319	7.358
อุคที่ 3	30	29	7.48	6.4	0.50	26.5	111	36	0.0001	930	930	0.0260	7.807
อุคที่ 4	33	29	7.43	6.17	0.95	21	108	43.3	0.0001	430	430	0.0376	6.3924
อุคที่ 5	31	28.5	7.52	6.06	0.75	20	113	47.6	0.0001	430	430	0.0317	8.06675
อุคที่ 6	29	28	7.26	6.33	2.23	15	123	53.3	0.0001	4,600	460	0.0024	5.3683
อุคที่ 7	33	28	7.20	6.65	2.23	16	119	37.6	0.001	430	150	ND	6.775
อุคที่ 8	31	28	7.25	6.60	2.0	16	120	39	0.001	930	930	0.0061	3.8288
อุคที่ 9	32	28	7.21	6.77	2.67	15	100	24.6	0.002	2,400	2,400	0.0093	7.0374
อุคที่ 10	30	28	7.33	6.77	2.15	14	119	35	0.001	2,300	2,300	ND	4.2947
กั้นเขื่อน													
อุคที่ 1	30.5	26.5	7.54	6.63	0.1	2.05	79	57.3	0.0004	2,400	2,400	0.0070	1.98
อุคที่ 2	36.5	31.5	7.5	6.60	0.7	15.5	82	50	0.0002	11,000	11,000	0.1092	4.248
อุคที่ 3	28.5	27.5	7.49	6.70	0.8	21.8	83	44	0.0007	230	230	0.0712	4.2465
อุคที่ 4	32.0	27.5	7.51	6.77	0.7	18	90	49.3	0.0001	11,000	4,600	0.0586	4.1128
อุคที่ 5	29.0	26.8	7.51	6.67	0.1	18	92	55.6	0.0001	4,600	4,600	0.0588	4.88625
อุคที่ 6	36	27	6.8	6.67	2.53	15	76	47	0.0002	930	930	.0306	7.5115
อุคที่ 7	34	26	6.92	6.67	2.63	15	77	48.5	0.0001	430	430	0.0162	9.7080
อุคที่ 8	25	26	7.02	6.83	1.83	13	72	51.5	0.0002	4,600	4,600	ND	4.8105
อุคที่ 9	33	26	7.03	7.0	2.27	14	74	53.5	0.0001	2,400	2,400	0.0432	11.756
อุคที่ 10	29	26	7.02	8.07	1.80	11	78	51.5	0.001	2,400	2,400	0.0196	6.1325

**ตารางที่ 24 คุณภาพน้ำทางด้านกายภาพ เคมี และชีวภาพบางประการในแม่น้ำโขง บริเวณเขตอุบลฯ-เชียงราย กि�่งอำเภอนาตาล และอุบลฯ โขงเจียม
จังหวัดอุบลราชธานี ระหว่างเดือนกุมภาพันธ์ 2550 ถึงเดือนมกราคม 2551 (ต่อ)**

ชุดเก็บตัวอย่าง	air temp. (°C)	water temp. (°C)	pH	DO (mg/l)	BOD (mg/l)	secchi depth (cm)	conductivity (μs/cm)	alkalinity (mg/l) as CaCO ₃	chlorophyll a (μg/l)	total coliform bacteria (MPN/100ml)	fecal coliform bacteria (MPN/100ml)	SRP (mg/l)	Nitrate N (mg/l)
ตุลาคม													
ชุดที่ 1	32	25	7.7	6.88	0	15	140	55.66	0.00074	2,400	2,400	0.224	0.29
ชุดที่ 2	34	25	7.6	6.8	0	15	140	56	0.00592	2,400	2,400	0.3016	1.1375
ชุดที่ 3	27	25	7.5	7	0.13	17	140	54.33	0.00044	2,400	2,400	0.1188	0.686
ชุดที่ 4	31	25	7.6	7	0.3	15	141	54.33	0.0001	2,400	2,400	0.3144	1.8335
ชุดที่ 5	27	25	7.5	7.43	0.65	16	140	55.66	0.00044	930	930	0.2944	1.7105
ชุดที่ 6	32.5	26	7.7	7.5	0.5	17	138	54.33	0.0001	430	430	0.146	0.991
ชุดที่ 7	32.5	25	7.7	7.63	0.8	26	135	53.66	0.0001	230	230	0.5842	0.583
ชุดที่ 8	30	27	7.6	7.8	0.73	18	127	55	0.0001	230	230	0.2175	5.138
ชุดที่ 9	32	24.5	6.7	7.96	0.9	22	114	45.33	0.0001	40	40	0.1462	2.5685
ชุดที่ 10	27	25	7.4	7.8	0.83	23	140	54.66	0.00015	230	230	0.176	0.497
พฤษภาคม													
ชุดที่ 1	24	23.5	6	7.7	4.23	29	187	76.66	0.0001	930	930	0.2006	0.2509
ชุดที่ 2	27	23	5.9	7.86	2.06	22	181	75.33	0.0004	430	430	0.1096	0.9585
ชุดที่ 3	30.5	27	5.8	7.8	0.1	24	171	62	0.0003	430	430	0.221	3.5035
ชุดที่ 4	27.5	23	5.8	7.9	1.6	21	187	78.66	0.0004	230	230	0.1518	3.546
ชุดที่ 5	25	22	5.8	8.13	0.57	33	177	78	0.0001	430	430	0.2929	0.576
ชุดที่ 6	29	25	6.8	8.9	1.1	28	191	80.66	0.0003	430	430	0.1204	0.3755
ชุดที่ 7	30	24	7	9.1	1.4	23	173	80.33	0.0001	930	930	0.1545	3.75
ชุดที่ 8	35	26	6.8	8.3	0	22	180	81.66	0.00011	230	230	0.2755	3.7935
ชุดที่ 9	38	27	6.7	8.73	0.63	48	109	50	0.00029	1,500	1,500	0.1959	3.582
ชุดที่ 10	26	24	6.7	8.43	0.4	35	179	77	0.0001	1,500	1,500	0.013	4.54025

ตารางที่ 24 คุณภาพน้ำทางด้านกายภาพ เกมี และชีวภาพบางประการ ในแม่น้ำโขง บริเวณเขตอำเภอเมืองรากู กิ่งอำเภอนาตาล และอำเภอโขงเจียม จังหวัดอุบลราชธานี ระหว่างเดือนกุมภาพันธ์ 2550 ถึงเดือนมกราคม 2551 (ต่อ)

ชนิด ตัวอย่าง	air temp. (°C)	water temp. (°C)	pH	DO (mg/l)	BOD (mg/l)	secchi depth (cm)	conductivity (μs/cm)	alkalinity (mg/l) as CaCO ₃	chlorophyll a (μg/l)	total coliform bacteria (MPN/100ml)	fecal coliform bacteria (MPN/100ml)	SRP (mg/l)	Nitrate N (mg/l)
ธันวาคม													
อุดที่ 1	32	25	9.1	8	0	55	222	100	0.00015	40	40	0.07974	0.0981
อุดที่ 2	30.5	25	8.5	8.67	0.67	50	227	91.77	0.0001	230	230	0.10104	0.061
อุดที่ 3	33.5	25	8.4	7.4	2.32	40	228	32.5	0.0001	430	430	0.07848	0.9777
อุดที่ 4	37	26	8.5	8.9	3	56	223	95	0.0001	430	430	0.08603	0.1134
อุดที่ 5	27	24	8.3	7.57	0.35	65	199	92	0.0001	70	70	0.12154	0.0547
อุดที่ 6	26	24	6.6	9.27	1.6	26.5	214	95.33	0.0001	430	430	0.09814	0.0096
อุดที่ 7	28	25	6.5	7.87	0.2	44	230	86.66	0.0001	230	230	0.13054	0.85
อุดที่ 8	32	25	6.5	8.33	0.93	41	216	74	0.0001	110	110	0.11562	0.1186
อุดที่ 9	28	24	6.4	8.67	0.2	45	112	89	0.0001	430	430	0.0789	0.0158
อุดที่ 10	30	24	6.1	7.73	1.5	59	208	75.66	0.0001	750	750	0.06499	0.3073
มกราคม													
อุดที่ 1	25	21.5	8	11.6	1.75	60	220	99.33	0.00074	430	430	0.008985	0.2351
อุดที่ 2	28.5	22	8.1	9.7	3.57	47	224	96	0.00089	150	150	0.01149	0.37315
อุดที่ 3	34.5	23	8.3	8.67	4.27	53	227	95.66	0.00059	4,600	4,600	0.02694	0.1786
อุดที่ 4	29	23.5	3.4	9.47	0.73	43	221	100.33	0.00118	430	430	0.001	0.2996
อุดที่ 5	29.5	22.5	8.6	9.53	1.33	60	219	97.33	0.00163	110	110	0.00207	0.5917
อุดที่ 6	31	21	8.7	8.47	0.2	61	236	95.66	0.000296	230	230	0.022955	0.4827
อุดที่ 7	30	22	8.14	8.57	1.1	55	249	120.66	0.000148	750	750	0.00331	0.60665
อุดที่ 8	28	22	8.2	8.73	0.83	105	222	90.66	0.000296	750	750	0.0029375	1.5541
อุดที่ 9	31	23	8.3	8.17	1	26	180	79	0.000148	2,400	2,400	0.001	0.31565
อุดที่ 10	32	22	8.2	9.13	0.9	70	217	101.33	0.000296	24,000	24,000	0.043545	0.68285

ภาคผนวก จ
การประเมินคุณภาพนำ้โดยวิธี AARL-PP Score
และ AARL-PC Score

การประเมินคุณภาพน้ำในระบบนิเวศน้ำนิ่งโดยใช้ลำดับคะแนนอย่างง่าย AARL-PP score

(AARL = Applied Algal Research Laboratory, PP = Phytoplankton)

AARL – PP Score ประกอบด้วย 2 ส่วนที่สำคัญ

ส่วนที่ 1 เป็นคะแนนคุณภาพน้ำตามสถานะสารอาหาร (trophic status) และคุณภาพน้ำทั่วไป ซึ่งแบ่งออกเป็น 6 ระดับ คือ ดี: สารอาหารค่า คือ คีลิงปานกลาง: สารอาหารค่าลีนปานกลาง: สารอาหารปานกลาง ปานกลางถึงไม่ดี: สารอาหารปานกลางถึงสูง ไม่ดี: สารอาหารสูง และไม่ดีมาก: สารอาหารสูงมาก โดยใช้คะแนน 1 – 10 แบ่งออกเป็นระดับย่อยๆ 6 ระดับแสดงในตารางที่ 1 คะแนนย่อยทั้ง 6 ระดับนี้ได้มาจากผลงานวิจัยซึ่งศึกษาเกี่ยวกับความสัมพันธ์ของแพลงก์ตอนพืชกับปริมาณสารอาหาร 3 ชนิด คือ ในเศรษฐกิจในตระเวน แอนโรมานีเยน ในตระเวนและออร์โนฟอสเฟต

ตารางที่ 25 คะแนนคุณภาพน้ำตามสถานะสารอาหาร (trophic status) และคุณภาพน้ำทั่วไป

คะแนน	คุณภาพน้ำตามสถานะสารอาหาร	คุณภาพน้ำทั่วไป
1.0-2.0	สารอาหารค่า (Oligotrophic status)	ดี (Clean)
2.1-3.5	สารอาหารค่าลีนปานกลาง (Oligo-mesotrophic status)	คีลิงปานกลาง (Clean- moderate)
3.6-5.5	สารอาหารปานกลาง (Mesotrophic status)	ปานกลาง (Moderate)
5.6-7.5	สารอาหารปานกลางถึงสูง (Meso-eutrophic status)	ปานกลางถึงไม่ดี (Moderate- polluted)
7.6-9.0	สารอาหารสูง (Eutrophic status)	ไม่ดี (Polluted)
9.1-10.0	สารอาหารสูงมาก (Hypereutrophic status)	ไม่ดีมาก (Very polluted)

ส่วนที่ 2 คือคะแนนของแพลงก์ตอนพืชที่จะนำมาใช้เป็นตัวชี้ทางชีวภาพบ่งชี้คุณภาพน้ำ ซึ่งจะเป็นแพลงก์ตอนพืชสกุลเด่นที่เริ่มอย่างมากในแหล่งน้ำที่มีคุณภาพต่างๆ กัน กำหนดคะแนนในช่วง 1-10 โดยคะแนนน้อยแสดงถึงสกุลที่บ่งชี้คุณภาพน้ำดี คะแนนปานกลางบ่งชี้คุณภาพน้ำปานกลาง และคะแนนมากบ่งชี้คุณภาพน้ำไม่ดี การตัดสินว่าแพลงก์ตอนพืชสกุลใดได้คะแนนเท่าไร และบ่งชี้น้ำคุณภาพอย่างไร นำมาจากการวิจัยในอดีตของห้องปฏิบัติการวิจัยสาหร่ายประยุกต์ ดังกล่าว โดยดูความสัมพันธ์ของการเริ่มอย่างมากของแพลงก์ตอนพืชสกุลนั้นๆ กับคุณภาพน้ำ

ทางด้านกายภาพและเคมี คะแนนของแพลงก์ตอนพืชแต่ละสกุลที่บ่งชี้คุณภาพน้ำต่างๆ แสดงในตารางที่ 2 และภาพที่ 1

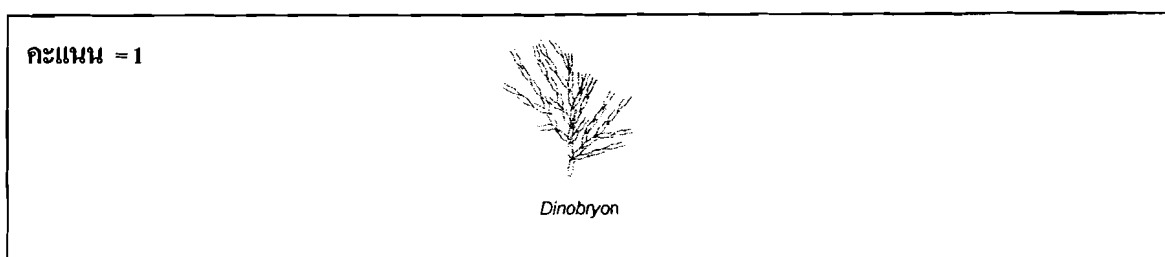
ตารางที่ 26 คะแนนของแพลงก์ตอนพืชแต่ละสกุลที่บ่งชี้คุณภาพน้ำต่างๆ (1-10 คะแนน)
(คะแนนน้อยบ่งชี้คุณภาพน้ำดี คะแนนมากบ่งชี้คุณภาพน้ำไม่ดี)

สกุล	คะแนน	สกุล	คะแนน
<i>Achnanthes</i>	6	<i>Gymnodinium</i>	6
<i>Actinastrum</i>	5	<i>Gyrosigma</i>	7
<i>Acanthoceras</i>	5	<i>Hantzchia</i>	8
<i>Amphora</i>	6	<i>Isthmochloron</i>	5
<i>Anabaena</i>	8	<i>Kirchneriella</i>	5
<i>Ankistrodesmus</i>	7	<i>Melosiera</i>	5
<i>Aphanocapsa</i>	5	<i>Merismopedia</i>	9
<i>Aphanothece</i>	5	<i>Micractinium</i>	7
<i>Aulacoseira</i>	6	<i>Micrasterias</i>	2
<i>Bacillaria</i>	7	<i>Microcystis</i>	8
<i>Botryococcus</i>	4	<i>Monoraphidium</i>	7
<i>Centrictactus</i>	4	<i>Navicula</i>	5
<i>Ceratium</i>	4	<i>Nephrocytium</i>	5
<i>Chlamydomonas</i>	6	<i>Nitzschia</i>	9
<i>Chlorella</i>	6	<i>Oocystis</i>	6
<i>Chroococcus</i>	6	<i>Oscillatoria</i>	9
<i>Closterium</i>	6	<i>Pandorina</i>	6
<i>Coccconeis</i>	6	<i>Pediastrum</i>	7
<i>Coelastrum</i>	7	<i>Peridiniopsis</i>	6
<i>Cosmarium</i>	2	<i>Peridinium</i>	6
<i>Crucigenia</i>	7	<i>Phacus</i>	8
<i>Crucigeniella</i>	7	<i>Phormidium</i>	9
<i>Cryptomonas</i>	8	<i>Pinnularia</i>	5
<i>Cyclotella</i>	2	<i>Planktolyngbya</i>	7

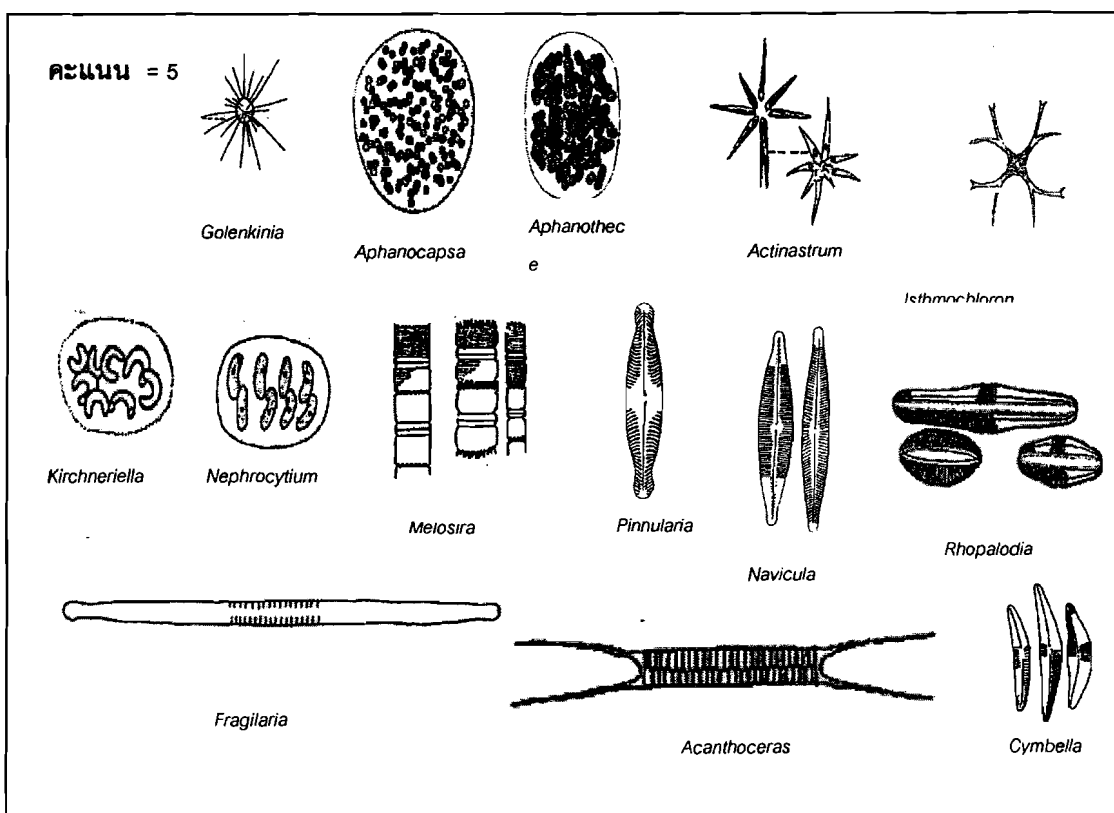
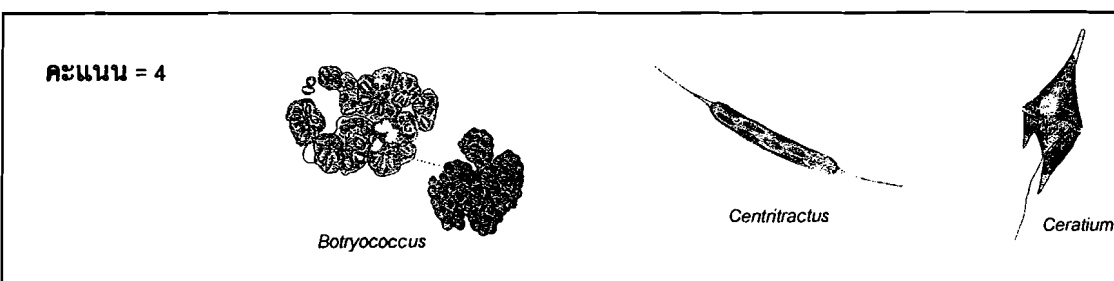
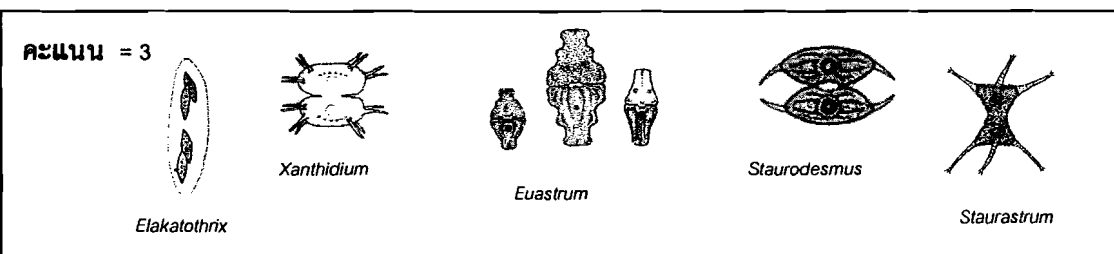
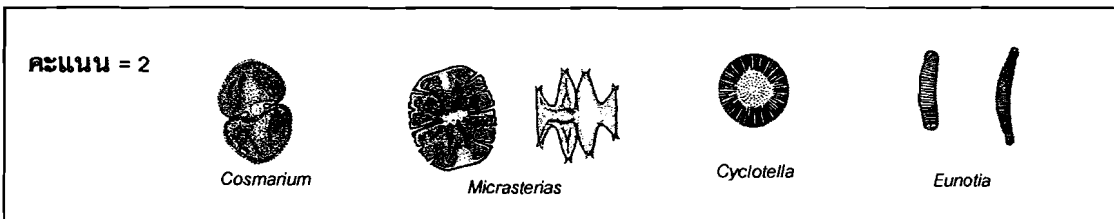
ตารางที่ 26 คะแนนของแพลงก์ตอนพืชแต่ละสกุลที่บ่งชี้คุณภาพน้ำค่าต่างๆ (1-10 คะแนน)
 (คะแนนน้อยบ่งชี้คุณภาพน้ำดี คะแนนมากบ่งชี้คุณภาพน้ำไม่ดี) (ต่อ)

สกุล	คะแนน	สกุล	คะแนน
<i>Cylindrospermopsis</i>	7	<i>Pseudanabaena</i>	7
<i>Cymbella</i>	5	<i>Rhizosolenia</i>	6
<i>Dictyosphaerium</i>	7	<i>Rhodomonas</i>	8
<i>Dimorphococcus</i>	7	<i>Rhopalodia</i>	5
<i>Dinobryon</i>	1	<i>Scenedesmus</i>	8
<i>Elakatothrix</i>	3	<i>Spirulina</i>	9
<i>Encyonema</i>	6	<i>Staurastrum</i>	3
<i>Epithemia</i>	6	<i>Staurodesmus</i>	3
<i>Euastrum</i>	3	<i>Stauroneis</i>	5
<i>Eudorina</i>	6	<i>Strombomonas</i>	8
<i>Euglena</i>	10	<i>Surirella</i>	6
<i>Eunotia</i>	2	<i>Synedra</i>	6
<i>Fragilaria</i>	5	<i>Synura</i>	8
<i>Golenkinia</i>	5	<i>Tetraedron</i>	6
<i>Gomphonema</i>	6	<i>Trachelomonas</i>	8
<i>Gonium</i>	6	<i>Volvox</i>	6

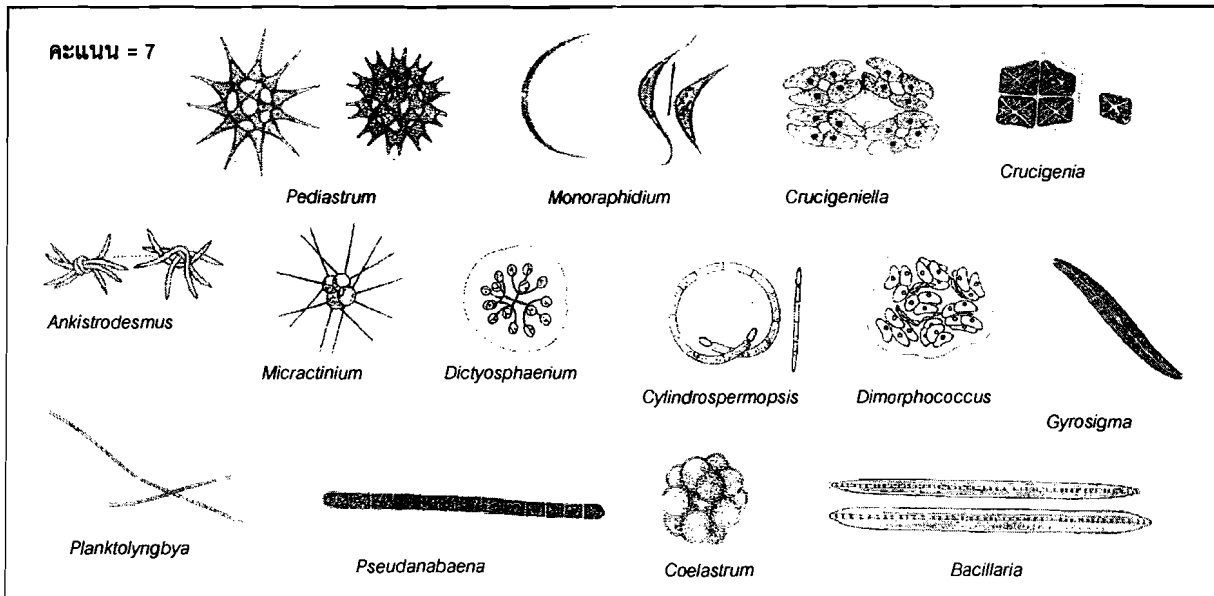
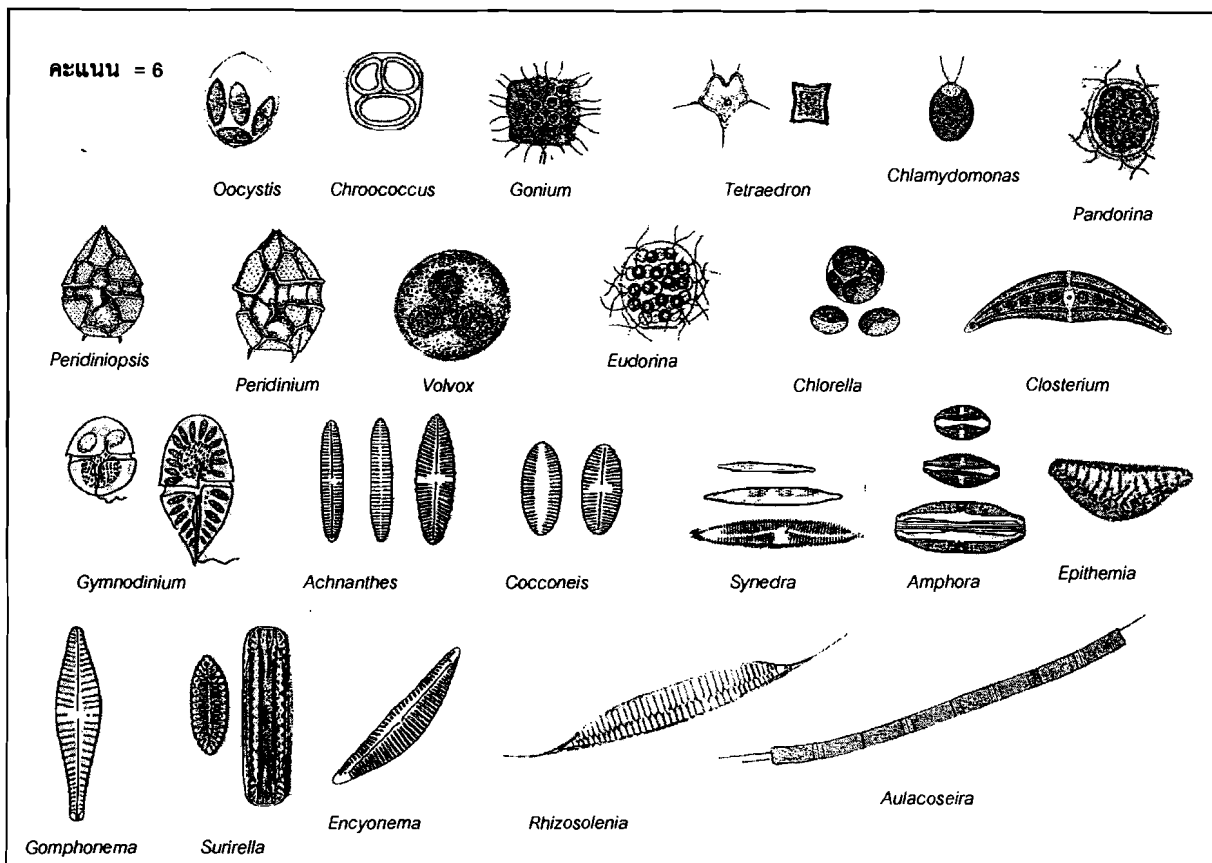
ภาพที่ 107 แพลงก์ตอนพืชสกุลเด่นบ่งชี้คุณภาพน้ำตามระดับคะแนน (คะแนนน้อยบ่งชี้คุณภาพน้ำดี คะแนนมากบ่งชี้คุณภาพน้ำไม่ดี)



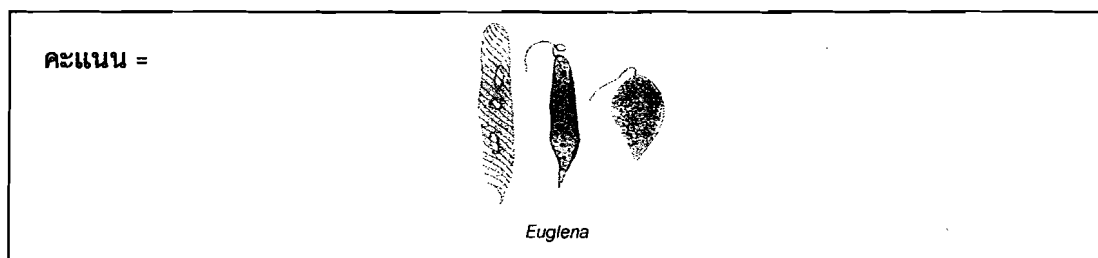
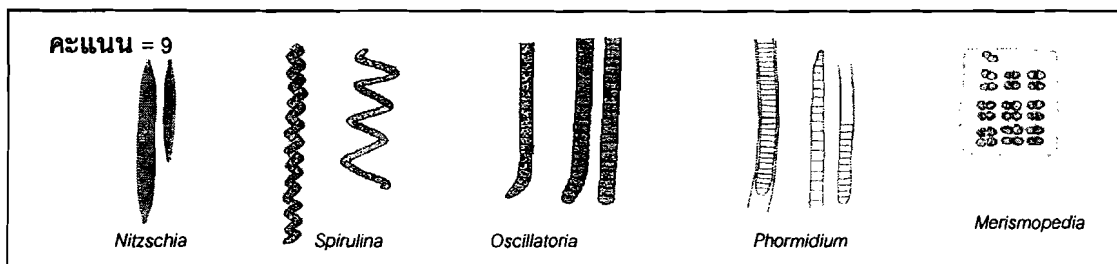
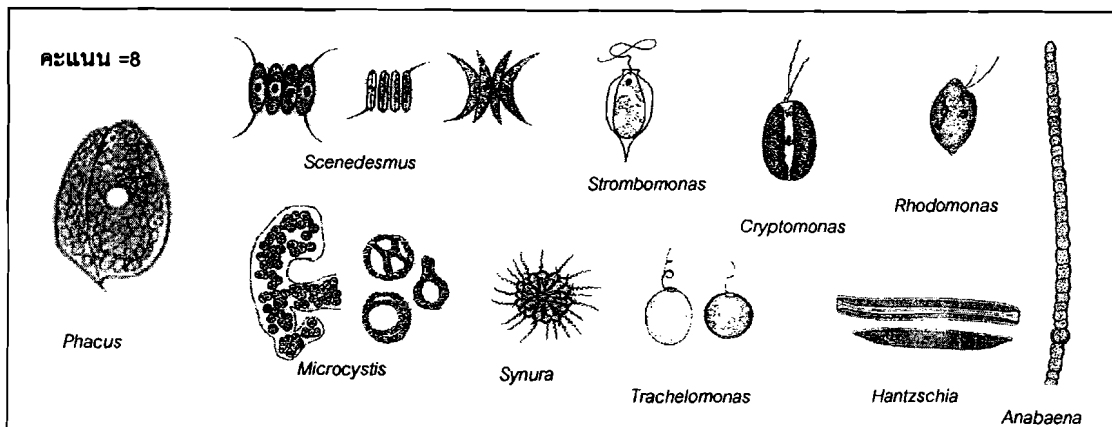
ภาพที่ 107 แพลงก์ตอนพืชสกุลเด่นบ่งชี้คุณภาพน้ำตามระดับคะแนน (คะแนนน้อยบ่งชี้คุณภาพน้ำดี คะแนนมาก บ่งชี้คุณภาพน้ำไม่ดี) (ต่อ)



ภาพที่ 107 แพลงก์ตอนพืชสกุลเด่นบ่งชี้คุณภาพน้ำตามระดับคะแนน (คะแนนน้อยบ่งชี้คุณภาพน้ำดี คะแนนมากบ่งชี้คุณภาพน้ำไม่ดี) (ต่อ)



ภาพที่ 107 แพลงก์ตอนพืชสกุลเด่นบ่งชี้คุณภาพน้ำตามระดับคะแนน (คะแนนน้อยบ่งชี้คุณภาพน้ำดี คะแนนมากบ่งชี้คุณภาพน้ำไม่ดี) (ต่อ)



วิธีการใช้ AARL – PP Score

เมื่อเลือกแหล่งน้ำที่จะศึกษาได้แล้ว ดำเนินการวิจัยตามลำดับต่อไปนี้

- เก็บแพลงก์ตอนพืชในแหล่งน้ำที่ศึกษา ถ้ามีปริมาณมากอาจใช้วิธีเก็บจากแหล่งน้ำโดยใช้ภาชนะตักขึ้นมาจากน้ำโดยตรง ถ้ามีปริมาณไม่มากควรใช้ถุงเก็บแพลงก์ตอน ที่มีขนาดตา 10 – 20 ไมโครเมตร

- นำแพลงก์ตอนพืชในน้ำนั้นมาศึกษา โดยการวินิจฉัยหรือพิสูจน์เอกลักษณ์ (identify) ถึงระดับสกุล ด้วยเอกสารที่เกี่ยวข้อง

3. นับจำนวนแพลงก์ตอนพืชในแต่ละสกุล เลือกสกุลเด่นที่สุดและรองลงมา 2 สกุล โดยแต่ละสกุลต้องมีปริมาณมากกว่า 30 % ของแพลงก์ตอนพืชทั้งหมด ในกรณีนี้บางแหล่งน้ำอาจจะเหลือเพียง 1-2 สกุลก็เป็นได้

4. นำสกุลที่เลือกแล้วในข้อ 3 ไปหาคะแนนของแพลงก์ตอนพืชที่บ่งชี้คุณภาพน้ำจากตารางที่ 2 รวมคะแนนที่ได้ทั้ง 3 สกุลหรือน้อยกว่า 3 สกุลแล้วหาคะแนนเฉลี่ย

5. นำคะแนนเฉลี่ยที่ได้จากข้อ 4 ไปหาคุณภาพน้ำจากตารางที่ 1 จะได้คุณภาพน้ำในแหล่งน้ำที่ศึกษา

ตัวอย่าง ในคูเมืองเชียงใหม่ช่วงเดือนตุลาคม 2550 พนแพลงก์ตอนพืชสกุลเด่น 3 สกุล คือ

Euglena sp., *Trachelomonas* sp. และ *Nitzschia* sp.

จะหาคุณภาพน้ำจาก AARL – PP Score ได้ดังนี้

คะแนนของแพลงก์ตอนพืชที่บ่งชี้คุณภาพน้ำจากตารางที่ 2 ได้ผลดังนี้

Euglena sp. = 10 คะแนน

Trachelomonas sp. = 8 คะแนน

Nitzschia sp. = 9 คะแนน

รวมคะแนนจาก 3 สกุลได้ 27 คะแนน หาค่าเฉลี่ยได้ 9 คะแนน นำคะแนนที่เฉลี่ยได้ไปหาคุณภาพน้ำจากตารางที่ 1 พนว่าอยู่ในสถานะสารอาหารสูง (Eutrophic status) คุณภาพน้ำไม่คี

เอกสารอ้างอิง : Peerapornpisal, Y., Pekkoh, J., Powangprasit, D., Tonkhamdee, T., Hongsirichat, A. and Kunpradid, T. 2007. Assessment of water quality in standing water by using dominant phytoplankton (AARL-PP Score). J. fisheries technology research, 1(1):pp. 71-81.

การประเมินคุณภาพน้ำในระบบนิเวศน้ำนิ่งโดยใช้ลำดับคะแนนอย่างง่าย AARL-PC score

(AARL = Applied Algal Research Laboratory, PC = Physical and Chemical)

โดย: รองศาสตราจารย์ ดร. ยุวดี พิรพารพิศาลและคณะ
สาขาวิชาจุลชีววิทยา คณะวิทยาศาสตร์
มหาวิทยาลัยเชียงใหม่ เชียงใหม่
e-mail: scboi017@chiangmai.ac.th

การประเมินคุณภาพน้ำดังกล่าวนี้ ได้ใช้พารามิเตอร์ที่เป็นปัจจัยทางด้านกายภาพ เกมี และชีวภาพบางประการ โดยประยุกต์มาจากมาตรฐานคุณภาพน้ำของ Lorraine and Vollenweider (1981) Wetzel (2001) และมาตรฐานคุณภาพน้ำในแหล่งน้ำผิวดินของคณะกรรมการสิ่งแวดล้อมแห่งชาติ พ.ศ. 2537 มาประเมินร่วมกัน โดยพารามิเตอร์ที่เป็นพื้นฐานทั่วไปของการวิเคราะห์คุณภาพน้ำ ซึ่งได้แก่

1. ปริมาณออกซิเจนที่ละลายน้ำ (DO)
2. ปริมาณออกซิเจนที่จุลทรรศ์ใช้ในการย่อยสลายสารอินทรีย์ให้เป็นสารอนินทรีย์ (BOD)
3. ค่าการนำไฟฟ้า (conductivity)
4. ปริมาณสารอาหาร ได้แก่
 - 4.1 ไนโตรเจน ในไตรเจน
 - 4.2 แอนโนเนนซิม ในไตรเจน
 - 4.3 ออร์โซฟอสเฟต หรือ soluble reactive phosphorus
5. ปริมาณคลอโรฟิลล์ เอ

ทั้งนี้ขึ้นอยู่กับค่าพารามิเตอร์ที่ใช้วัดมีมากน้อยเพียงใด แต่อย่างไรก็ตามในแหล่งน้ำแหล่งหนึ่งๆ ตลอดการวิจัยควรจะใช้ค่ามาตรฐานจากการคำนวณนี้ให้เหมือนกันทุกครั้ง วิธีการนี้ดังนี้ จากค่ามาตรฐานคุณภาพน้ำของ Lorraine and Vollenweider (1981) Wetzel (2001) และมาตรฐานคุณภาพน้ำในแหล่งน้ำผิวดินของคณะกรรมการสิ่งแวดล้อมแห่งชาติ พ.ศ. 2537 จะทำให้ทราบว่าในแหล่งน้ำที่ทำการศึกษา แต่ละพารามิเตอร์ที่วิเคราะห์ควรมีค่าสูงสุด และต่ำสุดเท่าใด ในที่นี่อาจใช้ตัวเลขที่เขียนเกี่ยวกับคุณภาพของแหล่งน้ำในประเทศไทย ประเภทต่างๆ จะมีความหมายสมมาก

เมื่อได้ค่าสูงสุดและต่ำสุดของแต่ละพารามิเตอร์แล้วนำมาจัดเป็นลำดับตัวเลขซึ่งจะใช้เป็นคะแนนมาตรฐาน โดยค่าที่แสดงคุณภาพน้ำด้านที่ดีสูงสุด จะมีคะแนนเป็น 0.1 และค่าที่แสดง

คุณภาพน้ำด้านที่เสียต่ำสุดเป็น 1 หรืออาจจะใช้คะแนนมากกว่าคะแนนด้านที่ดีสูงสุดเป็น 0.1 และคะแนนน้อยกว่าคะแนนด้านที่เสียต่ำสุดเป็น 1 ถ้าได้ในกรณีที่มีตัวเลขในแต่ละพารามิเตอร์มาก แต่คะแนนมาตรฐานมีเพียง 10 ชั้น คือ 0.1-1.0 ให้จัดกลุ่มตัวเลขในพารามิเตอร์นั้นๆ ให้เป็น อันตรากาศชั้นแต่ละชั้น ให้มีความเหมาะสมเดียวกับคะแนนมาตรฐานของแต่ละอันตรากาศชั้น

ตารางที่ 27 ค่าพารามิเตอร์ต่างๆ ที่ใช้วิเคราะห์คุณภาพน้ำ และคะแนนมาตรฐาน

ปริมาณออกซิเจนที่ละลายน้ำ (mg.l^{-1})	คะแนนมาตรฐาน
มากกว่า 9	0.1
8-9	0.2
7-8	0.3
6-7	0.4
5-6	0.5
4-5	0.6
3-4	0.7
2-3	0.8
1-2	0.9
น้อยกว่า 1 และมากกว่า 9 ใน การเก็บตัวอย่างช่วงบ่าย	1.0
ปริมาณออกซิเจนที่จุลินทรีย์ใช้ในการย่อยสลายสารอินทรีย์ (mg.l^{-1})	คะแนนมาตรฐาน
น้อยกว่า 0.3	0.1
0.3-0.8	0.2
0.8-1.5	0.3
1.5-3	0.4
3-5	0.5
5-8	0.6
8-15	0.7
15-30	0.8
30-50	0.9
มากกว่า 50	1.0

ตารางที่ 27 ค่าพารามิเตอร์ต่างๆ ที่ใช้ไว้ในกระบวนการคุณภาพน้ำ และคะแนนมาตรฐาน (ต่อ)

ค่าการนำไฟฟ้า ($\mu\text{S.cm}^{-1}$)	คะแนนมาตรฐาน
น้อยกว่า 10	0.1
10-30	0.2
30-50	0.3
50-70	0.4
70-90	0.5
90-120	0.6
120-180	0.7
180-250	0.8
250-500	0.9
มากกว่า 500	1.0

ปริมาณไนโตรเจน (mg.l^{-1})	คะแนนมาตรฐาน
น้อยกว่า 0.05	0.1
0.05-0.1	0.2
0.1-0.3	0.3
0.3-0.8	0.4
0.8-1.5	0.5
1.5-3.0	0.6
3.0-10.0	0.7
10.0-20.0	0.8
20.0-40.0	0.9
มากกว่า 40.0	1.0

ปริมาณแอมโมเนียม (mg.l^{-1})	คะแนนมาตรฐาน
น้อยกว่า 0.01	0.1
0.01-0.03	0.2
0.03-0.06	0.3
0.06-0.10	0.4
0.10-0.20	0.5

ตารางที่ 27 ค่าพารามิเตอร์ต่างๆ ที่ใช้ไว้ในกระบวนการคุณภาพน้ำ และคะแนนมาตรฐาน (ต่อ)

ปริมาณแอนโนเนียน ในโตรเจน (mg.l^{-1})	คะแนนมาตรฐาน
0.20-0.40	0.6
0.40-0.60	0.7
0.60-1.0	0.8
1.0-5.0	0.9
มากกว่า 5.0	1.0
ปริมาณ Soluble Reactive Phosphorus (mg.l^{-1})	คะแนนมาตรฐาน
น้อยกว่า 0.01	0.1
0.01-0.04	0.2
0.04-0.08	0.3
0.08-0.15	0.4
0.15-0.25	0.5
0.25-0.35	0.6
0.35-0.50	0.7
0.50-1.25	0.8
1.25-2.5	0.9
มากกว่า 2.5	1.0
ปริมาณคลอโรฟิลล์ a ($\mu\text{g.l}^{-1}$)	คะแนนมาตรฐาน
น้อยกว่า 0.5	0.1
0.5-1.0	0.2
1.0-2.0	0.3
2.0-5.0	0.4
5.0-25.0	0.5
25.0-50.0	0.6
50.0-100.0	0.7
100.0-250.0	0.8
250.0-500.0	0.9
มากกว่า 500.0	1.0

จากนั้นจะทำการแบ่งชั้นคุณภาพน้ำ โดยใช้ตัวเลขต่ำสุดที่ควรจะเป็นได้ คือ 0.1 และสูงสุดที่ควรจะเป็นซึ่งขึ้นอยู่กับจำนวนพารามิเตอร์ที่ใช้วัด เช่น ถ้าใช้ 6 พารามิเตอร์ ตัวเลขสูงสุดจะเป็น 6.0 ถ้าใช้ 5 พารามิเตอร์ ตัวเลขสูงสุดจะเป็น 5.0 เป็นต้น แล้วนำมาจัดอันตรากลางของเป็น 7 ลำดับ โดยมีความถี่เท่ากัน แล้วจัดคุณภาพน้ำแต่ละลำดับ ดังตารางที่ 2

ตารางที่ 28 คะแนนคุณภาพน้ำตามระดับสารอาหารและคุณภาพน้ำทั่วไป

คะแนน	คุณภาพน้ำตามระดับสารอาหาร	คุณภาพน้ำทั่วไป
น้อยกว่า 1.2	สารอาหารน้อยมาก (Ultraoligotrophic status)	คุณภาพน้ำค่อนข้างดี
1.2-2.0	สารอาหารน้อย (Oligotrophic status)	คุณภาพน้ำดี
2.1-2.9	สารอาหารน้อยถึงปานกลาง (Oligotrophic-mesotrophic status)	คุณภาพน้ำค่อนข้างปานกลาง
3.0-3.8	สารอาหารปานกลาง Mesotrophic status	คุณภาพน้ำปานกลาง
3.9-4.7	สารอาหารปานกลางถึงมาก (Mesotrophic-eutrophic status)	คุณภาพน้ำปานกลางค่อนถึงไม่ดี
4.8-5.6	สารอาหารมาก (Eutrophic status)	คุณภาพไม่ดี
มากกว่า 5.6	สารอาหารสูงมาก (Hypereutrophic status)	คุณภาพไม่ค่อนข้างดี

วิธีการใช้ AARL – PC Score

ตัวอย่าง ในการศึกษาคุณภาพน้ำในอ่างเก็บน้ำอ่างแก้ว มหาวิทยาลัยเชียงใหม่ ในเดือน พฤษภาคม 2550 ได้ผลดังนี้

ค่า DO	6.8 mg.l^{-1}
ค่า BOD	0.4 mg.l^{-1}
ค่าการนำไฟฟ้า	$91 \mu\text{S.cm}^{-1}$
ปริมาณไนเตรตในตอรเจน	0.25 mg.l^{-1}
ปริมาณแอนโนเนียมในตอรเจน	0.48 mg.l^{-1}
ปริมาณอร์โซฟอสฟेट หรือ Soluble reactive phosphorus	0.19 mg.l^{-1}
ปริมาณคลอโรฟิลล์-a	7.8 mg.l^{-1}

เมื่อนำค่าจากพารามิเตอร์ต่างๆ มาปรับเทียบกับคะแนนมาตรฐานที่จัดทำขึ้น จะได้ดังนี้

$$\text{คะแนนค่า DO} = 0.4$$

ค่าแทนค่า BOD	= 0.2
ค่าแทนค่าการนำไฟฟ้า	= 0.6
ค่าแทนปริมาณในต่อหน่วยในตอรเจน	= 0.3
ค่าแทนปริมาณแอนโนมีเนี่ยนในตอรเจน	= 0.7
ค่าแทนปริมาณออร์โซฟอสเฟต หรือ Soluble reactive phosphorus	= 0.5
ค่าแทนปริมาณคลอโรฟิลล์ เอ	= 0.5
เอกสารแทนมาตรฐานทั้งหมดรวมกัน จะได้ = 3.2	

ดังนี้คุณภาพน้ำในอ่างเก็บน้ำอ่างแก้ว มหาวิทยาลัยเชียงใหม่ จะอยู่ในช่วง 3.0-3.8
น้ำคือคุณภาพน้ำปานกลาง สารอาหารปานกลาง (Mesotrophic status)

ตัดแปลงโดย ห้องปฏิบัติการวิจัยสาขาวิชาประยุกต์
ภาควิชาชีววิทยา คณะวิทยาศาสตร์ มหาวิทยาลัยเชียงใหม่

เอกสารอ้างอิง : ห้องปฏิบัติการวิจัยสาขาวิชาประยุกต์. 2549. การประเมินคุณภาพน้ำในระบบนิเวศ^{น้ำ}น้ำด้วยโอดิใช้คำนวณอย่างง่าย AARL-PC Score. ภาควิชาชีววิทยา คณะ
วิทยาศาสตร์ มหาวิทยาลัยเชียงใหม่.

หรือถ้าต้องการอ้างอิงงานที่คีพิมพ์แล้วให้ใช้เอกสารอ้างอิงค้านล่าง

Peerapornpisal, Y., Chaiubol, C., Pekkoh, J., Kraibut, H., Chorum, M., Wannathong, P., Ngearnpat, N., Jusabul, K., Thammathiwat, A., Chuananta, J. and Inthasotti, T. 2004. Monitoring of Water Quality in Ang Kaew Reservoir of Chiang Mai University Using Phytoplankton as Bioindicator from 1995-2002. Chiang Mai Journal of Science, 31(1): 85-94.

การประเมินคุณภาพน้ำในระบบนิเวศน้ำให้ลดโดยใช้จำดับคะแนนอย่างง่าย AARL-PC score

(AARL = Applied Algal Research Laboratory, PC = Physical and Chemical)

โดยทั่วไปการประเมินคุณภาพน้ำมักจะใช้พารามิเตอร์เดียวๆ หลายพารามิเตอร์ แล้วนำมาประเมินขึ้นสุดท้าย โดยดูความมากน้อยของแต่ละพารามิเตอร์ว่ามีความสอดคล้องกับค่ามาตรฐานที่ใช้เพียงใด โดยวิธีการนี้ทำให้ผู้ประเมินขาดความเชื่อมั่นในบางครั้ง เนื่องจากค่าบางพารามิเตอร์อยู่ในเกณฑ์ที่ควรจะตัดสินใจว่าอยู่ในระดับนั้นๆ ได้ แต่ก็มีบางพารามิเตอร์ที่แตกต่างออกไปอย่างมาก ค่าผู้จัดให้พยายามคิดวิธีการที่จะนำค่าพารามิเตอร์ต่างๆ ที่มีความสำคัญต่อการจัดคุณภาพน้ำมาคำนึงถึงร่วมกัน เพื่อให้ได้เป็นตัวเลขที่ควรจะใช้ในการประเมินคุณภาพน้ำได้อย่างมั่นใจ

พารามิเตอร์ที่ใช้อาจแปรเปลี่ยนไปตามวัตถุประสงค์ของการศึกษาคุณภาพน้ำและลักษณะของแหล่งน้ำ เช่น อาจมีการใช้ปริมาณเบคทีเริกถุง โคลิฟอร์มนาร่วมด้วย สำหรับในแหล่งน้ำที่ต้องการศึกษาการปนเปื้อนจากจุลินทรีย์ หรือในแหล่งน้ำใหญ่ เช่น แม่น้ำ ลำธารน้ำ ปริมาณคลอโรฟิลล์ เอ อาจไม่เหมาะสมในการใช้ ก็สามารถตัดออกไปได้ หรืออาจจะนำค่าฟอสฟอรัสรวมในโตรเจนรวมมาคำนวณร่วมก็เป็นไปได้ ดังนั้นคะแนนมาตรฐานที่คำนวณออกมา จากพารามิเตอร์ที่ใช้แต่ละครั้ง ไม่เท่ากัน

การประเมินคุณภาพน้ำดังกล่าว นี้ ได้ใช้พารามิเตอร์ที่เป็นปัจจัยทางด้านกายภาพ เกมี และชีวภาพบางประการ โดยประยุกต์มาจากมาตรฐานคุณภาพน้ำของ Lorraine and Vollenweider (1981) Wetzel (2001) และมาตรฐานคุณภาพน้ำในแหล่งน้ำผิวดินของคณะกรรมการสิ่งแวดล้อมแห่งชาติ พ.ศ. 2537 มาประเมินร่วมกัน โดยพารามิเตอร์ที่เป็นพื้นฐานทั่วไปของการวิเคราะห์คุณภาพน้ำ ซึ่งได้แก่

1. ปริมาณออกซิเจนที่ละลายน้ำ (DO)
2. ปริมาณออกซิเจนที่จุลินทรีย์ใช้ในการย่อยสลายสารอินทรีย์ให้เป็นสารอนินทรีย์ (BOD)
3. ค่าการนำไฟฟ้า (conductivity)
4. ปริมาณสารอาหาร ได้แก่
 - 4.1 ไนเตรต ในโตรเจน
 - 4.2 แอมโมเนียม ในโตรเจน
 - 4.3 ออร์โธฟอสเฟต หรือ soluble reactive phosphorus

ทั้งนี้ขึ้นอยู่กับค่าพารามิเตอร์ที่ใช้ว่ามีมากน้อยเพียงใด แต่ถ้าไร้ความไม่แน่
แน่นหนึ่งๆ ตลอดการวิจัยควรจะใช้ค่ามาตรฐานจากการคำนวณนี้ให้เหมือนกันทุกครั้ง วิธีการมี
ดังนี้ จากค่ามาตรฐานคุณภาพน้ำของ Lorraine and Vollenweider (1981) Wetzel (2001) และ
มาตรฐานคุณภาพน้ำในแหล่งน้ำผิวดินของคณะกรรมการสิ่งแวดล้อมแห่งชาติ พ.ศ. 2537 จะทำให้
ทราบว่าในแหล่งน้ำที่ทำการศึกษา เต็ลพารามิเตอร์ที่วิเคราะห์ควรมีค่าสูงสุด และต่ำสุดเท่าใด ใน
ที่นี้อาจใช้ค่าที่เป็นเกี่ยวกับคุณภาพของแหล่งน้ำในประเทศไทย ประเทศต่างๆ จะมีความ
เหมาะสมมาก

เมื่อได้ค่าสูงสุดและต่ำสุดของแต่ละพารามิเตอร์แล้วนำมาจัดเป็นลำดับตัวเลขซึ่งจะใช้เป็นคะแนนมาตรฐาน โดยค่าที่แสดงคุณภาพน้ำด้านที่ดีสูงสุด จะมีคะแนนเป็น 0.1 และค่าที่แสดงคุณภาพน้ำด้านที่เสียต่ำสุดเป็น 1 หรืออาจจะใช้คะแนนมากกว่าคะแนนด้านที่ดีสูงสุดเป็น 0.1 และคะแนนน้อยกว่าคะแนนด้านที่เสียต่ำสุดเป็น 1 ก็ได้ ในกรณีที่มีตัวเลขในแต่ละพารามิเตอร์มาก แต่คะแนนมาตรฐานมีเพียง 10 ชั้น คือ 0.1-1.0 ให้จัดกลุ่มตัวเลขในพารามิเตอร์นั้นๆ ให้เป็นอันตรากาชั้นแต่ละชั้น ให้มีความเหมาะสมแล้วจึงจัดคะแนนมาตรฐานของแต่ละอันตรากาชั้น

ในงานวิจัยครั้งนี้ในแต่ละพารามิเตอร์ที่ใช้ได้จัดเป็นอันตรภาคชั้นและให้คะแนนมาตรฐานตามตารางที่ 1

ตารางที่ 29 ค่าพารามิเตอร์ต่างๆ ที่ใช้ในการคำนวณสภาพน้ำในแหล่งน้ำทุก แห่งบนโลก และคะแนนมาตรฐาน

ปริมาณออกซิเจนที่ละลายน้ำ (mg.L^{-1})	คะแนนมาตรฐาน
มากกว่า 9	0.1
8-9	0.2
7-8	0.3
6-7	0.4
5-6	0.5
4-5	0.6
3-4	0.7
2-3	0.8
1-2	0.9
น้อยกว่า 1	1.0

ตารางที่ 29 ค่าพารามิเตอร์ต่างๆ ที่ใช้ไว้คระห์คุณภาพน้ำในแหล่งน้ำไทย และคะแนนมาตรฐาน
(ต่อ)

ปริมาณออกซิเจนที่จุลินทรีย์ใช้ในการย่อยสลายสารอินทรีย์ (mg.l^{-1})	คะแนนมาตรฐาน
น้อยกว่า 0.3	0.1
0.3-0.8	0.2
0.8-1.5	0.3
1.5-3	0.4
3-5	0.5
5-10	0.6
10-20	0.7
20-40	0.8
40-80	0.9
มากกว่า 80	1.0

ค่าการนำไฟฟ้า ($\mu\text{s.cm}^{-1}$)	คะแนนมาตรฐาน
น้อยกว่า 10	0.1
10-30	0.2
30-60	0.3
60-100	0.4
100-200	0.5
200-350	0.6
350-600	0.7
600-1,000	0.8
1,000-2,000	0.9
มากกว่า 2,000	1.0

ปริมาณไนโตรเจน (mg.l^{-1})	คะแนนมาตรฐาน
น้อยกว่า 0.05	0.1
0.05-0.1	0.2
0.1-0.3	0.3

ตารางที่ 29 ค่าพารามิเตอร์ต่างๆ ที่ใช้วิเคราะห์คุณภาพน้ำในแหล่งน้ำให้ และคะแนนมาตรฐาน
(ต่อ)

ปริมาณไนโตรเจน (mg.l ⁻¹)	คะแนนมาตรฐาน
0.3-0.8	0.4
0.8-1.5	0.5
1.5-3.0	0.6
3.0-10.0	0.7
10.0-20.0	0.8
20.0-40.0	0.9
มากกว่า 40.0	1.0
ปริมาณแอนโนมเนียม ในไนโตรเจน (mg.l ⁻¹)	คะแนนมาตรฐาน
น้อยกว่า 0.01	0.1
0.01-0.05	0.2
0.05-0.1	0.3
0.1-0.2	0.4
0.2-0.5	0.5
0.5-1.0	0.6
1.0-2.0	0.7
2.0-4.5	0.8
4.5-10.0	0.9
มากกว่า 10.0	1.0
ปริมาณ Soluble Reactive Phosphorus (mg.l ⁻¹)	คะแนนมาตรฐาน
น้อยกว่า 0.05	0.1
0.05-0.10	0.2
0.1-0.2	0.3
0.2-0.4	0.4
0.4-1.0	0.5
1.0-2.0	0.6
2.0-3.5	0.7

ตารางที่ 29 ค่าพารามิเตอร์ต่างๆ ที่ใช้ไว้ในกระบวนการน้ำในแหล่งน้ำไทย และคะแนนมาตรฐาน
(ต่อ)

ปริมาณ Soluble Reactive Phosphorus (mg.l-1)	คะแนนมาตรฐาน
3.5-7.0	0.8
7.0-15.0	0.9
มากกว่า 15.0	1.0

จากนั้นจะทำการแบ่งชั้นคุณภาพน้ำ โดยใช้ตัวเลขต่ำสุดที่ควรจะเป็นได้ คือ 0.1 และสูงสุดที่ควรจะเป็นซึ่งขึ้นอยู่กับจำนวนพารามิเตอร์ที่ใช้วัด เช่น ถ้าใช้ 6 พารามิเตอร์ ตัวเลขสูงสุดจะเป็น 6.0 ถ้าใช้ 5 พารามิเตอร์ ตัวเลขสูงสุดจะเป็น 5.0 เป็นต้น แล้วนำมาจัดอันตรากลางชั้นออกเป็น 7 ลำดับ โดยมีความถี่เท่ากัน แล้วจัดคุณภาพน้ำแต่ละลำดับ ดังตารางที่ 2

ตารางที่ 30 คะแนนคุณภาพน้ำตามระดับสารอาหารและคุณภาพน้ำทั่วไป

คะแนน	คุณภาพตามระดับสารอาหาร	คุณภาพน้ำทั่วไป
ใช้กับ 6 พารามิเตอร์		
น้อยกว่า 0.8	สารอาหารน้อยมาก (Ultraoligotrophic status)	คุณภาพน้ำดีมาก
0.9-1.6	สารอาหารน้อย (Oligotrophic status)	คุณภาพน้ำดี
1.7-2.4	สารอาหารน้อยถึงปานกลาง (Oligotrophic-mesotrophic status)	คุณภาพน้ำดีถึงปานกลาง
2.5-3.2	สารอาหารปานกลาง Mesotrophic status	คุณภาพน้ำปานกลาง
3.3-4.0	สารอาหารปานกลางถึงมาก (Mesotrophic-eutrophic status)	คุณภาพน้ำปานกลางค่อนถึงไมดี
4.1-4.8	สารอาหารมาก (Eutrophic status)	คุณภาพไมดี
มากกว่า 4.8	สารอาหารสูงมาก (Hypereutrophic status)	คุณภาพน้ำไม่ดีมาก
ใช้กับ 5 พารามิเตอร์		
น้อยกว่า 0.7	สารอาหารน้อยมาก (Ultraoligotrophic status)	คุณภาพน้ำดีมาก
0.8-1.4	สารอาหารน้อย (Oligotrophic status)	คุณภาพน้ำดี
1.5-2.1	สารอาหารน้อยถึงปานกลาง (Oligotrophic-mesotrophic status)	คุณภาพน้ำดีถึงปานกลาง

ตารางที่ 30 คะแนนคุณภาพน้ำตามระดับสารอาหารและคุณภาพน้ำทั่วไป (ต่อ)

คะแนน	คุณภาพตามระดับสารอาหาร	คุณภาพน้ำทั่วไป
2.2-2.8	สารอาหารปานกลาง Mesotrophic status	คุณภาพน้ำปานกลาง
2.9-3.5	สารอาหารปานกลางถึงมาก (Mesotrophic-eutrophic status)	คุณภาพน้ำปานกลางค่อนถึงไม่ดี
3.6-4.2	สารอาหารมาก (Eutrophic status)	คุณภาพไม่ดี
มากกว่า 4.2	สารอาหารสูงมาก (Hypereutrophic status)	คุณภาพน้ำไม่คีมาก
ใช้กับ 4 พารามิเตอร์		
น้อยกว่า 0.6	สารอาหารน้อยมาก (Ultraoligotrophic status)	คุณภาพน้ำคีมมาก
0.7-1.2	สารอาหารน้อย (Oligotrophic status)	คุณภาพน้ำดี
1.3-1.8	สารอาหารน้อยถึงปานกลาง (Oligotrophic-mesotrophic status)	คุณภาพน้ำดีถึงปานกลาง
1.9-2.4	สารอาหารปานกลาง Mesotrophic status	คุณภาพน้ำปานกลาง
2.5-3.0	สารอาหารปานกลางถึงมาก (Mesotrophic-eutrophic status)	คุณภาพน้ำปานกลางค่อนถึงไม่ดี
3.0-3.5	สารอาหารมาก (Eutrophic status)	คุณภาพไม่ดี
มากกว่า 3.6	สารอาหารสูงมาก (Hypereutrophic status)	คุณภาพน้ำไม่คีมมาก
ใช้กับ 3 พารามิเตอร์		
น้อยกว่า 0.4	สารอาหารน้อยมาก (Ultraoligotrophic status)	คุณภาพน้ำคีมมาก
0.5-0.9	สารอาหารน้อย (Oligotrophic status)	คุณภาพน้ำดี
1.0-1.4	สารอาหารน้อยถึงปานกลาง (Oligotrophic-mesotrophic status)	คุณภาพน้ำดีถึงปานกลาง
1.5-1.9	สารอาหารปานกลาง Mesotrophic status	คุณภาพน้ำปานกลาง
1.9-2.3	สารอาหารปานกลางถึงมาก (Mesotrophic-eutrophic status)	คุณภาพน้ำปานกลางค่อนถึงไม่ดี
2.3-2.6	สารอาหารมาก (Eutrophic status)	คุณภาพไม่ดี
มากกว่า 2.6	สารอาหารสูงมาก (Hypereutrophic status)	คุณภาพน้ำไม่คีมมาก

วิธีการใช้ AARL - PC Score

ตัวอย่าง ในการศึกษาคุณภาพน้ำในลำน้ำแม่ส่า จังหวัดเชียงใหม่ ในเดือนพฤษภาคม 2550 ได้ผลดังนี้

ค่า DO	7.2 mg.l^{-1}
ค่า BOD	1.5 mg.l^{-1}
ค่าการนำไฟฟ้า	$108 \mu\text{s.cm}^{-1}$
ปริมาณในเตรทไน โตรเจน	0.15 mg.l^{-1}
ปริมาณแอนโนมเนียมในโตรเจน	0.64 mg.l^{-1}
ปริมาณออร์โรฟอสเฟต หรือ Soluble reactive phosphorus	0.12 mg.l^{-1}

เมื่อนำค่าจากพารามิเตอร์ต่างๆ มาเปรียบเทียบกับคะแนนมาตรฐานที่จัดทำขึ้น จะได้

ดังนี้

คะแนนค่า DO	= 0.3
คะแนนค่า BOD	= 0.3
คะแนนค่าการนำไฟฟ้า	= 0.5
คะแนนปริมาณในเตรทไน โตรเจน	= 0.3
คะแนนปริมาณแอนโนมเนียมในโตรเจน	= 0.6

คะแนนปริมาณออร์โรฟอสเฟต หรือ Soluble reactive phosphorus = 0.3

เอกสารคะแนนมาตรฐานทั้งหมดรวมกัน จะได้ = 2.3

ดังนั้นคุณภาพน้ำในลำน้ำแม่ส่า จังหวัดเชียงใหม่ จะอยู่ในช่วง 1.7-2.4 นั้นคือคุณภาพน้ำดีถึงปานกลาง สารอาหารน้อยถึงปานกลาง (Oligotrophic-mesotrophic status)

ตัดแปลงโดย ห้องปฏิบัติการวิจัยสาหร่ายประยุกต์

ภาควิชาชีววิทยา คณะวิทยาศาสตร์ มหาวิทยาลัยเชียงใหม่

เอกสารอ้างอิง : ห้องปฏิบัติการวิจัยสาหร่ายประยุกต์. 2549. การประเมินคุณภาพน้ำในระบบนิเวศน้ำ ให้โดยใช้ค่าดับ คะแนนอย่างง่าย AARL-PC Score . ภาควิชาชีววิทยา คณะวิทยาศาสตร์ มหาวิทยาลัยเชียงใหม่.

ประวัติผู้วิจัย

ชื่อ	ปริญญา มูลสิน
เกิด	4 มกราคม 2515
ประวัติการศึกษา	ปริญญาตรี สาขาวิชาชีววิทยา คณะวิทยาศาสตร์ มหาวิทยาลัยขอนแก่น ปริญญาโท สาขาวิชาชีววิทยา คณะวิทยาศาสตร์ มหาวิทยาลัยเชียงใหม่
ที่อยู่	55/3 ถนนรายภูร์บารุง ตำบลในเมือง อำเภอเมือง จังหวัด อุบลราชธานี 34000
เบอร์โทรศัพท์	085-0257524
e-mail address	parinyamoonsin@gmail.com
ผลงานตีพิมพ์	1. Parinya Moonsyn, Yuwadee Peerapornpisal, Nicharat Swasdipan, and Aranya Pimmongkol. Benthic diatom and water quality in the Mekong river in the Vicinity of Ubon Ratchathani province. (2009). Journal of Microscopy Society of Thailand, 23(1): 47- 51. 2. Parinya Moonsin, Yuwadee Peerapornpisal, and Aranya Pimmongkol, Macroalgae diversity and water quality in Mekong river in Ubon Ratchathani Province, Thailand. (2011). Laos Journal of Applied Science, 2(1): 828-833.
Proceeding	1. ปริญญา มูลสิน เกศินี จันทร์ โภกณ อมรรัตน์ วงศ์กลม ประกิต สมัครค้า และสุชยา วิริยะ กาธุณย์. ความหลากหลายทางพันธุกรรมของ สาหร่ายใน แม่น้ำโขง จังหวัดอุบลราชธานี (การประชุมสัมมนานานาชาติ ครั้งที่ 2 “การ นำเสนอผลงานวิจัยพหุสาขาและผลงานการปฏิบัติ

ในการพัฒนามนุษย์” 2-3 กรกฎาคม 2551, ศูนย์
ศิลปวัฒนธรรมภาษาญี่ปุ่นนรภ.

อุบลราชธานี : หน้า 216-229)

2. ปริญญา มูลสิน อุษา เพียรชนะ และ อมรรัตน์
วงศ์กลม. ความหลากหลายทางชีวภาพของ
สาหร่ายในสระตัว บริเวณอุทยานแห่งชาติเขา
พระวิหาร จังหวัดศรีษะเกษ (การประชุมวิชาการ
วิทยาศาสตร์และเทคโนโลยีแห่งชาติ (วทท.)

ครั้งที่ 34 วันที่ 31 ตุลาคม - 2 พฤศจิกายน 2552 ศูนย์
ประชุมแห่งชาติสิริกิติ์ กรุงเทพฯ

3. Parinya Moonsyn, Yuwadee Peerapornpisal,
Nicharat Swasdipan, and Aranya Pimmongkol.
Benthic diatom and water quality in the
Mekong river in the vicinity of Ubon
Ratchathani province. (2009) (Journal of
Microscopy Society of Thailand, 23(1): 47-51.

ผลงานที่ได้รับรางวัล
รางวัลรองชนะเลิศอันดับ 1 งานวิจัยค้านสิ่งแวดล้อม
เรื่อง “การอนุรักษ์พันธุกรรมของสาหร่าย และการ
ถ่ายทอดเทคโนโลยีคัดชันชีวภาพเพื่อการเฝ้าระวัง
คุณภาพแม่น้ำมูลของโรงเรียนบ้านผาเกี้ยว
คำบลกุดลาด อำเภอเมือง จังหวัดอุบลราชธานี”
โครงการ ABC-PUS ปี 2552

ประวัติการทำงาน
อาจารย์ประจำสาขาวิชาชีววิทยา คณะวิทยาศาสตร์
มหาวิทยาลัยราชภัฏอุบลราชธานี ตั้งแต่ วันที่ 10
กันยายน 2540 จนถึงปัจจุบัน

ตำแหน่งและสถานที่ทำงานปัจจุบัน
อาจารย์ สาขาวิชาชีววิทยา คณะวิทยาศาสตร์
มหาวิทยาลัยราชภัฏอุบลราชธานี